

Título de la Tesis:

La casa mediterránea:
una perspectiva desde la frontera natural y la intimidad

En Granada, a 16 de mayo de 2023.

Autor: **Inmaculada López del Valle**

Director: **Rafael López Guzmán.**

Programa de Doctorado en Historia y Artes (B01.56.1)



**UNIVERSIDAD
DE GRANADA**

Editor: Universidad de Granada. Tesis Doctorales
Autor: Inmaculada López del Valle
ISBN: 978-84-1195-113-5
URI: <https://hdl.handle.net/10481/86751>

A Josefa.

Ella lo sabe y yo también.

1 Introducción.

El objetivo principal de esta Tesis Doctoral es definir la vivienda mediterránea para formular una teoría que permita entenderla y que proporcione las herramientas necesarias a los profesionales de la construcción en el ejercicio de sus funciones.

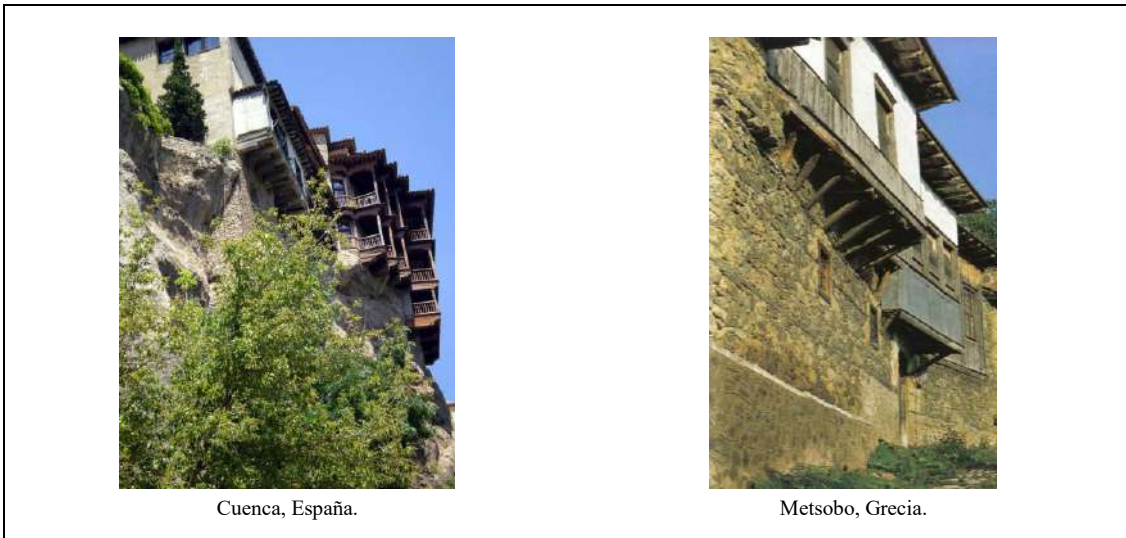
Los objetivos secundarios son:

- Evitar realizar un muestrario que derive en la repetición de elementos que frenen la creatividad humana.
- Dar a conocer las diferencias de la idea del Mediterráneo como lugar de origen común de civilizaciones, frente a otras regiones del planeta Tierra, y cómo estas se reflejan en la arquitectura.
- Cuestionar la actual mirada despectiva que tiene el uso del lenguaje de la vivienda tradicional en el diseño hoy.
- Poner en valor la relación existente entre los diferentes oficios de la construcción y la calidad del resultado final de la vivienda mediterránea.

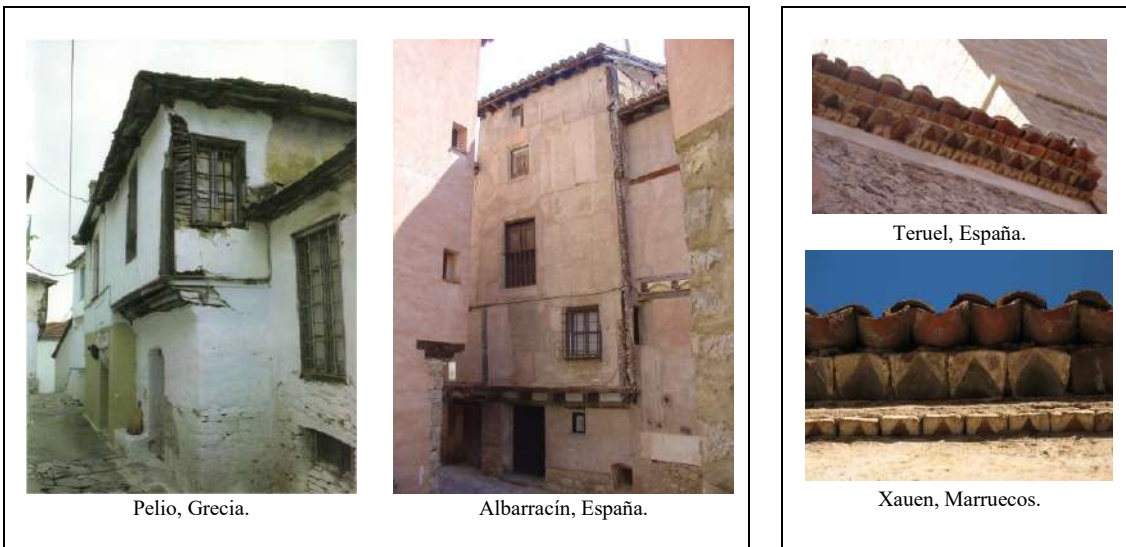
Al inicio de la investigación, en el año 2007, tras los primeros viajes por el Mediterráneo, encontramos elementos arquitectónicos que se repetían. En esa primera mirada, hallamos tanta variedad que pensábamos que no podía existir una conexión entre esas repeticiones que nos permitiera definir la vivienda mediterránea. En la Figura 1 podemos observar las imágenes extraídas del trabajo¹ presentado durante los cursos de doctorado tras realizar varios viajes por Marruecos, España y Grecia.

Los primeros años nos centramos en buscar repeticiones y modelos habitacionales. Encontramos numerosas publicaciones sobre la casa mediterránea en las que aparecía un catálogo de viviendas preciosas, pero que no incluían una base artística común que permitiera unificarlas. En ese momento, nuestra única certeza era la presencia: de elementos iguales repetidos (como cornisas o esquinas) que vistos en el conjunto global edificado conformaban viviendas diferentes, y de viviendas iguales en diferentes puntos de la región mediterránea.

¹ María Inmaculada López del Valle. *Elementos comunes de la arquitectura popular del Mediterráneo*. Granada: Universidad de Granada, 2012.

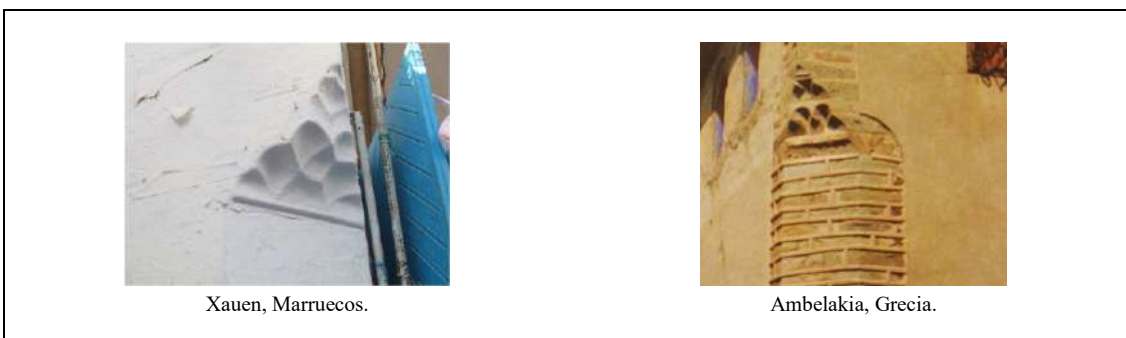


Elementos comunes. Lámina I: Carpintería.



Elementos comunes. Lámina VII: Estructura.

Elementos comunes. Lámina III: Cornisas.



Elementos comunes. Lámina II: Esquinas.

Fig. 1. Elementos comunes en las viviendas del Mediterráneo².

² Id.

Los siguientes años transcurrieron recopilando más información de viviendas mediterráneas in situ y, a la vez, compaginando la profesión de arquitecto, puesto que la investigación se ha llevado a cabo con autofinanciación.

Nos gustaría destacar que encontramos una dualidad interesante durante las conversaciones cotidianas con la población en las diferentes regiones. Por un lado, propietarios que eligen para sus viviendas un “estilo moderno” que consideran superior al “estilo tradicional”; por otro, los que eligen el “estilo tradicional”, al considerarlo no solo superior, sino una seña de identidad local.

Hoy podemos afirmar que, en nuestra opinión, no existe un “estilo moderno” o un “estilo tradicional”, sino que existe una arquitectura heredada que pertenece al lugar, tal y como iremos viendo a lo largo de esta tesis. Podemos avanzar que en el Mediterráneo encontramos maravillosas viviendas contemporáneas habitadas con independencia del lenguaje arquitectónico utilizado. Y también quedan restos constructivos de extraordinarias viviendas realizadas en el pasado.

Finalmente, es importante para nosotros recordar que presentamos este trabajo de investigación como respuesta a la pregunta que nos acompañó durante 16 años de recopilación de datos in situ entre la riqueza arquitectónica mediterránea: ¿existe alguna característica común que permita definir a la vivienda mediterránea de ayer y de hoy?

Un ejemplo de la variedad residencial con la que trabajamos estos años, son las fotografías 1, 2, 3, 4, 5 que adjuntamos a continuación. En ellas podemos ver un detalle de la decoración de estuco del palacio del rey Herodes, construido sobre un acantilado en la ciudad de Masada, en medio del desierto de Judea (actual Israel); los restos de la casa “stable house” en la ciudad de Shivta en medio del desierto del Négev (actual Israel) y el interior de la vivienda de Deruc-Tsiotsiou en Siatista (actual Grecia). Solo con la simple observación, es evidente que en ellas encontramos diferentes lenguajes constructivos y diferentes acabados decorativos.



Fotografía 1. Resto de la decoración de estuco del palacio del rey Herodes. Exposición del Museo de Masada (Israel).



Fotografía 2. Casa “estable house” en la ciudad abandonada de Shivta (Israel).



Fotografía 3. Detalle del interior de la casa “estable house” en Shivta (Israel).



Fotografía 4. Bodega de la vivienda de Deruc-Tsiotsiou en Siatista (Grecia)³.



Fotografía 5. Salón de baile de la vivienda de Deruc-Tsiotsiou en Siatista (Grecia).

³ La visita de la casa de Deruc-Tsiotsiou en Siatista (Grecia) fue posible gracias a la intervención de Moschos Morfakidis Filactos del Centro de Estudios Bizantinos, Neogriego y Chipriotas en Granada (España), de Persephone Karabati del Museo de la lucha de Macedonia en Tesalónica (Grecia) y del área de turismo del Ayuntamiento de Kastoria (Grecia).

En referencia a la elaboración teórica de esta tesis intentamos desenredar tres grandes problemas. El primero es la amplia extensión territorial que abarca el mar Mediterráneo. El segundo es el momento histórico de la construcción de la vivienda en sí y su evolución con diferentes características en las numerosas regiones geográficas en las que se divide el Mediterráneo. El tercer problema es la abundante riqueza patrimonial existente.

Además, existen varias disciplinas que tienen como objeto de estudio a la población mediterránea y su forma de habitar: sociología, antropología, arqueología, climatología, ciencias ambientales... Y todas y cada de ellas aportan datos sobre la casuística de la vivienda mediterránea que conocemos hoy.

2 Metodología.

2.1. Materiales.

Para la toma de datos gráficos y elaboración de material, utilizamos papel de esbozo, papel de acuarela, pinturas, lápiz grafito y lápices de colores.

Para la toma de datos fotográficos, empleamos una cámara digital y un dron.

Los programas utilizados han sido: Inkscape, Gimp, Google, procesador de texto y de hojas de cálculo, Google Docs, Zotero y Qgis.

2.2. Metodología.

Hicimos uso de varias metodologías durante los 16 años que ha durado la elaboración de esta tesis⁴. Por claridad expositiva, no vamos a realizar una recopilación de todas las metodologías fallidas que intentamos aplicar. Consecuentemente, solo describiremos la metodología elegida y los dos hitos relevantes que en el proceso de búsqueda nos han permitido encontrarla.

En primer lugar, tenemos que nombrar el punto de inflexión que nos supuso interiorizar la utilidad de delimitar un tema⁵ como indica Eco.

Nos ayudó a entender que el punto fundamental para llegar a una conclusión era delimitar la información útil de nuestra única certeza: la existencia de repeticiones aparentemente inconexas en un mar de variedad.

A continuación, buscamos estudios sobre análisis de metodologías de investigación relacionadas con temas de arte para ver cuál podíamos aplicar.

El que mejor se adaptaba a nuestras exigencias fue el estudio metodológico de Josep Gustems, Ana Portela y Caterina Calderón⁶. Al aplicarlo encontramos que nuestra

⁴ Por claridad expositiva no podemos incluir una revisión bibliográfica de los análisis de metodologías de investigación en arte, no obstante, nos gustaría nombrar, porque ha sido determinante, esta publicación: Jaime Rivera Camino. *Cómo escribir y publicar una tesis doctoral*. ESIC. Madrid. 2011., y este artículo: Maricelly Gómez Vargas y otros. "El estado del arte: una metodología de investigación". *Revista Colombiana de Ciencias Sociales*, 6.2 (2015), pp. 423-442. <https://doi.org/10.21501/22161201.1469>

⁵ Umberto Eco. *Cómo se hace una tesis. Técnicas y procedimientos de estudio, investigación y escritura*. Barcelona: Gedisa, 2001, pp. 32-37.

⁶ Josep Gustems Carnicer y otros. "Aproximaciones metodológicas a la investigación en artes". *Artseduca*, 17 (2017), pp. 78-95.

investigación debía ser proyectiva porque nuestro objetivo es proponer una interpretación de la vivienda con un nivel de complejidad alto.

Además, como Gustems, Portela y Calderón proponen la aplicación del método científico, en primer lugar, era necesario delimitar el área de conocimiento (en nuestro caso la historia del arte) y, en segundo lugar, era fundamental realizar una revisión exhaustiva de las aportaciones sobre el tema a partir de las palabras clave recogidas en los distintos tesauros en las bases de datos especializadas.

Para que la revisión fuese exhaustiva escogimos el método PRISMA para la selección de la literatura y su análisis crítico.

En la aplicación del método científico, Gustems, Portela y Calderón, indican que es necesario elegir uno de los tres paradigmas que exponen: el positivista, el interpretativo y el socio-crítico⁷. En nuestro caso particular, necesitábamos delimitar cuantitativamente las repeticiones y buscábamos que el análisis fuese replicable y generalizante. Además, encontramos que el paradigma positivista nos permitía aplicar la indicación de Umberto Eco de delimitar la información útil.

Cuando empezamos a aplicar la metodología de Gustems, Portela y Calderón, volvimos a encontrarnos con el problema de la riqueza patrimonial y la necesidad de delimitar las fuentes de nuestra tesis panorámica dentro de unos límites manejables y asequibles.

Una segunda lectura de los paradigmas, nos llevó a identificar la importancia de las categorías conceptuales⁸ y nos hizo encontrar el segundo punto de inflexión que nos permitió terminar esta investigación.

En la práctica, encontramos que nuestro problema era acotar las repeticiones. El paradigma interpretativo que describen Gustems, Portela y Calderón se basa en la interpretación a partir de la observación y de la organización de las categorías conceptuales que se inician en la revisión bibliográfica.

⁷ *Ibid.*, pp. 88-89.

⁸ *Ibid.*, p. 88.

Así pues, adaptamos la metodología a nuestra investigación y continuamos utilizando el método PRISMA para la selección de la literatura y para la búsqueda de los conceptos más relevantes relacionados con la vivienda mediterránea.

Por tanto, primero definimos los conceptos (Gustems, Portela y Calderón), después los utilizamos para delimitar las viviendas (Eco) y por último, las analizamos junto con el análisis crítico de las teorías que describen las aportaciones sobre nuestro tema (PRISMA).

Adjuntamos el esquema de nuestro cuadro metodológico en la Figura 2.

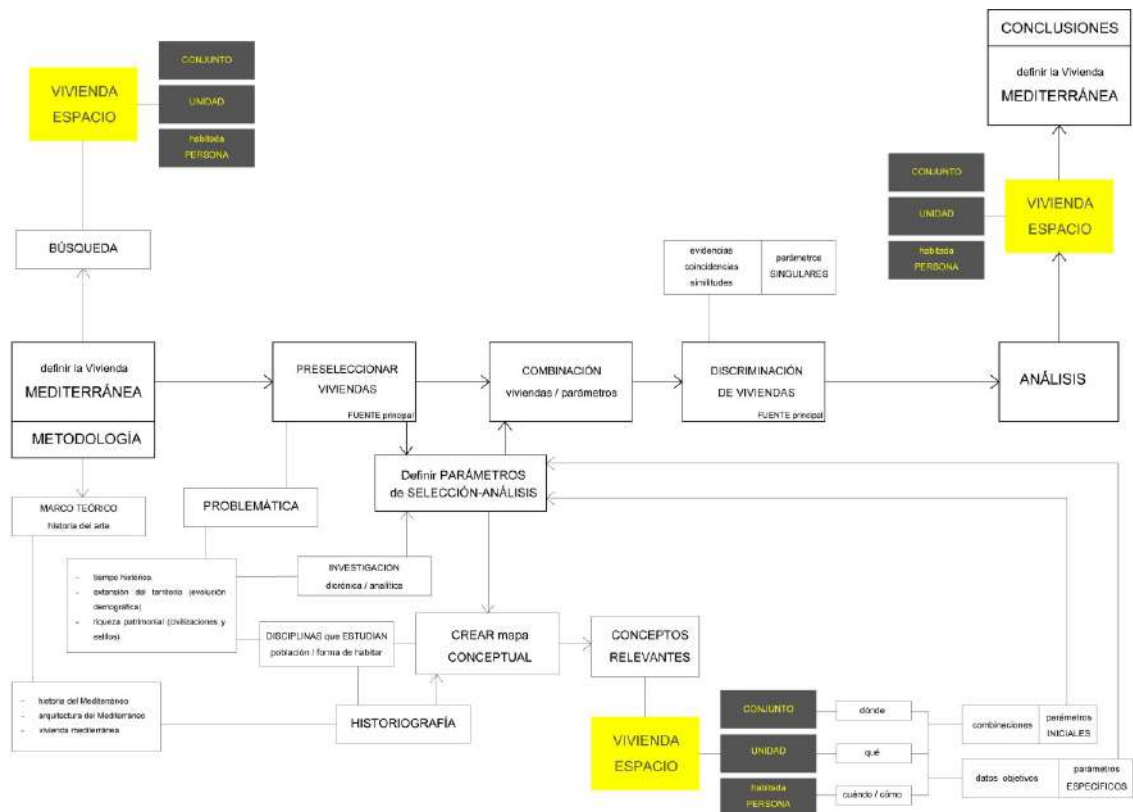


Fig. 2. Cuadro metodológico.

Para facilitar una posible posterior repetición de nuestra investigación, exponemos a grandes rasgos los pasos que se desarrollan en el apartado presentación de datos.

Como somos conscientes de la problemática de una selección de fuentes insuficiente, decidimos acotarlas partiendo de los conceptos más relevantes, y desde tres puntos de vista: el estudio de la vivienda desde la unidad, el conjunto y la persona que la habita.

Obtenemos el mapa conceptual de la literatura sobre la historiografía que existe en referencia a la historia mediterránea, la arquitectura mediterránea y la vivienda mediterránea.

Ordenamos los conceptos obtenidos como respuesta a las preguntas básicas (dónde, qué, cuándo y cómo) aplicadas a la vivienda mediterránea en la unidad, en el conjunto y en estar habitada por personas.

Del mapa conceptual, extraímos los parámetros que posteriormente se han utilizado para elaborar una selección de viviendas, y que han permitido obtener observaciones significativas con las que formulamos las hipótesis a evaluar. Realizamos estas observaciones buscando un análisis panorámico de la vivienda mediterránea.

2.2.1. Tipo de investigación.

El tipo de investigación que llevamos a cabo es diacrónico y analítico.

Método diacrónico.

El método diacrónico nos parece adecuado porque, para estudiar la raíz de la vivienda mediterránea, es necesario abarcar el espacio histórico que va desde la Prehistoria hasta la actualidad. Además, entendemos que los modelos habitacionales que actualmente se realizan en el mediterráneo son el resultado de una evolución desarrollada a lo largo del tiempo.

Método analítico.

También utilizamos el método analítico porque nos permite seleccionar las viviendas que aporten información relevante acotando la información. Esta acotación de datos es útil por dos motivos. El primero, porque la cantidad de viviendas, habitadas y deshabitadas, que existen en el Mediterráneo es ingente y, por tanto, la información útil que se busca obtener llega a ser repetitiva. El segundo, porque la presentación de datos también es limitada por claridad expositiva.

2.2.2.Las fuentes.

Las fuentes que utilizaremos son de dos tipos: documentos escritos y la vivienda en sí.

Fuentes documentales escritas.

Encontramos la información de las fuentes documentales escritas a través de: fuentes bibliográficas (libros), hemerográficas (artículos, ensayos de revistas y periódicos) y archivísticas (cartas, oficios, circulares, expedientes,...).

Las instituciones visitadas ordenadas por localización son:

España: Universidad de Sevilla. Biblioteca de la Universidad de Sevilla. Biblioteca General y Archivo Histórico. Biblioteca de Arquitectura. Sevilla.

Universidad de Granada. Biblioteca de la Universidad de Granada. Biblioteca del Hospital Real. Biblioteca de la E.T.S. de Arquitectura. Biblioteca de la Facultad de Bellas Artes. Biblioteca de Filosofía y Letras. Biblioteca Politécnica. Granada.

Instituto de Estudios Giennenses. Biblioteca del Instituto de Estudios Giennenses. Jaén.

Instituto Gómez-Moreno. Biblioteca del Instituto Gómez-Moreno. Granada.

Archivo Histórico Provincial de Granada. Granada.

Biblioteca de Andalucía. Biblioteca General de la Diputación Provincial de Granada. Biblioteca Pública de Granada. Granada.

Centro de Estudios Bizantinos, Neogriegos y Chipriotas. Biblioteca del Centro de Estudios Bizantinos, Neogriegos y Chipriotas. Granada.

Museo Arqueológico y Etnológico de Granada. Biblioteca del Museo Arqueológico y Etnológico de Granada. Granada.

Colegio oficial de Arquitectos de Granada. Biblioteca del Colegio Oficial de Arquitectos de Granada. Granada.

Universidad Politécnica de Madrid. Biblioteca de la Universidad Politécnica de Madrid. CEYDE. Centro de Documentación Europea.

Biblioteca E.T.S. Arquitectura. Biblioteca ETSI Caminos, Canales y Puertos. Biblioteca E.T.S.I. Industriales. Madrid.

Colegio oficial de Arquitectos de Madrid. Biblioteca del Colegio Oficial de Arquitectos de Madrid. Madrid.

Grecia: Universidad de Aristóteles. Biblioteca de la Universidad de Aristóteles. Biblioteca y Centro de Información AUTH. Biblioteca de Arquitectura. Biblioteca del Departamento de Ingeniería Rural. Historia y Arqueología (Departamento de Historia Antigua, Media y bizantina). Historia y Arqueología (Departamento de Arqueología e Historia del Arte). Historia y Arqueología (Departamento de Etnografía y Antropología Social). Tesalónica.

(Αριστοτέλειο Πανεπιστήμιο Θεσσαλονίκης. Σύστημα Βιβλιοθηκών. Βιβλιοθήκη και Κέντρο Πληροφόρησης του ΑΠΘ. Βιβλιοθήκη του Τμήματος Αρχιτεκτόνων. Βιβλιοθήκη του Τμήματος Αρχιτεκτόνων. Ιστορίας και Αρχαιολογίας (Τομέας Αρχαίας, Μέσης και Βυζαντινής Ιστορίας). Ιστορίας και Αρχαιολογίας (Τομέας Αρχαιολογίας & Ιστορίας Τέχνης). Ιστορίας και Αρχαιολογίας (Τομέας Λαογραφίας & Κοινωνικής Ανθρωπολογίας). Θεσσαλονίκη.)

Museo de la lucha Macedonia. Biblioteca del Museo de la lucha Macedonia. Tesalónica.

Israel: Universidad Ben-Gurión del Neguev. Biblioteca de la Universidad Ben-Gurión del Neguev. Beersheva.

Universidad Hebrea de Jerusalén. Biblioteca de la Universidad Hebrea de Jerusalén. Jerusalén.

Museo Arqueológico Rockefeller. Centro de documentación. Jerusalén.

Marruecos: Biblioteca General - Archivo de Tetuán. Tetuán.

Biblioteca de Chef Chaouen. Chef Chaouen.

Reyno Unido: Universidad de Cambridge. Cambridge University Library. University Library. Departmental and Faculty Libraries; Art and Architecture,

History of Population and Social Structure, Asian & Middle Eastern Studies (Oriental Studies). Library of King's College. St John's College Library. Fitzwilliam's College Library. Cambridge.

Universidad de Oxford. Sackler Library. Bodleian Japanese Library. Rhodes House Library. Library of Institute of Archaeology. Oriental Institute Library. Archaeology and the History of Art Library. Ruskin School of Drawing and Fine Art Library. Taylor Bodleian Slavonic and Greek Library. Oxford.

The National Art Library at the V&A Museum. Londres.

Asimismo, las bases de datos que utilizamos para realizar las búsquedas generalistas son: Scopus, Web of Sciences, ProQuest, DialnetPlus, OATD (Open Access These and Dissertations), DART (Europe E-theses Portal), TESEO (Bases de datos de Tesis doctorales del Ministerio de Educación, Cultura y Deporte del Gobierno de España), TDX (Tesis doctorales en Red). Para las búsquedas específicas, usamos estas bases de datos: Humanities Source y International Bibliography of Art. También utilizamos los repositorios: Eric, Academia y ResearchGate. Realizamos el acceso a estas bases de datos desde la biblioteca electrónica de la Universidad de Granada por VPN y gestionamos la información con Zotero.

La vivienda como fuente primaria.

Obtuvimos la información de las viviendas como fuente primaria a través de las viviendas construidas en sus diferentes estados de conservación que existen en la actualidad in situ y a través de las imágenes que capturan en la actualidad la población⁹. Obtuvimos la información in situ viajando durante los últimos 16 años por el Mediterráneo, desde el año 2006 hasta el año 2022.

⁹ Aunque recopilamos miles de fotografías de viviendas mediterráneas, decidimos mostrar en este trabajo la imagen que existe en la actualidad en internet de las viviendas que hemos ido seleccionando. No nos ha llamado la atención encontrar imágenes de las viviendas en internet. Lo que nos ha sorprendido es que las características de la vivienda mediterránea que nosotros desciframos podemos leerla en la mirada de la población cuando toman las fotografías o los vídeos, en muchos casos, con un punto de vista mejor que la imagen que pudimos obtener inicialmente nosotros.

Para la localización exacta de las viviendas obtuvimos las coordenadas UTM utilizando Google Maps [<https://www.google.es/maps>] y posteriormente las contrastamos con Geomap [<https://www.google.es/maps>].

Para la conversión a coordenadas CMS, empleamos la aplicación online de Sunearthtools [<https://www.sunearthtools.com/dp/tools/conversion.php?lang=es>] y, para la altitud, la aplicación online de advancedconverter utilizando las coordenadas CMS [<https://www.advancedconverter.com/es/herramientas-de-mapa/encontrar-altitud-desde-coordenadas>].

3 Presentación de datos. La vivienda como fuente primaria.

3.1. Historiografía: revisión sistemática según el método PRISMA.

La bibliografía acerca de la vivienda construida a lo largo de la región mediterránea es de por sí bastante extensa y abundante. Y conviene precisar que cualquier lectura o estudio en profundidad exige la traducción de idiomas extranjeros.

La mayoría de esta bibliografía es específica y se enfoca en un enclave concreto o en un espacio histórico delimitado, siendo los estudios de las estructuras y los procesos globales los que son interesantes para nuestro estudio. Por tanto, para realizar la revisión sistemática según el protocolo PRISMA, definimos las ecuaciones de búsqueda centradas en estos términos¹⁰: historia, arquitectura, vivienda y mediterráneo, y usamos bases de datos generalistas y específicas¹¹.

El criterio de selección que aplicamos para el filtrado de los resultados ha sido: área de conocimiento. De modo que excluimos todos los resultados que no fueran de la rama de arte y humanidades o ramas afines (p. ej. excluimos las ciencias de la salud).

3.1.1. Selección de palabras clave: ecuaciones de búsqueda

Aclaración de los términos: “tradicional”, “vernáculo” y “local”.

Cuando realizamos una búsqueda sobre la arquitectura o la vivienda mediterránea, encontramos que esta aparece referenciada con tres términos: “tradicional”, “vernacula” y “local”¹².

¹⁰ Las palabras clave de estas ecuaciones de búsqueda las obtenemos del lenguaje controlado obtenido del Tesoro de la Unesco y de los Tesoros de las propias de las bases de datos. Cuando no ha sido posible encontrar términos específicos en los tesauros utilizamos el lenguaje libre.

¹¹ Ver el listado de las bases de datos en el apartado 2.2.2. Las fuentes.

¹² También aparece el adjetivo “troglodita” asociado a la vivienda excavada mediterránea (casa cueva). Sin embargo, nos parece un término inadecuado porque las viviendas aéreas también tienen su origen en la Prehistoria y no se las califica de trogloditas. Por tanto, entendemos que este término no representa a la vivienda mediterránea. Además, en el caso concreto de España encontramos el adjetivo “popular” (perteneciente o relativo al pueblo). Entendemos que es similar a local, aunque específica que el territorio es el pueblo. Por este motivo, la tendremos en cuenta solo en las búsquedas en idioma español.

Si nos remitimos a sus definiciones en la RAE¹³, podemos apreciar que son términos similares y que cualifican a la vivienda mediterránea:

- “tradicional” (adj. *que sigue las ideas, normas o costumbres del pasado*),
- “vernácula” (adj. *doméstico, nativo, de la casa o país propios*) y
- “local” (adj. *perteneciente o relativo a un territorio, a una comarca o a un país*).

El adjetivo “tradicional” remite al pasado como espacio histórico, sin detallar si ese pasado es originario o depende de la memoria de los habitantes. En los textos donde encontramos el término “arquitectura tradicional”, entendemos que designa a la arquitectura que actualmente se sigue utilizando y cuyo origen no se recuerda.

El adjetivo “local” menciona únicamente al territorio, sin detallar el espacio histórico al cual pertenece. Los estudios que utilizan este término identifican la vivienda con un lenguaje constructivo repetido en un lugar concreto.

El tercer adjetivo “vernácula” hace referencia tanto al espacio histórico como al territorio, y especifica que el origen está justo en ese territorio. Al aplicarlo a la vivienda, entendemos que el origen de la vivienda se encuentra en el Mediterráneo.

En cuanto a la información que ofrecen los tesauros sobre estas tres palabras, encontramos que solo aparece el término “tradicional” y no localizamos los términos “vernácula” o “local” asociados a la arquitectura.

A priori, buscamos delimitar en las fuentes escritas el origen de la vivienda porque aún no está definido en la actualidad. Por ello, utilizamos los adjetivos “tradicional”, “vernáculo” y “local” como descriptores en las bases de datos.

¹³ Real academia de la lengua española (RAE). <https://dle.rae.es/>

Ecuaciones de búsqueda:

Para la historia del Mediterráneo definimos una ecuación de búsqueda generalista para realizar un mapeo bibliográfico superficial cuantitativo:

$$\text{Ecuación de búsqueda: } TS = ((\text{histor}^*) \text{ AND } (\text{mediterranean}^*))$$

Para la arquitectura mediterránea establecimos una ecuación de búsqueda inclusiva en la que aparecieran todos los términos en el título o en el resumen:

$$TS = ((\text{arquitect}^*) \text{ OR } (\text{architect}^*)) \text{ AND } ((\text{tradición}^*) \text{ OR } (\text{tradition}^*) \\ \text{OR } (\text{vernacula}^*) \text{ OR } (\text{local})) \text{ AND } (\text{mediterranean}^*)$$

Para la vivienda mediterránea utilizamos una ecuación de búsqueda literal y específica, puesto que lo que realmente buscamos es la existencia de estudios específicos sobre la vivienda mediterránea:

$$TI = ((\text{house}^*) \text{ OR } (\text{viviend}^*) \text{ OR } (\text{residenti}^*) \text{ OR } (\text{residenci}^*)) \text{ AND } (\text{mediterranean}^*)$$

Todas las ecuaciones de búsqueda se han escrito en inglés, español, árabe, turco, hebreo, griego, francés, italiano y alemán.

3.1.2. Métricas de las búsquedas.

El primer muestreo, de temática generalista, lo realizamos en la base de datos de Web of Science con esta ecuación de búsqueda: $TS = ((\text{histor}^*) \text{ AND } (\text{mediterranean}^*))$.

Algo que nos sorprendió, antes de aplicar el filtrado de los resultados, fue el elevado número de publicaciones de la rama de las ciencias de la salud, que además conforman más del 85% de todas las publicaciones (Fig. 3). Las publicaciones con el área de conocimiento de historia suponen solo un 13% sobre el total de los resultados para la historia mediterránea.

Ecuación de búsqueda: TS= ((histor*) AND (mediterran*))



Fig. 3. Gráfica con la métrica de los resultados sin filtros. Web of Science.

También nos llamó la atención que los idiomas de las publicaciones más utilizados son el inglés, el francés, el español y el alemán. Esto nos lleva a plantearnos una cuestión, ¿hay pocos estudios académicos realizados en idiomas no europeos?

En este punto, relanzamos la búsqueda, pero esta vez utilizando el buscador académico Google Scholar. Seleccionamos como ecuación de búsqueda: *historia mediterránea*¹⁴ en diferentes idiomas sin aplicar filtros de área de conocimiento. Además, para la traducción de los términos de búsqueda, utilizamos la herramienta complementaria en su versión en línea Google Traductor. Estos son los resultados que obtuvimos (Fig. 4):

¹⁴ mediterranean history; historia mediterráneo; histoire méditerranéenn; akdeniz tarihi; storia mediterranea; mediterrane geschichte; história mediterrânea; 地中海历史; средиземноморская история; 地中海歴史; μεσογειακή ιστορία; mediteranska povijest; 地中海の歴史; istoria mediteraneana; mediteranska istorija; mediterrane geschiedenis; медитеранска историја; sredozemska zgodovina; התוכן הים של היסטוריה; مديترانه تاريخ; historia śródziemnomorska; sredomorská história; středomořská historie; تاريخ المتوسط الأبيض البحر; l-istorja tal-Mediterran; भूमध्यसागरीय इतिहास; medelhavshistoria; Урта дингез тарихы

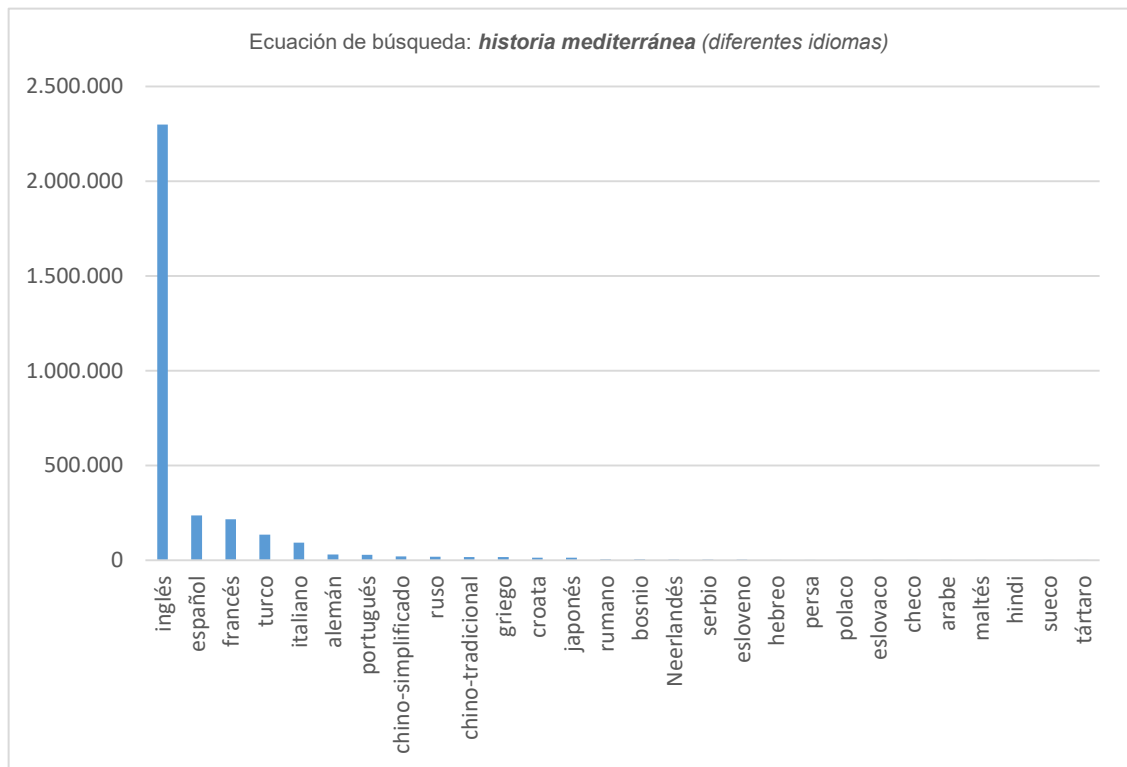


Fig. 4. Gráfica con la métrica de los resultados sin filtros. Google Scholar.

La diferencia de resultados en los diferentes idiomas, respecto al inglés, es significativa (Fig.4). Por ejemplo, los resultados aproximados en inglés son 2.300.000, en español son 236.000, en turco son 135.000, en griego son 16.100, en hebreo son 1.560 y en maltés son 136.

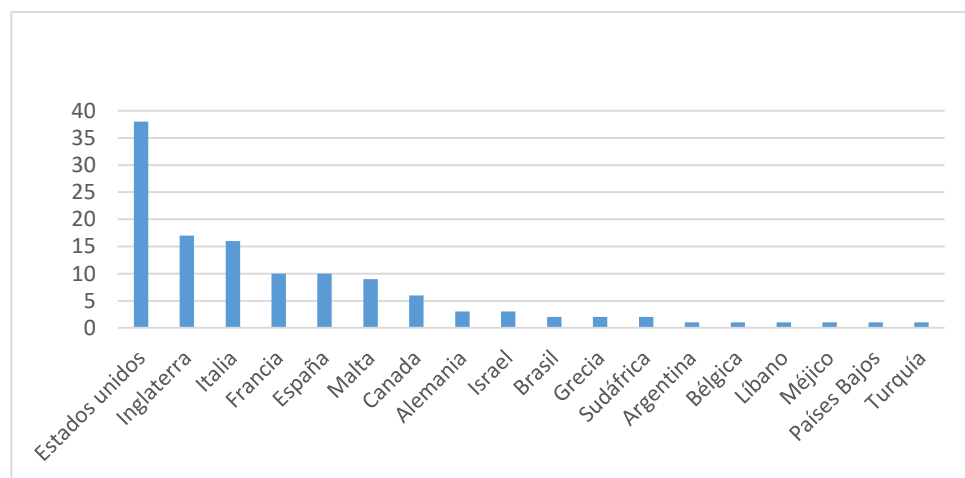


Fig. 5. Países de las publicaciones: historia del Mediterráneo. Web of Science.

Si cruzamos los datos de las métricas obtenidas en Google Scholar¹⁵ (Fig. 4) con las métricas de la base de datos de Web of Science, aplicando el criterio de filtrado de área de conocimiento (Fig. 6), vemos que existen incoherencias en el caso de Turquía y de Grecia, pero no en el caso de Israel¹⁶.

Como conclusión de estas métricas de idiomas y países, entendemos que, para la revisión del segundo muestreo, hay que añadir bases de datos específicas turcas y griegas al listado inicial de bases de datos (generalistas + específicas de historia del arte). Para el resto de idiomas minoritarios, utilizamos Google Scholar.

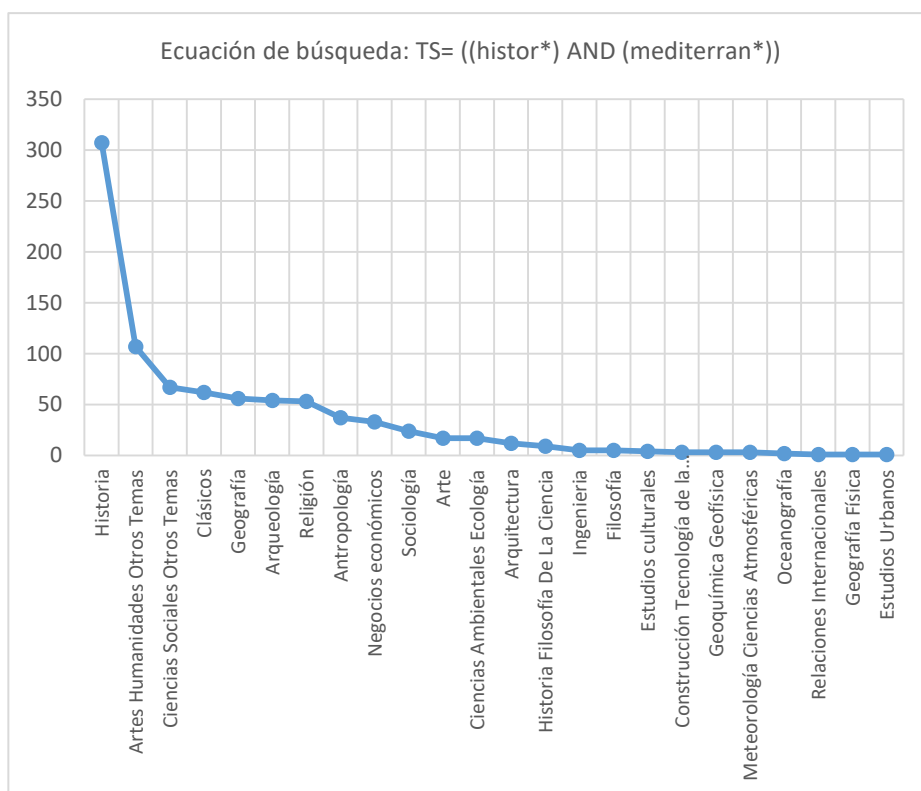


Fig. 6. Áreas de Investigación: Arte y Humanidades o ramas afines. Web of Science.

¹⁵ A los resultados de Google Scholar (Fig. 4) no les podemos aplicar filtros por áreas de conocimiento y, por tanto, si tenemos en cuenta las proporciones de los datos obtenidos en Web of Science (Fig. 6), probablemente el 85% de los resultados obtenidos en Google Scholar son de la rama de las ciencias de la salud.

¹⁶ Estos tres países utilizan un sistema de escritura oficial diferente al alfabeto latino. Sin embargo, no vamos a entrar a valorar este aspecto. Si bien para viajar por estos países ha sido necesario estudiar griego, hebreo y árabe para poder desplazarme en las zonas no turísticas, el problema del idioma es generalizado para leer todos los textos académicos que existen en los diversos idiomas.

Siguiendo con las métricas de los resultados, vemos que existen varias áreas de conocimiento que toman la región Mediterránea como objeto de estudio (Fig. 7). Conviene precisar que, aunque la literatura sobre la historia es la que vamos a revisar, en estos resultados encontramos estudios de disciplinas afines, como es el caso de la antropología, la geografía o la sociología, que pueden aportar elementos significativos a la hora de definir la vivienda.

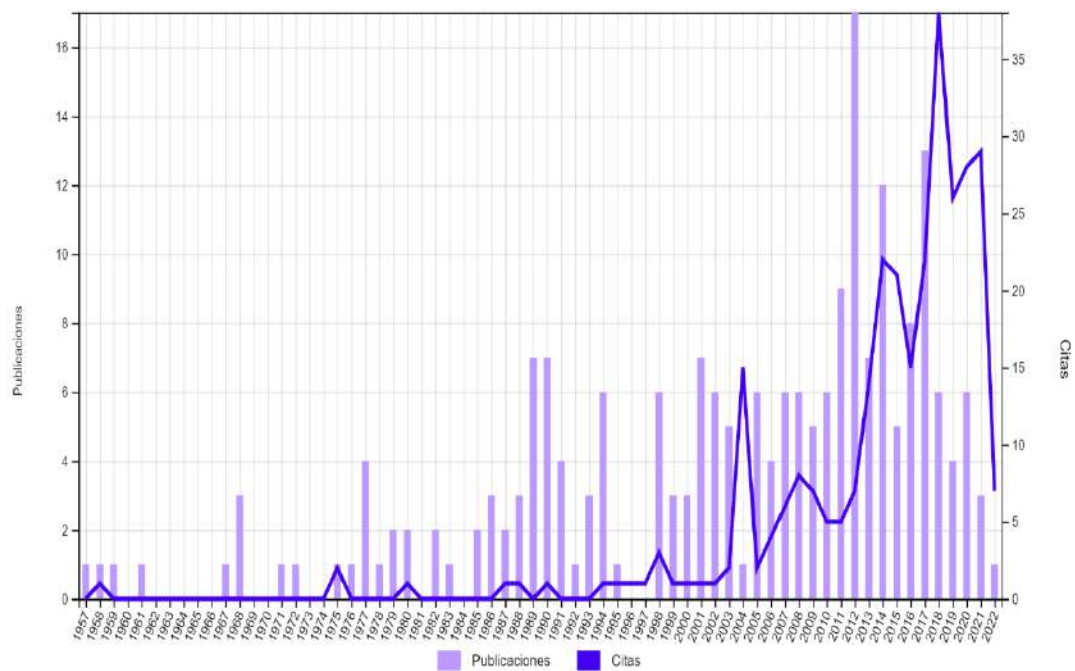


Fig. 7. Área de Investigación: historia del Mediterráneo. Años: 1957-2022. Web of Science.

Además, el interés por referenciar los estudios realizados sobre el concepto de Mediterráneo o la región mediterránea ha crecido exponencialmente en los últimos años (Fig. 7). Esto implica que tendremos que revisar cómo afecta el concepto de Mediterráneo a la definición de la casa mediterránea.

A continuación, mostramos los resultados del mapeo bibliográfico.

3.1.3.La historia del Mediterráneo.

En esta primera parte nos centramos en la casa mediterránea, en su espacio histórico y su espacio físico o, lo que es lo mismo, desde el conjunto y desde la persona que la habita.

3.1.3.1 Contexto histórico: Braudel - Horden y Purcell – Abulafia.

Fernand Braudel nos ofrece en 1945 una primera visión global con su Tesis Doctoral: *El Mediterráneo en tiempos de Felipe II*¹⁷, enfocada desde el hombre y el espacio según las teorías de Friedrich Ratzel¹⁸. Posteriormente, la da por concluida en 1966 en *El Mediterráneo*¹⁹, a pesar de los varios detractores que critican su obra por su rechazo hacia el Marxismo, el tradicional positivismo y el economicismo frente al capitalismo²⁰.

La historia del Mediterráneo que nos muestra Braudel en su última publicación de 1985: *El Mediterráneo. El espacio y la historia*²¹ es una historia de unidad en la que se entremezclan y conviven una *encrucijada de paisajes geográficos* y civilizaciones²². Por otra parte, destaca tres comunidades culturales: *Occidente (la Romanidad)*, el *Islam* y el *Universo griego*. Las tres comunidades conviven entre sí y en ellas sobreviven todas las civilizaciones²³. Esta es su teoría para explicar que encontremos *el mundo romano en el Líbano, la prehistoria en Cerdeña, las ciudades griegas en Sicilia, la presencia árabe en España o el Islam turco en Yugoslavia*²⁴.

En el año 2000, se publica el trabajo de Peregrine Horden y Nicholas Purcell titulado *The corrupting Sea: A study of Mediterranean*²⁵ con un nuevo enfoque basado en las interacciones y en cuatro *microecologías aisladas* que definen lugares. Además, seleccionan estas microecologías a partir de la *descripción geográfica histórica* (el valle del Líbano Bekaa, la Etruria del sur en la Península Itálica, la región de Libia Cirenaica

¹⁷ Fernand Braudel. *El Mediterráneo y el mundo mediterráneo en la época de Felipe II*. México, D.F.: Fondo de Cultura Económica, 1953.

¹⁸ Emiliano Canto Mayén. "Un texto en tres duraciones: Braudel y El Mediterráneo". *Temas antropológicos: Revista científica de investigaciones regionales*, 34,2 (2012), p. 156.

¹⁹ Versión en español: Braudel, Fernand. *El mediterráneo. El espacio y la historia*. México, D. F.: Fondo de Cultura Económica, 1989.

²⁰ Felipe Ruiz Martín. "Fernand Braudel". *Revista de Historia Económica*, 4.1 (1986), p. 162.

²¹ Fernand Braudel, *op. cit.*

²² *Ibid.*, pp. 8–10.

²³ *Ibid.*, pp. 141–144.

²⁴ *Ibid.*, p. 8.

²⁵ Peregrine Horden y Nicholas Purcell. *The corrupting sea: a study of Mediterranean history*. Oxford (U.K.): Malden, Mass, Blackwell, 2000.

y la isla de Milos en el mar Egeo). El espacio físico está delimitado por la línea de costa y la vegetación asociada al clima mediterráneo.

La mayor ruptura de Horden y Purcell respecto a Braudel es el contexto histórico que definen: el mar Mediterráneo es un *mar imaginario* que se divide en un *mundo clásico*, un *mediterráneo romántico* y un *mediterráneo erudito*. Además, su publicación recoge una recopilación muy completa de fuentes escritas relacionadas con la historia del mediterráneo, aunque destacan a cuatro autores: Mikhail Rostovtzeff, Henri Pirenne, Shlomo Dov Gpitein y Fernand Braudel.

Este nuevo enfoque de Horden y Purcell supuso un punto de inflexión que implicó que los investigadores ya no estudiaran focos individuales junto al mar, sino que empezasen a buscar interacciones entre ellos²⁶.

En el año 2014, catorce años después de la publicación de *The Corrupting Sea*, Peregrine Horden junto a Sharon Kinoshita publican *A Companion to Mediterranean History*²⁷ donde analizan si existen parámetros que definen el Mediterráneo como región o no, desde múltiples disciplinas como la historia, el arte, la arqueología, la literatura o la antropología.

Mantienen las microrregiones aisladas conectadas por el Mediterráneo y presentan las reflexiones de varios investigadores a los que se les pidió de forma expresa que buscaran la confrontación con las categorías preestablecidas y las conexiones.

Hay que destacar dos intervenciones en el capítulo *Asentamiento y Sociedad*. La de John Bintliff recoge sus estudios sobre la evolución de la propiedad privada en la Prehistoria hasta las civilizaciones griega y romana, diferenciando entre pueblo/caserío, ciudad o granja²⁸. La de Valerie Ramseyer completa los tipos de asentamientos de Bintliff con la tipología de *viviendas cueva* (y como estas evolucionan *desde la Prehistoria*, cuando se usaban con *finés funerarios o religiosos*, hasta hoy que se utilizan como viviendas). Estas

²⁶ Mariam Rosser-Owen. "Mediterraneanism: how to incorporate Islamic art into an emerging field". *Journal of Art Historiography*, 6 (2012).

²⁷ Peregrine Horden y Sharon Kinoshita. *A Companion to Mediterranean History*. Vol. 20. Hoboken, NJ: John Wiley & Sons, 2014. <https://doi.org/10.1002/9781118519356>

²⁸ J. L. Bintliff. "Settlement patterns, land tenure and social structure: a diachronic model". *Ranking, Resource and Exchange: Aspects of the archaeology of early European Society*, (1982), p. 107.

intervenciones, aunque no definen a la vivienda mediterránea, sí que muestran que existen realidades constructivas diferentes en la región.

También es conveniente distinguir la intervención de Cecily J. Hildsdale con sus reflexiones sobre la *cultura visual*, donde destaca que existen *culturas visuales que son fácilmente identificables* (por ejemplo el arte griego) y otras que dependen de un *marco taxonómico y teológico* (por ejemplo el arte bizantino o el arte Islámico²⁹). De hecho, indica que existe una relación entre *las diversidades locales* que suponen *fragmentación y conectividad*³⁰.

Otro autor a tener en cuenta es David Abulafia que al inicio de su investigación describe el Mediterráneo³¹ como un lugar donde se interrelacionan cuestiones políticas, económicas, sociales, culturales y religiosas³², al adoptar como base las teorías Braudalianas. Tras varios años de estudio, culmina en el año 2011 con *El Gran Mar. Una historia humana del Mediterráneo*³³, aunque inmediatamente es criticado por ofrecer una visión parcial de acontecimientos y por excluir de su estudio el interior de la región mediterránea centrándose solo en la costa³⁴.

Abulafia en *El Gran Mar*³⁵ muestra una región costera llena de diversidad³⁶ donde se desarrolla una zona única comercial, cultural y política, y que está dividida en cinco períodos marcados por hechos concretos: año 1200 a. C. (la caída de Troya), año 500 d. C. (el fin del Imperio Romano), año 1347 d. C. (el fin de la peste negra), año 1896 d. C. (la apertura del canal de Suez) y la segunda mitad del siglo XX (la nueva identidad)³⁷. Su teoría explica una historia costera de *ciudades portuarias de lealtades políticas muy*

²⁹ Peregrine Horden y Sharon Kinoshita, *op. cit.*, p. 302.

³⁰ *Ibid.*, p. 307.

³¹ David Abulafia. *El Mediterráneo en la historia*. Londres: Thames & Hudson, 2003.

³² Víctor Muñoz Gómez. “Una historia del Mediterráneo antes del Mediterráneo de Braudel”. *Revista de historia Jerónimo Zurita*, 93 (2018), 254. Obtenido en: <https://ifc.dpz.es/recursos/publicaciones/37/46/11libros.pdf> [Fecha de acceso: 16/02/2022]

³³ David Abulafia. *The Great Sea: A Human History of the Mediterranean*. New York: Oxford University Press, 2011.

³⁴ Javier Lion Bustillo. “Abulafia, David, El gran mar. Una Historia humana del Mediterráneo. Barcelona, Crítica, 2013, 794 pp”. *Historia Actual Online*, 39 (2016), pp.167-168.

³⁵ David Abulafia, *op. cit.*

³⁶ *Ibid.*, pp. 649–650.

³⁷ *Ibid.*, pp. 11, 232–240.

*diversas en las que comerciantes y colonizadores de todo el mar y de mucho más se reunieron e interactuaron*³⁸.

Además de publicaciones globales que ofrecen una explicación conjunta del Mediterráneo desde la Prehistoria hasta la actualidad, también encontramos otras que aportan otros puntos de vista, aunque son más modestas.

La historia a partir de las ciudades

Mary Bacharova se centra en la memoria y en la identidad cultural y muestra un Mediterráneo con *ciudades caídas* que son un recuerdo de *la tradición mediterránea*³⁹.

Por otro lado, Joseph John Viscomy nos describe un Mediterráneo con *ciudades portuarias* que pertenecen a los Estados-nación. Además, se cuestiona si es posible o no exponer *macrohistorias* a partir de *microfenómenos*⁴⁰.

En realidad, encontramos numerosas publicaciones que reúnen microestudios dentro de un contexto mediterráneo. Es el caso de Aneilya Barnes y Mariarosaria Salerno, que reúnen diversos ensayos de diferentes disciplinas (historia, antropología, historia del arte, literatura o filosofía, por nombrar algunas) para demostrar como las comunidades mediterráneas han captado y asimilado *símbolos (reconocibles visualmente)* entre ellas⁴¹.

Interacciones e intercambios:

John A. Marino, tras deliberar sobre la metodología adecuada para estudiar la historia del Mediterráneo, llega a la conclusión de que en el interior de la región existen estructuras que cambian a lo largo del tiempo y que interactúan (entre ellas y con estructuras exteriores⁴²).

³⁸ *Ibid.*, p. 650.

³⁹ Mary R. Bachvarova y otros. *The Fall of Cities in the Mediterranean: Commemoration in Literature, Folk-Song, and Liturgy*. Cambridge: Cambridge University Press, 2016. <https://doi.org/10.1017/CBO9781139424387>

⁴⁰ Joseph John Viscomi. "On Perspective and Possibility in Mediterranean History". *The Historical Journal*, 65.3 (2021), pp. 1-5. <https://doi.org/10.1017/S0018246X21000558>

⁴¹ Aneilya Barnes y Mariarosaria Salerno. *Symbols and Models in the Mediterranean: Perceiving through Cultures*. Newcastle upon Tyne: Cambridge Scholars Publishing, 2017.

⁴² John A. Marino. "Mediterranean Studies and the Remaking of Pre-Modern Europe". *Journal of Early Modern History*, 15.5 (2011), pp. 385-412.

En la misma línea, Monique O'Connell y Eric R. Durstel indican que encontramos *estructuras* a lo largo del Mediterráneo (como los templos griegos) porque *existen el comercio, las fronteras y las conexiones*⁴³.

Más atrevida respecto a las dos anteriores, es la teoría de José Bermejo. Este, lo primero que hace es definir una metodología basada en el *espacio histórico*, los *espacios de entendimientos*, los *espacios objetuales* y la *imaginación histórica*. A continuación, divide la historia en cuatro edades marcadas por las contraposiciones: la Antigüedad (*territorio ocupado - territorio de caza y espacio civilizado - territorios bárbaros*), las Edades Media y Moderna (*Cristiandad – Islam*), la Edad Contemporánea (*Europa – resto del mundo*) y la Actualidad (*Primer mundo – Tercer mundo*)⁴⁴.

Respecto a las interacciones históricas, Robert Ousterhout y D. Fairchild Ruggles formulan su trabajo comparando el actual contexto de globalización de división étnica y religiosa con el que hubo en el Mediterráneo medieval. Para ello, se basan en las interacciones históricas y en los prejuicios históricos⁴⁵.

También encontramos la historia del Mediterráneo desde el intercambio comercial. Para Colum Hourihane, la compraventa del marfil (como producto de lujo) demuestra que los intercambios artísticos se producen por el intercambio comercial⁴⁶. Una teoría que también desarrolla David Knipp⁴⁷.

Con otro punto de vista, Rosamond E. Mack y Denis Mack Smith afirman que el papel del comercio es crucial y motivo de ruptura para las identidades. Lo ilustran con la ruptura irreparable que se da entre Oriente y Occidente por el comercio internacional de artículos de lujo y ponen como ejemplo las diferencias entre *el Bazaar y la Piazza*⁴⁸.

⁴³ Monique O'Connell y Eric R. Dursteler. *The Mediterranean World: From the Fall of Rome to the Rise of Napoleon*. Baltimore: Johns Hopkins University Press, 2016.

⁴⁴ José Carlos Bermejo Barrera. "Sobre las dimensiones significativas del espacio". En: *Los límites de la tierra: El espacio geográfico en las culturas Mediterráneas*. Madrid: Ediciones clásicas S.A., 1998, pp. 1-22.

⁴⁵ Robert Ousterhout y D. Fairchild Ruggles. "Encounters with Islam: The Medieval Mediterranean Experience Art, Material Culture, and Cultural Interchange". *Gesta*, 43.2 (2004), pp. 83-85. <https://doi.org/10.2307/25067096>

⁴⁶ Colum Hourihane. *Interactions: Artistic Interchange between the Eastern and Western Worlds in the Medieval Period*. Princeton: Princeton University y Penn State University Press, 2007.

⁴⁷ David Knipp. *Siculo-Arabic Ivories and Islamic Painting 1100–1300*. Munich: Hirmer Verlag, 2011.

⁴⁸ Rosamond E. Mack y Denis Mack Smith. *Bazaar to Piazza: Islamic trade and Italian art, 1300-1600*. Berkeley: Univ. of California Press, 2002.

En lugar de centrarse en el intercambio que se produce, Linda Safran se centra en la huella que queda tras ese intercambio. Con el ejemplo del Salento medieval, nos muestra a sus habitantes (que hablan latín, griego y otras lenguas vernáculas) y su *cultura visual*, que está formada por las huellas que estos habitantes dejaron: pinturas murales, inscripciones, lápidas y prácticas religiosas. Con la información procedente de la historia del arte, la arqueología, la antropología y la etnografía, Safran define *la cultura colectiva* y, con ella, *la identidad de Salento*⁴⁹.

Colonizador-colonizado.

María Georgopoulou establece paralelismos en la relación poscolonial que se da entre el colonizador y el colonizado en los últimos 50 años en toda la región Mediterránea, como ocurrió entre *Venecia* y la *herencia bizantina*⁵⁰.

3.1.3.2 Medio físico.

Alfred Thomas Grove y Oliver Rackham abordan el paisaje mediterráneo porque es el resultado de los ecosistemas, del impacto del fuego o de la construcción de terrazas. Toma como punto de vista la subsistencia del hombre⁵¹.

Rural.

Sharon E.J. Gerstel estudia el Mediterráneo a través de los paisajes rurales para reconstruir la vida rural del Bizancio tardío en las aldeas Griegas⁵².

Cartografía

En las actas del coloquio de 2001, William V. Harris destaca la visión panorámica que ofrece del Mediterráneo, utilizando la cartografía asociada a las disciplinas de historia y antropología⁵³.

⁴⁹ Linda Safran. *The Medieval Salento: Art and Identity in Southern Italy*. Philadelphia: University of Pennsylvania Press, 2014.

⁵⁰ Maria Georgopoulou. *Venice's Mediterranean colonies: architecture and urbanism*. Cambridge: University Press Cambridge, 2001.

⁵¹ Alfred Thomas Grove y Oliver Rackham. *The Nature of Mediterranean Europe: An Ecological History*. London: Yale University Press, 2003.

⁵² Sharon EJ Gerstel. *Rural Lives and Landscapes in Late Byzantium: Art, Archaeology, and Ethnography*. Cambridge: University Press, 2015.

⁵³ William V. Harris (ed.). *Rethinking the Mediterranean*. Oxford [N.Y.]: Oxford University Press, 2005.

Esta cartografía es la fuente principal de Michael Greenhalgh, porque con ella define las rutas que pueden tomar los viajeros. De hecho, utiliza estas rutas para dividir el Mediterráneo en regiones y monumentos, y para demostrar como se destruyó el paisaje clásico en los siglos XIX y XX con el mercado de las antigüedades y del lujo⁵⁴.

Estableciendo otro punto de vista, Tarek Kahlaoui sostiene que el Mediterráneo *no es un espacio cultural unificado* ni en la antigüedad clásica, ni en la modernidad occidental. Sostiene que los geógrafos islámicos crean el concepto de Mediterráneo, y lo argumenta con la cartografía⁵⁵.

3.1.3.3 Concepto de Mediterráneo.

Aunque el objeto de estudio de esta tesis no es analizar si existe o no el concepto de Mediterráneo, creemos que es necesario hacer referencia a las posturas sobre este tema en la historiografía.

Según Pedro Miguel Jiménez Vicario y Micaela Antonucci en el año 1911 empiezan a aparecer los primeros términos de *Mediterraneidad*. Y, por este motivo, comienza a estudiarse la *arquitectura popular* como antesala del *racionalismo italiano* (basado en la *arquitectura tradicional* frente a *arquitectura colonial*)⁵⁶.

Brian Catlos y Sharon Kinoshita nos muestran, de forma explícita, lo que no es el Mediterráneo. Para ellos, no es un conjunto de naciones, etnias o culturas diferentes⁵⁷.

Por el contrario, Mariam Rosser Owen no se centra en la negación, sino en la reflexión sobre los métodos utilizados para definir el *Mediterraneismo*. Primero realiza una revisión exhaustiva de la literatura generada desde el año 2010 para posteriormente llegar a la conclusión de que es necesario aplicar tres enfoques: la *interdisciplinarietà* (por las transferencias culturales, políticas, religiosas, ... que se dan), *la existencia de lo híbrido*

⁵⁴ Michael Greenhalgh. *Constantinople to Córdoba: Dismantling ancient architecture in the east, North Africa and Islamic Spain*. Leiden: Brill, 2012.

⁵⁵ Tarek Kahlaoui. *Creating the Mediterranean: Maps and the Islamic Imagination*. Leiden: Brill, 2018.

⁵⁶ Pedro Miguel Jiménez-Vicario y Micaela Antonucci. "El despertar de la arquitectura moderna a orillas del Mediterráneo: debate y controversia en los contextos de Italia y España". *Ra. Revista de Arquitectura*. 18, (2016), pp. 41-52. <https://doi.org/10.15581/014.18.41-52>

⁵⁷ Brian A. Catlos y Sharon Kinoshita. *Can We Talk Mediterranean? Conversations on an Emerging Field in Medieval and Early Modern Studies*, Springer. Cham: Springer International Publishing, 2017.

(para designar a todo aquello que se sale de la norma) y la *transdisciplinariedad* (para crear nuevos temas aislados desde la naturaleza de los múltiples vínculos que existen, o dicho de otro modo, evitar hablar de la Italia medieval y la Túnez medieval). Además, hace un énfasis especial en abordar el Mediterráneo desde el *intercambio cultural* para entender los *problemas geopolíticos contemporáneos*⁵⁸.

3.1.4. La arquitectura y la vivienda en el Mediterráneo.

En esta segunda parte vamos a centrarnos en la casa mediterránea construida desde la unidad y desde la persona que la habita.

3.1.4.1 Estudios generales.

Cuando buscamos investigaciones que traten la arquitectura en el contexto general del Mediterráneo, nos encontramos con algunas que profundizan sobre culturas concretas. Por ejemplo, según Helena Jiménez⁵⁹ existen ciertos hábitos que se reflejan en los restos de las viviendas púnicas (fenicias), que se repiten por todo el Mediterráneo Central y Occidental (sobre todo en las casas tipo justicia y tipo corredor).

Si el tema de investigación incluye los conceptos: “tradicional” o “vernácula” o “local”, el número de publicaciones crece de manera exponencial.

Tomando como ejemplo Argelia, NE Karabag y N Fellahi exponen que la tradición constructiva vernácula se desarrolla para dar respuesta al clima, a la topografía y al estilo de vida, al igual que ocurre en todo el Mediterráneo. Además, señalan que la vivienda mediterránea actual depende del hormigón y se aleja de la variedad constructiva del país⁶⁰.

En el espacio mediterráneo portugués, según Víctor Mestre, a la población no le importa la arquitectura tradicional y la cambia por la arquitectura contemporánea del hormigón

⁵⁸ Mariam Rosser-Owen, art. cit.

⁵⁹ Helena Jiménez Vialás y Fernando Prados Martínez. “Espacio doméstico y estructura social en contextos púnicos”. En: Gutiérrez Lloret, Sonia y Grau Mira, Ignasi. *De la estructura doméstica al espacio social: Lecturas arqueológicas del uso social del espacio*. Raspeig: Publicaciones de la Universidad de Alicante, 2013, pp. 111-126.

⁶⁰ N. Ebru Karabag y Nadjla Fellahi. “Learning from Casbah of Algiers for More Sustainable Environment”. En: *Congreso Climamed 2017 - Mediterranean Conference of Hvac Historical Buildings Retrofit in the Mediterranean Area*. Amsterdam: Elsevier Science Bv, 2017, pp. 95-108. <https://doi.org/10.1016/j.egypro.2017.09.376>

sin pesar. Las causas principales de este cambio son la emigración a las nuevas ciudades y los problemas económicos de los que se quedan⁶¹.

En el polo opuesto tenemos a la población griega de Sirako, un pueblo de montaña, a la que sí le importa la *arquitectura tradicional*, que considera un bien público que hay que proteger (y está a favor de pagar por ello), tal y como nos explica Giannakopoulou⁶².

3.1.4.2 Arquitectura Moderna y Contemporánea.

Existen varias publicaciones que definen la “arquitectura vernácula mediterránea” como base para la arquitectura moderna y contemporánea.

Para Lindsay Harris, las características tectónicas comunes en el Mediterráneo son los techos planos, las escaleras exteriores o las fachadas planas. Y las cualidades arquitectónicas de la región son la sencillez, la armonía y el orden matemático. Para Harris, este ideal mediterráneo lo utilizan tanto los arquitectos mediterráneos que trabajan en su lugar de origen, como los arquitectos extranjeros que también trabajan en la región mediterránea⁶³.

Sin embargo, Ashraf Salama, tomando como ejemplo Egipto, cuestiona *el revivalismo histórico* porque cualquier país del Mediterráneo es el resultado de una amalgama de influencias que impide describir una *arquitectura vernácula*. Para Salama, la arquitectura contemporánea egipcia es el resultado de las tendencias arquitectónicas heredadas a lo largo del tiempo gracias a la posición privilegiada del país⁶⁴.

⁶¹ Victor Mestre. “Traditional construction in mediterranean Portugal”. *Apuntes: Revista de Estudios sobre Patrimonio Cultural - Journal of Cultural Heritage Studies*, 20, 2 (2007), pp. 278-285.

⁶² Stella Giannakopoulou y Dimitris Kaliampakos. “Protection of Architectural Heritage: Attitudes of Local Residents and Visitors in Sirako, Greece”. *Journal of Mountain Science*, 13.3 (2016), pp. 424-39. <https://doi.org/10.1007/s11629-015-3482-1>

⁶³ Lindsay Harris. “Modern Architecture and the Mediterranean: Vernacular Dialogues and Contested Identities”. *Journal of Design History*, 25 (2012), pp. 341-44. <https://doi.org/10.1093/jdh/eps027>

⁶⁴ Ashraf M. Salama. “Mediterranean Visual Messages: The Conundrum of Identity, Isms, and Meaning in Contemporary Egyptian Architecture”. *Archnet-Ijar International Journal of Architectural Research*, 1 (2007), pp. 86-104.

Incluso hay autores que buscan desde la inspiración, como S. O. Meier que describe como la temática mediterránea inspira a la vivienda contemporánea: una forma urbana cerrada, llamativa y con detalles figurativos⁶⁵.

También incluimos, por su repercusión, las teorías que analizan la influencia de los medios de comunicación en la percepción de la población. Un ejemplo es la de Pedro Miguel Jiménez Vicario y Micaela Antonucci, que estudian la difusión de la idea de que la *arquitectura moderna es continuación de la arquitectura vernácula mediterránea*, a través de las revistas especializadas de Italia y España⁶⁶.

Marisa García Vergara y Antonio Pizza también estudian esta influencia de los medios de comunicación, aunque con la idea de que la *arquitectura contemporánea se inspira en la arquitectura vernácula mediterránea*⁶⁷.

3.1.4.3 Tipologías: la casa patio y la vivienda turística.

La casa patio

Encontramos estudios que asocian la casa mediterránea con la casa patio.

Luis José García Pulido y Valentina Pica muestran la evolución del uso del patio interior para distribuir los espacios domésticos. Se centran en la geografía mediterránea urbana y rural para definir como es la vivienda doméstica tradicional. Además, justifican el uso del patio como elemento de diseño porque da respuesta a las necesidades ambientales y funcionales⁶⁸.

María Philokyprou, Aimilios Michael y Eleni Malaktou estudian como se incorporaron los espacios semiabiertos a la vivienda vernácula de Chipre, a través de las formas

⁶⁵ S. O. Meier. *Living in Imaginary Places: On the Creation and Consumption of Themed Residential Architecture*. Tesis Doctoral. Amsterdam: Amsterdam Institute for Social Science Research (AISSR), 2013.

⁶⁶ Pedro Miguel Jiménez-Vicario y Micaela Antonucci. "El despertar de la arquitectura moderna a orillas del Mediterráneo: debate y controversia en los contextos de Italia y España". *Ra. Revista de Arquitectura*. 18, (2016), pp. 41-52. <https://doi.org/10.15581/014.18.41-52>

⁶⁷ Marisa García Vergara y Antonio Pizza. "The Mediterranean and Modern Architecture: The Dissemination of a Myth in Architectural Media". *Journal of Architecture*, 26.8 (2021), pp. 1117-1145. <https://doi.org/10.1080/13602365.2021.1980419>

⁶⁸ Luis José García Pulido y Valentina Pica. "The traditional Mediterranean house with courtyard and its urban context". *Ricerche Di Storia Dell Arte*, 112 (2014).

arquitectónicas y el confort. Para ello, realizan una selección de viviendas según las regiones climáticas y topográficas de la isla (eligen dos: la costera y la montañosa)⁶⁹.

Para Halleh Nejadriahi y Ozgur Dincyurek, el patio es el componente principal de la vivienda mediterránea y del Medio Oriente desde hace seis mil años porque es el elemento que ayuda a lograr la privacidad. Y añaden que, por culpa de la globalización, se está perdiendo la *identidad tradicional* en los nuevos diseños arquitectónicos⁷⁰.

Para Gloria Fernández García⁷¹, la casa patio es una forma de tradición indígena y nos muestra las casas grandes de la Península Ibérica y de las aristocracias locales, anteriores a la conquista romana, con su distribución alrededor de un patio.

Casa abovedada: *dammuso*

En la Isla de Pantelleria de Sicilia, Tiziana Campisi estudia las características de la vivienda cúbica abovedada, localmente conocida con el nombre de *dammuso*, como tipología de casa vernácula mediterránea que surge para adaptarse a las condiciones extremas de viento y sol⁷².

Por otro lado, A. Spinosa, L. Veronese y S. Borea⁷³ establecen la influencia de la casa *dammuso* en la casa torre normanda excavada en roca de Maiori, y determinan que esta conserva la forma cúbica porque surge como torre defensiva.

⁶⁹ Maria Philokyrou y otros. "A Typological, Environmental and Socio-Cultural Study of Semi-Open Spaces in the Eastern Mediterranean Vernacular Architecture: The Case of Cyprus". *Frontiers of Architectural Research*, 10.3 (2021), pp. 483-501. <https://doi.org/10.1016/j.foar.2021.03.001>

⁷⁰ Halleh Nejadriahi y Ozgur Dincyurek. "Identifying Privacy Concerns on the Formation of Courtyards". *Open House International*, 40.4 (2015), pp. 18-24. <https://doi.org/10.1108/OHI-04-2015-B0004>

⁷¹ Gloria Fernández García. "La articulación del espacio doméstico en las casas de patio central. Un estudio para el Noreste peninsular ibérico entre los siglos IV - II a. C." *Arqueología de la arquitectura*, 12 (2015). <https://doi.org/10.3989/arq.arqt.2015.124>

⁷² Tiziana Campisi y Manfredi Saeli. "The dammuso: constructive characters of the traditional stone buildings of the isle of Pantelleria (Sicily)". En: *17th International Forum on World Heritage and Legacy: Culture, Creativity, Contamination*. Vol. 4. Roma: Gangemi Editore S. P. A., 2019, pp. 93-102. <http://hdl.handle.net/10447/359960>

⁷³ A. Spinosa, L. Veronese y S. Borea. "Traditional techniques and materials in the Amalfi Coast: The Norman Tower in Maiori (Sicily)". En: Mileto, C. y otros. *Vernacular Architecture: Towards a Sustainable Future*. London: CRC Press, 2019, pp. 93-102.

Con *las bóvedas catalanas*, tenemos el estudio de E López García, que analiza la influencia de esta *técnica constructiva mediterránea* en la obra de Le Corbusier, que este aprendió en sus viajes a Barcelona⁷⁴.

La vivienda turística

Tomando como ejemplo Torrox, cerca de Málaga, Pedro Pascual Lindes examina la transformación de las viviendas de los pueblos de pescadores mediterráneos en viviendas turísticas costeras, y lo hace desde el punto de vista antropológico (formas de vida ancestrales) y desde el punto de vista social (transformaciones urbanas y rurales)⁷⁵.

La construcción de la vivienda turística y de segunda residencia, según Federico Mérida Rodríguez, se identifica con un urbanismo disperso rural que se extiende a las zonas rurales mediterráneas. El autor del estudio toma como ejemplo la comarca de la Axarquía cerca de Málaga⁷⁶.

Para Sanahuja Rochera, la vivienda turística de los años setenta tiene como referencia la *arquitectura popular* para reproducir *la habitabilidad psicológica tradicional*, evitando realizar una *imitación folclórica*⁷⁷.

3.1.4.4 Bienestar: sostenibilidad y eficiencia energética.

Hay estudios que evalúan la sostenibilidad y la eficiencia energética de las “viviendas tradicionales”.

Para M Rasulo, O Ural V Abrantes y A Tadeu, existen muchas tipologías en la *arquitectura vernácula* con tecnologías originales que son sostenibles, porque son el

⁷⁴ E. López García. “The Mediterranean in the work of Le Corbusier. The Catalan Lecorbuserian vault: Influences and evolution”. En: Cuco, J. T. *Le Corbusier: 50 Años Después*. Valencia: Univ Politecnica Valencia, 2015, pp. 121-1232. <https://doi.org/10.4995/LC2015.2015.527>

⁷⁵ Pedro Pascual Lindes. *Torrox: una comunidad de pescadores que se acaba*. Tesis Doctoral. Madrid: Universidad Complutense de Madrid, 2005.

⁷⁶ Matías F. Mérida Rodríguez y otros. “Aproximación a la definición de tipologías territoriales y paisajísticas de urbanismo disperso en zonas rurales mediterráneas”. En: XXV Congreso de la Asociación de Geógrafos Españoles. *Naturaleza, territorio y ciudad en un mundo global*, 2017, pp. 2119-2127.

⁷⁷ Jaime Sanahuja Rochera. *El conjunto residencial: Santa Águeda (Benicàssim, Castellón). 1964-1975. MBM arquitectos*. Tesis Doctoral. Valencia: Politècnica de València, 2016.

resultado de adaptarse al clima. Para realizar su selección de viviendas, dividen la cuenca mediterránea en cuatro zonas climáticas: árido cálido, semiárido cálido, templado-mediterráneo y templado continental, aunque su estudio se centra solo en la costa⁷⁸.

En el caso concreto de la *arquitectura vernácula* de Ghadames en Lybia, A. Abufayed muestra las cualidades lumínicas y ambientales de las *construcciones sostenibles* de la ciudad histórica frente a las de la ciudad nueva⁷⁹.

Para las Islas Flégreas de Nápoles, M. Achenza indica que, tras estudiar las características bioclimáticas de la *cultura constructiva vernácula mediterránea*, existe la posibilidad de reutilizarlas en la arquitectura contemporánea a través del Proyecto VerSus⁸⁰.

También encontramos otros estudios que evalúan la “arquitectura tradicional” para declarar que no es eficiente energéticamente al compararla con los parámetros de bienestar actuales.

Tomando como referencia Albania, Sokol Dervishi, Frida Pashako, Xhenisa Dushaj e Ina Osmani Dervishi eligieron siete *viviendas tradicionales* construidas entre los siglos XVI y XIX, de diferentes tipologías y ubicadas en diferentes zonas climáticas dentro del país. Tras su análisis, determinan que, si se moderniza la estructura, la *vivienda tradicional* podría ser hasta un 50% más sostenible⁸¹.

En España, Teresa Blázquez de Pineda, Rafael Suárez y Juan José Sendra Salas analizan las viviendas que se edificaron antes de la normativa de 1979⁸². Concluyen que en toda la región mediterránea, en diferentes periodos, existieron muchísimas viviendas

⁷⁸ M. Rasulo. “Vernacular Architecture Related to the Climate in the Mediterranean Basin. A Lesson We Should Learn”. En: Ural, O. y otros. *Xxx Iahs World Congress on Housing, Housing Construction: An Interdisciplinary Task*. Vols 1-3. Coimbra: Wide Dreams Projectos Multimedia Lda, 2002, pp. 177-188.

⁷⁹ A. Abufayed y otros. “Urban Planning and Architecture of the Historic City of Ghadames, Libya: Lessons from the Past for Cities of the Future”. *WIT Transactions on The Built Environment*, 83 (2005). Obtenido en: <https://www.witpress.com/Secure/elibrary/papers/STR05/STR05001FU.pdf> [Fecha de acceso: 22/07/2022].

⁸⁰ M. Achenza y otros. “Vernacular heritage solutions for sustainable architecture: the Phlegraean islands”. En *International conference on vernacular heritage, sustainability and earthen architecture. Vernacular Architecture*. London: Towards a Sustainable Future, Taylor & Francis Group, 2015, p. 27-32.

⁸¹ Sokol Dervishi y otros. “Energy Performance Optimization of Traditional Housing in Mediterranean Climate”. *Journal of Building Engineering*, 45 (2022) 103423. <https://doi.org/10.1016/j.job.2021.103423>

⁸² Norma Básica de la Edificación Española: NBT-CT 79. Condiciones térmicas de edificios. Año 1979.

multifamiliares construidas en condiciones de pobreza energética, que pertenecían a personas con escasos recursos económicos y de clase social baja⁸³.

Estudiando la sostenibilidad a partir del tratamiento de la luz natural, Victoria Fustell Mascarell aborda *la relación común* que existe entre la *arquitectura vernácula hispánica mediterránea* y la *contemporánea*. Para ello, analiza los elementos captadores de luz natural (huecos y lucernarios) y los mecanismos de como se introducen en diferentes etapas⁸⁴.

En esta síntesis sobre la revisión sistemática, donde mostramos la mayoría de los patrones conceptuales, no incluimos toda la literatura consultada por claridad expositiva.

⁸³ Teresa Blázquez de Pineda y otros. "Monitoring a Pre-Normative Multi-Family Housing Case-Study in a Mediterranean Climate". *Buildings*, 7.1 (2017). <https://doi.org/10.3390/buildings7010001>

⁸⁴ Victoria Fuster Mascarell. *La luz natural en la vivienda mediterránea: Análisis del control lumínico en la vivienda contemporánea hispánica*. Tesis Doctoral. Valencia: Universitat Politècnica de València, 2016.

3.2. Mapa conceptual.

Del examen de la historiografía, obtenemos el siguiente mapa conceptual (Fig. 8):

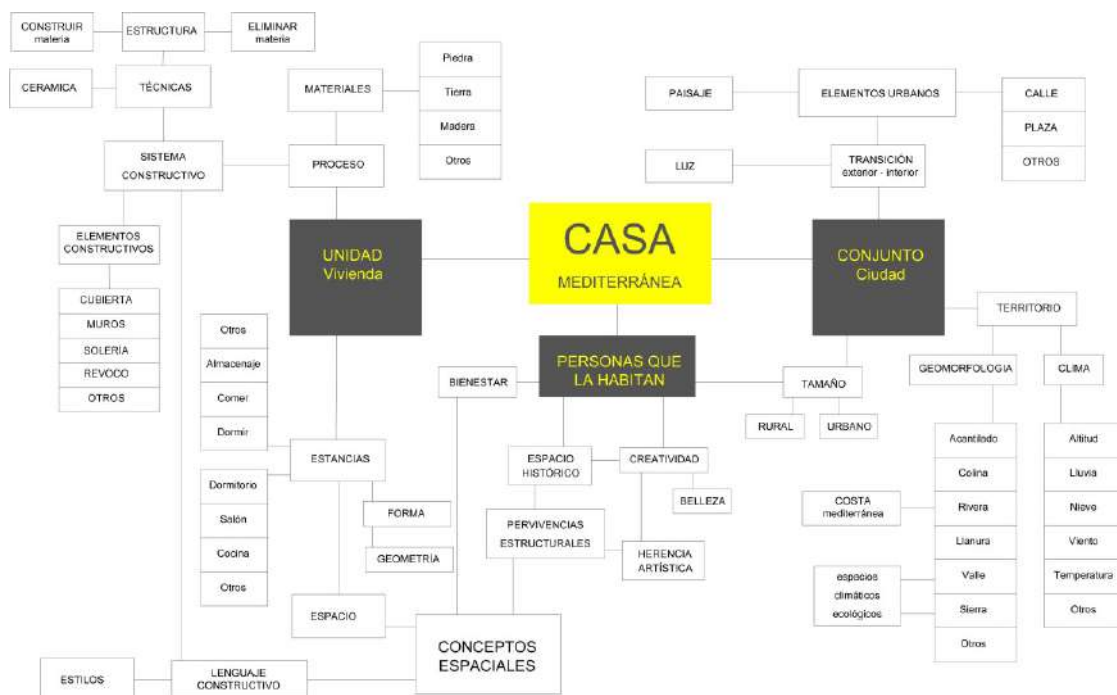


Fig. 8. Mapa conceptual de la historiografía.

Distribuimos los conceptos según los tres aspectos básicos que buscamos analizar: la vivienda como UNIDAD construida, la vivienda como parte de un CONJUNTO construido y la vivienda habitada por PERSONAS.

A continuación, mostramos una breve descripción de estos conceptos ordenados por áreas temáticas.

3.2.1. Reordenación de los conceptos por áreas temáticas.

3.2.1.1 El territorio.

El territorio es el lugar físico en el que encontramos las viviendas. Las dos características más notables que afectan al diseño espacial son la geomorfología y la climatología.

- a) La geomorfología de la región mediterránea es muy variada en sentido horizontal y vertical. Encontramos playas y valles junto con una gran variedad

de accidentes geográficos como los acantilados, las albuferas, los cerros, las colinas, los valles, las marismas, las sierras escarpadas o los volcanes, entre otros. Cabe destacar que existe una constante geomorfológica que se repite con frecuencia: la combinación sierra-valle. Observaremos esta constante en detalle para analizar como afecta a las poblaciones que se asientan en ella⁸⁵.

- b) La climatología en el Mediterráneo, a grandes rasgos, se distingue por tener cuatro estaciones en las que sobresalen los veranos secos-calurosos y los inviernos templados-lluviosos⁸⁶. Además, existe una peculiaridad climática asociada a la combinación sierra-valle, en la que encontramos diferentes altitudes que hacen que existan pequeños espacios climáticos-ecológicos⁸⁷. Encontramos repeticiones de viviendas asociadas a las repeticiones de estos espacios que examinaremos.

3.2.1.2 El tamaño de población.

El tamaño de población es un dato determinante para el desarrollo de modelos habitacionales. Para su análisis, además de los censos de población, es necesario conocer otros elementos, como las unidades administrativas, el Nomenclátor de Población o la forma de asentamiento (entidad singular o entidad colectiva). Nosotros tenemos en cuenta el modelo de la vivienda según la densidad y la tasa de urbanización, y, en consecuencia, utilizamos la variable del censo de población español para poder establecer un límite que diferencie entre población urbana (más de 10.000 habitantes) y rural (menos de 2.000 habitantes). El censo que consideramos es el contemporáneo porque nuestro objeto de estudio es la vivienda mediterránea que ha llegado hasta hoy en diferentes estados (no es posible cuantificar el número real de viviendas que estuvieron construidas en otras épocas a lo largo del tiempo).

- a) Las poblaciones rurales con pocas viviendas son importantes para definir la casa mediterránea porque encontramos un sistema constructivo que tiende a

⁸⁵ Robert Hofrichter. *El mediterráneo: fauna, flora, ecología*. Barcelona: Omega, 2004.

⁸⁶ Robin Mac Ilveen. *Fundamentals of Weather and Climate*. London: Chapman and Hall, 2010.

⁸⁷ Robert Hofrichter, *op. cit.*, p. 103.

repetirse por dos principios básicos. El primero es la función logística del proceso demográfico natural de las poblaciones que nos dice que, en las primeras etapas, el grado de urbanización crece rápidamente y, por tanto, el número de viviendas que se construyen es elevado. El segundo es una derivación del rápido crecimiento, pues para realizar viviendas con rapidez normalmente se suele utilizar un sistema constructivo conocido y fiable (porque está testado técnicamente).

- b) De las poblaciones urbanas con muchas viviendas, obtenemos los datos sobre la casa mediterránea con la dinámica y la estructura de la población. En las poblaciones estables, el proceso demográfico se ve afectado por la población de partida y por los movimientos migratorios. Sin entrar en las leyes sobre migraciones, esta combinación de personas que habitan la ciudad afecta directamente a la casa mediterránea, desde el sistema constructivo utilizado hasta los conceptos espaciales que se desarrollan en su diseño.

3.2.1.3 La transición exterior-interior.

La transición exterior-interior es un concepto fundamental para determinar la relación de la vivienda como unidad con respecto al núcleo urbano.

- a) La calle y la plaza son los dos elementos urbanos básicos de la estructura física de una población. La distribución y el tamaño de ambas están relacionadas físicamente con la geomorfología del terreno y con los elementos externos de la vivienda (como puertas o ventanas). Quizá el acceso a la vivienda es uno de los componentes más singulares de la transición exterior-interior de la vivienda.
- a) El paisaje es modificado por la construcción de la vivienda, como unidad y como conjunto. Además, nos ofrece información sobre como se establecen físicamente las personas con sus viviendas en el territorio. Desde las organizaciones mundiales se potencia el desarrollo de este tipo de temática.

Por ejemplo, la Unesco⁸⁸ tiene una clasificación en la que destacan dos tipos de paisajes: el rural y el urbano⁸⁹. Cabe recordar que, desde la perspectiva del tamaño de población, ya tenemos en cuenta los tipos rural y urbano.

3.2.1.4 La luz natural.

De la *naturaleza cuántica*⁹⁰ de la luz natural (basada en la *dualidad onda-corpúsculo*⁹¹) se obtiene su aplicación práctica sobre la materia que es la que vamos a tener en cuenta. En concreto, la percepción que tenemos a través de los sentidos para detectar la relación de la luz y su interacción con la materia⁹². En nuestro caso, esto se manifiesta con las percepciones que tenemos sobre los cambios de temperatura y la orientación espacial. Lo delimitaremos con las aperturas de luz y, por ello, observaremos su dirección (vertical, horizontal o diagonal) y la intensidad (directa o difusa). Además, constatamos en algunas viviendas el empleo de la luz como un elemento de diseño fundamental, que posiblemente esté ligado a aspectos climáticos (como las horas de sol).

3.2.1.5 El espacio histórico.

El espacio histórico es el *elemento constitutivo que hace posible la conciencia histórica*⁹³. Para conocerlo, hace falta definir los *espacios de entendimiento* (estratégicos, políticos, económicos,...) y sus interrelaciones (reales, conceptuales, imaginarias, ideales,...). Para poder formular una teoría sobre la casa mediterránea como fruto de un proceso temporal en la región, tenemos en cuenta como afecta el espacio histórico a la vivienda como

⁸⁸ Unesco. Convención sobre la Protección del Patrimonio Mundial Cultural y Natural. París, 16 de noviembre de 1972, art. 1. Registro n. 15511, 15 de marzo de 1977. Obtenido en: http://portal.unesco.org/es/ev.php-URL_ID=13055&URL_DO=DO_TOPIC&URL_SECTION=201.html [Fecha de acceso: 04/02/2022].

⁸⁹ Unesco. Tesoro de la Unesco. Grupos 4.45 Establecimientos humanos y uso de la tierra. Obtenido en: <http://vocabularies.unesco.org/thesaurus/mt4.45> [Fecha de acceso: 04/02/2022].

⁹⁰ Louis De Broglie. *Recherches sur la théorie des quanta*. Tesis Doctoral. París: Facultad de ciencias de la Univesidad de París, 1925.

⁹¹ Louis De Broglie. Op. Cit., pp.22-128.

⁹² Segio Barbero y otros. *La luz: ciencia y tecnología*. Colección divulgación 21. Madrid: Los Libros de la Catarata, 2015.

⁹³ Aurelio Pérez Jiménez y Gonzalo Cruz Andreotti. *Los límites de la tierra: el espacio geográfico en las culturas mediterráneas*. Madrid: Ediciones Clásicas, 1998.

unidad construida personal (con las decisiones que toma la persona) y como conjunto (con las interrelaciones que existen en la población donde se integra la vivienda)⁹⁴.

- a) Tenemos en cuenta las pervivencias estructurales desde el punto de vista técnico y antropológico⁹⁵. Nos centraremos en el progreso y la evolución del medio técnico desde la dualidad sierra-valle repetida, pues encontramos soluciones idénticas en poblaciones que no han tenido contacto previo. En las viviendas que seleccionemos como fuentes, tendremos en cuenta su importancia desde la invención, la difusión, la inercia técnica y la recesión.
- b) La herencia artística está a medio camino entre la creatividad y las pervivencias estructurales. Observaremos si la vivienda está más relacionada con las regiones ricas (conocidas por ser centros de civilización tecnológica) frente a las regiones con una técnica menos perfecta⁹⁶. En cualquier caso, consideraremos la influencia de la herencia artística de cada civilización y, con esta, buscaremos datos sobre la casa mediterránea desde la dinámica y la estructura de la población.

3.2.1.6 La creatividad

Analizaremos la creatividad en la vivienda, desde el punto de vista artístico⁹⁷, con la producción de elementos nuevos que parten de algo existente. Posiblemente, esta sea la responsable de las diferentes variaciones que encontramos, realizadas por la imaginación creadora dirigida por la inteligencia y la voluntad⁹⁸. Si entramos en el proceso que utiliza la imaginación para captar la realidad, a través de las sensaciones y de las percepciones, reconocemos las estancias de la casa mediterránea. Es importante indicar que la luz, al igual que la imaginación, está ligada a las sensaciones y a las percepciones, tal y como señalamos con anterioridad. Nosotros estudiaremos estos tres puntos: las sensaciones, las

⁹⁴ Larry Neal. *Historia económica mundial: desde el Paleolítico hasta el presente*. Madrid: Alianza Editorial, 2016.

⁹⁵ André Leroi-Gourhan. *El hombre y la materia: evolución técnica I*. Madrid: Taurus, 1988.

⁹⁶ André Leroi-Gourhan. Op. Ibid.

⁹⁷ Vicente Polo Maragoto. *Manual de fundamentos de filosofía*. Madrid: Tiempo, 1992 p. 294.

⁹⁸ Vicente Polo Maragoto. Ibid., pp. 123-128.

percepciones y las variaciones en las estancias de las viviendas, dado que son la parte física.

3.2.1.7 La belleza.

La belleza a lo largo de la historia se ha relacionado con la emoción y con la percepción, y se ha estudiado sobre todo a través de la estética, ligando la cosa bella (en sentido pleno) con la perfección⁹⁹. Nosotros examinaremos la parte sensorial de la belleza a través de dos de sus leyes: la organización de formas (proximidad, semejanza y continuidad) y la constancia perceptiva (formas, magnitudes y colores).

3.2.1.8 El bienestar.

El bienestar o confort es un concepto variable en el tiempo y desigual en el territorio. Tal y como indicamos en el apartado de pervivencias estructurales, está relacionado con el progreso y la evolución del medio técnico, porque coincide con la tendencia natural a mejorar que vemos en la historia. Por esta razón, vamos a estudiarlo desde dos puntos de vista:

- a) Bienestar según el conjunto de los estímulos recibidos: higrotérmicos, acústicos, lumínicos u olfativos¹⁰⁰.
- b) Bienestar según la calidad de los servicios urbanos mínimos en cada vivienda: agua potable corriente, saneamiento, residuos y energía.

No vamos a detenernos en la casuística del bienestar alcanzado según el nivel económico, dado que la evidente tendencia al progreso a lo largo de la historia hace que las desigualdades que existen ahora tiendan a desaparecer (como podemos ver en los estudios sobre las variaciones históricas existentes¹⁰¹).

⁹⁹ Vicente Polo Maragoto. *Ibidem.*, p. 255.

¹⁰⁰ Javier Neila González. *Arquitectura bioclimática en un entorno sostenible*. Arquitectura y tecnología 4. Madrid: Munilla-Leria, 2004, p. 177.

¹⁰¹ André Leroi-Gourhan. *Op. Cit.*

3.2.1.9 Los materiales.

Encontramos los materiales no transformados (como tierra, arcilla, piedra o madera) y con su composición alterada (como yeso, cal, acero, cerámica u hormigón armado). Sin embargo, en el estudio de la manipulación de estos materiales es dónde buscaremos la información útil para definir la vivienda mediterránea.

Lo haremos desde cuatro áreas: el sistema constructivo, el estilo, la geometría y las estancias.

a) El sistema constructivo.

Es difícil datar en su origen el sistema constructivo y su evolución técnica, puesto que identificamos soluciones constructivas idénticas en poblaciones que no han tenido contacto previo, y también detectamos soluciones constructivas diferentes en poblaciones con una “personalidad diferenciada” (a pesar de ser próximas entre ellas). En principio, no vamos a entrar a evaluar las diferencias porque su elevado número de matices no influye en la generalización que buscamos. Nos vamos a centrar en estudiar el sistema constructivo desde el tratamiento de la materia como estructura:

- Añadir materia implica partir de una superficie sobre la que se elevan muros para cubrir un espacio y obtener estancias. Existen distintos tipos de técnicas según los materiales empleados y las dimensiones de las estancias. Con este sistema obtenemos una vivienda cubierta o aérea.
- Eliminar materia implica partir de una masa de tierra o piedra de la que retiramos parte de ella para obtener estancias. Existen distintos tipos de técnicas según el material a eliminar y las dimensiones de las estancias. Con este sistema obtenemos una vivienda excavada o subterránea.

También consideramos las técnicas constructivas asociadas al material cerámico por tres motivos. El primero es su utilidad para datar la fecha de aplicación de la

técnica constructiva (como por ejemplo, con la *datación por rehidroxilación*¹⁰² dado que la arcilla sufre una transformación química para convertirse en cerámica). El segundo es porque, a partir del uso de las técnicas constructivas cerámicas aplicadas a la arquitectura, se desarrollan otros recursos (como el vidriado). Y el tercer motivo es por los amplios matices que encontramos relacionados con la cerámica arquitectónica, que examinaremos desde tres ángulos:

- Técnicas asociadas a un sistema estructural: ladrillo y teja.
- Técnicas asociadas a un revestimiento: baldosa, azulejo y alicatado.
- Técnicas asociadas a elementos auxiliares: brocal de pozo, tinaja o maquetas.

En cuanto al lenguaje constructivo como conjunto de elementos, utilizaremos la clasificación estándar actual¹⁰³ que define los diferentes oficios que intervienen en el proceso constructivo: cimentación, estructura, cubierta, albañilería, solados, revestimientos, instalaciones,...

b) Las estancias.

Las estancias de las viviendas, además de ser espacios físicos, son espacios funcionales. Podemos encontrar viviendas de una sola habitación con varios usos o podemos encontrar viviendas con varias habitaciones que destinan un uso diferente a cada una de ellas. Destacamos una doble diferenciación:

- La estancia con un uso específico: dormitorio, salón, cocina, baño, terraza, cuadra, cochera,...
- Los usos funcionales de las estancias: dormir, comer, estar, cocinar, limpieza, almacenaje,...

¹⁰² Moira A. Wilson y otros. "Rehydroxylation (RHX) dating of archaeological pottery". *Proceedings of the Royal Society A: Mathematical, Physical and Engineering Sciences*, 468.2147 (2012), pp. 3476-3493. <https://doi.org/10.1098/rspa.2012.0109>

¹⁰³CSAE. Referencia precios de la construcción año 2019. Obtenido en: <http://www.cscae.com/index.php/conoce-cscae/area-tecnica> [Fecha de acceso: 22/07/2022].

c) El estilo.

Con el concepto de estilo hacemos referencia a la amplia variedad de corrientes artísticas¹⁰⁴, como por ejemplo, el arte egipcio, el arte fenicio, el arte bizantino, el arte islámico, el arte gótico, el arte del renacimiento, el arte ecléctico, o el arte minimalista, por nombrar algunos. Cada estilo artístico, en el caso de la arquitectura, suele llevar asociado un lenguaje constructivo característico. Nosotros nos centraremos en este lenguaje, y en concreto observaremos sus características y su unicidad.

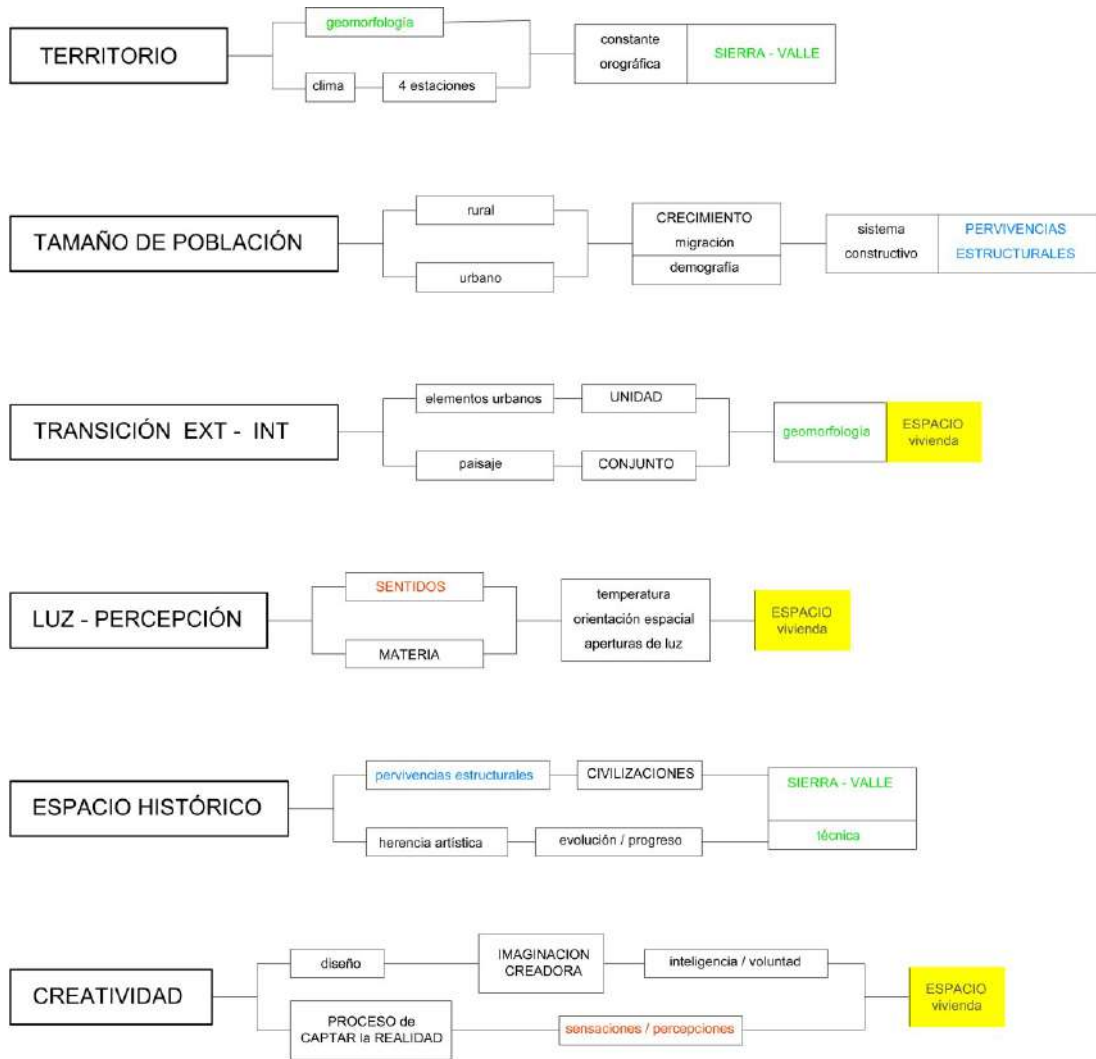
d) La geometría.

La geometría es determinante para diseñar y calcular el espacio, los ángulos y las distancias. Esta nos permite reconocer en el diseño de las viviendas la proporción, la escala, el volumen, el módulo o la métrica. Además, solemos encontrarla asociada a la belleza, pues ambas comparten la búsqueda de la perfección.

3.2.2. Combinaciones y parámetros para la selección de viviendas.

Si revisamos el esquema conceptual que hemos obtenido tras reordenar los términos por áreas temáticas (Fig. 9), podemos observar que algunos conceptos empiezan a repetirse.

¹⁰⁴ Ramírez, Juan Antonio y Gómez Cedillo, Adolfo. *Historia del arte*. Madrid: Alianza Editorial, 1996.



Presentación de datos. La vivienda como fuente primaria.

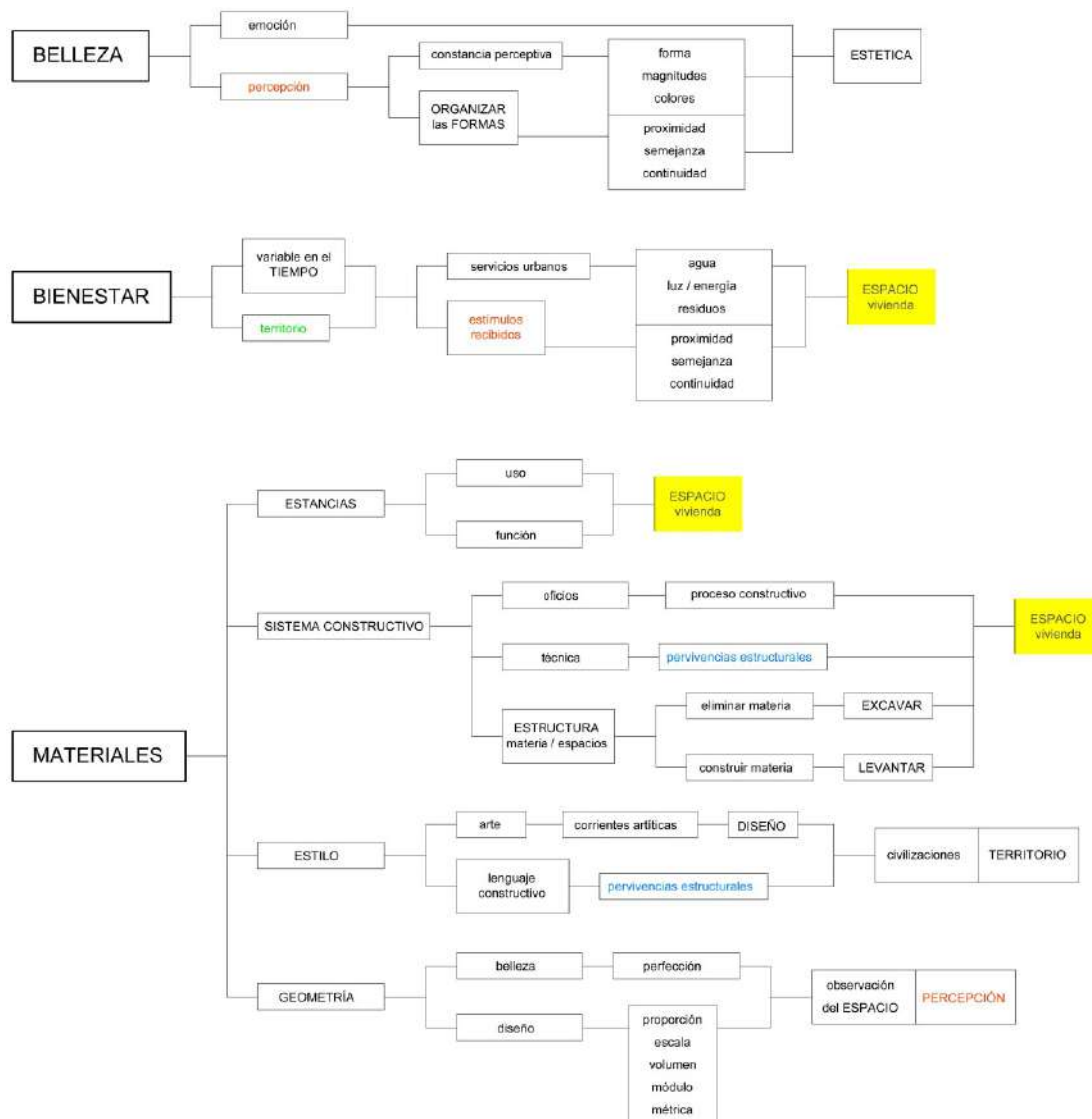


Fig. 9. Esquema de áreas temáticas.

Los conceptos repetidos son tres. El primero es la caracterización geomorfológica propia de la región mediterránea, en concreto la dualidad sierra-valle y la ribera. El segundo es la pervivencia estructural heredada que aparece a lo largo del espacio histórico. El tercero es la percepción a través de los sentidos.

Estos tres conceptos volvemos a ordenarlos como respuesta a las preguntas básicas (dónde, qué, cuándo y cómo) aplicadas a la vivienda mediterránea en la unidad, en el conjunto y en estar habitada por personas (Fig. 10).

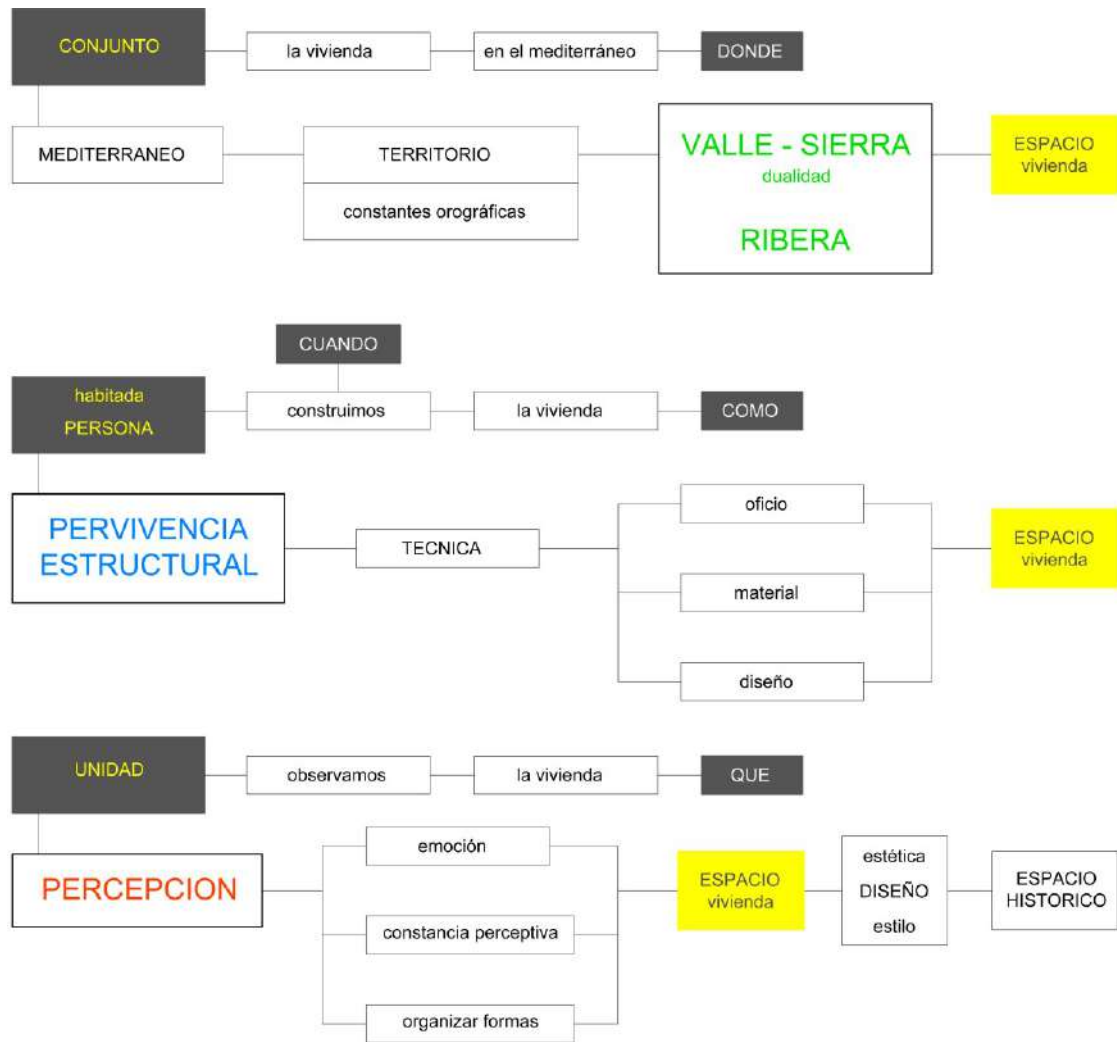


Fig. 10. Mapa conceptual (qué, cuándo, cómo y dónde).

Podemos observar en la Figura 10 que los conceptos repetidos que separamos en el paso anterior (dualidad sierra-valle, pervivencia estructural y percepción) son relevantes y pueden servirnos para seleccionar las viviendas que utilizaremos como fuente primaria (Fig. 1).

Con estos tres conceptos completamos el cuadro metodológico de la Figura 2 y obtenemos el esquema que sirve para definir las combinaciones y los parámetros iniciales (Fig. 11).

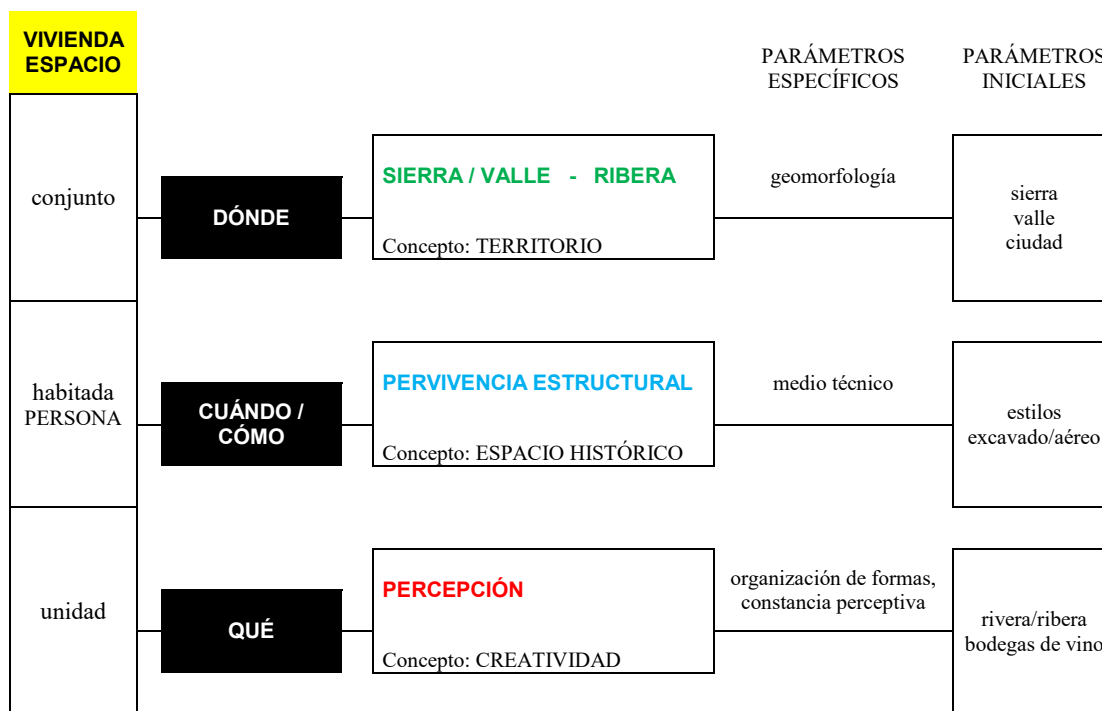


Fig. 11. Desarrollo de los conceptos relevantes. Definición de combinaciones: parámetros iniciales.

A continuación, exponemos brevemente como seleccionamos los parámetros iniciales (sierra, valle, ciudad, estilos arquitectónicos, sistema excavado o aéreo, rivera/ribera y bodega de vino) que aparecen de la Figura 11.

Combinaciones: parámetros iniciales.

En primer lugar, delimitamos la selección con la geomorfología (la dualidad sierra-valle), que se caracteriza por la presencia de montañas (con distintas altitudes y que se extienden hasta la línea de costa) en las que aparecen repetidos los pequeños espacios climáticos.

Con la orografía buscamos evaluar como se implanta la vivienda dentro del conjunto urbano y con la presencia constante de montañas en el entorno.

Para tener en cuenta la vivienda en los diferentes tamaños de población, seleccionamos poblaciones rurales en la sierra y en el valle (porque encontramos un lenguaje constructivo mayoritario) y ciudades en la ribera del mar (porque identificamos un número elevado de lenguajes constructivos diferentes).

Así pues, los parámetros iniciales son:

- rural-sierra,
- rural-valle y
- ciudad-ribera.

En segundo lugar, optamos por la influencia del medio técnico (la pervivencia estructural) para determinar como el paso del tiempo (espacio histórico) afecta a la vivienda y a la persona que la habita.

Para ello, elegiremos ejemplos singulares de edificios residenciales que utilizan un lenguaje arquitectónico determinado: los estilos. De este modo, podemos visualizar como ha ido evolucionando la técnica constructiva, ya sea por motivos estéticos o para aumentar el bienestar.

Además, constatamos que existe una carencia en los manuales de historia de la arquitectura y del arte de un tipo estructural concreto: la arquitectura residencial excavada o subterránea. Existen numerosas viviendas en el Mediterráneo excavadas, habitadas por personas, que quizá puedan aportar luz a este estudio.

En consecuencia, los parámetros iniciales que empleamos son:

- lenguaje constructivo-estilos arquitectónicos y
- sistema constructivo-excavado.

En tercer lugar, observamos la creación de la vivienda como unidad independiente. Con este fin, analizaremos como se organizan las formas y si existen constantes perceptivas (la percepción).

Es una realidad que existen múltiples viviendas aisladas dependientes de los núcleos urbanos, pero dispersas por el territorio. Estas suelen estar asociadas a una “actividad territorial” que motiva la creación de un programa de necesidades a cubrir con el posterior desarrollo constructivo. En tal sentido, el cultivo de la vid está asociado al territorio y tiene continuidad a lo largo del espacio histórico mediterráneo. Además, encontramos estancias dedicadas a bodega de vino integradas en la vivienda (en bodega familiar) o

constituidas en un edificio independiente junto a la vivienda (en la bodega industrial). Buscaremos viviendas con la actividad asociada a bodega de vino para ver cómo desarrollan los espacios y los volúmenes.

También influye el agua (dulce¹⁰⁵ y salada) que existe en el interior y en la ribera de la cuenca mediterránea, presente en las montañas y en la ribera del mar, que han sido un elemento geográfico de unión y de frontera a lo largo del tiempo. Para estudiar la variedad en el entorno urbano, indicaremos como son el acceso y la adaptación volumétrica al entorno relacionado con el elemento agua.

En conclusión, los parámetros iniciales son:

- vivienda-bodega de vino y
- vivienda-ribera/rivera.

Datos objetivos: parámetros específicos.

Los conceptos repetidos (dualidad sierra-valle, pervivencia estructural y percepción), como podemos observar en la Figura 10, aparecen en diferentes áreas temáticas y por eso nos parecieron relevantes. Por esta razón, volveremos a utilizarlos para determinar los parámetros específicos (datos objetivos) que utilizaremos en cada combinación. De este modo, los conceptos repetidos estarán presentes en todas las viviendas seleccionadas.

SV Para tener en cuenta la dualidad geomorfológica sierra-valle, indicaremos la descripción del entorno natural de la vivienda¹⁰⁶ porque buscamos saber cómo es el contexto orográfico al que están ligadas. También, añadiremos el elemento agua en la selección de viviendas cuando el parámetro inicial sea ribera/rivera.

- Entorno natural
- Entorno natural: agua

¹⁰⁵ Existe una necesidad vital de beber agua dulce en el ser humano para sobrevivir, no obstante, cuando hacemos referencia al “agua dulce” nos referimos al agua de los ríos, lagunas, ... y como se asienta volumétricamente la vivienda respecto a esta. Además, la frecuencia e intensidad de las lluvias también afecta al desarrollo de la forma.

¹⁰⁶ Este dato lo obtenemos a través de Google Maps y Google Earth, utilizando las coordenadas DMS y la altitud, que contrastaremos con el atlas geográfico de los países.

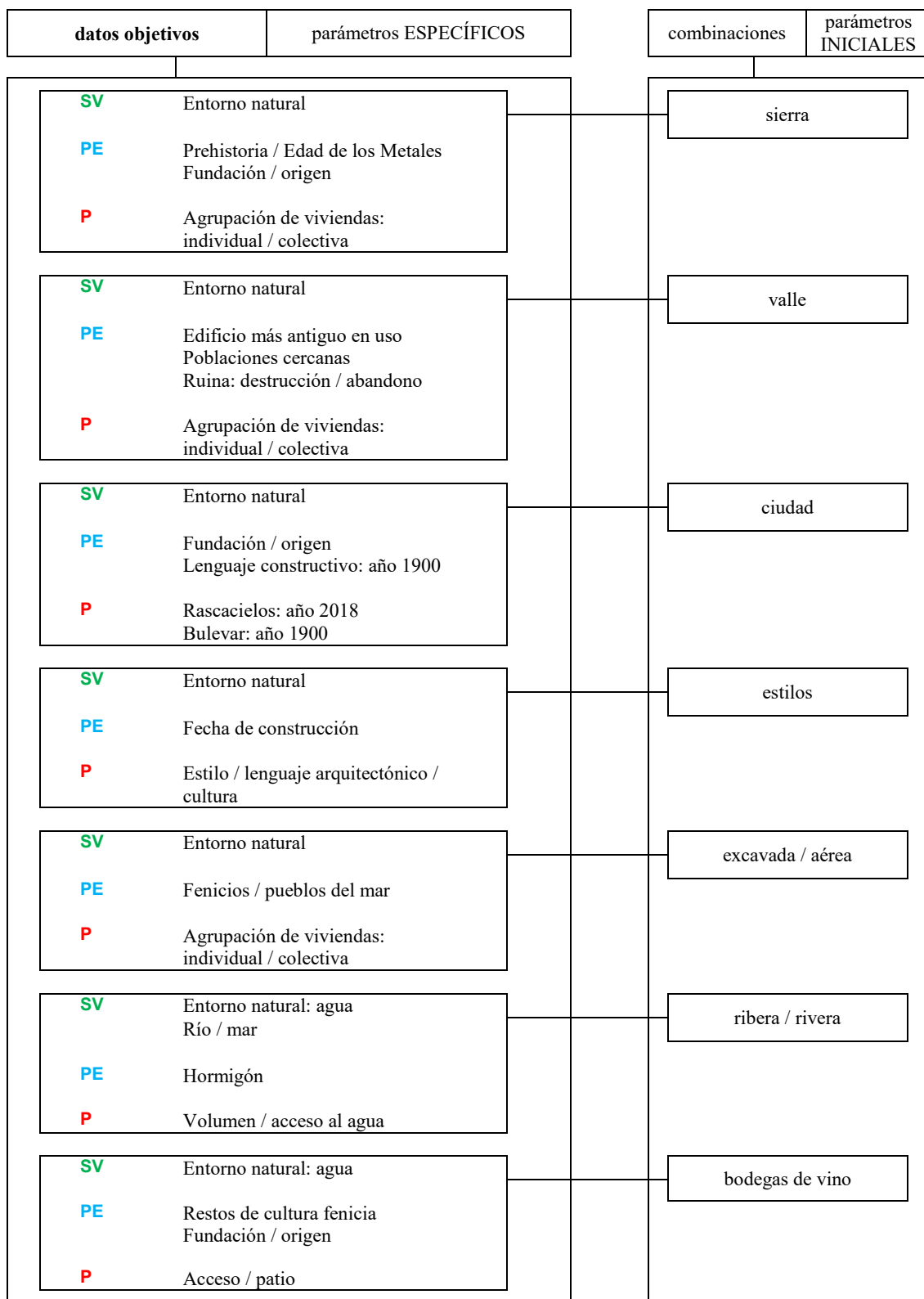
PE En el caso del concepto pervivencia estructural, cuando estudiamos la bibliografía buscando los conceptos relevantes, observamos numerosas teorías contradictorias que tratan las influencias asimiladas o la identidad cultural mediterránea. También aparecen ideas despectivas como el origen troglodita de las viviendas subterráneas o excavadas.

Por este motivo, seleccionamos parámetros relacionados con la asimilación (fenicios/pueblos del mar, restos de cultura fenicia y lenguaje constructivo: año 1900), con la identidad cultural (Poblaciones cercanas, Ruina: destrucción/abandono, Hormigón) y con el origen de las viviendas (Prehistoria / Edad de los Metales, fundación / origen, edificio más antiguo en uso).

- Prehistoria / Edad de los Metales.
- Fundación / origen.
- Edificio más antiguo en uso.
- Poblaciones cercanas.
- Ruina: destrucción/abandono.
- Lenguaje constructivo: año 1900.
- Fenicios / pueblos del mar.
- Restos de cultura fenicia.
- Hormigón.

P En referencia a la percepción, en la bibliografía aparecen numerosas teorías que asocian la idea de “vivienda tradicional mediterránea” con “casa con patio interior”, a pesar de que encontramos una cantidad elevada de viviendas en el Mediterráneo que se construyen sin patio interior. Por este motivo, añadimos la búsqueda de las viviendas con patio interior.

Presentación de datos. La vivienda como fuente primaria.



SV: dualidad geomorfológica sierra/valle – Ribera **PE:** Pervivencia estructural **P:** Percepción

Fig. 12. Esquema final con los parámetros de selección.

Así, describiremos las viviendas mediante la observación, indicando su localización respecto al núcleo urbano (agrupación de viviendas: individual/colectiva) y su desarrollo formal (bulevar: año 1900, rascacielos: año 2018, estilo/lenguaje arquitectónico/cultura, volumen/acceso al agua y acceso/patio).

- Agrupación de viviendas: individual/colectiva.
- Bulevar: año 1900.
- Rascacielos: año 2018.
- Estilo/lenguaje arquitectónico/cultura.
- Volumen/acceso al agua
- Acceso/patio

Una vez elegidos todos los parámetros que vamos a utilizar, tal y como podemos ver en el esquema de la Figura 12, realizamos la selección de viviendas.

A continuación, mostramos el listado con las siete combinaciones que desarrollamos:

Combinación 1: Sierra.

Combinación 2: Valle.

Combinación 3: Ciudad.

Combinación 4: Estilos arquitectónicos.

Combinación 5: Viviendas excavadas (subterránea).

Combinación 6: Ribera/rivera.

Combinación 7: Bodega de vino.

3.3. COMBINACIÓN 1: SIERRA

El objetivo de esta combinación es explorar una primera visión de la vivienda que encontramos en el Mediterráneo, en la dualidad geomorfológica sierra-valle y en los correspondientes pequeños espacios climático-ecológicos.

La asociación repetida constantemente clima-geomorfología, que se da en el Mediterráneo y que ya vimos al definir el concepto territorio, es una característica particular propia de esta región. Estudiamos si también podemos añadirle una correlación arquitectónica con la repetición de viviendas.

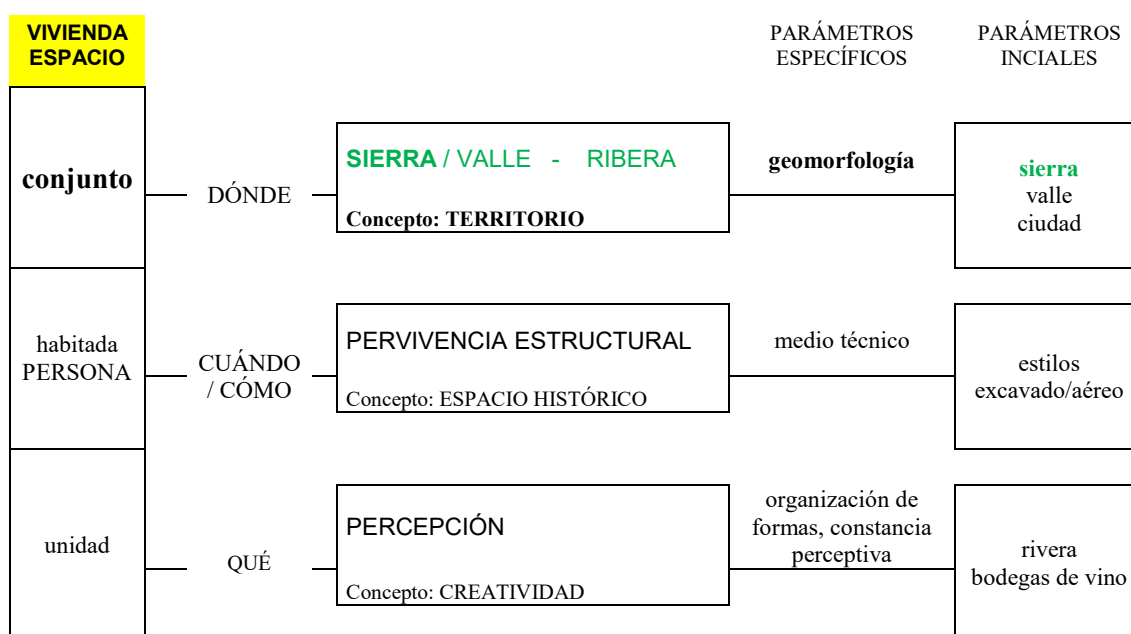


Fig. 13. Combinación 1: sierra

En concreto, tal y como podemos ver en la Figura 13, nos centramos en la casa mediterránea desde la perspectiva de conjunto. Tomamos como base el elemento geomorfológico sierra para acotar esta primera selección y nos focalizamos en los núcleos urbanos rurales.

La ventaja que nos ofrece la población rural (tamaño de población inferior a 10.000 habitantes) radica en la mayor permanencia constructiva que observamos. Frente al dinamismo económico y constructivo que existe en las ciudades, lo rural ofrece una rica pasividad en la que quizá podamos encontrar la razón de ser de la casa mediterránea.

Además, las poblaciones rurales en la sierra suelen estar rodeadas de entornos realtivamente naturales y esto nos ayuda a estudiar la casa mediterránea desde la perspectiva de los pequeños espacios climático-ecológicos.

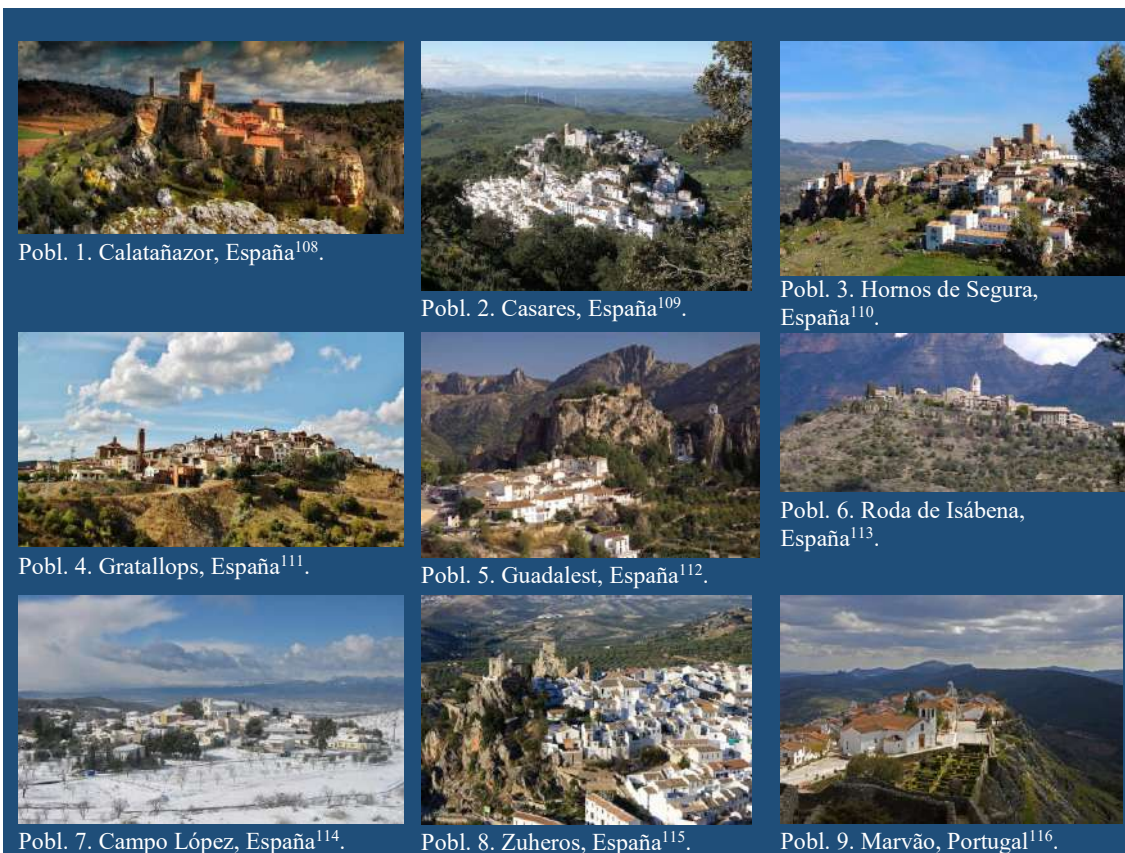
Para comenzar la selección de viviendas, parece razonable realizar un primer muestreo de viviendas en una zona concreta. El Mediterráneo es un mar entre montañas que tiene una peculiaridad: cuanto más pequeña y diferenciada es la escala, mayor diversidad contiene¹⁰⁷. Una península es una región representativa.

Por este motivo, realizamos una primera selección en una península europea. En concreto, seleccionamos la Península Ibérica porque tiene la ventaja de que las fuentes históricas nos son más accesibles que el resto del Mediterráneo (por idioma y cercanía).

Posteriormente, realizamos la selección de viviendas del resto del continente europeo y del resto de la región mediterránea.

¹⁰⁷ Robert Hofrichter. Op. Cit., p.102-103, p. 140-141.

3.3.1. Sierra. Península Ibérica.



¹⁰⁸ *La batalla de Calatañazor (Soria) y Almazor*. [Web] <http://www.docelinajes.org/2015/08/la-batalla-de-calatanazor-soria-y-almazor/> [Fecha de acceso: 16/05/2022].

¹⁰⁹ *Observatorio de aves de casares*. [Web] https://www.malaga.es/en/turismo/naturaleza/lis_cd-10275/observatorio-de-aves-de-casares [Fecha de acceso: 16/05/2022].

¹¹⁰ Cafetería Pub Adarve, Hornos. (2016). *Cafetería Pub Adarve, Horno de Segura*. [Tripadvisor] https://www.tripadvisor.es/LocationPhotoDirectLink-g1087617-d10514831-i249444172-Cafeteria_Pub_Adarve-Hornos_Province_of_Jaen_Andalucia.html [Fecha de acceso: 16/05/2022].

¹¹¹ José Luis Sarralde. (2019). *Viajar al Priorat a través de 20 imágenes sugerentes*. [Web] <https://guias-viajar.com/espana/tarragona-que-ver-priorat/> [Fecha de acceso: 16/05/2022].

¹¹² Flordeguisante. (2015). *Guadalest*. [Web] <https://turismoycultura.es/valencia/alicante/guadalest/guadalest-alicante.html> [Fecha de acceso: 16/05/2022].

¹¹³ (2014). *Qué ver en Roda de Isábena*. [Web] <https://espanafascinante.com/lugar-para-visitar/que-ver-en-aragon/que-ver-en-huesca/que-ver-en-roda-de-isabena/> [Fecha de acceso: 16/05/2022].

¹¹⁴ *Campo López nevado*. [Web] <https://mapio.net/pic/p-22850266/> [Fecha de acceso: 16/05/2022].

¹¹⁵ (2020). *Pueblos más bonitos de Córdoba, Zuheros*. [Web] <https://www.tuscasasrurales.com/blog/pueblos-bonitos-de-cordoba/> [Fecha de acceso: 16/05/2022].

¹¹⁶ José Fuste Raga. *Jewels of the Mediterranean just waiting to be discovered*. [Web] <https://www.theguardian.com/travel/2008/apr/27/beach.mediterranean> [Fecha de acceso: 16/05/2022].

Población	Entorno NATURAL	Prehistoria - Cultura de las cuevas / Edad de los Metales	Agrupación de viviendas: INDIVIDUAL/COLECTIVA
1 Calatañazor, Soria. España	Reserva Natural del Sabinar de Calatañazor. Límite. Parque Natural Cañón del Río Lobos. Parque Natural Sierra de Cebollera	Edad del Hierro 800 – 400 a. C. Centros de poder en la Meseta Norte. Mercado de lujo de las élites nativas (indígenas). Cerámicas protoceltibéricas ¹¹⁷ . Castro de Leguín. Aldea anteromana en cima. Tallado/excavado de la piedra caliza para conformar las viviendas en planta baja y construcción superior de mampostería ¹¹⁸ .	La vivienda se desarrolla en un único volumen compacto que crece en vertical. Las viviendas conforman un conjunto compacto formando la población.
2 Casares, Málaga. España	Límite. Sierra Crestellina	Cultura cuevas. Cueva del Gran Duque ¹¹⁹ . Edad de Bronce y Edad de Hierro en Lacipo ¹²⁰ .	La vivienda se desarrolla en un único volumen compacto que crece en vertical. Las viviendas conforman un conjunto compacto formando la población. Hay viviendas aisladas en el entorno próximo.
3 Hornos de Segura, Jaén. España	Parque Natural de Las Sierras Cazorla, Segura y las Villas	Prehistoria: cueva de la murcielaguina ¹²¹ . Cultura argárica. Época argárica. En el mismo Hornos, restos de choza o cabaña neolítica con diámetro 6-7 metros. Vivienda en ladera suave ¹²² .	La vivienda se desarrolla en un único volumen compacto que crece en vertical. Algunas viviendas tienen un patio privado anexo al volumen. Las viviendas conforman un conjunto compacto formando la población.
4 Gratallops, Tarragona. España	Límite. Parque Natural de la Sierra de Montsant. Espacio Natural Protegido del Riu Siurana.	Edad de Bronce y Edad de Hierro. EL PRIORATO. Asentamientos en abrigos rocosos, cuevas y cabañas ¹²³ .	La vivienda se desarrolla en un único volumen compacto que crece en vertical. Algunas viviendas tienen un patio privado anexo al volumen. Las viviendas conforman un conjunto compacto formando la población. Hay viviendas aisladas en el entorno próximo.
5 Guadalest, Alicante. España	Límite. Sierra de la Xortá, Sierra de Aitana y Sierra Serella.	Abrigo de La Condomina (Confrides). Pinturas rupestres y visibilidad elevada del valle de Guadalest ¹²⁴ .	La vivienda se desarrolla en un único volumen compacto que crece en vertical. Algunas viviendas tienen un patio privado anexo al volumen. Las viviendas conforman un conjunto compacto formando la población. Hay viviendas aisladas en el entorno próximo.

¹¹⁷ Gonzalo Ruiz Zapatero y otros. “¿Centros de poder? Sociedad y poblamiento en la Meseta Norte española (ca. 800-400 aC)”. *Vegueta: Anuario de la Facultad de Geografía e Historia*, 15 (2015), pp. 214–215.

¹¹⁸ Blas Taracena Aguirre y Luis Vázquez de Parga. “Excavaciones en Navarra”. *Príncipe de Viana*, 6.19 (1945), p. 191.

¹¹⁹ Mercedes Fernando de la Lama. “La cueva del Gran Duque (Casares, Málaga)”. *Mainake*, 8 (1986), pp. 105–109.

¹²⁰ Pedro Rodríguez Oliva. “Sobre las esculturas ibéricas e ibero-romanas de los territorios malacitanos”. *Anales de Prehistoria y Arqueología*, 17-18 (2001-2002), p. 313.

¹²¹ Jesús Gámiz Caro. “La cerámica prehistórica de la Cueva de la Murcielaguina de Hornos (Hornos de Segura, Jaén)”. *Cuadernos de Prehistoria y Arqueología de la Universidad de Granada*, 22 (2012), pp. 189–191.

¹²² Joan Maluquer de Motes. “La estratigrafía prehistórica de Hornos de Segura (Jaén)”. *Pyrenae: revista de prehistòria i antiguitat de la Mediterrània Occidenta*, 10 (1974), pp. 61-63.

¹²³ Esther Gutierrez Escoda. *Estrategias geoarqueológicas y paisajísticas: Los patrones de asentamiento proto-urbanístico en la comarca de El Priorat (del Bronce Final al Hierro I)*. Tarragona: Universitat Rovira i Virgili, 2005, p. 5.

¹²⁴ Francisco Javier Molina Hernández y Virginia Barciela González. “Prospección, documentación y contextualización de arte rupestre en las comarcas alicantinas de l’Alcoià, el Comtat, la Marina Alta y la Marina Baixa. 1ª Anualidad: sectores geográficos 4 y 6 (Confrides)”. *Intervenciones arqueológicas en la provincia de Alicante*, (2011), pp. 6–7. Obtenido en: https://www.marqalicante.com/contenido/int_arqueologicas/doc_151.pdf [Fecha de acceso: 16/02/2022].

Presentación de datos. La vivienda como fuente primaria.

6	Roda de Isábena, Huesca. España	Límite. Parque Nacional Valle alto de Serradell-Terreta-Sierra de San Gervás. Parque Nacional d'Aigüestortes i Estany de Sant Maurici. Parque natural de la Sierra y los Cañones de Guara	Río Ésera. Poblamiento paleolítico desde el 13.000 a.C. hasta la Edad de Bronce en VIII a.C. ¹²⁵ .	La vivienda se desarrolla en un único volumen compacto que crece en vertical. Las viviendas conforman un conjunto compacto formando la población.
7	Campo López, Murcia. España	Sierra de la Almenara.	Bronce tardío, bronce final y hierro antiguo (íberos). Cultura argárica. En laderas del Cerro del Castillo de Lorca. La cultura del argar se desarrolla en el 2.000 a.C. en el sureste peninsular. LORCA: Las viviendas argaricas extramuros se adaptan a las pendientes del terreno en porfa de aterrazados artificiales ¹²⁶ .	La vivienda se desarrolla en un único volumen compacto que crece en vertical con un patio privado anexo al volumen. Las viviendas conforman un conjunto compacto formando la población. Hay algunas viviendas aisladas en el entorno próximo.
8	Zuheros, Córdoba. España	Parque Natural de las Sierras Subbéticas	Cultura cuevas. Prehistoria pinturas rupestres en cueva de los murciélagos. Neolítico. Yacimiento del 5.000 a.C. con una economía de producción agrícola y ganadera establecida ¹²⁷ .	La vivienda se desarrolla en un único volumen compacto que crece en vertical, o en varios volúmenes con un patio privado interior. Las viviendas conforman un conjunto compacto formando la población. Hay algunas viviendas aisladas en el entorno próximo.
9	Marvão, Portalegre. Portugal	Parque Natural da Serra de São Mamede	Paleolítico, Neolítico Calcolítico, Edad de Bronce y Edad de Hierro. Monumentos megalíticos do Concelho de Marvao ¹²⁸ .	La vivienda se desarrolla en un único volumen compacto que crece en vertical. Algunas viviendas tienen un patio privado anexo al volumen. Las viviendas conforman un conjunto compacto formando la población. Hay viviendas aisladas en el entorno próximo.

Tabla 1. Viviendas en sierra. Península Ibérica.

¹²⁵ María del Pilar Utrilla Miranda y Carlos Mazo Pérez. "El poblamiento prehistórico del valle del río Ésera (Ribagorza, Huesca)". *Bolskan: Revista de arqueología del Instituto de Estudios Altoaragoneses*, 11 (1994), p. 53.

¹²⁶ Salvador Fontenla Ballesta y otros. "Lorca, poblado más extenso y primigenio de la cultura del Argar". *Alberca*, 2 (2004), pp. 39-41.

¹²⁷ Jesús E. González Urquijo y otros. "El aprovechamiento de recursos vegetales en los niveles neolíticos del yacimiento de Los Murciélagos (Zuheros, Córdoba): Estudio arqueobotánico y de la función del utillaje", *Complutum*, 11 (2000), p. 172.

¹²⁸ Jorge de Oliveira. "Do rio sever a Marvão: um ensaio de arqueologia espacial". En: *Actas do III Congresso Internacional de Arqueologia de Transição - Estratégias de Povoamento: Do Período Romano ao Mundo Contemporâneo*. Vol.1 N.2. Lisboa: SCIENTIA ANTIQUITATIS, 2017, p. 320.

Coordenadas:

Población:	Geolocalización:	Coordenadas DMS	Altitud
1 Calatañazor, Soria. España	https://www.google.com/maps/place/42193+Calata%C3%BAzor,+Soria/@41.6991057,-2.8200129,17z/data=!3m1!4b1!4m5!3m4!1s0xd44e85881e2ecd5:0xd9c3011d691e6b20!8m2!3d41.6991588!4d-2.8175177	41° 41' 57.018" N 2° 49' 3.245" W	1060 m.
2 Casares, Málaga. España	https://www.google.com/maps/place/29690+Casares,+M%C3%A1laga/@36.4450676,-5.2750723,17z/data=!3m1!4b1!4m5!3m4!1s0xd0cd9014e5a8eb7:0xbcbfd387f8fc960a!8m2!3d36.4439273!4d-5.2730149	36° 26' 38.705" N 5° 16' 23.260" W	395 m.
3 Hornos de Segura, Jaén. España	https://www.google.com/maps/place/Hornos,+Ja%C3%A9n/@38.216556,-2.7196603,18z/data=!3m1!4b1!4m5!3m4!1s0xd6f6b9355d964d9:0x6404bf44c0a6137b!8m2!3d38.2169814!4d-2.7192052	38° 12' 58.456" N 2° 43' 8.523" W	873 m.
4 Gratallops, Tarragona. España	https://www.google.com/maps/place/43737+Gratallops,+Tarragona/@41.1930502,0.7741564,17z/data=!3m1!4b1!4m5!3m4!1s0x12a1318bf70552e7:0xdb03e9c481eff547!8m2!3d41.1931656!4d0.7767556	41° 11' 35.994" N 0° 46' 36.321" E	316 m.
5 Guadalest, Alicante. España	https://www.google.com/maps/place/03517+Guadalest,+Alicante/@38.6761985,-0.1999443,18z/data=!3m1!4b1!4m5!3m4!1s0xd61f647011b36e1:0x1415cabf319b5ca4!8m2!3d38.6769639!4d-0.1983236	38° 40' 34.555" N 0° 11' 53.797" W	546 m.
6 Roda de Isábena, Huesca. España	https://www.google.com/maps/place/22482+Roda+de+Is%C3%A1bena,+Huesca/@42.2909448,0.5276942,18z/data=!3m1!4b1!4m5!3m4!1s0x12a7cbdeee4cbc21:0xa018c67a2b5f5d0!8m2!3d42.291412!4d0.5284408	42° 17' 28.783" N 0° 31' 42.368" E	901 m.
7 Campo López, Murcia. España	https://www.google.com/maps/place/30815+Campo+L%C3%B3pez,+Murcia/@37.588083,-1.5791765,18z/data=!3m1!4b1!4m5!3m4!1s0xd64c1a034822e63:0x471038268870895d!8m2!3d37.5878938!4d-1.5780904	37° 35' 18.380" N 1° 34' 40.565" W	682 m.
8 Zuheros, Córdoba. España	https://www.google.com/maps/place/14870+Zuheros,+C%C3%B3rdoba/@37.543429,-4.3166595,17z/data=!3m1!4b1!4m5!3m4!1s0xd6d98b4bb54f8dd:0xcc27b272150a63a7!8m2!3d37.5434277!4d-4.3147802	37° 32' 36.062" N 4° 18' 52.883" W	671 m.
9 Marvão, Portalegre. Portugal	https://www.google.com/maps/place/Marv%C3%A3o,+Portugal/@39.3939459,-7.3849502,15z/data=!3m1!4b1!4m5!3m4!1s0xd17bf150f248c4f:0xbe9af0b9e8c640d6!8m2!3d39.3939447!4d-7.3765363	39° 23' 37.466" N 7° 22' 36.094" W	838 m.

Tabla 2. Geolocalización de las viviendas en sierra. Península Ibérica.

3.3.1.1 La montaña (vistas al territorio) y el volumen único que crece en altura.

En esta muestra representativa de viviendas (Poblaciones 1-9), observamos que la distribución del espacio interior de cada vivienda es variada y no podemos determinar un patrón. No obstante, sí podemos establecer similitudes volumétricas entre las viviendas en el conjunto de la población.

De hecho, cuando buscamos la existencia de asentamientos humanos durante la Prehistoria y la Edad de los Metales, encontramos que hay restos de cabañas (Hornos de Segura, Jaén) o de casas excavadas en piedra caliza (Calatañazor, Soria) o que se aprovechan orificios naturales (Guadalest, Alicante). Observamos una tendencia, con continuidad en el tiempo, a construir las viviendas sobre los planos iclinados de las montañas con vistas al territorio.

En el caso de Guadalest, vemos la importancia de la orografía en los asentamientos de la Prehistoria. Las pinturas rupestres aparecen en lo alto de una cima o en los abrigos que dan las cimas con vistas al valle (Img. 1), lo que implica un control del paisaje o del territorio efectivo.



Img. 1. Alzado del río Guadalest¹²⁹.

Al ampliar dicho territorio, detectamos que, en la Edad de los Metales, los asentamientos también están asociados a la orografía. En Campo López (cerca de Lorca) y de Calatañazor (Meseta), encontramos el desarrollo de los asentamientos en pendiente en un

¹²⁹ [Google] <https://www.google.com/maps/@38.6804495,-0.1916309,3a,75y,292.68h,83.99t/data=!3m6!1e1!3m4!1ssJ632QxtYFxyzYirPpzIrQ!2e0!7i13312!8i6656> [Fecha de acceso: 16/05/2022]. En las poblaciones actuales podemos apreciar, que la mayoría de las viviendas, se materializan en volúmenes únicos bajo cubierta a dos aguas.

entorno que incluye parte del valle. En el caso de Campo López (cerca de Lorca) han sido localizados numerosos núcleos de población de la cultura argárica de la Edad de Bronce, entorno al año 2.000 a. C., muchos de ellos en pendiente. Exactamente la misma distribución que hallamos en las poblaciones ahora. En el caso de Calatañazor (Meseta), localizamos la misma situación en la Edad de Hierro.

En Hornos de Segura, dentro del mismo pueblo, aparecieron los restos de una choza/cabaña prehistórica Neolítica que se desarrollaba en un único volumen, al igual que las viviendas que existen en la actualidad. Incluso, podemos apreciar que se mantiene esta tendencia de las viviendas de Hornos de Segura si observamos su evolución durante los últimos 50 años (Img.2, Img.3).



Img. 2. Ortofotografía de Hornos del Segura, España. Año 1977-1983¹³⁰.



Img. 3. Ortofotografía de Hornos del Segura, España. Año 2021¹³¹.

Si nos fijamos en las viviendas que presentan estas tres poblaciones (Hornos de Segura, Calatañazor y Guadalest) en la actualidad, podemos valorar la similitud de las viviendas: existe una constante perceptiva en su volumetría, en un claro desarrollo de volúmenes únicos en altura.

¹³⁰ [Web]

<https://laboratorioediam.cica.es/comparaWMS/index.html?&aois=json%2Ftoponimos.json&lyrs=json%2Fservicios.json&lyr1=1&lyr2=15&bgLyr=undefined&lonmin=-2.712909579277039&lonmax=-2.7232092618942265&latmin=38.21438285603758&latmax=38.21846691362988> [Fecha de acceso: 16/05/2022].

¹³¹ [Web]

<https://laboratorioediam.cica.es/comparaWMS/index.html?&aois=json%2Ftoponimos.json&lyrs=json%2Fservicios.json&lyr1=1&lyr2=15&bgLyr=undefined&lonmin=-2.712909579277039&lonmax=-2.7232092618942265&latmin=38.21438285603758&latmax=38.21846691362988> [Fecha de acceso: 16/05/2022].

3.3.2.Sierra. Europa.



¹³² Jean-Pierre Cartacci, U Nuvellaghju. (2005). LA CASTAGNICCIA - CASINCA | NOCARIO. [Web] <http://www.nuvellaghju.com/la-corse/la-castagniccia-casinca/nocario/> [Fecha de acceso: 16/05/2022].

¹³³ Maryanick Gaultier. (2010). *Photo Le Château du XII^e - Saint-Julien-d'Arpaon*. [Web] <https://www.communes.com/photo-saint-julien-d-arpaon,159650> [Fecha de acceso: 16/05/2022].

¹³⁴ A veces veo viajes. (2018). *Castelnou, un bonito pueblo medieval en Occitania*. [Web] <https://avecesveoviajes.com/europa/francia-2/castelnou-un-bonito-pueblo-medieval> [Fecha de acceso: 16/05/2022].

¹³⁵ Véronique Pagnier. (2011). *Village de Barroux 2*. [Web] https://es.wikipedia.org/wiki/Le_Barroux#/media/Archivo:Village_du_Barroux_2.jpg [Fecha de acceso: 16/05/2022].

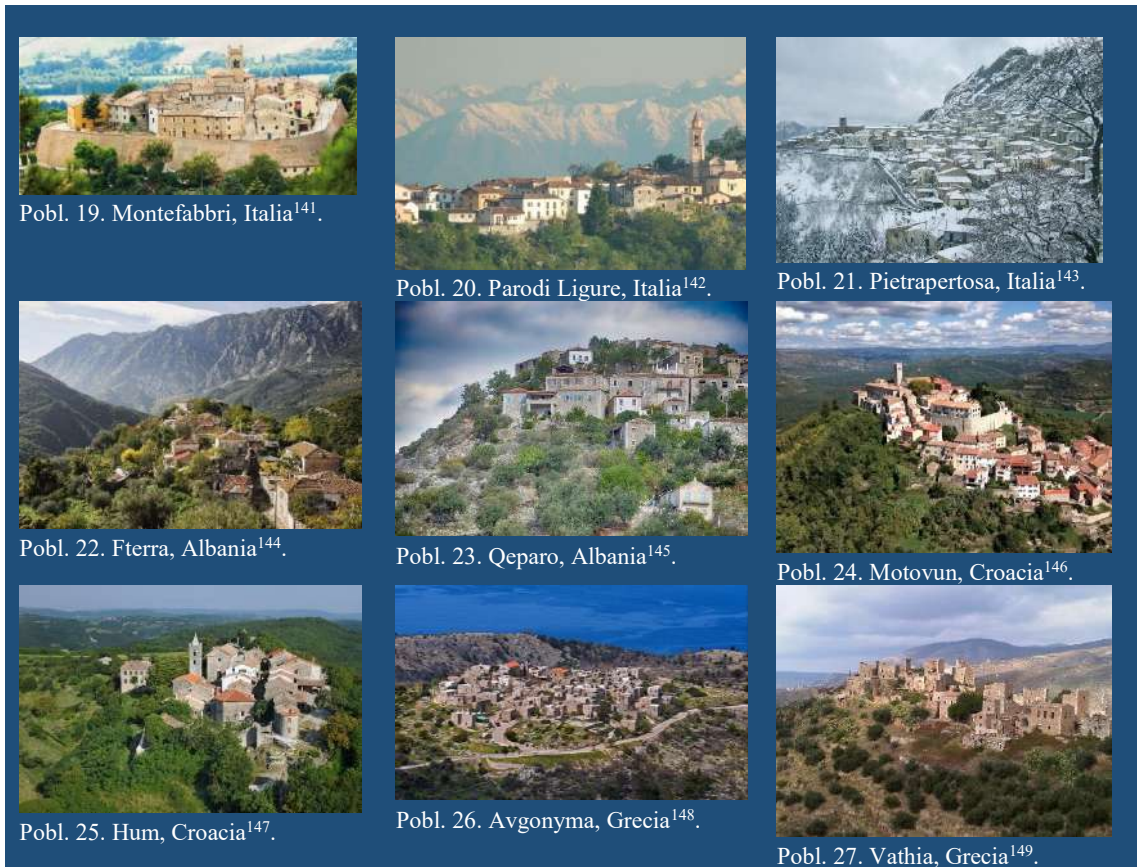
¹³⁶ Emile Taillefer. *St Montan*. [Web] http://www.villagesdefrance.fr/dept/page07_ardechemeridionale.htm [Fecha de acceso: 16/05/2022].

¹³⁷ Stefano Caporali. (2016). Arrone, Umbria. [Web] https://elviajero.elpais.com/elviajero/2016/04/27/album/1461774757_477497.html#foto_gal_1 [Fecha de acceso: 16/05/2022].

¹³⁸ Renato Biocalti Rinaldi. (2018). *Campidimele, the village of longevity*. [Web] <https://www.flickr.com/photos/rebiolca/31977871528/> [Fecha de acceso: 16/05/2022].

¹³⁹ *Abruzzo il borgo di Castel del Monte, tra le vette del Gran*. (2016). [Web] https://www.ansa.it/canale_viaggiart/it/regione/abruzzo/2016/09/19/i-borghi-piu-belli-tra-le-montagne-dabruzzo_7f21232e-cd08-45e2-8ebc-50151411d247.html [Fecha de acceso: 16/05/2022].

¹⁴⁰ PROWALK TOURS. (2020). *Civita di Bagnoregio Walking Tour - The Dying City*. [Youtube] <https://www.youtube.com/watch?v=oEB3BBile3c> [Fecha de acceso: 16/05/2022].



¹⁴¹ I borghi più belli d'Italia. (2017). *Il borgo che lascia di stucco*. [Web] <https://borghipiubelliditalia.it/borgo/montefabbri/#1480496816178-4ed93fff-7757> [Fecha de acceso: 16/05/2022].

¹⁴² ePublic Srl. (2018). *Vista dell'abitato*. [Web] <https://www.comune.parodiligure.al.it/it-it/vivere-il-comune/galleria-foto> [Fecha de acceso: 16/05/2022].

¹⁴³ I borghi più belli d'Italia. (2017). *Tra le rocce il cielo*. [Web] <https://borghipiubelliditalia.it/borgo/pietrapertosa/> [Fecha de acceso: 16/05/2022].

¹⁴⁴ Albania_eagles_land. (2018). *Fterra vilage, greenery*. [Instagram]. Obtenido de <https://www.instagram.com/p/BeiSRxSg8Cd/> [Fecha de acceso: 16/05/2022].

¹⁴⁵ Pastizilla. (2015). *The old village (upper part) of Qeparo*. [Web] https://commons.wikimedia.org/wiki/File:Qeparo-Sip%C3%ABrm,_Albania.jpg [Fecha de acceso: 16/05/2022].

¹⁴⁶ I. Paragliding. (2016). *Motovun City Walls*. [Web] https://www.tripadvisor.es/Restaurant_Review-g303817-d7107096-Reviews-Caffe_Bar_Mure-Motovun_Istria.html [Fecha de acceso: 16/05/2022].

¹⁴⁷ (2013). *Hum - la ciudad más pequeña del mundo*. [Web] <https://www.adriatic.hr/es/blog/hum-la-ciudad-mas-pequena-del-mundo/328> [Fecha de acceso: 16/05/2022].

¹⁴⁸ Yiorgis Patroudakis (2015). *Avgonyma*. [Web] <https://karfas.gr/avgonyma/#!prettyPhoto/-1/> [Fecha de acceso: 16/05/2022].

¹⁴⁹ Jeffrey Sieger. (2010). *Mani get your Gun*. [Web] <https://murderiseverywhere.blogspot.com/2010/11/mani-get-your-gun.html?m=0> [Fecha de acceso: 16/05/2022].

Presentación de datos. La vivienda como fuente primaria.

	Población	Entorno NATURAL	Prehistoria - Cultura de las cuevas / Edad de los Metales	Agrupación de viviendas: INDIVIDUAL/COLECTIVA
10	Nocario. Isla de Córcega. Francia	Parque Natural Regional de Córcega. Parc Naturel Régional de Corse - Parcu di Corsica	Neolítico. Edad de Cobre y Bronce. Edad de Hierro. Existencia de hábitat de población indígena propia de corcega desde el Neolítico hasta la Edad de Bronce ¹⁵⁰ . Edad de Bronce, los torreanos (hacen megalitos y elemento característico torre) ¹⁵¹ . Ver: Alalia. Edad de Cobre y Bronce. Edad de Hierro formación del pueblo corso, fusión de herederos de dos civilizaciones: torreanos (antiguo pueblo del mar de los Shardana) y autoctonos. En la costa este de Córcega colonizaciones pueblos marítimos mediterráneos: griegos, etruscos, cartagineses, romanos. Caso de los etruscos ¹⁵² .	La vivienda se desarrolla en un único volumen compacto que crece en vertical. Las viviendas conforman un conjunto fluido sin un límite claro formando la población. Hay viviendas aisladas en el entorno próximo.
11	Saint Julien d'Arpaon, Lozère. Francia	Parque Nacional de Cévennes. Parc national des Cévennes	Neolítico y Edad de Bronce. Palafitos prehistoricos. En Cévennes se observa estrategia de adaptacion al medio. En los Alpes los palafitos se adaptan a entornos lacustres, Lago Aiguebelette. 56 yacimientos en suiza y el resto en la región Ródano-Alpes ¹⁵³ .	La vivienda se desarrolla en un único volumen compacto que crece en vertical. Las viviendas conforman un conjunto fluido sin un límite claro formando la población. Hay viviendas aisladas en el entorno próximo.
12	Castelnou, Perpignan. Francia	Límite. Parque Natural Regional de Pyrenees catalanes. Parque Natural de la Zona Volcánica de la Garrotxa. Parque Natural Regional de la Narbonnaise.	Edad de Hierro. VII – VI a. C. Intercambios a nivel regional, con una demanda preestablecida, sur de Francia y Península Ibérica ¹⁵⁴ .	La vivienda se desarrolla en un único volumen compacto que crece en vertical. Algunas viviendas tienen un patio privado anexo al volumen. Las viviendas conforman un conjunto compacto formando la población. Hay algunas viviendas aisladas en el entorno próximo.

¹⁵⁰ Nathalie Marini. "Occupation and Environmental Context of a Prehistoric and Protohistoric Settlement on the Corsican East Coast". En: *2006 First International Symposium on Environment Identities and Mediterranean Area*, 2006, pp. 461-466. <https://doi.org/10.1109/ISEIMA.2006.345024>

¹⁵¹ Sara Puggioni. "Tumbas y territorio. Aplicaciones de métodos multivariantes para el estudio de los patrones de explotación del territorio". *Arqueología y Territorio*, 2 (2005), pp. 61–62.

¹⁵² Maria del Mar Castellanos Roca. "Les importacions etrusques del segle V a.C. al nord-est peninsular i el comerç mediterrani". *Pyrenae*, 27 (1996), pp. 85–86. Obtenido en: <https://raco.cat/index.php/Pyrenae/article/view/165122> [Fecha de acceso: 16/02/2022].

¹⁵³ Robin Brigand y Y. Billaud. "L'habitat Néolithique final de Beau Phare à Aiguebelette-le-Lac (Savoie): nouvelles approches méthodologiques de la planimétrie d'un village littoral de l'arc alpin". *Bulletin de la Société Préhistorique Française*, 116.4 (2019), pp. 684 -701. <https://doi.org/10.3406/bspf.2019.15052>

¹⁵⁴ Raimon Graells i Fabregat. "De Italia al Bajo Aragón: la dinámica de intercambios indígena entre el s. VII y VI aC". *Aquitania Suppléments Aquitania*, 30 (2013), p. 731.

13	Le Barroux, Vaucluse. Francia	Límite. Parc naturel régional des Baronnies provençales. Parc naturel régional du Luberon.	Cerca de Vergers y Lourmarin hay asentamientos en las montañas que muestran que están ocupadas desde el Neolítico ¹⁵⁵ .	La vivienda se desarrolla en un único volumen compacto que crece en vertical. Algunas viviendas tienen un patio privado anexo al volumen. Las viviendas conforman un en el centro un conjunto compacto y en los bordes un límite fluido formando la población. Hay viviendas aisladas en el entorno próximo.
14	Saint Montan, Ardeche. Francia	Límite. Parc naturel régional des Monts d'Ardèche. Parc naturel régional des Baronnies provençales.	Estructuras agrarias en la zona de Areche y Liguria. 5.000 – 4.800 a. C. ¹⁵⁶ .	La vivienda se desarrolla en un único volumen compacto que crece en vertical. Algunas viviendas tienen un patio privado anexo al volumen. Las viviendas conforman un conjunto fluido sin un límite claro formando la población. Hay viviendas aisladas en el entorno próximo.
15	Arrone, Terni. Italia	Parque fluvial del Nera	Pocos asentamientos por posibles inundaciones en el valle del río Arreone. Asentamientos a partir del VI a.C. ¹⁵⁷ .	La vivienda se desarrolla en un único volumen compacto que crece en vertical con un patio privado anexo al volumen. Las viviendas conforman un conjunto fluido sin un límite claro formando la población. Hay viviendas aisladas en el entorno próximo.
16	Campodimele, Latina. Italia	Parco Naturale dei Monti Aurunci	Desarrollo de aldeas estables a partir del 3.500 a. C., como Bagni Sulfurei, hasta 1.750 a. C. con la erupción del Vesibio (en Nola, actual San Paolo Belsito, se dejó todo para huir de la erupción) ¹⁵⁸ .	La vivienda se desarrolla en un único volumen compacto que crece en vertical. Algunas viviendas tienen un patio privado anexo al volumen. Las viviendas conforman un conjunto compacto formando la población. Hay viviendas aisladas en el entorno próximo.
17	Castel del Monte, L'Aquila. Italia	Parque Nacional del Gran Sasso y Montes de la Laga	Periodo arcaico de la Edad de Oro preromana XI a. C., con aristocracia e ideología guerrera (según fuentes romanas). Caso concreto de los Vestini Cismontani ¹⁵⁹ . Espacio coincidente con el Parque Nacional.	La vivienda se desarrolla en un único volumen compacto que crece en vertical. Algunas viviendas tienen un patio privado anexo al volumen. Las viviendas conforman un en el centro un conjunto compacto y en los bordes un límite fluido formando la población.

¹⁵⁵ Gaëlle Delaunay y otros. “Le site néolithique final du Verger (Le Mirail, Peypin-d’Aigues, Vaucluse): une occupation en contexte travertineux. Résultats des études paléoenvironnementales et du sondage archéologique 2003”. *Paysages et peuplements. Aspects culturels et chronologiques en France méridionale. Actualité de la recherche, Actes des VIèmes Rencontres méridionales de préhistoire récente*, 2006, pp. 116–123.

¹⁵⁶ Claire Delhon y otros. “Environment and Landscape Management during the Middle Neolithic in Southern France: Evidence for Agro-Sylvo-Pastoral Systems in the Middle Rhone Valley”. *Quaternary International*, 200.1 (2009), pp. 57–59. <https://doi.org/10.1016/j.quaint.2008.05.008>

¹⁵⁷ T. W. Potter. “Valleys and settlement: Some new evidence”. *World Archaeology*, 8.2 (1976), pp. 207-19. <https://doi.org/10.1080/00438243.1976.9979665>

¹⁵⁸ Christopher J. Smith. “The Aurunci and Sidicini”. En: Farney, Gary D. y Bradley, Guy. *The Peoples of Ancient Italy*. De Gruyter, 2017, p. 450. <https://doi.org/10.1515/9781614513001-022>

¹⁵⁹ Elena Scarsella. “War and warriors in the Archaic Aterno Valley (Central-Italy)”. *World Archaeology*, 51.5 (2019), pp. 673-88. <https://doi.org/10.1080/00438243.2020.1741440>

Presentación de datos. La vivienda como fuente primaria.

18	Civita di Bagnoregio, Viterbo. Italia	Parque valle dei Calanchi, Bagnoregio (VT). Límite. Reserva Natural AFV Carbonara. Situada sobre meseta de Toba volcánica.	Region Viterbo. Procesos de los asentamientos urbanos de tamaño pequeño y mediano que ininterrumpidamente en el tiempo han crecido con los siglos ¹⁶⁰ . Orvieto: Habitado Edad de Hierro. Necropolis etrusca en el acantilado. Orvieto. Cuevas y túneles de toba de 500 a. C. ¹⁶¹ .	La vivienda se desarrolla en un único volumen compacto que crece en vertical. Algunas viviendas tienen un patio privado anexo al volumen. Las viviendas conforman un conjunto compacto formando la población. Hay algunas viviendas aisladas en el entorno próximo.
19	Montefabbri, Pesaro y Urbino. Italia	Colinas del valle del río Foglia. Límite. Regional Natural Park of Sasso Simone and Simoncello. Parque Natural Regional de la Garganta de la Rossa y de Frasassi. Parque del Monte Cucco. Parco Naturale Monte San Bartolo.	En Colbordolo: el cerro de Covignano con asentamientos desde el Paleolítico Inferior. En particular la desembocadura del Marecchia y en el valle del Conca ¹⁶² .	La vivienda se desarrolla en un único volumen compacto que crece en vertical. Algunas viviendas tienen un patio privado anexo al volumen. Las viviendas conforman un conjunto compacto formando la población. Hay algunas viviendas aisladas en el entorno próximo.
20	Parodi Ligure, Alessandria. Italia	Límite. Parco Naturale delle Capanne di Marcarolo.	En el Parque Natural, explotación a lo largo del tiempo de humedal que coincide con la actividad humana, desde el Paleolítico en el 9.000 a.C. y del período romano en siglo I a. C. ¹⁶³ .	La vivienda se desarrolla en un único volumen compacto que crece en vertical. Algunas viviendas tienen un patio privado anexo al volumen. Las viviendas conforman un conjunto compacto y en los bordes un límite fluido formando la población. Hay viviendas aisladas en el entorno próximo.
21	Pietrapertosa, Potenza. Italia	Parque Regional de Gallipoli Cognato Piccole Dolomiti Lucane	En el Parque Regional: en la Grotta di Pietra della Mola: asentamientos desde el Neolítico 12.000 - 8.000 a. C., hasta el 1.300 - 1.200 a. C. con los primeros asentamientos de inmigración desde Anatolia. Los primeros asentamientos estables son del VI - IV a.C. de origen oscosannita (Croacia) ¹⁶⁴ .	La vivienda se desarrolla en un único volumen compacto que crece en vertical. Algunas viviendas tienen un patio privado anexo al volumen. Las viviendas conforman un conjunto compacto formando la población. Hay algunas viviendas aisladas en el entorno próximo.
22	Fterra, Vlorë. Albania	Límite. Parque Nacional de Butrint. Parque Nacional de Bredhi i Hotoves. Parque Nacional de Llogara.	Cerca está Butrinto de la Edad de Bronce ¹⁶⁵ . En el VI a. C. la colina estaba fortificada y en el IV a. C. se había expandido hasta el pie de la colina ¹⁶⁶ .	La vivienda se desarrolla en un único volumen compacto que crece en vertical rodeada de terreno. Las viviendas conforman un conjunto fluido sin un límite claro formando la población. Hay viviendas aisladas en el entorno próximo.

¹⁶⁰ Michele Zampilli y Michele Magazzù. "Borghi abbandonati della Toscana: una proposta di metodo per riconoscere i caratteri identitari da conservare e restituire". *ArchHistoR*, 7 (2020), pp. 872–886. <https://doi.org/10.14633/AHR248>

¹⁶¹ C. Nuccetelli y otros. "Radiological Characterization of the Ancient Roman Tuff-Pozzolana Underground Quarry in Orvieto (Italy): A Natural Laboratory to Revisit the Interactions between Radionuclides and Aerosols". *Journal of Environmental Radioactivity*, 168 (2017), pp. 54-60. <https://doi.org/10.1016/j.jenvrad.2016.07.003>

¹⁶² Alessandro Naso y otros. "Nuove ricerche di archeologia di superficie in Valmarecchia", *Studi Romagnoli*, 65 (2015), p. 15.

¹⁶³ María A. Guido y otros. "A Palynological Contribution to the Environmental Archaeology of a Mediterranean Mountain Wetland (North West Apennines, Italy)". *The Holocene*, 23.11 (2013), pp. 1518–1523. <https://doi.org/10.1177/0959683613496294>

¹⁶⁴ Vincenzo Fogliano. *Parco Regionale gallipoli cognato piccole dolomiti lucane*. Potenza: Región de Basilicata, 2015, p. 71.

¹⁶⁵ Pierre Cabanes. "Recherches archéologiques en albanie 1945-1985". *Revue Archéologique*, 1 (1986), pp. 120–125. Obtenido en: <https://www.jstor.org/stable/41736335> [Fecha de acceso: 16/02/2022].

¹⁶⁶ Archaeological Institute of America. *In the Footsteps of Aeneas: The Discovery of Butrint - Archaeology Magazine Archive*. Obtenido en <https://archive.archaeology.org/online/features/butrint/discovery.html>. [Fecha de acceso: 16/02/2022].

23	Qeparo, Vlorë. Albania	Límite. Parque Nacional de Butrinit. Parque Nacional de Llogara.	Ver Fterra, con el Parque Nacional de Butrini.	La vivienda se desarrolla en un único volumen compacto que crece en vertical rodeada de terreno. Las viviendas conforman un conjunto fluido sin un límite claro formando la población. Hay algunas viviendas aisladas en el entorno próximo.
24	Motovun, Istria. Croacia	Límite. Parque Natural Učka.	Fronteras desde la Prehistoria en la región de Istria, con asentamientos/fortalezas de Ilirios y celtas. El asentamiento no datado de Badavca cerca del manatial Valigaštar ¹⁶⁷ .	La vivienda se desarrolla en un único volumen compacto que crece en vertical. Algunas viviendas tienen un patio privado anexo al volumen. Las viviendas conforman un en el centro un conjunto compacto y en los bordes un límite fluido formando la población. Hay algunas viviendas aisladas en el entorno próximo.
25	Hum, Istria. Croacia	Límite. Parque Natural Učka.	Ver Motovun, con la región de Istria.	La vivienda se desarrolla en un único volumen compacto que crece en vertical. Las viviendas conforman un conjunto compacto formando la población. Hay algunas viviendas aisladas en el entorno próximo.
26	Avgonyma, Isla de Quios. Grecia	Límite. Parque Agios Ioannis-Tripate.	Cercano el sitio arqueológico de Volissos. Restos de naufragios del IV a. C al I a. C. Naufragio con ánforas contenían ADN de olivo y orégano ¹⁶⁸ .	La vivienda se desarrolla en un único volumen compacto que crece en vertical. Algunas viviendas tienen un patio privado anexo al volumen. Las viviendas conforman un conjunto compacto formando la población.
27	Vathia, Mani. Grecia	Colinas del monte Taigeto.	Cuevas de Diros. Paleolítico / Neolítico y las relaciones humano-animal. Cría de animales (ovejas/cabras mayoritariamente y vacas/cerdos en menor número) en el Neolítico para carne, leche y lana en el 6.000 a. C ¹⁶⁹ .	La vivienda se desarrolla en un único volumen compacto que crece en vertical. Algunas viviendas tienen un patio privado anexo al volumen. Las viviendas conforman un en el centro un conjunto compacto y en los bordes un límite fluido formando la población.

Tabla 3. Viviendas en sierra. Europa.

Coordenadas:

Población	Geolocalización	Coordenadas DMS	Altitud	
10	Nocario. Isla de Córcega. Francia	https://www.google.com/maps/place/20229+Nocario,+Francia/@42.3928797,9.3290489,14z/data=!3m1!4b1!4m5!3m4!1s0x12d74f479709d30b:0x40819a5fd9550a0!8m2!3d42.398762!4d9.351998	42° 23' 54.164" N 9° 21' 6.379" E	684 m.
11	Saint Julien d'Arpaon, Lozère. Francia	https://www.google.com/maps/place/Saint-Julien-d'Arpaon,+48400+Cans-et-C%3%A9vennes,+Francia/@44.2981091,3.6111756,12z/data=!3m1!4b1!4m5!3m4!1s0x12b381749745b96d:0x407882116699ed0!8m2!3d44.299807!4d3.662099	44° 17' 53.871" N 3° 40' 2.337" E	648 m.

¹⁶⁷ Slaven Bertosa. "Granice u Istri od prapovijesti do konca XVIII. Stoljeca/border in Istria, from prehistory to the late eighteenth century". *Ekonomika i Ekohistorija*, 12,1 (2016), pp. 20-22. Obtenido en: <https://www.proquest.com/docview/1874038253?pq-origsite=gscholar&fromopenview=true> [Fecha de acceso: 16/02/2022].

¹⁶⁸ Brendan P. y otros. "The 2005 Chios Ancient Shipwreck Survey: New Methods for Underwater Archaeology". *Hesperia: The Journal of the American School of Classical Studies at Athens*, 78.2 (2009), pp. 297-298.

¹⁶⁹ Anastasia Papatthasiou y otros. *Neolithic Alepotrypa Cave in the Mani, Greece*. Oxford: Oxbow Books, 2018, pp. 296-297.

Presentación de datos. La vivienda como fuente primaria.

12	Castelnou, Perpignan. Francia	https://www.google.com/maps/place/66300+Castelnou,+Francia/@42.6246712,2.6695611,13z/data=!3m1!4b1!4m5!3m4!1s0x12b00c239925b547:0x6e8ef9b37b71eded!8m2!3d42.619039!4d2.703348	42° 37' 10.336" N 2° 42' 10.516" E	282 m.
13	Le Barroux, Vaucluse. Francia	https://www.google.com/maps/place/Le+Barroux,+Francia/@44.1591217,5.0695672,13z/data=!3m1!4b1!4m5!3m4!1s0x12ca79b3a262277b:0x40819a5fd8fc6a0!8m2!3d44.137269!4d5.099823	44° 8' 11.589" N 5° 6' 0.168" E	325 m.
14	Saint Montan, Ardeche. Francia	https://www.google.com/maps/place/Saint-Montan,+Francia/data=!4m2!3m1!1s0x12b50e47613bd951:0x4093cafcbeb84e0?sa=X&ved=2ahUKewiQiZu3zo_yAhUTiFwKHdSmBNYQ8gEwH3oECEUQAQ	44° 26' 25.112" N 4° 37' 25.171" E	108 m.
15	Arrone, Terni. Italia	https://www.google.com/maps/place/05031+Arrone,+Terni,+Italia/@42.5832594,12.7682013,16z/data=!3m1!4b1!4m5!3m4!1s0x132ef85a9efedba7:0x10aeffa1abb9caa!8m2!3d42.5840254!4d12.768178	42° 34' 59.339" N 12° 46' 9.585" E	229 m.
16	Campodimele, Latina. Italia	https://www.google.com/maps/place/04020+Campodimele,+Italia/@41.3874506,13.5280955,16z/data=!3m1!4b1!4m5!3m4!1s0x132534da8054206b:0x9509a403513b4121!8m2!3d41.3869736!4d13.5326324	41° 23' 22.090" N 13° 31' 52.086" E	633 m.
17	Castel del Monte, L'Aquila. Italia	https://www.google.com/maps/place/67023+Castel+del+Monte,+L'Aquila,+Italia/@42.3654405,13.7223307,16z/data=!3m1!4b1!4m5!3m4!1s0x1331d2a1cac879d9:0x914d224f5c6f68b0!8m2!3d42.3647038!4d13.7266016	42° 21' 53.794" N 13° 43' 35.224" E	1331 m.
18	Civita di Bagnoregio, Viterbo. Italia	https://www.google.com/maps/place/01022+Civita+di+Bagnoregio,+Viterbo,+Italia/@42.6279197,12.1129628,18z/data=!3m1!4b1!4m5!3m4!1s0x132ed374d281cbcd:0xb7ba0de98218e79a!8m2!3d42.6275754!4d12.1130386	42° 37' 39.836" N 12° 6' 47.568" E	430 m.
19	Montefabbri, Pesaro y Urbino. Italia	https://www.google.com/maps/place/61022+Montefabbri+Pesaro+y+Urbino,+Italia/@43.8133491,12.6986191,18z/data=!3m1!4b1!4m5!3m4!1s0x132c6fbfd21b8669:0x3d97f03b1e0af616!8m2!3d43.8130842!4d12.6987903	43° 48' 47.193" N 12° 41' 56.755" E	303 m.
20	Parodi Ligure, Alessandria. Italia	https://www.google.com/maps/place/15060+Parodi+Ligure,+Alessandria,+Italia/@44.6696399,8.7457495,14.5z/data=!4m5!3m4!1s0x478761fb087a1039:0x651b9d06dac5895!8m2!3d44.6690565!4d8.7572769	44° 40' 12.421" N 8° 45' 30.056" E	352 m.
21	Pietrapertosa, Potenza. Italia	https://www.google.com/maps/place/85010+Pietrapertosa,+Potenza,+Italia/@40.5170307,16.0574688,16z/data=!3m1!4b1!4m5!3m4!1s0x1338e97dbf95c94f:0xdfc5058c704c9bea!8m2!3d40.5161862!4d16.0630206	40° 31' 9.562" N 16° 3' 39.240" E	959 m.
22	Fterra, Vlorë. Albania	https://www.google.com/maps/place/Fterra%3C%AB,+Albania/@40.1124845,19.891541,17z/data=!3m1!4b1!4m5!3m4!1s0x135b21730788937b:0x536edfdf528e90b0!8m2!3d40.113063!4d19.893864	40° 6' 48.022" N 19° 53' 45.665" E	376 m.
23	Qeparo, Vlorë. Albania	https://www.google.com/maps/place/Qeparo,+Albania/@40.0557213,19.821589,15z/data=!3m1!4b1!4m5!3m4!1s0x135b2461a39d3cab:0xdf4c0a104e871df4!8m2!3d40.05375!4d19.8291167	40° 3' 24.235" N 19° 49' 38.519" E	59 m.
24	Motovun, Istria. Croacia	https://www.google.com/maps/place/Motovun,+Croacia/@45.3360707,13.8097134,14z/data=!3m1!4b1!4m5!3m4!1s0x477ca718145c7a83:0x677595175247d560!8m2!3d45.3359506!4d13.8278605	45° 20' 10.986" N 13° 49' 41.700" E	267 m.
25	Hum, Istria. Croacia	https://www.google.com/maps/place/52425,+Hum,+Croacia/@45.3612784,13.930891,10.75z/data=!4m5!3m4!1s0x477b5592ed4b494d:0x18857a2bccfc5e89!8m2!3d45.3491241!4d14.049396	45° 20' 53.989" N 14° 3' 2.170" E	331 m.
26	Avgonyma, Isla de Quios. Grecia	https://www.google.com/maps/place/Avgonyma+821+00,+Grecia/@38.3769027,26.0188465,17z/data=!3m1!4b1!4m5!3m4!1s0x14bb5d96fe0a8fcf:0x77fb4e6344927833!8m2!3d38.3767617!4d26.0210634	38° 22' 36.259" N 26° 1' 15.699" E	472 m.
27	Vathia, Mani. Grecia	https://www.google.com/maps/place/Vathia+230+71,+Grecia/@36.4531846,22.4656814,18z/data=!3m1!4b1!4m5!3m4!1s0x136202ef8ab33169:0x500bd2ce2ba1110!8m2!3d36.4532686!4d22.4667765	36° 27' 11.332" N 22° 28' 1.503" E	166 m.

Tabla 4. Europa. Geolocalización de las viviendas en sierra. Europa.

3.3.2.1 La montaña con vistas: la orografía mediterránea.

La población de Le Barroux (Pob.13) se encuentra situada en el límite del Parque Nacional Regional de Luberon. Allí encontramos la población de Lourmarín (Img. 5) donde, al igual que en Hornos de Segura (Img. 4), las viviendas se desarrollan en torno a una cima poblada desde el Neolítico (Hornos de Segura también se encuentra en medio del Parque Natural de la Sierras de Cazorla, Segura y las Villas).



Img. 4. Hornos de Segura. España¹⁷⁰.



Img. 5. Lourmarín. Francia¹⁷¹.

Tal y como podemos apreciar en ambas fotografías, estas se materializan en volúmenes únicos bajo cubiertas a dos aguas. Volvemos a observar la similitud: existe una constante perceptiva en la volumetría de las viviendas, en un claro desarrollo de volúmenes únicos en altura.

Al ampliar la escala del territorio en Europa, encontramos que los asentamientos que se desarrollan tanto en el Neolítico como en la Edad de los Metales están asociados a la orografía y a la utilización de la montaña.

Como ejemplo de orografía, en Parodi Ligure (Pobl. 20) existen asentamientos que explotan el humedal del Parco Naturale delle Capanne di Marcarolo desde el año 9.000

¹⁷⁰ [Google Maps] <https://www.google.com/maps/search/Hoteles/@38.2169523,-2.720217,764m/data=!3m1!1e3!5m1!1e4> [Fecha de acceso: 16/05/2022].

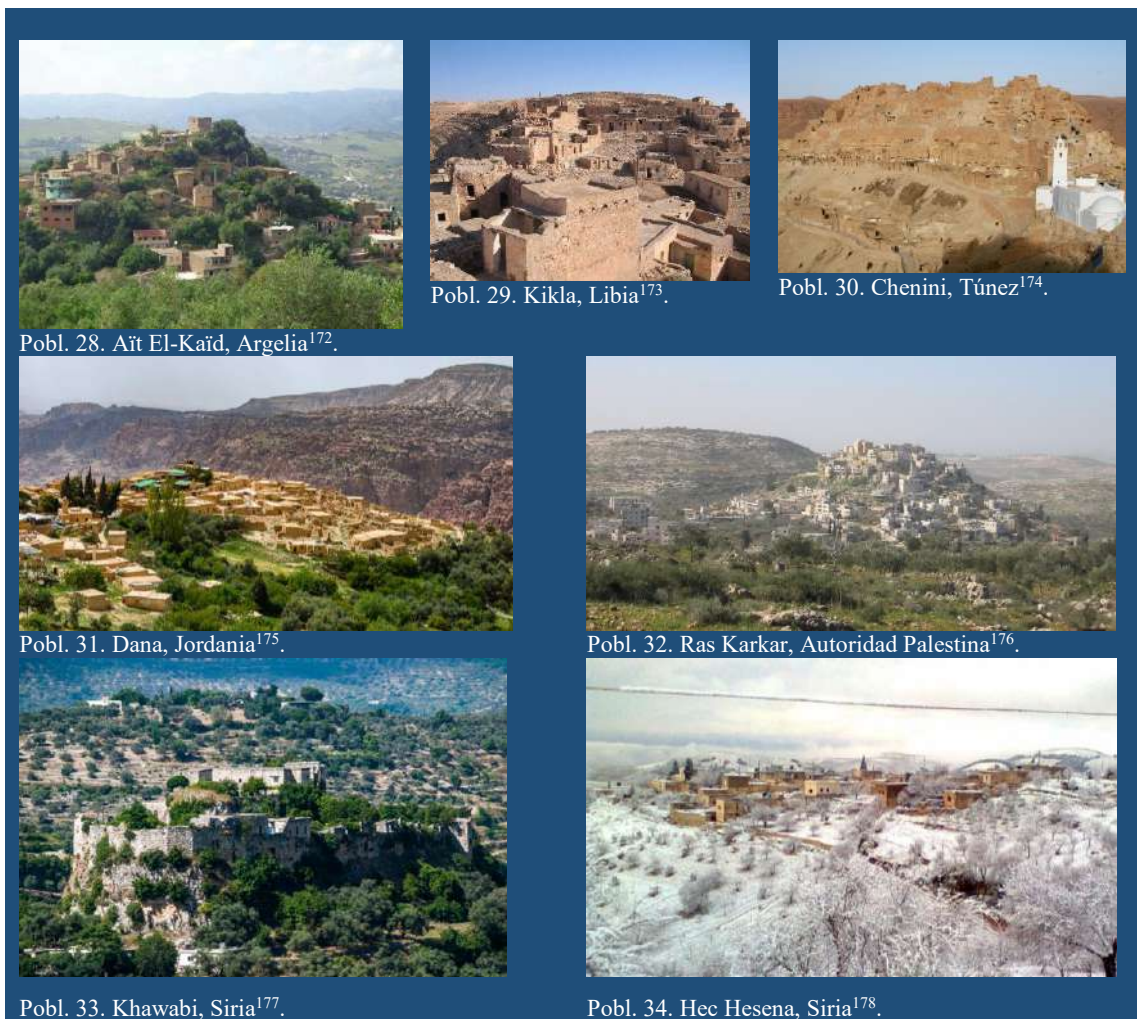
¹⁷¹ [Google Maps] <https://www.google.com/maps/place/Lourmarin/@43.7638028,5.359292,793m/data=!3m2!1e3!4b1!4m5!3m4!1s0x12ca1931205f01ff:0xddd13bb12683c9a18m2!3d43.7638028!4d5.361486> [Fecha de acceso: 16/05/2022].

a. C. En Pietrapertosa (Pob.21), los asentamientos son regulares desde el Neolítico en torno al 12.000 - 8.000 a. C. Y en Saint-Montan (Pob.14), existen estructuras agrarias en la zona de Areche y Liguria que datan del 5.000 – 4.800 a. C.

Respecto a la utilización del plano inclinado de la montaña, en Areche, los asentamientos del 5.000 – 4.800 a. C. se establecieron en pendiente en la zona de montaña del Parque Natural Regional de los Montes de Ardèche, junto al valle del río Ródano. En Parodi Ligure, encontramos asentamientos del 9.000 a. C. en la pendiente de las montañas del Parco Naturale delle Capanne di Marcarolo, junto al humedal del valle de los Laghi del Gorzente. En Pietrapertosa, los asentamientos del 12.000 - 8.000 a. C. también se localizan en pendiente en la zona de montaña del Parco Regionale Gallipoli Cognato Piccole Dolomiti Lucane.

Además de existir asentamientos cosntruidos aéreos, también existen restos habitacionales de población en el interior de las cuevas. Como por ejemplo cerca de Vathia (Pob.27), en el interior de las Cuevas de Diros, donde se encontraron restos abundantes de cría de animales del Neolítico de diferentes fechas desde el 6.000 a. C.

3.3.3.Sierra. Asia y África.



¹⁷² Amzighe-ndjardjer. (2014). *Village Ait El Kaid*. [Web] <https://amzighe-ndjardjer.skyrock.com/3208761633-Village-Ait-El-Kaid.html> [Fecha de acceso: 16/05/2022].

¹⁷³ Esther Kofod. *Kikla, Libya. THE LIBYAN Esther Kofod* www.estherkofod.com [Web] <https://www.pinterest.es/pin/333829391103875734/> [Fecha de acceso: 16/05/2022]. En el caso particular de Kikla, aunque la población en el año 2015 era de 10.500 habitantes, tras la guerra se ha reducido su población bastante. Aunque no existen datos oficiales que confirmen la cifra exacta, ha pasado a considerarse rural.

¹⁷⁴ Paul Bell. (2019). *Chenini and the legend of the Seven Sleepers*. [Web] https://notesfromcamelidcountry.files.wordpress.com/2019/01/img_3962-1.jpg [Fecha de acceso: 16/05/2022].

¹⁷⁵ Surfingtheplanet. *La Reserva Natural de Dana – un lugar de paz inmensa*. [Web] <https://www.surfingtheplanet.com/reserva-biosfera-dana/> [Fecha de acceso: 16/05/2022].

¹⁷⁶ Rezq Nofal. (2017). *Ras Karkar*. [Web]. Obtenida en https://www.palestineremembered.com/GeoPoints/Ras_Karkar_1517/Picture_11143.html. [Fecha de acceso: 16/05/2022].

¹⁷⁷ Daniel Demeter. (2006). *Qalaat al-Khawabi*. [Web]. Obtenida en <https://www.flickr.com/photos/syriaphotoguide/23992821170/in/photostream/> [Fecha de acceso: 16/05/2022].

¹⁷⁸ Muhammed Sido. (2016). *Hec Hesena*. [Web] <https://tinyurl.com/y6c44mj5> [Fecha de acceso: 16/05/2022].

Presentación de datos. La vivienda como fuente primaria.

Población	Entorno NATURAL	Prehistoria - Cultura de las cuevas / Edad de los Metales	Agrupación de viviendas: INDIVIDUAL/COLECTIVA
28 Ait El-Kaid, Agouni Gueghrane, Tizi Ouzou. Argelia	Límite. Parque Nacional de Djurdjura. Parque Nacional de Tikjda.	En el Parque Natural de Djurja se estudian restos humanos y su relación con el <i>iberomaurusian</i> del Paleolítico y los movimientos migratorios entre el África del Norte, Asia y Europa ¹⁷⁹ .	La vivienda se desarrolla en un único volumen compacto que crece en vertical. Las viviendas conforman un conjunto fluido sin un límite claro formando la población. Hay algunas viviendas aisladas en el entorno próximo.
29 Kikla, Barka o Tripolitana. Libia	Montañas Nafusa. Yebel Nafusa. Límite. Parque Nacional Abuscabh.	Interacción fenicio-africana o libio-fenicia en el I milenio a. C. que da lugar a procesos de mestizaje (influencia sobre población autóctona de los fenicios) y a un repertorio iconográfico norteafricano presente en los haouanet libios hasta costa atlántica africana y europea. Representaciones de animales y cabañas ganaderas ¹⁸⁰ .	La vivienda se desarrolla en un único volumen compacto que crece en vertical, o en varios volúmenes con un patio privado interior. Las viviendas conforman un conjunto compacto formando la población. Hay algunas viviendas aisladas en el entorno próximo.
30 Chenini, Gabés. Túnez	Límite. Parque Nacional de Jbil.	Estudio sobre los desplazamientos humanos (sur de Túnez) en uno de los grandes lagos que existieron entre el Sahara y el Mediterráneo en el Cuaternario tardío, existiendo una larga duración de la ocupación humana ¹⁸¹ . Estructuras megalíticas del 4.000 -3000 a. C. dispersas por todo el norte del Sahara, desde el Holoceno Medio, que revela una red de conexiones de las primeras comunidades de pastores ¹⁸² .	La vivienda se desarrolla en un único volumen compacto que crece en vertical. Algunas viviendas tienen un patio privado anexo al volumen. Las viviendas conforman un en el centro un conjunto compacto y en los bordes un límite fluido formando la población.
31 Dana, Feynan. Jordania	Reserva de la biosfera de Dana.	Antes de la Edad de Bronce se produjo una aridificación del entorno, por el impacto agrícola de los asentamientos de poblaciones. Desde la Edad de Bronce hasta el periodo bizantino, la creciente industria (con la extracción, procesamiento y fundición del cobre y con la necesidad de carbón), tuvo un impacto masivo en la aridez de las tierras bajas. Hay evidencias de una pequeña Edad de Hielo, coincidente con la europea ¹⁸³ .	La vivienda se desarrolla en un único volumen compacto que crece en vertical, o en varios volúmenes con un patio privado interior. Las viviendas conforman un en el centro un conjunto compacto y en los bordes un límite fluido formando la población.

¹⁷⁹ Joel D. Irish. "The Iberomaurusian Enigma: North African Progenitor or Dead End?" *Journal of Human Evolution*, 39.4 (2000), pp. 406–407. <https://doi.org/10.1006/jhev.2000.0430>

¹⁸⁰ Rodrigo de Balbín Behrmann y otros. "Grabados rupestres de la fachada atlántica europea y africana. Rock Carvings of the European and African Atlantic Façade". *Oxford: BAR international series (Archaeopress)*, 2043 (2009), pp. 205–206.

¹⁸¹ Jafaar Ben Nasr y otros. "Climat, environnement et sociétés de la Préhistoire du sud tunisien: résultats préliminaires et perspectives de la recherche". *Cartagine. Studi e Ricerche*, 1 (2016), pp. 9–10. <https://doi.org/10.13125/caster/2497>

¹⁸² Andrea Mónaco y otros. "Megalithic Structures of the northern Sahara (Chott el Jérid, Tunisia)". *Cartagine. Studi e Ricerche*, 5 (2020), pp. 2-23. <https://doi.org/10.13125/caster/4078>

¹⁸³ Chris O. Hunt y otros. "An 8000-year history of landscape, climate, and copper exploitation in the Middle East: the Wadi Faynan and the Wadi Dana National Reserve in southern Jordan". *Journal of Archaeological Science*, 34.8 (2007), pp. 1306–1309, 1332–1333. <https://doi.org/10.1016/j.jas.2006.10.022>

32 Ras Karkar, Ramalla y AlBireh. Autoridad Palestina	Montes de Judea. Límite. Llanura Sefela. valle del Jordán.	Cercano se encuentra el recinto arqueológico de Palmahim del Calcolítico 4.500 – 3.500 a. C. Destacan dos tipos de enterramientos: el primero es el enterramiento realizado en cuevas cavadas o naturales en la cima de colinas bajas, el segundo es el enterramiento en estructuras hechas de piedra de forma redonda u oval ¹⁸⁴ .	La vivienda se desarrolla en un único volumen compacto que crece en vertical. Algunas viviendas tienen un patio privado anexo al volumen. Las viviendas conforman un en el centro un conjunto compacto y en los bordes un límite fluido formando la población. Hay algunas viviendas aisladas en el entorno próximo.
33 Khawabi, Tartus. Siria	Montañas an-Nusayriyah /Jibāl un-Nuṣayriyah o montañas Alauitas /Jibāl al-‘Alawīyin.	Neolítico en 6.000 – 4.600 a. C. Existencia de campamentos prealfareros en el valle de Khawabi, la cuenca del Couara y las tierras áridas del norte de Siria. Los grandes asentamientos del valle del Eufrates y del valle de Balikh, son similares a los asentamientos que se encuentran en una región más amplia. Teoría sobre la conquista de los pasos semiáridos de Siria central empezaron en el 7000 cal. BC, siendo clave el papel de la estepa semiárida y las regiones montañosas para comprender la neolitización de la región ¹⁸⁵ .	La vivienda se desarrolla en un único volumen compacto que crece en vertical. Algunas viviendas tienen un patio privado anexo al volumen. Las viviendas conforman un en el centro un conjunto compacto y en los bordes un límite fluido formando la población. Hay viviendas aisladas en el entorno próximo.
34 Hec Hesena, Alepo. Siria	Valle Afrin. Afrin Valley. Límite. Monte Kurd. Monte Simeon.	Edad de Cobre en los valles de el río Khabor y en el río Balikh. Cambios en los patrones de asentamientos en Siria en el 7.000 – 5.500 a. C. en los que los asentamientos aumentan y disminuyen rápidamente. Se define la cultura Halaf que engloba a grupos nómadas o migraciones de poblaciones extranjeras. 6.100–5.850 a. C.: asentamientos pequeños inferiores a 1 hectárea. 5.580–5.700 a. C.: nuevos asentamientos y reocupación de anteriores abandonados, inferiores a media hectárea, de grupos nómadas. 5.700-5.500 a. C.: aparecen tres asentamientos de 17 hectáreas. El clima sigue siendo desfavorable para la actividad agrícola, parece que el lugar de la fundación de los asentamientos tiene consideración comercial e industrial. 5.550-5.300 a. C.: difusión de rasgos culturales halaf (cerámica y estilos de construcción). Continúa la tendencia de muchos asentamientos de tamaño reducido. 5.300-5.050 a. C.: comienza el periodo de transición entre las culturas Halaf y Ubaid ¹⁸⁶ .	La vivienda se desarrolla en un único volumen compacto que crece en vertical rodeada de terreno. Las viviendas conforman un conjunto fluido sin un límite claro formando la población.

Tabla 5. Viviendas en sierra. Asia y África.

¹⁸⁴ Amir Gorzalczany. “Centro y periferia en el antiguo Israel: nuevas aproximaciones a las prácticas funerarias del Calcolítico en la planicie costera”. *Antiguo Oriente: cuadernos del Centro de Estudios de Historia del Antiguo Oriente*, 5 (2007), pp. 217-218.

¹⁸⁵ Ferran Borrell y otros. “New Evidence Concerning the Neolithisation Process of the Central Syrian Desert: The Neolithic Complex of Mamarrul Nasr”. *Paléorient*, 37.2 (2011), pp. 35-36, pp. 44-43. <https://doi.org/10.3406/paleo.2011.5421>

¹⁸⁶ Shadi Watfa. “Chalcolithic settlement patterns in syria”. *Arqueología y Territorio*, 12 (2015), pp. 22-27.

Coordenadas:

Población	Geolocalización	Coordenadas DMS	Altitud
28 Ait El-Kaid, Agouni Gueghrane, Tizi Ouzou. Argelia	https://www.google.com/maps/place/At+Lqayed,+Agouni+Gueghrane,+Argelia/@36.5112089,4.0986766,16z/data=!3m1!4b1!4m5!3m4!1s0x128c4ae5ce8f2543:0xa6f4fe60c832d052!8m2!3d36.5106685!4d4.1040522	36° 30' 39.512" N 4° 6' 8.544" E	636 m.
29 Kikla, Barka o Tripolitana. Libia	https://www.google.com/maps/place/Kikla,+Libia/@32.0608224,12.6709055,14z/data=!3m1!4b1!4m5!3m4!1s0x13aee76988a4e54f:0xc74f608d4e6cf86f!8m2!3d32.0597348!4d12.696277	32° 4' 12.794" N 12° 41' 36.823" E	768 m.
30 Chenini, Gabés. Túnez	https://www.google.com/maps/place/Chenini,+T%C3%BAnez/@32.9140714,10.2749527,16z/data=!3m1!4b1!4m5!3m4!1s0x1254bde552d30dcf:0x4284f800d01d6980!8m2!3d32.9145924!4d10.2782412	32° 54' 44.536" N 10° 15' 42.743" E	1634 m.
31 Dana, Feynan. Jordania	https://www.google.com/maps/place/Dana,+Jordania/@30.6752577,35.6015454,15z/data=!3m1!4b1!4m5!3m4!1s0x1503e8f589b3f33d:0xfc10ed9bee49fc4!8m2!3d30.6752585!4d35.6103002	30° 40' 33.219" N 35° 36' 33.481" E	1219 m.
32 Ras Karkar, Ramalla y AlBireh. Autoridad Palestina	https://www.google.com/maps/place/Ras+Karkar/@31.9426932,35.0951502,15z/data=!4m1!3m1!4m5!3m4!1s0x151d2cc7714b6813:0xc9a079a98ec8ab46!2sRas+Karkar!3b1!8m2!3d31.942694!4d35.103905!3m4!1s0x151d2cc7714b6813:0xc9a079a98ec8ab46!8m2!3d31.942694!4d35.103905	31° 56' 36.609" N 35° 6' 10.854" E	510 m.
33 Khawabi, Tartus. Siria	https://www.google.com/maps/place/Khawabi,+Siria/@34.9720491,36.0018561,16z/data=!3m1!4b1!4m5!3m4!1s0x1523dbd9145ff41b:0x59e81f5eb6873881!8m2!3d34.9739048!4d36.0062325	34° 58' 27.551" N 36° 0' 25.479" E	246 m.
34 Hec Hesena, Alepo. Siria	https://www.google.com/maps/place/Hec+Hesena,+Siria/@36.4846932,36.6464209,16z/data=!3m1!4b1!4m5!3m4!1s0x152f82ffb9553bb:0x84155c573c953a86!8m2!3d36.4844712!4d36.6512207	36° 28' 59.829" N 36° 39' 9.223" E	554 m.

Tabla 6. Geolocalización de viviendas en sierra. Asia y África.

3.3.3.1 La vivienda en la montaña: las vistas y el control del paisaje.

Si nos fijamos en el territorio de Asia y África, encontramos que los asentamientos de la Prehistoria y de la Edad de los Metales vuelven a estar asociados a la orografía.

En Dana (Pob. 31), en la Reserva de la biosfera de Dana en la Edad de Bronce, localizamos numerosos asentamientos que con su impacto agrícola provocan una arificación en la zona. En Chenini (Pobl. 30), en el Parque Nacional de Jbil y por todo el norte del Sáhara en el 4.000-3.000 a. C., existen estructuras megalíticas de los diferentes asentamientos que llegan hasta la costa atlántica africana y europea.

En Hec Hesena (Pobl. 34), en los valles del río Khabur y del río Balihk junto al Monte Simeón en el 7.000-5.500 a. C., identificamos asentamientos que en ciertos periodos son numerosos y de tamaño pequeño (en torno a 1 hectárea) y, en otros, son numerosos y pequeños (asociados a la agricultura), o pocos y grandes (de 17 hectáreas, asociados a la industria y al comercio).

Además, en el caso de Hec Hesena, es importante destacar que los asentamientos se producen por la población de la cultura Halaf (que engloba a los grupos nómadas) y de la procedente de la emigración. Esta mezcla nos lleva a un concepto que hasta ahora no habíamos mencionado: la frontera.

Encontramos o bien una necesidad de defensa o un trazado de límites, unido a la mezcla de los múltiples asentamientos que conviven en el Mediterráneo.

Además, la propia orografía mediterránea de sierras y valles (Pob. 1- Pob. 34) conforma una frontera natural por la constante presencia de montañas.

La convivencia de la población (con sus necesidades) en el entorno de frontera natural mediterránea puede establecer un patrón que lleva a las personas a utilizar las cimas y los planos inclinados de las montañas con vistas al territorio, para establecer sus viviendas en núcleos urbanos de manera continua en el tiempo.

Por ejemplo, cerca de Nocario (Pob.10), encontramos colonizadores de los pueblos del mar que se relacionan con los asentamientos de los torreanos autóctonos (con sus casas torres). En Castel del Monte (Pob.17) existió una aristocracia e ideología guerrera del XI a. C. descritas en los documentos romanos. En Fterra (Pob.22) está la colina fortificada del VI a. C. En Motovun (Pob.24) localizamos estructuras fortificadas de los ilirios y los celtas que marcan una clara frontera a proteger. En Kikla (Pob.29) existe un mestizaje que se produce entre la población fenicia y la africana en el I milenio a. C. Y en Khawabi (Pob.33) los *campamentos prealfareros* del 6.000-4.000 a. C. utilizaron las regiones montañosas para luchar por el control de los pasos semiáridos.

Todos estos asentamientos están localizados en las zonas montañosas del Mediterráneo y esto, no olvidemos, justo es el elemento diferenciador propio de la región mediterránea, que se caracteriza por tener un relieve constante de sierra-valle en la mayor parte de su territorio, llegando las montañosas hasta el litoral.

Buscaremos la influencia de los puntos de unión/frontera en las viviendas con los asentamientos en sierra localizadas en el entorno de ribera (ya sea de agua dulce o del mar Mediterráneo).

3.3.4.Sierra. Cima y ribera de mar.



¹⁸⁷ Rafikus88. (2008). *El Aouana, l'ancienne Cavallo*. [Web] <https://tinyurl.com/y4qkgv25> [Fecha de acceso: 16/05/2022].

¹⁸⁸ Jesús de León. (2014). Tossa de Mar. [Web] <https://tinyurl.com/y3yeghps> [Fecha de acceso: 16/05/2022].

¹⁸⁹ Turismo Andaluz, S.A. Deporte Andaluz, S.A. [Web] <https://www.andalucia.org/en/cuevas-del-almanzora-sun-and-beaches-villaricos> [Fecha de acceso: 16/05/2022].

¹⁹⁰ Doume Piazzolli. (2019). *Les trois pointus de Gruissan*. [Web] <https://tinyurl.com/y26cowo4> [Fecha de acceso: 16/05/2022].

¹⁹¹ Tan Yilmaz. (2018). *Hydra Sunset*. [Web] <https://tinyurl.com/yyhmzm5j> [Fecha de acceso: 16/05/2022].

¹⁹² Freesurf69. (2018). *Lindos, on the island of Rhodes, Greece*. [Web] <https://www.britannica.com/place/Lindos> [Fecha de acceso: 16/05/2022].

¹⁹⁴ DianaChristina7. (2010). *Hiking through Cinque Terre (5 towns...)*. [Web]. Obtenida en <https://tinyurl.com/y32cplnz> [Fecha de acceso: 16/05/2022].

¹⁹⁵ Petr Melnikov. (2016). *Sveti Stefan 02*. [Web] <https://tinyurl.com/y68tnbut> [Fecha de acceso: 16/05/2022].

¹⁹⁶ Edmundo Fayánas. (2015). *Bodrum, la maravillosa costa turca*. [Web] <https://www.nuevatribuna.es/articulo/sociedad/bodrum-maravillosa-costaturca-viajes-turismo/20190222100145160376.html> [Fecha de acceso: 16/05/2022].

	Población	Entorno NATURAL	FUNDACIÓN/ORIGEN	Agrupación de viviendas: INDIVIDUAL/COLECTIVA
35	Ziama Mansouriah, Jijel, Argelia	Macizo montañoso con llanuras costeras. Límite. Parque Nacional de Taza-Jijel.	INDETERMINADO. Existen dólmenes con tumbas de la protohistoria en las cercanías de Ziama Mansouriah (ex Cavallo) ¹⁹⁷ .	La vivienda se desarrolla en un único volumen compacto que crece en vertical. Algunas viviendas tienen un patio privado anexo al volumen. Las viviendas conforman un conjunto compacto formando la población. Las viviendas conforman un conjunto fluido sin un límite claro formando la población.
36	Tossa de Mar, Gerona. España	Límite. Reserva Natural Massis de les Cadiretes.	INDETERMINADO. Pedra sobre Altra: sepulcro megalítico, que pertenece a la comarca de las Gabarras-Cadiretes-Montclar, plagada de cuevas naturales, cuevas artificiales, sepulcros paradolménicos y abrigos naturales ¹⁹⁸ . FUNDACIÓN. Origen ibero/vasco: palabra preromana iturri=fuente, como origen del nombre Turissa ¹⁹⁹ . Continuación romana: Villa romana de Ametllers ^{200 y 201} .	La vivienda se desarrolla en un único volumen compacto que crece en vertical, o en varios volúmenes con un patio privado interior. Las viviendas conforman un en el centro un conjunto compacto y en los bordes un límite fluido formando la población. Hay algunas viviendas aisladas en el entorno próximo.
37	Villaricos, Almería. España	Sierra Almagrera. Sierra Cabrera.	INDETERMINADO. En el valle de Almanzora, numerosos materiales megalitos desde el 3 milenio a. C. En la zona de Villaricos desde el 1 milenio a. C. hasta el VI a. C. ²⁰² . Túmulos de ambiente indígena en Villaricos del VI a. C. ²⁰³ . FUNDACION. Ciudad fenicia <i>Baria</i> fundada por tirios VII a. C. ²⁰⁴ junto al río Almanzora que comunica con el interior a través de la depresión de Vera.	La vivienda se desarrolla en un único volumen compacto que crece en vertical, o en varios volúmenes con un patio privado interior. Las viviendas conforman un en el centro un conjunto compacto y en los bordes un límite fluido formando la población.

¹⁹⁶ Edmundo Fayánas. (2015). *Bodrum, la maravillosa costa turca*. [Web] <https://www.nuevatribuna.es/articulo/sociedad/bodrum-maravillosa-costaturca-viajes-turismo/20190222100145160376.html> [Fecha de acceso: 16/05/2022].

¹⁹⁷ Pierre Salama. “Djidjelli. (Igilgili, Jijel)”. *Encyclopédie berbère*, 16 (1995), p. 2470.

¹⁹⁸ Lluís Esteve i Cruañas y otros. “Sepulcro paradolménico de Pedra sobre altra (Tossa de Mar, Girona)”. *Cypsel: revista de prehistòria i protohistòria*, 4 (1982), p. 59.

¹⁹⁹ Manuel Fernández Escalante. “Las Nescas pirenaicas y la Nescania bética. Sobre una aparente aporía histórico-filológica”. *Archivo de filología aragonesa*, 28 (1981), pp. 187–188.

²⁰⁰ Jordi Colomeda Folgado y otros. “Estudi preliminar del material ceràmic procedent de la vil· la romana dels Ametllers (Tossa de Mar), del fons del Museu d’Història de Sant Feliu de Guixols”. *Quaderns de la Selva*, 8(1995), pp. 33-34. Obtenido en: <https://raco.cat/index.php/QuadernsSelva/article/view/26001> [Fecha de acceso: 16/02/2022].

²⁰¹ Lluís Palahi Grimal y otros. *Felix Turissa: la vil·la romana dels Ametllers i el seu fundus (Tossa de Mar, la Selva)*. Tarragona: Universitat Rovira i Virgili, 2010.

²⁰² Manuel Pellicer Catalán y Pilar Acosta. “Prospecciones Arqueológicas en el Alto Valle del Almanzora (Almería)”, *Zephyrus*, 25 (1974), p. 169.

²⁰³ José María Blázquez. “Los túmulos de Villaricos (Almería), Setefilla y Carmona (Sevilla), Castulo (Jaén), Torre de Doña Blanca (Cádiz) y de Marruecos y sus prototipos orientales”. *Alicant: Biblioteca Virtual Miguel de Cervantes*, 2006, p. 2. Obtenido en: <https://www.cervantesvirtual.com/nd/ark:/59851/bmcp2792> [Fecha de acceso: 04/02/2022].

²⁰⁴ José Luis López Castro y otros. “La ciudad de Baria y su territorio”. *Mainake*, 32 (2010), pp. 109–110.

Presentación de datos. La vivienda como fuente primaria.

38	Gruissan, Aude. Francia	Laderas del Litoral Audois. Límite. Parque Natural Regional de la Narbonnaise en Méditerranée. Parque Natural régional du Haut-Languedoc	INDETERMINADO. Paleolítico en la cueva de La Crouzade ²⁰⁵ . Romano. Habitat costero, asentamiento rural: Île Saint-Martin en Gruissan, salinas y asentamiento del I d. C. ²⁰⁶ , asociado a Narbonne (<i>Narbonnaise</i> primera capital, primera hija de Roma fuera de Italia).	La vivienda se desarrolla en un único volumen compacto que crece en vertical. Algunas viviendas tienen un patio privado anexo al volumen. Las viviendas conforman un conjunto compacto formando la población. Hay algunas viviendas aisladas en el entorno próximo.
39	Hydra, Hydra. Grecia	Macizo montañoso en torno al Monte Eros o Vigla.	INDETERMINADO. Presencia de hábitats campesinos (agricultores y pastores) 3 milenio a. C. ²⁰⁷ . Grecia, Dorios y Bizantino. Deshabitada XV d. C. Conocida, gracias a su poder mercantil, a partir del XVII d. C. Máximo esplendor en el XVIII-XIX d. C., época de las mansiones ²⁰⁸ .	La vivienda se desarrolla en un único volumen compacto que crece en vertical, o en varios volúmenes con un patio privado interior. Las viviendas conforman un conjunto fluido sin un límite claro formando la población.
40	Lindos en Rodas, Rodas. Grecia	Límite. Macizo montañoso en torno al monte Atavyros.	INDETERMINADO: Fundada por los Dorios en el X a. C. bajo el rey Tlepolemo. Es una de las seis ciudades dorias conocidas como la hexápolis dórica. Dos teorías: fundación por Lindos, hijo de Cércafo, o fundación por Tlepólemo, hijo de Heracles ²⁰⁹ . Los caballeros de San Juan en el XVI d. C. construyeron un castillo sobre las ruinas para defenderla de los otomanos ²¹⁰ .	La vivienda se desarrolla en un único volumen compacto que crece en vertical con un patio privado anexo al volumen, o en varios volúmenes con un patio privado interior. Algunas viviendas en volumen único están rodeadas de terreno. Las viviendas conforman un conjunto fluido sin un límite claro formando la población.
41	Kastro-Monemvasia, Agia Kiriaki. Grecia	Promontorio rocoso en una isla pequeña.	FUNDACION: La fortificaron los griegos en el 583 d. C. durante reinado emperador bizantino Mauricius. Malvasia. Monemvasia (una sola entrada) ²¹¹ . En el X d. C. se convierte en importante centro comercial y marítimo. 1248 d. C., tras asedio de tres años, la conquista Guillermo II de Villehardouin. XVI y XVII con los venecianos. 1715-1826 d. C. los otomanos ²¹² . Edificios en pie del XII-XVI d. C. Destrucción por desprendimientos de rocas ²¹³ .	La vivienda se desarrolla en un único volumen compacto que crece en vertical con un patio privado anexo al volumen, o en varios volúmenes con un patio privado interior. Las viviendas conforman un conjunto compacto formando la población.

²⁰⁵ Thibaud Saos y otros. "The Middle and Upper Palaeolithic at La Crouzade cave (Gruissan, Aude, France): New excavations and a chronostratigraphic framework". *Quaternary International*, 551 (2020), pp. 85-104.

²⁰⁶ Corinne Sánchez y otros. "Un établissement littoral antique, l'île Saint-Martin à Gruissan (Aude)". *Revue archéologique de Narbonnaise*, 33.1 (2000), p. 339.

²⁰⁷ Jeremy B. Rutter. "Review of Aegean Prehistory II: The Prepalatial Bronze Age of the Southern and Central Greek Mainland". *American Journal of Archaeology*, 97.4 (1993), pp. 745-97. <https://doi.org/10.2307/506720>

²⁰⁸ Marcus Rediker y Peter Linebaugh. "The many-headed hydra: sailors, slaves, and the Atlantic working class in the eighteenth century". *Journal of Historical Sociology*, 3 (1990), pp. 225-252. <https://doi.org/10.1111/j.1467-6443.1990.tb00149.x>

²⁰⁹ Doğan Kuban. "Muslim Religious Architecture". *Istanbul Technica University*. 3.6 (1974), pp. 3-28.

²¹⁰ Ricardo González Castrillo. "Sobre la conquista otomana de Rodas/The Ottoman Conquest of Rhodes". *Anaquel de estudios árabes*, 18 (2007), pp. 117 - 135.

²¹¹ Peter Charanis. "The Chronicle of Monemvasia and the Question of the Slavonic Settlements in Greece". *Dumbarton Oaks Papers*, 5 (1950), pp. 139-66. <https://doi.org/10.2307/1291076>

²¹² Paul Wittek. "The Castle of Violets: From Greek Monemvasia to Turkish Menekshe". *Bulletin of the School of Oriental and African Studies*, 20.1 (1957), pp. 601-613. <https://doi.org/10.1017/S0041977X00062170>

²¹³ H. Saroglou y otros. "Rockfall hazard and risk assessment: an example from a high promontory at the historical site of Monemvasia, Greece". *Natural Hazards and Earth System Sciences*, 12.6 (2012), pp. 1823-1836. <https://doi.org/10.5194/nhess-12-1823-2012>

42	Vernazza, La Spezia. Italia	Parque Nacional Cinque Terre. Parco Nazionale delle Cinque Terre	FUNDACION. Año 1000 d. C se crean elementos arquitectónicos en la costa de Cinque Terre para frenar los ataques de sarracenos y piratas berberiscos. Año 1016 d. C. se certifica el primer asentamiento. En 1080 d. C. Vernazza está documentado como Castrum Vernatio, centro marítimo de la familia franca Obertenghi. Señores de la zona en siglos XI y XII d. C. Edificios. Iglesia 1248 dC ²¹⁴ .	La vivienda se desarrolla en un único volumen compacto que crece en vertical. Algunas viviendas tienen un patio privado anexo al volumen. Las viviendas conforman un en el centro un conjunto compacto y en los bordes un límite fluido formando la población. Hay algunas viviendas aisladas en el entorno próximo.
43	Sveti Stefan, Budva. Montenegro	Límite. Parque Nacional Lovćen.	INDETERMINADO. Era un poblado pesquero en el XV d. C. 1.442 d. C. la primera mención escrita, se describe como un fuerte cerca de la costa. Reconstrucción viviendas de hoy en XVIDC por Republica de Venecia. En origen la isla con su fortaleza albergaba a 12 familias. En la actualidad es un hotel de lujo ²¹⁵ gracias a la <i>arquitectura tradicional</i> ²¹⁶ .	La vivienda se desarrolla en un único volumen compacto que crece en vertical. Las viviendas conforman un conjunto compacto formando la población.
44	Bodrum, Muğla. Turquía	Macizo montañoso en península entre el golfo de Mandalya y el golfo de Kerme.	INDETERMINADO. Bodrum (otomanos), Petronium (romano), Halicarnaso (griego, invadida por Alejandro Magno).	La vivienda se desarrolla en un único volumen compacto que crece en vertical rodeada de terreno. Las viviendas conforman un conjunto fluido sin un límite claro formando la población. Hay algunas viviendas aisladas en el entorno próximo.

Tabla 7. Viviendas en cima y ribera de mar. Mediterráneo.

Coordenadas:

	Población	Geolocalización	Coordenadas DMS	Altitud
35	Ziama Mansouriah, Jijel, Argelia	https://www.google.com/maps/place/El+Aouana,+Argelia/@36.7387885,5.556441,12z/data=!3m1!4b1!4m5!3m4!1s0x12f2f3ab504da1b5:0xa26c099cf65bae59!8m2!3d36.7726109!4d5.6078623	36° 39' 47.916" N 5° 26' 18.321" E	13 m.
36	Tossa de Mar, Gerona. España	https://www.google.com/maps/place/17320+Tossa+de+Mar,+Girona/@41.7224567,2.926602,16z/data=!3m1!4b1!4m5!3m4!1s0x12bb1aa7ac11aaa1:0xa2614f4aec8334cd!8m2!3d41.7224989!4d2.9303675	41° 42' 58.468" N 2° 55' 58.533" E	14 m.
37	Villaricos, Almería. España	https://www.google.com/maps/place/04616+Villaricos,+Almer%C3%ADa/@37.2496157,-1.7725262,17z/data=!3m1!4b1!4m5!3m4!1s0xd7b2b72136d54f1:0x5804bcd88fb92f9b!8m2!3d37.2496018!4d-1.7702954	37° 14' 58.677" N 1° 46' 12.752" W	13 m.
38	Gruissan, Aude. Francia	https://www.google.com/maps/place/11430+Gruissan,+Francia/@43.104131,3.016003,25197m/data=!3m2!1e3!4b1!4m5!3m4!1s0x12b05568a27ca6a3:0xa4103ff809ed37896!8m2!3d43.107052!4d3.086181	43° 6' 26.457" N 3° 5' 4.489" E	10 m.
39	Hydra, Grecia	https://www.google.com/maps/place/Hidra/@37.3320804,23.4012438,27441m/data=!3m2!1e3!4b1!4m5!3m4!1s0x149f76ae7715d93b:0x3f95e23d0d3fd9b7!8m2!3d37.3287894!4d23.4716567	37° 20' 57.353" N 23° 27' 56.973" E	7 m.

²¹⁴ Claire M. O'Neill y otros. *From Smart History towards common European Heritage by a preservation model of CINQUE TERRE NATIONAL PARK-Italy*. Riomaggiore: Parco Nazionale delle Cinque Terre, 2005, pp. 23–57.

²¹⁵ Rifat Alihodzic. "Significance of Management in Valorization of Old Urban Units Based on Montenegrin Example". *MATEC Web of Conferences*, 170,02002 (2018). <https://doi.org/10.1051/mateconf/201817002002>

²¹⁶ Mirko Grbić y otros. "Local Tendencies in Urban Design Viewed Through the Case Study of Contemporary Development Design in Context of Traditional Architecture". *Architecture & Urban Planning*, 12.1 (2016). <https://doi.org/10.1515/aup-2016-0011>

40	Lindos en Rodas, Rodas. Grecia	https://www.google.com/maps/place/Lindos+851+07,+Grecia/@36.0916895,28.077082,2073m/data=!3m2!1e3!4m5!3m4!1s0x14950bd7c2d72faf:0x400bd2ce2b9b300!8m2!3d36.0918486!4d28.0856654	36° 5' 30.666" N 28° 5' 8.834" E	35 m.
41	Kastro-Monemvasía, Agia Kiriaki. Grecia	https://www.google.com/maps/place/Monemvas%C3%ADa,+Grecia/@36.6874629,23.0548089,432m/data=!3m2!1e3!4b1!4m5!3m4!1s0x149e41d1e40eaa5f:0xdb7d0a06b9f3bb3!8m2!3d36.6876016!4d23.056032	36° 41' 14.478" N 23° 3' 19.306" E	15 m.
42	Vernazza, La Spezia. Italia	https://www.google.com/maps/place/19018+Vernazza,+La+Spezia,+Italia/@44.1355137,9.682397,387m/data=!3m2!1e3!4b1!4m5!3m4!1s0x12d4f02be5dd145f:0x775cff3f41b7b2a!8m2!3d44.1349211!4d9.6849935	44° 8' 7.358" N 9° 41' 0.847" E	38 m.
43	Sveti Stefan, Budva. Montenegro	https://www.google.com/maps/place/Sveti+Stefan,+Montenegro/@42.2527181,18.8891512,3193m/data=!3m2!1e3!4b1!4m5!3m4!1s0x134dd425fefbc6b9:0xd71be0f8fa53b610!8m2!3d42.2515444!4d18.8982264	42° 15' 20.211" N 18° 53' 28.005" E	11 m.
44	Bodrum, Muğla. Turquía	https://www.google.com/maps/place/Bodrum,+Provincia+de+Mu%C4%9Fla,+Turqu%C3%ADa/@37.0357892,27.3952643,6887m/data=!3m2!1e3!4b1!4m5!3m4!1s0x14be6c4faeb0d669:0x51a6e218f706590a!8m2!3d37.034407!4d27.43054	37° 1' 49.335" N 27° 25' 10.558" E	41 m.

Tabla 8. Geolocalización de viviendas en cima y ribera de mar. Mediterráneo.

3.3.4.1 Desarrollo de la vivienda mediterránea en un volumen único.

Solo observando las viviendas (Pob. 35- Pob. 44), percibimos que la mayoría está sobre una cima o en torno a una cima, aprovechando el escaso acceso que dejan las montañas al llegar a la costa. Por este motivo, entendemos que se repiten las mismas características que en la combinación anterior.

No obstante, al entrar a observar el espacio histórico en que se desarrollan las viviendas por poblaciones, advertimos que tienen orígenes diferentes.

Por ejemplo, en el caso de Monemvasía en Grecia, el origen de la ciudad es de época romana, aunque la ciudad que ahora conocemos formalmente es bizantina²¹⁷. En la ciudad actual existe un sistema constructivo mayoritario compuesto por muros de piedra y cubierta de tejas, que se formaliza en un volumen único en varias plantas de altura.

En el otro extremo del Mediterráneo, mostramos las viviendas de Villaricos en España. Esta población, aunque es de origen fenicio, ha estado habitada desde la Prehistoria. En época fenicia se desarrollaron dos sistemas constructivos estructurales: subterráneo (excavando) y aéreo (con muros de piedra)²¹⁸. En la actualidad, además, coexisten otros

²¹⁷ Haris A. Kalligas. *Monemvasia: a Byzantine city state*. Londres y Nueva York: Routledge, 2009, pp. 1-14.

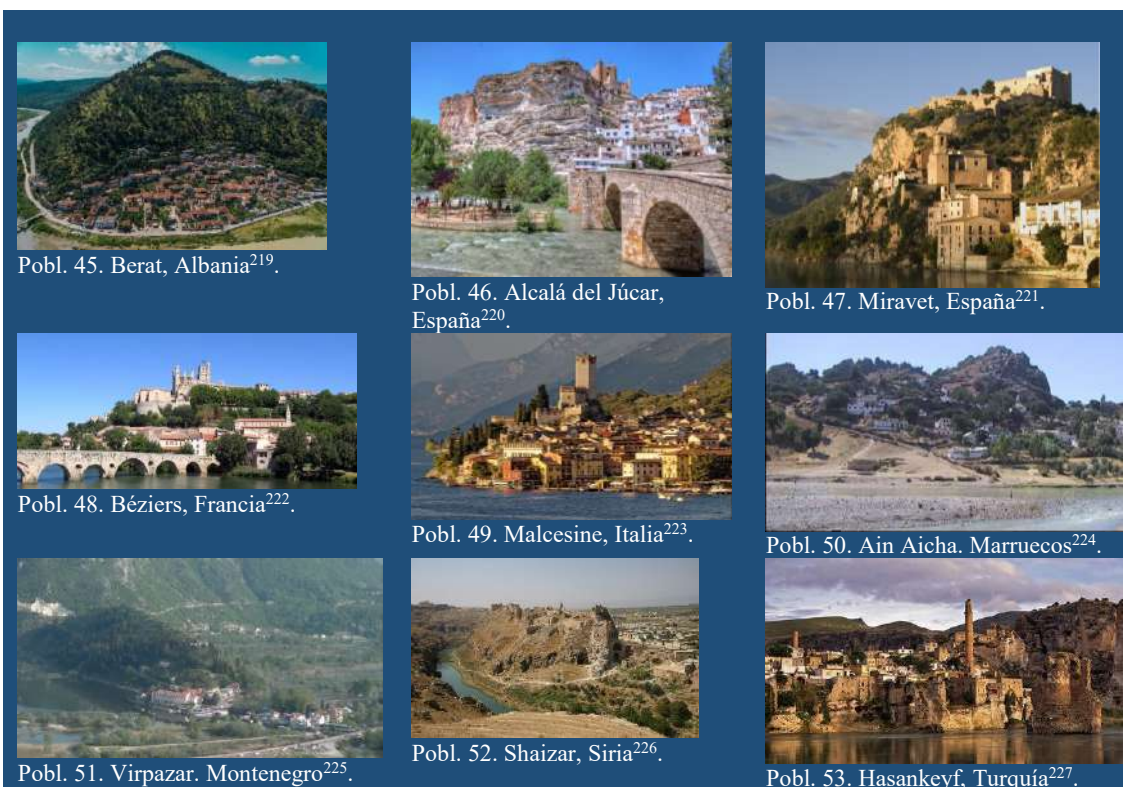
²¹⁸ Isabel Pelegrín García y Gonzalo Matilla Séiquer. "El Cerro de la Almagra y Villaricos. Sobre el poblamiento urbano y su entorno en los siglos de la Antigüedad Tardía". *Antigüedad y cristianismo: Revista de Estudios sobre Antigüedad Tardía*, 2 (1985), p. 281-302.

dos sistemas constructivos estructurales: muros de ladrillo y pórticos de hormigón armado. Por tanto, encontramos cuatro sistemas constructivos estructurales diferentes significativos, aunque alguno no se percibe a simple vista porque está oculto por el revestimiento o por el terreno.

Parece que el desarrollo de las viviendas mediterráneas asociadas al paisaje mediterráneo (Pob. 1-Pob.44) es independiente del espacio histórico y del sistema constructivo. Buscaremos viviendas que clarifiquen este parámetro.

Además, parece habitual en el entorno serrano que parte de la población se sitúe sobre una cima y que los asentamientos anteriores se aprovechen.

3.3.5.Sierra: cima y ribera de agua dulce.



²¹⁹ R. Pete. (2020). *Berat travel photo*. [Web] <https://www.bucketlistly.blog/posts/berat-things-to-do-itinerary> [Fecha de acceso: 16/05/2022].

²²⁰ Abariltur. (2016). *Conjunto histórico de Alcalá del Júcar*. [Web] <https://www.flickr.com/photos/abariltur/40417682690> [Fecha de acceso: 16/05/2022].

²²¹ Jaume Meneses. (2008). *Ribera d'Ebre*. [Web] https://es.wikipedia.org/wiki/Miravet#/media/Archivo:Catalunya_-_Ribera_d%C2%B4Ebre.jpg [Fecha de acceso: 16/05/2022].

²²² Omnidoom 999. (2007). *Kathedrale und Pont Vieux in Béziers*. [Web] https://es.wikipedia.org/wiki/B%C3%A9ziers#/media/Archivo:B%C3%A9ziers_-_St_Nazaire_Pont_Vieux.jpg [Fecha de acceso: 16/05/2022].

²²³ Andreas Lanz. (2014). *View from the shore of Lake Garda towards the village and fortress of Malcesine and the Italian Alps*. [Web] <https://tinyurl.com/y28677cu> [Fecha de acceso: 16/05/2022].

²²⁴ Abdou1234. (2006). *Route de l'Unite*. [Web] <https://abdou12314.skyrock.com/> [Fecha de acceso: 16/05/2022].

²²⁵ Antidiskriminator. (2013). *Virpazar in Montenegro, view from the hill across*. [Web] <https://en.wikipedia.org/wiki/Virpazar#/media/File:Virpazar.jpg> [Fecha de acceso: 16/05/2022].

²²⁶ Maxime Goepf. (2006). *Sheizar, vue générale*. [Web] <http://www.orient-latin.com/fortresses/sheizar> [Fecha de acceso: 16/05/2022].

²²⁷ *The ancient cave-city of Hasankeyf on the Tigris River*. [Web] <https://www.theguardian.com/cities/2019/sep/12/they-are-barbaric-turkey-prepares-to-flood-12000-year-old-city-to-build-dam> [Fecha de acceso: 16/05/2022].

	Población	Entorno NATURAL	FUNDACIÓN/ORIGEN	Agrupación de viviendas: INDIVIDUAL/COLECTIVA
45	Berat, Berat. Albania	Límite. Parque Nacional Tomorr Parku Kombëtar Mali i Tomorrit. Vjosë-Nartë Delta Protected Area. Parque Nacional de Divjaka Parku Kombëtar Divjakë-Karavasta	INDETERMINADO. Restos de arquitectura residencial con trozos de tierra seca, ramas y muros de choza en el VI-V a. C. Además, hasta el IV-II a. C. los pueblos del valle del Crino no realizan fortificaciones con el método llamado Moenia Aeacia ²²⁸ . CASTILLO Las murallas originales del castillo son de Antipatrea (actual Berat/Beratit) ²²⁹ , ciudad Iliria-arberiana, reconocida en los escritos de Luico Apusto (XXI, 27) ²³⁰ . Existencia de murallas helenísticas circundantes y construcciones bizantinas varias durante el reinado de Justiniano I en el 527-550 d. C. ²³¹ .	La vivienda se desarrolla en un único volumen compacto que crece en vertical con un patio privado anexo al volumen. Las viviendas conforman un en el centro un conjunto compacto y en los bordes un límite fluido formando la población. Hay viviendas aisladas en el entorno próximo.
46	Alcalá del Júcar, Albacete. España	Macizo montañoso. Hoz del río Júcar.	INDETERMINADO. Yacimientos de la Edad de Bronce y yacimientos Íberos. Castillo de origen almohade. Consquista Alfonso VIII el castillo en 1211 d. C. ²³² .	La vivienda se desarrolla en un único volumen compacto que crece en vertical. Algunas viviendas tienen un patio privado anexo al volumen. Las viviendas conforman un en el centro un conjunto compacto y en los bordes un límite fluido formando la población. Hay algunas viviendas aisladas en el entorno próximo.
47	Miravet, Tarragona. España	Límite. Parque Nacional Serres de Pàndols-Cavalls. Parque Nacional Pas de l'Ase. Parque Nacional Serres de Cardó-el Boix. Reserva Natural Llaberia.	INDETERMINADO. Presencia íbera, restos de ánfora íbera en el Castillo de Miravet, en el siglo II-I a. C. ²³³ . Primeros restos del II a. C. de origen íbero de la población de la zona. Entre el X d. C. hasta el 1153 d. C. existió un primer castillo, de época andalusí, construido en dos fases (no definidas). El castillo que se ha conservado no es el andalusí, sino el templario del 1.153 d. C. cuando Ramón Berenguer IV lo conquistó y lo cedió a los monjes militares templarios que reedificaron el castillo ²³⁴ . Castillo de Miravet del siglo X d. C. que el califa de Córdoba cuando ordena fortificar la frontera del Ebro.	La vivienda se desarrolla en un único volumen compacto que crece en vertical. Algunas viviendas tienen un patio privado anexo al volumen. Algunas viviendas se desarrollan en un único volumen compacto que crece en vertical rodeada de terreno. Las viviendas conforman un en el centro un conjunto compacto y en los bordes un límite fluido formando la población.
48	Béziers, Hérault. Francia	Límite. Parque Natural Regional Haut-Languedoc / Parc naturel régional du Haut-Languedoc.	INDETERMINADO.	La vivienda se desarrolla en un único volumen compacto que crece en vertical, o en varios volúmenes con un patio privado interior.

²²⁸ Selim Islami. "Probleme të kronologjisë së qytetit ilir / Problèmes de chronologie de la cité illyrienne". *Iliria*, 6.1 (1976), pp. 101-112, p. 111. <https://doi.org/10.3406/iliri.1976.1259>

²²⁹ Hëna Spahiu. "Gjurmë të murit rrethues dhe të ndërtesave të Kohës së Vonë Antike në kështjellën e Beratit / Late Antique Wall and Buildings in the Castle of Berat". *Iliria*, 35.1 (2011), pp. 59-63. <https://doi.org/10.3406/iliri.2011.1099>

²³⁰ Pellegrino Sestieri. "I popoli ed i centri illirici dell'antica Albania". *Iliria*, 4.1 (1976), pp. 381-84. <https://doi.org/10.3406/iliri.1976.1198>

²³¹ Guntram Koch. "Gjetje të kohës së hershme Bizantine nga Berat/Funde aus frühbyzantinischer Zeit in Berat". *Iliria*, 35.1 (2011), pp. 307-308.

²³² Gregorio López Sanz. *Alcalá del Júcar: piedra, tierra y agua*. Albacete: Instituto de Estudios Albacetenses, 2014.

²³³ Javier Velaza. "Chronica epigraphica Iberica XIII (2015)", *Palaeohispanica XIII*, 16 (2016), p. 356.

²³⁴ Esther Colls Rissech y Pastor Mongrell, Alfred. "Restauración de las caballerizas del castillo de Miravet". *Papeles del Partal: revista de restauración monumental*, 6 (2014), p. 93. Obtenido en: https://www.academiadelpartal.org/files/n6_93.pdf [Fecha de acceso: 16/02/2022].

Presentación de datos. La vivienda como fuente primaria.

			Neolítico, presencia de estructuras megalíticas en la excavación de Cabrials en Beziers del 3300 a. C. ²³⁵ . FUNDACION. 700 a. C. tribu sobre las riberas del río Orb. Presencia griega en el V a. C. (Biterrae) Presencia de los asentamientos galos existentes antes de la romanización y fundación de Baeterrensis ²³⁶ . Los romanos expulsaron a los galos en el I a. C. y fundan Baeterrensis.	Algunas viviendas se desarrollan en volumen único están rodeadas de terreno. Las viviendas conforman un en el centro un conjunto compacto y en los bordes un límite fluido formando la población. Hay algunas viviendas aisladas en el entorno próximo.
49	Malcesine, Verona. Italia	Límite. Parco Naturale Regionale della Lessinia. Parco dell'Alto Garda Bresciano.	INDETERMINADO. Tumbas de losas de piedra del Neolítico en Malcesine, en Campo Menesch ²³⁷ . Estrategias de los asentamientos en los prealpes venecianos, en la Edad de Hierro, entre los siglos VI a. C. y II a. C., que involucran a los venecianos, los etruscos, los reti y los celtas ²³⁸ . Palacio de los capitanes de Malcesine. Fases Construcción/reconstrucción sobre las ruinas del castillo romano, desde XIII d. C. hasta la actualidad ²³⁹ . Las lenguas romances y el vasco, con origen indoeuropeo, frente al origen Mediterráneo ²⁴⁰ . El lago de Garda, es conocido según las fuentes literarias como Benacus ²⁴¹ .	La vivienda se desarrolla en un único volumen compacto que crece en vertical. Algunas viviendas tienen un patio privado anexo al volumen. Las viviendas conforman un en el centro un conjunto compacto y en los bordes un límite fluido formando la población. Hay viviendas aisladas en el entorno próximo.
50	Ain Aicha, Touanate. Marruecos.	Límite. Parque Nacional de Tazekka.	INDETERMINADO. Edad de cobre. Asentamientos con población que realiza manufactura en el propio lugar. No la importa. No se utiliza estaño y otros materiales, por lo que en el interior parece que no hay influencia fenicia o romana ²⁴² . Relaciones púnica-mauritana-romana. Ciudad fortificada de Volubilis III a. C. ²⁴³ .	La vivienda se desarrolla en un único volumen compacto que crece en vertical. Las viviendas conforman un conjunto fluido sin un límite claro formando la población. Hay viviendas aisladas en el entorno próximo.
51	Virpazar, Bar. Montenegro	Parque Nacional lago Skadar / Skadar Lake National Park. Límite. Paisaje Protegido río Buna-Velipoja.	INDETERMINADO. Lago Skadar. Neolítico, asentamiento temporal en cueva en montaña interior del lago, en Dučić. Edad de Hierro (800-400 a. C.) primeros asentamientos de comunidades tribales de variados orígenes, que acaban siendo reconocibles como los ilirios (490-164 a. C.). En	La vivienda se desarrolla en un único volumen compacto que crece en vertical. Las viviendas conforman un conjunto compacto formando la población. Hay algunas viviendas aisladas en el entorno próximo.

²³⁵ Yaramila Tchérémissinoff y otros. "La sépulture collective mégalithique de Cabrials (Béziers, Hérault). Une petite allée sépulcrale enterrée du début du Néolithique final". *Préhistoires Méditerranéennes*, 3 (2012), p. 144. <https://doi.org/10.4000/pm.713>

²³⁶ Michel Feugère. "Le monnayage gaulois au cheval et au fleuron. La Tour 3571/72 et les origines pré-romaines de la cité de Béziers." *Revue Numismatique*, 164 (2009), pp. 15–16.

²³⁷ Michela Copelli y otros. "Le ricerche preistoriche nel Veronese ai tempi di Stefano De Stefani". *Annuario Storico della Valpolicella*, 18 (2002), p. 156.

²³⁸ Mara Migliavacca. "Le Prealpi venete nell'età del Ferro: analisi e interpretazione di un paesaggio polisémico". *Preistoria Alpina*, 47 (2013), pp. 193-262.

²³⁹ Elisa Marini. *Il palazzo dei capitani di Malcesine*. Tesis. Venecia: Università Ca' Foscari Venezia, 2012.

²⁴⁰ Julián Santano Moreno. "La familia del IE *teu-"hincharse" en las lenguas romances y en vasco. El sustrato indoeuropeo en la etimología romance". *Nouvelle revue d'onomastique*, 43.1 (2004), pp. 3-60. <https://doi.org/10.3406/onoma.2004.1463>

²⁴¹ Cristina Bassi. "Il santuario romano di Monte San Martino (Riva del Garda) nel contesto dei culti di origine indigena del territorio benacense". *Atlante tematico di topografia antica*, 12 (2003), p. 7.

²⁴² Ignacio Montero Ruíz y otros. "Metalurgia Pre-Islámica en Marruecos: Nuevos análisis y valoración comparativa con la metalurgia de la Península Ibérica". *Estudios Arqueológicos de Oeiras*, 19 (2012), pp. 116–117.

²⁴³ Lluís Pons Pujol. "El urbanismo de Volubilis: construcción de la imagen de una ciudad antigua". *Scripta Nova*, XVIII.473 (2014), pp. 3–5.

			el lago tres tribus ilirias: Labeati (o Labeates asentada en el lago), Enchelei y Albani. En las cercanías, otras tribus: Docleatae, Plearaei y Pirusta. Época romana (al tomar skadar, capital fortificada de ilirios) y después época bizantina ²⁴⁴ .	
52	Shaizar, Muhrada. Siria	Colinas del valle del río Orontes.	INDETERMINADO. Senzar o Sezar (actual Shaizar) es nombrada en los textos épicos mitológicos de Ras Shamra. Aparece como punto estratégico hitita en tiempos de Thutmossis III (1.479 a 1.425 a. C.) ²⁴⁵ . Terremotos históricos de Siria, desde 1.365 a. C. hasta el 1.900 d. C. ²⁴⁶ . Shaizar sede del Emirato Banu Munqith desde el año 474dC/1081dC (antes los romanos Ali bin Muqalled bin Nasr) hasta el 552 d. C. / 1157 d. C. ²⁴⁷ . Bizancio en 1.138 d. C. ataca/asedia Sheizar con un ejército mercenario pagado, de macedonios (romanos), kelts (latinos) y patzinaks (turcos) ²⁴⁸ .	La vivienda se desarrolla en un único volumen compacto que crece en vertical, o en varios volúmenes con un patio privado interior. Algunas viviendas se desarrollan en volumen único están rodeadas de terreno. Las viviendas conforman un conjunto fluido sin un límite claro formando la población. Hay algunas viviendas aisladas en el entorno próximo.
53	Hasankeyf, Batman. Turquía	Montes Tauro surorientales (cinturon alpino himalayo -desde españa haysa indonesia: TERREMOTOS). Nacimiento del río Tigris.	FUNDACION. Edad de Bronce. Pueblo Neolítico anterior a la alfarería era cazador-pescador-recolector ²⁴⁹ . Estructuras subterráneas, edificios semisubterráneos (una parte excavada otra construida con muros). Asentamiento del 10 milenio cal.BC en montículo circular, en el inicio del Neolítico y la cerámica ²⁵⁰ . Puesto de avanzada romana, obispado bizantino y turcos selyúcidas. El asentamiento excavado estuvo habitado hasta 1.970 d. C. ²⁵¹ .	Abandonada e inundada en 2022 por el pantano.

Tabla 9. Viviendas en cima y ribera de agua dulce. Mediterráneo.

²⁴⁴ Adnan Prekić. "Cultural-Historic Heritage of the Lake Skadar Basin". En: Pešić, Vladimir y otros. *The Skadar/Shkodra Lake Environment*. Cham: Springer International Publishing, 2018, pp. 460–461. https://doi.org/10.1007/698_2018_304

²⁴⁵ James A. Montgomery. "Notes on the Mythological Epic Texts from Ras Shamra". *Journal of the American Oriental Society*, 53.2 (1933), p. 103. <https://doi.org/10.2307/593096>

²⁴⁶ M. R. Sbeinati y otros. "The Historical Earthquakes of Syria: An Analysis of Large and Moderate Earthquakes from 1365 B.C. to 1900 A.D." *Annals of geophysics*, 48.3 (2005), pp. 347-435. Obtenido en: <https://www.earth-prints.org/handle/2122/908> [Fecha de acceso: 04/02/2022].

²⁴⁷ M. M. Shaheen y Faten Kamel. "Bani stand rescued from the crusaders". *Contemporary islamic studiens magazine*, 25 (2020), pp. 494-525. Obtenido en: <https://www.iasj.net/iasj/article/191737> [Fecha de acceso: 04/02/2022].

²⁴⁸ John France. "Byzantium confronts its neighbours: Islam and the crusaders in the twelfth century". *Byzantine and Modern Greek Studies*, 38.1 (2014), p. 39.

²⁴⁹ Tristan Carter y otros. "Hunter-Fisher-Gatherer River Transportation: Insights from Sourcing the Obsidian of Hasankeyf Höyük, a Pre-Pottery Neolithic A Village on the Upper Tigris (SE Turkey)". *Quaternary International*, 574 (2021), pp. 27–29. <https://doi.org/10.1016/j.quaint.2020.09.045>

²⁵⁰ Yutaka Miyake y otros. "New excavations at Hasankeyf Höyük: A 10th millennium cal. BC site on the Upper Tigris, Southeast Anatolia". *Neo-Lithics*, 1.12 (2012), pp. 3-7.

²⁵¹ P. Биксно и А. Де. Паскале. "Underground settlements in anatolia: synthesis of 25 years of researches". En: VIII International Scientific Conference 'Speleology and Speleotology', *Naberezhnye Chelny State Pedagogical University (NGPU)*, Naberezhnye Chelny, 8 (2017), p. 121.

Coordenadas:

	Población	Geolocalización	Coordenadas DMS	Altitud
45	Berat, Albania	https://www.google.com/maps/place/Distrito+de+Berat,+Albania/@40.7114756,19.9197716,13z/data=!3m1!4b1!4m5!3m4!1s0x135a98b37536c5e9:0xd14c62aadd2f44e5!8m2!3d40.7086377!4d19.9437314?hl=es	40° 42' 33.725" N 19° 56' 44.821" E	204 m.
46	Alcalá del Júcar, Albacete. España	https://www.google.com/maps/place/Alcalá%3%A1+del+Júcar%3BAcar,+Albacete/@39.1871335,-1.4686681,12z/data=!3m1!4b1!4m5!3m4!1s0xd66daf8a0c374c7:0x40340f3be4bcff0!8m2!3d39.1917781!4d-1.4295714?hl=es	39° 11' 34.953" N 1° 25' 48.340" W	577 m.
47	Miravet, Tarragona. España	https://www.google.com/maps/place/43747+Miravet,+Tarragona/@41.0390419,0.5939328,16z/data=!3m1!4b1!4m5!3m4!1s0x12a0d8ab3d960ca5:0xed05dd3c14c92ec1!8m2!3d41.0407656!4d0.5998512?hl=es	41° 2' 21.100" N 0° 35' 48.143" E	21 m.
48	Béziers, Hérault. Francia	https://www.google.com/maps/place/34500+B%C3%A9ziers,+Francia/@43.4069701,2.7716356,9.5z/data=!4m5!3m4!1s0x12b10e6c47d808ff:0x4078821166acd10!8m2!3d43.344233!4d3.215795?hl=es	43° 20' 29.386" N 3° 12' 38.812" E	73 m.
49	Malcesine, Verona. Italia	https://www.google.com/maps/place/37018+Malcesine,+Verona,+Italia/@45.7693467,10.7553469,12z/data=!3m1!4b1!4m5!3m4!1s0x47821c0294a0ef6b:0xb945f552f951e76d!8m2!3d45.752032!4d10.8304126?hl=es	45° 45' 58.357" N 10° 48' 30.024" E	86 m.
50	Ain Touanate, Marruecos	https://www.google.com/maps/place/Ain+Aicha,+Marruecos/@34.4641877,-4.7028391,13.75z/data=!4m5!3m4!1s0xd7560e9b83229f9:0xd1696b6fc0867354!8m2!3d34.4661306!4d-4.6837934?hl=es	34° 28' 0.047" N 4° 41' 28.437" W	278 m.
51	Virpazar, Bar. Montenegro	https://www.google.com/maps/place/Virpazar,+Montenegro/@42.2395742,19.0775441,15z/data=!4m5!3m4!1s0x134ddbafac39e046d:0x91bab10976a85000!8m2!3d42.238938!4d19.089904?hl=es	42° 14' 47.381" N 19° 5' 25.274" E	13 m.
52	Shaizar, Muhrada. Siria	https://www.google.com/maps/place/Shazir,+Muhrada,+Siria/@35.2619841,36.5511274,15z/data=!3m1!4b1!4m5!3m4!1s0x15247e840ee9f70d:0x1d0a350b25b243ce!8m2!3d35.2613234!4d36.5594382?hl=es	35° 16' 4.810" N 36° 33' 56.043" E	207 m.
53	Hasankeyf, Batman. Turquía	https://www.google.com/maps/place/Hasankeyf,+Provincia+de+Batman,+Turqu%C3%ADa/@37.712005,41.4102488,7316m/data=!3m1!1e3!4m1!3!1m7!3m6!1s0x400b0c853d00283f:0x5b676a7c895c6c87!2sHasankeyf,+Provincia+de+Batman,+Turqu%C3%ADa!3b!8m2!3d37.712806!4d41.4152079!3m4!1s0x400b0c853d00283f:0x5b676a7c895c6c87!8m2!3d37.712806!4d41.4152079?hl=es	37° 42' 48.545" N 41° 24' 47.359" E	497 m.

Tabla 10. Geolocalización de viviendas en cima y ribera de agua dulce. Mediterráneo.

3.4. COMBINACIÓN 2: VALLE.

Proseguimos con la selección de viviendas, y como podemos ver en la Figura 15, tomaremos como base el elemento geomorfológico valle, para acotar esta selección.

En principio, nos centraremos en los núcleos de población rurales, por la ventaja que nos ofrece²⁵². Además, al explorar ahora el valle, observamos un mayor desarrollo volumétrico de las viviendas porque existen condiciones más favorables (menor pendiente, acceso al agua cómodo,...) y en consecuencia empiezan a aparecer viviendas aisladas fuera de los núcleos urbanos.

Es importante señalar, que en la combinación anterior de viviendas serranas, cuando el tamaño de la población es rural, parece que las viviendas tienden a estar agrupadas, en torno a una cima, y crecen en altura con volúmenes sencillos.

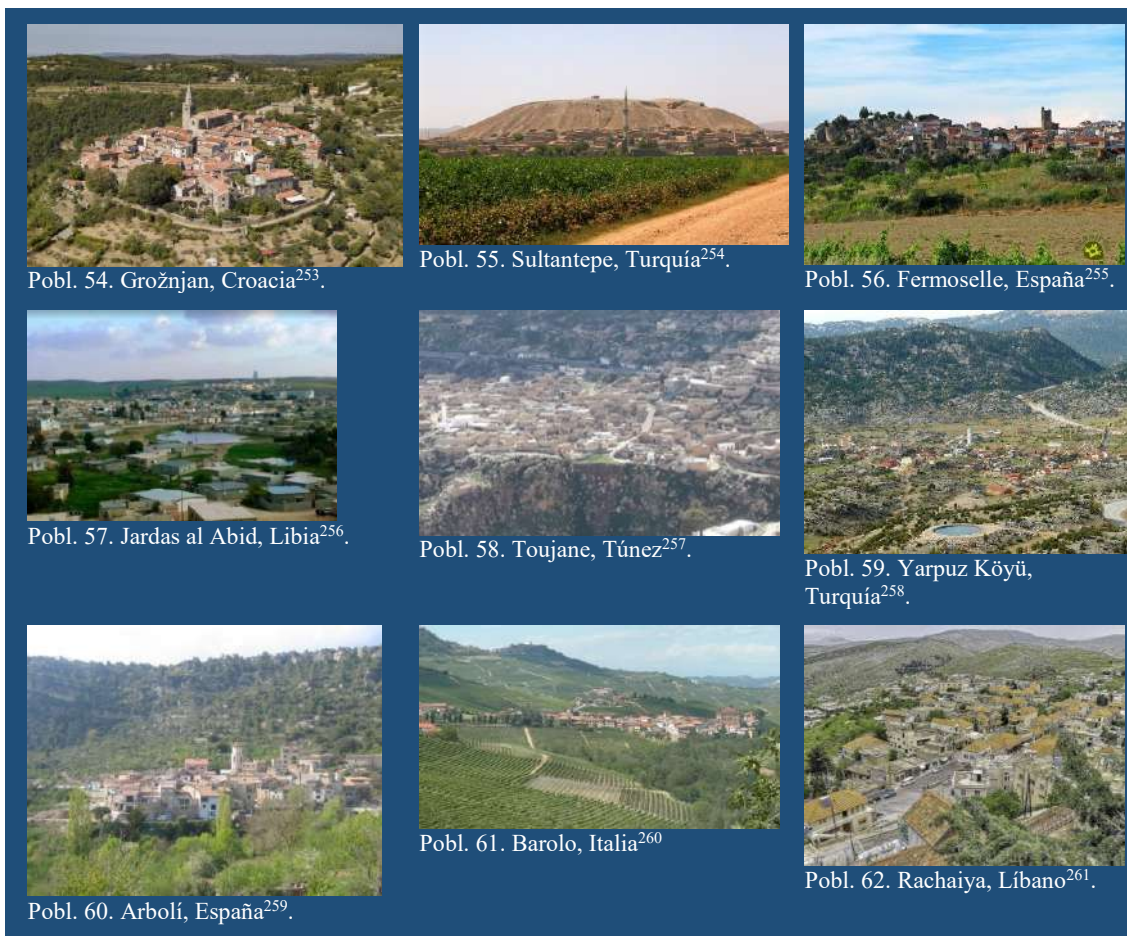
A continuación, exponemos la selección de viviendas para todo el Mediterráneo. Esto nos permitirá una mayor claridad expositiva al ir mostrando la evolución histórica de la vivienda en la región.



Fig. 14. Combinación 2: valle

²⁵² Ver las ventajas descritas en la combinación 1: sierra, p. 53.

3.4.1. Valle.



²⁵³ Arne Müsseler. (2020). *Grožnjan aerial view*. [Web] https://es.m.wikipedia.org/wiki/Soubor:Gro%C5%BEenjan_aerial_view.jpg [Fecha de acceso: 16/05/2022].

²⁵⁴ Klaus Peter Simon. (2004). *Sultantepe, assyrischer Siedlungshügel bei Şanlıurfa, Südosttürkei*. [Web] <https://es.wikipedia.org/wiki/Sultantepe#/media/Archivo:Sultantepe1.jpg> [Fecha de acceso: 16/05/2022].

²⁵⁵ Senditur. *See acomodation in Fermoselle*. [Web] <https://www.senditur.com/en/service/see-accommodation-in-fermoselle/> [Fecha de acceso: 16/05/2022].

²⁵⁶ Bassam Sulaiman. (2020). *Jardas Al Abid*. [Google Maps] <https://goo.gl/maps/dRxJ7qinsugzmjtn6> [Fecha de acceso: 16/05/2022].

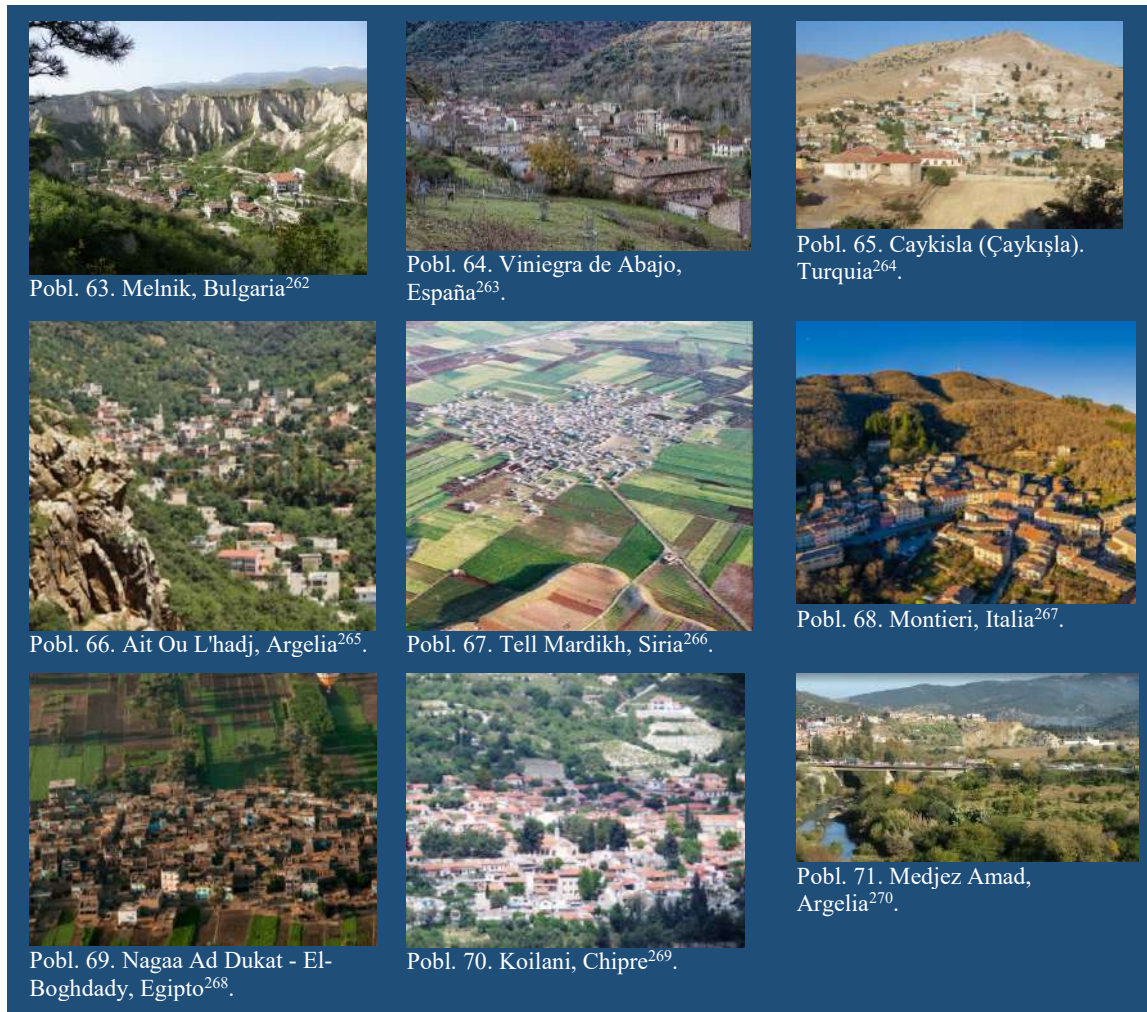
²⁵⁷ Mohamed Chakroun. (2018). *Escale Belle Vue*. [Google Maps] <https://tinyurl.com/yykzjwew> [Fecha de acceso: 16/05/2022].

²⁵⁸ Hans. (2012). *Yarpuz Aksesi Moshe*. [Web] <https://pixabay.com/photos/yarpuz-akseki-moshe-city-place-64749/> [Fecha de acceso: 16/05/2022].

²⁵⁹ Dserra3. (2006). *Vista de Arbolí*. [Web] <https://es.wikipedia.org/wiki/Arbol%C3%AD#/media/Archivo:Arbol-vista-general.jpg> [Fecha de acceso: 16/05/2022].

²⁶⁰ Gianni 67. (2007). *Barolo*. [Web] <https://tinyurl.com/y3vja9hf> [Fecha de acceso: 16/05/2022].

²⁶¹ Hardscarf. (2019). *Rashaya as seen from the citadel*. [Web] <https://en.wikipedia.org/wiki/Rashaya#/media/File:Rashaya.jpg> [Fecha de acceso: 16/05/2022].



²⁶² Alaniaris. (2008). *View of Melnik, Bulgaria*. [Web] <https://es.wikipedia.org/wiki/M%C3%A9lnik#/media/Archivo:Meleniko.jpg> [Fecha de acceso: 16/05/2022].

²⁶³ Julián Ocón. (2016). *Vista de Viniegra de Abajo*. [Flickr] <https://tinyurl.com/yy6tx718> [Fecha de acceso: 16/05/2022].

²⁶⁴ [web] https://en.wikipedia.org/wiki/%C3%87ayk%C4%B1%C5%9Fla,_Emirda%C4%9F [Fecha de acceso: 16/05/2022].

²⁶⁵ Hacene M. Hacntizi. (2016). *Ait Ou L'hadj*. [Google Maps] <https://tinyurl.com/y6z2sgyy> [Fecha de acceso: 16/05/2022].

²⁶⁶ Georg Gerster. (2014). *La antigua Ebla*. [National Geographic] https://historia.nationalgeographic.com.es/a/fabuloso-archivo-tablillas-reyes-ebbla_8004 [Fecha de acceso: 16/05/2022].

²⁶⁷ Guglielmo Giambartolomei. (2020). *Montieri (Tuscany) just after sunrise*. [Web] <https://ca.wikipedia.org/wiki/Montieri#/media/Fitxer:Panorama-Montieri.jpg> [Fecha de acceso: 16/05/2022].

²⁶⁸ Karen Kasmauski. National Geographic. A hot air balloon above the Luxor area of Egypt [Web] https://www.greatbigcanvas.com/view/a-hot-air-balloon-above-the-luxor-area-of-egypt,2269603/?source=pepperjam&publisherId=96525&clickId=3273552732&utm_source=affiliate&utm_medium=eaccountable [Fecha de acceso: 16/05/2022].

²⁶⁹ Xaris333. (2018). *View of Koilani*. [Web] https://es.wikipedia.org/wiki/Koilani#/media/Archivo:View_of_Koilani_04.jpg [Fecha de acceso: 16/05/2022].

²⁷⁰ Hamza top. (2016). *Medjez Amar*. [Google Maps] <https://goo.gl/maps/mD5EJSHQsevjkW62A> [Fecha de acceso: 16/05/2022].

Presentación de datos. La vivienda como fuente primaria.

	Población	Entorno NATURAL	Fecha de CONSTRUCCIONES ANTIGUAS	Agrupación de viviendas: INDIVIDUAL/COLECTIVA
54	Grožnjan, Istra, Croacia	Límite. Parque Natural Park Učka. Prirode Učka.	INDETERMINADO Se nombra el Castillo en el año 1.002 d. C. por una donación (en la actualidad el castillo presenta reformas). Existen numerosos edificios posteriores a 1.358 d. C. cuando Venecia compra Grožnjan a la Istria feudal ²⁷¹ . <i>Cerca:</i> el castillo de Predjama está realizado en una cueva.	La vivienda se desarrolla en un único volumen compacto que crece en vertical. Las viviendas conforman un conjunto compacto formando la población. Hay viviendas aisladas en el entorno próximo.
55	Sultantepe, Sanliurfa, Turquía	Valle del río Eufrates. Límite. Parque Nacional de las Montañas Tektek. Tek Tek Dağları Milli Parkı.	La ciudad bordea un montículo con los restos de una antigua ciudad destruida. La ciudad antigua del VIII-II a. C. es la ciudad asiria Huzirina ²⁷² . En 1985 los edificios y las viviendas eran de muros de tierra y rollizos ²⁷³ .	La vivienda se desarrolla en un único volumen compacto que crece en vertical, o en varios volúmenes con un patio privado interior. Algunas viviendas se desarrollan en volumen único están rodeadas de terreno. Las viviendas conforman un en el centro un conjunto compacto y en los bordes un límite fluido formando la población. Hay viviendas aisladas en el entorno próximo.
56	Fermoselle, Zamora, España	Parque Natural del Duero Internacional.	Estuvo poblada en un origen por los celtas, por la comunidad Ocila. Se documenta Fermoselle como asentamiento en los fueros de 1.205 d. C. ²⁷⁴ . Iglesia de Nuestra Señora de la Asunción con muros románicos del siglo XIII d. C. Fermoselle subterránea: la ciudad de las 1000 bodegas ²⁷⁵ .	La vivienda se desarrolla en un único volumen compacto que crece en vertical. Algunas viviendas tienen un patio privado anexo al volumen. Algunas viviendas se desarrollan en volumen único están rodeadas de terreno. Las viviendas conforman un conjunto fluido sin un límite claro formando la población. Hay viviendas aisladas en el entorno próximo.

²⁷¹ Giovanni Vesnaver. "Grisignana d'Istria: notizie storiche (parte prima)". En: VV.AA. *Actas y memorias de la Sociedad de Arqueología e Historia de la Patria de Istria*. III (3-4). 4 (1887), pp. 296-352. Obtenido en: <https://www.openstarts.units.it/handle/10077/23533?mode=full> [Fecha de acceso: 22/07/2022]

²⁷² Victor Avigdor Hurowitz. "The Mesopotamian God Image, from Womb to Tomb". *Journal of the American Oriental Society*, 123.1 (2003), pp. 147-149. <https://doi.org/10.2307/3217848>

²⁷³ Sultantepe, Şanlıurfa, Turkey [Instagram] https://www.instagram.com/p/CE_3TSZMJW4/?utm_source=ig_web_copy_link [Fecha de acceso: 22/07/2022]

²⁷⁴ Esther Isabel Prada Llorente. "Paisaje agrario: antropología de un territorio", *Ciudad y territorio: Estudios territoriales*, 144 (2005), pp. 343-372.

²⁷⁵ Javier Iglesia Berzosa. "La arquitectura tradicional bodeguera en la cuenca del Duero española: Una revisión crítica de su situación actual". *Douro: Estudos & Documentos*, 7.14 (2002), pp. 125-142.

57	Jardas al Abid, Libia	Montañas Akhdar. Al-jabal Al-akhḍar.	INDETERMINADO. Gerdes al-Ubaid. Jardis Al-Obeid. Las viviendas son de reciente construcción (hormigón). Hay dos mezquitas: La mezquita antigua y la mezquita de Jerusalén. La mayoría de las calles son de tierra. Había un castillo militar en ruinas del periodo colonial italiano que existió hasta 2018 d. C. ²⁷⁶ (recientemente arrasado, no queda nada ²⁷⁷). La colonia italiana (1934-1940) fundó varias poblaciones agrícolas ²⁷⁸ , aunque por los materiales de la mezquita antigua, no es el caso de Jardas al Abid/Jasdir Al Ubaid/Jardas el Obid. Parece que el nombre, es el de la tribu que vivía allí ²⁷⁹ .	La vivienda se desarrolla en varios volúmenes con un patio privado interior. Algunas viviendas se desarrollan en volumen único están rodeadas de terreno. Las viviendas conforman un conjunto fluido sin un límite claro formando la población. Hay viviendas aisladas en el entorno próximo.
58	Toujane, Gabès, Túnez	Altiplano. Límite. Parque Nacional de Jebil. Jebil National Park (tiene lagos salados).	INDETERMINADO. Cerca hay restos arqueológicos de casas romanas subterráneas. Existe una mezquita antigua con formas geométricas básicas. Construcción sencilla. Durante el protectorado francés (1881-1956 d. ²⁸⁰), existió un Comisariado en Reconstrucción y vivienda en los que el arco y la bóveda fueron protagonistas ²⁸¹ . HOY. Hay numerosas viviendas de muros de piedra, con bóvedas y arcos, en ruinas y habitadas. También existen numerosas viviendas de hormigón.	La vivienda se desarrolla en varios volúmenes con un patio privado interior. Algunas viviendas se desarrollan en volumen único están rodeadas de terreno. Las viviendas conforman un conjunto fluido sin un límite claro formando la población.
59	Yarpuz Köyü, Antalya, Turquía	Límite. Parque Nacional Altınbeşik Cave. Altınbeşik Mağarası Milli Parkı.	La mezquita (Yarpuz Merkez Camii). Existe una antigua posada: Nodar/Rodar en ruina con sistema de bóvedas de piedra ²⁸² . Algunas viviendas son del siglo XVI d. C., responden a los asentamientos de las 200 aldeas que existían en la provincia de akseki con anterioridad al XVI del periodo otomano ²⁸³ . Problemas para encontrar los nombres de poblaciones: (ver Iwardo-Gülgöze, Mardin Midyat Çalpınar Köyü- Aynvert pueblo asirio y Mor Hadsabo Iglesia de Midyat Mardin). A partir de 1921, los gobiernos turcos mantuvieron una política estatal para cambiar los nombres de 30.280 áreas de vivienda, incluidas más de 12.000 aldeas. La política afectó a los nombres en kurdo, armenio, griego, laz, asirio, circasiano y árabe ²⁸⁴ .	La vivienda se desarrolla en un único volumen compacto que crece en vertical rodeada de terreno. Las viviendas conforman un conjunto fluido sin un límite claro formando la población.

²⁷⁶ [Twitter] <https://twitter.com/Libyanhistory/status/928705011047129088/photo/1> [Fecha de acceso: 22/07/2022]

²⁷⁷ [Google] <https://www.google.com/maps/place/32%C2%B018'34.4%22N+20%C2%B059'13.0%22E/@32.3095582,20.9853834,977m/data=!3m2!1e3!4b1!4m6!3m5!1s0x0:0x0!7e2!8m2!3d32.3095547!4d20.9869307!5m2!1e4!1e1?hl=es> [Fecha de acceso: 22/07/2022]

²⁷⁸ Vittoria Capresi. *I centri rurali libici: l'architettura dei centri rurali di fondazione costruiti in Libia-colonia italiana-durante il fascismo (1934-1940)*. Tesis Doctoral. Venice: Università Iuav di Venezia, 2007.

²⁷⁹ (2019). *Tribu Ubaid العبيد قبيلة* [Facebook] <https://ar-ar.facebook.com/147775008649832/posts/2182318395195473/>

²⁸⁰ Rodolfo Gil Benumeña. "Túnez después de la declaración de independencia". *Cuadernos de estudios africanos*, 34 (1956), pp. 21-30.

²⁸¹ Charlotte Jelidi. "Hybridités architecturales en Tunisie et au Maroc au temps des protectorats: orientalisme, régionalisme et méditerranéisme". En: *Congreso Architectures au Maroc et en Tunisie à l'époque coloniale*. Túnez: IRMC - Institut de recherche sur le maghreb contemporain, 2009, pp. 42-46.

²⁸² Ali Bakkal y Ömer Faruk Teber. "Antalya'da Osmanlı Hanları". *Turkish Academic Research Review*, 4.4 (2019), pp. 641-642. <https://doi.org/10.30622/tarr.644049>

²⁸³ İsmail Kıvrım. "16. Yüzyılda akseki (yerleşme, nüfus ve ekonomi)". *Osmanlı Medeniyeti Araştırmaları Dergisi*, 1.1 (2015), pp. 40-47. <https://doi.org/10.21021/osmed.217942>

²⁸⁴ [Web] <https://m.bianet.org/english/print/162227-assyrian-village-name-returned-for-1st-time-in-turkey> [Fecha de acceso: 22/07/2022]

Presentación de datos. La vivienda como fuente primaria.

60	Arbolí, Tarragona. España	Reserva Natural Avençs De La Febró. Límite. Parque Natural de la Sierra de Montsant. Parque Nacional Riu Siurana i Planes del Priorat.	Iglesia del siglo XII-XIV d. C. ²⁸⁵ y reforma neoclásica e incendio en 1.936. 1885, epidemia de cólera y miseria extrema en la población de arbolí: se desinfectaron casas y huertos ²⁸⁶ . Numerosas torres en el entorno ²⁸⁷ de diferentes épocas. HOY. La mayoría de las casas son de muros de carga de piedra, con puertas adinteladas de piedra y ladrillo.	La vivienda se desarrolla en un único volumen compacto que crece en vertical. Algunas viviendas tienen un patio privado anexo al volumen. Las viviendas conforman un conjunto compacto formando la población. Hay algunas viviendas aisladas en el entorno próximo.
61	Barolo, Cuneo. Italia	Lanura del Po. Límite. Parco Regionale di Piana Crixia. Montes apeninos.	Castillo della Volta del siglo XI d. C. ²⁸⁸ con numerosas reformas constructivas ²⁸⁹ . HOY. La mayoría de las casas son de muros de carga de ladrillo y puertas adinteladas de ladrillo. También hay casas de muros de piedra y casas de hormigón.	La vivienda se desarrolla en un único volumen compacto que crece en vertical, o en varios volúmenes con un patio privado interior. Algunas viviendas se desarrollan en volumen único están rodeadas de terreno. Las viviendas conforman un conjunto fluido sin un límite claro formando la población. Hay viviendas aisladas en el entorno próximo.
62	Rachaiya, Bekaa. Líbano.	Límite. El monte Hermón (cordillera del Antilíbano).	Muy cerca, a 10km, está baalbek con edificios romanos en pie. Rachada. Rashaya Citadel o Ciudadela de Rashaya del siglo I d. C. de época romana. Múltiples reformas posteriores. Última reforma en el siglo XIX por la familia Shihab ²⁹⁰ . En el entorno: Conflicto-Disapora 1860 ²⁹¹ Las hostilidades en Dayr-al-Qamar, Zahla, Rashaya y Hasbaya provocaron la masacre de unos 6.000 cristianos, el desplazamiento de otros 20.000 y la devastación de 200 aldeas ²⁹² . HOY. La mayoría de las casas son de muros de carga de piedra con cubierta de tejas que nada tienen que ver con las fotografías antiguas de 1947 ²⁹³ .	La vivienda se desarrolla en un único volumen compacto que crece en vertical. Algunas viviendas tienen un patio privado anexo al volumen. Algunas viviendas se desarrollan en volumen único están rodeadas de terreno. Las viviendas conforman un conjunto fluido sin un límite claro formando la población. Hay viviendas aisladas en el entorno próximo.

²⁸⁵ María Bargalló Escrivà. *Recerca en Humanitats 2017*. N.1. Tarragona: Publicacions URV, 2017, p. 66.

²⁸⁶ Manuel Cahisa i Mur y Carles Hervás i Puyal. "La epidemia de cólera de 1885 en Cornudella (Priorat) según el testimonio del médico Joaquín Ferrandis Piñol". *Gimbernat: Revista d'Història de la Medicina i de les Ciències de la Salut*, 19 (1993), pp. 140-141. Obtenido en: <https://raco.cat/index.php/Gimbernat/article/view/44529> [Fecha de acceso: 16/02/2022]

²⁸⁷ [Web] <https://salillas.net/castillos/baixcamp.htm> [Fecha de acceso: 04/02/2022].

²⁸⁸ Paola Cattaneo y Elena Chesta. *Il castello della Volta di Barolo*. Tesis. Alba: Artigiana, 1999.

²⁸⁹ [Web] <https://www.wimubarolo.it/la-storia-del-castello-di-barolo/> [Fecha de acceso: 04/02/2022].

²⁹⁰ [Web] https://archiqoo.com/locations/rashaya_citadel.php [Fecha de acceso: 04/02/2022].

²⁹¹ Reem Bailony. "From mandate borders to the diaspora: rashaya's transnational suffering and the making of Lebanon in 1925". *The Arab Studies Journal*, 26.2 (2018), pp. 44-73. Obtenido en: <https://www.jstor.org/stable/26732384> [Fecha de acceso: 04/02/2022].

²⁹² Carol Hakim. "3. The 1860 Massacres and Their Aftermath: A Map for Lebanon". En: Hakim, Carol. *The Origins of the Lebanese National Idea*. Berkeley: University of California Press, 2013.

²⁹³ [Web] https://archiqoo.com/locations/rashaya_citadel.php [Fecha de acceso: 04/02/2022].

63	Melnik, Blagóevgrad, Bulgaria	Límite. Parque Nacional del Pirin. Petritsio Dimou Petritsiou.	Torre de fortificación medieval de 1536 d. C. Edificios renacentistas y barrocos. Hay bodegas y subterráneos debajo de las casas de 2 y 3 plantas ²⁹⁴ . HOY. Diferencias entre las casas turcas de Estambul y las casas turcas ²⁹⁵ .	La vivienda se desarrolla en un único volumen compacto que crece en vertical. Algunas viviendas tienen un patio privado anexo al volumen. Algunas viviendas se desarrollan en volumen único están rodeadas de terreno. Las viviendas conforman un conjunto fluido sin un límite claro formando la población. Hay algunas viviendas aisladas en el entorno próximo.
64	Viniegra de Abajo, La Rioja, España	Límite. Camero Nuevo. Sierra de la Demanda. Parque Natural Sierra de Cebollera.	Iglesia de Nuestra Señora de la Asunción tiene vestigios románicos ²⁹⁶ . Es reconstruida en el XVI d. C. La casa de las islas del siglo XV d. C., oculta en el pantano ²⁹⁷ . Desde el siglo XIV d. C. Viniegra de abajo es cedida a los condes de Aguilar e Inestrillas hasta el siglo XIX ²⁹⁸ . Las casas de muros de piedra y puertas con dinteles de piedra son similares a la casa de las islas. Viniegra de Arriba si conserva su iglesia románica ²⁹⁹ .	La vivienda se desarrolla en un único volumen compacto que crece en vertical. Algunas viviendas tienen un patio privado anexo al volumen. Algunas viviendas se desarrollan en volumen único están rodeadas de terreno. Las viviendas conforman un conjunto fluido sin un límite claro formando la población. Hay algunas viviendas aisladas en el entorno próximo.
65	Çaykışla, Afyonkarahisar, Turquía	Límite. Reserva Nacional Dandindere Tabiatı Koruma Alanı	Existen gran número de de tumbas excavadas en toba volcánica de los frigios. Asentamientos de la edad de bronce ³⁰⁰ . Fuentes de agua de la época del imperio otomano del siglo XIX d. C. ³⁰¹ . Çaykışla toma el nombre de la tribu que se asentó ³⁰² . Parece que el pueblo es establecido por una tribu a partir de 1774 d. C. y sufrió una sequía extrema en el año 1877 d. C. Çaykışla toma el nombre de la tribu que se asentó ³⁰³ . Las lápidas antiguas del cementerio tienen decoración otomana ³⁰⁴ .	La vivienda se desarrolla en un único volumen compacto que crece en vertical. Algunas viviendas tienen un patio privado anexo al volumen. Algunas viviendas se desarrollan en volumen único están rodeadas de terreno. Las viviendas conforman un conjunto compacto y en los bordes un límite fluido formando la población. Hay algunas viviendas aisladas en el entorno próximo.

²⁹⁴ Dana Vašková. "Mapping historical cellars in the town Mělník". *International Multidisciplinary Scientific GeoConference: SGEM*, 2 (2016), pp. 405-12. Obtenido en: https://www.researchgate.net/publication/261675869_Mapping_historical_cellars_of_the_object_Zelvi_doupe_in_the_town_Melnik [Fecha de acceso: 16/02/2022].

²⁹⁵ Regina Raycheva. "Architecture of Residential Buildings in Bulgaria from the Revival Period". *Architecture and Urban Planning*, 6 (2012), pp.17-24.

²⁹⁶ Minerva Sáenz Rodríguez. "El arte románico en el Alto Najerilla". *Belezos: Revista de cultura popular y tradiciones de La Rioja*, 13 (2010), pp. 12-19.

²⁹⁷ Benjamín Blanco. "Pasado que emerge en el presente. Casa de las Islas: cinco siglos de historia bajo el agua". *Belezos: Revista de cultura popular y tradiciones de La Rioja*, 36 (2018), pp. 28-33. Obtenido en: <https://dialnet.unirioja.es/descarga/articulo/6341602.pdf> [Fecha de acceso: 04/02/2022].

²⁹⁸ Miguel Ángel Moreno Ramírez de Arellano. "La quiebra de la casa de Arellano en el contexto de la crisis señorial castellana de finales del siglo XVI: Análisis de las causas determinantes del concurso de acreedores recaído sobre el Señorío de Cameros y Condado de Aguilar en 1592". *Berceo*, 114 (1988), pp. 155-70.

²⁹⁹ Minerva Sáenz Rodríguez, art. cit.

³⁰⁰ Harun Oy. "Afyonkarahisar Orta Tunç Çağ Yerleşmeleri". *Belleten*, 75.273 (2011), pp. 311-36. <https://doi.org/10.37879/belleten.2011.311>

³⁰¹ Türkan Acar. "Uşak çeşmeleri". *Uluslararası Türkçe Edebiyat Kültür Eğitim (TEKE) Dergisi*, 7.1 (2018), pp. 607-640. Obtenido en: <https://search.trdizin.gov.tr/yayin/detay/362782/> [Fecha de acceso: 22/07/2022].

³⁰² Nusret Koca y Hakkı Yazıcı. "Afyonkarahisar İlindeki idari yerleşmelerin toponimik sınıflandırılması". *Türk Coğrafya Dergisi*, 56 (2014), pp. 6-7. <https://doi.org/10.17211/tcd.63184>

³⁰³ *Ibid.*

³⁰⁴ Sedat Bayrakal. "İçerik Bağlamında Eşme İlçesi (Uşak) Köy Mezârlıklarındaki Taşlardan Seçkiler". *Sanat Tarihi Dergisi*, 25.2 (2016), pp. 139-55. <https://doi.org/10.29135/std.282088>.

Presentación de datos. La vivienda como fuente primaria.

66	Ait Ou L'hadj, Ait Bouaddou. Argelia	Límite. Parque Nacional Tkjda.	Según el mismo nombre del pueblo – ait- las gentes de ³⁰⁵ . La mezquita parece el edificio más antiguo. HOY: Casas de hormigón y ladrillo HD ³⁰⁶ .	La vivienda se desarrolla en un único volumen compacto que crece en vertical. Algunas viviendas tienen un patio privado anexo al volumen. Algunas viviendas se desarrollan en volumen único están rodeadas de terreno. Las viviendas conforman un en el centro un conjunto compacto y en los bordes un límite fluido formando la población. Hay algunas viviendas aisladas en el entorno próximo.
67	Tell Mardikh, Idlib. Siria	Cuenca del río Eufrates. Límite. Monte Zawiya. Jabal az-Zāwiya.	Restos de la ciudad de Ebla del 3 milenio a. C. ³⁰⁷ . El edificio más antiguo en pie parece que es la mezquita otomana, según su minarete: midhana / manar ³⁰⁸ . HOY: La mayoría de las casas son de hormigón y ladrillo.	La vivienda se desarrolla en un único volumen compacto que crece en vertical, o en varios volúmenes con un patio privado interior. Algunas viviendas se desarrollan en volumen único están rodeadas de terreno. Las viviendas conforman un conjunto fluido sin un límite claro formando la población. Hay algunas viviendas aisladas en el entorno próximo.
68	Montieri, Grosseto. Italia	Parco Il Piano. Límite. Parque Nacional Cornate e Fosini. Riserva Naturale Cornate e Fosini.	Casas torre del siglo XIII d. C. ³⁰⁹ . Fuente de San Felipe y las galerías subterráneas. Iglesia de San Giacomo Apostolo románica del siglo XIII. Fuente di Sopra con inscripción y con cabeza de león de 1.232 d. C. ³¹⁰ junto al Palacio del Papa Mattii.	La vivienda se desarrolla en un único volumen compacto que crece en vertical. Algunas viviendas tienen un patio privado anexo al volumen. Las viviendas conforman un en el centro un conjunto compacto y en los bordes un límite fluido formando la población. Hay algunas viviendas aisladas en el entorno próximo.
69	Nagaa Ad Dukat, El Boghdady, Luxor. Egipto	Valle del Río Nilo. Límite. Wadi el Gemal National Park. Desierto del este o Desierto arábigo.	Muy cerca está el valle de los Reyes /egipcio) y el castrum (romano del III-IV d. C.) ³¹¹ . Muy cerca está la ciudad <i>El ascenso de Atón</i> , dónde las calles de la ciudad están flanqueadas por casas, con piedras en sus muros de hasta 3 metros de alto. Los edificios más antiguos son las mezquitas. HOY. Hay edificios de adobe, barro y paja. Hay edificios de hormigón. Hay edificios de ladrillo.	La vivienda se desarrolla en un único volumen compacto que crece en vertical, o en varios volúmenes con un patio privado interior. Algunas viviendas se desarrollan en volumen único están rodeadas de terreno. Las viviendas conforman un en el centro un conjunto compacto y en los bordes un límite fluido formando la población. Hay viviendas aisladas en el entorno próximo.

³⁰⁵ Boukhalfa Khemouche. “L’anthroponymie dans la toponymie kabyle: le cas d’Ait Bouaddou”. *Des noms et des noms... Etat civil et anthroponymie en Algérie*. (2005), p. 63.

³⁰⁶ [WEB] <https://www.youtube.com/watch?v=jBT83y23DKc> [Fecha de acceso: 04/02/2022].

³⁰⁷ G. Fiorentino y otros. “Third millennium BC climate change in Syria highlighted by carbon stable isotope analysis of 14C-AMS dated plant remains from Ebla”. *Palaeogeography, Palaeoclimatology, Palaeoecology*, 266.1-2 (2008), pp. 51-58.
<https://doi.org/10.1016/j.palaeo.2008.03.034>

³⁰⁸ Doğan Kuban, art. cit., p. 63.

³⁰⁹ Jacopo Bruttini y Francesca Grassi. “Archeologia urbana a Montieri: lo scavo dell’edificio de “Le Fonderie” in via delle Fonderie”. *FOLD&R FastiOnLine documents & research*, 199 (2010), pp. 1-25. Obtenido en:
<https://www.fastionline.org/docs/FOLDER-it-2010-199.pdf> [Fecha de acceso: 16/02/2022].

³¹⁰ Alessandro Furiesi. “L’acqua a Volterra e nel suo territorio in età medievale”. En: Baldassarri, Monica. *Reti d’acqua: infrastrutture idriche e ruolo socio-economico dell’acqua in Toscana dopo il Mille*. San Giuliano Terme: Felici, 2008, p. 5,9-10.

³¹¹ Dmitry A. Karelin. “Imaging of the Late Roman Castrum. Hypothetical Computer Reconstruction of Nag el-Hagar Fortress in Egypt”. *Architecture and Modern Information Technologies*, (2011), p. 4.

70	Koilani, Limasol. Chipre	Valle Río Krios. Montes Troodos.	Iglesia de Santa María del siglo IX-XIdC ³¹² . El museo del vino está en una <i>casa tradicional</i> de Koliani. En el pueblo hay muchas bodegas. Actualmente la mayoría de casas vacías: Despoblamiento.	La vivienda se desarrolla en un único volumen compacto que crece en vertical, o en varios volúmenes con un patio privado interior. Algunas viviendas se desarrollan en volumen único están rodeadas de terreno. Las viviendas conforman un en el centro un conjunto compacto y en los bordes un límite fluido formando la población. Hay viviendas aisladas en el entorno próximo.
71	Medjez Amar, Guelma. Argelia	Límite. Parque Nacional de El Kala.	El edificio más antiguo parece que es la Mezquita tahar dahmoune. Desde 1855 hasta 1857, hubo un orfanato, bajo la dirección de la Abadía de San Mauricio francesa para el proyecto de población ³¹³ .	La vivienda se desarrolla en un único volumen compacto que crece en vertical, o en varios volúmenes con un patio privado interior. Algunas viviendas se desarrollan en volumen único están rodeadas de terreno. Las viviendas conforman un en el centro un conjunto compacto formando la población. Hay algunas viviendas aisladas en el entorno próximo.

Tabla 11. Viviendas en valle. Mediterráneo.

Coordenadas:

Población	Geolocalización	Coordenas DMS	Altitud
54 Grožnjan, Istra. Croacia	https://www.google.com/maps/place/Gro%C5%BEenjan+city/@45.3796024,13.7213099,789m/data=!3m2!1e3!4b1!4m5!3m4!1s0x477ca1234fe40319:0xc7bcff20fbc2553!8m2!3d45.3796024!4d13.7226113	45° 22' 43.623" N 13° 43' 22.827" E	286 m.
55 Sultantepe, Sanliurfa. Turquía	https://www.google.com/maps/place/Sultantepe,+63000+Eyy%C3%BCbiye%2FProvincia+de+Sanliurfa,+Turqu%C3%ADa/@37.0514547,38.9025612,16z/data=!3m1!4b1!4m5!3m4!1s0x15346b7f42f72cfd:0x5b94b02449409e14!8m2!3d37.052473!4d38.904957?hl=es	37° 3' 4.706" N 38° 54' 29.035" E	417 m.
56 Fermoselle, Zamora. España	https://www.google.com/maps/place/49220+Fermoselle,+Zamora/@41.3185001,-6.3973609,15z/data=!4m5!3m4!1s0xd3958909afd2dc5:0xffea21a903e51018!8m2!3d41.316623!4d-6.3939519?hl=es	41° 19' 0.442" N 6° 23' 42.056" W	703 m.
57 Jardas al Abid, Libia	https://www.google.com/maps/place/Jardas+Al+Abid,+Libia/@32.3134004,20.9748613,12z/data=!4m5!3m4!1s0x138223d269375583:0x27f1c50081904959!8m2!3d32.3037938!4d20.9894099?hl=es	32° 18' 9.633" N 20° 59' 4.030" E	627 m.
58 Toujane, Gabès. Túnez	https://www.google.com/maps/place/Toujane,+T%C3%Banez/@33.4670452,10.1287977,1929m/data=!3m1!1e3!4m5!3m4!1s0x12551b873db1dca9:0xba530c874155766f!8m2!3d33.4660062!4d10.1325163	33° 27' 54.740" N 10° 8' 1.829" E	461 m.
59 Yarpuz Köyü, Antalya. Turquía	https://www.google.com/maps/place/Yarpuz,+07630+Akseki%2FProvincia+de+Antalya,+Turqu%C3%ADa/@37.1299172,31.8345645,14z/data=!3m1!4b1!4m8!1m2!2m1!1sYarpuz+Akseki+Moshel!3m4!1s0x14db3a4e45f19a37:0xd511911aeca151ac!8m2!3d37.1299183!4d31.8521172	37° 7' 44.358" N 31° 51' 15.228" E	1290 m.
60 Arbolí, Tarragona. España	https://www.google.com/maps/place/43365+Arbol%C3%AD,+Tarragona/@41.2424128,0.9463917,17z/data=!3m1!4b1!4m5!3m4!1s0x12a14b03f81abd5f:0xbafb00541821cad9!8m2!3d41.2426006!4d0.9487716	41° 14' 32.149" N 0° 56' 55.320" E	707 m.

³¹² Eleni Procopiou y Pandélis Xydas. “L’architecture chrétienne dans la région d’Amathonte à l’époque byzantine (IVe-XIIe siècles). Recherches archéologiques 1991-2012”. Cahiers du Centre d’Études Chypriotes, 43.1 (2013), pp. 253-74, pp. 263-264. <https://doi.org/10.3406/cchyp.2013.1066>

³¹³ [web] <https://www.emigration-valais.ch/es/colonia-orfanato-medjez-amar-argelia-1855-140.html#!search> [Fecha de acceso: 04/02/2022].

Presentación de datos. La vivienda como fuente primaria.

61	Barolo, Cuneo. Italia	https://www.google.com/maps/place/12060+Barolo,+Cuneo,+Italia/@44.6102754,7.9398592,16z/data=!3m1!4b1!4m5!3m4!1s0x12d2ae3516e5afc3:0x405e67d473ca340!8m2!3d44.6088032!4d7.9403041	44° 36' 37.732" N 7° 56' 33.440" E	304 m.
62	Rachaiya, Bekaa. Líbano.	https://www.google.com/maps/place/Rachaiya,+L%C3%ADbano/@33.4989771,35.8378149,15z/data=!3m1!4b1!4m5!3m4!1s0x151ed3f74f661a89:0x988d81727e6b4ece!8m2!3d33.5018826!4d35.8398217!5m1!1e4	33° 29' 59.344" N 35° 50' 28.852" E	1283 m.
63	Melnik, Blagóevgrad. Bulgaria	https://www.google.com/maps/place/2820+Melnik,+Bulgaria/@41.5265935,23.3915215,16z/data=!4m5!3m4!1s0x14abcd256fe9ef09:0xa00a014cd0d85f0!8m2!3d41.5246053!4d23.3915096!5m1!1e4	41° 31' 24.837" N 23° 23' 42.523" E	385 m.
64	Viniegra de Abajo, La Rioja. España	https://www.google.com/maps/place/26329+Viniegra+de+Abajo,+La+Rioja/@42.149516,-2.8940294,16z/data=!3m1!4b1!4m5!3m4!1s0xd4513b037b201af:0x9d1316e95f1a12e3!8m2!3d42.1518804!4d-2.8888912!5m1!1e4	42° 9' 6.005" N 2° 53' 22.124" W	884 m.
65	Çaykışla, Afyonkarahisar. Turquía	https://www.google.com/maps/place/%C3%87ayk%C4%B1%C5%9Fla,+03630+%C3%87ayk%C4%B1%C5%9Fla%2FEmirda%C4%9F%2FProvincia+de+Afyonkarahisar,+Turqu%C3%ADa/@38.8961418,31.3061658,16z/data=!3m1!4b1!4m5!3m4!1s0x14ce39b2a64367eb:0x16f1c274fc87a2ce!8m2!3d38.897087!4d31.308872!5m1!1e4	38° 53' 46.168" N 31° 18' 31.015" E	1235 m.
66	Ait Ou L'hadj, Aït Bouaddou. Argelia	https://www.google.com/maps/place/Ait+Ou+L'hadj,+A%C3%AFT+Bouaddou,+Argelia/@36.4994866,4.071283,15z/data=!3m1!4b1!4m5!3m4!1s0x128c4a86414740c9:0xd7a43351057c75be!8m2!3d36.5000449!4d4.0832516	36° 29' 57.014" N 4° 4' 59.883" E	837 m.
67	Tell Mardikh, Idlib. Siria	https://www.google.com/maps/place/Tell+Mardikh,+Siria/@35.8102,36.786046,16z/data=!3m1!4b1!4m5!3m4!1s0x15251b48514e9675:0xf9c29c026ebf171b!8m2!3d35.8100141!4d36.7900293	35° 48' 39.364" N 36° 47' 24.255" E	400 m.
68	Montieri, Grosseto. Italia	https://www.google.com/maps/place/58026+Montieri,+Grosseto,+Italia/@43.1316613,11.0060727,1588m/data=!3m1!1e3!4m13!1m7!3m6!1s0x13298d0e5d051f3b:0x74d4480983f2f00d!2s58026+Montieri,+Grosseto,+Italia!3b1!8m2!3d43.1306661!4d11.0160694!3m4!1s0x13298d0e5d051f3b:0x74d4480983f2f00d!8m2!3d43.1306661!4d11.0160694	43° 7' 50.218" N 11° 0' 58.556" E	687 m.
69	Nagaa Ad Dukat, El Boghdady, Luxor. Egipto	https://www.google.com/maps/place/Nagaa+Ad+Dukat,+El-Boghdady,+Luxor,+Gobernaci%C3%B3n+de+Luxor,+Egipto/@25.643689,32.6338188,4169m/data=!3m2!1e3!4b1!4m5!3m4!1s0x144913f107e23b37:0xa282b841997ae5dc!8m2!3d25.6436704!4d32.6425736	25° 38' 35.664" N 32° 38' 33.990" E	66 m.
70	Koilani, Limasol. Chipre	https://www.google.com/maps/place/Koilani,+Chipre/@34.8445389,32.8587456,949m/data=!3m2!1e3!4b1!4m5!3m4!1s0x14e73878a3f5dd85:0x24b8f3f3712fe13!8m2!3d34.843753!4d32.8606246	34° 50' 40.466" N 32° 51' 35.698" E	808 m.
71	Medjez Amar, Guelma. Argelia	https://www.google.com/maps/place/Medjez+Amar/@36.444191,7.3072603,1520m/data=!3m1!1e3!4m13!1m7!3m6!1s0x12f05df8d8143d61:0xc096416ffaa6da99!2sGuelma,+Argelia!3b1!8m2!3d36.4627444!4d7.4330833!3m4!1s0x12f05909768b7ccf:0xdf28701eba31e5db!8m2!3d36.4442166!4d7.311213!5m1!1e4	36° 26' 40.367" N 7° 18' 34.080" E	270 m.

Tabla 12. Geolocalización de las viviendas en valle. Mediterráneo.

3.4.1.1 Las viviendas aisladas como pervivencia estructural mediterránea.

Si reconocemos las viviendas a través de la percepción visual (Pobl. 54-71) volvemos a observar que cuando aparece una cima en el valle, la población se ubica sobre esta o en torno a ella, por ejemplo, como vemos en Grožnjan en Croacia (Pob. 54). Si nos fijamos en el sistema constructivo y el volumen, en este primer muestreo en el valle, encontramos estas similitudes:

- Las viviendas tienden a crecer en vertical y en horizontal: en *vertical* forman un único volumen y en *horizontal* se desarrollan en varios volúmenes que se perciben como conjunto.
- Aparecen viviendas aisladas cercanas al núcleo urbano, que suelen crecer en horizontal.

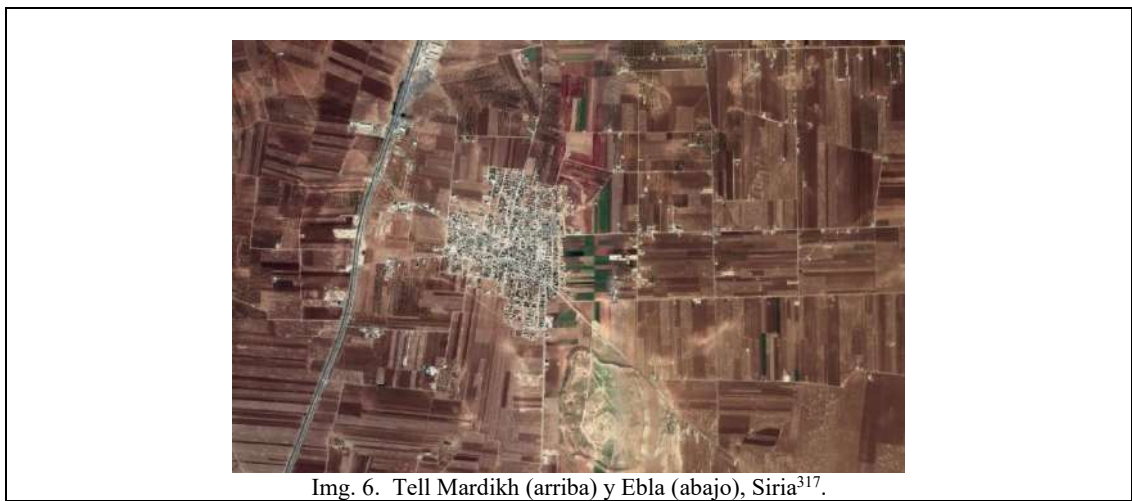
En referencia a estas viviendas aisladas, vamos a resaltar la herencia constructiva que detectamos, tomando como ejemplo Tell Mardikh en Siria. En la Imagen 6 observamos, al sur de las actuales viviendas habitadas, los restos de la ciudad de Ebla (3.000 - 1.600 a. C.)³¹⁴. Esta era una ciudad siria amurallada, que abarcaba unas cincuenta hectáreas de área metropolitana, en la que se distribuyeron unas 200 aldeas³¹⁵. En su núcleo urbano, existen vestigios de una ciudadela con los edificios más importantes³¹⁶.

En el esquema comparativo de Tell Mardikh y Ebla (Fig. 17) identificamos la existencia de las viviendas aisladas cercanas al núcleo de población en Tell Mardikh (en la fotografía aérea) y en Ebla (con la descripción de las 200 aldeas) en diferentes tiempos históricos (viviendas actualmente habitadas en Tell Mardikh y viviendas del 3.000 - 1.600 a. C. en Ebla). Esta coexistencia no es única de Ebla, ya la vimos con anterioridad en otras localizaciones (p. ej. en el caso de la cultura argárica y Campo López), por tanto, parece que la existencia de viviendas aisladas cercana al núcleo urbano es una pervivencia estructural en el valle mediterráneo.

³¹⁴ Lucio Milano. "Ebla: A third millennium city-state in ancient Syria". *Civilizations of the ancient Near East*, 2 (1995), p. 1219-1230.

³¹⁵ Ignacio Vega Ruiz. "Mardikh IIB1 y el archivo C, un hito histórico-arqueológico". *Arqueología y Territorio*, 16 (2019), p. 88.

³¹⁶ Ramírez, Juan Antonio y Gómez Cedillo, Adolfo. *Historia del arte*. Madrid: Alianza Editorial, 1996, p. 220.



EBLA (3.000 - 1.600 AC)	El núcleo de población	TELL MARDIKH (Habitada en la actualidad)
Las viviendas se distribuyen en torno a la ciudadela en la que están los edificios de poder.		Las viviendas se distribuyen en torno a los edificios públicos.
Los palacios excavados son usados por unidades familiares variadas, y están formadas por un volumen que se desarrolla en horizontal, en el que aparecen con patios con columnas. Las casas privadas de menor categoría social, se organizan en volúmenes sencillos junto a patios adosados ³¹⁸ .	Las viviendas en el núcleo de población.	La mayoría de las viviendas son usadas por unidades familiares sencillas, y están formadas por un volumen principal, con un patio/corral que las rodea o está adosado.
Está definido visualmente con una línea regular de muralla.	El límite del núcleo de población.	Está definido visualmente con una línea irregular de viviendas.
Existían unas 200 aldeas en torno a la ciudad dedicadas a la producción agrícola y ganadera ³¹⁹ .	Las viviendas aisladas en el área metropolitana.	Existen viviendas aisladas en torno al núcleo de población, dedicadas a la agricultura. La mayoría de las viviendas están formadas por una agrupación de varios volúmenes en torno a un patio vallado.

Fig. 15. Esquema comparativo de las ciudades Tell Mardikh y Ebla.

³¹⁷ Google. 2020. [Google] <http://www.google.com/maps?hl=en&ll=35.807913,36.800612&z=15>

³¹⁸ Interpretación de las fotografías, en las que aparecen las casas privadas y los palacios, publicadas en el sitio oficial de la Misión Italiana Arqueológica en Siria. [Enlace] http://www.ebla.it/escavi_le_case_private.html

³¹⁹ La existencia de 200 aldeas, se deduce de las listas de entregas de materias primas, de las tablillas de arcilla encontradas en Ebla. RUIZ, Ignacio. Vega. 2019. Mardikh IIB1 y el archivo C, un hito histórico-arqueológico. *Arqueología y Territorio*, (16), 81-95, p. 84-88.

3.4.1.2 La casa patio, la herencia artística y el bienestar.

En Ebla, también encontramos que en los palacios se utiliza el patio interior, como elemento de diseño en la distribución de los espacios. Detectamos numerosos autores en la bibliografía que vinculan la casa mediterránea a una casa con patio interior, sin embargo, comprobamos in situ que el patio interior no existe en la mayoría de las viviendas que encontramos en el entorno rural, ya sea en la sierra o en el valle (véanse las Poblaciones 1-71).

Si observamos las interpretaciones y los restos de los palacios de Ebla, parece que estaban habitados por personas con un estatus social elevado y que habría espacios dedicados a otros usos diferentes al residencial. El comparar estos palacios que incorporan el patio con la mayoría de las viviendas sin patio, nos preguntamos si realmente la construcción de un patio interior define a la vivienda.

Para realizar una comparación del mismo modelo habitacional (palacio con patio), seleccionamos un segundo palacio de una época diferente. Utilizaremos como referencia la herencia artística de Ebla para que de este modo exista un punto de unión en la pervivencia.



Img. 7. Pila de basalto, Ebla. (h. 1900 AC). Museo de Damasco³²⁰, Siria.



Img. 8. Fuente de mármol de Macael, Alhambra, Granada. (1.370 DC). España³²¹.

³²⁰ Según los arqueólogos, el Templo de Rshap en el que fue encontrada esta fuente, estaba dedicada al Dios de la muerte, la plaga y al Inframundo. *Sitio oficial de la misión arqueológica italiana en Siria* [web] http://www.ebla.it/escavi_i_templi_paleosiriani.html. Imagen de "Italian archaeological expedition to Ebla". En: Frances Pinnock. "Some Gublite Artifact Possibly Made at Ebla". *Varia* 89 (2012), pp. 85-100. <https://doi.org/10.4000/syria.1547>

³²¹ Patronato de la Alhambra y el Generalife. [Web] <https://www.alhambra-patronato.es/proyectos/restauracion-de-la-fuente-de-los-leones> [Fecha de acceso: 22/07/2022]

Tras el estudio de los elementos decorativos de Ebla (Siria), utilizaremos el palacio de los Leones en la Alhambra de Granada (España), porque la herencia artística, como punto de unión, queda materializada en el diseño de las dos fuentes de leones (Img. 7-8).

Encontramos que los leones son obras artísticas lejanas en el territorio (Ebla y Granada) y en el espacio histórico (1.900 a. C y 1.370 d.C). Si nos fijamos en los leones de la fuente encontrada en Ebla, podemos observar el tallado geométrico y el sutil labrado de la superficie para representar el pelo, las facciones, las orejas y los pies. Este tipo de interpretación del león utilizado en Ebla, tanto en volumen como en superficie, es el mismo que se utilizó para tallar los leones de la fuente del Palacio de Muhammad V, en la ciudad palatina de la Alhambra dentro de la ciudad de Granada.

Aunque podríamos evaluar la utilidad de la fuente, de Ebla y de la Alhambra como elemento de inspiración (Img. 9-10)³²², no vamos a extendernos en ese sentido porque el elemento de estudio, que guarda interés para definir nuestra vivienda mediterránea, es el patio.



Img. 9. Palacio meridional en Ebla, Siria³²³.



Img. 10. Palacio de los leones en la Alhambra en Granada, España³²⁴.

En el palacio de los Leones de la Alhambra la distribución interior de las habitaciones (con ausencia de revestimientos para estanterías), conectadas por las fuentes con el patio,

³²² La interpretación más relevante del trazado de la fuente del Palacio de los leones (Palacio del jardín feliz), es la ofrecida por Fernández-Puertas. Según este autor, el palacio y todas las habitaciones se trazan a partir de la modulación que ofrece la fuente, y además lo justifica con un análisis geométrico pormenorizado. En: Antonio Fernández-Fuertas, Antonio y Jones, Owen. *The Alhambra*. London: Saqi books, 1997, pp. 52-76.

³²³ Italian archaeological expedition to Ebla. [Web] http://www.ebla.it/escavi__i_palazzi.html [Fecha de acceso: 16/02/2022].

³²⁴ Patronato de la Alhambra y Generalife. (2013). [Facebook] <https://www.facebook.com/alhambracultura/photos/a.10151694720550641/10152608029805641/?type=3&theater> [Fecha de acceso: 16/02/2022].

llevan a pensar que algunas de las estancias estaban pensadas para usos diferentes al propiamente residencial³²⁵, como también vimos en el palacio meridional de Ebla (con restos de estanterías con tablillas contables).

Estos dos palacios (Ebla y Granada) están conectados por la herencia artística. Sin embargo, si eliminamos la herencia artística, sigue apareciendo la utilización del patio interior en los palacios para distribuir los espacios, al igual que en numerosos palacios que encontramos en el Mediterráneo. Parece que el patio interior es un elemento de diseño espacial de la vivienda y es independiente de la herencia artística.

Es más, los palacios que incorporan el patio interior van ligados a su propietario, y este suele ser una persona con un estatus social prominente (que goza de un grado de bienestar elevado). Estos palacios existen independientemente del espacio histórico que se acote.

En consecuencia, podemos establecer que existe un trinomio conceptual “bienestar-clase social-patio interior”, que está presente pero que no define a la vivienda mediterránea.

3.4.1.3 Sistema constructivo: la casa excavada o aérea y la luz natural.

Volviendo a las viviendas en el valle, también queremos resaltar un elemento que aparece en Famoselle en España (Img. 11-12), el pueblo de las 1.000 bodegas³²⁶. En esta población, los judíos construyeron sus viviendas en torno a la sinagoga³²⁷. De hecho, existen numerosos ejemplos que sugieren que la comunidad judía utilizaba los mismos modelos constructivos que existían previamente en las diferentes poblaciones en las que se instalaban (como consecuencia de la diáspora). A estos barrios de judíos, en el caso de los sefardíes, se les denomina juderías³²⁸.

³²⁵ Juan Carlos Ruíz Souza. “El palacio de los Leones de la Alhambra: ¿Madrassa zawiya y tumba de Muhammad V? Estudio para un debate”. *Al-Qanṭara*, 22.1 (2001), p. 77-120. <https://doi.org/10.3989/alqantara.2001.v22.i1.227>

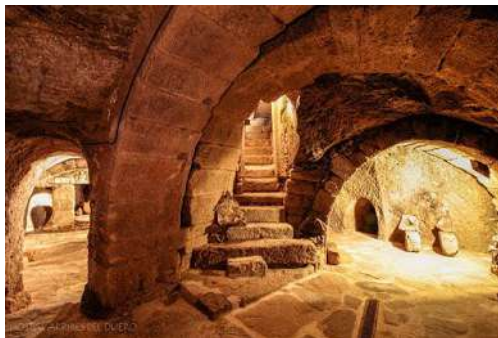
³²⁶ Las numerosas bodegas subterráneas de la población de Famoselle están talladas en la roca y no son visibles desde el exterior. Esto hace que la percepción visual de las viviendas no sean reconocibles para los habitantes que no están ligados a la población en sí. En: La opinión de Zaragoza. (2019). *El Ayuntamiento potenciará las bodegas como recurso turístico de Famoselle* [web] <https://www.laopiniondezamora.es/comarcas/2019/08/22/ayuntamiento-potenciara-bodegas-recurso-turistico-2602020.html> [Fecha de acceso: 16/02/2022]

³²⁷ Carlos Carrete Parrondo. “Sinagogas e impuestos fiscales de dos comunidades zamoranas: Famoselle y Fuentesauco”. En: Muñoz Solla, Ricardo y García Casar, María Fuencisla. *Obra antológica de Carlos Carrete Parrondo: Investigaciones sobre el pasado judío y converso hispanomedieval*. Béjar: Museo Judío David Melul, 2018, p. 705-711.

³²⁸ Miguel Ángel Espinosa Villegas. *Judaísmo, Estética y Arquitectura. La Sinagoga Sefardí*. Granada: Editorial Universidad de Granada, 1999, pp. 174-180.



Img. 11. Vivienda en Famoselle, España³²⁹.



Img. 12. Bodega de vivienda conocida como Sinagoga en Famoselle, España³³⁰.

Las juderías y la ausencia de un modelo constructivo judío³³¹ nos lleva a cuestionarnos hasta qué punto influyen las muestras de creatividad en las diferentes culturas, con sus variantes, en la vivienda mediterránea. Es notable la influencia de la comprensión fundamental de Dios³³² en el desarrollo de la población judía, cristiana y musulmana a lo largo del espacio histórico mediterráneo. Es más, esta influencia religiosa está presente en la versión de la historia del arte que estudiamos hoy.

No obstante, en las viviendas de Famoselle (y en la inmensa mayoría de viviendas mediterráneas) encontramos que es difícil distinguir los espacios de la vivienda en función de la religión de la familia que la habita (ante un mismo grado de bienestar).

Por el contrario, en las viviendas coetáneas, construidas en un mismo espacio histórico e incluso con similares distribuciones de espacios, sí encontramos otro tipo de elementos físicos que las hacen diferentes (p. ej. la dirección de la entrada de luz horizontal o cenital, el sistema constructivo subterráneo o aéreo), y que no tienen que ver con la religión ni la cultura.

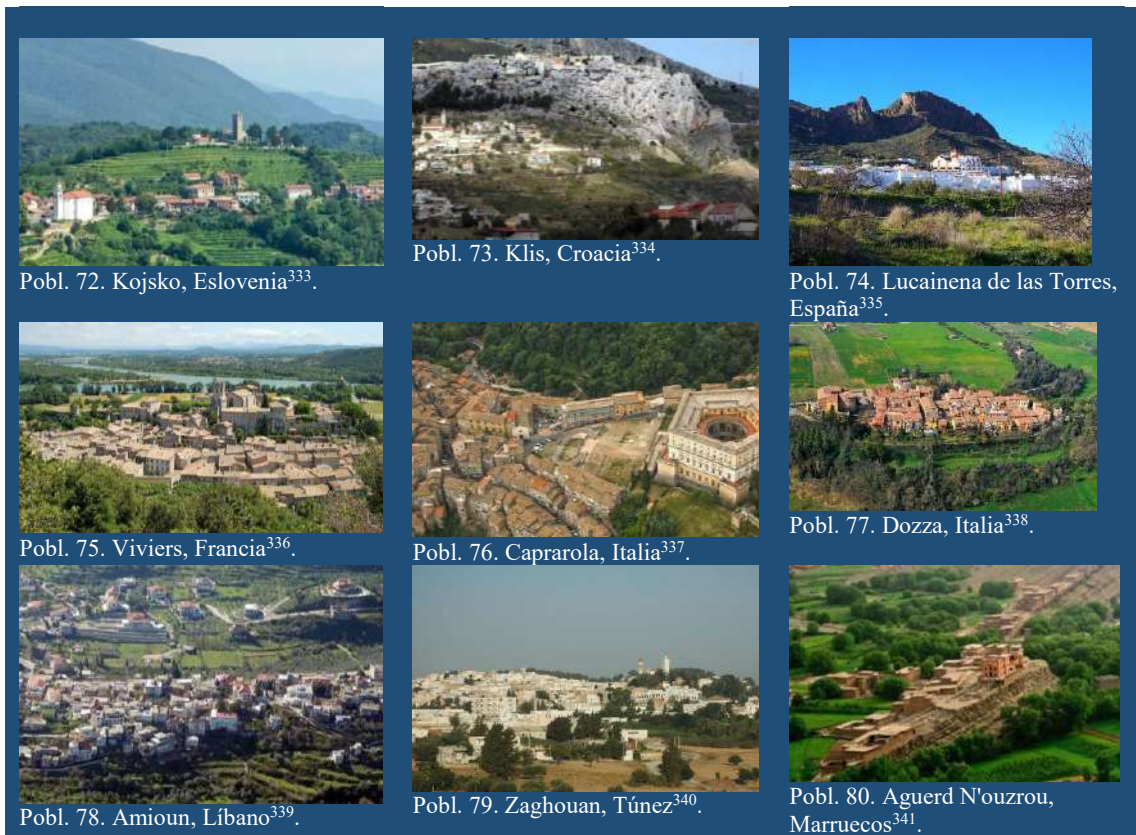
³²⁹ Hostal Arribes del Duero. (2018). *Que ver en Famoselle*. [Web] <https://hostalarribesdelduero.com/fermoselle-arribes-duero/> [Fecha de acceso: 16/02/2022]

³³⁰ Hostal Arribes del Duero. (2019) [Web] <https://www.zamorasefardi.com/2019/12/en-la-bodega-del-obispo-en-fermoselle.html> [Fecha de acceso: 16/02/2022]

³³¹ Miguel Ángel Espinosa Villegas. Op. Cit., p.176.

³³² Joseph Ratzinger. *Fe, Verdad y tolerancia: El cristianismo y las religiones del mundo: 163*. Salamanca: Ediciones Sígueme, S. A., 2005, p.41.

3.4.2. Valle y cima.



³³³ David Tomsic. (2020). *Sv. Kriz*. [Google Maps] <https://goo.gl/maps/41BNVUp1oCTBvtsbA> [Fecha de acceso: 16/05/2022].

³³⁴ Modzzak. (2007). *Vista de la fortaleza de Klis y el poblado del mismo nombre*. [Web] https://es.wikipedia.org/wiki/Fortaleza_de_Klis#/media/Archivo:Klis_Fortress,_Split.JPG [Fecha de acceso: 16/05/2022].

³³⁵ Belén Valdehita. (2019). *Lucainena de las Torres, un pueblo con mucho encanto en Almería*. [Web] <https://www.hoteles.net/almeria/lucainena-de-las-torres-almeria.html> [Fecha de acceso: 16/05/2022].

³³⁶ Michael Joffre. (2013). *Vue depuis la vierge*. [Web] [https://pl.wikipedia.org/wiki/Viviers_\(Ard%C3%A8che\)#/media/Plik:Vue_depuis_la_vierge.JPG](https://pl.wikipedia.org/wiki/Viviers_(Ard%C3%A8che)#/media/Plik:Vue_depuis_la_vierge.JPG) [Fecha de acceso: 16/05/2022].

³³⁷ C.E.H.A. Comité español de Historia del Arte [@artecha]. (2020). Para la misma familia crea la espectacular Villa Farnese de Caprarola. ... [Twitter] <https://twitter.com/arteccha/status/1280463782515523589/photo/1> [Fecha de acceso: 16/05/2022].

³³⁸ Silbiabelletti. [Web] <http://silviabelletti.com/es/tours-Dozza-ES.html> [Fecha de acceso: 16/05/2022].

³³⁹ Naseem Abi Shaheen. (2007). *Amioun 12*. [Web] https://es.wikipedia.org/wiki/Amioun#/media/Archivo:Amioun_12.jpg [Fecha de acceso: 16/05/2022].

³⁴⁰ Patrick Giraud. (2007). *Zaghouan Governorate*. [Web] https://en.wikipedia.org/wiki/Zaghouan#/media/File:TUNISIE_ZAGHOUAN_02.JPG [Fecha de acceso: 16/05/2022].

³⁴¹ Brahim Aouiche. (2019). *Ait Bouguemez*. [Google Maps] <https://tinyurl.com/y4okv6wj> [Fecha de acceso: 16/05/2022].

Presentación de datos. La vivienda como fuente primaria.

	Población	Entorno NATURAL	Poblaciones cercanas/ asociadas³⁴².	Agrupación de viviendas: INDIVIDUAL/COLECTIVA
72	Kojsko, Gorizia. Eslovenia	Valle río Isonzo. Límite. Parque Nacional Skalnica - območje gore z Marijinim svetiščem.	Kojsko es una aldea que pertenece al municipio de Brda ³⁴³ . El municipio de Brda, está compuesto por las siguientes poblaciones: Barbana, Belo, Biljana, Brdice pri Kožbani, Brdice pri Neblem, Breg pri Golem Brdu, Brestje, Brezovk, Ceglo, Dobrovo (principal), Dolnje Cerovo, Drnovk, Fojana, Golo Brdo, Gonjače, Gornje Cerovo, Gradno, Hlevnik, Hruševlje, Hum, Imenje, Kojsko, Kozana, Kozarno, Kožbana, Krasno, Medana, Neblo, Nozno, Plešivo, Podsabotin, Pristavo, Senik, Slapnik, Slavče, Snežatno, Snežeče, Šlovrenc, Šmartno, Vedrijan, Vipolže, Višnjevnik, Vrhovlje pri Kojskem, Vrhovlje pri Kožbani y Zali Breg. Las poblaciones próximas/vecinas a Kojsko son: Brestje, Gonjače, Hum, Snežatno y Vrhovlje pri Kojskem.	La vivienda se desarrolla en un único volumen compacto que crece en vertical. Algunas viviendas tienen un patio privado anexo al volumen. Algunas viviendas se desarrollan en volumen único están rodeadas de terreno. Las viviendas conforman un en el centro un conjunto compacto y en los bordes un límite fluido formando la población. Hay algunas viviendas aisladas en el entorno próximo.
73	Klis, Split-Dalmacia. Croacia	Valle del río Jadro. Límite. Dinaric Alps.	Klis es una ciudad con poblaciones asociadas. Las poblaciones que componen Klis son: Brštanovo, Dugobabe, Klis (principal), Konjsko, Koruše, Nisko, Prugovo, Veliki Broćanac, Vučevica ³⁴⁴ . Las poblaciones próximas/vecinas a Klis son: Dugopolje, Konjsko, Koprivno (Dugopolje), Mravince y Solin.	La vivienda se desarrolla en un único volumen compacto que crece en vertical. Algunas viviendas tienen un patio privado interior o anexo al volumen. Algunas viviendas se desarrollan en volumen único están rodeadas de terreno. Las viviendas conforman un conjunto fluido sin un límite claro formando la población. Hay viviendas aisladas en el entorno próximo.
74	Lucainena de las Torres, Almería. España	Límite. Reserva Natural Paraje Natural Sierra Alhamilla.	Lucainena de las Torres es un municipio con poblaciones asociadas. Las poblaciones que componen el municipio de Lucainena de las Torres son: Lucainena de las Torres (principal), Polopos, La Rambla Honda, Los Olivillos y El Saltador ³⁴⁵ . Las poblaciones próximas/vecinas a Lucainena de las Torres son: Cañada de Miralles, Cinta Blanca, El Saltador, Los Encalmados, Rambla Honda y Sorbas.	La vivienda se desarrolla en un único volumen compacto que crece en vertical. Algunas viviendas tienen un patio privado interior o anexo al volumen. Las viviendas conforman un en el centro un conjunto compacto y en los bordes un límite fluido formando la población. Hay viviendas aisladas en el entorno próximo.

³⁴² Los datos de las poblaciones próximas/vecinas, son obtenidos del mapa de las carreteras y datos de google maps. [Web] <https://www.google.com/maps/place/Mar+Mediterr%C3%A1neo/@37.6892625,6.1065842,5z/data=!3m1!4b1!4m5!3m4!1s0x131421b81e473c9f:0x2e93598afecf840!8m2!3d34.5531284!4d18.0480105> [Fecha de acceso: 16/05/2022].

³⁴³ [Web] https://www.brda.si/discover/from_village_to_village/2012012810394059/ [Fecha de acceso: 16/05/2022].

³⁴⁴ REPUBLIKA HRVATSKA SPLITSKO-DALMATINSKA ŽUPANIJA ŽUPANJA. Predmet: Prijedlog zaključka o davanju pozitivnog mišljenja o inicijativi za promjenu statusa Općine Klis u status Grada Klis [Web] <https://www.dalmacija.hr/Portals/0/docs/4.Prijedlog%20zaklju%C4%8Dka%20o%20davanju%20pozitivnog%20mi%C5%A1ljenja%20o%20inicijativi%20za%20promjenu%20statusa%20Op%C4%87ine%20Klis%20u%20status%20Grada%20Klis.pdf> [Fecha de acceso: 16/05/2022].

³⁴⁵ Ayuntamiento de Lucainena de las Torres. [Web] <http://www.lucainenadelatorres.es/Servicios/cmsdipro/index.nsf/informacion.xsp?p=Lucainena&ref=060-HI-001> [Fecha de acceso: 16/05/2022].

75	Viviers, Ardèche. Francia	Valle del río Ródano.	Viviers es una comuna que pertenece al cantón Bourg-Saint-Andéol. El cantón de Bourg Saint Andéol está compuesto por las siguientes poblaciones: Bidon, Bourg Saint Andéol, Gras, Larnas, Saint Just d'Ardèche, Saint Marcel d'Ardèche, Saint Martin d'Ardèche, Saint Montan, Viviers ³⁴⁶ . Las poblaciones próximas/vecinas a Viviers son: Châteauneuf du Rhône, Donzère, Le Teil, Saint Montan y Saint Thomé.	La vivienda se desarrolla en un único volumen compacto que crece en vertical. Algunas viviendas tienen un patio privado interior o anexo al volumen. Las viviendas conforman un en el centro un conjunto compacto y en los bordes un límite fluido formando la población. Hay viviendas aisladas en el entorno próximo.
76	Caprarola, Viterbo. Italia	Lago (Lago di Vico) de origen volcánico, muy bien conservado. Límite. Parque Nacional del Gran Sasso y Montes de la Laga.	Caprarola es una comuna/municipio ³⁴⁷ . Las poblaciones que componen el municipio de Caprarola son: Caprarola (principal), Case sparse, Magliano, Paradisa, San Rocco y Santa Teresa ³⁴⁸ . Las poblaciones próximas/vecinas a Caprarola son: Carbognano, Poggio Cavaliere, Punta del Lago, Ronciglione y San Rocco.	La vivienda se desarrolla en un único volumen compacto que crece en vertical. Algunas viviendas tienen un patio privado interior o anexo al volumen. Las viviendas conforman un en el centro un conjunto compacto y en los bordes un límite fluido formando la población. Hay viviendas aisladas en el entorno próximo.
77	Dozza, Bolonia. Italia	Límite. Parco Regionale del Delta del Po (Valli di Argenta). Parco Regionale della Vena del Gesso Romagnola.	Dozza es una comuna/municipio ³⁴⁹ . Las poblaciones que componen el municipio de Dozza son: Baiavolpe, Dozza (principal), Ca 'Marana, Case sparse, Cà del Vento, Manare di sopra, Monte del Re, Piantà, Sellustra y Toscanella ³⁵⁰ . Las poblaciones próximas/vecinas a Dozza son: Baiavolpe, Cà del Vento, Castel San Pietro Terme, Gagliarda, Imola, Monte del Re, Pieve di Sant'Andrea, Piratello.	La vivienda se desarrolla en un único volumen compacto que crece en vertical. Algunas viviendas tienen un patio privado interior o anexo al volumen. Las viviendas conforman un conjunto compacto formando la población.
78	Amioun, Líbano-Norte. Líbano	Límite: Reserva de la biosfera Masser Al-Chouf, Barouk, and Ain Zhalta-Bmohary (nieve), Mount Lebanon/ jabal lubnān/Jebel Liban.	Amioun es un municipio ³⁵¹ . No se han encontrado poblaciones asociadas al municipio de Amioun. Las poblaciones próximas/vecinas a Amioun son: Bechmizzine, Bsarma, Darchmezzine, Kfar Hazir y Kfar Saroun.	La vivienda se desarrolla en un único volumen compacto que crece en vertical rodeada de terreno. Las viviendas conforman un conjunto fluido sin un límite claro formando la población. Hay viviendas aisladas en el entorno próximo.

³⁴⁶ República francesa. Legislación Nacional Vigente. [Web] <https://www.legifrance.gouv.fr/loda/id/JORFTEXT000028621829/> [Fecha de acceso: 16/05/2022].

³⁴⁷ Provincia di Viterbo. [Web] <https://www.provincia.viterbo.gov.it/home/23-comuni/15-comune.html> y <https://comune.caprarola.vt.it/vivere-la-citta/chiese/> [Fecha de acceso: 16/05/2022].

³⁴⁸ [Web] <http://italia.indettaglio.it/ita/lazio/caprarola.html> [Fecha de acceso: 16/05/2022].

³⁴⁹ Comune di Dozza. [Web] [web] <https://www.comune.dozza.bo.it/il-comune> [Fecha de acceso: 16/05/2022].

³⁵⁰ [Web] <http://italia.indettaglio.it/ita/emiliaromagna/dozza.html> [Fecha de acceso: 16/05/2022].

³⁵¹ Municipality of Amion. [Web] <https://es-es.facebook.com/MunicipalityOfAmioun/about/> [Fecha de acceso: 16/05/2022].

Presentación de datos. La vivienda como fuente primaria.

79	Zaghouan, Zaghouan. Túnez	Límite. Parc National Djebel Zaghouan.	Zagjouan es una comuna/municipio y delegación ³⁵² . Las poblaciones asociadas a Zaghouan parece que son: Moghrane y Zaghouan (principal) ³⁵³ . Las poblaciones próximas/vecinas a Zaghouan son: Beni Darraj, Bir Halima, El Jouff, Hammam Zriba, Moghrane, y Sminja.	La vivienda se desarrolla en un único volumen compacto que crece en vertical. Algunas viviendas tienen un patio privado interior o anexo al volumen. Algunas viviendas se desarrollan en volumen único están rodeadas de terreno. Las viviendas conforman un en el centro un conjunto compacto y en los bordes un límite fluido formando la población. Hay viviendas aisladas en el entorno próximo.
80	Aguerd N'ouzrou, Azilal. Marruecos	Valle de Aït Bouguemez en el Alto Atlas central. Límite. Western High Atlas National Park.	Aguerd N'ouzrou es una comuna ³⁵⁴ . No se han encontrado poblaciones asociadas al municipio de Aguerd N'ouzrou. Las poblaciones próximas/vecinas a Aguerd N'ouzrou son: Agouti, Aït Bouguemez, Tabant, Taheyda, Timmit.	La vivienda se desarrolla en un único volumen compacto que crece en vertical. Algunas viviendas tienen un patio privado anexo al volumen. Las viviendas conforman un conjunto compacto formando la población. Hay viviendas aisladas en el entorno próximo.

Tabla 13. Viviendas en valle y cima. Mediterráneo.

Coordenadas:

	Población	Geolocalización	Coordenadas DMS	Altitud
72	Kojsko, Gorizia. Eslovenia	https://www.google.com/maps/place/5211+Kojsko,+Eslovenia/@46.0061531,13.5660094,15z/data=!4m5!3m4!1s0x477bad05e2acae1:0x54c71a095950f08d!8m2!3d46.0055805!4d13.5753158?hl=es	46° 0' 20.547" N 13° 34' 30.965" E	240 m.
73	Klis, Split-Dalmacia. Croacia	https://www.google.com/maps/place/Klis,+Croacia/@43.5638838,16.5134353,14z/data=!3m1!4b1!4m5!3m4!1s0x1335599cfff2d204d:0x400ad50862bcfe0!8m2!3d43.5601784!4d16.5207648?hl=es	43° 33' 39.655" N 16° 31' 21.690" E	303 m.
74	Lucainena de las Torres, Almería. España	https://www.google.com/maps/place/04210+Lucainena+de+las+Torres,+Almer%C3%ADa/@37.0410812,-2.2027791,17z/data=!3m1!4b1!4m5!3m4!1s0xd7ab93e20c90385:0xc019f19d6f7e74e!8m2!3d37.0407929!4d-2.201005!5m1!1e4?hl=es	37° 2' 25.308" N 2° 12' 3.968" W	547 m.
75	Viviers, Ardèche. Francia	https://www.google.com/maps/place/07220+Viviers,+Francia/@44.4811744,4.6265366,13z/data=!3m1!4b1!4m5!3m4!1s0x12b51239767b58f7:0x4093cafcbeb80c0!8m2!3d44.480269!4d4.691053!5m1!1e4?hl=es	44° 28' 54.389" N 4° 41' 25.355" E	93 m.
76	Caprarola, Viterbo. Italia	https://www.google.com/maps/place/01032+Caprarola,+Viterbo,+Italia/@42.3232186,12.2291144,15z/data=!3m1!4b1!4m5!3m4!1s0x132f3089ed52b73b:0xed33ad8f87bd860c!8m2!3d42.3272312!4d12.2387494!5m1!1e4?hl=es	42° 19' 36.374" N 12° 14' 21.417" E	484 m.
77	Dozza, Bolonia. Italia	https://www.google.com/maps/place/40060+Dozza,+Bolonia,+Italia/@44.3618858,11.6263137,16z/data=!3m1!4b1!4m5!3m4!1s0x132b346501690d5f:0x9cab6b5957affe8f!8m2!3d44.3587677!4d11.6257407!5m1!1e4?hl=es	44° 21' 34.614" N 11° 37' 48.307" E	166 m.

³⁵² [Web] <http://www.commune-zaghouan.gov.tn/> [Fecha de acceso: 16/05/2022].

³⁵³ [Web] <https://www.mindat.org/feature-2464039.html> [Fecha de acceso: 16/05/2022].

³⁵⁴ *Recensement general recensement general de la population et de l'habitat de la population et de l'habitat de 2004.* [Web] https://commons.wikimedia.org/wiki/Category:A%C3%Aft_Bouguemez [Fecha de acceso: 16/05/2022].

78	Amioun, Líbano-Norte. Líbano	https://www.google.com/maps/place/Amioun,+L%C3%ADbano/@34.2990325,35.80012,15z/data=!3m1!4b1!4m5!3m4!1s0x1521fbf11959b8f9:0x67c8e1c465fd1a92!8m2!3d34.2990156!4d35.8088748!5m1!1e4?hl=es	34° 17' 57.480" N 35° 48' 57.648" E	296 m.
79	Zaghouan, Zaghouan. Túnez	https://www.google.com/maps/place/Zaghouan,+T%C3%BAnez/@36.4089095,10.1187426,14z/data=!3m1!4b1!4m5!3m4!1s0x12fd110c5ea382cd:0x16f187f18150bf27!8m2!3d36.4091188!4d10.1423172!5m1!1e4?hl=es	36° 23' 45.336" N 10° 8' 45.249" E	206 m.
80	Aguerd N'ouzrou, Azilal. Marruecos	https://www.google.com/maps/place/Aguerd+N'ouzrou,+Marruecos/@31.6517967,-6.4415341,1968m/data=!3m2!1e3!4b1!4m2!1m16!4m15!1m6!1m2!1s0xda4a7fc1263ce83:0x3af422c097ba3c6d!2sTabant,+Marruecos!2m2!1d-6.4103979!2d31.6584818!1m6!1m2!1s0xda4a89d9e414a5b:0xa8dff01e284af3e!2sA%C3%AFt+Bouguemez,+Marruecos!2m2!1d-6.4676609!2d31.6456567!3e0!3m4!1s0xda4a7d9aa2f30d5:0x643ca04636c922e9!8m2!3d31.6528152!4d-6.4383584!5m1!1e4?hl=es	31° 39' 14.957" N 6° 26' 21.236" W	1849 m.

Tabla 14. Geolocalización de las viviendas en valle y cima. Mediterráneo.

3.4.2.1 Las poblaciones cercanas y las vistas al territorio.

Comprobamos que las poblaciones cercanas: comparten el lenguaje constructivo (aunque aparecen algunas variaciones), utilizan los mismos materiales y presentan la misma distribución genérica de un volumen único que crece en altura (con vistas al territorio).



Img. 13. Polopos. España³⁵⁵.



Img. 14. Sorbas, España³⁵⁶.



Img. 15. Lucainena de las Torres, España³⁵⁷

Un ejemplo son las viviendas de la población Lucainena de las Torres (Pobl. 74 - Img. 15) en comparación con su pedanía Polopos (Img.13) y el municipio cercano de Sorbas (Img. 14).

³⁵⁵ [Web] <https://saborandalucia.com/polopos-granada/> [Fecha de acceso: 16/05/2022].

³⁵⁶ [Pinterest] <https://www.pinterest.es/pin/90494273738939747/> [Fecha de acceso: 16/05/2022].

³⁵⁷ Canal sur turismo. Minuto 0:12. *Lucainena de las Torres, Almería* [Youtube] <https://www.youtube.com/watch?v=4XVtO1HrAH8> [pinterest](#)

3.4.3.Valle / sierra y ruina.

Esta combinación valle-sierra-ruina, tiene como objetivo, buscar una primera visión de la vivienda en el espacio histórico que va desde la Prehistoria hasta la actualidad. Haremos pequeñas acotaciones con los parámetros específicos para identificar pervivencias asociadas a la vivienda que tengan continuidad en el tiempo.

Empezaremos con una zona concreta: la Península Ibérica. En ella buscaremos poblaciones que cumplan estos parámetros: cercanas al mar, yacimientos arqueológicos íberos y que se asienten en un valle o en una sierra.

Seleccionamos a los Íberos como parámetro específico, porque la sociedad ibérica incorpora *formas artísticas mediterráneas*³⁵⁸ desde sus inicios en el siglo VI a. C.

³⁵⁸ La expresión *formas artísticas mediterráneas* hace referencia a las influencias del *mosaico de culturas* que se extendieron por toda la costa mediterránea En: Juan Antonio Ramírez. Op. Cit., p.301.

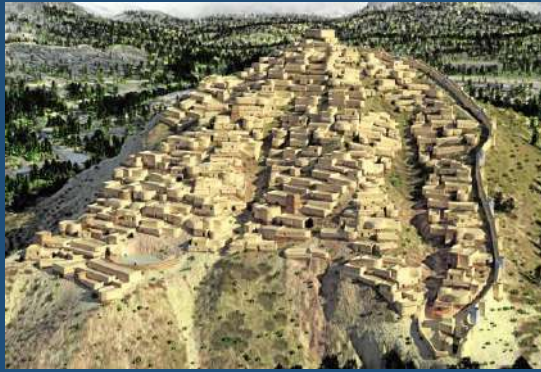
3.4.3.1 Valle / sierra y ruina. Península ibérica.



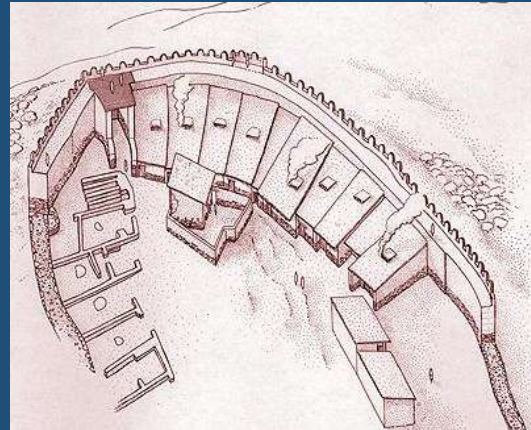
Pobl. 81. La Bastida de les Alcusses, España³⁵⁹.



Pobl. 82. La Moleta del Remei, España³⁶⁰.



Img. 16. Recreación de La Bastida de les Alcusses, España³⁶¹.



Img. 17. Reconstrucción de La Moleta del Remei, España³⁶².

³⁵⁹ UAB Universidad Autónoma de Barcelona. *La Bastida from top of Cabezo Gordo Hill; on the right the premises of the Research Center.* [Web] http://www.la-bastida.com/LaBastida/?__locale=en [Fecha de acceso: 16/05/2022].

³⁶⁰ Junto al yacimiento de la Bastida, se puede ver la reconstrucción de una casa íbera, compuesta por un volumen sencillo y cubierta vegetal. MUSEU TERRES EBRE. *PARC ARQUEOLÒGIC DE LA MOLETA DEL REMEI (ALCANAR)* [Web] <https://twitter.com/museuterresebre/status/1303611533080100864/photo/1> [Fecha de acceso: 16/05/2022].

³⁶¹ Dani Méndez. REVIVES. *3D recreation of the Argaric site La Bastida* [Web] <https://www.uab.cat/web/newsroom/news-detail/intensive-management-of-crops-and-livestock-spurred-la-bastida-s-economic-development-1345668003610.html?noticiaid=1345809638417> [Fecha de acceso: 16/05/2022].

³⁶² Junto al yacimiento no se ha reproducido una interpretación de una vivienda compleja. Sin embargo, en la reconstrucción ideal de Moleta del Remei, se representa la vivienda como un único volumen. En: Francisco Garcia Alonso y otros. (1985-1997). *“Patrimonio y docencia (i). proyecto de conservación y difusión del poblado ibérico de la Moleta del Remei.* [Web] <https://usuaris.tinet.cat/jjdm/moleta.html> [Fecha de acceso: 16/05/2022].

Presentación de datos. La vivienda como fuente primaria.

Población	Entorno NATURAL	Ruina: DESTRUCCIÓN / ABANDONO	AGRUPACIÓN: Individual – Colectiva
81 La bastida de les Alcusses, Valencia. España.	Límite. Parque Natural de la Sierra de Mariola. Parque de la Sierra de Maigmó. Microreserva Fuente del Puntalejo.	Ciudad fortificada con murallas iberas, abandonada por un episodio violento en el siglo IV a. C. ³⁶³ . En esa época se destruyen varios poblados iberos, como la Bastida de Alcusses, El Puig ³⁶⁴ .	La vivienda se desarrolla en un único edificio. Algunas viviendas tienen un patio privado interior o anexo al volumen. Las viviendas conforman un conjunto compacto formando la población. Hay algunas viviendas aisladas en el entorno próximo ³⁶⁵ .
82 La Moleta del Remei, Tarragona. España	Límite. Sierra del Montsà. Parque Natural Sierra de Irta. Parque Natural Tinença de Benifassà.	Abandono no violento del asentamiento en el siglo II a. C. (150 a. C.), tras la invasión romana durante la Segunda Guerra Púnica, se produce un cambio radical en las estructuras socioeconómicas del territorio (posesión y explotación del territorio). Desarrollo de las viviendas por periodos en la ciudad. En el tercer y último periodo, las viviendas se hacen más estrechas y se desarrollan accesos a altillos ³⁶⁶ . Es un poblado de ladera o de cima, según la clasificación establecida por J. Sanmartí ³⁶⁷ . Los primeros que influyeron a los iberos son los fenicios VI a. C.: nuevas técnicas de cerámica y nuevas tipologías, primero copian de los fenicios (receptores de cerámica hecha a mano, urnas... estímulos exóticos del Mediterráneo) y luego desarrollan una nueva vida y una nueva cultura, incluidos nuevos pensamientos religiosos. En el V a. C. empieza la influencia clásica ³⁶⁸ . Restos de cerámicas etruscas en las capas más antiguas de Moleta, pertenecen a la trama comercial del Bronce final en el Mediterráneo occidental ³⁶⁹ .	La vivienda se desarrolla en un único edificio ³⁷⁰ . Las viviendas conforman un conjunto compacto formando la población.

Tabla 15. Viviendas en valle/sierra y ruina. Península Ibérica.

³⁶³ Jaime Vives-Ferrándiz Sánchez y otros. "Un disco-coraza de hierro de la Bastida de les Alcusses (moixent, valencia)". *Gladius*, 37 (2017), p. 54. <https://doi.org/10.3989/gladius.2017.02>

³⁶⁴ José María Blázquez Martínez. "El mundo ibérico en los siglos inmediatos al cambio de era". *Alicante: Biblioteca Virtual Miguel de Cervantes*, 2005, p. 20. Obtenido en: <https://www.cervantesvirtual.com/nd/ark:/59851/bmc348z0> [Fecha de acceso: 04/02/2022]

³⁶⁵ En los trabajos arqueológicos de La Bastida, se han encontrado numerosas muestras que indican la relación que tenían los habitantes de La Bastida como ciudad, con los pequeños asentamientos y las casas de campo que había alrededor. Este hecho apoyaría una posible teoría sobre la vivienda en el Mediterráneo, que ya vimos con anterioridad en Ebla. En: Helena Bonet Rosado y Jaime Vives-Ferrándiz Sánchez. *La Bastida de les Alcusses*. 1928-2010. Valencia: Diputación de Valencia, 2011, p.53.

³⁶⁶ Francesc Gracia Alonso y otros. *La Moleta del Remei (Alcanar, Montsià), Campañas 1985-1986*. Tarragona: Diputació, 1988, p. 60, 68-69.

³⁶⁷ *Ibid.*, p. 61.

³⁶⁸ Arturo Oliver Foix. "Las influencias mediterráneas en el mundo ibérico de la zona sur del delta del Ebro", *Cuadernos de prehistoria y arqueología castellanenses*, 7 (1980), pp. 117-118.

³⁶⁹ Arturo Oliver Foix. "Materiales etruscos en el Bajo Maestrazgo (Castellón)", *Cuadernos de prehistoria y arqueología castellanenses*, 12 (1986), pp. 223 y 226.

³⁷⁰ Los trabajos de investigación en el curso inferior del Ebro, trazan una línea que va de la cueva al poblado. En concreto, desde los yacimientos de las cuevas en la Protohistoria de la zona, hasta los poblados iberos. En: María del Mar Villalbí Prades, María del Mar. "El patrimonio arqueológico en el Museu de les Terres de L'Ebre". *Boletín del Museo Arqueológico Nacional*, 35 (2017), p. 1377-1385.

Coordenadas:

	Población	Geolocalización	Coordenadas DMS	Altitud
81	La bastida de les Alcusses, Valencia. España.	https://www.google.com/maps/place/Poblado+lbero+de+La+bastida+de+les+Alcusses/@38.8147652,-0.8008955,15z/data=!4m5!3m4!1s0x0:0x51cbf37f60fb97d3!8m2!3d38.8148745!4d-0.8009602	38° 48' 53.159" N 0° 48' 3.559" W	725 m.
82	La Moleta del Remei, Tarragona. España.	https://www.google.com/maps/place/Poblat+lb%C3%A8ric+de+La+Moleta+del+Remei/@40.5582748,0.4794999,17z/data=!3m1!4b1!4m5!3m4!1s0x12a0572e90e27d33:0xe7c25845a97467f5!8m2!3d40.5582748!4d0.4816939	40° 33' 29.248" N 0° 28' 53.796" E	188 m.

Tabla 16. Geolocalización de viviendas en valle/sierra y ruina. Península Ibérica.

3.4.3.1.1 Las vistas al territorio y el volumen único que crece en altura.

En La Bastida de les Acusses de Mixent del siglo IV a. C. y la Moleta del Remei del siglo VII – II a. C. no podemos definir el volumen de las viviendas, aunque, si podemos observar que se asientan en un plano inclinado en la sierra (La Bastida de les Acusses de Mixent) o en un promontorio en el valle (Moleta del Remei).

Además, en el caso del valle, existen numerosas poblaciones actuales que también se asientan en un promontorio que presentan similitudes. Por ejemplo, si comparamos las viviendas íberas de Moleta del Remei (Img. 18) con las viviendas habitadas hoy de Dozza en Italia (Img. 19), identificamos que ambas se localizan en volúmenes únicos dentro de un núcleo urbano. En Dozza también apreciamos que estos volúmenes crecen en altura.

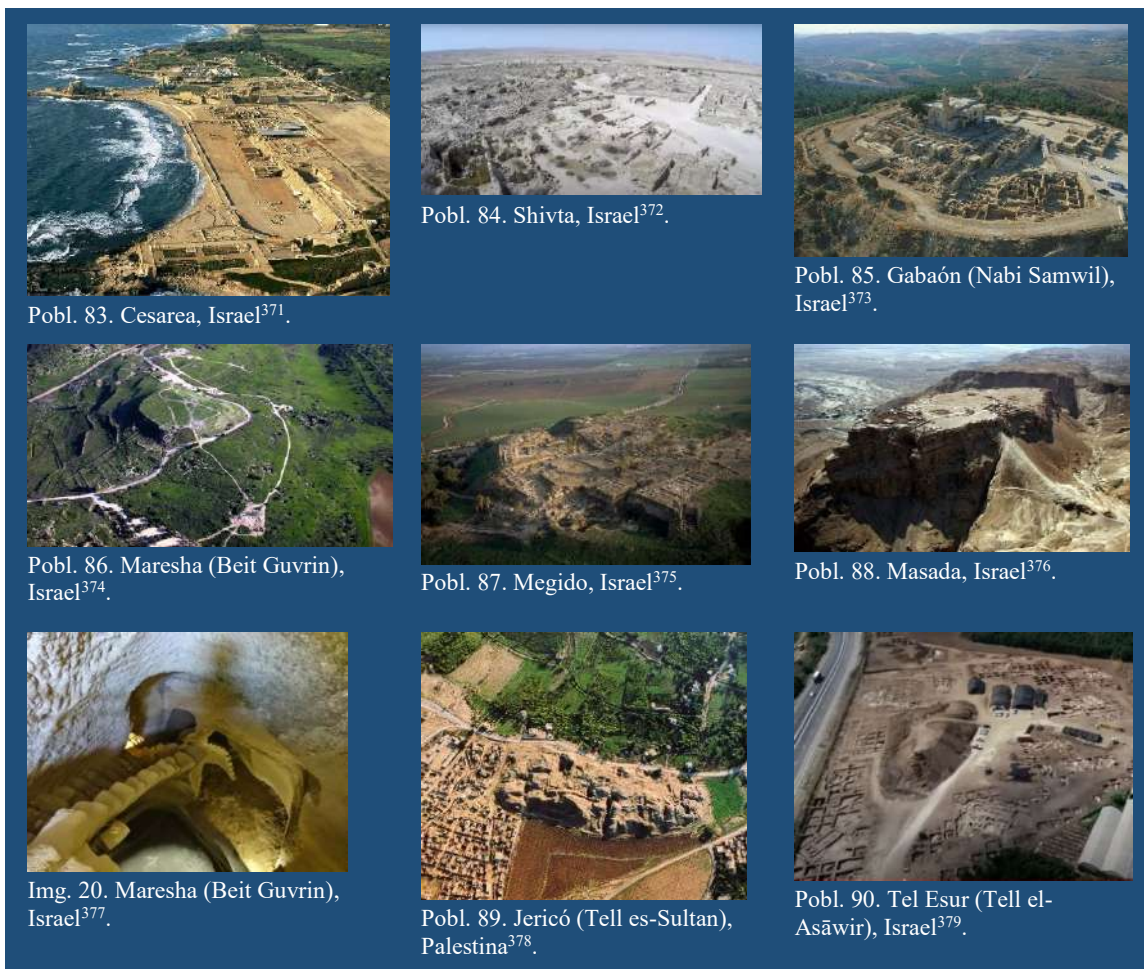


Img. 18. La Moleta del Remei, España



Img. 19. Dozza, Italia (Pobl. 77)

3.4.3.2 Valle / sierra y ruina. Israel.



³⁷¹ *Las espectaculares ruinas de la ciudad romana de Cesarea Maritima, en el actual Israel.* [Twitter] <https://twitter.com/PortalClasico/status/924002938120437763/photo/1> [Fecha de acceso: 16/05/2022].

³⁷² Amir Aloni. (2015). Min. 0:31. *Aerial photographs of Shivta, the Nabatean farming village located on the Spice Route.* הורבות שבטה אוויר צילומי - שבטה [Youtube] https://www.youtube.com/watch?v=9x15qYe_b78 [Fecha de acceso: 16/05/2022].

³⁷³ DUBY Tal/Albatross. [Web] <https://www.baslibrary.org/biblical-archaeology-review/34/3/7> [Fecha de acceso: 16/05/2022].

³⁷⁴ BIBLEPLACES. *Beth Guvrin (Maresha) Also known as Betogabris, Eleutheropolis, Tel Maresha, Tell Sandahanna, Beit Jibrin, Bet Giblin, Beth-guvrin, Bet Guvrin, Gibelin, Maresshah* [web] <https://www.bibleplaces.com/bethguvrin/> [Fecha de acceso: 16/05/2022].

³⁷⁵ Greg Girard. [NATIONAL GEOGRAPHIC]. *Located in what is now northern Israel, Tel Megiddo is also known by its Greek name, Armageddon.* [Web] <https://tinyurl.com/y27hmo7p> [Fecha de acceso: 16/05/2022].

³⁷⁶ *Masada, también llamada "la fortaleza", es uno de los lugares históricos de Israel.* [Web] <https://www.primeroscristianos.com/masada/> [Fecha de acceso: 16/05/2022].

³⁷⁷ Tourpedia. [© Энциклопедия Туризма]. *Beit Guvrin, "la ciudad de las mil cuevas".* [Web] <http://tourpedia.ru/beit-guvrin-maresha/> [Fecha de acceso: 16/05/2022].

³⁷⁹ VOA News. (2019). Min. 1:00. *Israel Unveils 5,000-Year-Old City* [Youtube] <https://www.youtube.com/watch?v=8R4ytkdkjM> [Fecha de acceso: 16/05/2022].

Población	Entorno NATURAL	DESTRUCCIÓN/ABANDONO	Agrupación de viviendas: INDIVIDUAL/COLECTIVA
83 Cesarea, Haifa. Israel	Límite. Mar Mediterráneo. Mount Carmel National Park.	DESTRUCCION BÉLICA. Cesarea máximo esplendor con el rey Herodes el Grande siglo I a. C. Cesarea cae en poder de los mamelucos en 1265dC ³⁸⁰ . Cesarea estaba en ese momento bajo el poder de la Orden Teutónica ³⁸¹ . <i>Qaysāriyya</i> /Caesarea. La ciudad es destruida en el año 1291 d. C. por el Sultan Baybars ³⁸² . Los defensores de Asruf, igual que cesaréa, se vieron obligados a demoler su propia ciudadela en 1265 d. C. ³⁸³ .	La vivienda se desarrolla en un único volumen compacto que crece en vertical. Algunas viviendas tienen un patio privado interior o anexo al volumen. Algunas viviendas se desarrollan en varios volúmenes con un patio privado interior. Las viviendas conforman un conjunto compacto formando la población con numerosos edificios públicos.
84 Shivta, Beersheba. Israel	Desierto Negrev	ABANDONO. <i>Sbaīta</i> -Shivta la ciudad surge en el siglo V d. C. ³⁸⁴ . Las puertas selladas, abandono de la ciudad en el periodo islámico temprano, siglos VII-IX d. C. ³⁸⁵ .	La vivienda se desarrolla en un único volumen compacto que crece en vertical, o en varios volúmenes con un patio privado interior. Algunas viviendas tienen un patio privado interior o anexo al volumen. Algunas viviendas se desarrollan en varios volúmenes con un patio privado interior. Las viviendas conforman un conjunto compacto formando la población.
85 Gabaón (Nabi Samwil), Judea y Samaria, Territorios Palestinos.	Límite: Parque Nacional Ashkelon, Parque Nacional en Hemed, Parque Nacional Yarkon, Parque Nacional Sebastia.	ABANDONO Muralla de la Edad de Hierro. Tumbas de la edad de Bronce medio y Tardío (1800-1200 a. C.) Gabaón significa <i>ciudad de la colina</i> ³⁸⁶ . Industria grande con Bodegas de vino excavadas de Gabaón siglos VIII y VII a. C. Abandono paulatino de la ciudad. Apenas ocupada desde el VI al I a. C. ³⁸⁷ .	La vivienda se desarrolla en un único volumen compacto que crece en vertical, o en varios volúmenes con un patio privado interior. Algunas viviendas tienen un patio privado interior o anexo al volumen. Algunas viviendas se desarrollan en varios volúmenes con un patio privado interior. Las viviendas conforman un conjunto compacto formando la población.
86 Maresha (Beit Guvrin), Ashkelon. Israel	Límite. Adullam Grove Nature Reserve.	DESTRUCCION BÉLICA. El rey hasmoneo Mattathias Antigonus destruye la ciudad en el año 40 a. C. y la ciudad Beit Guvrin la sustituye. De forma ocasional, en años posteriores, Maresha es utilizada como escodite por periodos breves ³⁸⁸ .	La vivienda se desarrolla en un único volumen compacto excavado en la piedra. Algunas viviendas crecen en horizontal, con nuevos volúmenes conectados. Las viviendas conforman un conjunto compacto formando ramificaciones con varias salidas.

³⁷⁹ VOA News. (2019). Min. 1:00. *Israel Unveils 5,000-Year-Old City* [Youtube] <https://www.youtube.com/watch?v=8R4ytkddkjM> [Fecha de acceso: 16/05/2022].

³⁸⁰ Diego Sarrió Cucarella. "Carta de Ibn Taymiyya a un cruzado en Chipre". *Collectanea christiana orientalia*, 8 (2011), p. 115. <https://doi.org/10.21071/ccov8i.155>

³⁸¹ Lotan Shlomo. "Cross relationships between Cyprus and the Latin Kingdom of Jerusalem in the Teutonic Military Order Tradition". *Notandum*, 32 (2013), p. 153.

³⁸² Daniel R. Moy. *Military strategy in the Latin Kingdom of Jerusalem: the crusader fortification at Caesarea*. Tesis. Norman: University of Oklahoma, 1999, pp. 11–12.

³⁸³ Kristian Molin. "Las funciones extramilitares de las fortificaciones cruzadas, 1187-circa 1380". *Revista Universitaria de Historia Militar*, 7.14 (2018), p. 211.

³⁸⁴ Susana Calvo Capilla. "Los inicios de la arquitectura religiosa en al-Andalus y su contexto islámico". *Studia Historica. Historia Medieval*, 38.1 (2020), p. 33. <https://doi.org/10.14201/shhme20203812957>

³⁸⁵ Guy Bar-Oz y Yotam Tepper. "Behind sealed doors: Unravelling abandonment dynamics at the Byzantine site of Shivta in the Negev Desert". *Antiquity*, 89 (2015), p. 6.

³⁸⁶ Jack Enlow. *Glosario de nombres bíblicos*. El Paso: Editorial Mundo Hispano, 2007.

³⁸⁷ Henri Michaud. "Hebrew Inscriptions and Stamps from Gibeon". *Vetus Testamentum*, 10.1 (1960), p. 102-106.

³⁸⁸ Amos Kloner y Boaz Zissu. "The subterranean complexes of Maresha: An urban center from the Hellenistic period in the Judean foothills, Israel". *Opera Ipogea. Journal of Speleology in Artificial Caves*, 2 (2013), p. 47.

Presentación de datos. La vivienda como fuente primaria.

		En cercana Jerusalén, complejo subterráneo de la ciudad vieja ³⁸⁹ .	
87	Megido, Jezreel. Israel	Llanura de Megido. Límite. Megido Forest. Mount Carmel National Park. ABANDONO Megido/Meggido/Megiddo Megido habitada en era calcolítica 4.000 a. C. y tiene 20 estratos diferentes de ciudades (destrucción). Los egipcios acabaron con Meggido. El surgimiento de los pueblos del mar en el 2 milenio a. C. ³⁹⁰ . 1777 a. C., el año en que la civilización se derrumbó, estudio del colapso de las ciudades durante el período del Bronce Tardío (1500-1200a.C) ³⁹¹ . Megido cae en decadencia entre el 609-594 a. C., tras la derrota del rey de Judá por los medos y babilónicos ³⁹² . En los años 650-600 a. C. la ciudad de Megido apenas desarrolla ocupación, se produce un abandono pacífico ³⁹³ y ³⁹⁴ . Convergencia de los sitios arqueológicos nombre con el discurso bíblico. Jezreel (lo que Dios plantó) y Megido (invadir, tropas) o Armagedon (la montaña de Megido) ³⁹⁵ .	Algunas viviendas se desarrollan en torno a un patio privado interior. Las viviendas conforman un conjunto compacto formando la población con numerosos edificios públicos.
88	Masada, Beersheba. Israel	Desierto de Judea. Límite. Mar muerto. ABANDONADA: asedio romano. Tras la muerte de Herodes el Grande y el final de los sicarios ante el ejército romano, la ciudad es abandonada en el 73 d. C. ³⁹⁶ Posteriormente fue utilizada ocasionalmente por los cruzados ³⁹⁷ . Tejido con el tinte Royal Purple, de 2000 años de antigüedad de Masada, de Herodes ³⁹⁸ .	Algunas viviendas se desarrollan en un único volumen compacto Algunas viviendas se desarrollan en torno a un patio privado interior. Algunas viviendas se desarrollan en varios volúmenes escalonados con un patio privado interior. Las viviendas conforman un conjunto fluido con un límite claro formando la población con numerosos edificios públicos.

³⁸⁹ [web] <https://www.lavanguardia.com/cultura/20200519/481284410692/complejo-subterraneo-jerusalen-hallazgo-muro-lamentaciones.html> [Fecha de acceso: 16/02/2022].

³⁹⁰ Gerard Maldonado García. "El surgimiento de los pueblos del mar y su relación con Egipto". *ACADEMIA. Acceleration the world's research*, p. 16.

³⁹¹ Eric H. Cline. *1177 a.C.: el año en que la civilización se derrumbó*. Barcelona: Crítica, 2015.

³⁹² Enrique Dussel. *El humanismo semita*. Buenos Aires: Eudeba, 1969, p. 13.

³⁹³ Hannah Lingenfelter. *Asherah and Figurines : How the Worship of a Goddess Affected the Activities of Women in Iron Age II Megiddo*. Tesis. La Crosse: University of Wisconsin, 2013, pp. 13–14, 20–21.

³⁹⁴ [web] <https://sites.google.com/site/megiddoexpedition/the-site/history-of-megiddo> [Fecha de acceso: 16/02/2022].

³⁹⁵ Aquiles Ernesto Martínez. "Observaciones metodológicas acerca de la arqueología bíblica y la interpretación bíblica". *Revista Pistis Praxis*. 12.2 (2020), pp. 264–265. <https://doi.org/10.7213/2175-1838.12.002.DS03>

³⁹⁶ Hannah M. Cotton. "The date of the fall of Masada: The evidence of the Masada papyri". *Zeitschrift für Papyrologie und Epigraphik*, 78 (1989), pp. 157-162. Obtenido en: <https://www.jstor.org/stable/20187128> [Fecha de acceso: 16/02/2022].

³⁹⁷ Gwyn Davies. "Under siege: the Roman field works at Masada". *Bulletin of the American Schools of Oriental Research*, 362 (2011), pp. 80–81.

³⁹⁸ Zvi C. Koren. "The unprecedented discovery of the Royal Purple dye on the two thousand year-old royal Masada textile". *American Institute for Conservation, The Textile Specialty Group Postprints*, 7 (1997), p. 30.

89	Jericó (Tell es-Sultan), Jericó. Territorios Palestinos.	Valle del río Jordán. Limite. Desierto de Judea.	ABANDONO: La ciudad se edifica hace más de 10.000 años. Abandono tras la caída de Jerusalén ante los romanos. Tell es-Sultan, Palacio de Hisham y ciudad palatina sobre villa romana.	Algunas viviendas se desarrollan en un único volumen compacto. Algunas viviendas se desarrollan en torno a un patio privado interior. Las viviendas conforman un conjunto con un límite claro formando la población con numerosos edificios públicos.
90	Tel Esur (Tell el-Asāwir), Haifa. Israel.	Llanura del norte de Sharon. Ruta hacia los valles de Jezrell y los valles de Dothan y Nah ³⁹⁹ .	ABANDONADA Ciudad del 5.000 a. C. con 6.000 habitantes. Abandonada a mediados del siglo VIII a. C. ⁴⁰⁰ . (Otra vez aparece mencionada la casa de cuatro habitaciones, típica de la Edad de Hierro en la zona).	Algunas viviendas se desarrollan en un único volumen compacto. Algunas viviendas se desarrollan en torno a un patio privado interior. Las viviendas conforman un conjunto con un límite claro formando la población con numerosos edificios públicos.

Tabla 17. Viviendas en valle / sierra y ruina. Israel.

Coordenadas:

	Población	Geolocalización	Coordenas DMS	Altitud
83	Cesarea, Haifa. Israel	https://www.google.com/maps/place/Castle/@32.4991075,34.8896707,908m/data=!3m1!1e3!4m13!1m7!3m6!1s0x151d0cf83a10b203:0x4ac5521593cfcdb12sCesarea,+Israel!3b1!8m2!3d32.519016!4d34.904544!3m4!1s0x0:0x64a4e86620729a70!8m2!3d32.500062!4d34.89099	32° 29' 48.219" N 34° 53' 25.178" E	9 m.
84	Shivta, Beersheba. Israel	https://www.google.com/maps/place/%D7%A9%D7%99%D7%91%D7%98%D7%94,+Israel%E2%80%AD/@30.8795739,34.6280545,1306m/data=!3m1!1e3!4m5!3m4!1s0x1502047a7a5499df:0xc3de8e8fb3dd2fee!8m2!3d30.881121!4d34.630836	30° 52' 57.736" N 34° 37' 51.502" E	336 m.
85	Gabaón (Nabi Samwil), Judea y Samaria, Territorios Palestinos.	https://www.google.com/maps/place/Nebi+Samuel+National+Park/@31.8332096,35.1778158,1087m/data=!3m1!1e3!4m13!1m7!3m6!1s0x1502d5d08d25b59b:0xf6d9bac51fea28ad!2sNabi+Samui!3b1!8m2!3d31.833024!4d35.180546!3m4!1s0x1502d5d08f142a79:0xc0cab647dd1835ea!8m2!3d31.8329484!4d35.181075	31° 49' 58.494" N 35° 10' 51.097" E	868 m.
86	Maresha (Beit Guvrin), Ashkelon. Israel	https://www.google.com/maps/place/Maresha/@31.5941846,34.8960122,1090m/data=!3m1!1e3!4m13!1m7!3m6!1s0x1502eb7278122777:0x4420346b9e322372!2sBeit+Guvrin,+Israel!3b1!8m2!3d31.61288!4d34.895568!3m4!1s0x0:0x66274edca708a72e!8m2!3d31.593061!4d34.898598	31° 35' 34.747" N 34° 53' 55.154" E	345 m.
87	Megido, Jezreel. Israel	https://www.google.com/maps/place/Canaanite+Fortifications+of+Megido/@32.5848084,35.1829652,907m/data=!3m1!1e3!4m13!1m7!3m6!1s0x151daafce57fc2f3:0x953accbb2cdc81ca!2sMeguido,+Israel!3b1!8m2!3d32.577899!4d35.179972!3m4!1s0x151dab3c2a009d37:0x64e9d442cda7e26!8m2!3d32.5841701!4d35.1841509	32° 35' 7.230" N 35° 11' 4.082" E	151 m.
88	Masada, Beersheba. Israel	https://www.google.com/maps/place/%D7%A9%D7%A6%D7%93%D7%94,+Israel%E2%80%AD/@31.31209,35.3591521,1546m/data=!3m1!1e3!4m5!3m4!1s0x150305b8cab1b3e1:0x3850c0aaa6a68544!8m2!3d31.31088!4d35.363052	31° 19' 2.128" N 35° 21' 15.066" E	37 m.
89	Jericó (Tell es-Sultan), Jericó. Territorios Palestinos.	https://www.google.com/maps/place/31%C2%B052'16.5%22N+35%C2%B026'38.2%22E/@31.871249,35.442849,457m/data=!3m2!1e3!4b1!4m14!1m7!3m6!1s0x151ccc61e6ff8567:0x811428a4685668bb!2z2KPYsdmK2K3Ypw!3b1!8m2!3d31.8611058!4d35.4617583!3m5!1s0x0:0x0!7e2!8m2!3d31.871249!4d35.4439457!5m1!1e4	31° 52' 16.596" N 35° 26' 38.589" E	-215 m.

³⁹⁹ Yiftah Shalev y Shay Bar. "An 8th Century B.C.E. Israelite Administrative Centre at Tell el-Asawir /Tel Esur". *Zeitschrift des Deutschen Palastina-Vereins*, 133.2 (2018), p. 123. Obtenido en: <http://www.jstor.org/stable/26602273> [Fecha de acceso: 04/02/2022]

⁴⁰⁰ *Ibid.*, p. 140.

90 Tel Esur (Tell el-Asāwir), Haifa. Israel.	https://www.google.com/maps/place/Tel+Assor/@32.4818629,35.0177746,1513m/data=!3m1!1e3!4m2!1m16!4m15!1m6!1m2!1s0x151d071dbb3dafb1:0xcc5f10abde31bfd1!2swadi+ara%D8%8C+Ar'ara,+Israel!2m2!1d35.077434!2d32.5051748!1m6!1m2!1s0x151d0f72f6c15e13:0xba3c64adfb9087fa!2sTel+Assor,+Israel!2m2!1d35.019264!2d32.481909!3e0!3m4!1s0x151d0f72f6c15e13:0xba3c64adfb9087fa!8m2!3d32.481909!4d35.019264!5m1!1e4	32° 28' 54.676" N 35° 1' 10.166" E	53 m.
--	---	---------------------------------------	-------

Tabla 18. Geolocalización de las viviendas en valle / sierra y ruina. Israel.

3.4.3.2.1 Las viviendas subterráneas en la placa Afro-árabe y los elementos naturales en el diseño.

Israel está en la zona oriental mediterránea y se caracteriza por tener un litoral menos escarpado (por estar situada sobre la placa Afro-árabe). De hecho, toda *la costa mediterránea está segmentada con tramos entallados y con estrechas interconexiones, excepto en la placa Afro-árabe dónde la costa es por lo general llana*⁴⁰¹.

Las montañas no existen en el territorio en el que se asientan las ciudades Cesarea y Shivta. En cuanto aparecen montañas, las viviendas de las poblaciones vuelven a construirse sobre estas, como podemos observar en Maresha (Beit Guvrin) y Gabaón.

En referencia a las viviendas subterráneas, la ciudad de Maresha (Beit Guvrin) empezó a crecer con la presencia de fenicios y griegos en el siglo IV a. C.⁴⁰². En la parte baja, la población podía vivir en una vivienda subterránea (Img. 22), en una aérea, o incluso en una “híbrida” (subterránea y aérea). Un ejemplo de esta vivienda híbrida es la casa que tiene los baños excavados en la roca junto a las cisternas (Img. 21)⁴⁰³.

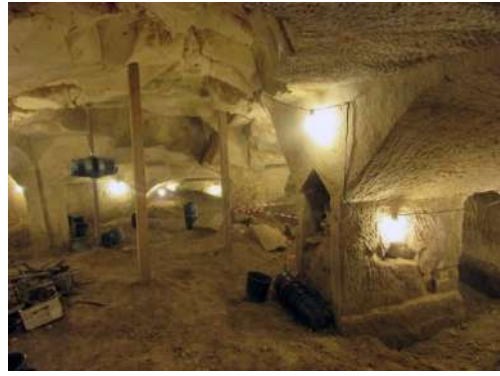
⁴⁰¹ Robert Hofrichter. Ibidem., p. 134.

⁴⁰² En esta ciudad subterránea, en el siglo III –II AC, existía un elevado bienestar proporcionado por las construcciones excavadas asociadas a la vivienda como: granjas de palomas, molinos de aceite y cisternas de agua. En: Amos Kloner y Boaz Zissu. “The subterranean complexes of Maresha: An urban center from the Hellenistic period in the Judean foothills, Israel”. *Opera Ipogea. Journal of Speleology in Artificial Caves*, 2 (2013), pp. 45-62.

⁴⁰³ Amos Kloner y Boaz Zissu. Op. Cit., p.56-57.



Img. 21. Maresha (Beit Guvrin), Israel⁴⁰⁴.



Img. 22. Maresha (Beit Guvrin), Israel⁴⁰⁵.

Las “híbridas”, como modelo habitacional, las encontramos a lo largo de todo el Mediterráneo construidas en diferentes tiempos históricos. Por ejemplo, localizamos ruinas de viviendas romanas en el Norte de África del siglo I d. C.⁴⁰⁶ y viviendas habitadas en la actualidad en Souazy- Champigny (Img. 23) o en Guadix (Img. 24).

También encontramos que las “híbridas” se construyen con variados lenguajes constructivos, en diferentes localizaciones y, lo más interesante, en contextos climáticos diversos.



Img. 23. Souazy-Champigny, Francia⁴⁰⁷.



Img. 24. Guadix, España⁴⁰⁸.

También vamos a mencionar ciertos aspectos de la ciudad en ruinas, Cesarea.

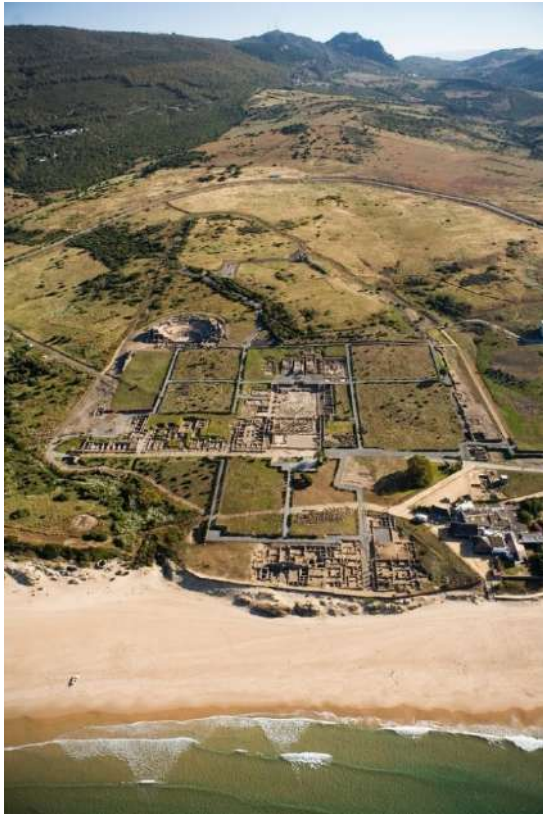
⁴⁰⁴ Israel in potos. *Vivienda (Villa)* [Web] <https://www.israel-in-photos.com/es/bet-guvrin-national-park.html> [Fecha de acceso: 16/02/2022].

⁴⁰⁵ Brooke Lefferts. (2016). *A trip to Israel gives Hanukkah new meaning for 1 family* [Web] <https://www.taiwannews.com.tw/en/news/3045870> [Fecha de acceso: 16/02/2022].

⁴⁰⁶ Rosalía M. Durán Cabello y F. Germán Rodríguez Martín. “Estancias subterráneas y aestiva loca en la arquitectura doméstica hispanorromana”. *Archivo Español de Arqueología*, 91 (2018), pp. 115-41. <https://doi.org/10.3989/aespa.091.018.006>

⁴⁰⁷ Taniélie. (2016). *Souazy-Champigny, un village angevin troglodyte, royal et viticole*. [Web] <http://unebellejourneeicioula.com/2016/03/sousay-champigny-un-village-angevin-troglodyte-royal-et-viticole.html> [Fecha de acceso: 16/02/2022].

⁴⁰⁸ [Web] <https://skisierrevada.co.uk/attractions/guadix/> [Fecha de acceso: 16/02/2022].



Img. 25. Baelo Claudia. España⁴⁰⁹.



Img. 26. Tipaza, Argelia⁴¹⁰.



Img. 27. Cesarea, Israel⁴¹¹.

El rey Herodes I el Grande construye Caesarea⁴¹² (Asia) en el siglo I a. C. siguiendo los mismos parámetros que utilizan otras ciudades romanas, como es el caso de Baelo Claudia (Europa) y Tipaza (África). En estas, las viviendas para la población se construyen en torno a una cuadrícula de calles geométricas y fachadas (ver Imágenes 25, 26 y 27).

⁴⁰⁹ [Web] <https://www.skyscrapercity.com/threads/illustrations-renderings-of-lost-ancient-sites.2047416/page-8> [Fecha de acceso: 16/02/2022].

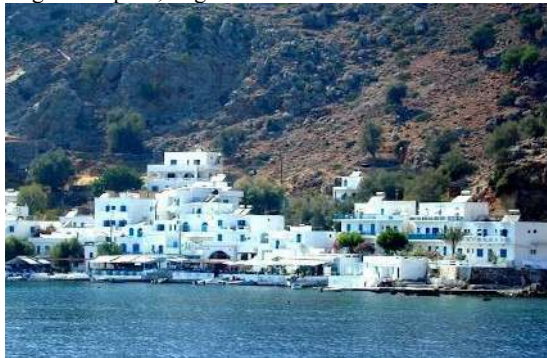
⁴¹⁰ RADIO ARGELINA [@radioalgerie_ar]. [Twitter] https://mobile.twitter.com/radioalgerie_ar/status/981440399406444547/photo/1 [Fecha de acceso: 16/02/2022].

⁴¹¹ Frank Engel. (2019). *Cesarea Marítima*. [Web] <https://goo.gl/maps/ws9DfdGrmDdkfsqq7> [Fecha de acceso: 16/02/2022].

⁴¹² Kathryn L. Gleason. "The Promontory Palace at Caesarea Maritima: Preliminary Evidence for Herod's Praetorium". *Journal of Roman Archaeology*, 11 (1998), pp. 23-52 <https://doi:10.1017/S1047759400017189>



Img. 28. Tipaza, Argelia⁴¹³.



Img. 29. Tipaza, Argelia⁴¹⁴.



Img. 30. Tipaza, Argelia⁴¹⁵.

Nos gustaría resaltar que Baelo Claudia y Cesárea se construyen en una superficie llana, sin embargo, en Tipaza nos volvemos a encontrar con las montañas que llegan hasta el mar y con las viviendas que se construyen en estas, como podemos observar en las ruinas de la Tipaza romana (Img. 30) y en las viviendas de la Tipaza actual (Img. 29).

Además, en estas tres ciudades (Cesarea, Baelo Claudia y Tipaza) aparecen viviendas singulares que son utilizadas por familias con recursos económicos elevados. Estas suelen desarrollarse, según las ruinas, con un volumen único que es perforado por uno o varios patios privados.

⁴¹³ Google. (2020). [Google] <http://www.google.com/maps?hl=en&ll=36.595989,2.455874&z=13> [Fecha de acceso: 04/02/2022].

⁴¹⁴ Tugba Tekeli. *Corne d'Or Tipaza*. [Pinterest]. <https://www.pinterest.es/pin/177751516512944650/> [Fecha de acceso: 04/02/2022].

⁴¹⁵ M. C. A. Yelles. (2003). *Ruines romaines de Tipaza* [Web] https://commons.wikimedia.org/wiki/File:Ruines_romaines_de_Tipaza.jpg [Fecha de acceso: 04/02/2022].

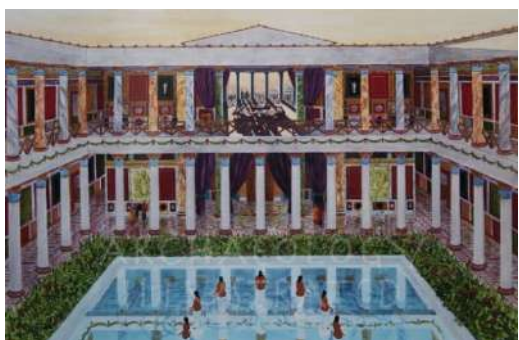
En ellas también encontramos restos de acabados (pinturas murales, columnas talladas o jardines) que sugieren que diferentes profesionales (con destreza artística y técnica) intervinieron en el proceso constructivo (para conseguir un diseño relevante).



Img. 31. Palacio de Herodes en Cesarea, Israel⁴¹⁶.



Img. 32. Masada, Israel⁴¹⁷.



Img. 33. Recreación del Palacio de Herodes en Cesarea.⁴¹⁸



Img. 34. Recreación del Palacio de Herodes en Masada⁴¹⁹.

Ejemplo de todo ello es el palacio de Herodes en Cesarea (Img. 31 y 33)⁴²⁰. En primer lugar, apreciamos que aparece una piscina en el interior de uno de los patios⁴²¹, un

⁴¹⁶ Abraham Graice. (2012). *CAESAREA' KING HEROD'S SEA PALACE AERIAL* [web] <https://tinyurl.com/y533a7cw> [Fecha de acceso: 04/02/2022].

⁴¹⁷ James L. Stanfield. *La impresionante ciudadela de Masada se encuentra en las laderas y en la cumbre de una enorme mesa en la orilla occidental del Mar Muerto*. [Web] <https://www.nationalgeographic.es/photography/2017/08/la-tumba-de-herodes?image=24934> [Fecha de acceso: 04/02/2022].

⁴¹⁸ Balage Balogh. *King Herod's Palace at Caesarea, 1st Century BC* [Web] <https://archaeologyillustrated.com/collections/king-herods-palace-at-caesarea-1st-century-bc/> [Fecha de acceso: 04/02/2022].

⁴¹⁹ Oscar Losa [O. L.]. *Maqueta del palacio de Herodes en Masada*. [Web] <https://www.eldiariocantabria.es/articulo/cultura/masada-escondrijo-herodes-reciclado-como-emblema-sionismo/20200613105735077471.html> [Fecha de acceso: 04/02/2022].

⁴²⁰ El palacio de Herodes está situado en la línea de costa, a la derecha del teatro. En la Imagen 27 está situado en la esquina superior derecha.

⁴²¹ Dafna Langgut y otros. "Pollen analysis as evidence for Herod's Royal Garden at the Promontory Palace, Caesarea". *Journal of Plant Sciences*, 62.1-2 (2015), pp. 111-121. <https://doi.org/10.1080/07929978.2014.975560>

elemento habitual en las lujosas villas marítimas romanas italianas y en los palacios Hasmonéans⁴²². En segundo lugar, comprobamos que se utiliza la naturaleza para destacar la magnificencia⁴²³ y el lujo de su palacio. De hecho, el palacio no se construye junto al mar, sino sobre el mar, porque es el elemento que sirve de inspiración para obtener el diseño relevante (Img. 31 y 33).

Construir para resistir las olas del mar Mediterráneo (elemento orográfico) implica tener un conocimiento técnico avanzado (y saber realizar elementos estructurales radicales). Esta circunstancia singular la encontramos en la mayoría de los palacios que construye Herodes.

Por ejemplo, el palacio de Masada (Img. 32 y 34) se expande en un acantilado en medio del desierto junto al mar Muerto; el palacio principal de Herodia (Img. 35 y 38) se construye sobre una cima artificial (que es elevada para conseguir las vistas hacia Jerusalén que impedía Belén); los palacios de Jericó (Img. 36 y 39) se inspiran en el recreo de los sentidos al “estilo romano” (y se materializa en los patios, jardines y pabellones, llegando a su máximo esplendor en el palacio III⁴²⁴)⁴²⁵.

⁴²² Kathryn L. Gleason, *ibis*, p. 36.

⁴²³ Reflexiones sobre la personalidad de Herodes, quien destaca por su pasión, su ambición y su diplomacia en la zona que abarca desde Egipto a Siria. En: Joan M. Vernet, “Herodes el Gran: Nova òptica històrica”. *Revista Catalana de Teologia*, 14 (1989), p. 99-110.

⁴²⁴ Dafna Langgut y otros. “Pollen analysis as evidence for Herod's Royal Garden at the Promontory Palace, Caesarea”. *Journal of Plant Sciences*, 62.1-2 (2015), pp. 111-121. <https://doi.org/10.1080/07929978.2014.975560>

⁴²⁵ Los palacios de Herodes podemos englobarlos en un tipo concreto de viviendas (villas con jardines), que está extendido por todo el Mediterráneo (existen numerosos ejemplos). Además, en estas villas encontramos dos conceptos enfrentados: el jardín y el huerto.



Img. 35. Palacios de Herodes en Herodian, Israel⁴²⁶.



Img. 36. Palacio III de Herodes en Jericó, Palestina⁴²⁷.



Img. 37. Palacio de Hisham en Jericó⁴²⁸.



Img. 38. Recreación de los palacios de Herodes de Herodia⁴²⁹.



Img. 39. Recreación del Palacio III de Herodes en Jericó⁴³⁰.



Img. 40. Reconstrucción del Palacio de Hisham de Jericó⁴³¹.

Por todo lo mencionado anteriormente, parece que el uso del patio (o los jardines) es un elemento asociado al estatus y al bienestar del propietario de la vivienda mediterránea. Además, parece que el elemento que caracteriza al “patio” no es la existencia del patio en sí, sino la presencia de la naturaleza en la vivienda, ya sea como elemento de inspiración (como es el caso del acantilado o del mar) o como elemento presente (vegetación en el interior de los patios o su recreación con la decoración).

⁴²⁶ Zev Radovan. [BibleLandPictures]. *Aerial view of Herodium*. [Web] <https://www.worldhistory.biz/ancient-history/55123-aqueducts.html> [Fecha de acceso: 04/02/2022].

⁴²⁷ [Web] <http://israexplorationsociety.huji.ac.il/jericho.htm> [Fecha de acceso: 04/02/2022].

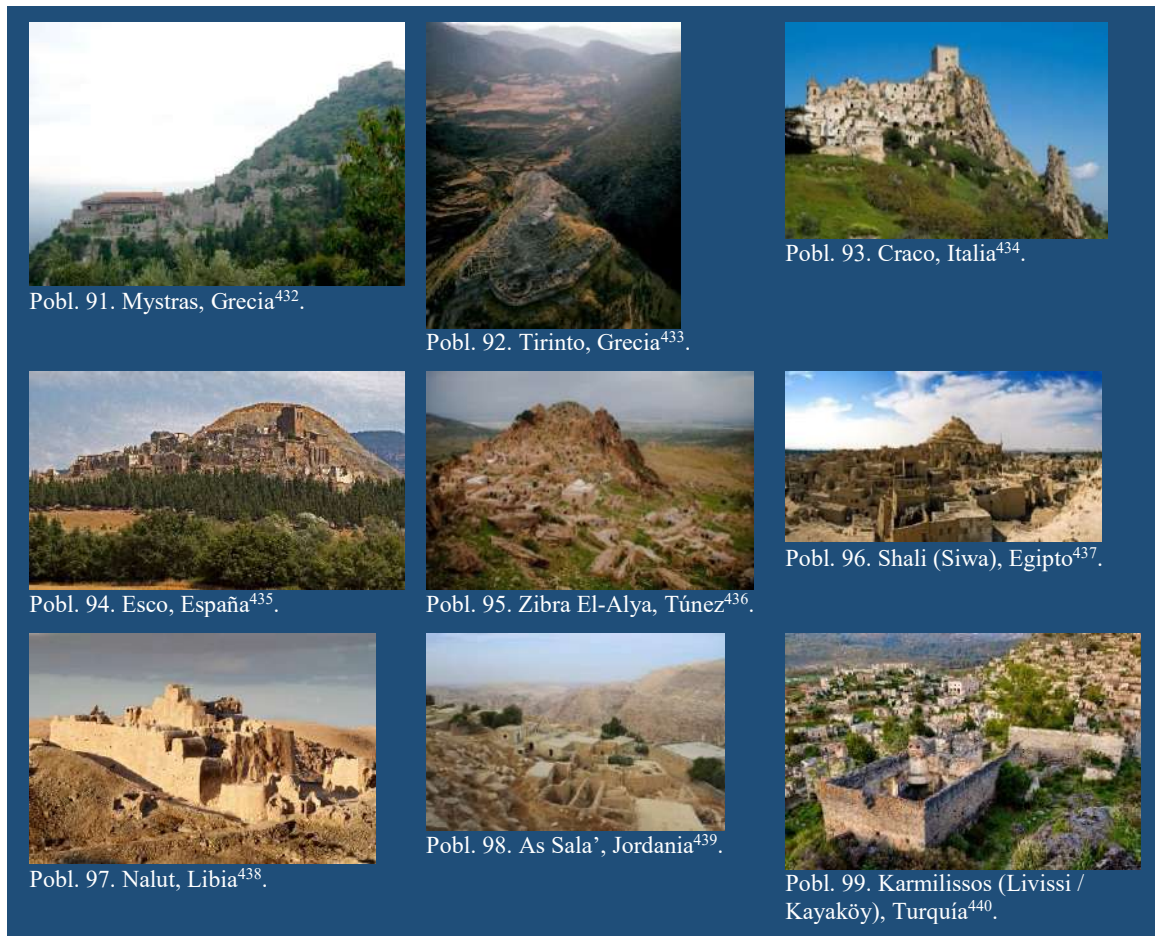
⁴²⁸ [Web] <https://www.skyscrapercity.com/threads/islamic-classical-architecture.899650/page-63#post-141407098> [Fecha de acceso: 04/02/2022].

⁴²⁹ Balage Balogh. *Herodium, Herod the Great's Palace, 1st Century A.D. / Illustration* [Web] <https://www.akg-images.co.uk/archive/-/2UMEBMIHHGGN.html#/SearchResult&ITEMID=2UMEBMIHHGGN&POPUPPN=1&POPUPIID=2UMEBMIHHGGN> [Fecha de acceso: 04/02/2022].

⁴³⁰ Jean-Claude Golvin. *Israel – Jericó – Palacio III* [Web] <https://jeanclaudegolvin.com/es/project/oriente-proximo/israel-jericho-palais1-jc-golvin-2/> [Fecha de acceso: 04/02/2022].

⁴³¹ *Hisham's Palace in Jericho* [Web] <https://israel-tourguide.info/tag/rockefeller-museum/> [Fecha de acceso: 04/02/2022].

3.4.3.3 Sierra y ruina. Mediterráneo.



⁴³² DavidM. (2005). *Mystras, Greece: middle city and high city (castle)*. [Web] <https://tinyurl.com/yyldfyk> [Fecha de acceso: 16/05/2022].

⁴³³ IRA BLOCK. (2004). *Aerial of Mucenae Ruins, Myceane Greece*. [Web] <http://stock.irablock.com/-/galleries/europe/greece/-/medias/ffdec592-e3d5-11e0-9b1e-15eaf601bdbe-aerial-of-mycenae-ruins-mycenae-greece> [Fecha de acceso: 16/05/2022].

⁴³⁴ Looophotos [Web] <https://www.lookphotos.com/de-de/bilder/70286790-Craco-Basilicata-Italy> [Fecha de acceso: 16/05/2022].

⁴³⁵ Tony Hisgett. (2009) *Abandoned Hill Settlement 2*. [Web] <https://www.flickr.com/photos/hisgett/3834680978/> [Fecha de acceso: 16/05/2022].

⁴³⁶ Mohammed Abine Abassi. (11 de noviembre, 2012). *Vista de la ciudad vieja*. [Web]. Obtenida en https://es.wikipedia.org/wiki/Zriba#/media/Archivo:Vue_Zriba_Olia.jpg [Fecha de acceso: 16/05/2022].

⁴³⁷ Bzzuspajk. *Siwa Oasis*. [Web] https://stock.adobe.com/es/search?k=siwa&asset_id=18267696 [Fecha de acceso: 16/05/2022].

⁴³⁸ Mayte Piera. (2009). *Nalut Libia 01*. [Web] <http://maytepieraimagenes.blogspot.com/2009/11/libia-desiertos-de-arena.html> [Fecha de acceso: 16/05/2022].

⁴³⁹ (2015). [Web] <https://notesfromcamelidcountry.net/2015/11/27/the-abandoned-villages-of-al-matan-and-as-sala/> [Fecha de acceso: 16/05/2022].

⁴⁴⁰ Profimedia.cz. (2011) *Ruiny města Kalekoy v Turecku* [Web] <https://www.novinky.cz/zahranicni/clanek/turecko-247135> [Fecha de acceso: 16/05/2022].

Presentación de datos. La vivienda como fuente primaria.

	Población	Entorno NATURAL	DESTRUCCIÓN/ABANDONO	Agrupación de viviendas: INDIVIDUAL/COLECTIVA
91	Mystras, Laconia. Grecia	Límite: Parque Ag. Ioannis - Agios Georios periochi Lada, Karvelioui, Artemisias Dimou Kalamatas	Terremotos destructivos durante los siglos VI y V a. C. siendo terrible el del 464 a. C. ⁴⁴¹ Fortaleza construida en 1.249 d. C y después construcción de ciudad en forma de anfiteatro. Abandonada en el año 1.832 ⁴⁴² .	La vivienda se desarrolla en un único volumen compacto rodeado de terreno. Las viviendas conforman un conjunto compacto formando la población. Hay viviendas aisladas en el entorno próximo.
92	Tirinto, Argolis. Grecia	Límite: Parque Katafigio Agrias Zois Maliza - Tourneza	Destrucción por fuego/terremoto en torno al 1.200 a. C. Abandonada en el 1.050 a. C. ⁴⁴³ .	La vivienda se desarrolla en un único volumen compacto, o en varios volúmenes con un patio privado interior. Las viviendas conforman un conjunto compacto formando la población.
93	Craco, Matera. Italia	Límite: Parque Nacional del Pollino, Parco Regionale di Gallipoli Cognato Piccole Dolomiti Lucane, Parco Regionale della Murgia Materana	Abandono definitivo en el año 1.975 d. C. por los deslizamientos de tierra ocasionados por terremotos ⁴⁴⁴ .	La vivienda se desarrolla en un único volumen compacto que crece en vertical rodeada de terreno. Las viviendas conforman un conjunto compacto formando la población. Hay algunas viviendas aisladas en el entorno próximo.
94	Esco, Zaragoza. España	Límite: Reserva Natural Foz de Arbayún, Parque Natural Valles Occidentales, Parque Natural de la Sierra y los Cañones de Guara	Abandono/emigración gradual en torno al 1.960 d. C, por la ruina comercial tras la construcción del patano de Yesca ⁴⁴⁵ .	La vivienda se desarrolla en un único volumen compacto que crece en vertical. Algunas viviendas tienen un patio privado anexo al volumen. Las viviendas conforman en el centro un conjunto compacto y en los bordes un límite fluido formando la población. Hay algunas viviendas aisladas en el entorno próximo.
95	Zibra El-Alya (Zibra Olya), Zaghuan, Túnez	Límite: Parque Nacional Djebel Zaghouan	Abandono/emigración gradual en los últimos 50 años, en torno a 1.960 por la ruina comercial ⁴⁴⁶ .	La vivienda se desarrolla en un único volumen compacto que crece en vertical. Algunas viviendas tienen un patio privado interior o anexo al volumen. Las viviendas conforman en el centro un conjunto compacto y en los bordes un límite fluido formando la población.
96	Shali (Siwa), Matruh. Egipto	Oasis de Siwa. Límite: Siwa nature reserve	Destrucción y abandono por las lluvias torrenciales del año 1.926 d. C. ⁴⁴⁷	La vivienda se desarrolla en un único volumen compacto. Algunas viviendas tienen un patio privado interior o anexo al volumen. Las viviendas conforman un conjunto compacto formando la población.
97	Nalut, Nalut. Libia	Parque Ghabat Tala	Bombardeos en 1.835 d. C. por los turcos. Bombardeos en 1.939 d. C. durante la Segunda Guerra Mundial.	La vivienda se desarrolla en un único volumen compacto.

⁴⁴¹ Dimitris Papanastassiou. "Seismic Hazard Assessment in the Area of Mystras-Sparta, South Peloponnesus, Greece, Based on Local Seismotectonic, Seismic, Geologic Information and on Different Models of Rupture Propagation". *Natural Hazards*, 18.3 (1998), pp. 237-251. <https://doi.org/10.1023/A:1026464415095>

⁴⁴² Gullög Nordquist. "What's in a Name? Mistra-The Town". En: Sinclair, P. y otros. *The urban mind: Cultural and environmental dynamics*. Uppsala: Uppsala University, 2010, pp. 407-414, p. 412.

⁴⁴³ Eberhard Zangger. "Landscape Changes around Tiryns during the Bronze Age". *American Journal of Archaeology*, 98.2 (1994), pp. 189-212. <https://doi.org/10.2307/506635>

⁴⁴⁴ May East. "Community-Led Approaches and Interventions for the Regeneration of Abandoned Towns in Southern Italy". *Ecocycles*, 2.1 (2016), p. 19. <https://doi.org/10.19040/ecocycles.v2i1.40>

⁴⁴⁵ Encarnación Visús Pardo. "Escó, un caserío abandonado, ¿un pueblo perdido?". *Rolde: Revista de cultura aragonesa*, 94-95 (2001).

⁴⁴⁶ Domenico Verdoscia. "L'hammam, il bar del porto, la nebbia. Storie migranti fra il nord-est tunisino e il nord-est italiano». *Lares*, 72.2 (2006), pp. 423-47.

⁴⁴⁷ Ali Abdel-Motelib y otros. "Composition and diagenesis of ancient Shali city buildings of evaporite stones (kerchief), Siwa Oasis, Egypt". *Quaternary international*, 369 (2015), p. 83.

		Abandono final en torno al año 1.960 ⁴⁴⁸ .	Algunas viviendas tienen un patio privado interior o anexo al volumen. Las viviendas conforman un conjunto compacto formando la población.
98	As Sala', Tafilah Qasabah. Jordania	Límite: Reserva de la biosfera de Dana, Reserva Natural Sart Wadi Hudeira	Estuvo ocupada de forma prolongada en el I milenio a. C. hasta el siglo I a. C. en época romana ⁴⁴⁹ .
			La vivienda se desarrolla en un único volumen compacto. Algunas viviendas tienen un patio privado anexo al volumen. Las viviendas conforman un conjunto fluido sin un límite claro formando la población.
99	Karmilissos (Livissi / Kayaköy), Muğla. Turquía	Reserva Natural Kayaköy Summit	Masacre de la población en los años 1.914-1.918 d. C. ⁴⁵⁰ por parte de los turcos (genocidio armenio). El terremoto de 1.957 d. C. destruye los edificios ⁴⁵¹ .
			La vivienda se desarrolla en un único volumen compacto rodeada de terreno. Las viviendas conforman un conjunto fluido sin un límite claro formando la población.

Tabla 19. Viviendas en sierra y ruina. Mediterráneo.

Coordenadas:

Población	Geolocalización	Coordenadas DMS	Altitud
91 Mystras, Laconia. Grecia	https://www.google.com/maps/place/Mistr%C3%A1+231+00,+Grecia/@37.0697056,22.3715077,16z/data=!3m1!4b1!4m5!3m4!1s0x1361cc1072536ff3:0x400bd2ce2b99120!8m2!3d37.0688335!4d22.3758082	37° 4' 25.761" N 22° 22' 0.922" E	483 m.
92 Tirinto, Argolis. Grecia	https://www.google.com/maps/place/Tirinto/@37.5995263,22.7974064,17z/data=!3m1!4b1!4m5!3m4!1s0x149ffa72186c1c3d:0x6ef9e6a06cb45e82!8m2!3d37.5995263!4d22.7995951	37° 35' 55.278" N 22° 48' 1.389" E	8 m.
93 Craco, Matera. Italia	https://www.google.com/maps/place/75010+Craco,+Matera,+Italia/@40.3795251,16.4335584,16z/data=!3m1!4b1!4m5!3m4!1s0x1338a22afd500aef:0x58b36f46294f886d!8m2!3d40.3779984!4d16.4401613	40° 22' 41.693" N 16° 26' 24.843" E	360 m.
94 Escó, Zaragoza. España	https://www.google.com/maps/place/50682+Esc%C3%B3,+Zaragoza/@42.6187046,-1.0626745,16z/data=!3m1!4b1!4m5!3m4!1s0xd5759fdf14ddc67:0xc680b2c019aee41f!8m2!3d42.6186606!4d-1.0583142	42° 37' 6.705" N 1° 3' 30.264" W	543 m.
95 Zibra El-Alya, Zaghuan, Túnez	https://www.google.com/maps/place/%D8%A7%D9%84%D8%B2%D8%B1%D9%8A%D8%A8%D8%A9+%D8%A7%D9%84%D8%B9%D8%A7%D9%84%D9%8A%D8%A7+Zriba+El-Alya%E2%80%AD/@36.3145073,10.2082729,906m/data=!3m1!1e3!4m12!1m6!3m5!1s0x46dbcfb7f8653bdd:0xfa2d83a7b636d405!2sZIBRA!8m2!3d53.9023676!4d27.5543655!3m4!1s0x12fd0da663865539:0x3f8e17710a0a6a33!8m2!3d36.3145073!4d10.2104616!5m1!1e4	36° 18' 51.324" N 10° 12' 34.726" E	300 m.
96 Shali (Siwa), Matruh. Egipto	https://www.google.com/maps/place/Shali+(old+Siwa)/@29.2012462,25.5159555,981m/data=!3m1!1e3!4m13!1m7!3m6!1s0x147aaface8f3a523:0x6f335df8f19a074d!2zU2l3YSwgTWF0csO6LCBFZ2lwdG8!3b1!8m2!3d29.2031708!4d25.5195451!3m4!1s0x147aafaca20ba0dd:0x569ffd83c6df9a95!8m2!3d29.2013963!4d25.5190794!5m1!1e4	29° 12' 2.686" N 25° 31' 1.746" E	-5 m.

⁴⁴⁸ Saleh Mohamed Saleh. "Performance Evaluation of Previous Restoration Work of Doors by Metal Plates, Straps and Fixings, at Nalut Palace, Libya". *Current Science. International*, 6 (2017), p. 436.

⁴⁴⁹ Rocío Da Riva. "El yacimiento de Sela en Jordania: campaña 2016". *Informes y Trabajos: Excavaciones en el exterior*, 17 (2019), pp. 269-278. Obtenido en: https://www.libreria.culturaydeporte.gob.es/ebook/918/free_download/ [Fecha de acceso: 04/02/2022].

⁴⁵⁰ L Eliou y otros. *Persecution and Extermination of the Communities of Levissi and Macri (1914-1918)*. París: Imprimerie Chaix, Rue Bergère, 1919.

⁴⁵¹ Cihan Bayraktar y otros. "Polyelerde Hatalı Arazi Kullanımların Sebep Olduğu Afetlere Bir Örnek: 31 Ocak 2019 Kayaköy Polyesi Taşkını". *Coğrafya Dergisi*, 41 (2020), p. 116. <https://doi.org/10.26650/JGEOG2020-0046>

97	Nalut, Nalut. Libia	https://www.google.com/maps/place/Nalut+Castle/@31.8676564,10.985693,401m/data=!3m1!1e3!4m13!1m7!3m6!1s0x13ad1ff829a4ee91:0xf88f577ebe05914b!2sNalut,+Libia!3b1!8m2!3d31.8742348!4d10.9750484!3m4!1s0x13ad1ff0adce87ad:0xa120bfd29da66b!8m2!3d31.8670524!4d10.9866515m1!1e4	31° 52' 2.515" N 10° 59' 11.727" E	613 m.
98	As Sala', Tafilah Qasabah. Jordania	https://www.google.com/maps/place/As+Sala',+Jordania/@30.7524282,35.5342161,12.5z/data=!4m5!3m4!1s0x1503ea67aa7a88fb:0xbc06a8f294cd25d6!8m2!3d30.7715579!4d35.5834826!5m1!1e4	30° 46' 17.729" N 35° 34' 59.738" E	1060 m.
99	Karmilissos (Livissi / Kayaköy), Muğla. Turquía	https://www.google.com/maps/place/Kayak%C3%B6y,+48300+Fethiye%2FPprovincia+de+Mu%C4%9Fla,+Turqu%C3%ADa/@30.7524282,35.5342161,12.5z/data=!4m5!3m4!1s0x14c04058b61cd9fd:0xa6d7ebd140b0ad49!8m2!3d36.57498314d29.091094!5m1!1e4	36° 34' 29.393" N 29° 5' 28.545" E	180 m.

Tabla 20. Geolocalización de viviendas en sierra y ruina. Mediterráneo.

3.4.3.3.1 Sistema constructivo aéreo: muros de carga.

Observamos que existen lenguajes constructivos similares en diferentes localizaciones. Ejemplo de ello son las viviendas de origen griego en Karmilissos (Kayaköy) con sus muros de piedra ⁴⁵² (Img. 42) y las viviendas asociadas al Camino de Santiago de Esco ⁴⁵³ (Img. 41). Ambas tienen muros de carga (de materiales pétreos).

Img. 41. Esco, España⁴⁵⁴.Img. 42. Karmilissos (Livissi / Kayaköy), Turquía⁴⁵⁵.

⁴⁵² Recep Bozyiğit y Tahsin Tapur. "Güneybati anadolu'da terkedilen bir yerleşim Merkezi: Kayaköy (Fethiye)". *Marmara Coğrafya Dergisi*, 22 (2010), p. 363-387.

⁴⁵³ María Pilar Poblador Muga. "El proyecto del recrecimiento del embalse de yesa y el camino de santiago a su paso por la provincia de Zaragoza. El último capítulo de un patrimonio cultural agonizante". *Artigrama: Revista del Departamento de Historia del Arte de la Universidad de Zaragoza*, 15 (2000), p. 533-542.

⁴⁵⁴ [Web] <https://zaragozafieles.es/2020/01/esco-pueblo-historia/> [Fecha de acceso: 16/02/2022].

⁴⁵⁵ [Web] https://www.tripadvisor.cl/Tourism-g635670-Kayakoy_Mugla_Province_Turkish_Aegean_Coast-Vacations.html [Fecha de acceso: 16/02/2022].

3.4.3.4 Valle y ruina. Mediterráneo.



⁴⁵⁶ (2014) [Web] <http://isbiliya.com/2014/11/11/limitan-el-proyecto-unesco-de-medina-azahara/> [Fecha de acceso: 16/05/2022].

⁴⁵⁷ [Web] <https://megaconstrucciones.net/?construccion=herculano> [Fecha de acceso: 16/05/2022].

⁴⁵⁸ [Web] <https://www.civitatis.com/es/mykonos/excursion-isla-delos/> [Fecha de acceso: 16/05/2022].

⁴⁵⁹ (2006) [Web] <https://egiptologia.com/la-ciudad-y-el-ciudadano-en-egipto/5/> [Fecha de acceso: 16/05/2022].

⁴⁶⁰ Jacint Cerdà. (2005) *Barrio de la Estrella (Mosqueruela)*. [Web] [https://www.biodiversidadvirtual.org/etno/Barrio-de-la-Estrella-\(Mosqueruela\)-img35699.html](https://www.biodiversidadvirtual.org/etno/Barrio-de-la-Estrella-(Mosqueruela)-img35699.html) [Fecha de acceso: 16/05/2022].

⁴⁶¹ (2014) [Web] <https://www.ancient-origins.net/news-history-archaeology/massive-5000-year-old-underground-city-uncovered-cappadocia-turkey-002507> [Fecha de acceso: 16/05/2022].

⁴⁶² (2011) [Web] https://es-academic.com/pictures/eswiki/77/Medina_ghat.jpg [Fecha de acceso: 16/05/2022].

⁴⁶³ Leroy Francis. (2014) *France, Haute Vienne, Oradour sur Glâne, le village martyr (vue aérienne)* [Web] <https://www.alamyimages.fr/photo-image-france-haute-vienne-oradour-sur-glâne-le-village-martyr-vue-aerienne-79381827.html> [Fecha de acceso: 16/05/2022].

⁴⁶⁴ El Rincón curioso. (2018). Min.0:02. *HOMBRE EXCAVA en su SÓTANO y ENCUENTRA la CIUDAD SUBTERRÁNEA más GRANDE del MUNDO (DERINKUYU)* [Youtube] <https://www.youtube.com/watch?v=nxwRnsiYue0> [Fecha de acceso: 16/05/2022].

Presentación de datos. La vivienda como fuente primaria.

	Población	Entorno NATURAL	DESTRUCCIÓN/ABANDONO	Agrupación de viviendas: INDIVIDUAL/COLECTIVA
100	Medina Azahara, Córdoba. España	Límite: Parque Natural Sierra de Hornachuelos, Parque Natural Sierra de Cardeña y Montoro, Parque Natural de las Sierras Subbéticas	Fue destruida por Sulayman al-Mustain en el año 1010 d. C. ⁴⁶⁵ . Quedaron un grupo de familias viviendo hasta que fue abandonada definitivamente en el siglo XV d. C. para su reutilización como fuente de materiales de construcción de la Orden Jerónima ⁴⁶⁶ .	La vivienda se desarrolla en un único volumen compacto o en varios volúmenes con un patio privado interior. Algunas viviendas tienen un patio privado anexo al volumen. Las viviendas conforman un conjunto con un límite definido formando la población con numerosos edificios públicos.
101	Herculano, Nápoles. Italia	Límite: Parque Nacional del Vesubio, Riserva Naturale Cratere degli Astroni	El volcán Vesuvio destruyó la ciudad en el año 79 d. C. ⁴⁶⁷ .	La vivienda se desarrolla en un único volumen compacto o en varios volúmenes con un patio privado interior. Algunas viviendas tienen un patio privado anexo al volumen. Las viviendas conforman un conjunto compacto formando la población.
102	Delos, Mykonos. Grecia	Cerca el Monte Cintos. Isla Árida.	Destrucción y abandono tras dos ataques: en el año 88 a. C. por el general Archelaus en la guerra Mitridática, y en el año 69 a. C. por el pirata Athenodoros ⁴⁶⁸ .	La vivienda se desarrolla en un único volumen compacto o en varios volúmenes con un patio privado interior. Algunas viviendas tienen un patio privado anexo al volumen. Las viviendas conforman un conjunto compacto formando la población.
103	Deir el-Medina (Kahun), Luxor. Egipto	Límite: Valle del Nilo	Abandonado alrededor del 1.080 a. C. ⁴⁶⁹ . Fue abandonado en algún momento durante el reinado de Ramsés XI en 1.099-1.069 a. C.) ⁴⁷⁰	La vivienda se desarrolla en un único volumen compacto que crece en vertical con un patio privado interior o anexo al volumen. Las viviendas conforman un conjunto compacto con un límite definido formando la población con numerosos edificios públicos.

⁴⁶⁵ E. Martín-Consuegra y otros. "Palynology of the Historical Period at the Madinat Al-Zahra Archaeological Site, Spain". *Journal of Archaeological Science*, 23.2 (1996), p. 250. <https://doi.org/10.1006/jasc.1996.0022>

⁴⁶⁶ Ricardo Velázquez Bosco. *Excavaciones en Medina Azahara: Memoria sobre lo descubierto en dichas excavaciones*. Madrid: Junta Superior de Excavaciones y Antigüedades, 1923, p. 6, 9, 18.

⁴⁶⁷ Félix Murga. *Carlos III y el descubrimiento de Herculano, Pompeya y Estabia*. Vol. 56. Salamanca: Universidad de Salamanca, 1989, p. 9.

⁴⁶⁸ Susan I. Rotroff. "Sulla and the Pirates". *Pottery, Peoples and Places*, 16 (2014), p. 83.

⁴⁶⁹ Leonard H. Lesko. *Pharaoh's workers: the villagers of Deir el Medina*. Ithaca: Cornell University Press, 1994, pp. 7–8.

⁴⁷⁰ Jaana Toivari-Viitala. "Deir el-Medina (Development)". *UCLA Encyclopedia of Egyptology*, 1.1 (2011), p. 5. Obtenido en: <https://escholarship.org/uc/item/6kt9m29r> [Fecha de acceso: 04/02/2022].

104	Mosqueruela de la Estrella, Teruel. España	Parque Natural Peñagolosa	Inundación por torrentes en el año 1.883 que destruyó parte de las viviendas y provocó el abandono gradual ⁴⁷¹ .	La vivienda se desarrolla en un único volumen compacto que crece en vertical. Las viviendas conforman un conjunto compacto sin un límite claro formando la población.
105	Melengübü (Derinkuyu), Nevşehir. Turquía	Límite: Sultansazlığı National Park, Monte Hasan (volcán), Monte Erciyes (nieve).	Melengübü se abandona en el período bizantino. En el año 1.830 se empieza la construcción de un asentamiento nuevo, Derinkuyu, sobre la superficie de la ciudad de Melengübü ⁴⁷² .	La vivienda se desarrolla en un volumen compacto excavado en la piedra. Algunas viviendas crecen en horizontal o vertical, con nuevos volúmenes conectados. Las viviendas conforman un conjunto compacto formando ramificaciones con varias salidas.
106	Ghat, Ghat. Libia	Límite: Parque Nacional Tassili N'Ajjer	La antigua ciudad de Ghat, 'Agram', y la Fortaleza la destruyen los italianos cuando ocuparon la ciudad en el año 1.913 d. C.	La vivienda se desarrolla en un único volumen compacto. Algunas viviendas tienen un patio privado interior o anexo al volumen. Las viviendas conforman un conjunto compacto formando la población.
107	Oradour-sur-Glane, Alto Vienne. Francia	Límite: Parque La safranière de Villeneuve, Parque Natural Regional Périgord Lemosín	Exterminio de la población y destrucción con fuego el 10 de Junio de 1.944 por los alemanes ⁴⁷³ .	La vivienda se desarrolla en un único volumen compacto que crece en vertical. Algunas viviendas tienen un patio privado anexo al volumen. Las viviendas conforman en el centro un conjunto compacto y en los bordes un límite fluido formando la población.

Tabla 21. Viviendas en valle y ruina. Mediterráneo.

⁴⁷¹ Cofradía Virgen de la Estrella. *Historia del barrio de la Estrella*. [Web] <http://www.virgendelaestrelamosqueruela.com/historia/> [Fecha de acceso: 04/02/2022].

⁴⁷² Aziz Cumhur Kocalar. "Arkeolojik yeralti yerleşmeleri ve koruma sorunları: Nevşehir yeralti şehirleri (Derinkuyu, Kaymaklı)". *Journal of Awareness*, 3 (2018), pp. 34–35. Obtenido en: <https://dergipark.org.tr/pub/joa/issue/43505/531817> [Fecha de acceso: 16/02/2022].

⁴⁷³ Bertrand Tillier. "Le monument aux martyrs d'Oradour-sur-Glane par Fenosa". *Vingtième Siècle. Revue d'histoire*, 55.1 (1997), pp. 45–47. <https://doi.org/10.3406/xxs.1997.3662>

Coordenadas:

	Población	Geolocalización	Coordenadas DMS	Altitud
100	Medina Azahara, Córdoba. España	https://www.google.com/maps/place/Medina+Azahara+-+Conjunto+Arqueol%C3%B3gico+Madinat+al-Zahra/@37.886559,-4.8703637,17z/data=!3m1!4b1!4m5!3m4!1s0xd6cd871806f2df1:0xa6d8f2cac7862921!8m2!3d37.886559!4d-4.868175!5m1!1e4	37° 53' 9.643" N 4° 52' 2.024" W	187 m.
101	Herculano, Nápoles. Italia	https://www.google.com/maps/place/Parco+Archeologico+di+Ercolano/@40.8058723,14.3476413,16.75z/data=!4m1!1m9!3m8!1s0x0:0xd7b2baf954e196ab!2sHerculano!5m2!4m1!1i2!8m2!3d40.8059238!4d14.3494747!3m4!1s0x133ba6ef3175b7d7:0x6258aa527167827b!8m2!3d40.8046708!4d14.3475045	40° 48' 22.569" N 14° 20' 49.812" E	15 m.
102	Delos, Mykonos. Grecia	https://www.google.com/maps/place/Delos/@37.3973473,25.2666817,16.5z/data=!4m5!3m4!1s0x14a2963b21e6abdf:0xbdad142fbecdc00b!8m2!3d37.3962623!4d25.2689412	37° 23' 53.690" N 25° 16' 1.120" E	6 m.
103	Deir el-Medina (Kahun), Luxor. Egipto	https://www.google.com/maps/place/Deir+el-Medina/@25.7279571,32.5996511,17z/data=!4m5!3m4!1s0x1449163ee44b2721:0xa80aea36ffa0962!8m2!3d25.728044!4d32.601425	25° 43' 40.170" N 32° 36' 4.474" E	100 m.
104	Mosqueruela de la Estrella, Teruel. España	https://www.google.com/maps/place/44410+La+Estrella,+Teruel/@40.3653115,-0.296672,17z/data=!4m5!3m4!1s0xd5f958c72b2a955:0xc140183139072aae!8m2!3d40.3662209!4d-0.2946688!5m1!1e4	40° 21' 55.371" N 0° 17' 40.776" W	813 m.
105	Melengübü (Derinkuyu), Nevşehir. Turquía	https://www.google.com/maps/place/Derinkuyu+Underground+City/@38.3754191,34.6993679,13z/data=!4m1!1m7!3m6!1s0x152a1a7c88ccbe8d:0xb45b687d85add5c1!2zRGVyaW5rdXl1LCBBxJ9jYcWfYXlVrGVyaW5rdXl1L1Byb3ZpbmNpYSBkZSBOZXbFn2VoaXIsIFR1cnF1w61h!3b1!8m2!3d38.374548!4d34.733365!3m4!1s0x152a1a7cc106c477:0xaf49f7ad47888ff!8m2!3d38.3734422!4d34.7351126!5m1!1e4	38° 22' 23.717" N 34° 44' 4.407" E	1349 m.
106	Ghat, Ghat. Libia	https://www.google.com/maps/place/Ghat,+Libia/@24.9623784,10.144145,13z/data=!3m1!4b1!4m5!3m4!1s0x122d6c9e7e2136ef:0x7c6eaa078b5d9b8c!8m2!3d24.9640371!4d10.1759285!5m1!1e4	24° 57' 56.352" N 10° 10' 46.699" E	677 m.
107	Oradour-sur-Glane, Alto Vienne. Francia	https://www.google.com/maps/place/Oradour-sur-Glane+%E2%80%A2+Ville+martyre/@45.9298099,1.0304379,15.75z/data=!4m1!1m7!3m6!1s0x47feb8d8d7b7ed27:0x90b3f3e36e4b3259!2s87520+Matanza+de+Oradour-sur-Glane,+Francia!3b1!8m2!3d45.9310789!4d1.032746!3m4!1s0x47feb9238f157fb5:0xa724c5e02f1085f5!8m2!3d45.9290083!4d1.039621!5m1!1e4	45° 55' 42.571" N 1° 2' 26.300" E	252 m.

Tabla 22. Geolocalización de viviendas en valle y ruina. Mediterráneo.

3.5. COMBINACIÓN - 3: CIUDAD.

El objetivo de esta combinación es identificar como es con la vivienda en la ciudad mediterránea, desde la perspectiva de conjunto (Fig. 17).

Como existen numerosos núcleos urbanos, utilizamos las ciudades costeras porque están asentadas en el *litoral escarpado y segmentado con tramos entallados*⁴⁷⁴ característico de la región mediterránea. También seleccionamos un tamaño de población grande porque permite examinar una variedad representativa de lenguajes constructivos.

Los parámetros para acotar la selección son:

- Geomorfología: ribera del mar.
- Tamaño de población: urbana con más de 1 millón de habitantes en 2018⁴⁷⁵.

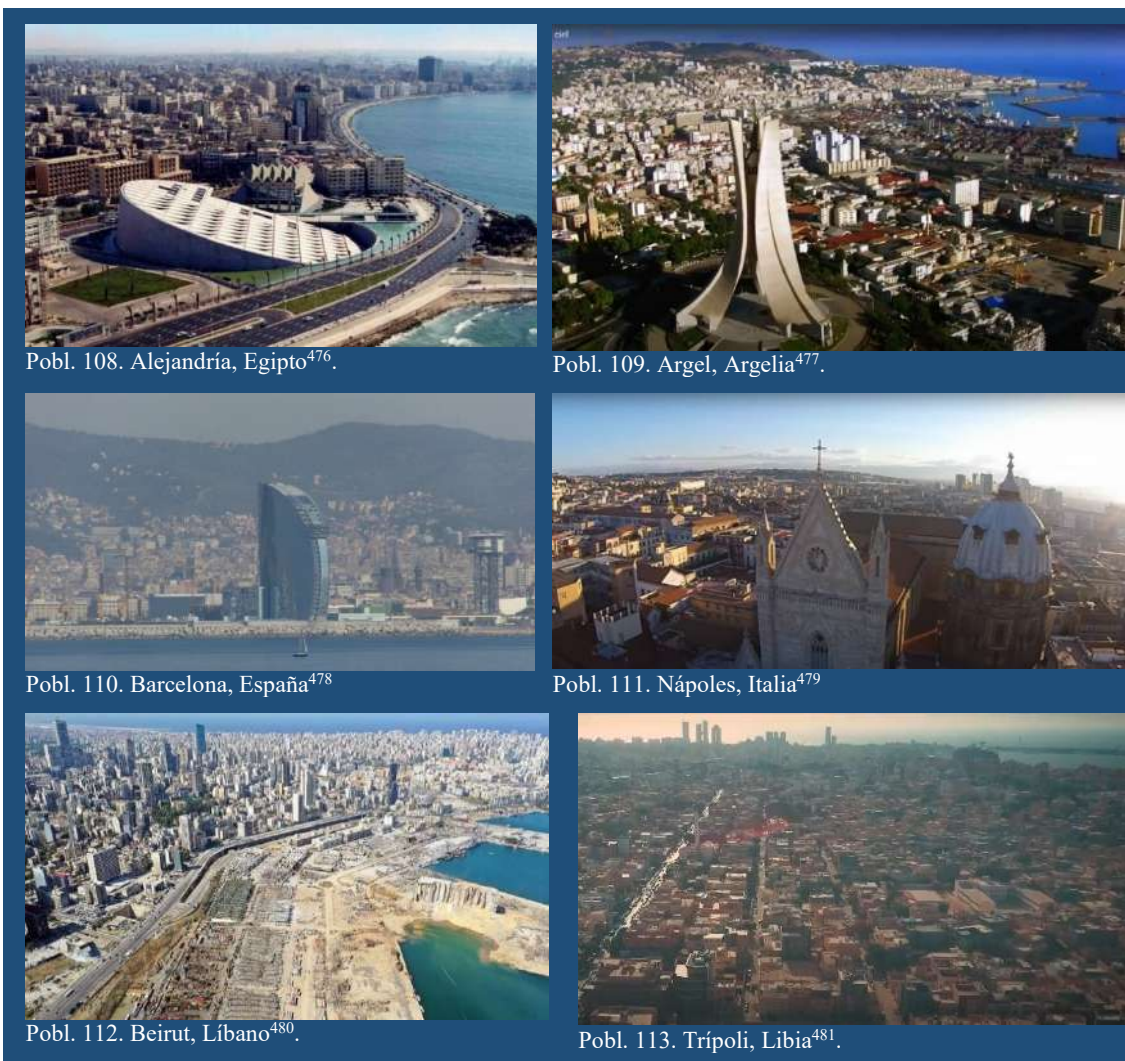


Fig. 16. Combinación 3: ciudad

⁴⁷⁴ Robert Hofrichter, *op. cit.*, p. 134.

⁴⁷⁵ City Mayors. 2018 [Web] <http://www.citymayors.com/statistics/largest-cities-population-125.html> [Fecha de acceso: 16/05/2022].

3.5.1. Ciudad y ribera de mar. Rascacielos - año 2018.



Pobl. 108. Alejandría, Egipto⁴⁷⁶.

Pobl. 109. Argel, Argelia⁴⁷⁷.

Pobl. 110. Barcelona, España⁴⁷⁸

Pobl. 111. Nápoles, Italia⁴⁷⁹

Pobl. 112. Beirut, Líbano⁴⁸⁰.

Pobl. 113. Trípoli, Libia⁴⁸¹.

⁴⁷⁶ Jacobo Gordon Lavenfeld. (2013). *Biblioteca de Alejandría, Egipto*. [Flickr] <https://www.flickr.com/photos/jacobogordon/8554827942/> [Fecha de acceso: 16/05/2022].

⁴⁷⁷ Oussama Sel. (2017). *alger vue du ciel*. Minuto 0:33 [Youtube] <https://www.youtube.com/watch?v=yDYtdjfZkg4> [Fecha de acceso: 16/05/2022].

⁴⁷⁸ Pablo Melgarejo. (2007). *Barcelona*. [Flickr] <https://www.flickr.com/photos/pablomelgarejo/6249347245/in/photolist-awexdi-fLxbmZ-ohPNjN-2iJ94TW-EiLwLw-njKTNr-rjpeng-21jDQJu-ave4ri-244emes-24zvRbJ-EsRN6z-zzXESM-VgzQub-oxfcyG-zgrwJ9-LedPF8-w5J95v-SPaUaA-8wBBET-byM6hf-8bF8ze-NZCo3S-7edBb1-22ZdjK-s5rGjf-nUNpb5-KUB6pL-AQRajz-w31DM7-pjiX8s-6Jxr29-8fXMaP-ypAVB2-7SFRNw-qKP2xF-fmK6BC-BqfUhc-7AG3qW-2ir2KzE-234HRTs-PevKmQ-EL8Yt4-oQjaDF-7agqBK-24qj8pL-4QcguE-4FbcTk-BkoWoY-RUE84s> [Fecha de acceso: 16/05/2022].

⁴⁷⁹ Nicola Capuozzo Free Wings. (2014). *La mia Napoli*. Min 3:49. [Flickr] <https://www.youtube.com/watch?v=8akhTVIwD9A> [Fecha de acceso: 16/05/2022].

⁴⁸⁰ Hussein Malla. (2020). *For Lebanese, government dysfunction has a new, tragic cost*. [Web] <https://www.csmonitor.com/World/Middle-East/2020/0806/For-Lebanese-government-dysfunction-has-a-new-tragic-cost> [Fecha de acceso: 16/05/2022].



Pobl. 114. Estambul, Turquía⁴⁸²

Pobl. 115. Izmir, Turquía⁴⁸³.

	Población	Entorno NATURAL	FUNDACIÓN/ORIGEN.	Rascacielos: año 2022
108	Alejandro, Alejandro, Egipto	Valle del río Nilo. Límite: Depresión de Qattara.	Fundada por Alejandro Magno en el año 331 a. C. ⁴⁸⁴ .	Hay dos rascacielos: El más alto es San Estefano Grand Plaza (135 m) ⁴⁸⁵ .
109	Argel, Argel, Argelia	Límite: Parque Nacional de Chrea, Parque Nacional de Djurdjura	Fundación por fenicios con el nombre de Iksim anterior al siglo II a. C. ⁴⁸⁶	Hay dos rascacielos. El más alto es la Torre de la Gran Mezquita de Argelia (264 m) ⁴⁸⁷ .
110	Barcelona, Barcelona, España	Límite: Parque Natural de la Sierra de Collserola, Delta del Llobregat, Reserva Natural Montañas de Ordal.	Existen restos de fenicios y layetanos (íberos) en siglos VI-I a. C. ⁴⁸⁸ . Fundación romana con el nombre Barcino (Barkeno en íbero) entre el 15 a. C y el 10 a. C. ⁴⁸⁹ .	Existen más de sesenta rascacielos. El más alto es el Hotel de las Artes (154 m) ⁴⁹⁰ .
111	Nápoles, Nápoles, Italia	Límite: Parque Nacional del Vesubio, Riserva Naturale Cratere degli Astroni	Fundación griega en torno al año 600 a. C. como <i>Neapolis</i> , que significa ciudad nueva, en referencia a la cercana <i>Palaepolis</i> ⁴⁹¹ .	Existen más de dieciséis rascacielos. El más alto es Telecom Italia (129 m) ⁴⁹² .

⁴⁸¹ Arab drone. (2017) Min. 0_32. *Mavic pro above tripoli libya*. [Youtube]. <https://www.youtube.com/watch?v=sUNg-7BuEX4> [Fecha de acceso: 16/05/2022].

⁴⁸² Arda Erlik. (14 de octubre, 2017) Minuto 2:35. *Turkey by drone*. [Youtube]. Obtenida en https://www.youtube.com/watch?v=13kmEG3mWBA&ab_channel=ArdaErlik [Fecha de acceso: 16/05/2022].

⁴⁸³ Serdar Şen. (2019) Min. 0:07. *İZMİR HAVADAN (Kuşbakışı) - Göztepe, Güzelyalı, Poligon, Basın Sitesi, Yeşilyurt, Hatay, Küçüköyüğü*. [Web] <https://www.youtube.com/watch?v=izdKo2eeKKg> [Fecha de acceso: 16/05/2022].

⁴⁸⁴ P Lorente García, Rocío; Briant, Pierre y Gutiérrez Iglesias, Cristina. *Alejandro Magno*. Biblioteca Nueva, 2012, p. 25.

⁴⁸⁵ [Web] <https://www.skyscrapercenter.com/city/alexandria> [Fecha de acceso: 16/05/2022].

⁴⁸⁶ N. Aroua. "Flood risk reduction strategy in algiers a brief modern history (XVIthC-XIXthC)". *Larhyss Journal*, 43 (2020), pp. 73-89, p. 78. Obtenido en: <http://larhyss.net/ojs/index.php/larhyss/article/viewFile/744/737> [Fecha de acceso: 04/02/2022].

⁴⁸⁷ [Web] <https://www.skyscrapercenter.com/city/algiers> [Fecha de acceso: 16/05/2022].

⁴⁸⁸ Josep L. Roig. *Historia de Barcelona. Desde su fundación al siglo XXI*. Barcelona: Ayuntamiento de Barcelona, 1995, pp. 2-3.

⁴⁸⁹ Francesc Xavier Hernández Cardona. *Barcelona, història d'una ciutat: aproximació didàctica*. Barcelona: Llibres de l'Index, 2001, pp. 30-33.

⁴⁹⁰ [Web] <https://www.skyscrapercenter.com/city/barcelona> [Fecha de acceso: 16/05/2022].

⁴⁹¹ D. Giampaola y B. D'Agostino "Osservazioni storiche e archeologiche sulla fondazione di Neapolis". *Noctes Campanae*, (2005), pp. 49-80, p. 47.

⁴⁹² [Web] <https://www.skyscrapercenter.com/city/naples> [Fecha de acceso: 16/05/2022].

Presentación de datos. La vivienda como fuente primaria.

112	Beirut, Beirut. Líbano	Límite: Reserva de la biosfera Masser Al-Chouf, Barouk, and Ain Zhalta-Bmohary (nieve), Mount Lebanon/ jabal lubnān/Jebel Liban.	Existía en el siglo XV a. C., según la mención que se realiza del rey Ammunira de Biruta en las cartas de Amarna ⁴⁹³ . En el año 140 a. C. fue destruida por Trifón y se reconstruyó como Laodicea en el período Heleno ⁴⁹⁴ .	Existen más de diez rascacielos. El más alto es el Sama Beirut (195 m) ⁴⁹⁵ .
113	Tripoli, Tripoli. Libia	Límite: Jabal Nafusah.	Fundación fenicia en el siglo VIII a. C. como Oea ⁴⁹⁶ .	Hay seis rascacielos. El más alto es Burj Bulaya Office Tower 1 (144 m) ⁴⁹⁷ .
114	Estambul, Estambul. Turquía	Límite: Parque Natural Polonezköy, Parque Fatih Ormani, Parque Orman Bakanlığı Ağaçlandırma Sahası	Fundación primera griega en el año 657 a. C. por Byzas. Reconstrucción en el año 196 d. C. como Augusta Antonina ⁴⁹⁸ .	Existen más de cien rascacielos. El más alto, aun en construcción, es Skyland Office Tower (284 m) ⁴⁹⁹ .
115	Izmir, Esmirna. Turquía	Límite: Reserva Natural Yamanlardag, Reserva Nacional Sureyya, Reserva Natural Nif Dağı Zirve - Yangın Gözetleme Kulesi	Prehistoria: Leleges 3000 a. C.	Existen más de treinta rascacielos. El más alto es Mahall Bomonti Izmir (240 m) ⁵⁰⁰ .

Tabla 23. Viviendas en ciudades de ribera de mar. Rascacielos - año 2022.

Coordenadas:

Población	Geolocalización	Coordenadas DMS	Altitud
108 Alejandría, Alejandría. Egipto	https://www.google.com/maps/place/Alejandr%C3%ADa,+Gobernaci%C3%B3n+de+Alejandr%C3%ADa,+Egipto/@31.2243285,29.814798,11z/data=!3m1!4b1!4m5!3m4!1s0x14f5c49126710fd3:0xb4e0cda629ee6bb9!8m2!3d31.2000924!4d29.9187387	31° 14' 42.292" N 29° 58' 0.765" E	12 m.
109 Argel, Argelia	https://www.google.com/maps/place/Argel,+Argelia/@36.7597907,3.066513,12z/data=!3m1!4b1!4m1!3m1!7!3m6!1s0x128e521f646e1edb:0x35c0e93b4118c15d!2sAljer,+Argelia!3b1!8m2!3d36.6997294!4d3.0576199!3m4!1s0x128fad6795639515:0x4ba4b4c9d0a7e602!8m2!3d36.7313177!4d3.0876732	36° 44' 8.400" N 3° 8' 17.789" E	152 m.
110 Barcelona, Barcelona. España	https://www.google.com/maps/place/Barcelona/@41.3948976,2.0787273,12z/data=!4m5!3m4!1s0x12a49816718e30e5:0x44b0fb3d4f47660a!8m2!3d41.3850639!4d2.1734035	41° 23' 12.564" N 2° 11' 48.428" E	27 m.
111 Nápoles, Nápoles. Italia	https://www.google.com/maps/place/N%C3%A1poles,+Italia/@40.8537158,14.1729663,12z/data=!3m1!4b1!4m5!3m4!1s0x133b084f6a6c7e99:0x3df52cc13b78191d!8m2!3d40.8517983!4d14.26812	40° 51' 29.520" N 14° 16' 47.499" E	41 m.

⁴⁹³ Carl Bezold. *The Tell el-Amarna tablets in the British Museum with autotype facsimiles*. London: The Trustees, 1892, p. 147.

⁴⁹⁴ E. W. Hurst. *The urban geography of Beirut*. Tesis. Durham: Durham University, 1966, p. 12.

⁴⁹⁵ [Web] <https://www.skyscrapercenter.com/city/beirut> [Fecha de acceso: 04/02/2022].

⁴⁹⁶ Theresa Howard Carter. "Western Phoenicians at Lepcis Magna". *American Journal of Archaeology*, 69.2 (1965), p. 123. <https://doi.org/10.2307/501728>

⁴⁹⁷ [Web] <https://www.skyscrapercenter.com/city/tripoli> [Fecha de acceso: 04/02/2022].

⁴⁹⁸ Ibrahim Aksu. "The Sultan's Journey and other Turkish Placename Stories". *Names*, 51,3-4 (2003), p. 174. <https://doi.org/10.1179/nam.2003.51.3-4.163>

⁴⁹⁹ [Web] <https://www.skyscrapercenter.com/city/istanbul> [Fecha de acceso: 04/02/2022].

⁵⁰⁰ [Web] <https://www.skyscrapercenter.com/city/izmir> [Fecha de acceso: 04/02/2022].

112	Beirut, Libano	Beirut.	https://www.google.com/maps/place/Beirut,+L%C3%ADbano/@33.8892846,35.4692626,13z/data=!3m1!4b1!4m5!3m4!1s0x151f17215880a78f:0x729182bae99836b4!8m2!3d33.8937913!4d35.5017767	33° 53' 14.249" N 35° 30' 36.359" E	14 m.
113	Trípoli, Libia	Trípoli.	https://www.google.com/maps/place/Tr%C3%ADpoli,+Libia/@32.8902663,13.1675513,7557m/data=!3m1!1e3!4m5!3m4!1s0x13a892c4c11c43d9:0x8d99d8947b5cec86!8m2!3d32.8872094!4d13.1913383!5m1!1e4	32° 53' 30.244" N 13° 10' 1.191" E	12 m.
114	Estambul, Estambul, Turquía	Estambul.	https://www.google.com/maps/place/Estambul,+Provincia+de+Estambul,+Turqu%C3%ADa/@41.0055005,28.7319848,10z/data=!3m1!4b1!4m13!1m7!3m6!1s0x14cab6515a60157b:0x22ac9af4915a1de8!2sProvincia+de+Estambul,+Turqu%C3%ADa!3b1!8m2!3d41.1634302!4d28.7664408!3m4!1s0x14caa7040068086b:0xe1ccfe98bc01b0d0!8m2!3d41.0078844!4d28.9778137	41° 6' 10.450" N 28° 59' 14.677" E	45 m.
115	Izmir, Turquía	Esmirna.	https://www.google.com/maps/place/Esmirna,+Provincia+de+Esmirna,+Turqu%C3%ADa/@38.4178607,26.9396301,11z/data=!3m1!4b1!4m13!1m7!3m6!1s0x14b99d2b00f561f9:0xcae9339e96fd7e3!2sProvincia+de+Esmirna,+Turqu%C3%ADa!3b1!8m2!3d38.3591693!4d27.2676116!3m4!1s0x14bbd862a762cacd:0x628cbba1a59ce8fe!8m2!3d38.4234701!4d27.1430969	38° 26' 2.885" N 27° 9' 46.911" E	7 m.

Tabla 24. Geolocalización de viviendas en ciudades de ribera de mar. Rascacielos - año 2018.

3.5.1.1 Desarrollo de la vivienda mediterránea en un volumen único.

Observamos en estas ciudades (Pobl. 108 – Pobl. 115) que en la actualidad tienen una zona de rascacielos que se distingue en la silueta urbana (aunque con alturas máximas diferentes).

Por ejemplo, si tomamos las dos ciudades con más rascacielos (Estambul en Turquía y Barcelona en España), encontramos que el edificio Central Bank of the Republic of Turkey de Estambul (352 metros)⁵⁰¹ mide más del doble que el Hotel de las Artes de Barcelona (154 m).

⁵⁰¹ Este edificio se encuentra en fase constructiva en la actualidad [Web] <https://www.skyscrapercenter.com/building/central-bank-of-the-republic-of-turkey/41146> [Fecha de acceso: 04/02/2022].

3.5.2. Ciudad y ribera de mar. Bulevar - año 1900.



Img. 44. Alejandría, Egipto. Año 1875⁵⁰².



Img. 45. Alejandría, Egipto. Año 1882⁵⁰³.



Img. 46. Argel, Argelia. Año 1900⁵⁰⁴.



Img. 47. Argel, Argelia. Año 1900⁵⁰⁵.

⁵⁰² Egyptian Streets. (1875). *Alexandrie. Vue générale et la Colgne Pompée*. [Web]. <https://egyptianstreets.com/2013/09/27/egypt-through-time-photographs-from-1800-2013/> [Fecha de acceso: 16/05/2022].

⁵⁰³ Levantine Heritage. (segunda mitad del siglo XIX, antes del bombardeo de 1882). *Alexandria square*. [Web]. Obtenida en <http://www.levantineheritage.com/alexandria.htm> [Fecha de acceso: 16/05/2022].

⁵⁰⁴ Fundación Histarmar. (1900). *Cuartel Morisco*. [Web]. Obtenida en <http://www.histarmar.com.ar/Armada%20Argentina/FragataSarmiento/Viaje01-1900/Argel/00500x10.jpg> [Fecha de acceso: 16/05/2022].

⁵⁰⁵ Fundación Histarmar. (1900). *Panorama de Argel No. 1*. [Web]. Obtenida en <http://www.histarmar.com.ar/Armada%20Argentina/FragataSarmiento/Viaje01-1900/Argel/00496x10.jpg> [Fecha de acceso: 16/05/2022].



Img. 48. Barcelona, España. Año 1900⁵⁰⁶.



Img. 49. Barcelona, España. Año 1860⁵⁰⁷



Img. 50. Nápoles, Italia. Año 1900⁵⁰⁸.



Img. 51. Nápoles, Italia. Año 1900⁵⁰⁹.

⁵⁰⁶ M'agrada Catalunya. (1900). *Vista de les Rambles des de Colon, al fons Santa Maria del Mar*. [Web]
<http://www.magradacatalunya.cat/2017/08/20/barcelona-rambles-any-1900/> [Fecha de acceso: 16/05/2022].

⁵⁰⁷ Charles Clifford. (1860). *Muralla del mar y fortaleza de Montjuich (Barcelona)*. [Web]
<https://www.museunacional.cat/es/colleccio/muralla-del-mar-y-fortaleza-de-montjuich-barcelona/charles-clifford/251534-000>
[Fecha de acceso: 16/05/2022].

⁵⁰⁸ Fundación Histamar. (1900). *Nápoles, Panorama y Vesubio*. [Web]
<http://www.histamar.com.ar/Armada%20Argentina/FragataSarmiento/Viaje01-1900/Napoles/0798-NapolesPanoramayVesubiox10.jpg> [Fecha de acceso: 16/05/2022].

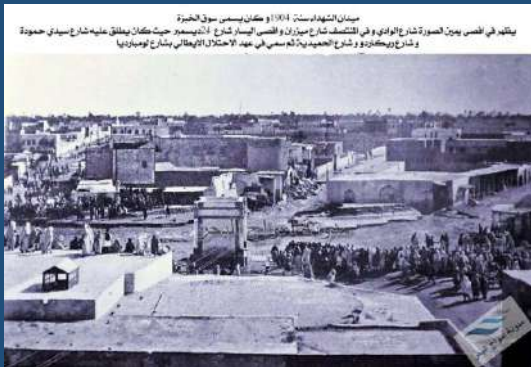
⁵⁰⁹ Fundación Histamar. (1900). *Via Roma, Nápoles*. [Web]
<http://www.histamar.com.ar/Armada%20Argentina/FragataSarmiento/Viaje01-1900/Napoles/0799-ViaRoma-Napolesx3.jpg>
[Fecha de acceso: 16/05/2022].



Img. 52. Beirut, Líbano. Año 1900⁵¹⁰.



Img. 53. Beirut, Líbano. Año 1900⁵¹¹.



Img. 54. Trípoli, Libia. Año 1904⁵¹².



Img. 55. Trípoli, Libia. Año 1911-1912⁵¹³.

⁵¹⁰ Beirut Heritage. (2020). *Beirut around 1900*. [Facebook] <https://zh-cn.facebook.com/BeirutHeritage/posts/beirut-around-1900the-old-buildings-that-were-replaced-by-nejmeh-square-and-the-2295515637418826/> [Fecha de acceso: 16/05/2022].

⁵¹¹ Lebanon in a Picture. (2020). *Bains de Mer – Quartier Modawar*. [Web] <https://www.lebanoninapicture.com/pictures/beirut-seafront-quartier-modawar-1900s> [Fecha de acceso: 16/05/2022].

⁵¹² Alghomari. (2014). *Plaza de los mártires en la época otomana*. [Web] http://alghomari.blogspot.com/2015/12/blog-post_27.html [Fecha de acceso: 16/05/2022].

⁵¹³ History of Libya (@Libyanhistory). (2011-2012). Tripoli. [Twitter] <https://twitter.com/Libyanhistory/status/822560960049270785> [Fecha de acceso: 16/05/2022].



Img. 56. Estambul, Turquía. Año 1900⁵¹⁴.



Img. 57. Estambul, Turquía. Año 1900⁵¹⁵.



Img. 58. Izmir, Turquía. Año 1890⁵¹⁶.



Img. 59. Izmir, Turquía. Año 1890⁵¹⁷.

⁵¹⁴ USA Library of Congress. 1900. *Constantinople showing Justinian's Acqueduct*. [Web] <https://www.loc.gov/pictures/resource/matpc.15140/> [Fecha de acceso: 16/05/2022].

⁵¹⁵ Levy et Fils Fotografi. (1900). *FINDIKLI AÇIKLARI VE CIHANGİR CAMII* [Web] <http://www.eskiistanbul.net/tag/1900s/> [Fecha de acceso: 16/05/2022].

⁵¹⁶ Antiguo archivo fotográfico de Turquía. (1890). *Izmir*. [Web] <http://www.eskiturkiye.net/4271/izmir-sebah-ve-joaillier-fotografi-1890> [Fecha de acceso: 16/05/2022].

⁵¹⁷ (1890). *Smyrne*. [Web] <http://www.levantineheritage.com/smyrna.htm> [Fecha de acceso: 16/05/2022].

Presentación de datos. La vivienda como fuente primaria.

		Entorno NATURAL	Bulevar: año 1900	Viviendas del frente marítimo. Año 1900.
108	Alejandro, Alejandro. Egipto	Valle del río Nilo. Límite: Depresión de Qattara.	Hay calles anchas con zonas peatonales y árboles, en el interior de la ciudad y en el frente marítimo.	En el frente marítimo cercano al centro hay grandes avenidas de viviendas en un único volumen con fachada y zonas peatonales. En el frente marítimo de los bordes de la ciudad hay viviendas más sencillas.
109	Argel, Argel. Argelia	Límite: Parque Nacional de Chrea, Parque Nacional de Djurdjura	Hay calles anchas con zonas peatonales y árboles en el frente marítimo.	En el frente marítimo cercano al centro hay viviendas en un único volumen con fachada y zonas peatonales. En el frente marítimo de los bordes de la ciudad hay viviendas más sencillas.
110	Barcelona, Barcelona. España	Límite: Parque Natural de la Sierra de Collserola, Delta del Llobregat, Reserva Natural Montañas de Ordal	Hay calles anchas con zonas peatonales y árboles, en el interior de la ciudad y en el frente marítimo.	En el frente marítimo cercano al centro hay viviendas en un único volumen con fachada y zonas peatonales.
111	Nápoles, Nápoles. Italia	Límite: Parque Nacional del Vesubio, Riserva Naturale Cratere degli Astroni	Hay calles anchas con zonas peatonales y árboles, en el interior de la ciudad y en el frente marítimo.	En el frente marítimo cercano al centro hay viviendas en un único volumen con fachada y zonas peatonales. En el frente marítimo de los bordes de la ciudad hay viviendas más sencillas.
112	Beirut, Beirut. Líbano	Límite: Reserva de la biosfera Masser Al-Chouf, Barouk, and Ain Zhalta-Bmohary (nieve), Mount Lebanon/ jabal lubnān/Jebel Liban.	Hay calles anchas en el interior de la ciudad y en el frente marítimo.	En el frente marítimo hay viviendas sencillas.
113	Tripoli, Tripoli. Libia	Límite: Jabal Nafusah.	Hay calles anchas en el interior de la ciudad y en el frente marítimo.	En el frente marítimo cercano al centro hay viviendas en un único volumen con fachada. En el frente marítimo de los bordes de la ciudad hay viviendas más sencillas.
114	Estambul, Estambul. Turquía	Límite: Parque natural Polonezköy, Parque Fatih Ormani, Parque Orman Bakanlıđı Ađaçlandırma Sahası	Hay calles anchas con zonas peatonales y árboles, en el interior de la ciudad y en el frente marítimo.	En el frente marítimo cercano al centro hay viviendas en un único volumen con fachada y zonas peatonales. En el frente marítimo de los bordes de la ciudad hay viviendas más sencillas.
115	Izmir, Esmirna. Turquía	Límite: Reserva Natural Yamanlardag, Reserva Nacional Sureyya, Reserva Natural Nif Dađı Zirve - Yangın Gözetleme Kulesi	Hay calles anchas con zonas peatonales y árboles, en el interior de la ciudad y en el frente marítimo.	En el frente marítimo cercano al centro hay viviendas sencillas y zonas peatonales. En el frente marítimo de los bordes de la ciudad hay viviendas más sencillas.

Tabla 25. Viviendas en ciudades de ribera de mar. Año 1900.

Coordenadas:

	Población	Geolocalización	Coordenadas DMS	Altitud
108	Alejandro, Alejandro. Egipto	https://www.google.com/maps/place/Alejandro%20Alejandro,+Gobernaci%C3%B3n+de+Alejandro,+Egipto/@31.2243285,29.814798,11z/data=!3m1!4b1!4m5!3m4!1s0x14f5c49126710fd3:0xb4e0cda629ee6bb9!8m2!3d31.2000924!4d29.9187387	31° 12' 23.437" N 29° 52' 52.952" E	12 m.
109	Argel, Argelia	https://www.google.com/maps/place/Argel,+Argelia/@36.7597907,3.066513,12z/data=!3m1!4b1!4m13!1m7!3m6!1s0x128e521f646e1edb:0x35c0e93b4118c15d!2sAlger,+Argelia!3b1!8m2!3d36.6997294!4d3.0576199!3m4!1s0x128fad6795639515:0x4ba4b4c9d0a7e602!8m2!3d36.7313177!4d3.0876732	36° 44' 13.271" N 3° 3' 3.357" E	152 m.
110	Barcelona, Barcelona. España	https://www.google.com/maps/place/Barcelona/@41.3948976,2.0787273,12z/data=!4m5!3m4!1s0x12a49816718e30e5:0x44b0fb3d4f47660a!8m2!3d41.3850639!4d2.1734035	41° 23' 2.140" N 2° 10' 42.625" E	27 m.
111	Nápoles, Nápoles. Italia	https://www.google.com/maps/place/N%C3%A1poles,+Italia/@40.8537158,14.1729663,12z/data=!3m1!4b1!4m5!3m4!1s0x133b084f6a6c7e99:0x3df52cc13b78191d!8m2!3d40.8517983!4d14.26812	40° 50' 45.546" N 14° 15' 11.159" E	41 m.
112	Beirut, Líbano	https://www.google.com/maps/place/Beirut,+L%C3%ADbano/@33.8892846,35.4692626,13z/data=!3m1!4b1!4m5!3m4!1s0x151f17215880a78f:0x729182bae99836b4!8m2!3d33.8937913!4d35.5017767	33° 53' 51.666" N 35° 30' 20.610" E	14 m.
113	Trípoli, Libia	https://www.google.com/maps/place/Tr%C3%ADpoli,+Libia/@32.8902663,13.1675513,7557m/data=!3m1!1e3!4m5!3m4!1s0x13a892c4c11c43d9:0x8d99d8947b5cec86!8m2!3d32.8872094!4d13.1913383!5m1!1e4	32° 53' 59.270" N 13° 10' 31.998" E	12 m.
114	Estambul, Estambul. Turquía	https://www.google.com/maps/place/Estambul,+Provincia+de+Estambul,+Turqu%C3%ADa/@41.0055005,28.7319848,10z/data=!3m1!4b1!4m13!1m7!3m6!1s0x14cab6515a60157b:0x22ac9af4915a1de8!2sProvincia+de+Estambul,+Turqu%C3%ADa!3b1!8m2!3d41.1634302!4d28.7664408!3m4!1s0x14caa7040068086b:0xe1ccfe98bc01b0d0!8m2!3d41.0078844!4d28.9778137	41° 0' 27.557" N 28° 58' 44.541" E	45 m.
115	Izmir, Esmirna. Turquía	https://www.google.com/maps/place/Esmirna,+Provincia+de+Esmirna,+Turqu%C3%ADa/@38.4178607,26.9396301,11z/data=!3m1!4b1!4m13!1m7!3m6!1s0x14b99d2b00f561f9:0x9ceae939e96fd7e3!2sProvincia+de+Esmirna,+Turqu%C3%ADa!3b1!8m2!3d38.3591693!4d27.2676116!3m4!1s0x14bbd862a762cacd:0x628cbb1a59ce8fe!8m2!3d38.4234701!4d27.1430969	38° 25' 8.200" N 27° 7' 44.070" E	7 m.

Tabla 26. Geolocalización de viviendas en ciudades de ribera de mar. Bulevar - año 1900.

3.5.2.1 Nuevos lenguajes constructivos: el bulvar y el rascacielos.

Notamos en estas ciudades (Img. 44 – Pobl. 59) que en el siglo XIX aparecen nuevas viviendas en los grandes bulevares (con un nuevo lenguaje constructivo asociado a la Revolución Industrial⁵¹⁸) que sustituyen a las viviendas más sencillas de la mayoría de los habitantes⁵¹⁹.

⁵¹⁸ María Belén Zayas Fernández. “Evolución de la tipología arquitectónica y caracterización paisajística de los grandes equipamientos urbanos”. *Baetica*, 34 (2012), pp. 103–108. <https://doi.org/10.24310/BAETICA.2012.v0i34.78>

⁵¹⁹ D. Djamel Latroch. *Aspectos sociales y marcos de sociabilidad de la Argelia del Siglo XIX*. Tesis. Es Senia: Universidad de Orán, 2014, pp. 66–75.

En Nápoles, se necesitaban viviendas porque había una fuerte presión demográfica. Con la planificación urbanística del año 1.883 empiezan las demoliciones de las zonas centrales ligadas al ensanche y a la modernización de la ciudad⁵²⁰.

En Barcelona, entre los años 1.876 y 1.900, la pobreza y la prostitución⁵²¹ provocan un cambio social (con reformas asociadas al bienestar) para evitar una revolución que enfrentaba a la numerosa población de bajo poder adquisitivo frente a la burguesía⁵²².

Tripoli en el año 1.900 tenía 25.000 habitantes (con 1.500 unidades familiares maltesas, italianas, griegas y españolas, y 2.000 judíos)⁵²³. Beirut, en el año 1.900 es el resultado de los esfuerzos que hizo el imperio otomano de establecer una estructura de poder en el 1.860, desde Beirut hasta Damasco⁵²⁴.

En cuanto a las nuevas viviendas de los bulevares, ya en 1871, empiezan a aparecer los primeros diseños de los Arquitectos americanos⁵²⁵, y vemos como empieza a influir la globalización en las nuevas edificaciones y en las nuevas ciudades.

En general, encontramos que en el siglo XIX a las ciudades les cuesta adaptar las *nuevas formas urbanas*, y buscan las soluciones a los problemas demográficos en la *tradición mediterránea*⁵²⁶. A modo de ejemplo, tenemos el modelo de la *casa pompeyana* que fue utilizado por los arquitectos europeos durante el XIX como *modelo* para replicar las viviendas aristocráticas⁵²⁷.

⁵²⁰ Federico Oliva. "Italia: Planificación urbanística en la segunda mitad del siglo XIX en Italia". *Ciudad y Territorio. Estudios Territoriales*, 119-120(1999), p. 424. Obtenido en: <https://recyt.fecyt.es/index.php/CyTET/article/view/85591> [Fecha de acceso: 16/02/2022].

⁵²¹ Rafael Alcaide González. "Inmigración y marginación: prostitución y mendicidad en la ciudad de Barcelona a finales del siglo XIX. Una comparación con la actualidad". *Scripta Nova: Revista electrónica de geografía y ciencias sociales*, 5.94 (2001).

⁵²² Horacio Capel y Mercedes Tatjer. "Reformas sociales, servicios asistenciales e higienismo en la Barcelona de fines del siglo XIX (1876-1900)". *Ciudad y Territorio Estudios Territoriales*, 89 (1991), pp. 81-94. Obtenido en: <https://recyt.fecyt.es/index.php/CyTET/article/view/83750> [Fecha de acceso: 16/02/2022].

⁵²³ Juana Martínez Mercader. *Migraciones y relaciones internacionales. La colonia española de Tripoli de Libia, paradigma de colectivo europeo en el África mediterránea en el siglo XIX (1784-1870)*. Murcia: Cátedra de Historia Contemporánea, 2006. p. 252.

⁵²⁴ Maria B. Abunnasr. *The making of Ras Beirut: A landscape of memory for narratives of exceptionalism, 1870-1975*. Tesis. Amherst: University of Massachusetts Amherst, 2013, pp. 13-18. <https://doi.org/10.7275/4yjk-qv59>

⁵²⁵ *Ibid.*, p. 56.

⁵²⁶ Pedro Miguel Jiménez-Vicarioy otros, art. cit., p. 42.

⁵²⁷ Fabio Mangone y Raffaella Russo Spena. "El mito de la casa pompeyana entre los siglos XIX y XX". En: *II Congreso Internacional cultura y ciudad*. Granada: Universidad de Granada, 2019, p. 1480.



Img. 60. Edificio del barrio de Azarita en Alejandría, Egipto. Año 2019⁵²⁸.



Img. 61. Edificio del barrio de Azarita en Alejandría, Egipto⁵²⁹.

Sin embargo, todos estos cambios que se producen en las ciudades en el siglo XIX, no son estáticos. Las ciudades siguen admitiendo nuevos lenguajes constructivos. Por ejemplo, en Alejandría (Img. 60 y 61) el nuevo barrio de Azarita edifica edificios en altura que elimina el barro anterior de palacetes del XIX que imitaba a la *casa pompeyana*.

⁵²⁸ E. M. (2019) [Web] <https://www.elmundo.es/f5/comparte/2017/06/03/5931807bca4741601b8b457d.html> [Fecha de acceso: 16/02/2022].

⁵²⁹ *Puerto de Alejandría y El-Dekheila* [Web] <https://m.megaconstrucciones.net/?construccion=puerto-alejandria-dekheila#&ui-state=dialog> [Fecha de acceso: 16/02/2022].

3.6. COMBINACIÓN 4: ESTILOS ARQUITECTÓNICOS.

Ahora, buscamos determinar el alcance de la pervivencia estructural (herencia artística) y con este fin utilizaremos los estilos arquitectónicos (Fig. 19).

La historia del arte a día de hoy, como disciplina humanística, está ordenada según unos criterios generales aceptados por la comunidad científica. Es por eso que en los manuales de historia del arte encontramos una selección de viviendas que, por sus cualidades estilísticas, son representativas de las diversas corrientes artísticas.

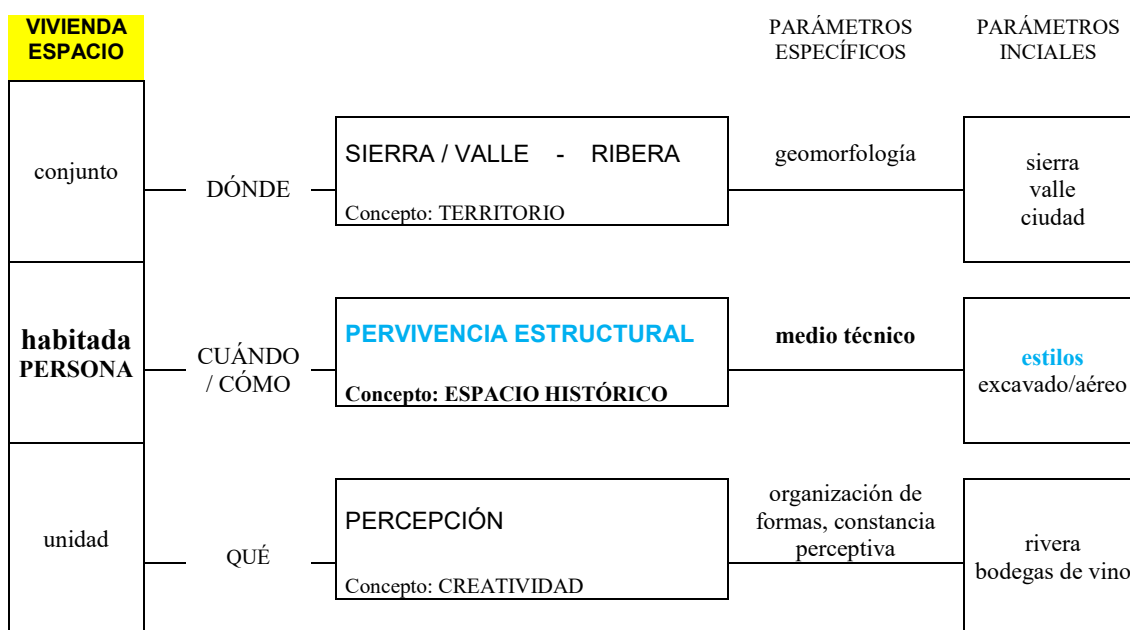


Fig. 17. Combinación 4: estilos arquitectónicos

Sin embargo, no creemos que sea acertada la utilización de los estilos artísticos en esta tesis puesto que la vivienda mediterránea no es clasificable en ellos.

Por este motivo, en primer lugar, seleccionamos una muestra representativa de viviendas que ya aparecen recopiladas en el manual de *Historia del arte* publicada por Juan Antonio Ramírez Domínguez⁵³⁰. También incluiremos algunas viviendas que creemos que completan esta muestra y no aparecen en este manual.

⁵³⁰ Ramírez, Juan Antonio y Gómez Cedillo, Adolfo. *Historia del arte*. Madrid: Alianza Editorial, 1996.

En segundo lugar, mostramos las viviendas por periodos culturales (ordenadas cronológicamente). Indicaremos el estilo o la cultura en la que están enmarcadas según los criterios actuales⁵³¹.

Los períodos culturales que vamos a utilizar son:

1. **Prehistoria:** empezaremos con las primeras viviendas que se construyeron formando asentamientos hasta que se inventó la escritura en el IV milenio a. C.
2. **Edad Antigua:** desde el comienzo de la aparición de la escritura hasta la caída del Imperio Romano en el siglo V d. C.
3. **Edad Media:** desde el siglo V d. C hasta que los españoles descubren América, al final del siglo XV d. C.
4. **Edad Moderna:** desde finales del siglo XVI d. C hasta el inicio la Revolución Francesa a finales del siglo XVIII.
5. **Edad Contemporánea:** desde el siglo XIX d. C hasta la actualidad.

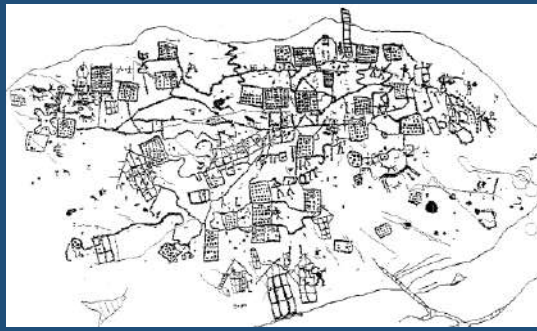
A continuación, exponemos una muestra representativa de este tipo de viviendas.

⁵³¹ Juan Antonio Ramírez y otro. Op. Cit.

3.6.1. La Prehistoria.



Pobl. 116. Valle Camonica, Italia. Mapa de Bedolina, 3.000-200 a.C.⁵³².



Img. 62. Representación de cabañas y palafitos en el Mapa de Bedolina en Valle Camonica, Italia⁵³³.



Pobl. 117. Asentamiento Chirokoitia (Khirokitia) en Chipre, 10.000 - 9.000 a.C.⁵³⁴.



Pobl. 118. Asentamiento Los Millares en España, 4.000 - 3.000 a.C.⁵³⁵.



Img. 63. Recreación de Chirokoitia (Khirokitia)⁵³⁶.



Img. 64. Recreación de Los Millares⁵³⁷.

⁵³² Guida artistica [@guida_artistica]. (2018). [Instagram] <https://www.instagram.com/p/Bld716gA5H2/> [Fecha de acceso: 16/05/2022].

⁵³³ Cristina Turconi. (1997). Imagen obtenida en: Cristina Turconi. "El mapa de Bedolina en el contexto del Arte Rupestre de Valcamonica." *Tracce n.9: 2º Congreso Internacional de Arqueología Rupestre 2-5 de octubre de 1997* DARFO BOARIO TERME. [Web] <http://www.rupestre.net/tracce/?p=2422> [Fecha de acceso: 16/05/2022].



Pobl. 119. Asentamiento Lepenski Vir en Serbia, 10.000 - 5.500 a.C.⁵³⁸.

Pobl. 120. Asentamiento Nissi Dispilió en Grecia, 6.000 - 1.200 a.C.⁵³⁹.

Pobl. 121. Asentamiento de Matera en Italia, 6.000 -800 a. C.⁵⁴⁰.

Img. 65. Recreación de vivienda tipo de Lepenski Vir⁵⁴¹.

Img. 66. Recreación de Dispilió⁵⁴².

Img. 67. Interior cueva. Matera⁵⁴³.

⁵³⁴ SAMAA Digital. (2016). [Web] <https://www.samaa.tv/uncategorized/2016/07/cyprus-unearts-11000-year-old-buildings/> [Fecha de acceso: 16/05/2022].

⁵³⁵ (2020). *LOS MILLARES: ruta parques arqueológicos de España*. [Web] <https://porsolea.com/los-millares-ruta-parques-arqueologicos-de-espana/> [Fecha de acceso: 16/05/2022].

⁵³⁶ LMSnaps [@jlm snaps]. (2017). [Instagram] <https://www.instagram.com/p/BZEFyczFhJ3/> [Fecha de acceso: 16/05/2022].

⁵³⁷ Miguel Salvatierra Cuenca. *Pintura situada en el centro de recepción de visitantes de los Millares*. [Web] <http://aprendiendopatrimonioculturalentijola.blogspot.com/2016/> [Fecha de acceso: 16/05/2022].

⁵³⁸ Dragoslav Srejióvić. (1972). [Web] <https://simonidauth.wordpress.com/2007/11/20/lepenki-vir-the-oldest-culture-of-the-late-stone-age-neolithic-in-the-danube-basin/> [Fecha de acceso: 16/05/2022].

⁵³⁹ (2010). *Πάσσαλοι που ήρθαν στο φως κατά τις ανασκαφές*. [Web] http://istorikakastorias.blogspot.com/2010/11/blog-post_23.html [Fecha de acceso: 16/05/2022].

⁵⁴⁰ [Web] <https://tripplanner.me/mysteries-of-matera-italys-stone-age-city-of-caves/> [Fecha de acceso: 16/05/2022].

⁵⁴¹ Dragoslav Srejióvić. (1972). [Web] <https://simonidauth.wordpress.com/2007/11/20/lepenki-vir-the-oldest-culture-of-the-late-stone-age-neolithic-in-the-danube-basin/> [Fecha de acceso: 16/05/2022].

⁵⁴² Ραγκουσις, Χρηστος [@christos_ragoussis]. (2020). [Instagram] <https://www.instagram.com/p/B68zE8LhTLL/> [Fecha de acceso: 16/05/2022].

⁵⁴³ MeleCoronato. (2014). [Web] <https://pixabay.com/es/photos/cuevas-de-matera-cueva-sur-de-italia-583171/> [Fecha de acceso: 16/05/2022].

Presentación de datos. La vivienda como fuente primaria.

	Población	Entorno NATURAL	Fecha de construcción	Lenguaje arquitectónico, cultura, estilo
116	Mapa de Bedolina en Valle Camonica, Brescia. Italia	Límite: Parco Naturale Adamello Brenta, Parco delle Orobie Bergamasche, Parque Nacional del Stelvio	Mapa de Bedolina, localizado en Valle Camonica en Italia (3.000 – 200 a. C.) ⁵⁴⁴ .	Mapa cartográfico que incluye la representación esquemática de viviendas y de campos de cultivo.
117	Chirokoitia (Khirokitia). Chipre.	Límite: Montes Troodos	Khirokitia ⁵⁴⁵ (10.000 - 9.000 a. C.) ⁵⁴⁶ .	Aldea cerrada junto a un río. Las viviendas se desarrollan con un sistema constructivo idéntico (muros de piedra circulares).
118	Los Millares, Almería, España	Límite: Desierto de Tabernas, Paraje Natural Sierra Alhambilla, Parque Nacional de Sierra Nevada.	Los Millares ⁵⁴⁷ en España (4.000 - 3.000 a. C.) ⁵⁴⁸ .	Población cerrada junto a una rambla. Las viviendas se desarrollan con un sistema constructivo idéntico (muros de piedra circulares).
119	Asentamiento Lepenski Vir, Bor. Serbia	Parque Nacional de Đerdap	Lepenski Vir ⁵⁴⁹ (10.000 - 5.500 a. C.) ⁵⁵⁰ .	Población junto a un lago. Las viviendas se desarrollan con un patrón geométrico idéntico (triángulo equilátero).
120	Nissi Dispilio, Kastoria. Grecia	Límite: Parque Vouno Kastorias, Parque Sisani - Namata Dimou Askioi.	Nissi Dispilio ⁵⁵¹ (6.000 - 1.200 a. C.) ⁵⁵² .	Aldea junto a un lago. Las viviendas se desarrollan con un sistema constructivo idéntico (estructura de madera sobre el agua).
121	Matera, Italia	Límite: Parco Regionale della Murgia Materana, Reserva Regional de San Giuliano.	Asentamiento Neolítico murado y excavado. 6.000 a. C. Viviendas excavadas Sassi de Matera, siglo VIII a. C. ⁵⁵³ .	Asentamiento en roca de toba. Las viviendas se desarrollan con un sistema constructivo idéntico (excavación de piedra).

Tabla 27. Viviendas singulares de la Prehistoria.

⁵⁴⁴ Andrea Arcà. "Incisioni topografiche e paesaggi agricoli nell'arte rupestre della Valcamonica e del Monte Bego". *Notizie archeologiche bergomensi*, 7 (1999), p. 207-234.

⁵⁴⁵ Juan Antonio Ramírez y otro. Op. Cit., p. 28.

⁵⁴⁶ Alain Le Brun. "El poblamiento neolítico en la Isla de Chipre: el establecimiento de Khirokitia". *Treballs d'Arqueologia*, 2 (1992), p. 51-67.

⁵⁴⁷ Juan Antonio Ramírez y otro. Op. Cit., p. 32.

⁵⁴⁸ MOYANO, Antonio Luis. "Los Millares: ¿La ciudad más antigua de Europa está en Almería?". *Clio: Revista de historia*, 215 (2019), p. 66-73.

⁵⁴⁹ Juan Antonio Ramírez y otro. Op. Cit., p. 28.

⁵⁵⁰ Dušan Borić. "Deep timemetaphor: mnemonic and apotropaic practices at Lepenski Vir". *Journal of social archaeology*, 3 (2003), p. 46-74.

⁵⁵¹ En el Mapa de Bedolina de Italia, se realizan representaciones esquemáticas de viviendas con forma de palafitos. Parece que era una tipología bastante habitual y representa un sistema constructivo conocido y fiable en la Prehistoria. Es necesario incluir este yacimiento arqueológico para poder completar una visión de variedad de los sistemas constructivos utilizados en la Prehistoria para la construcción de viviendas. En: Elizabeth Stathopoulou; Tatiana Theodoropoulou y Nellie Phoca-Cosmetatou. "Black Fish Bones in Waterlogged Deposits: The Case of the Neolithic Lake Settlement of Dispilio, Greece". *Archaeofauna: International Journal of archaeozoology*, 22, 2013, p. 51-74.

⁵⁵² Yorgos Facorellis; Marina Sofronidou y Giorgos Hourmouziadis. "Radiocarbon Dating of the Lakeside Settlement of Dispilio, Kastoria, Northern Greece". *Arizona Board of Regents on behalf of the University of Arizona*, 2014. <https://doi.org/10.2458/56.17456>

⁵⁵³ Lara Martínez Díaz. *Arquitectura troglodita; un modelo eficiente para habitar el territorio: Estudio tipológico y constructivo en la evolución de la casa-cueva en Gran Canaria*. Tesis Doctoral. Sevilla: Universidad de Sevilla, 2017, pp. 20-Tomo III.

Coordenadas:

	Población	Geolocalización	Coordenadas DMS	Altitud
116	Mapa de Bedolina en Valle Camonica, Brescia. Italia	https://www.google.es/maps/place/Seradina-Bedolina+Municipal+Archaeological+Park/@46.033579,10.3393547,774m/data=!3m1!1e3!4m5!3m4!1s0x4783ca1a021902e9:0xf7adf2348a67a37b!8m2!3d46.033579!4d10.3415487?hl=es	46° 2' 6.813" N 10° 20' 29.927" E	509 m.
117	Choirokoitia (Khirokitia). Chipre.	https://www.google.es/maps/place/Sitio+arqueol%C3%B3gico+n eo%C3%ADtico+de+Choirokoitia/@34.7964419,33.3419053,458m/data=!3m1!1e3!4m9!1m2!2m1!1s+Yacimiento+arqueol%C3%B3gico+limassol!3m5!1s0x14e0bb8b4617c927:0x8634c7bfff08dd95d!8m2!3d34.7964419!4d33.3439652!1sCiFZYWNpbWllbnRvIGFycXVlb2zDs2dpY28gbGltYXNzb2xaIylheWFjaWlpZW50byBhenF1ZW9sw7NnaWNvIGxpbWFzc29skgETaGlzdG9yaWNhbF9sYW5kbWFya5oBJENoZERTVWhOTUc5blMwVkpRM EZuU1VSTmEyRkhkbDlCUlJBQg?hl=es	34° 47' 47.693" N 33° 20' 37.973" E	188 m.
118	Los Millares, Almería, España	https://www.google.es/maps/place/Yacimiento+Arqueol%C3%B3gico+de+Los+Millares/@36.9740709,-2.5817855,14243m/data=!3m1!1e3!4m9!1m2!2m1!1sLos+millares!3m5!1s0xd700b0b4d82f58f:0x14a3895430895155!8m2!3d36.9624076!4d-2.52703!1sCgxMb3MgbWlsbGFyZXOSAQZtdXNldW0?hl=es	36° 57' 35.263" N 2° 31' 43.021" W	327 m.
119	Asentamiento Lepenski Vir, Bor. Serbia	https://www.google.es/maps/place/Lepenski+Vir/@44.5567089,22.0257506,236m/data=!3m1!1e3!4m5!3m4!1s0x4751711e67f48b73:0xb239db1206563e17!8m2!3d44.5563637!4d22.0265311?hl=es	44° 33' 24.859" N 22° 1' 34.921" E	92 m.
120	Nissi Dispilio, Kastoria. Grecia	https://www.google.es/maps/place/Prehistorical+Lakeside+Settlement+of+Dispilio/@40.4832611,21.2884576,847m/data=!3m1!1e3!4m8!1m2!2m1!1sNissi+Dispilio%C3%B3,+Grecia!3m4!1s0x1359e3364321ec79:0xfdf1f9aa31f9b0d10!8m2!3d40.4851!4d21.292087?hl=es	40° 29' 8.019" N 21° 17' 31.550" E	629 m.
121	Matera, Italia	https://www.google.es/maps/place/Sassi+di+Matera,+75100+Matera,+Italia/@40.6648078,16.6112677,1587m/data=!3m2!1e3!4b1!4m13!1m7!3m6!1s0x13477ec2482b152b:0x8f6a4ae10da9360!2s75100+Matera,+Italia!3b1!8m2!3d40.666379!4d16.6043199!3m4!1s0x13477edeb6678ca7:0x54f02ed8d170e54f!8m2!3d40.664864!4d16.6107112?hl=es	40° 39' 55.376" N 16° 36' 57.411" E	360 m.

Tabla 28. Geolocalización de las viviendas singulares de la Prehistoria.

3.6.1.1 La vivienda troglodita y la vivienda excavada: una asociación errónea.

Vamos a realizar una aclaración del término trogloditismo porque es utilizado para designar a las viviendas subterráneas o excavadas.

Nos vamos a servir de la Cueva de Piñar (Img. 68), una de las muchas que hay repartidas por toda la región mediterránea, para explicar el uso inadecuado del término troglodita para designar a la “casa excavada”.



Img. 68. Recreación cueva de Piñar, España⁵⁵⁴.



Img. 69. Cuevas de Almanzora, Almería⁵⁵⁵.

Al principio, los grupos cazadores-recolectores nómadas del Paleolítico utilizaron la cueva de Piñar para uso doméstico de forma periódica y como estancia ocasional para cobijarse.

Posteriormente, los pobladores del Neolítico la aprovecharon como lugar de habitación y de enterramiento, hasta llegar a la Edad del Cobre. A partir de esta fecha, solo se utilizó como lugar de enterramiento⁵⁵⁶.

Si nos fijamos en las viviendas de Cuevas de Almanzora (Img. 69) y en cómo se han habitado a lo largo del tiempo, encontramos cuevas naturales con uso residencial y “cuevas artificiales” habitadas que han sido excavadas por personas.

Con este ejemplo de Cuevas de Almanzora, parece razonable pensar que solo hay un “paso” de vivir en cuevas naturales a vivir en “cuevas artificiales” y, por tanto, la “cueva artificial” es la heredera de la “cueva natural” y del término “troglodita” (para las personas que habitan en este espacio). En ese “paso” es donde nosotros encontramos el error.

Antes de continuar, vamos a examinar la vivienda en el periodo de la historia donde se produce este “paso”.

⁵⁵⁴ Tito Ibañez. (2017). [Web] <http://ayuntamientopinar.com/cueva-de-las-ventanas/> [Fecha de acceso: 16/02/2022].

⁵⁵⁵ [Web] <http://www.turismo.cuevasdelalmazora.es/> [Fecha de acceso: 16/02/2022].

⁵⁵⁶ Carlos Sánchez Tarifa. “Las industrias líticas de la Cueva de las Ventanas de Piñar (Granada) desde el Paleolítico Superior a la Edad del Cobre”. *Arqueología y Territorio*, 1 (2004), pp. 1-13.

Con el desarrollo de la agricultura y la ganadería parece que encontramos las primeras viviendas construidas⁵⁵⁷ y varios lenguajes constructivos, que se utilizaron de forma repetitiva (dentro de un mismo asentamiento).

Por ejemplo, en las rutas de comunicación que existieron en el Bronce Tardío⁵⁵⁸, encontramos representadas cabañas y palafitos, como en el Mapa de Bedolina (en Valle Camonica tallado en el 3.000 - 200 a. C.)⁵⁵⁹.

Estas representaciones nos aportan datos constructivos (tipo de cubrición o separación física del suelo) y, también, nos permiten conocer que existía la posibilidad personal de elegir el tipo de vivienda (porque había variedad en los lenguajes constructivos).

Por ejemplo, encontramos viviendas independientes construidas con muros de piedra circulares (p. ej. las observamos en Chipre en Ayios Tychonas - Klimonas del 11.500 - 10.500 a. C.⁵⁶⁰ y en Khirokitia⁵⁶¹ del 10.000 - 9.000 a. C.⁵⁶²; y en España en Los Millares⁵⁶³ del 4.000 - 3.000 a. C.⁵⁶⁴).

También encontramos viviendas que se edifican con estructura de madera como unidades independientes junto al agua (p. ej. en Serbia las de Lepenski Vir⁵⁶⁵ del 10.000 - 5.500 a.

⁵⁵⁷ Juan Antonio Ramírez. *Historia del Arte, I. El mundo antiguo*. Madrid: Alianza Edit., 1996, p. 27-30.

⁵⁵⁸ Marisa Ruiz-Gálvez Priego. "El Occidente de la Península la Iberica, Punto de encuentro entre el Mediterráneo y el Atlántico a fines de la edad del Bronce". *Complutum*, 4 (1993), pp. 41-68.

⁵⁵⁹ Andrea Arcà. "Incisioni topografiche e paesaggi agricoli nell'arte rupestre della Valcamonica e del Monte Bego". *Notizie archeologiche bergomensi*, 7 (1999), p. 207-234.

⁵⁶⁰ Ayios Tychonas - Klimonas fue descubierto con posterioridad a Khirokitia, sin embargo, es necesario incluirlo, porque la disposición del elevado número de viviendas nos permite apreciar que ya se utilizaba la cima para realizar los asentamientos en el 11.500 AC. Es notorio, que la muralla y las viviendas están trazadas siguiendo el eje que marca la cresta de la montaña. En: Vigne, Jean-Denis y otros. "First wave of cultivators spread to Cyprus at least 10,600 ago", *Proceedings of the National Academy of Sciences*, 109-22 (2012), pp. 8445-8449.

⁵⁶¹ Juan Antonio Ramírez. Op. Cit., p. 28.

⁵⁶² Alain Le Brun. "El poblamiento neolítico en la Isla de Chipre: el establecimiento de Khirokitia". *Treballs d'Arqueologia*, 2 (1992), p. 51-67.

⁵⁶³ Juan Antonio Ramírez. Op. Cit., p. 32.

⁵⁶⁴ Antonio Luis Moyano. "Los Millares: ¿La ciudad más antigua de Europa está en Almería?". *Clio: Revista de historia*, 215 (2019), p. 66-73.

⁵⁶⁵ Juan Antonio Ramírez. Op. Cit., p. 28.

C.⁵⁶⁶) o sobre el agua (p. ej. en Grecia los palafitos del lago en Nissi Dispilio⁵⁶⁷ del 6.000 - 1.200 a. C.⁵⁶⁸).

Todas estas estructuras aéreas son antecedentes constructivos de las viviendas aéreas actuales y, sin embargo, no las denominamos trogloditas. ¿Qué diferencia hay entre un sistema construido aéreo o subterráneo (excavado)? La respuesta a esta pregunta no justifica la utilización del término troglodita. Así que analizaremos la utilización adecuada de los términos que hacen referencia a la “vivienda tradicional mediterránea”.

⁵⁶⁶ Dušan Borić. “Deep timemetaphor: mnemonic and apotropaic practices at Lepenski Vir”. *Journal of social archaeology*, 3 (2003), p. 46-74.

⁵⁶⁷ En el Mapa de Bedolina de Italia, se realizan representaciones esquemáticas de viviendas con forma de palafitos, por lo que se entiende que era una tipología bastante habitual y representa un sistema constructivo conocido y fiable en la Prehistoria. Es necesario incluir este yacimiento arqueológico para poder completar una visión de los sistemas constructivos utilizados en la Prehistoria para la construcción de viviendas. En: Elizabeth Stathopoulou y otras. “Black Fish Bones in Waterlogged Deposits: The Case of the Neolithic Lake Settlement of Dispilio, Greece”. *Archaeofauna: International Journal of archaeozoology*, 22, 2013, p. 51-74.

⁵⁶⁸ Yorgos Facorellis y otros. “Radiocarbon Dating of the Lakeside Settlement of Dispilio, Kastoria, Northern Greece”. *Arizona Board of Regents on behalf of the University of Arizona*, 2014. <https://doi.org/10.2458/56.17456>

3.6.2. La Edad Antigua.



Img. 70. Ebla, Siria. Palacio Septentrional, 2.000 – 1.600 AC.⁵⁶⁹.



Img. 71. Interior de la ciudad de Ebla, 3.000 - 1600 a.C.⁵⁷¹.



Pobl. 122. Ciudad de Ebla en Siria, 3.000 - 1600 a.C.⁵⁷⁰.

⁵⁶⁹ Ebla.it. [© Ebla – 2010]. *Il Palazzo Settentrionale*. [Web] http://www.ebla.it/escavi__i_palazzi.html [Fecha de acceso: 16/05/2022].

⁵⁷⁰ Referencia: Imagen de la Población 67.

⁵⁷¹ Guido Camici. (2009). *Ebla*. [Web] https://www.flickr.com/photos/guido_camici/4020161764/in/photostream/ [Fecha de acceso: 16/05/2022].



Pobl. 123. Ciudad de Byblos en Líbano, 3.2000 – 340 a.C.⁵⁷².



Img. 72. Recreación de la habitación n.5 de la Casa Oeste con el detalle de Pintura mural, Akrotiri⁵⁷³.



Pobl. 124. Restos de Akrotiri en Grecia, II milenio a. C. – 1620 a. C.⁵⁷⁴.



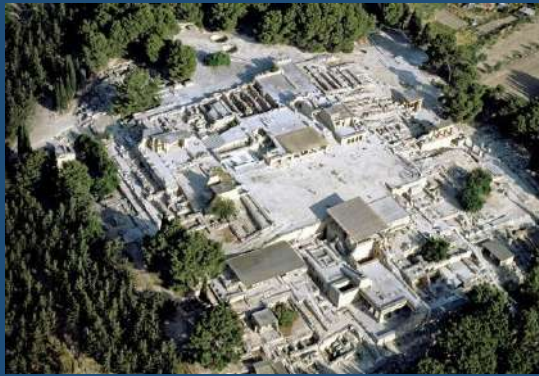
Img. 73. Akrotiri en Grecia. Pintura mural de la habitación n.5 de la Casa Oeste⁵⁷⁵.

⁵⁷² We are Lebanon. [@WeAreLebanon]. (2018). #Byblos beach village as seen from above By @mrnoujaim #WeAreLebanon [Twitter] <https://twitter.com/WeAreLebanon/status/1002970543681867776/photo/1> [Fecha de acceso: 16/05/2022].

⁵⁷³ Michael Klein (7reason). *Visualization of the Room No. 5 in the upper floor of the so called "West House"...* [Web] <https://www.7reasons.net/archiv/pressebilder-oesterreichische-forschungsinitiative-und-national-geographic-society-sichern-digital-das-bedrohte-kulturerbe-akrotiri-auf-santorin/> [Fecha de acceso: 16/05/2022].

⁵⁷⁴ Viajando entre piedras. (2021). [Facebook] <https://d.facebook.com/ViajandoEntrePiedras/photos/a.1509381702409102/6775852455761974/?type=3&source=57> [Fecha de acceso: 16/05/2022].

⁵⁷⁵ Smial. (2007) *Akrotiri Ship procession* [Web] https://commons.wikimedia.org/wiki/File:AKROTIRI_SHIP-PROCESSION-FULL_PANO-3.jpg [Fecha de acceso: 16/05/2022].



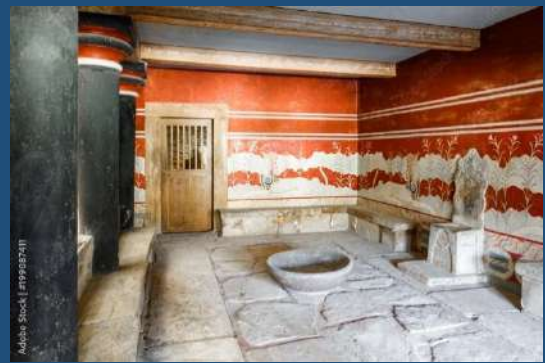
Pobl. 125. Cnosos, Grecia. Palacio minoico de Cnosos, 2.000 – 1.500 a.C.⁵⁷⁶.



Img. 74. Reconstrucción del Palacio de Cnosos⁵⁷⁷.



Img. 75. Interior del Palacio de Cnosos⁵⁷⁸.



Img. 76. Interior de la Sala del Trono en el Palacio de Cnosos⁵⁷⁹.

⁵⁷⁶ ARQUEOLUGARES. (2011). *KNOSOS prox. Heraklion. Isla de Creta. Grecia*. [Web]

<http://arqueolugares.blogspot.com/2011/01/cnosos-heraklion-creta-grecia.html> [Fecha de acceso: 16/05/2022].

⁵⁷⁷ Josep R. Casals. *Knossos palace 1.350 BC | ideal reconstruction of the most recent phase of the knossos palace. Arqueologia e Historia DespertaFerro nº 17 "Creta minoica"*. [Web] <https://www.behance.net/gallery/62670487/Knossos-palace-1350-BC> [Fecha de acceso: 16/05/2022].

⁵⁷⁸ Jaroslav Moravcik. *Wall painting at Knossos palace, crete - Greece* [Web] <https://stock.adobe.com/uk/images/wall-painting-at-knossos-palace-crete-greece/176382069> [Fecha de acceso: 16/05/2022].

⁵⁷⁹ bruno135_406. *The Throne Room in Knossos Palace, Heraklion, Crete, Greece* [Web] <https://stock.adobe.com/uk/images/the-throne-room-in-knossos-palace-heraklion-crete-greece/199087411> [Fecha de acceso: 16/05/2022].



Pobl. 126. Aten (Tell el-Amarna), Egipto. El Palacio Norte, aprox. 1369 a.C.⁵⁸⁰.



Img. 79. Aten (Tell el-Amarna) en Egipto. Casa de Panehsy, aprox. 1369 a.C.⁵⁸³.



Pobl. 127. Malqata, Egipto. Palacio Real. 1390-1352 a.C.⁵⁸⁴.



Img. 77. Reconstrucción del Palacio Norte de Aten⁵⁸¹.



Img. 78. Reconstrucción del Palacio Real de Malqata⁵⁸².



Pobl. 128. Deir el-Medina (Kahun) en Luxor. 1506-1493 a.C.⁵⁸⁵.

⁵⁸⁰ Barry Kemp [The Amarna Trust]. *The 'North Palace' at Amarna has been the subject of many years of excavation.* [Web] <https://brewminate.com/palaces-in-ancient-egypt-cities-for-kings-and-gods/> [Fecha de acceso: 16/05/2022].

⁵⁸¹ Kate Spence- Mallison architects. (2018). [Web] <https://brewminate.com/palaces-in-ancient-egypt-cities-for-kings-and-gods/> [Fecha de acceso: 16/05/2022].

⁵⁸² Paul François Franck Monnier. (2016-2019). Obtenido en: Franck Monnier. "Scientific reconstruction of the Palace of Amenhotep III at Malkata. Studies on the Palace of Amenhotep III at Malkata". *Albany: The Ancient Egyptian Heritage and Archaeology Fund*, (2019), p.5. Obtenido en: <https://tinyurl.com/219887cd> [Fecha de acceso: 16/05/2022].

⁵⁸³ ANCIENT WORLD TOURS. *The Long Nile Cruise With Professor Toby Wilkinson: What you will see.* [Web] <https://www.ancient.co.uk/holiday/the-long-nile-cruise/> [Fecha de acceso: 16/05/2022].

⁵⁸⁴ MARKH. (2011). [Web] https://en.wikipedia.org/wiki/File:Malkata_from_the_air.jpg [Fecha de acceso: 16/05/2022].

⁵⁸⁵ KAIROINFO4U [@kairoinfo4u]. (2016). *Deir el-Medina "The Place of Truth"* [Web] <https://www.flickr.com/photos/manna4u/31957278155> [Fecha de acceso: 16/05/2022].



Pobl. 129. Tel Halaf, Siria. Palacio en Tel Halaf, 900 - 808 a.C.⁵⁸⁶. P: Rey Kapara⁵⁸⁷.



Img. 80. Reconstrucción del Palacio en Tell Halaf⁵⁸⁸.



Img. 81. Palacio en Tell Halaf tras la excavación⁵⁸⁹.

⁵⁸⁶ Max Von Oppenheim. [©MAX FREIHERR VON OPPENHEIM-STIFTUNG, KÖLN]. (1911). *Sig. Oppenheim 29/16.2 S.4a. Fundzustand der großen Tempelpalastfassade 1911. Deutlich sind die Löwen und der Stier zu erkennen, die die Götterfiguren trugen.* [Web] <https://www.tagesspiegel.de/kultur/tell-halaf-funde-goetter-der-wueste/3776646.html> [Fecha de acceso: 16/05/2022].

⁵⁸⁷ Irene J. Winter. "North Syrian Ivories and Tell Halaf Reliefs: The Impact of Luxury Goods upon 'Major' Arts". *On Art in the Ancient Near East: Chicago*, 1 (1989), p. 321-337. <https://doi.org/10.1163/ej.9789004172371.i-640.47>

⁵⁸⁸ Max Von Oppenheim. [©MAX FREIHERR VON OPPENHEIM-STIFTUNG, KÖLN]. *Gran fachada del palacio del templo en el Museo Tell Halaf de Berlín. Así es la entrada al Museo Nacional de Alepo y así también está prevista para el Museo Vorderasiatisches de Berlín. En el extremo derecho del león, la "diosa de Alepo.* [Web] <https://www.tagesspiegel.de/kultur/tell-halaf-funde-goetter-der-wueste/3776646.html> [Fecha de acceso: 16/05/2022].

⁵⁸⁹ Rayyane Tabet. [The National]. *The excavated site at Tell Halaf. Courtesy Rayyane Tabet.* [Web] <https://www.thenational.ae/arts-culture/art/ancient-history-and-espionage-one-story-of-middle-eastern-history-being-sent-to-the-west-1.870976> [Fecha de acceso: 16/05/2022].



⁵⁹⁰ Sergio Geijo. Autor desconocido. *Italia – Lazio / CAERE* [Web] <https://viatorimperio.es/cerveteri/> [Fecha de acceso: 16/05/2022].

⁵⁹¹ Peter Kollarovič. [@pe7er.k]. (2020). *Etruscan Necropolis of Banditaccia, Cerveteri, Italy - UNESCO World Heritage Site (since 2004)* [Instagram] <https://www.instagram.com/p/B8PSAURi1ET/> [Fecha de acceso: 16/05/2022].

⁵⁹² [Web] <https://www.google.es/maps/place/42%C2%B025'25.1%22N+11%C2%B037'37.7%22E/@42.4194416,11.6294052,142m/data=!3m1!1e3!4m6!3m5!1s0x0:0x52a99cc8be6652be!4b1!8m2!3d42.4236466!4d11.62714!5m1!1e4?hl=es> [Fecha de acceso: 16/05/2022].

⁵⁹³ [Web] <https://www.huisitalie.com/visit/vulci/> [Fecha de acceso: 16/05/2022].

⁵⁹⁴ LLIRIA. *EDETA Poblado ibérico. S. VI a. C. – II a. C. Declarado BIC* [Web] <http://www.liria.es/es/content/1-edeta-0> [Fecha de acceso: 16/05/2022].

⁵⁹⁵ Turismo y cultura [flordeguisante]. *Lliria o Liria (Valencia)*. [Web] <https://turismoycultura.es/valencia/valencia-valencia/lliria/lliria-liria-valencia.html> [Fecha de acceso: 16/05/2022].



Pobl. 134 Delos en Grecia, año 88 a.C.⁵⁹⁶.



Img. 84. Casa de Hermes en Delos en Grecia, años 130 a 88 a. C. ⁵⁹⁷.



Pobl. 135. Pompeya en Italia, año 89 a. C.⁵⁹⁸.



Img. 85. Casa de los Vetti en Pompeya, Italia⁵⁹⁹.



Img. 86. Reconstrucción de Pompeya, Italia⁶⁰⁰.



Img. 87. Casa de los Vetti en Pompeya, año 79 d.C.⁶⁰¹.

⁵⁹⁶ CIVITATIS. *Delos Island Tour* [Web] <https://www.civitatis.com/en/mykonos/delos-island-tour/> [Fecha de acceso: 16/05/2022].

⁵⁹⁷ Gerhard Huber. (2010). *House of Hermes*. [Web] https://global-geography.org/af/Geography/Europe/Greece/Pictures/Delos/House_of_Hermes_1 [Fecha de acceso: 16/05/2022].

⁵⁹⁸ Guido Alberto Rossi. *Pompeya, la ciudad desenterrada*. [Web] https://historia.nationalgeographic.com.es/a/pompeya-ciudad-desenterrada_7468 [Fecha de acceso: 16/05/2022].

⁵⁹⁹ Eliana Monaco. (2010). [Facebook] <https://www.facebook.com/422282010071/photos/a.10153207345270072/471324045071/?type=3&theater> [Fecha de acceso: 16/05/2022].

⁶⁰⁰ ALTAIR4 MULTIMEDIA ARCHEO3D PRODUCTION. (2016). Minuto 2:53. *Pompeii*. [Web] <https://www.pompei.it/categoria/virtuale.htm> [Fecha de acceso: 16/05/2022].

⁶⁰¹ Google. Mapa data 2020. [Web] <https://virtualglobetrotting.com/map/pompeii-house-of-the-faun/view/bing/> [Fecha de acceso: 16/05/2022].



Pobl. 136. Roma en Italia. Palatium. Domus Augustana en Roma, años 95-72 a.C.⁶⁰². P: Vespasiano. T: Rabirio.



Img. 88. Palatium. Domus Augustana en Roma⁶⁰³.



Pobl. 137. Tívoli en Italia. Villa Adriana, siglo II d. C.⁶⁰⁴.



Pobl. 138. Split en Croacia. Palacio Diocleciano, siglos III-IV d. C.⁶⁰⁵.

⁶⁰² Google. Mapa data 2020. [Web]

<http://www.google.com/maps?p=33411&c=&t=k&hl=en&ll=41.888282,12.486777&z=17> [Fecha de acceso: 16/05/2022].

⁶⁰³ JENSENS. [Web] https://commons.wikimedia.org/wiki/File:Domus_Augustana_Rome.jpg [Fecha de acceso: 16/05/2022].

⁶⁰⁴ Google [Google] <http://www.google.com/maps?p=&c=&t=k&hl=en&ll=41.94125,12.776098&z=18> [Fecha de acceso: 16/05/2022].

⁶⁰⁵ 4K Urban Life. (2010). Minuto 4:30. *4K Split, Croatia - Cities of the World | Urban Life Documentary Film* [Youtube] <https://www.youtube.com/watch?v=R46QB2F4PfE> [Fecha de acceso: 16/05/2022].

Población	Entorno NATURAL	Fecha de construcción	Lenguaje arquitectónico, cultura, estilo
122 Ebla, Idlib. Siria.	Meseta de Aintab o meseta de Gaziantep.	Ciudad de Ebla ⁶⁰⁶ . 3.000 – 1.600 a. C.	Cultura siria
123 Byblos, Líbano. Jbeil.	Bosque de los cedros de Dios, Montañas del Líbano. Límite: Reserva de la biosfera Masser Al-Chouf, Barouk, and Ain Zhalta-Bmohary (nieve), Mount Lebanon/ jabal lubnān/Jebel Liban.	Ciudad de Byblos ⁶⁰⁷ , Líbano. 3.2000 – 340 a. C. ⁶⁰⁸ .	Cultura fenicia
124 Akrotiri, Grecia Thira.	Límite: Volcán Caldera de Santorini.	Akrotiri, Isla de Santorini, Grecia ⁶⁰⁹ . II milenio a. C. ⁶¹⁰ - 1620 a. C. ⁶¹¹	Ciudad compuesta por villas y casas de 2 a 4 plantas. Lenguaje constructivo: muros de adobe de tierra volcánica y armazones de madera. Decoración con piedras talladas, pinturas murales y cal.
125 Cnosos, Heraklion. Grecia.	Límite: Oros Giouchta.	Cnosos, Grecia. Palacio de Minoico Cnosos ⁶¹² , Grecia ⁶¹³ . Griego. 2.000 – 1.500 a. C.	Cultura de las cicladas (griega). Palacio minoico.
126 Aten (Tell el-Amarna), Al Minya. Egipto.	Límite: Valle del Nilo.	Aten (Tell el-Amarna), Egipto ⁶¹⁴ . El Palacio Norte ⁶¹⁵ . Aprox. 1.369 a. C. P: Akhenaton ⁶¹⁶ .	Cultura egipcia.
127 Malqata, Egipto	Límite: Valle del Nilo.	Malqata ⁶¹⁷ , Egipto ⁶¹⁸ . Palacio Real. 1.390-1.352 a. C. P: Amenhotep III.	Cultura egipcia.

⁶⁰⁶ Juan Antonio Ramírez. Op. Cit., p. 220.

⁶⁰⁷ Juan Antonio Ramírez. Op. Cit., p. 224.

⁶⁰⁸ James Barr. "Philo of Byblos and his Phoenician History". *Bulletin of the John Rylands Library*, 57.1 (1974), p. 17-68. <https://doi.org/10.7227/BJRL.57.1.2> [Fecha de acceso: 16/05/2022].

⁶⁰⁹ Viajando entre piedras. (30 de agosto, 2021). [facebook] <https://d.facebook.com/ViajandoEntrePiedras/photos/a.1509381702409102/6775852455761974/?type=3&source=57> [Fecha de acceso: 16/05/2022].

⁶¹⁰ Alan H. Simmons. "Humans, Island Colonization and Pleistocene Extinctions in the Mediterranean: The View from Akrotiri Aetokremnos, Cyprus". *Antiquity*, 65.249 (1991), pp. 857-69. <https://doi.org/10.1017/S0003598X00080571>

⁶¹¹ Katerina Theodorakopoulou y otros. "A Geoarchaeological Approach for the Localization of the Prehistoric Harbor of Akrotiri, Thera". En: VV.AA. (Eds), *Digital Geoarchaeology*. Springer, Cham, (2018), pp. 237-251. https://doi.org/10.1007/978-3-319-25316-9_15

⁶¹² Juan Antonio Ramírez. Op. Cit., p. 242.

⁶¹³ ARQUEOLUGARES. 2011. *KNOSOS prox. Heraklion. Isla de Creta. Grecia*. [web] <http://arqueolugares.blogspot.com/2011/01/cnosos-heraklion-creta-grecia.html> [Fecha de acceso: 16/05/2022].

⁶¹⁴ Juan Antonio Ramírez. Op. Cit., p. 165.

⁶¹⁵ Guenter B. Risse. "Pharaoh Akhenaton of ancient Egypt: controversies among Egyptologists and physicians regarding his postulated illness". *Journal of the history of medicine and allied sciences*, 26.1 (1971), p. 3-17. <https://doi.org/10.1093/jhmas/xxvi.1.3>

⁶¹⁶ Barry Kemp [The Amarna Trust]. Fecha desconocida. *The 'North Palace' at Amarna has been the subject of many years of excavation*. [web] <https://brewminate.com/palaces-in-ancient-egypt-cities-for-kings-and-gods/> [Fecha de acceso: 16/05/2022].

⁶¹⁷ Juan Antonio Ramírez. Op. Cit., p. 165.

⁶¹⁸ MARKH. 2011, 13 de Junio. [web] https://en.wikipedia.org/wiki/File:Malkata_from_the_air.jpg [Fecha de acceso: 16/05/2022].

Presentación de datos. La vivienda como fuente primaria.

128	Deir el-Medina, (Kahun), Luxor. Egipto	Límite: Valle del Nilo.	Deir el-Medina (Kahun), Luxor. Egipto ⁶¹⁹ . Egipto. 1.506-1.493 a. C. P: Thutmosis I.	Cultura egipcia.
129	Tell Halaf, Al-Hasaka. Siria	Límite: Reserva Natural Tek Tek Mountains National Park.	Tel Halaf, Siria. Palacio en Tell Halaf ⁶²⁰ , Siria ⁶²¹ . Hitita. 900 - 808 a. C. P: Rey Kapara ⁶²² .	Cultura hitita.
130	Caere (Cerveteri), Roma. Italia.	Límite: Parco Naturale Regionale di Bracciano Martignano, Reserva Natural Monumento Naturale Caldara di Manziana, Reserva Natural Estatal Tenuta de Castelporziano, Riserva Naturale Statale del Litorale Romano	Caere, Italia. Necrópolis Banditaccia. Casas excavadas en piedra en Caere ⁶²³ (Cerveter), Italia ⁶²⁴ . Etrusco. Siglo XI a. C.	Cultura etrusca.
131	Vulci, Italia	Límite: Parco delle Sorgenti del Timone, Reserva Natural Oasi WWF Naturale di Orbetello	Vulci, Italia ⁶²⁵ . Casa del Cirtoportico de siglos VII - III a. C. ⁶²⁶	Cultura etrusca.
132	Edeta, Valencia. España	Límite: Parque Natural de la Sierra Calderona, Parque Nacional Tabarla.	Ciudad de Edeta (junto a la actual Liria ⁶²⁷), España ⁶²⁸ . Siglos X-V a. C.	Cultura ibera.
133	Castellet Bernarbé, Valencia. España	Límite: Parque De La Torreseca, Parque Natural Solana y Barranco Lucia, Parque Natural de la Sierra Calderona	Caserío Castellet Bernarbé (junto a la actual Liria), España. Siglo V – III a. C.	Cultura ibera.

⁶¹⁹ KAIROINFO4U [@kairoinfo4u]. 23 de noviembre, 2016. *Deir el-Medina "The Place of Truth"* [Web] <https://www.flickr.com/photos/mana4u/31957278155> [Fecha de acceso: 16/05/2022].

⁶²⁰ Juan Antonio Ramírez. Op. Cit., p. 218.

⁶²¹ Max Von Oppenheim. [©MAX FREIHERR VON OPPENHEIM-STIFTUNG, KÖLN]. 1911. Slg. Oppenheim 29/16.2 S.4a. Fundzustand der großen Tempelpalastfassade 1911. Deutlich sind die Löwen und der Stier zu erkennen, die die Götterfiguren trugen. [Web] <https://www.tagesspiegel.de/kultur/tell-halaf-funde-goetter-der-wueste/3776646.html> [Fecha de acceso: 16/05/2022].

⁶²² Irene J. Winter. "North Syrian Ivories and Tell Halaf Reliefs: The Impact of Luxury Goods upon 'Major' Arts". *On Art in the Ancient Near East: Chicago*, 1 (1989), pp. 321-337. <https://doi.org/10.1163/ej.9789004172371.i-640.47>

⁶²³ Juan Antonio Ramírez. Op. Cit., pp. 314-322.

⁶²⁴ Sergio Geijo. Autor desconocido. Fecha desconocida. *Italia – Lazio / CAERE* [Web] <https://viatorimperii.es/cerveteri/> [Fecha de acceso: 16/05/2022].

⁶²⁵ [Web] <https://www.google.es/maps/place/42%C2%B025'25.1%22N+11%C2%B037'37.7%22E/@42.4194416,11.6294052,142m/data=!3m1!1e3!4m6!3m5!1s0x0:0x52a99cc8be6652be!4b1!8m2!3d42.4236466!4d11.62714!5m1!1e4?hl=es> [Fecha de acceso: 16/05/2022].

⁶²⁶ Jorge Angás Pajas. "Santuarios como indicadores de frontera en el territorio noroccidental de Vulci (siglos VII. III a. C. Italia centro-tirénica)". *Saldvie: Estudios de prehistoria y arqueología*, 5 (2005), pp. 65-94. https://doi.org/10.26754/ojs_salduie/sald.200556504

⁶²⁷ Juan Antonio Ramírez. Op. Cit., p. 303.

⁶²⁸ LLIRIA. Autor desconocido. Fecha desconocida. *EDETA Poblado ibérico. S. VI a. C. – II a. C. Declarado BIC* [Web] <http://www.lliria.es/es/content/1-edeta-0> [Fecha de acceso: 16/05/2022].

134	Delos, Grecia	Límite: Monte Cintos	Casa de Hermes en Delos, Grecia ⁶²⁹ . Delos (130 a 88 a. C.) ⁶³⁰ ?	Cultura griega.
135	Pompeya, Nápoles. Italia.	Límite: Parque Nacional del Vesubio, Parco Regionale dei Monti Lattari, Riserva Statale Valle delle Ferriere	Casa de los Vetti ⁶³¹ en Pompeya, Italia ⁶³² . Roma. Med. s. I DC. P: Vetti.Pompeya ⁶³³ , Italia ⁶³⁴ . Roma. 89 a. C. ⁶³⁵	Cultura romana
136	Roma, Roma. Italia.	Límite: Parco Naturale Regionale di Bracciano Martignano, Riserva Naturale della Marcigliana, Parco dei Castelli Romani, Reserva Natural Estatal Tenuta de Castelporziano, Riserva Naturale Statale del Litorale Romano	Roma, Italia. Palatium. Domus Augustana ⁶³⁶ en Roma, Italia ⁶³⁷ . Roma. 95-72 AC. P: Vespiano. T: Rabirio.	Cultura romana.
137	Tívoli, Roma. Italia	Límite: Riserva Naturale di Monte Catillo, Parco dei Castelli Romani, Parco Naturale Regionale Monti Simbruini, Riserva Naturale Monte Navegna E Monte Cervia	Tívoli, Roma. Villa Adriana ⁶³⁸ en Tívoli, Italia ⁶³⁹ . Siglo II d. C	Cultura romana.
138	Split, Split-Dalmatia. Croacia.	Límite: Parque Natural Blidinje, National Park Kornati, Parque Nacional Krka	Split, Croacia. Palacio Diocleciano ⁶⁴⁰ en Split, Croacia ⁶⁴¹ . Roma. Siglos III-IV d. C	Cultura romana.

Tabla 29. Viviendas singulares de la Edad Antigua.

⁶²⁹ Gerhard Huber. 2010. *House of Hermes*. [Web] https://global-geography.org/af/Geography/Europe/Greece/Pictures/Delos/House_of_Hermes_1 [Fecha de acceso: 16/05/2022].

⁶³⁰ Francesca Licenziati y Thomas Calligaro. "Study of Mosaic Glass Tesserae from Delos, Greece Using a Combination of Portable μ -Raman and X-Ray Fluorescence Spectrometry". *Journal of Archaeological Science: Reports*, 7 (2016), pp. 640-648. <https://doi.org/10.1016/j.jasrep.2015.10.017>

⁶³¹ Juan Antonio Ramírez. Op. Cit., p. 330.

⁶³² Google. Mapa data 2020. [Google] <https://virtualglobetrotting.com/map/pompeii-house-of-the-faun/view/bing/> [Fecha de acceso: 16/05/2022].

⁶³³ Juan Antonio Ramírez. Op. Cit., p. 329.

⁶³⁴ Guido Alberto Rossi. Fecha desconocida. *Pompeya, la ciudad desenterrada*. [Web] https://historia.nationalgeographic.com.es/a/pompeya-ciudad-desenterrada_7468 [Fecha de acceso: 16/05/2022].

⁶³⁵ [Web] https://es.wikipedia.org/wiki/Pompeya#Dominio_griego [Fecha de acceso: 16/05/2022].

⁶³⁶ Juan Antonio Ramírez. Op. Cit., p. 341.

⁶³⁷ Google. Mapa data 2020. [Google] <http://www.googlelightseeing.com/maps?p=33411&c=&t=k&hl=en&ll=41.888282,12.486777&z=17> [Fecha de acceso: 16/05/2022].

⁶³⁸ Juan Antonio Ramírez. Op. Cit., p. 342.

⁶³⁹ Google [Google] <http://www.googlelightseeing.com/maps?p=&c=&t=k&hl=en&ll=41.94125,12.776098&z=18> [Fecha de acceso: 16/05/2022].

⁶⁴⁰ Juan Antonio Ramírez. Op. Cit., p. 359.

⁶⁴¹ 4K Urban Life. 2010, 2 noviembre. Minuto 4:30. *4K Split, Croatia - Cities of the World | Urban Life Documentary Film* [Youtube] <https://www.youtube.com/watch?v=R46QB2F4PFE> [Fecha de acceso: 16/05/2022].

Presentación de datos. La vivienda como fuente primaria.

Coordenadas:

	Población	Geolocalización	Coordenadas DMS	Altitud
122	Ebla, Idlib. Siria.	https://www.google.es/maps/place/Ebla+Citadel/@35.7988061,36.7918417,1697m/data=!3m1!1e3!4m9!1m2!2m1!1sebla+siria!3m5!1s0x15251b5ca32b7829:0x2e404a0bc2da3649!8m2!3d35.7988061!4d36.7987704!15sCgplYmxhIHNpcmlhkgETYYXJjaGFib2xvZ2ljYWxfc2l0ZQ?hl=es	35° 48' 0.661" N 36° 47' 52.430" E	400 m.
123	Byblos, Líbano. Jbeil.	https://www.google.es/maps/place/Pre-phoinician+settlement/@34.119762,35.6439693,866m/data=!3m1!1e3!4m13!1m7!3m6!1s0x151f5ca814ab769b:0xbe47735b265d616e!2zQmliG9zLCBMw61iYW5v!3b1!8m2!3d34.1230021!4d35.6519282!3m4!1s0x151f5d4dab9cd0b7:0x8cb93154ee1ed909!8m2!3d34.1179903!4d35.6451483?hl=es	34° 7' 8.874" N 35° 38' 44.322" E	19 m.
124	Akrotiri, Grecia Thira.	https://www.google.es/maps/search/Akrotiri,+Santorini.+Grecia/@36.3515112,25.4027331,177m/data=!3m1!1e3?hl=es	36° 21' 7.035" N 25° 24' 11.405" E	29 m.
125	Cnossos, Heraklion. Grecia.	https://www.google.es/maps/place/Palacio+Minoico+de+Cnosos/@35.2973787,25.1603725,718m/data=!3m1!1e3!4m9!1m2!2m1!1spalacio+cnossos!3m5!1s0x149a5916dc7b0f35:0xd88c9e5b02743f43!8m2!3d35.2978186!4d25.1631278!15sCg9wYWxhY2lvIGNvb29zbnNaESIPeGFsYWNPbyBjb25vc29kZETaGlzdG9yaWNhbF9sYW5kbWFya5oB10NoWkRTVWhOTUc5blMwVkpRM EZuU1VNMMJuTlINRXhCRUFF?hl=es	35° 17' 52.487" N 25° 9' 46.684" E	82 m.
126	Aten (Tell el-Amarna), Minya. Egipto Al	https://www.google.es/maps/place/Northern+Palace+(Amarna)/@27.6694699,30.9016693,551m/data=!3m1!1e3!4m12!1m6!3m5!1s0x144527cc0fe25ac3:0x27f7946267d6861b!2sTumba+de+Merya+II!8m2!3d27.663913!4d30.927203!3m4!1s0x0:0x288af3ebd9d8cc8a!8m2!3d27.6699056!4d30.9034531?hl=es	27° 40' 12.156" N 30° 54' 11.096" E	39 m.
127	Malqata, Egipto	https://www.google.es/maps/place/Malkata+Palace+of+Amenphis+III/@25.7135705,32.5909868,667m/data=!3m1!1e3!4m12!1m6!3m5!1s0x1449166b1f2fdb9:0x93480568f5d53ea0!2sTemplo+Funerario+de+Amenofis+III!8m2!3d25.7212788!4d32.6090216!3m4!1s0x14491650457dc00b:0x7721435014e6c769!8m2!3d25.7141845!4d32.5926099?hl=es	25° 42' 51.649" N 32° 35' 33.901" E	69 m.
128	Deir el-Medina, (Kahun), Luxor. Egipto	https://www.google.es/maps/place/Deir+el-Medina/@25.7281535,32.6010757,280m/data=!3m1!1e3!4m12!1m6!3m5!1s0x1449163ee44b2721:0xa80aea36ffa0962!2sDeir+el-Medina!8m2!3d25.728044!4d32.601425!3m4!1s0x1449163ee44b2721:0xa80aea36ffa0962!8m2!3d25.728044!4d32.601425?hl=es	25° 43' 40.954" N 32° 36' 4.510" E	102 m.
129	Tell Halaf, Hasaka. Siria Al-	https://www.google.es/maps/place/Tell+Halaf,+Siria/@36.8264237,40.0381063,296m/data=!3m1!1e3!4m5!3m4!1s0x154a7e5ff6f498d3:0xc325c5ec78e61ce2!8m2!3d36.8250704!4d40.0402377?hl=es	36° 49' 35.357" N 40° 2' 21.960" E	366 m.
130	Caere (Cerveteri), Roma. Italia.	https://www.google.es/maps/place/Necr%C3%B3polis+de+la+Banditaccia/@42.0058083,12.0986085,550m/data=!3m1!1e3!4m13!1m7!3m6!1s0x132f535f135aa6c1:0x977491c41ca0e53e!2s00052+Cerveteri,+Roma,+Italia!3b1!8m2!3d41.9967004!4d12.0973997!3m4!1s0x132f536b5ff3e8d5:0xafd9c65f12522a7b!8m2!3d42.0060051!4d12.1003139?hl=es	42° 0' 4.579" N 12° 5' 37.683" E	80 m.
131	Vulci, Italia Viterbo.	https://www.google.es/maps/place/Archaeological+Park+of+Vulci/@42.4194799,11.6294148,142m/data=!3m1!1e3!4m13!1m7!3m6!1s0x0:0x52a99cc8be6652be!2zNDLCsDI1JzIlLjEiTiAxMcKwMzcnMzcuNyJF!3b1!8m2!3d42.4236466!4d11.62714!3m4!1s0x1328e8af88210f2f:0x8c68defb3e670351!8m2!3d42.4192309!4d11.6294655?hl=es	42° 25' 10.081" N 11° 37' 46.970" E	58 m.

línea de costa). De hecho, este modelo lo encontramos relacionado con las poblaciones fundadas por “pueblos del mar”. Los reconocemos en los restos arqueológicos de las casas de Akrotiri (destruidas y enterradas por la erupción volcánica del año 1.620 a. C.⁶⁴²) y en las viviendas del centro histórico de Adra en España (de origen fenicio del siglo VIII a. C. conocida como Abdera ⁶⁴³ y habitada de manera ininterrumpida hasta hoy), como podemos ver en las Imágenes 89 y 90.



Img. 89. Detalle de Pintura mural en Akrotiri ⁶⁴⁴.



Img. 90. Adra, España. Barrio pesquero⁶⁴⁵.

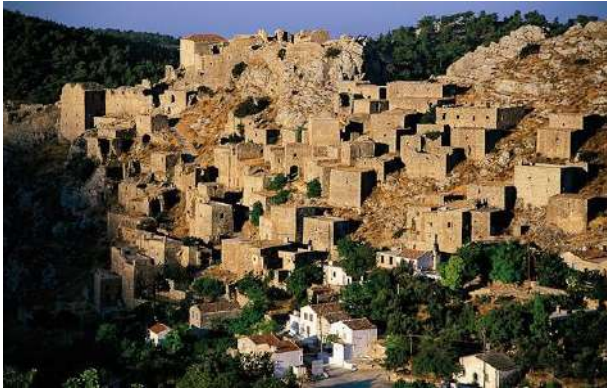
Además, también identificamos visualmente este “volumen único” (simulando torres con vistas para vigilar) en numerosas poblaciones tanto del interior continental como en la costa. Es el caso de las viviendas de Anavatos en Grecia (Img. 91), San Gimignano en Italia (Img. 93) o Vathia en Grecia (Img. 95) y las casas-torre de Istinic en Kosovo (Img. 92), Biel en España (Img. 94) y Lechonia en Grecia (Img. 96).

⁶⁴² Simmons, Alan H. “Humans, Island Colonization and Pleistocene Extinctions in the Mediterranean: The View from Akrotiri Aetokremnos, Cyprus”. *Antiquity*, 65.249 (1991), pp. 857-69. <https://doi.org/10.1017/S0003598X00080571>

⁶⁴³ José Luis López Castro y otros. “Abdera y su territorio: descubrimientos recientes”. *Mainake*, 32 (2010), p. 91. Obtenido en: <https://dialnet.unirioja.es/servlet/articulo?codigo=3643386> [Fecha de acceso: 04/02/2022].

⁶⁴⁴ [Web] https://dapuritojo.wordpress.com/2020/11/24/_trashed/ [Fecha de acceso: 04/02/2022].

⁶⁴⁵ Luis Feduchi. *Itinerarios de arquitectura popular española*. Vol. T.4. Andalucía. Barcelona: Blume, 1978, p. 92.



Img. 91. Anavatos, Grecia⁶⁴⁶.



Img. 92. Istinic, Kosovo. Kula fortificado⁶⁴⁷.



Img. 93. San Gimignano, Italia⁶⁴⁸.



Img. 94. Biel, España⁶⁴⁹.



Img. 95. Vathia, Grecia⁶⁵⁰.



Img. 96. Lechonia, Grecia⁶⁵¹.

⁶⁴⁶ Ivan Salonik. (2014). *Anavatos* [Web] <http://wikimapia.org/8374069/Anavatos#/photo/4492201> [Fecha de acceso: 16/02/2022].

⁶⁴⁷ [Web] <https://deprinbalcani.wordpress.com/2015/04/18/razbunarea-sangelui/> [Fecha de acceso: 16/02/2022].

⁶⁴⁸ Liane Matrisch [©GTRESONLINE]. (2018). [Web] <https://www.lavanguardia.com/ocio/viajes/20180108/433907678569/san-gimignano-manhattan-edad-media-toscana.html> [Fecha de acceso: 16/02/2022].

⁶⁴⁹ Romanicoaragonés. [Web] <http://www.romanicoaragones.com/fortificaciones/14-Biel.htm> [Fecha de acceso: 16/02/2022].

⁶⁵⁰ Paul Dykes. (2018). *Vathia | Βάθεια | The Mani Peninsula | Greece | Ελλάδα-205* [Web] <https://www.flickr.com/photos/paulodykes/44639215832> [Fecha de acceso: 16/02/2022].

⁶⁵¹ dimitrisvetsikas1969. (2019) [Web] <https://pixabay.com/es/photos/torre-casa-arquitectura-tradicional-4156921/> [Fecha de acceso: 16/02/2022].

3.6.3. La Edad Media.



Pobl. 139. Constantinopla (Estambul) en Turquía.
Palacio bizantino Boukoleon, siglo V d. C.⁶⁵²



Pobl. 140. Asentamiento de Shivta en Israel. Casa bizantina, Siglo VII d. C.⁶⁵³



Pobl. 141. Palacio Qasr al-Hayr al-Sharqi en Siria, año 729 d. C / siglo VIII d. C.⁶⁵⁴.



Img. 97. Reconstrucción de la fachada decorada del Palacio de Qasr al-Garbi⁶⁵⁵.

⁶⁵² Pi István Tóth. (2018). [Flickr] <https://www.flickr.com/browser/upgrade/?continue=%2Fphotos%2Fcybermacs%2F32115502598%2Fin%2Fphotostream%2F> [Fecha de acceso: 16/05/2022].

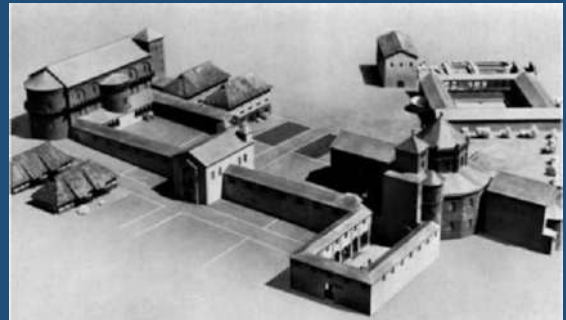
⁶⁵³ Amir Aloni. (2015). *Aerial photography. Aerial photographs of Shivta, the Nabatean farming village located on the Spice Route.* אוויר צילומי - שבטה חורבות. [Youtube] https://www.youtube.com/watch?v=9x15qYe_b78 (no funciona) o <https://www.youtube.com/watch?v=ERVJ64czWQs> [Fecha de acceso: 16/05/2022].

⁶⁵⁴ IFPO. (1930). [Imagen obtenida de artículo] GENEQUAND, Denis. (2006). Some Thoughts on Qasr al-Hayr al-Gharbi, its Dam, its Monastery and the Ghassanids. *Levant*. 38. 63-84. 10.1179/lev.2006.38.1.63. [Web] https://www.researchgate.net/figure/The-palace-and-buildings-to-the-west-during-excavations-in-the-1930s-after-Schlumberger_fig5_233555200 [Fecha de acceso: 16/05/2022].

⁶⁵⁵ Dina Bakkour. (2020). *Qasr al-Hayr al-Garbi.* In *Discover Islamic Art, Museum With No Frontiers, 2020.* [Web] http://islamicart.museumwnf.org/database_item.php?id=monument;ISL;sy;Mon01;28;es [Fecha de acceso: 16/05/2022].



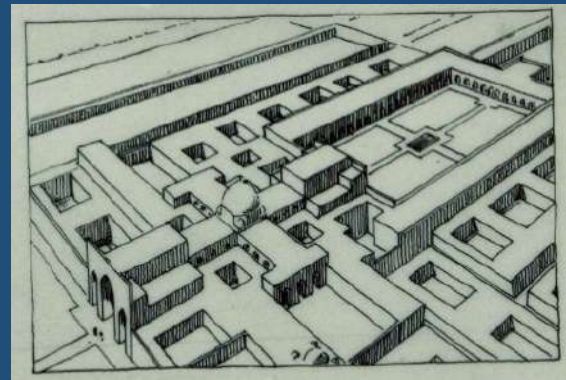
Pobl. 142. Aachen en Alemania. Conjunto Palatino de Aquisgran, año 804 d. C.⁶⁵⁶.



Img. 98. Reconstrucción del Conjunto Palatino de Aquisgran⁶⁵⁷.



Pobl. 143. Samarra en Irak. Palacio de Baluwa, año 850-860 d.C /S. IX d. C.⁶⁵⁸.



Img. 99. Reconstrucción del Palacio de Baluwa⁶⁵⁹.

⁶⁵⁶ GOOGLE [Google] <http://www.google.com/maps?map=50.775649,6.0842&z=18> [Fecha de acceso: 16/05/2022].

⁶⁵⁷ L. Hogot. (1965). En: Judith Ley y Marc Wietheger. *Palace Research in Aachen*. [Web] <https://arch.rwth-aachen.de/cms/Architektur/Forschung/Verbundforschung/Cultural-Heritage/-cbjv/Pfalzenforschung-in-Aachen/?lidx=1> [Fecha de acceso: 16/05/2022].

⁶⁵⁸ GOOGLE [Web] <https://www.google.com/maps/place/Samarcanda,+Uzbekist%C3%A1n/@34.1410946,43.8828338,1765m/data=!3m1!1e3!4m5!3m4!1s0x3f4d191960077df7:0x487636d9d13f2f57!8m2!3d39.627012!4d66.9749731> [Fecha de acceso: 16/05/2022].

⁶⁵⁹ Ernest Herzfeld. (1911-1913). *Excavation of Samarra (Iraq): Baluwa Palace, Cruciform Reception-hall Block and Courtyard III: Three Small Isometric Reconstructions*. [Web] https://collections.si.edu/search/results.htm?q=record_ID=FSA.A.06_ref24661&repo=DPLA [Fecha de acceso: 16/05/2022].



Pobl. 144. Ciudad de Medina Azahara en España año 936 – 976 d. C. / s X d. C.⁶⁶⁰.



Img. 100. Reconstrucción del Salón rico del Palacio de Abderramán III en Medina Azahara⁶⁶¹.



Pobl. 145. Patio de crucero del Palacio Almohade (Casa de la Contratación) en Sevilla, España. S. XI. d. C.⁶⁶².



Img. 101. Reconstrucción del patio y jardín del palacio Almohade original⁶⁶³.

⁶⁶⁰ Julia Manzano Pérez de Guzmán y otros. “Sobre Arqueología y Arquitectura en Medina Azahara. Entrevista a Rafael Manzano Martos”, *Arqueología de la Arquitectura*, 14 (2017). <http://dx.doi.org/10.3989/arq.arqt.2017.021>

⁶⁶¹ ABC. (1940 – 1982). *Salón Rico de Medina Azahara: 75 años de un hallazgo extraordinario*. [Web] https://sevilla.abc.es/andalucia/cordoba/sevi-medina-azahara-salon-rico-medina-azahara-75-anos-hallazgo-extraordinario-201912022325_noticia.html [Fecha de acceso: 16/05/2022].

⁶⁶² [Web] <http://sevilladailyphoto.blogspot.com/2011/10/el-patio-de-la-casa-de-la-contratacion.html> [Fecha de acceso: 16/05/2022].

⁶⁶³ M. González. *Patio y jardín del palacio islámico de la Casa de la Contratación según la hipótesis de Antonio Almagro*. [Web] https://www.diariodesevilla.es/sevilla/Patio-Contratacion-ultimo-jardin-andalusi-Sevilla_0_1405659662.html [Fecha de acceso: 16/05/2022].



Pobl. 146. Houadan en Francia. Castillo defensivo y vivienda Donjon, años 1120-1137 d. C.⁶⁶⁴
P: Amaury III of Montfort.



Pobl. 147. Estella en España. Palacio de los Duques de Granada de Ega, siglo XII d. C.⁶⁶⁵.



Pobl. 148. Florencia en Italia. Palazzo della Parte Guelfa, siglo XIV d. C.⁶⁶⁶
Arquitecto: Brunelleschi.



Pobl. 149. Kivwa en Tanzania. Palacio Husuni Kubwa, siglo XIV d. C.⁶⁶⁷.

⁶⁶⁴ I. HEnrysalome. (2007). [Web] <https://tinyurl.com/yf7t4oen> [Fecha de acceso: 16/05/2022].

⁶⁶⁵ A. G. Montxo. *DIARO NAVARRA*. 2016, 10 diciembre. [Web] <https://tinyurl.com/ygdt2zsa> [Fecha de acceso: 16/05/2022].

⁶⁶⁶ (1944 – 1953). *Destrucción del ejército alemán y la construcción del Palazzo della Borsa Mercè*. [Pinterest] <https://www.pinterest.es/pin/430586414348403537/> [Fecha de acceso: 16/05/2022].

⁶⁶⁷ [Web] https://historia.nationalgeographic.com.es/a/kilwa-edad-oro-sultanes-swahili_13844 [Fecha de acceso: 16/05/2022].



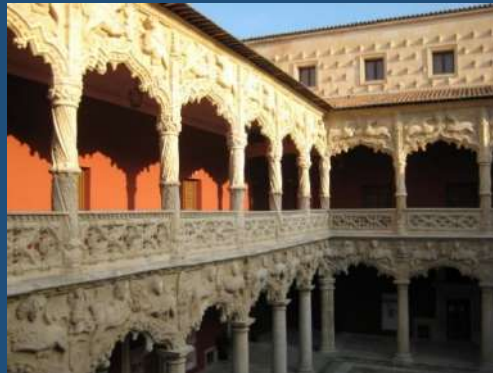
Pobl. 150. Alhambra de Granada, España. Palacio de los leones, siglo XIV d. C.⁶⁶⁸.



Img. 102. Patio del Palacio de los leones en la Alhambra, años 1377-1390 d. C.⁶⁶⁹.
P: Muhammad V



Pobl. 151. Guadalajara en España. Palacio del Infantado, años 1480-1483 d. C.⁶⁷⁰.



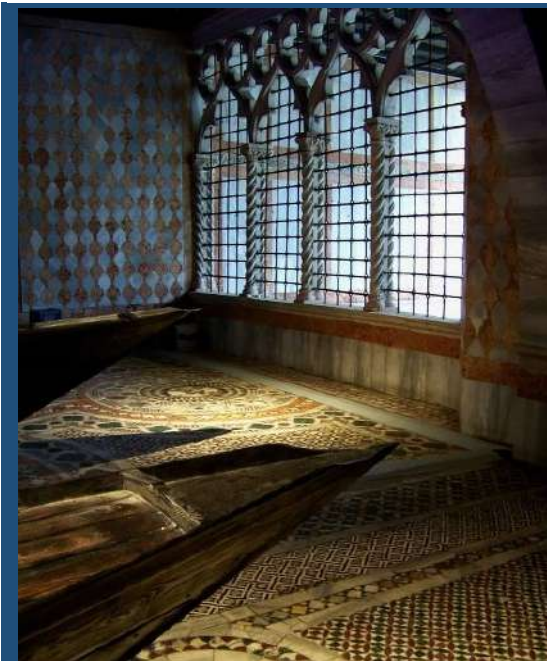
Img. 103. Patio del Palacio del Infantado⁶⁷¹.

⁶⁶⁸ DIMENSION AEREA. (2016-2018). [Web] <http://fr.granadatur.com/page/360-turismo-aventura/> [Fecha de acceso: 16/05/2022].

⁶⁶⁹ Zenda φ Photography [@zebda.ph]. (2020). *Patio de los leones, Palacios Nazaries. Alhambra de Granada. Spain* [Instagram] <https://www.instagram.com/p/CEglJoi3xV/> [Fecha de acceso: 16/05/2022].

⁶⁷⁰ PAVLEMADRID. (2007). *Palacio del Infantado in Guadalajara (Spain). Esta es una fotografía de un monumento declarado en el registro de Bienes de Interés Cultural del patrimonio español con el código R1-51-0000134.* [Web] https://es.wikipedia.org/wiki/Palacio_del_Infantado#/media/Archivo:Palacio_del_Infantado.jpg [Fecha de acceso: 16/05/2022].

⁶⁷¹ AHPGU. (2010). *Historia del Edificio* [Web] <https://www.amigosahpgu.es/web/archivo/historia-del-edificio/> [Fecha de acceso: 16/05/2022].



Pobl. 152. Venecia en Italia. Interior del Cad d'Oro, siglo XV d. C ⁶⁷².



Img. 104. Fachada de Cad d'Oro⁶⁷³.

⁶⁷² Galleria Franchetti Ca' d'Oro [@galleriagiorgiofranchetti], (2020). *In occasione della #GiornataMondialeAcqua vi riproponiamo alcune suggestive immagini dell'installazione di FABRIZIO PLESSI allestita nell'atrio porticato di Ca' d'Oro all'interno della mostra....* [Instagram] <https://www.instagram.com/p/B-DZdw5ojrq/> [Fecha de acceso: 16/05/2022].

⁶⁷³ netNicholls. [Web] <https://www.teggelaar.com/en/venice-day-3/> [Fecha de acceso: 16/05/2022].

Presentación de datos. La vivienda como fuente primaria.

	Población	Entorno NATURAL	Fecha de construcción	Lenguaje arquitectónico, cultura, estilo
139	Constantinopla, Estambul. Turquía.	Límite: Parque Natural Polonezköy, Parque Fatih Ormani, Parque Orman Bakanlıđı Ađaçlandırma Sahası	Constantinopla (Estambul), Turquía. Palacio bizantino ⁶⁷⁴ Boukoleon en Constantinopla ⁶⁷⁵ (Estambul), Turquía. Bizantino. Siglo V d. C.	Cultura bizantina.
140	Shivta, Israel	Desierto Negrev	Shivta, Israel. Casa bizantina ⁶⁷⁶ en la ciudad de Shivta, Israel. Bizantino. Siglo VII d. C. ⁶⁷⁷	Cultura bizantina.
141	Qasr al-Hayr al-Sharqi, Siria.	Estepa siria.	Qasr al-Hayr al-Sharqi, Siria. ⁶⁷⁸ Califal. 729 d. C/ VIII d. C	Cultura califal omeya.
142	Aachen, Alemania.	Límite: Bosque Nacional Akenerbos, Parque estatal Naturkundlicher Lehrpfad der Stadt Stolberg, Reserva Nacional Wurmatal south of Herzogenrath.	Aachen, Alemania. Conjunto Palatino de Aguisgran ⁶⁷⁹ en Aachen, Alemania. 804 d. C.	Cultura preromana carolingia.
143	Samarra, Irak.	Valle del río Tigris.	Samarra, Irak. Palacio de Balkuwara ⁶⁸⁰ , Irak. Califal. 850-860 d. C./S. IX d. C.	Cultura califal abbasi.
144	Medina Azahara, Córdoba. España.	Límite: Parque Natural Sierra de Hornachuelos, Parque Natural Sierra de Cardeña y Montoro, Parque Natural de las Sierras Subbéticas	Medina Azahara, España. Medina Azahara ⁶⁸¹ , España ⁶⁸² . Califal. 936 – 976 d. C. / s X d. C.	Cultura califato andalusí.
145	Sevilla, España.	Límite: Reserva Natural Brazo del Este, Parque Nacional de Doñana, Parque Natural Sierra de Hornachuelos, Reserva Natural Sierra Norte.	Sevilla, España. Patio de crucero de Palacio Almohade (actual Casa de la Contratación) ⁶⁸³ en Sevilla, España. Almohade. S. XI d. C.	Cultura Almohade.
146	Houadan, Francia.	Límite: Bosque Nacional Poteau des Quenouilles, Bosque Nacional Forêt Domaniale de Rambouillet,	Houadan, Francia. Castillo defensivo y vivienda Donjon ⁶⁸⁴ en Houdan, Francia.	Cultura románica.

⁶⁷⁴ Magdalino, Paul. "Court And Capital In Byzantium". En: Duindam, Jeroen y otros. *Royal Courts in Dynastic States and Empires*. Leiden: Rulers & Elites, 2011, p. 129-144.

⁶⁷⁵ Referencia a Constantinopla, aunque no existe una referencia expresa al Palacio Boukoleon. En: Juan Antonio Ramírez. Op. Cit., p. 121, p. 224.

⁶⁷⁶ Arthur Segal. "Shivta-A Byzantine Town in the Negev Desert", *Journal of the Society of Architectural Historians*, 44.4 (1985), pp. 317-328. <https://doi.org/10.2307/990111>

⁶⁷⁷ Yotam Tepper y otros. "Probing the Byzantine/Early Islamic Transition in the Negev: The Renewed Shivta Excavations, 2015–2016", *Tel Aviv: Journal of the Institute of Archaeology of Tel Aviv University*, 45.1 (2018), p. p. 120-152. <https://doi.org/10.1080/03344355.2018.1412058>

⁶⁷⁸ Juan Antonio Ramírez. *Historia del Arte, II. La Edad Media*. Madrid: Alianza Editorial, 1996, p. 55.

⁶⁷⁹ Juan Antonio Ramírez. Op. Cit., p. 121.

⁶⁸⁰ Juan Antonio Ramírez. Op. Cit., p. 61.

⁶⁸¹ Juan Antonio Ramírez. Op. Cit., p. 72.

⁶⁸² Julia Manzano Pérez de Guzmán y otros. "Sobre Arqueología y Arquitectura en Medina Azahara. Entrevista a Rafael Manzano Martos", *Arqueología de la Arquitectura*, 14 (2017). <http://dx.doi.org/10.3989/arq.arqt.2017.021>

⁶⁸³ Dolores Villalba Solá. *La senda de los almohades : arquitectura y patrimonio*. Granada: Universidad de Granada, 2015.

⁶⁸⁴ Juan Antonio Ramírez. Op. Cit., p. 169.

		Parc naturel régional de la Haute Vallée de Chevreuse, French Vexin Regional Natural Park	1120-1137 d. C. por Amaury III of Montfort,	
147	Estella, Navarra. España.	Límite: Bahía de Úgar / Ugarko Badia, Parque Natural de Izki - Izkiko Parke Naturala, Parque Natural Aizkorri-Aratz, Parque Natural Aralar, Parque Natural Sierra de Cebollera, Parque Natural de Montes Obarenes-San Zadornil, Parque Natural de Gorbeia.	Estella, España. Palacio de los Duques de Granada de Ega en Estella ⁶⁸⁵ , España. S XII d. C	Cultura románica.
148	Florenzia, Florenzia. Italia.	Límite: Parco di Fonte Santa, Area Naturale Protetta di Interesse Locale Foresta di Sant'Antonio, Parque Nacional de Foreste Casentinesi, Monte Falterona y Campigna	Florenzia, Italia. Palazzo della Parte Guelfa ⁶⁸⁶ en Florenzia, Italia. Arquitecto: Brunelleschi. S. XIV d. C.	Cultura renacentista: el cuatrocento.
149	Kiwla, Tanzania Lindi.	Límite: Parque Nacional de los Montes Udzungwa, Parque Nacional das Quirimbas.	Kiwla, Tanzania. Palacio Husuni Kubwa, en Kilwa (Quiloa). Siglo XIV d. C. ⁶⁸⁷	Cultura islámica.
150	Palacio Granada, Granada. España	Límite: Parque Natural Sierra de Huétor, Parque Nacional de Sierra Nevada, Sierras de Tejeda, Almijara y Alhama Parque Natural, Parque Natural de las Sierras Subbéticas.	Granada, España. Palacio de los leones. Ciudad palatina de la Alhambra ⁶⁸⁸ , España. Nazari. siglo XIV d. C.	Cultura nazari.
151	Guajalajara, Guadalupe. España.	Límite: Parque Natural del Barranco del Río Dulce, Reerva Natural Macizo del Pico del Lobo-Cebollera, Parque Regional de la Cuenca Alta del Manzanares, Parque Regional del Curso medio del río Guadarrama y su entorno.	Guajalajara, España. Palacio del Infantado en Guadalupe ⁶⁸⁹ , España. 1480-1483 d. C.	Cultura gótica isabelina.
152	Venecia, Venecia. Italia.	Límite: Parque regional Véneto del Delta del Po, Parco Regionale dei Colli Euganei, Parque Nacional de las Dolomitas	Venecia, Italia. Cad d'Oro en Venecia, Italia. S. XV d. C. ⁶⁹⁰	Cultura gótico-renacentista.

Tabla 31. Viviendas singulares de la Edad Media.

⁶⁸⁵ Juan Antonio Ramírez. Op. Cit., p. 173.

⁶⁸⁶ Juan Antonio Ramírez. Historia del Arte, III. La edad Moderna, 1997, p. 17.

⁶⁸⁷ Bertram B. B. Mapunda y Felix A. Chami. "Analysis Report of Metallurgical Materials from Nguruni Site, Kilwa Kisiwani, Southern Tanzania". *Studies in the African Past*, 5 (2006), pp. 151-194.

⁶⁸⁸ Juan Antonio Ramírez. Op. Cit., p. 92.

⁶⁸⁹ Juan Antonio Ramírez. Op. Cit., p. 256.

⁶⁹⁰ Edoardo Arslan. *Venezia gotica L'architettura civile gotica veneziana*. Milán: Mondadori Electa, 1989.

Coordenadas:

Población	Geolocalización	Coordenadas DMS	Altitud
139 Constantinopla, Estambul. Turquía.	https://www.google.es/maps/place/Palacio+de+Bucole%C3%B3n/@41.0024536,28.9751691,117m/data=!3m1!1e3!4m12!1m6!3m5!1s0x14cab9987c9c0e69:0xf08eaac012e280b4!2sPalacio+de+Bucole%C3%B3n!8m2!3d41.0023744!4d28.9755418!3m4!1s0x14cab9987c9c0e69:0xf08eaac012e280b4!8m2!3d41.0023744!4d28.9755418?hl=es	41° 0' 8.982" N 28° 58' 31.938" E	14 m.
140 Shivta, Israel	https://www.google.es/maps/place/Shivta+National+Park/@30.8803593,34.6287301,449m/data=!3m1!1e3!4m13!1m7!3m6!1s0x1502047a7a5499df:0xe3de8c8fb3dd2fee!2z16nXmdeR15jXlCwgSXNyYVWV!3b1!8m2!3d30.881121!4d34.630836!3m4!1s0x15020470a607d029:0xe592bedd9e1d497!8m2!3d30.881045!4d34.630752!1?hl=es	30° 52' 54.548" N 34° 37' 51.443" E	338 m.
141 Qasr al-Hayr al-Sharqi, Siria.	https://www.google.es/maps/place/Qasr+al-Hayr+al-Sharqi/@35.0735702,38.8084909,54801m/data=!3m1!1e3!4m9!1m2!2m1!1sQasr+al-Hayr+al-Sharqi!3m5!1s0x1539b010bd1e20c7:0x9de68e80fa034cbe!8m2!3d35.0735702!4d39.0721628!15sChZRYXNyIGFsLUhheXIgYWwtU2hhcnFpkgETyXJjaGFib2xvZ2ljYWxfZ2l0ZQ?hl=es	34° 20' 35.261" N 37° 34' 49.284" E	375 m.
142 Aachen, Alemania.	https://www.google.com/maps/place/Catedral+de+Aquisgr%C3%A1n/@50.7748309,6.0828142,234m/data=!3m1!1e3!4m13!1m7!3m6!1s0x47c0997cb08a191d:0x63a30cae0b0e444f!2sAquisgr%C3%A1n,+Alemania!3b1!8m2!3d50.7753455!4d6.0838868!3m4!1s0x47c0997c84f087fb:0x38730b23e56788c3!8m2!3d50.7747198!4d6.0839201	50° 46' 30.509" N 6° 5' 1.279" E	183 m.
143 Samarra, Irak.	https://www.google.com/maps/place/Samarcanda,+Uzbekist%C3%A1n/@34.1410946,43.8828338,1765m/data=!3m1!1e3!4m5!3m4!1s0x3f4d191960077df7:0x487636d9d13f2f57!8m2!3d39.627012!4d66.9749731	34° 8' 10.558" N 43° 53' 19.658" E	81 m.
144 Medina Azahara, Cordoba. España.	https://www.google.com/maps/place/Medina+Azahara+-+Conjunto+Arqueol%C3%B3gico+Madinat+al-Zahra/@37.8865632,-4.870369,826m/data=!3m2!1e3!4b1!4m5!3m4!1s0xd6cd871806f2df1:0xa6d8f2cac7862921!8m2!3d37.886559!4d-4.868175	37° 53' 9.591" N 4° 52' 2.104" W	187 m.
145 Sevilla, España.	https://www.google.com/maps/place/Delegaci%C3%B3n+del+Gobierno+de+la+Junta+de+Andaluc%C3%ADa+En+Sevilla/@37.841235,-5.993052,294m/data=!3m1!1e3!4m13!1m7!3m6!1s0xd126c19c86beabf:0xc93469981106083e!2sPl.+de+la+Contrataci%C3%B3n,+41004+Sevilla!3b1!8m2!3d37.383873!4d-5.9925278!3m4!1s0xd126c19b65504eb:0xb13f02409167337a!8m2!3d37.3836905!4d-5.9923231	37° 23' 2.057" N 5° 59' 31.723" W	21 m.
146 Houadan, Francia.	https://www.google.com/maps/place/Donjon+de+Houdan/@48.7892669,1.59819,172m/data=!3m1!1e3!4m9!1m2!2m1!1sHoudan+donjon!3m5!1s0x47e6a5d609cf9549:0x3c88abc7d96c8ce!8m2!3d48.7892669!4d1.599056!15sCg1Ib3VkyYW4gZG9uam9ukgEGY2FzdGxl	48° 47' 21.231" N 1° 35' 56.241" E	110 m.
147 Estella, España.	https://www.google.com/maps/place/Museo+Gustavo+de+Maeztu+Museoa/@42.6693258,-2.0302932,192m/data=!3m1!1e3!4m9!1m2!2m1!1sestella+palacio+duques!3m5!1s0xd5071b5654f82df:0xb41403dffdd74874!8m2!3d42.6693258!4d-2.0295649!15sChdlc3RlbGxhIHhBbGFjaW9vIGRlcXVlc1oZlhdlc3RlbGxhIHhBbGFjaW9vIGRlcXVlc5IBCmFyF9tdXNldW2aASRDaGREU1VoTk1HOW5TMFZKUTBGblNVTKxjSFptYmw5UJJSQU	42° 40' 10.478" N 2° 1' 46.028" W	421 m.
148 Florencia, Florencia. Italia.	https://www.google.com/maps/search/palazzo+guelfa+florencia/@43.7695535,11.2537648,47m/data=!3m1!1e3	43° 46' 10.425" N 11° 15' 13.696" E	73 m.
149 Kiwla, Tanzania	https://www.google.com/maps/place/Sultan'+Palace/@-8.9597775,39.5123367,220m/data=!3m1!1e3!4m12!1m6!3m5!1s0x18f4ef524c33f06d:0x259145de76da7ac4!2sSultan'+Palace!8m2!3d-8.9598485!4d39.5128262!3m4!1s0x18f4ef524c33f06d:0x259145de76da7ac4!8m2!3d-8.9598485!4d39.5128262	8° 57' 35.668" S 39° 30' 46.174" E	5 m.

150	Palacio Granada, España	Leones. Granada.	https://www.google.com/maps/place/Patio+de+Los+Leones/@37.1768533,-3.5900639,248m/data=!3m1!1e3!4m12!1m6!3m5!1s0xd71fcb7977fb93b:0x808dd1ef1221a27f12sAlhambra!8m2!3d37.1760783!4d-3.5881413!3m4!1s0xd71fcb7b13ef803:0x24ac4d9e3d2bee8c!8m2!3d37.177076!4d-3.589253	37° 10' 37.417" N 3° 35' 21.291" W	782 m.
151	Guajalajara, Guadalajara. España.		https://www.google.com/maps/place/Palacio+del+Infantado/@40.6361507,-3.1695673,334m/data=!3m1!1e3!4m12!1m6!3m5!1s0xd43ab834ebffff:0x94795dcb460a8cc5!2sPalacio+del+Infantado!8m2!3d40.6358512!4d-3.1686479!3m4!1s0xd43ab834ebffff:0x94795dcb460a8cc5!8m2!3d40.6358512!4d-3.1686479	40° 38' 10.683" N 3° 10' 6.888" W	686 m.
152	Venecia, Italia.	Vanezia.	https://www.google.com/maps/place/Ca+d'Oro/@45.4409052,12.3335131,154m/data=!3m1!1e3!4m12!1m6!3m5!1s0x477eb1dcc03a54fb:0x34c72653310d73ac!2sCa+d'Oro!8m2!3d45.4408384!4d12.3339262!3m4!1s0x477eb1dcc03a54fb:0x34c72653310d73ac!8m2!3d45.4408384!4d12.3339262	45° 26' 27.313" N 12° 20' 2.535" E	7 m.

Tabla 32. Geolocalización de las viviendas singulares de la Edad Media.

3.6.3.1 Inspiración en la naturaleza: el patio, el pilar y el bosque.

Los patios del palacio los Leones en la Alhambra, del palacio de los Duques del Infantado en Guadalajara y del palacio de la Aljafería en Zaragoza tienen en común que utilizan los pilares para recrear un bosque en el patio interior (Img.105 – Img. 107).

El programa decorativo de los tres palacios, con la exuberante decoración vegetal, evidencia que existe un diseño estudiado y un trabajo artesanal que requieren destreza. Estos edificios reflejan el status social de su propietario.

Lo que encontramos realmente interesante es que los tres palacios pertenecen al mismo periodo cultural, utilizan los mismos elementos (el pilar y el patio) y la misma inspiración (recrear un bosque), pero la plástica espacial resultante es totalmente diferente.



Img. 105. Palacio de la Aljafería en Zaragoza. España⁶⁹¹.



Img. 106. Palacio del Infantado en Guadalajara, España⁶⁹².



Img. 107. Palacio de los leones de la Alhambra en Granada, España⁶⁹³.

⁶⁹¹ MWNF [Discover Islamic Art] [Web] https://islamicart.museumwnf.org/database_item.php?id=monument;isl;es;mon01;4;es [Fecha de acceso: 16/05/2022].

⁶⁹² AHPGU. (2010). *Historia del Edificio* [Web] <https://www.amigosahpgu.es/web/archivo/historia-del-edificio/> [Fecha de acceso: 16/05/2022].

⁶⁹³ Zenda φ Photography [@zebda.phi]. (2020). *Patio de los leones, Palacios Nazaries. Alhambra de Granada. Spain* [Instagram] <https://www.instagram.com/p/CEglJoi3xV/>

3.6.4. La Edad Moderna.



Pobl. 153. Chambord en Francia. Palacio de Chambord, años 1519 – 1539 d. C.⁶⁹⁴.



Img. 108. Interior del Palacio de Chambord⁶⁹⁵.



Pobl. 154. Poggio a Caiano en Italia. Villa Medici, año 1520 d. C.⁶⁹⁶.



Pobl. 155. Alhambra de Granada, España. Palacio de Carlos V, años 1527 - 1563⁶⁹⁷.



Pobl. 156. Urbino en Italia. Palacio Ducal de Federico da Montefeltro, años 1459 – 1631 d. C.⁶⁹⁸.



Pobl. 157. Ciudad del Vaticano en Vaticano. Casina de Pío IV, año 1558 d. C.⁶⁹⁹.

⁶⁹⁴ Badji Amadou SALL. (2013). [Web] <http://blog.univ-angers.fr/chambord/?tag=image>

⁶⁹⁵ Comité Régional du Tourisme Centre-Val de Loire [Web] <https://www.valleloira-francia.es/organizar/visitas/castillos/chateau-de-chambord>

⁶⁹⁶ VILLE E GIARDINI MEDICEI IN TOSCANA. (2016-2018). [Web] <https://villegiardinimedicei.it/credits/?lang=en> [Fecha de acceso: 16/05/2022].

⁶⁹⁷ DIMENSION AEREA. (2016-2018). [Web] <http://fr.granadatur.com/page/360-turismo-aventura/>

⁶⁹⁸ PALAZZO DUCAL E URBINO [@GNMarche]. (2020). *BUONGIORNO! Doble signo de exclamación La Galleria Nazionale* [Twitter] <https://tinyurl.com/yedx3xuo> [Fecha de acceso: 16/05/2022].

⁶⁹⁹ CANALE 5. (2019). Minuto 0:58. *La Casina di Pio IV* [Web] https://www.mediasetplay.mediaset.it/video/viaggionellagrandebellezza/la-casina-di-pio-iv_F309871101001C03 [Fecha de acceso: 16/05/2022].



Pobl. 158. Roma, Italia.
Palacio Farnese en Roma, Italia⁷⁰⁰. S. XVI d. C.
1514 -1589 d. C



Pobl. 159. Maser en Italia. Villa Barbaro, años 1560-1570 d. C.⁷⁰¹.
Arquitecto: Andrea Palladio



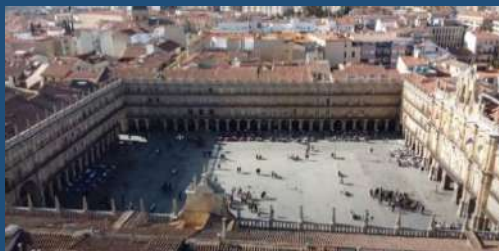
Pobl. 160. Edirne en Turquía. Medical Complex of Beyazit II, años 1481-1512 d. C.⁷⁰².



Img. 109. Complex of Beyazit II⁷⁰³.
Arquitecto: Hayrettin Aga



Pobl. 161. Versalles en Francia. Palacio de Versalles, años 1632 – 1636 d. C. / 1678-1715 d. C.⁷⁰⁴.



Pobl. 162. Salamanca, España. Viviendas en la Plaza Mayor, años 1729-1756 d. C.⁷⁰⁵.

⁷⁰⁰ Martin Benett. (2015). [Web] <https://www.romeing.it/visit-palazzo-farnese/> [Fecha de acceso: 16/05/2022].

⁷⁰¹ CACORNIANI. (2017). [Web] <https://www.coopcacorniani.it/territorio/villa-barbaro-maser-arte-natura-vino/image/> [Fecha de acceso: 16/05/2022].

⁷⁰² [Web] <https://www.islamicarchitecturalheritage.com/listings/complex-of-bayezid-ii> [Fecha de acceso: 16/05/2022].

⁷⁰³ Filanca. (2006). *Beyazit kulliyesi* [Web] https://commons.wikimedia.org/wiki/File:Beyazit_kulliyesi.JPG [Fecha de acceso: 16/05/2022].

⁷⁰⁴ Google. Map data 2020. [Google] <http://www.google.com/maps?hl=en&ll=48.804645,2.120758&z=18> [Fecha de acceso: 16/05/2022].

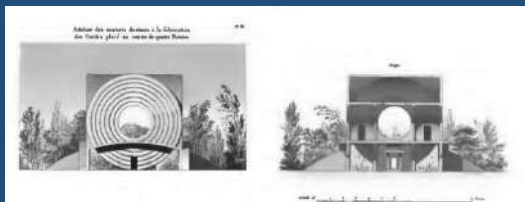
⁷⁰⁵ DRONEPLAY. (2020). Minuto 3:12. *Salamanca desde el cielo (DJI Mavic Mini)*. [Youtube] <https://www.youtube.com/watch?v=k0Sd2MPIQSk> [Fecha de acceso: 16/05/2022].



Pobl. 163. Versailles en Francia. Palacio Petit Trianon, años 1762-1768 d. C.⁷⁰⁶.



Pobl. 164. Bénouville en Francia. Palacio del Marqués de Livry, 1770 – 1780 d. C.⁷⁰⁷.
Arquitecto: Claude-Nicolas Ledoux.



Pobl. 165. Chaux en Francia. Vivienda en el Cruce de cuatro caminos para la Ciudad ideal. Años 1775 – 1780 d. C.⁷⁰⁸.
Arquitecto: Claude-Nicolas Ledoux.



Img. 110. Recreación de la vivienda de la Ciudad ideal en Lons le Saunier, Francia.⁷⁰⁹

⁷⁰⁶ FREDIQUESSY. (2010). *Versalles* [Web] <https://tinyurl.com/yhfkq7sd> [Fecha de acceso: 16/05/2022].

⁷⁰⁷ François Levalet. (2010). *Château de Bénouville (Calvados-FR)*. [Web] <https://www.flickr.com/photos/levalet/5858274528/in/photostream/> [Fecha de acceso: 16/05/2022].

⁷⁰⁸ Claude-Nicolas Ledoux. *L'architecture considérée sous le rapport de l'art, des moeurs et de la législation*. Tome 1. Paris: L'impr. de H. L. Peronneau, p. 178-179, plancha 88.

⁷⁰⁹ Jean Christophe Benoist. (2005) [Web] <https://tinyurl.com/yebg8esp> [Fecha de acceso: 16/05/2022].

Presentación de datos. La vivienda como fuente primaria.

	Población	Entorno NATURAL	Fecha de construcción	Lenguaje arquitectónico, cultura, estilo
153	Chambord, Loir-et-Cher. Francia.	Límite: Parc naturel régional Loire-Anjou-Touraine, Parque Natural Regional de Brenne, Parque Natural Regional de Morvan, Parque Natural Regional de Gâtinais Francés.	Chambord, Francia. Palacio de Chambord ⁷¹⁰ , Francia. 1.519 – 1.539 d. C.	Cultura renacentista.
154	Poggio a Caiano, Prato. Italia.	Límite: Parque Nacional de Foreste Casentinesi, Monte Falterona y Campigna, Reserva Natural Area Naturale Le Balze.	Poggio a Caiano, Italia. Villa Medici en Poggio a Caiano ⁷¹¹ , Italia. 1.520 d. C.	Cultura renacentista: el cuatrocento.
155	Palacio Carlos V. Granada, Granada. España.	Límite: Parque Natural Sierra de Huétor, Parque Nacional de Sierra Nevada, Sierras de Tejeda, Almijara y Alhama Parque Natural, Parque Natural de las Sierras Subbéticas.	Granada, España. Palacio de Carlos V palatina de la Alhambra ⁷¹² . Renacimiento. 1.527 – 1.563 d. C.	Cultura renacentista.
156	Urbino, Pesaro e Urbino. Italia.	Límite: Parco Naturale Regionale Gola della Rossa e di Frasassi, Parque del Monte Cucco, Regional Natural Park of Sasso Simone and Simoncello	Urbino, Italia. Palacio Ducal de Federico da Montefeltro ⁷¹³ en Urbino, Italia. XV-XVI d. C. / 1.459 – 1.631 d. C.	Cultura renacentista: el cuatrocento.
157	Ciudad del Vaticano, Vaticano	Límite: Parco Naturale Regionale di Bracciano Martignano, Riserva Naturale della Marcigliana, Parco dei Castelli Romani, Reserva Natural Estatal Tenuta de Castelporziano, Riserva Naturale Statale del Litorale Romano	Ciudad del Vaticano, Vaticano. Casina de Pío IV ⁷¹⁴ en Città del Vaticano, Vaticano. 1.558 d. C.	Cultura renacentista: el cinquecento.
158	Farnesio. Roma, Roma. Italia.	Límite: Parco Naturale Regionale di Bracciano Martignano, Riserva Naturale della Marcigliana, Parco dei Castelli Romani, Reserva Natural Estatal Tenuta de Castelporziano, Riserva Naturale Statale del Litorale Romano	Roma, Italia. Palacio Farnese ⁷¹⁵ en Roma, Italia. S. XVI d. C. 1.514 -1.589 d. C	Cultura renacentista: el cinquecento.
159	Maser, Treviso. Italia.	Límite: Parco Regionale dei Colli Euganei, Parco Nazionale delle Dolomiti Bellunesi	Maser, Italia. Villa Barbaro ⁷¹⁶ en Maser, Italia. 1.560-1.570 d. C.	Cultura renacentista: el cinquecento.
160	Edirne, Edirne. Turquía	Límite: Strandzha Nature Park, Parque Nacional del Bosque Dadia-Lefkimi-Soufli	Medical Complex of Beyazit II, años 1.481-1.512 d. C. ⁷¹⁷ Arquitecto: Hayrettin Aga	Cultura otomana.

⁷¹⁰ Juan Antonio Ramírez. Op. Cit., p.142.

⁷¹¹ Juan Antonio Ramírez. Op. Cit., p.36.

⁷¹² Juan Antonio Ramírez. Op. Cit., p. 141.

⁷¹³ Juan Antonio Ramírez. Op. Cit., p.34.

⁷¹⁴ Juan Antonio Ramírez. Op. Cit., p.64.

⁷¹⁵ Juan Antonio Ramírez. Op. Cit., p.61.

⁷¹⁶ Juan Antonio Ramírez. Op. Cit., p.69.

⁷¹⁷ Jonathan Bloom y Sheila Blair. *Grove Encyclopedia of Islamic Art & Architecture: Three-Volume Set*. New York City: Oxford University Press USA, 2009, p. 402.

161	Palacio de Versalles, Yvelines. Francia.	Límite: Bosque Nacional La forêt domaniale de Marly, Bosque Nacional Forêt domaniale de Meudon, Parc naturel régional de la Haute Vallée de Chevreuse	Versalles, Francia. Palacio de Versalles ⁷¹⁸ , Francia. Barroco. 1.632 – 1.636 d. C. / 1.678-1.715 d. C	Cultura barroca.
162	Salamanca, Salamanca. España.	Límite: Reserva Natural Garganta de los Infiernos, Parque Natural de Las Batuecas-Sierra de Francia, Parque Regional de la Sierra de Gredos, Parque Natural de Arribes del Duero, Parque Natural del Duero Internacional, Reserva Natural de Lagunas de Villafáfila	Salamanca, España. Viviendas con fachada a la Plaza Mayor de Salamanca, España. 1.729-1.756 d. C.	Cultura barroca.
163	Petit Trianon. Versalles, Yvelines. Francia.	Límite: Bosque Nacional La forêt domaniale de Marly, Bosque Nacional Forêt domaniale de Meudon, Parc naturel régional de la Haute Vallée de Chevreuse	Palacio Petit Trianon en Versalles, Francia. 1.762-1.768 d. C.	Cultura neoclásica.
164	Bénouville, Calvados. Francia.	Límite: Parc naturel régional des Marais du Cotentin et du Bessin - Maison du Parc, Parc Naturel Régional des Boucles de la Seine Normande, Parc naturel régional et Géoparc Normandie-Maine.	Bénouville, Francia. Arquitecto: Ledoux. Palacio del Marqués de Livry en Bénouville, Francia. 1.770 – 1.780 d. C.	Cultura neoclásica.
165	Chaux, Belfort. Francia	Límite: Réserve Naturelle des Ballons Comtois	Chaux, Francia Arquitecto: Ledoux. Vivienda en el Cruce de cuatro caminos para la Ciudad ideal ⁷¹⁹ en Chaux, Francia. 1.775 – 1.780 d. C.	Cultura neoclásica.

Tabla 33. Viviendas singulares de la Edad Moderna.

COORDENADAS

Población	Geolocalización	Coordenadas DMS	Altitud
156 Chambord, Loir-et-Cher. Francia.	https://www.google.com/maps/place/Castillo+de+Chambord/@47.6163531,1.5162865,353m/data=!3m1!1e3!4m1!1m7!3m6!1s0x47e4ba959cee7dbb:0xed3cbc500da2fad5!2s41250+Chambord,+Francia!3b1!8m2!3d47.614158!4d1.516878!3m4!1s0x0:0x6d1fb075610e2871!8m2!3d47.616126!4d1.517218	47° 36' 57.667" N 1° 31' 2.330" E	93 m.
154 Poggio a Caiano, Prato. Italia.	https://www.google.com/maps/place/Villa+medicea+de+Poggio+a+Caiano/@43.8169601,11.0558638,317m/data=!3m1!1e3!4m1!1m9!3m8!1s0x132a5edac7eccc5:0x5afbb73a68253776!2sResidence+De'+Medici!5m2!4m1!1i2!8m2!3d43.8160746!4d11.0583562!3m4!1s0x132a5edaff68719:0xfa68c5c52f2935d!8m2!3d43.8171493!4d11.0561421	43° 49' 1.461" N 11° 3' 21.248" E	49 m.
155 Palacio Carlos V. Granada, Granada. España.	https://www.google.com/maps/place/Palacio+de+Carlos+V/@37.1768209,-3.5914103,417m/data=!3m2!1e3!5s0xd71fcb6f6c150fb:0x1243cc920d5ed57a!4m9!1m2!2m1!1scarlos+v+granada!3m5!1s0xd71fcb7977fb93b:0xe7a92718c1b77d2c!8m2!3d37.176821!4d-3.5899536!1sChBjYXJs3MgdiBncmFuYWRhWhliEGNhcmxv cyB2IGdyYW5hZGGSARNoaXN0b3JpY2FsX2xhbmRtYXJr	37° 10' 36.354" N 3° 35' 23.673" W	780 m.

⁷¹⁸ Juan Antonio Ramírez. Op. Cit., p.179.

⁷¹⁹ LEDOUX, Claude-Nicolas. *L'architecture considérée sous le rapport de l'art, des moeurs et de la législation*. Tome 1. Paris: L'impr. de H. L. Peronneau, 1804, p. 178-179, plancha 88.

Presentación de datos. La vivienda como fuente primaria.

156	Urbino, Pesaro e Urbino. Italia.	https://www.google.com/maps/place/Palacio+Ducal+de+Urbino/@43.7245341,12.6358107,267m/data=!3m1!1e3!4m12!1m6!3m5!1s0x132cf83a5d62f615:0x724d6e34d2bfc949!2sPalacio+Ducal+de+Urbino!8m2!3d43.7243436!4d12.6364709!3m4!1s0x132cf83a5d62f615:0x724d6e34d2bfc949!8m2!3d43.7243436!4d12.6364709	43° 43' 27.203" N 12° 38' 11.179" E	462 m.
157	Ciudad del Vaticano, Vaticano	https://www.google.com/maps/place/Villa+P%C3%ADa/@41.9042281,12.4522751,164m/data=!3m1!1e3!4m12!1m6!3m5!1s0x132f606450af195d:0xcc8f7ddc3bb1cb1d!2sVilla+P%C3%ADa!8m2!3d41.904141!4d12.452478!3m4!1s0x132f606450af195d:0xcc8f7ddc3bb1cb1d!8m2!3d41.904141!4d12.452478	41° 54' 15.600" N 12° 27' 10.597" E	39 m.
158	Farnesio. Roma, Roma. Italia.	https://www.google.com/maps/place/Palacio+Farnesio/@41.8947771,12.4702244,232m/data=!3m1!1e3!4m5!3m4!1s0x132f6045c2cef1af:0xe93358d3356e6ae2!8m2!3d41.8946756!4d12.4706835	41° 53' 41.099" N 12° 28' 14.226" E	32 m.
159	Maser, Treviso. Italia.	https://www.google.com/maps/place/Villa+Barbaro/@45.8121566,11.9762417,182m/data=!3m1!1e3!4m12!1m6!3m5!1s0x477921337df70789:0x4340ee6886eece4a!2sVilla+Barbaro!8m2!3d45.8121349!4d11.976572!3m4!1s0x477921337df70789:0x4340ee6886eece4a!8m2!3d45.8121349!4d11.976572	45° 48' 42.771" N 11° 58' 36.725" E	158 m.
160	Edirne, Turquía	https://www.google.com/maps/place/Complex+Of+Bayezid+II+Health+Museum/@41.6857467,26.5434549,813m/data=!3m1!1e3!4m5!3m4!1s0x0:0xdd55e82241ae304!8m2!3d41.6857627!4d26.5428219	41° 41' 8.054" N 26° 32' 37.407" E	36 m.
161	Palacio de Versalles. Versalles, Yvelines. Francia.	https://www.google.com/maps/place/Palacio+de+Versalles/@48.8051961,2.1188948,1159m/data=!3m1!1e3!4m13!1m7!3m6!1s0x47e67db475f420bd:0x869e00ad0d844aba!2sVersalles,+Francia!3b!8m2!3d48.801408!4d2.130122!3m4!1s0x47e67d94d7b14c75:0x538fcc15f59ce8f!8m2!3d48.8048649!4d2.1203554	48° 48' 15.006" N 2° 7' 21.760" E	133 m.
162	Salamanca, Salamanca. España.	https://www.google.com/maps/place/Plaza+Mayor+de+Salamanca/@40.9650549,-5.6640255,3a,75y,90t/data=!3m8!1e2!3m6!1sAF1QipMiyxhCXC8PrxCus7Gxelf_cxy_4qkIU2HvHaHv!2e10!3e12!6shttps:%2F%2Fh5.googleusercontent.com%2Fp%2F2FAF1QipMiyxhCXC8PrxCus7Gxelf_cxy_4qkIU2HvHaHv%3Dw408-h306-k-no!7i4032!8i3024!4m5!3m4!1s0xd3f2614348fb37d:0x5b5f69036acdc0!8m2!3d40.9650549!4d-5.6640255	40° 57' 54.095" N 5° 39' 50.873" W	825 m.
163	Petit Trianon. Versalles, Yvelines. Francia.	https://www.google.es/maps/place/Peque%C3%B1o+Trian%C3%B3n/@48.8154712,2.1066945,17z/data=!3m1!4b1!4m5!3m4!1s0x47e67d94d7b14c75:0xffa5d5599afcd3cb!8m2!3d48.8154677!4d2.1088832?hl=es	48° 48' 56.114" N 2° 6' 34.862" E	117 m.
164	Bénouville, Calvados. Francia.	https://www.google.com/maps/place/Ch%C3%A2teau+de+B%C3%A9nouville/@49.2393198,-0.2893465,2298m/data=!3m1!1e3!4m13!1m7!3m6!1s0x480a665893bbe9e9:0x40c14484fbcfab0!2sB%C3%A9nouville,+Francia!3b!8m2!3d49.243195!4d-0.278251!3m4!1s0x480a666755460825:0x38f4041b0cef4387!8m2!3d49.2365694!4d-0.2820411	49° 14' 10.042" N 0° 16' 52.941" W	19 m.
165	Chaux, Francia	https://www.google.com/maps/place/Salinas+Reales+de+Arc-et-Senans/@47.0331753,5.7776263,15z/data=!4m5!3m4!1s0x0:0x8626d98cebd3d0b!8m2!3d47.0331753!4d5.7776263	47° 42' 19.809" N 6° 50' 13.611" E	410 m.

Tabla 34. Geolocalización de las viviendas singulares de la Edad Moderna.

3.6.4.1 El lenguaje arquitectónico y la arquitectura heredada.

La elección entre lenguajes arquitectónicos coétaneos suscita controversia. En nuestro caso, esta “capacidad de elección” implica utilizar lenguajes constructivos existentes o crear nuevos.

En la obra del arquitecto Claude-Nicolas Ledoux observamos una elección libre en dos edificios tan diferentes como el palacio del Marqués de Livry (utiliza el lenguaje existente en 1.770 - 1.780 d. C) y la vivienda de la Ciudad Ideal para un cruce de caminos (explora un nuevo lenguaje en 1.775 – 1.780 d. C), como podemos ver en las Imágenes 111 y 112.



Img. 111. Bénouville en Francia. Palacio del Marqués de Livry, 1770 – 1780 d. C.⁷²⁰.



Img. 112. Recreación de la vivienda de la Ciudad ideal en Lons le Saunier, Francia. Diseño años 1775 – 1780 d. C.⁷²¹.

⁷²⁰ [Web] <https://mardevalencia.wordpress.com/tag/palacio-de-benouville/> [Fecha de acceso: 04/02/2022].

⁷²¹ Günther Förg y Greene Naftali. (2005). [Web] <https://www.pinterest.es/pin/contemporary-art-daily--524036106617716076/> [Fecha de acceso: 04/02/2022].

3.6.5. La Edad Contemporánea.



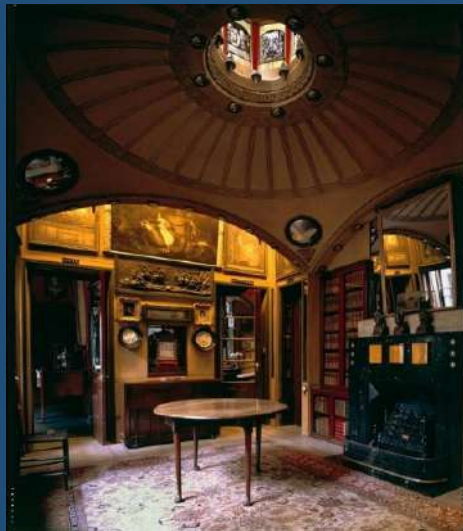
Pobl. 166. Londres en Inglaterra. Barriada Cumberland Terrace, años 1826 d. C⁷²².
T: John Nash y James Thomson.



Pobl. 167. Berlín en Alemania. Nuevo Pavellón en el Palacio de Charlottenburg, años 1824-25 d. C⁷²³.
P: Federico Guillermo III. T: Karl Friedrich Schinkel.



Pobl. 168. Londres en Inglaterra. Casa de Sir John Soane Museum, años 1792 – 1825 d. C⁷²⁴.
T: Sir John Soane.



Img. 113. Interior de la casa de Sir John Soane⁷²⁵.

⁷²² SAVILLS. (2018). [Instagram] <https://www.instagram.com/p/BmVsQ8XDxHq/> [Fecha de acceso: 04/02/2022].

⁷²³ Wolfgang Pfauder [SPSG]. "Neuer Pavillon" (Palacio de Charlottenburg). [Web] <https://www.museumportal-berlin.de/es/museos/neuer-pavillon-im-schlosspark-charlottenburg-stiftung-preuische-schlosser-und-garten-berlin-brandenburg/> [Fecha de acceso: 04/02/2022].

⁷²⁴ Sir John Soane's Museum [@soanemuseum]. (2020). *Following recent recommendations from Public Health England...* [Instagram] <https://www.instagram.com/p/B92CFPljIIM/> [Fecha de acceso: 04/02/2022].

⁷²⁵ [@soanefoundation]. (2020). *Sir John Soane* [Instagram] <https://tinyurl.com/yzfupxyr> [Fecha de acceso: 04/02/2022].



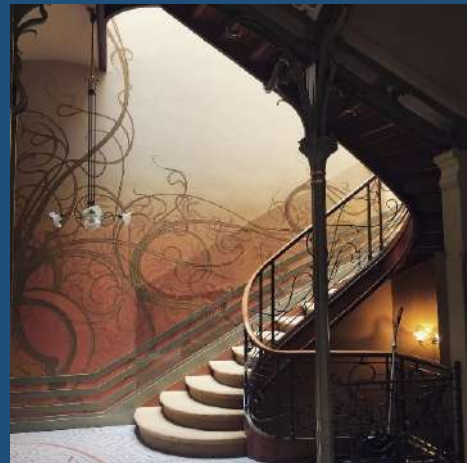
Pobl. 169. París en Francia. Casa Coignet, año 1853 d. C.⁷²⁶.
T: François Goignet.



Pobl. 170. Nueva York en Estado Unidos (USA). Park Row Building, años 1896-1899 d. C.⁷²⁷.
Revolución Industrial.. T: Robert Henderson Robertson.



Pobl. 171. Bruselas en Países Bajos. Casa Tassel, años 1892-1893 d. C.⁷²⁸.
T: Victor Horta.



Img. 114. Interior de la Casa Tassel⁷²⁹.

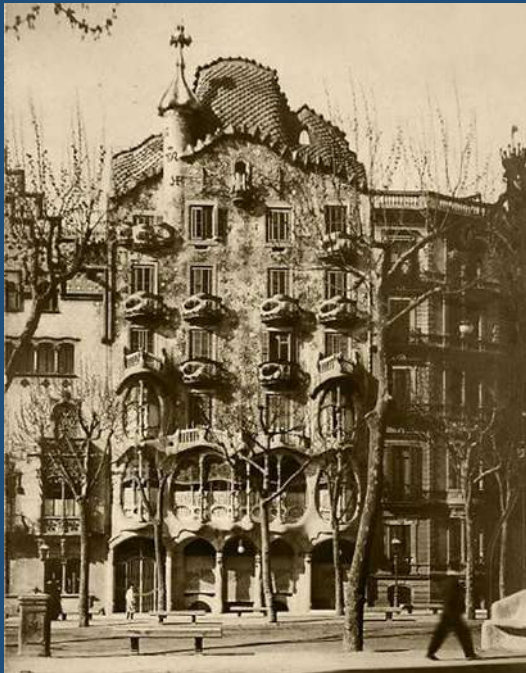
⁷²⁶ Eric Bajart. (2010). *Facing south and east*. [Web]

https://upload.wikimedia.org/wikipedia/commons/0/01/Maison_Fran%C3%A7ois_Coignet_2.jpg [Fecha de acceso: 04/02/2022].

⁷²⁷ Irving Underhill. (1912). *Park Row Building, 21 Park Row*. LC-DIG-ppmsca-54254 (digital file from original photo) LC-USZ62-127126 (b&w film copy neg.) Library of Congress Prints and Photographs Division Washington, D.C. 20540 USA [Web] <http://loc.gov/pictures/resource/cph.3c27126/> [Fecha de acceso: 04/02/2022].

⁷²⁸ Victor Horta. (1893). [Web] <http://rubens.anu.edu.au/htdocs/surveys/modarch/byarch/display00130.html> [Fecha de acceso: 04/02/2022].

⁷²⁹ Fran Roy. [@franroy]. (2017). *Hôtel Tassel*. [Instagram] <https://www.instagram.com/p/BXIHrRpIUfm/> [Fecha de acceso: 04/02/2022].



Pobl. 172. Barcelona en España. Casa Batlló, años 1904-1906 d. C.⁷³⁰.
P: D. Josep Batlló y Casanovas. T: Antoni Gaudí.



Img. 115. Interior de la Casa⁷³¹.



Pobl. 173. Bruselas en Bélgica. Palacio Stoclet, años 1905-1911 d. C.⁷³².
P: Adolphe Stoclet. T: Josef Hoffmann.



Pobl. 174. Viena en Austria. Casa Steiner, año 1910 d. C.⁷³³.
P: Lilly Steiner. T: Adolf Loos

⁷³⁰ B y P. (1910). [Web] <https://i.pinimg.com/originals/6a/a4/23/6aa4236fe6195d30ca9987d28bd6e884.jpg> [Fecha de acceso: 04/02/2022].

⁷³¹ CASA BATLLO - GAUDÍ BARCELONA [@casabatllo]. (2020). [Instagram] <https://www.instagram.com/p/CD1hk9XpTRq/> [Fecha de acceso: 04/02/2022].

⁷³² *El palacio Stoclet*. (2015). [Web] <http://projetautriche.blogspot.com/2015/02/le-palais-stoclet.html> [Fecha de acceso: 04/02/2022].

⁷³³ (1910). *Adolf Loos, Casa Steiner, Vienna, 1910*. [Web] https://colorgrammar.wordpress.com/non_profit_campaigns/adolf-loos-casa-steiner-vienna-1910/ [Fecha de acceso: 04/02/2022].



Pobl. 175. Utrecht en Países Bajos. Casa Schröder, años 1924 – 1925. D. C.⁷³⁴.

P: Geertruida Antonia Schröder –Schräder (Truus Schröder). T: Truus Schröder y Gerrit Rietveld.



Img. 116. Reconstrucción de la Casa Schröder⁷³⁵.



Pobl. 176. México en México.
Casa estudio de Luis Barragán, año 1948 d. C.⁷³⁶.



Img. 117. Interior de la casa estudio de Luis Barragán⁷³⁷.

⁷³⁴ SCHRÖDER. (1925). *Doc. Centraal Museum. Dokumentasi tampak luar Rumah Rietveld Schorder pada 1925, dianggap sebagai mahakarya De Stijl*. [web] <https://sarasvati.co.id/news/architecture/11/mahakarya-de-stijl/> [Fecha de acceso: 04/02/2022].

⁷³⁵ YUSUKE - ユウスケ[@yusuke1791]. (2020). *日常の所作を美しくしてくれそうな、そんな雰囲気 Rietveld Schröder House*. [Web] <https://www.instagram.com/p/B-j3mrWANKU/> [Fecha de acceso: 04/02/2022].

⁷³⁶ [Web] https://www.museosdemexico.com/fr/casa-luis-barragan_82.html [Fecha de acceso: 04/02/2022].

⁷³⁷ [Web] <https://www.facebook.com/casaestudio.luisbarragan/photos/a.1552235308368291/1552235298368292> [Fecha de acceso: 04/02/2022].



Pobl. 177. Oporto en Portugal. House Cinema de Manuel Oliver, año 2003⁷³⁸. Arquitecto: Eduardo Souto de Mora. Premio Pritzker 2011.



Img. 119. Casa en Quinta do Lado.⁷⁴⁰ Arquitecto: Eduardo Souto de Mora.



Img. 118. Rehabilitación para posada del Monasterio de Santa María do Bouro⁷³⁹. Arquitecto: Eduardo Souto de Mora.

⁷³⁸ Edourdao Souto de Moura. [Web] <https://www.pritzkerprize.com/laureates/2011> [Fecha de acceso: 04/02/2022].

⁷³⁹ [Web] <https://www.archiweb.cz/en/b/hotel-v-amares-pousada-de-santa-maria-do-bouro> [Fecha de acceso: 04/02/2022].

⁷⁴⁰ [Web] <http://algarvehoy.com/casa-en-quinta-do-lago-puede-convertirse-en-monumento-de-interes-nacional/> [Fecha de acceso: 04/02/2022].



Pobl. 178. Sevilla en España. Casa en la calle San Fernando, año 1972⁷⁴¹. Arquitecto: Rafael Manzano Martos. Premio Driehaus 2010.



Img. 120. Sevilla en España. Casa en la calle San Fernando, año 1972⁷⁴². Arquitecto: Rafael Manzano Martos.



Img. 122. Casa en la calle San José en Sevilla, año 1993⁷⁴⁴. Arquitecto: Rafael Manzano Martos



Img. 123. Reconstrucción del Salón Rico en Medina Azahara⁷⁴⁵. Arquitecto: Rafael Manzano Martos



Img. 121. Reconstrucción del Salón Rico en Medina Azahara⁷⁴³. Arquitecto: Rafael Manzano Martos

⁷⁴¹ Irene Pérez-Porro Stillman. Minuto 1:23. *Rafael Manzano Martos: Premio Richard H. Driehaus 2010* [Web] <https://www.youtube.com/watch?v=0iq33b9BrIU> [Fecha de acceso: 04/02/2022].

⁷⁴² [Web] <https://www.epdlp.com/arquitecto.php?id=11174> [Fecha de acceso: 04/02/2022].

⁷⁴³ *Rafael Manzano en pleno montaje de los restos del Salón Rico de Medina Azahara, con un visitante no identificado (ARM)*. [Web] https://www.researchgate.net/publication/321923204_Sobre_Arqueologia_y_Arquitectura_en_Medina_Azahara_Entrevista_a_Rafael_Manzano_Martos/figures?lo=1 [Fecha de acceso: 04/02/2022].

⁷⁴⁴ [Web] <https://www.epdlp.com/arquitecto.php?id=11174> [Fecha de acceso: 04/02/2022].

⁷⁴⁵ Instituto andaluz de patrimonio histórico.

Presentación de datos. La vivienda como fuente primaria.

	Población	Entorno NATURAL	Fecha de construcción	Lenguaje arquitectónico, cultura, estilo
166	Cumberland. Londres, Inglaterra.	Límite: Colne Valley Regional Park, Surrey Hills Area of Outstanding Natural Beauty	Londres. Barrio Cumberland Terrace ⁷⁴⁶ en Londres, Inglaterra. 1826 d. C. T: John Nash y James Thomson.	Clasicismo romántico.
167	Berlín, Alemania.	Límite: Reserva Natural Südostniederbarnimer Weiherketten, Reserva Natural Tegel forest (southern part), Bosque Nacional Spandauer Forst, Reserva Natural Königswald mit Havelseen und Seeburger Agrarlandschaft, Forest Grunewald.	Berín, Alemania. Nuevo Pavellón en Palacio de Charlottenburg ⁷⁴⁷ en Berlín, Alemania. 1824-25. P: Federico Guillermo III. T: Karl Friedrich Schinkel.	Clasicismo romántico.
168	Soane. Londres, Inglaterra	Límite: Colne Valley Regional Park, Surrey Hills Area of Outstanding Natural Beauty	Casa de Sir John Soane Museum en Londres, Inglaterra. 1792 – 1825 d. C.	Neoclásico
169	Saint-Denis, Seine-Saint-Denis. Francia.	Límite: Parc départemental Georges-Valbon, Parc des Buttes-Chaumont, Bosque de Boulogne.	Casa Coignet ⁷⁴⁸ en París, Francia. Revolución Industrial. 1853. T: François Coignet.	Revolución Industrial. Sistema constructivo: Hormigón armado.
170	Nueva York, Usa.	Límite: South Mountain Reservation, Reserva Natural Great Swamp National Wildlife Refuge. Parque estatal Harriman State Park.	Park Row Building EN Nueva York ⁷⁴⁹ , Estados Unidos. 1896-1899. T: Robert Henderson Robertson.	Revolución Industrial. Sistema constructivo: rascacielos.
171	Casa Tassel. Bruselas, Bélgica.	Límite: Reserva Natural Kravaalbos, Bosque Nacional Hallerbos, Parque estatal Huldenberg.	Casa Tassel ⁷⁵⁰ en Bruselas, Países Bajos. 1892-1893. T: Victor Horta.	Revolución Industrial. Modernismo.
172	Casa Batlló. Barcelona, España.	Límite: Parque Natural de la Sierra de Collserola, Delta del Llobregat, Reserva Natural Montañas de Ordal.	Casa Batlló ⁷⁵¹ en Barcelona, España. 1904-1906. P: D. Josep Batlló y Casanovas. T: Antoni Gaudí.	Revolución Industrial. Modernismo.
173	Palacio Bruselas. Bruselas. Bélgica	Límite: Reserva Natural Kravaalbos, Bosque Nacional Hallerbos, Parque estatal Huldenberg.	Palacio Stoclet ⁷⁵² en Bruselas, Bélgica. Revolución Industrial - Modernidad. 1905-1911. P: Adolphe Stoclet. T: Josef Hoffmann.	Arquitectura moderna del siglo XX.
174	Viena, Austria.	Límite: Parque Sankt Veit Gate, Parque Lainzer Tiergarten, Parque Pötzleinsdorfer Schloss Park	Casa Steiner, Viena ⁷⁵³ . 1910. P: Lilly Steiner. T: Adolf Loos	Arquitectura moderna del siglo XX.

⁷⁴⁶ Juan Antonio Ramírez. *Historia del Arte, IV. El mundo contemporáneo*. Madrid: Alianza Editorial, 1997, p. 7.

⁷⁴⁷ Juan Antonio Ramírez. Op. Cit., p.9.

⁷⁴⁸ Mark Gavin Alexander. "Service life design and modelling of concrete structures – background, developments, and implementation". *Revista ALCONPAT*, 8.3 (2018), pp. 227-228. <https://doi.org/10.21041/ra.v8i3.325>

⁷⁴⁹ Juan Antonio Ramírez. Op. Cit., p.36.

⁷⁵⁰ Juan Antonio Ramírez. Op. Cit., p.39.

⁷⁵¹ Juan Antonio Ramírez. Op. Cit., p.44.

⁷⁵² Juan Antonio Ramírez. Op. Cit., p.275.

⁷⁵³ Juan Antonio Ramírez. Op. Cit., p.276.

175	Utrech, Países Bajos (Netherlands).	Límite: Parque Nacional Hoge Veluwe, Parque Nacional Veluwezoom, Nationaal Park De Biesbosch, Nationaal Park Loonse en Drunense Duinen	Casa Schröder ⁷⁵⁴ en Utrech, Países Bajos. 1924 – 1925. P: Geertruida Antonia Schröder –Schröder (Truus Schröder). T: Truus Schröder y Gerrit Rietveld.	Arquitectura moderna del siglo XX. Estilo Internacional.
176	México, México.	Límite: Parque Nacional Cumbres del Ajusco, Parque Nacional La Marquesa, Parque Nacional Cumbres Sierra Nevada, Parque Nacional El Tepozteco, Parque Nacional Iztaccihuatl – Popocatepetl.	México, México. Casa estudio de Luis Barragán. 1948 ⁷⁵⁵ .	Arquitectura moderna del siglo XX. Estilo Internacional.
177	Oporto, Portugal.	Parque das Serras do Porto. Límite: Parque Natural de la Sierra de la Estrella, Parque Natural de Arribes del Duero, Parque Nacional de Peneda-Gerês, Serra de Canelas / Negrelos	House Cinema de Manuel Olivera. Arquitecto: Eduardo Souto de Mora ⁷⁵⁶ .	Vivienda contemporánea. Premio Pritzker 2011
178	Sevilla, España.	Límite: Reserva Natural Brazo del Este, Parque Nacional de Doñana, Parque Natural Sierra de Hornachuelos, Reserva Natural Sierra Norte.	Casa en la Calle San Fernando. Arquitecto: Rafael Manzano Martos ⁷⁵⁷ .	Vivienda contemporánea. Premio Pritzker 2010
178	Medina Azahara, Córdoba. España.	Límite: Parque Natural Sierra de Hornachuelos, Parque Natural Sierra de Cardeña y Montoro, Parque Natural de las Sierras Subbéticas	Reconstrucción del Salón Rico en Medina Azahara	Restauración contemporánea. Premio Pritzker 2010

Tabla 35. Viviendas singulares de la Edad Contemporánea.

Coordenadas:

	Población	Geolocalización	Coordenadas DMS	Altitud
166	Cumberland. Londres, Inglaterra.	https://www.google.com/maps/place/Cumberland+Terrace,+London,+Reino+Unido/@51.5321861,-0.1472029,329m/data=!3m1!1e3!4m13!1m7!3m6!1s0x48761ade991dae69:0xf6170f2a839cc645!2sCumberland+Terrace,+London,+Reino+Unido!3b1!8m2!3d51.5321861!4d-0.1462827!3m4!1s0x48761ade991dae69:0xf6170f2a839cc645!8m2!3d51.5321861!4d-0.1462827	51° 31' 55.708" N 0° 8' 46.338" W	31 m.
167	Berlín, Alemania.	https://www.google.com/maps/place/New+pavilion+in+the+palace+garden+of+Charlottenburg/@52.5213187,13.2983922,159m/data=!3m1!1e3!4m9!1m2!2m1!1spalacio+charlottenburg+nuevo+pavillon!3m5!1s0x47a851255ddde7fd:0x234d02c9d6b4c063!8m2!3d52.5213187!4d13.2991205!1sCiVwYWhY2lvIGNoYXJsb3R0ZW5idXJnIG51ZXZvIHBhdnVsbG9ukgETaGlzdG9yaWNhbF9sYW5kbWFyaw	52° 31' 16.785" N 13° 17' 56.360" E	37 m.
168	Casa Soane. Londres, Inglaterra	https://www.google.com/maps/place/Museo+Soane/@51.5169837,-0.1179433,81m/data=!3m1!1e3!4m9!1m2!2m1!1ssir+john+londres!3m5!1s0x48761b4a94370469:0xdb8be3c9759aab99!8m2!3d51.5169837!4d-0.1174283!1sChBzaXIgam9obiBsb25kcmVzWhliEHNpciBqb2hulGxvbmRyZXOSAQQZidXNldW0	51° 31' 1.014" N 0° 7' 2.393" W	22 m.

⁷⁵⁴ Juan Antonio Ramirez. Op. Cit., p.285.

⁷⁵⁵ Casa Luis Barragán. [Web] <http://www.casaluisbarragan.org/> [Fecha de acceso: 04/02/2022].

⁷⁵⁶ The Pritzker Architecture Prize. Premio Prizer 2011. [Web] <https://www.pritzkerprize.com/laureates/2011> [Fecha de acceso: 04/02/2022].

⁷⁵⁷ Richard H. Driehaus Prize. Premio Driehaus 2010. [Web] <https://architecture.nd.edu/news-events/events/driehaus-prize/recipient/rafael-manzano-martos/> [Fecha de acceso: 04/02/2022].

Presentación de datos. La vivienda como fuente primaria.

169	Saint-Denis, Seine-Saint-Denis. Francia.	https://www.google.com/maps/place/Rue+Charles+Michels,+93200+Saint-Denis,+Francia/@48.9309735,2.3418708,86m/data=!3m1!1e3!4m5!3m4!1s0x47e66ece83c6691b:0x98e8ddb367c6bd54!8m2!3d48.9316993!4d2.3427162	48° 55' 51.011" N 2° 20' 31.075" E	35 m.
170	Nueva York, Usa.	https://www.google.com/maps/place/Park+Row+Building/@40.7107319,-74.0080678,20.5z/data=!4m12!1m6!3m5!1s0x89c25a1867ee8143:0x8a3256c778dd2f8!2sPark+Row+Building!8m2!3d40.7107837!4d-74.0078512!3m4!1s0x89c25a1867ee8143:0x8a3256c778dd2f8!8m2!3d40.7107837!4d-74.0078512	40° 42' 38.949" N 74° 0' 28.144" W	32 m.
171	Casa Tassel. Bruselas. Bélgica.	https://www.google.com/maps/place/Casa+Tassel/@50.8278339,4.3613182,18z/data=!4m12!1m6!3m5!1s0x47c3c48ca1178643:0x59047c48f1062ddf!2sCasa+Tassel!8m2!3d50.8278514!4d4.3619478!3m4!1s0x47c3c48ca1178643:0x59047c48f1062ddf!8m2!3d50.8278514!4d4.3619478	50° 49' 40.117" N 4° 21' 43.144" E	76 m.
172	Casa Batlló. Barcelona, Barcelona. España.	https://www.google.com/maps/place/Casa+Batll%C3%B3/@41.3916724,2.1646785,19.5z/data=!4m12!1m6!3m5!1s0x12a4a2ed494b4161:0x40d2782f9e2e4e0f!8m2!3d41.3917281!4d2.1649487	41° 23' 29.767" N 2° 9' 53.460" E	47 m.
173	Palacio Stoclet. Bruselas. Bélgica	https://www.google.com/maps/place/Palacio+Stoclet,+1150+Woluwe-Saint-Pierre,+B%C3%A9lgica/@50.8351529,4.4139966,17z/data=!4m13!1m7!3m6!1s0x47c3db4fd510340d:0xc661fe0e2d8bcc42!2sPalacio+Stoclet,+1150+Woluwe-Saint-Pierre,+B%C3%A9lgica!3b1!8m2!3d50.8351529!4d4.4161853!3m4!1s0x47c3db4fd510340d:0xc661fe0e2d8bcc42!8m2!3d50.8351529!4d4.4161853	50° 50' 6.401" N 4° 24' 58.461" E	85 m.
174	Viena. Austria.	https://www.google.com/maps/place/Casa+Steiner/@48.1838979,16.2820926,18z/data=!4m12!1m6!3m5!1s0x476da7ea4760684d:0xfda729ad50825944!2sCasa+Steiner!8m2!3d48.1839151!4d16.2831177!3m4!1s0x476da7ea4760684d:0xfda729ad50825944!8m2!3d48.1839151!4d16.2831177	48° 11' 2.055" N 16° 16' 59.244" E	202 m.
175	Utrecht, Países Bajos (Netherlands).	https://www.google.com/maps/place/Casa+Rietveld+Schr%C3%B6der/@52.0853216,5.1469046,18z/data=!4m12!1m6!3m5!1s0x47c668a5f6c7fbef:0x946051912fa7ee09!2sCasa+Rietveld+Schr%C3%B6der!8m2!3d52.0853057!4d5.1475414!3m4!1s0x47c668a5f6c7fbef:0x946051912fa7ee09!8m2!3d52.0853057!4d5.1475414	52° 5' 7.272" N 5° 8' 51.236" E	13 m.
176	México, Mexico.	https://www.google.com/maps/place/Casa+Estudio+Luis+Barrag%C3%A1n/@19.4110591,-99.192691,147m/data=!3m1!1e3!4m5!3m4!1s0x85d201e1a46a250f:0x5a5e4fdc58f57a53!8m2!3d19.4111681!4d-99.1923652	19° 24' 40.094" N 99° 11' 32.460" W	2274 m.
177	Oporto, Portugal.	https://www.google.com/maps/place/Manoel+de+Oliveira+Cinema+House/@41.1537296,-8.6694287,145m/data=!3m1!1e3!4m9!1m2!2m1!1scinema+house+souto+de+mora!3m5!1s0xd246f828cf7605b:0x39e8d7306ba4137c!8m2!3d41.1537553!4d-8.6687416!15sChpjW5lWEgaG91c2Ugc291dG8gZGUgbW9yYZIBBXzpbGxh	41° 9' 13.483" N 8° 40' 7.806" W	50 m.
178	Sevilla, España.	https://www.google.com/maps/place/37%C2%B022'55.2%22N+5%C2%B059'28.7%22W/@37.3819946,-5.9918386,216m/data=!3m2!1e3!4b1!4m5!3m4!1s0x0:0x39bc40e8d88e8114!8m2!3d37.3819946!4d-5.9912914	37° 22' 55.228" N 5° 59' 28.292" W	13 m
178	Medina Azahara, Córdoba. España.	https://www.google.com/maps/place/Medina+Azahara+-+Conjunto+Arqueol%C3%B3gico+Madinat+al-Zahra/@37.8865632,-4.870369,826m/data=!3m2!1e3!4b1!4m5!3m4!1s0xd6cd871806f2df1:0xa6d8f2cac7862921!8m2!3d37.886559!4d-4.868175	37° 53' 9.591" N 4° 52' 2.104" W	187 m.

Tabla 36. Geolocalización de las viviendas singulares de la Edad Contemporánea.

3.6.5.1 El lenguaje arquitectónico y la arquitectura heredada.

En la actualidad continúa el debate sobre la “capacidad de elección” porque implica utilizar lenguajes constructivos existentes o crear nuevos.

En la estancia para dormir (construida con una planta libre sin tabiques) observamos el resultado de utilizar diferentes lenguajes para recrear un mismo espacio, como podemos ver en la “vivienda tradicional” de Topli Do en Serbia (Img. 124) y en las viviendas de los arquitectos Truus Schröder del año 1925 (Img. 125-126) y Josefa López del Valle del año 2016 en (Img. 127-128).



Img. 124. Topli Do, Serbia. Casa Najde Jandrić⁷⁵⁸.

Encontramos el mismo espacio (estancia para dormir) con diferentes lenguajes constructivos (casa de Topli Do-“tradicional”, Schröder-Movimiento Moderno y López del Valle-“tradicional del Albayzín”), en diferentes localizaciones (casa de Topli Do-pueblo rural, Schröder-borde de la ciudad⁷⁵⁹ y López del Valle-barrio periférico de ciudad⁷⁶⁰). En estos ejemplos, el uso de la luz y la función son similares, sin embargo, la cualidad espacial y las sensaciones percibidas son muy diferentes.

⁷⁵⁸ Igor Lenc. (2019) *Домаћинство Најде Јандрић* [Web] <https://goo.gl/maps/syjmrMTJDvieceLfs8> [Fecha de acceso: 04/02/2022].

⁷⁵⁹ La casa original de Schröder del año 1925 está situada en el borde de la ciudad y hay una fuerte conexión con la naturaleza a través de los grandes ventanales. El lenguaje utilizado es característico del Movimiento Moderno. En la Imagen 125 podemos ver la planta libre del dormitorio y estudio cuando estaba siendo utilizada.

⁷⁶⁰ La casa actualmente habitada de López del Valle está en un barrio de la ciudad que tiene una intensa conexión con el paisaje natural y con el entorno urbano. El lenguaje utilizado es característico de la “vivienda tradicional” del Albayzín. En la Imagen 128 podemos ver la planta libre del dormitorio y estudio durante el proceso constructivo.



Img. 125. Utrecht, Países Bajos.
Habitación superior diáfana para dormitorios de la vivienda propia del arquitecto Antonia Schröder – Schröder (Truus Schröder), años 1924 – 1925⁷⁶¹.



Img. 126. Utrecht, Países Bajos.
Habitación superior diáfana para dormitorios de la vivienda propia del arquitecto Antonia Schröder – Schröder (Truus Schröder), año 2000⁷⁶².



Img. 127. Granada, España.
Habitación superior diáfana para dormitorios de la vivienda propia del arquitecto Josefa López del Valle, años 2010-2016 (Jose)⁷⁶³.



Img. 128. Granada, España.
Habitación superior diáfana para dormitorios de la vivienda propia del arquitecto Josefa López del Valle, años 2010-2016 (Jose)⁷⁶⁴.

⁷⁶¹ Imagen de la casa Rietveld Schröder - interior arriba - habitación de niñas con camas hechas [Web]
<https://thechanelhouse.org/2014/06/07/rietvelds-schroderhuis-in-utrecht-1924/> [Fecha de acceso: 04/02/2022].

⁷⁶² [Web] <http://architecture-history.org/architects/architects/RIETVELD/OBJ/1925,%20Schr%C3%B6der%20House,%20Utrecht,%20the%20Netherlands.html> [Fecha de acceso: 04/02/2022].

⁷⁶³ Fotografía año 2016. Archivo JLV.

⁷⁶⁴ Fotografía año 2016. Archivo JLV.

3.7. COMBINACIÓN 5: VIVIENDAS EXCAVADAS.

Nuestro objetivo en esta combinación es buscar si existe una correlación arquitectónica entre la vivienda excavada (como método constructivo), la dualidad sierra-valle y el espacio histórico (Fig. 18).

Tendremos en cuenta la “casa híbrida” (con estancias subterráneas y aéreas). Parece que la combinación de dos sistemas constructivos tan diferentes está relacionada con el bienestar, aunque la encontramos en diferentes tiempos históricos (p. ej. en las casas fenicias “híbridas”⁷⁶⁵ del III milenio a. C. en Amrit en Siria)⁷⁶⁶. Por este motivo, buscaremos también la evolución técnica de un mismo lenguaje constructivo.

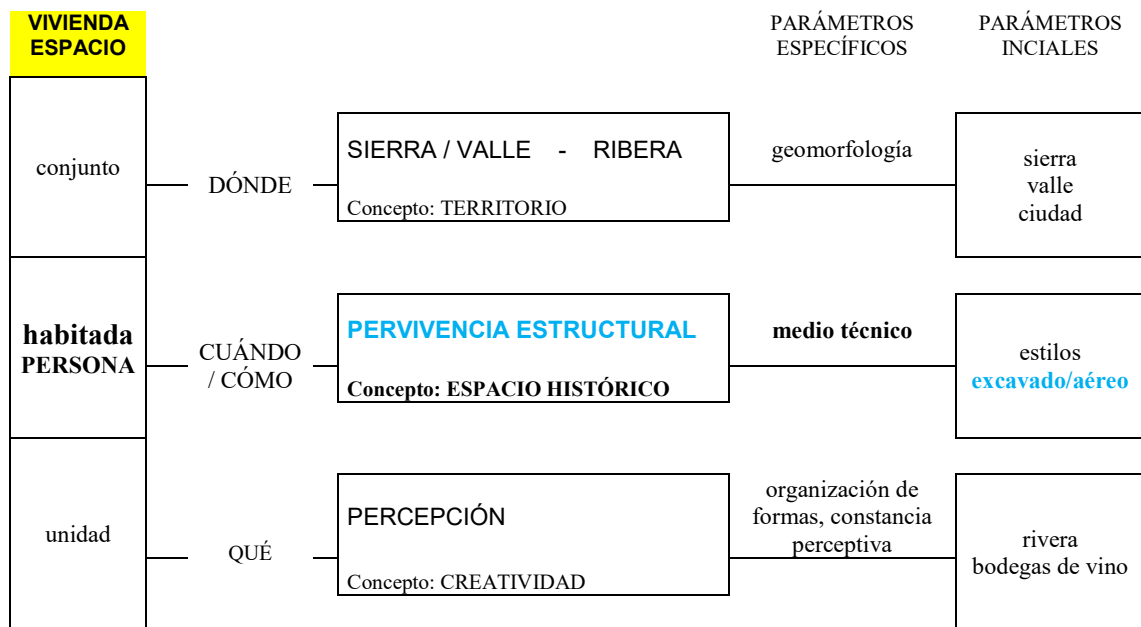


Fig. 18. Combinación 5: excavado / aéreo

Elegimos las pervivencias de la cultura fenicia como parámetro específico para evaluar la influencia de los pueblos del mar. Además, los fenicios son conocidos como un pueblo

⁷⁶⁵ La vivienda fenicia híbrida de Amrit del III milenio a. C., encontrada por Ernest Renan en Siria, está compuesta por espacios subterráneos excavados en la piedra y por espacios aéreos construidos con muros de piedra.

⁷⁶⁶ M. Ernest Renan, *Mission de Phenicie*. Planches. Dirección de ejecución de dibujos M. Thoois). Paris: Michel Levy Freres, 1864, Lámina L. La lámina también coincide con la descripción de casa fenicia mitad estructura aérea de piedra y mitad excavada en piedra en Amrit. En: M. Ernest Renan. Op. Cit., p. 91 y 92.

de constructores (según la tradición)⁷⁶⁷ que transmitió su técnica constructiva a las ciudades que fundaron por el litoral mediterráneo (p. ej. el Cerro del Villar en España)⁷⁶⁸.



Img. 129. Oum el Awamid (Amrit), Siria.
Lámina L con casas fenicias en Oum el Awaid, Siria.
Cultura fenicia. Fundación de Amrit: 3.000 a.C.⁷⁶⁹



Img. 130. Casa con el embarcadero en primer plano
en Cerro del Villar, España⁷⁷⁰.
Fundación fenicia, años 800 – 570 AC.

Comprobamos que existen viviendas “híbridas” habitadas en la actualidad y deshabitadas (porque están en ruina o han sido abandonadas). Además, intuimos que la combinación de dos sistemas constructivos tan diferentes está relacionado con el bienestar, por este motivo, buscaremos también la evolución técnica de un mismo lenguaje constructivo.

⁷⁶⁷ J. A. Martín Ruiz. “Hiram, rey de Tiro”. *Herakleion: Revista Interdisciplinar de Historia y Arqueología del Mediterráneo*, 3 (2010), pp. 7-35.

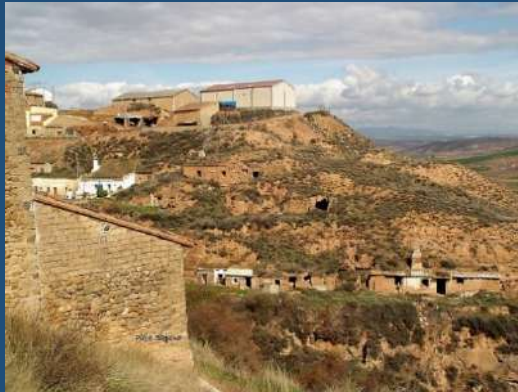
⁷⁶⁸ Gregorio Torres. *Fotografía de la campaña 2003*. VÁZQUEZ, Alfonso. [Web] <https://www.laopiniondemalaga.es/malaga/2019/06/23/ciudad-fenicia-intacta-espera/1097333.html> [Fecha de acceso: 16/05/2022].

⁷⁶⁹ M. Ernest Renan. *Mission de Phénicie*. Planches. Dirección de ejecución de dibujos M. Thoois). París: Michel Levy Freres, 1864, Lámina L. La lámina también coincide con la descripción de casa fenicia mitad estructura aérea de piedra y mitad excavada en piedra en Amrit. En: M. Ernest Renan. Op. Cit., p. 91 y 92.

⁷⁷⁰ Gregorio Torres. *Fotografía de la campaña 2003*. En: La Opinión visita con el arqueólogo Eduardo García Alfonso, que ha trabajado nueve campañas en el Cerro del Villar, este yacimiento único en el mundo porque bajo tierra aguarda una colonia fenicia intacta sobre la que nadie reedificó. [Web] <https://www.laopiniondemalaga.es/malaga/2019/06/23/ciudad-fenicia-intacta-espera/1097333.html> [Fecha de acceso: 16/05/2022].

3.7.1.Ladera.

3.7.1.1 Excavada en Ladera. Mediterráneo en península: España.



Pobl. 179. Ausejo, España⁷⁷¹.



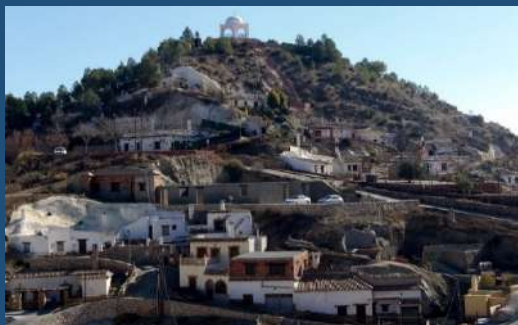
Pobl. 180. Benalúa, Guadix⁷⁷².



Pobl. 181. Baltanás, España⁷⁷³



Pobl. 182. San Miguel de las Salinas, España⁷⁷⁴.



Pobl. 183. Terque, España⁷⁷⁵.



Pobl. 184. Bardallur, España⁷⁷⁶.

⁷⁷¹ Paca Sapena. (2012). *ASEJO – La Rioja*. [Web] <https://puertasconvivencias.blogspot.com/2012/03/ausejo.html> [Fecha de acceso: 16/05/2022].

⁷⁷² J. Grosso. (2020). *Benalúa*. [Web] <https://www.dipgra.es/amplia-actualidad/noticias-inicio/diputacion-pone-marcha-un-plan-urgencia-social-dotado-un-millon-euros-cubrir-necesidades-basicas-durante-crisis> [Fecha de acceso: 16/05/2022].

⁷⁷³ Desarrollo Local Baltanás. [Web] <https://www.minube.net/photos/baltanas-c232145#gallery-modal> [Fecha de acceso: 16/05/2022].

⁷⁷⁴ [Web] <https://www.yourspain.net/san-miguel-de-salinas/> [Fecha de acceso: 16/05/2022].

Presentación de datos. La vivienda como fuente primaria.

	Población	Entorno NATURAL	Restos arqueológicos de fenicios/pueblos del mar	Agrupación de viviendas: INDIVIDUAL/COLECTIVA
179	Ausejo, La Rioja. España	Límite: Parque Natural Sierra de Cebollera, Parque Natural de Izki, Montes de Valdorba	INDETERMINADO. No he encontrado evidencias.	La vivienda se desarrolla en un único volumen compacto excavado en la piedra. Algunas viviendas crecen en horizontal, con nuevos volúmenes conectados. Las viviendas conforman un conjunto compacto visible exterior por las salidas individuales de cada vivienda.
180	Guadix, Granada. España	Límite: Dehesa Del Camarate, Parque Natural Sierra de Baza, Parque Nacional de Sierra Nevada, Parque Natural de Sierra Mágina, Desierto de Tabernas	INDETERMINADO. No he encontrado evidencias.	La vivienda se desarrolla en un único volumen compacto excavado en la piedra. Algunas viviendas crecen en horizontal o vertical, con nuevos volúmenes conectados. Las viviendas conforman un conjunto compacto visible exterior por las salidas individuales de cada vivienda.
181	Baltanás, Palencia. España	Límite: Parque Natural Hoces del Río Riaza, Reserva Natural de Lagunas de Villafáfila	INDETERMINADO. No he encontrado evidencias.	La vivienda se desarrolla en un único volumen compacto excavado en la piedra. Algunas viviendas crecen en horizontal, con nuevos volúmenes conectados. Las viviendas conforman un conjunto compacto visible exterior por las salidas individuales de cada vivienda.
182	San Miguel de las Salinas, Alicante. España	Límite: Parque Natural de Las Lagunas de La Mata y Torrevieja, Bosque Nacional Los Ginovinos	INDETERMINADO. No he encontrado evidencias.	La vivienda se desarrolla en un único volumen compacto excavado en la piedra. Algunas viviendas crecen en horizontal, con nuevos volúmenes conectados. Las viviendas conforman un conjunto compacto visible exterior por las salidas individuales de cada vivienda.
183	Terque, Almería. España	Límite: Desierto de Tabernas, Paraje Natural Sierra Alhamilla, Parque Nacional de Sierra Nevada	INDETERMINADO. No he encontrado evidencias.	La vivienda se desarrolla en un único volumen compacto excavado en la piedra. Algunas viviendas crecen en horizontal, con nuevos volúmenes conectados. Las viviendas conforman un conjunto compacto visible exterior por las salidas individuales de cada vivienda.
184	Bardallur, Zaragoza. España	Valle del río Jalón. Límite: Parque Natural de la Sierra y los Cañones de Guara, Parque Natural Sierra de Cebollera.	INDETERMINADO. No he encontrado evidencias.	La vivienda se desarrolla en un único volumen compacto excavado en la piedra. Algunas viviendas crecen en horizontal, con nuevos volúmenes conectados. Las viviendas conforman un conjunto compacto visible exterior por las salidas individuales de cada vivienda.

Tabla 37 Viviendas excavadas en España. Geomorfología: ladera y presencia de fenicios.

⁷⁷⁵ Andorreandoporel mundo (Sergio y Elizabeth). (2018). *Qué visitar, ver y hacer en Terque, Almería*. [web]. Obtenida en <https://andorreandoporel mundo.com/wp-content/uploads/2018/02/Barrio-Cuevas-Terque.jpg> [Fecha de acceso: 16/05/2022].

⁷⁷⁶ Tanogi. (2013). *Foto de Zaragoza Canal Imperial Bardallur Barboles Casetas Monzalbarba Zaragoza*. [wikiloc]. Obtenida en <https://es.wikiloc.com/rutas-mountain-bike/zaragoza-canal-imperial-bardallur-barboles-casetas-monzalbarba-zaragoza-5698332/photo-3032064> [Fecha de acceso: 16/05/2022].

Coordenadas:

	Población	Geolocalización	Coordenadas DMS	Altitud
179	Ausejo, La Rioja. España	https://www.google.com/maps/place/26513+Ausejo,+La+Rioja/@42.3432199,-2.171743,1980m/data=!3m1!1e3!4m13!1m7!3m6!1s0xd5abd0d80bf5fdf:0x8482762027784eb!2s26513+Ausejo,+La+Rioja!3b1!8m2!3d42.3426617!4d-2.1683571!3m4!1s0xd5abd0d80bf5fdf:0x8482762027784eb!8m2!3d42.3426617!4d-2.1683571	42° 20' 40.276" N 2° 10' 8.552" W	525 m.
180	Guadix, Granada. España	https://www.google.com/maps/place/Barrio+de+Cuevas/@37.2940889,-3.1425013,634m/data=!3m1!1e3!4m13!1m7!3m6!1s0xd6e2b0012977bf7:0xd7bfa855928f4200!2s18500+Guadix,+Granada!3b1!8m2!3d37.3011351!4d-3.1403256!3m4!1s0xd6e2a5438d1e6f1:0x3586b8ae6d2dd952!8m2!3d37.2943052!4d-3.1412426	37° 17' 46.446" N 3° 8' 26.551" W	944 m.
181	Baltanás, Palencia. España	https://www.google.com/maps/place/Bodegas+de+Baltan%C3%A1s/@41.9382405,-4.245495,498m/data=!3m1!1e3!4m13!1m7!3m6!1s0xd4650bc3958f8cd:0x5251ef937e5f559c!2s34240+Baltan%C3%A1s,+Palencia!3b1!8m2!3d41.9380045!4d-4.2461531!3m4!1s0xd4650bd6d702785:0x54da7160cb1cea62!8m2!3d41.9393838!4d-4.2454651	41° 56' 18.614" N 4° 14' 36.521" W	798 m.
182	San Miguel de las Salinas, Alicante. España	https://www.google.com/maps/place/Las+Cuevas/@37.9763019,-0.7877522,222m/data=!3m1!1e3!4m13!1m7!3m6!1s0xd63a780e5c4cfd:0x229d995ba9123729!2s03193+San+Miguel+de+Salinas,+Alicante!3b1!8m2!3d37.9784386!4d-0.7889244!3m4!1s0xd63a780afc4e3d3:0xdff34b30c275725b!8m2!3d37.9763018!4d-0.7870068	37° 58' 35.029" N 0° 47' 13.687" W	89 m.
183	Terque, Almería. España	https://www.google.com/maps/place/Terque,+04569,+Almer%C3%ADa/@36.9840931,-2.5950799,159m/data=!3m1!1e3!4m5!3m4!1s0xd700dbc4efafb59:0xaeb748d74c86fc0!8m2!3d36.9554833!4d-2.5916443	36° 59' 3.152" N 2° 35' 42.220" W	310 m.
184	Bardallur, Zaragoza. España	https://www.google.com/maps/place/50296+Bardallur,+Zaragoza/@41.6821923,-1.2135752,1000m/data=!3m1!1e3!4m5!3m4!1s0xd5bd8a817e33e29:0xda23362b6c3cffe0!8m2!3d41.6839405!4d-1.212733	41° 40' 55.885" N 1° 12' 39.109" W	290 m.

Tabla 38. Geolocalización de las viviendas excavadas en España en ladera.

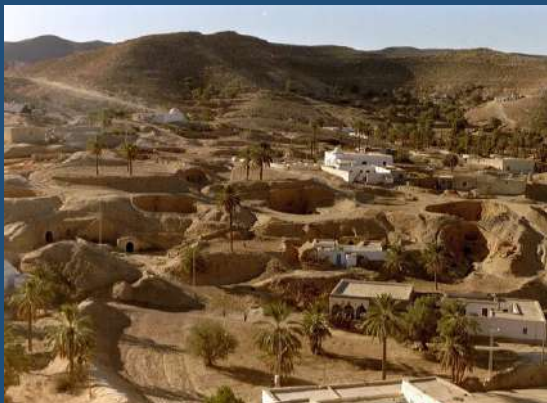
3.7.1.2 Excavada en Ladera. Mediterráneo.



Pobl. 185. Módica, Italia⁷⁷⁷.



Pobl. 186. Sassi di Matera, Italia⁷⁷⁸.



Pobl. 187. Matmata, Túnez⁷⁷⁹.



Pobl. 188. Oia, Thira. Santorini, Grecia⁷⁸⁰.

⁷⁷⁷ Londonbusybody. (2012). *Travel Review – Le Lumie Bed and Breakfast. Modica, Sicily*. [Web]. Obtenida en <https://londonbusybody.files.wordpress.com/2012/08/views-of-modica.jpg> [Fecha de acceso: 16/05/2022].

⁷⁷⁸ Mboesch. (2009). *Sasso caveoso*. [Web]. Obtenida en <https://commons.wikimedia.org/wiki/File:Matera-sasso-caveoso-von-gegenseite.jpg> [Fecha de acceso: 16/05/2022].

⁷⁷⁹ Arian Zwegers. (2001). *Matmata*. [Web]. Obtenida en [https://commons.wikimedia.org/wiki/File:Matmata_\(6218004744\).jpg](https://commons.wikimedia.org/wiki/File:Matmata_(6218004744).jpg) [Fecha de acceso: 16/05/2022].

⁷⁸⁰ [Web] <https://www.dianamias.com/donde-dormir-en-santorini/> [Fecha de acceso: 16/05/2022].



Pobl. 189. Tamezret, Túnez⁷⁸¹.



Pobl. 190. Chenini, Túnez⁷⁸².



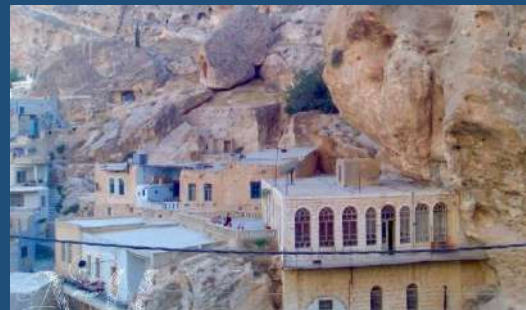
Pobl. 191. Bhalil, Marruecos⁷⁸³.



Pobl. 192. As Sanad, Túnez⁷⁸⁴.



Pobl. 193. Mustafapasa, Turquía⁷⁸⁵.



Pobl. 194. Maalula, Siria⁷⁸⁶.

⁷⁸¹ [Web] <https://www.tacapes-tours.com/en/tamezret-52> [Fecha de acceso: 16/05/2022].

⁷⁸² [Web] <https://www.evaneos.es/tunez/viajes/destinos/1031-chenini/>

⁷⁸³ Moroccowhynot. (2013). *Cave Houses of Bhalil*. [Web] <https://moroccowhynot.files.wordpress.com/2013/02/bhalil-houses.jpg> [Fecha de acceso: 16/05/2022].

⁷⁸⁴ Toonsi Mag. (2017). *Les grottes berbères de Sned: un musée à ciel ouvert*. [Web] <http://www.wepostmag.com/grottes-berberes-de-sned-musee-a-ciel-ouvert/#&gid=1&pid=1> [Fecha de acceso: 16/05/2022].

⁷⁸⁵ Aldobus. (2015). *Mustafapasa*. [Web] <http://demisviajes.com/es/ciudades/mustafapasa/> [Fecha de acceso: 16/05/2022].

⁷⁸⁶ (2015). *Maaloula*. [Google]. Obtenida en <https://goo.gl/maps/vo8FBwpZQLsB3P82A> [Fecha de acceso: 16/05/2022].

Presentación de datos. La vivienda como fuente primaria.

	Población	Entorno NATURAL	Restos arqueológicos de fenicios/pueblos del mar	Agrupación de viviendas: INDIVIDUAL/COLECTIVA
185	Módica, Ragusa, Italia	Límite: Riserva naturale orientata Oasi Faunistica di Vendicari, Riserva Naturale Cavagrande del Cassibile, Riserva Naturale Orientata Bosco di Santo Pietro	INDETERMINADO. No he encontrado evidencias.	La vivienda se desarrolla en un único volumen compacto excavado en la piedra. Algunas viviendas crecen en horizontal o vertical, con nuevos volúmenes conectados. Las viviendas conforman un conjunto compacto visible exterior por las salidas individuales de cada vivienda.
186	Sassi di Matera, Italia	Límite: Parque Nacional del Pollino, Parco Regionale di Gallipoli Cognato Piccole Dolomiti Lucane, Parco Regionale della Murgia Materana	En la provincia de Matera hay restos de colonias jónicas griegas ⁷⁸⁷ .	La vivienda se desarrolla en un único volumen compacto excavado en la piedra. Algunas viviendas crecen en horizontal o vertical, con nuevos volúmenes conectados. Las viviendas conforman un conjunto compacto visible exterior por las salidas individuales de cada vivienda.
187	Matmata, Gabès, Túnez	Límite. Parque Nacional de Jbil.	En la región de Gabés, hay restos de asentamientos cartaginenses ⁷⁸⁸ .	La vivienda se desarrolla en un único volumen compacto excavado en la piedra. Algunas viviendas crecen en horizontal o vertical, con nuevos volúmenes conectados. Algunas viviendas conforman un conjunto compacto visible exterior por las salidas individuales de cada vivienda. Algunas viviendas conforman un conjunto compacto subterráneo formando ramificaciones con varias salidas al exterior. Algunas viviendas conforman un conjunto compacto subterráneo formando ramificaciones con varias salidas al exterior.
188	Oia, Thira. (Isla Santorini), Grecia	Límite: Volcán Caldera de Santorini.	En la isla de Santorini, hay restos de la ciudad minoica enterrada por la erupción del volcán Akrotiri ⁷⁸⁹ .	La vivienda se desarrolla en un único volumen compacto excavado en la piedra. Algunas viviendas crecen en horizontal o vertical, con nuevos volúmenes conectados. Las viviendas conforman un conjunto compacto visible exterior por las salidas individuales de cada vivienda.
189	Tamezret, Túnez	Límite. Parque Nacional de Jbil.	En la región de Gabés, hay restos de asentamientos cartaginenses ⁷⁹⁰ .	La vivienda se desarrolla en un único volumen compacto excavado en la piedra. Algunas viviendas crecen en horizontal o vertical, con nuevos volúmenes conectados. Las viviendas conforman un conjunto compacto subterráneo formando ramificaciones con varias salidas al exterior. Algunas viviendas tiene salida al exterior propia.
190	Chenini, Túnez	Límite. Parque Nacional de Jbil.	A pesar de las invasiones de varios pueblos del mar, no he encontrado evidencias ⁷⁹¹ .	La vivienda se desarrolla en un único volumen compacto excavado en la piedra. Algunas viviendas crecen en horizontal, con nuevos volúmenes conectados. Las viviendas conforman un conjunto compacto visible exterior por las salidas individuales de cada vivienda.

⁷⁸⁷ D. Marchi y S. M. B. Tarli. "The Skeletal Biology of Two Italian Peninsular Magna Graecia Necropoles, Timmari and Montescaglioso". *Homo-Journal of Comparative Human Biology*, 53.1 (2002), pp. 59-78. <https://doi.org/10.1078/0018-442X-00038>

⁷⁸⁸ Lorenzo Abad Casal. "Vivir en Ilici". *Cenañbre: Revista del Instituto Alicantino de Cultura "Juan Gil-Albert"*, 48 (2003), pp. 59 – 81.

⁷⁸⁹ J. J. Monaghan y otros. "Volcanos, Tsunamis and the Demise of the Minoans". *Physica D: Nonlinear Phenomena*, 77.1-3 (1994), pp. 217-28. [https://doi.org/10.1016/0167-2789\(94\)90135-X](https://doi.org/10.1016/0167-2789(94)90135-X)

⁷⁹⁰ Lorenzo Abad Casal, art. cit.

⁷⁹¹ Houssein Khodjet-El-Khil y otros. "Substructure of a Tunisian Berber population as inferred from 15 autosomal short tandem repeat loci". *Human biology*, 80.4 (2008), pp. 435-448.

191	Bhalil, Marruecos	Límite: Parque Nacional de Tazekka, Parque Nacional de Ifrane	No he encontrado evidencias.	La vivienda se desarrolla en un único volumen compacto excavado en la piedra y construido aéreo, con salida individual de cada vivienda.
192	As Sanad, Jebel, Túnez	Bou-Hedma National Park. Límite: Parc National de Dghoumès, Djebel Chambi National Park	No he encontrado evidencias.	La vivienda se desarrolla en un único volumen compacto excavado en la piedra y construido aéreo. Las viviendas conforman un conjunto compacto visible exterior por las salidas individuales de cada vivienda.
193	Mustafapasa, Nevşehir. Turquía	Límite: Sultansazligi National Park	No he encontrado evidencias.	La vivienda se desarrolla en un único volumen compacto excavado en la piedra y construido aéreo. Las viviendas conforman un conjunto compacto visible exterior por las salidas individuales de cada vivienda.
194	Maalula, Al-Qutayfah. Siria	Límite: Reserva de la biosfera Masser Al-Chouf, Barouk, and Ain Zhalta-Bmohary (nieve), Harrat al Harrah Conservation	No he encontrado evidencias.	La vivienda se desarrolla en un único volumen compacto excavado en la piedra y construido aéreo. Las viviendas conforman un conjunto compacto visible exterior por las salidas individuales de cada vivienda.

Tabla 39. Viviendas excavadas en el Mediterráneo. Geomorfología: ladera y presencia de fenicios.

Coordenadas

Población	Geolocalización	Coordenadas DMS	Altitud	
185	Módica, Ragusa. Italia	https://www.google.com/maps/place/97015+M%C3%B3dica,+Ragusa,+Italia/@36.8603485,14.7583709,1515m/data=!3m1!1e3!4m5!3m4!1s0x131190c38fd008f9:0x8638916b70d1cef8!8m2!3d36.8588355!4d14.7608152	36° 51' 52.007" N 14° 45' 42.346" E	374 m.
186	Sassi di Matera, Italia	https://www.google.com/maps/place/Sassi+di+Matera/@40.6657399,16.6080582,854m/data=!3m1!1e3!4m9!1m2!2m1!1ssassi+di+matera!3m5!1s0x13477faacf9a3c1f:0x4ed073455e4c7cda!8m2!3d40.6657398!4d16.6115226!15sCg9zYXNzaSBkaSBtYXRlcmFaESIPc2Fzc2kgZGkgbWF0ZXJhkgEhNaGlzdG9yaWNfc2l0ZQ	40° 39' 55.843" N 16° 36' 39.071" E	392 m.
187	Matmata, Gabès. Túnez	https://www.google.com/maps/place/Old+Matmata/@33.5433402,9.599354,2655m/data=!3m1!1e3!4m1!1m7!3m6!1s0x1255ad08c20ec3d3:0x7a7ffdb4ed4ab1d9!2zTWf0bWF0YSwgVMO6bmV6!3b1!8m2!3d33.4552061!4d9.7678687!3m4!1s0x125506421e33679d:0x27d744201fca640a!8m2!3d33.5445423!4d9.9676466	33° 32' 29.095" N 9° 58' 6.157" E	375 m.
188	Oia, Thira. (Isla Santonrini), Grecia	https://www.google.com/maps/search/Oia,+Thira.+Santonrini,+Grecia+molino/@36.4610488,25.3715853,762m/data=!3m1!1e3	36° 27' 39.044" N 25° 22' 22.514" E	106 m.
189	Tamezret, Gabès. Túnez	https://www.google.com/maps/place/Tamezret,+T%C3%Banez/@33.535805,9.856013,3755m/data=!3m2!1e3!4b1!4m5!3m4!1s0x1255a8533740db1b:0xa76657f1be6445f4!8m2!3d33.5349211!4d9.86412	33° 32' 10.081" N 9° 51' 59.669" E	448 m.
190	Chenini, Tataouine. Túnez	https://www.google.com/maps/place/Chenini,+T%C3%Banez/@32.9140714,10.2749527,16z/data=!3m1!4b1!4m5!3m4!1s0x1254bde552d30dcf:0x4284f800d01d6980!8m2!3d32.9145924!4d10.2782412	32° 54' 44.536" N 10° 15' 42.743" E	1634 m.
191	Bhalil, Sefrou. Marruecos	https://www.google.com/maps/place/Bhalil,+Marruecos/@33.85036,-4.8743828,1323m/data=!3m1!1e3!4m5!3m4!1s0x9f9aecb8f9f749:0x70d3ef1cfcfb11d8!8m2!3d33.8512937!4d-4.8676221	33° 51' 1.274" N 4° 52' 15.517" W	983 m.
192	As Sanad, Jebel, Túnez	https://www.google.com/maps/place/As-Sanad,+T%C3%Banez/@34.4622288,9.2639339,1313m/data=!3m1!1e3!4m1!3!1m7!3m6!1s0x12f35b8c4100347:0x5cf31a475e1722fa!2zU2VuZWQsIFTDum5leg!3b1!8m2!3d34.5388811!4d9.2508437!3m4	34° 27' 49.504" N 9° 15' 55.073" E	609 m.

	!1s0x12ff4bcdba3dd837:0xc70cf3257fddef5d!8m2!3d34.4623963!4d9.2633146		
193	Mustafapasa, Nevşehir, Turquía https://www.google.com/maps/place/Mustafapasa%C5%9Fa,+%C3%9Crg%C3%BCp%2FProvincia+de+Nev%C5%9Fehir,+Turqu%C3%ADa/@38.5838078,34.8915854,1481m/data=!3m1!1e3!4m5!3m4!1s0x152a42562b5cc407:0xce982e2ad28df68!8m2!3d38.584842!4d34.897833	38° 34' 58.357" N 34° 53' 38.737" E	1169 m.
194	Maalula, Al-Qutayfah, Siria https://www.google.com/maps/place/The+Old+Village,+Malula,+Siria/@33.8455626,36.5445828,468m/data=!3m2!1e3!4b1!4m8!1m2!2m1!1sAyn+en+T%C4%ABnah,+Maalula!3m4!1s0x1518865df5ff8d99:0x5a4d291a6b9c47d!8m2!3d33.8449901!4d36.54627	33° 50' 46.207" N 36° 32' 45.326" E	1445 m.

Tabla 40. Geolocalización de las viviendas excavadas en el Mediterráneo en ladera.

3.7.1.2.1 La vivienda excavada: la frontera.

Vuelve a aparecer⁷⁹² el concepto de frontera en las viviendas subterráneas, como podemos observar en Laguardia (España) y en Tamerezret (Túnez). Ambas poblaciones tienen el subsuelo perforado con pasillos y túneles que no son reconocibles visualmente.

Img. 131. Laguardia, Álava, España⁷⁹³.Img. 132. Tamezret, Túnez⁷⁹⁴

⁷⁹² Apareció el concepto “frontera” en el entorno rural, en las viviendas en sierra (apdo. 3.3.3.1) al observar que había una tendencia a situar las viviendas en torno a una cima, probablemente por la necesidad defensiva.

⁷⁹³ Mikel Arrazola - EJ-Irekia. (2005). *Guardiako (Araba) ikuspegia airetik*. [Web] https://es.wikipedia.org/wiki/Laguardia#/media/Archivo:Guardia_airetik2.jpg [Fecha de acceso: 16/02/2022].

⁷⁹⁴ Vladislav Gajic. *Maisons de Tamezret dans le désert en Tunisie* [Web] <https://fr.dreamstime.com/photos-libres-droits-d%C3%A9sert-tamezret-en-tunisie-image30135188> [Fecha de acceso: 16/02/2022].

En el caso de Tamezret (Img. 132 y 134) los bereberes excavaron la ciudad defensiva subterránea⁷⁹⁵. En Laguardia (Img. 131 y 133) la población excavó el subsuelo para defenderse de los ataques sufridos en el siglo XIII (primero sus casas estaban construidas con muros y posteriormente excavaron las nuevas viviendas subterráneas)⁷⁹⁶. En la actualidad, los subterráneos de ambas ciudades son utilizados como bodegas y almacén.



Img. 133. Laguardia. Bodega Carlos San Pedro⁷⁹⁷.



Img. 134. Tamezret. L'Auberge De Tamezret⁷⁹⁸.

⁷⁹⁵ Gideon Golany. *Earth-sheltered dwellings in Tunisia: ancient lessons for modern design*. Newark: University of Delaware Press, 1988.

⁷⁹⁶ Felicitas Martínez de Salinas Ocio. *Evolucion urbanistica y arquitectonica de la Villa de Laguardia (Álava)*. Tesis Doctoral. Valladolid: Universidad de Valladolid, 1989.

⁷⁹⁷ Bodegas Carlos San Pedro. [Web] <https://www.bodegascarlossanpedro.com/es/la-bodega/la-cueva-subterranea/> [Fecha de acceso: 16/02/2022].

⁷⁹⁸ [Web] <https://www.expedia.es/Tamazrat-Hoteles-LAuberge-De-Tamezret.h17934121.Informacion-Hotel> [Fecha de acceso: 16/02/2022].

3.7.2. Acantilado o tajo.

3.7.2.1 Excavada en tajo. Mediterráneo en península: España.



Pobl. 195. Alcalá del Júcar⁷⁹⁹.



Pobl. 196. Bocairent, España⁸⁰⁰.



Pobl. 197. Chinchilla de Montearagón, España⁸⁰¹.



Pobl. 198. Setenil de las Bodegas, España⁸⁰².

⁷⁹⁹ José Balsas García. (2017). *Alcalá del Júcar – Albacete*. [Flickr] <https://t.ly/HXhT> [Fecha de acceso: 16/02/2022].

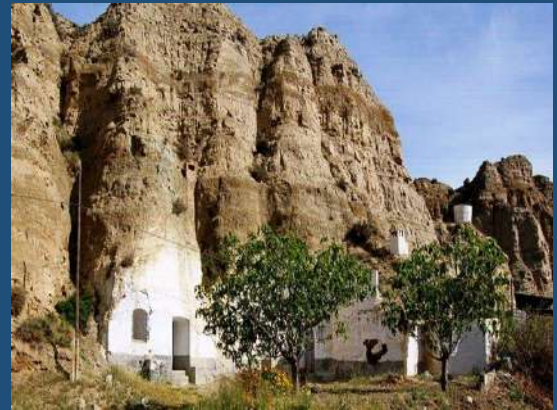
⁸⁰⁰ Héctor Fernández Motos. [Pinterest]. Obtenida en <https://www.pinterest.es/pin/565624034422702126/> [Fecha de acceso: 16/02/2022].

⁸⁰¹ [Web] <https://www.dreamstime.com/cave-houses-chinchilla-de-montearagon-albacete-cave-houses-chinchilla-de-montearagon-image166223118> [Fecha de acceso: 16/02/2022].

⁸⁰² [Web] <https://theluxuryvillacollection.com/best-things-to-do-in-andalucia/> [Fecha de acceso: 16/02/2022].



Pobl. 199. Guadix, España⁸⁰³.



Pobl. 200. Purullena, España⁸⁰⁴.



Pobl. 201. Cuevas de Calguerín de Cuevas de Almanzora, España⁸⁰⁵.



Pobl. 202. Chiclana de Segura, España⁸⁰⁶.

⁸⁰³ Jose Gonzalo Vivas. (2012). *Guadix* [Flickr] <https://www.flickr.com/photos/gonzalvo/7176066900> [Fecha de acceso: 16/02/2022].

⁸⁰⁴ [Web] <https://www.mundicamino.com/boletines/256-2/> [Fecha de acceso: 16/02/2022].

⁸⁰⁵ Turismo Cuevas de Almanzora. *Cuevas de Calguerín* [Web] <http://www.turismo.cuevasdelalmazora.es/Servicios/cmsdipro/index.nsf/informacion.xsp?p=CuevasdeAlmanzora-Turismo&documentId=5AD39C4BDB91310DC125824B004552DB> [Fecha de acceso: 16/02/2022].

⁸⁰⁶ César García. (2019). *Chiclana de Segura, el mirador de las cuatro provincias*. [Web] https://cadenaser.com/emisora/2019/06/21/radio_jaen/1561131793_620485.html [Fecha de acceso: 16/02/2022].

Presentación de datos. La vivienda como fuente primaria.

	Población	Entorno NATURAL	Restos arqueológicos de fenicios/pueblos del mar	Agrupación de viviendas: INDIVIDUAL/COLECTIVA
195	Alcalá del Júcar, Albacete. España	Valle del río Júcar. Límite: Parque Natural de la Sierra Calderona, Reserva Natural Torcas de Palancares y Tierra Muerta, Sierra del Maigmó.	INDETERMINADO. No he encontrado evidencias.	La vivienda se desarrolla en un único volumen compacto excavado en la piedra y construido aéreo, con salida individual de cada vivienda.
196	Bocairent, Valencia. España	Parque Natural de la Sierra de Mariola. Límite: Solana de Benicadell, Sierra del Maigmó, Parque Regional Sierra del Carche.	Existen estudios que relacionan la escultura ibérica del león de Bocairent con la tecnología escultórica de tradición griega y romana ⁸⁰⁷ .	La vivienda se desarrolla en un único volumen compacto excavado en la piedra y construido aéreo, con salida individual de cada vivienda. Algunas viviendas crecen en horizontal o vertical, con nuevos volúmenes conectados.
197	Chinchilla de Montearagón, Albacete. España	Límite: Solana de Benicadell, Sierra del Maigmó, Parque Regional Sierra del Carche, Parque Natural de Los Calares del Mundo y de la Sima, Torcas de Palancares y Tierra Muerta	No he encontrado evidencias, aunque su localización es cercana a un cruce de caminos históricos ⁸⁰⁸ .	La vivienda se desarrolla en un único volumen compacto excavado en la piedra. Algunas viviendas crecen en horizontal, con nuevos volúmenes conectados. Las viviendas conforman un conjunto compacto visible exterior por las salidas individuales de cada vivienda.
198	Setenil de las Bodegas, Cádiz. España	Límite: Parque Nacional Sierra de las Nieves, Parque Natural Sierra de Grazalema,	En el entorno cercano hay topónimos de procedencia fenicia ⁸⁰⁹ .	La vivienda se desarrolla en un único volumen compacto excavado en la piedra. Algunas viviendas crecen en horizontal, con nuevos volúmenes conectados. Las viviendas conforman un conjunto compacto visible exterior por las salidas individuales de cada vivienda.
199	Guadix, Granada. España	Límite: Dehesa Del Camarate, Parque Natural Sierra de Baza, Parque Nacional de Sierra Nevada, Parque Natural de Sierra Mágina, Desierto de Tabernas	INDETERMINADO. No he encontrado evidencias.	La vivienda se desarrolla en un único volumen compacto excavado en la piedra. Algunas viviendas crecen en horizontal o en vertical, con nuevos volúmenes conectados. Las viviendas conforman un conjunto compacto visible exterior por las salidas individuales de cada vivienda.
200	Purullena, Granada. España	Límite: Dehesa Del Camarate, Parque Natural Sierra de Baza, Parque Nacional de Sierra Nevada, Parque Natural de Sierra Mágina, Desierto de Tabernas	INDETERMINADO. No he encontrado evidencias.	La vivienda se desarrolla en un único volumen compacto excavado en la piedra. Algunas viviendas crecen en horizontal o en vertical, con nuevos volúmenes conectados. Las viviendas conforman un conjunto compacto visible exterior por las salidas individuales de cada vivienda.
201	Cuevas de Calguerin de Cuevas de Almanzora, Almería. España	Límite: Paraje Natural Sierra Alhamilla, Desierto de Tabernas, Parque Natural de Sierra María-Los Vélez, Parque Natural Sierra de Baza	No he encontrado evidencias, sin embargo en la cercana Cuevas de Almanzora hay numerosos restos fenicios ⁸¹⁰ .	La vivienda se desarrolla en un único volumen compacto excavado en la piedra. Algunas viviendas crecen en horizontal o en vertical, con nuevos volúmenes conectados. Las viviendas conforman un conjunto compacto visible exterior por las salidas individuales de cada vivienda.

⁸⁰⁷ Enriqueta Cebrián Alonso y otros. "La tecnología de la escultura ibérica en piedra: el León de Bocairent". *Saitabi*, 71 (2022), pp. 9-36. <https://doi.org/10.7203/saitabi.72.19275>

⁸⁰⁸ Carlos Fernández Serrano y otros. "La arquitectura rupestre de Chinchilla de Montearagón". *Narria: Estudios de artes y costumbres populares*, 27 (1982), pp. 2-5. <https://repositorio.uam.es/handle/10486/8135>

⁸⁰⁹ Joaquín Pascual Barea. "De Coripe (Corrivium) a Sevilla (Hispal) por Utrera (Lateraria): formación y deformación de topónimos en el habla". En: *Actas VII Jornadas de Patrimonio Histórico y Cultural de la provincia de Sevilla: Toponimia y hablas locales*. Sevilla: Diputación de Sevilla, 2013, pp. 49-74.

⁸¹⁰ Concepción San Martín Montilla y otros. "La colonización fenicia en el estuario del Almanzora: El asentamiento de Cabecico de Parra de Almizaraque (Cuevas del Almanzora, Almería)". *Cuadernos de prehistoria y arqueología de la Universidad de Granada*, 12 (1987), pp. 157-69.

202	Chiclana de Segura, Jaén. España	Límite: Parque Natural de las Sierras de Cazorla, Segura y Las Villas, Parque Natural de Despeñaperros, Parque Natural de Sierra Mágina, Parque Natural Sierra de Castril, Parque Natural de Los Calares del Mundo y de la Sima, Parque Natural de la Sierra de Andújar	INDETERMINADO. No he encontrado evidencias.	La vivienda se desarrolla en un único volumen compacto excavado en la piedra, con ramificaciones para conectar con la parte construida aérea, con salida individual de cada vivienda. Las viviendas conforman un conjunto compacto subterráneo formando ramificaciones con varias salidas al exterior.
-----	----------------------------------	---	---	---

Tabla 41. Viviendas excavadas en España. Geomorfología: acantilado o tajo y presencia de fenicios.

Coordenadas:

Población	Geolocalización	Coordenadas DMS	Altitud	
195	Alcalá del Júcar, Albacete. España	https://www.google.com/maps/place/Alcal%C3%A1+del+J%C3%Bacar,+Albacete/@39.1930321,-1.4311038,1753m/data=!3m1!1e3!4m5!3m4!1s0xd66daf8a0c374c7:0x40340f3be4bcff0!8m2!3d39.1917781!4d-1.4295714	39° 11' 31.336" N 1° 25' 44.239" W	523 m.
196	Bocairent, Valencia. España	https://www.google.com/maps/place/46880+Bocairente,+Valencia/@38.7644005,-0.6215389,3527m/data=!3m2!1e3!4b1!4m5!3m4!1s0xd61789050bc9d63:0xd07558b1ed0b5f29!8m2!3d38.765324!4d-0.612127	38° 46' 6.334" N 0° 36' 29.432" W	612 m.
197	Chinchilla de Montearagón, Albacete. España	https://www.google.com/maps/place/02520+Chinchilla+de+Monte-Arag%C3%B3n,+Albacete/@38.9235797,-1.7264646,404m/data=!3m1!1e3!4m5!3m4!1s0xd668c4f807dd13b:0xaf2a1d0721bcfd82!8m2!3d38.9195312!4d-1.7252937	38° 55' 26.587" N 1° 43' 30.008" W	861 m.
198	Setenil de las Bodegas, Cádiz. España	https://www.google.com/maps/place/11692+Setenil+de+las+Bodegas,+C%C3%A1diz/@36.8628032,-5.1806235,905m/data=!3m1!1e3!4m5!3m4!1s0xd0d49c8297cd15:0x44842378df0ac406!8m2!3d36.8624263!4d-5.1764469	36° 51' 43.296" N 5° 10' 45.240" W	548 m.
199	Guadix, Granada. España	https://www.google.com/maps/place/Barrio+de+Cuevas/@37.2965557,-3.1435895,1456m/data=!3m1!1e3!4m13!1m7!3m6!1s0xd6e29680da698e5:0xa81d069bd4d20389!2sPurullena,+Granada!3b1!8m2!3d37.3172593!4d-3.1867528!3m4!1s0xd6e2a5438d1e6f1:0x3586b8ae6d2dd952!8m2!3d37.2943052!4d-3.1412426	37° 17' 35.288" N 3° 8' 37.004" W	977 m.
200	Purullena, Granada. España	https://www.google.com/maps/place/Purullena,+Granada/@37.319765,-3.1949264,3025m/data=!3m1!1e3!4m13!1m7!3m6!1s0xd6e29680da698e5:0xa81d069bd4d20389!2sPurullena,+Granada!3b1!8m2!3d37.3172593!4d-3.1867528!3m4!1s0xd6e29680da698e5:0xa81d069bd4d20389!8m2!3d37.3172593!4d-3.1867528	37° 19' 3.020" N 3° 11' 5.168" W	931 m.
201	Cuevas de Calguerín, Cuevas de Almanzora, Almería. España	https://www.google.com/maps/place/Cuevas+del+Calguer%C3%ADn/@37.3033707,-1.8872129,189m/data=!3m1!1e3!4m5!3m4!1s0xd652b3e3c12d445:0x18c8d61e9eef2187!8m2!3d37.3026911!4d-1.8869845	37° 18' 10.126" N 1° 53' 13.232" W	100 m.
202	Chiclana de Segura, Jaén. España	https://www.google.com/maps/place/Ayuntamiento+de+Chiclana+de+Segura+Centralita/@38.3123338,-3.0467812,1492m/data=!3m1!1e3!4m13!1m7!3m6!1s0xd6f21a4f11efbd:0x31f0c58f0066f638!2s23264+Chiclana+de+Segura,+Ja%C3%A9n!3b1!8m2!3d38.3107885!4d-3.0444752!3m4!1s0xd6f21a385b991d5:0xa00408a33407fe52!8m2!3d38.3107885!4d-3.0444752	38° 18' 46.250" N 3° 2' 32.586" W	885 m.

Tabla 42. Geolocalización de las viviendas excavadas en España en acantilado o tajo.

3.7.2.2 Excavada en tajo. Mediterráneo.



Pobl. 203. Saint-Rémy-sur-Creuse, Francia⁸¹¹.



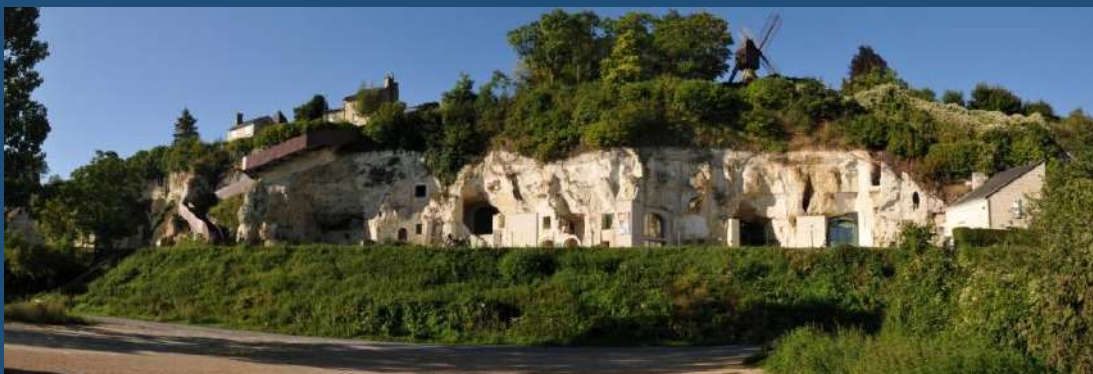
Pobl. 204. Brantôme, Francia⁸¹².



Pobl. 205. Rocamadour, Francia⁸¹³.



Pobl. 206. Souzay-Champigny, Francia⁸¹⁴.



Pobl. 207. Turquant, Francia⁸¹⁵.

⁸¹¹ (2016). *Itinéraire bis à Saint-Rémy-sur-Creuse*. [Web] <https://france3-regions.francetvinfo.fr/nouvelle-aquitaine/vienne/itineraire-bis-saint-remy-creuse-86-1127673.html> [Fecha de acceso: 04/02/2022].

⁸¹² Claude Lacourarie. (2015). *Brantôme*. [Flickr] <https://t.ly/cJ2I> [Fecha de acceso: 04/02/2022].

⁸¹³ Víctor Rodrigo. *Rocamadour, una roca llena de Santuarios de Peregrinación*. [Web] <https://mochilerosdospuntocero.com/europa/francia/rocamadour-que-ver-y-visitar/> [Fecha de acceso: 04/02/2022].

⁸¹⁴ Taniélie. (2016). *Souzay-Champigny, un village angevin troglodyte, royal et viticole*. [Web] <http://unebellejourneeicioula.com/2016/03/souzay-champigny-un-village-angevin-troglodyte-royal-et-viticole.html> [Fecha de acceso: 04/02/2022].

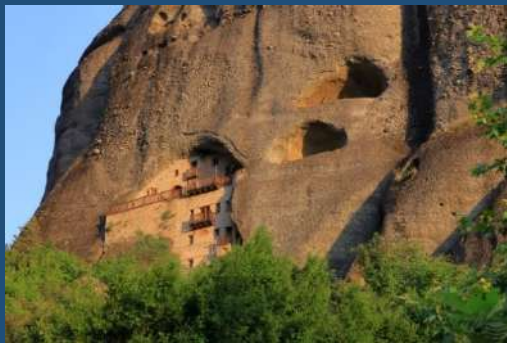
⁸¹⁵ [Web] <https://www.parc-loire-anjou-touraine.fr/en/destination-park/things-do/hiking-and-rambling/turquant-saumur> [Fecha de acceso: 04/02/2022].



Pobl. 208. Civita di Bagnoregio, Italia⁸¹⁶.



Pobl. 209. Sperlinga, Italia⁸¹⁷.



Pobl. 210. Meteora, Grecia⁸¹⁸.



Pobl. 211. Mesa Gialos, Grecia⁸¹⁹.



Pobl. 212. Petra, Jordania⁸²⁰.



Pobl. 213. Kikla, Libia⁸²¹.

⁸¹⁶ Un Faro de Ideas. (2013). *Domus Civita Italia*. [Web] <http://unfarodeideas.blogspot.com/2013/04/domus-civita-italia.html> [Fecha de acceso: 04/02/2022].

⁸¹⁷ Giovanni Distefano. (2011). Sperlinga. [Flickr] <http://t.ly/8KQL> [Fecha de acceso: 04/02/2022].

⁸¹⁸ Ioannis Papachristos. (2019). Cave-dwelling in Meteora, Greece. [Flickr] <http://t.ly/PdPS> [Fecha de acceso: 04/02/2022].

⁸¹⁹ Norbert Nagel. (2012). *Felsenwohnungen im Hafen von Fira, Santorin, Griechenland*. [Web] <http://t.ly/Vs4X> [Fecha de acceso: 04/02/2022].

⁸²⁰ Estefania Martínez. Petra. [Pinterest] <https://www.pinterest.es/pin/409123947370895045/> [Fecha de acceso: 04/02/2022].

⁸²¹ Assem [@libyaamazigh101]. (2014). *Some of the extraordinary places of #Kikla city that is now being indiscriminately bombed by so called #Libya'n army*. [Web] <https://twitter.com/libyaamazigh101/status/521387069210628097>



Pobl. 214. Uchisar, Turquía⁸²².



Pobl. 215. Çavuşin, Turquía⁸²³.



Pobl. 216. Güzelyurt (Gelveri), Turquía⁸²⁴.

⁸²² National Geographic. (2018) [Web] <https://www.ngenespanol.com/traveler/un-castillo-en-el-punto-mas-alto-de-una-ciudad-turquia-castillo-uchisar/> [Fecha de acceso: 04/02/2022].

⁸²³ Dmitry Finkel. *Panoramic view of ruined village Cavusin (Cappadocia, Turkey)*. [Shutterstock] <https://www.shutterstock.com/es/image-photo/panoramic-view-ruined-village-cavusin-cappadocia-542089714> [Fecha de acceso: 04/02/2022].

⁸²⁴ [Web] <https://allcappadociaballoontours.com/tour/private-mustafapasa-soganli-valley-tour/> [Fecha de acceso: 04/02/2022].

Población	Entorno NATURAL	Restos arqueológicos de fenicios/pueblos del mar	Agrupación de viviendas: INDIVIDUAL/COLECTIVA
203 Saint-Rémy-sur-Creuse, Vienne. Francia	Límite: Parque Natural Regional de Brenne, Parc naturel régional Loire-Anjou-Touraine	INDETERMINADO. No he encontrado evidencias.	La vivienda se desarrolla en un único volumen compacto excavado en la piedra. Algunas viviendas crecen en horizontal, con nuevos volúmenes conectados. Las viviendas conforman un conjunto compacto visible exterior por las salidas individuales de cada vivienda.
204 Brantôme, Dordogne. Francia	Límite: Parque Natural Regional Périgord Lemosin, Parque Natural Regional de los Causses du Quercy	INDETERMINADO. No he encontrado evidencias.	La vivienda se desarrolla en un único volumen compacto excavado en la piedra. Algunas viviendas crecen en horizontal, con nuevos volúmenes conectados. Las viviendas conforman un conjunto compacto visible exterior por las salidas individuales de cada vivienda.
205 Rocamadour, Lot. Francia	Límite: Parque Natural Regional de los Causses du Quercy, Parque Natural Regional Périgord Lemosin, Parque Natural Regional de Millevaches en Limousin	INDETERMINADO. No he encontrado evidencias.	La vivienda se desarrolla en un único volumen compacto excavado en la piedra. Algunas viviendas crecen en horizontal, con nuevos volúmenes conectados. Las viviendas conforman un conjunto compacto visible exterior por las salidas individuales de cada vivienda.
206 Souzay-Champigny, Maine-et-Loire. Francia	Valle del río Loira, Parc naturel régional Loire-Anjou-Touraine. Límite: Parque Natural y Geoparque Regional Normandy-Maine, Parque Natural Regional de Perche	INDETERMINADO. No he encontrado evidencias.	La vivienda se desarrolla en un único volumen compacto excavado en la piedra. Algunas viviendas crecen en horizontal, con nuevos volúmenes conectados. Las viviendas conforman un conjunto compacto visible exterior por las salidas individuales de cada vivienda.
207 Turquant, Maine-et-Loire. Francia	Valle del río Loira, Parc naturel régional Loire-Anjou-Touraine. Límite: Parque Natural y Geoparque Regional Normandy-Maine, Parque Natural Regional de Perche	INDETERMINADO. No he encontrado evidencias.	La vivienda se desarrolla en un único volumen compacto excavado en la piedra. Algunas viviendas crecen en horizontal, con nuevos volúmenes conectados. Las viviendas conforman un conjunto compacto visible exterior por las salidas individuales de cada vivienda.
208 Civita di Bagnoregio, Viterbo. Italia	Parque Valle dei Calanchi, Bagnoregio (VT). Límite. Reserva Natural AFV Carbonara. Situada sobre meseta de Toba volcánica.	INDETERMINADO. No he encontrado evidencias.	La vivienda se desarrolla en un único volumen compacto excavado en la piedra. Algunas viviendas crecen en horizontal o vertical, con nuevos volúmenes conectados. Las viviendas conforman un conjunto compacto visible exterior por las salidas individuales de cada vivienda.
209 Sperlinga, Enna. Italia	Límite: Riserva Naturale Orientata Sambuchetti – Campanito, Parco delle Madonie, Parque del volcán Etna	INDETERMINADO. No he encontrado evidencias.	La vivienda se desarrolla en un único volumen compacto excavado en la piedra. Algunas viviendas crecen en horizontal, con nuevos volúmenes conectados. Las viviendas conforman un conjunto compacto visible exterior por las salidas individuales de cada vivienda.
210 Meteora, Trikala. Grecia	Límite: Parque Arkoudorema-Plastiras (Spathadon), Parque Katafigio Agrias Zois Koutsouro - Tzakouta – Mnimata, Parque Kyra Kali-Trypimeni	INDETERMINADO. No he encontrado evidencias.	La vivienda se desarrolla en un único volumen compacto excavado en la piedra. Algunas viviendas crecen en horizontal o vertical, con nuevos volúmenes conectados. Las viviendas conforman un conjunto compacto visible exterior por las salidas individuales de cada vivienda.
211 Mesa Gialos, Fira. Grecia	Límite: Volcán Caldera de Santorini.	En la isla de Santorini, hay restos de la ciudad minoica enterrada por la erupción del volcán Akrotiri ⁸²⁵ .	La vivienda se desarrolla en un único volumen compacto excavado en la piedra. Algunas viviendas crecen en horizontal o vertical, con nuevos volúmenes conectados.

⁸²⁵ J. J. Monaghan y otros, art. cit.

Presentación de datos. La vivienda como fuente primaria.

			Las viviendas conforman un conjunto compacto visible exterior por las salidas individuales de cada vivienda.
212	Petra, Ma'an. Jordania	Límite: Wadi Rum Protected Area, Desierto Negrev, Al-Tubaiq Nature Reserve	Son los que comercializan las mercancías con los fenicios ⁸²⁶ .
213	Kikla, Barka o Tripolitana. Libia	Montañas Nafusa. Yebel Nafusa. Límite. Parque Nacional Abuscabh.	En la región conocida como Tripolitana existen restos fenicios y cartaginenses ⁸²⁷ .
214	Uçhisar, Nevşehir. Turquía	Límite: Acıgöl-Nevşehir, Reserva Nacional Sultansazlığı National Park	INDETERMINADO. No he encontrado evidencias.
215	Çavuşin, Nevşehir. Turquía	Límite: Acıgöl-Nevşehir, Reserva Nacional Sultansazlığı National Park	INDETERMINADO. No he encontrado evidencias.
216	Güzelyurt, Aksaray. Turquía	Límite: Monte Hasan, Sultansazlığı National Park	INDETERMINADO. No he encontrado evidencias.

Tabla 43. Viviendas excavadas en el Mediterráneo.
Geomorfología: acantilado o tajo y presencia de fenicios.

⁸²⁶ Ana María Vázquez Hoys. "Petra : la ciudad rosa del desierto (Historia y urbanismo)". *Espacio Tiempo y Forma. Serie II, Historia Antigua*, 10 (1997), pp.253-274. <https://doi.org/10.5944/etfii.10.1997.4312>

⁸²⁷ Attilio Mastino y Raimondo Zucca. "La libia dai garamanti a giustiniano". *Africa: Rivista trimestrale di studi e documentazione dell'Istituto italiano per l'Africa e l'Oriente*, 63- 2 (2008), p. 155.

Coordenadas:

	Población	Geolocalización	Coordenadas DMS	Altitud
203	Saint-Rémy-sur-Creuse, Vienne. Francia	https://www.google.com/maps/place/86220+Saint-R%C3%A9my-sur-Creuse,+Francia/@46.949467,0.6893502,1836m/data=!3m1!1e3!4m5!3m4!1s0x47fcfdac63e09b29:0x405d39260e79dd0!8m2!3d46.951968!4d0.695068	46° 56' 59.147" N 0° 41' 45.959" E	53 m.
204	Brantôme, Dordogne. Francia	https://www.google.com/maps/place/Brantome+Abbey/@45.3645521,0.6463193,397m/data=!3m1!1e3!4m1!1m7!3m6!1s0x47ff0bcfb497610b:0x406651748180f80!2sBrant%C3%B4me,+24310+Brant%C3%B4me+en+P%C3%A9rigord,+Francia!3b!8m2!3d45.365187!4d0.647394!3m4!1s0x47ff0a2d3614bdd3:0xfaa55742b1a125fc!8m2!3d45.364552!4d0.6472395	45° 21' 49.240" N 0° 38' 47.995" E	122 m.
205	Rocamadour, Lot. Francia	https://www.google.com/maps/place/46500+Rocamadour,+Francia/@44.7993249,1.6134499,2699m/data=!3m1!1e3!4m5!3m4!1s0x12acc5b44b0cfdbb:0xf5a307db111a248!8m2!3d44.799383!4d1.617901	44° 48' 0.383" N 1° 37' 6.183" E	200 m.
206	Souzay-Champigny, Maine-et-Loire. Francia	https://www.google.com/maps/place/49400+Souzay-Champigny,+Francia/@47.2363094,-0.0110579,1086m/data=!3m1!1e3!4m1!1m2!2m!1sHoteles!3m7!1s0x4807f673cd115a0b:0x40d37521e0d8840!5m2!4m1!1i2!8m2!3d47.2346918!4d-0.0050372	47° 14' 15.102" N 0° 0' 35.126" W	35 m.
207	Turquant, Maine-et-Loire. Francia	https://www.google.com/maps/place/49730+Turquant,+Francia/@47.2221328,0.018413,2584m/data=!3m1!1e3!4m5!3m4!1s0x47fd58c94cd98f59:0xa38072669974ed28!8m2!3d47.223248!4d0.028187	47° 13' 18.861" N 0° 2' 8.366" E	38 m.
208	Civita di Bagnoregio, Viterbo. Italia	https://www.google.com/maps/place/01022+Civita+di+Bagnoregio,+Viterbo,+Italia/@42.6279197,12.1129628,18z/data=!3m1!4b!4m5!3m4!1s0x132ed374d281cbcd:0xb7ba0de98218e79a!8m2!3d42.6275754!4d12.1130386	42° 37' 39.836" N 12° 6' 47.568" E	430 m.
209	Sperlinga, Enna. Italia	https://www.google.com/maps/place/94010+Sperlinga,+Enna,+Italia/@37.7665986,14.3466586,1788m/data=!3m1!1e3!4m5!3m4!1s0x13112aedcbd46e09:0x40b042967b84060!8m2!3d37.7635149!4d14.3210095	37° 45' 54.949" N 14° 21' 11.199" E	731 m.
210	Meteora, Trikala. Grecia	https://www.google.com/maps/place/Meteora/@39.7219,21.6300611,615m/data=!3m1!1e3!4m5!3m4!1s0x13590face8327f39:0x7127add4d8bc32ff!8m2!3d39.7217044!4d21.6305896	39° 44' 0.417" N 21° 37' 51.597" E	460 m.
211	Mesa Gialos, Fira. Grecia	https://www.google.com/maps/place/%CE%A0%CF%8D%CF%81%CE%B3%CE%BF%CF%82+%CE%94%CE%B5%CE%BB%CE%AD%CE%BD%CE%B4%CE%B1/@36.4190551,25.4271119,373m/data=!3m1!1e3!4m8!1m2!2m!1sMesa+Gialos,+santorini+Grecia!3m4!1s0x1499cdebe5dadac9:0x817edade01d7c21c!8m2!3d36.4188428!4d25.426652	36° 25' 6.915" N 25° 25' 38.940" E	6 m.
212	Petra, Ma'an. Jordania	https://www.google.com/maps/place/Petra/@30.3268689,35.4478416,832m/data=!3m1!1e3!4m5!3m4!1s0x15016ef1703b6071:0x199bf908679a2291!8m2!3d30.3284544!4d35.4443622	30° 19' 37.084" N 35° 26' 52.373" E	881 m.
213	Kikla, Barka o Tripolitana. Libia	https://www.google.com/maps/place/Kikla,+Libia/@32.0608224,12.6709055,14z/data=!3m1!4b!4m5!3m4!1s0x13ace76988a4e54f:0xc74f608d4e6cf86f!8m2!3d32.0597348!4d12.696277	32° 4' 12.794" N 12° 41' 36.823" E	768 m.
214	Uçhisar, Nevşehir. Turquía	https://www.google.com/maps/place/U%C3%A7hisar,+Tekelli,+50240+U%C3%A7hisar%2FNev%C5%9Fehir+Merkez%2FProvincia+de+Nev%C5%9Fehir,+Turqu%C3%ADa/@38.6288938,34.8014722,1384m/data=!3m1!1e3!4m5!3m4!1s0x152a68eefb1c5e59:0x3124e1dc1965a8d7!8m2!3d38.628916!4d34.803883	38° 37' 49.113" N 34° 48' 22.168" E	1347 m.
215	Çavuşin, Nevşehir. Turquía	https://www.google.es/maps/place/%C3%87avu%C5%9Fin+Kilisesi,+50500+%C3%87avu%C5%9Fin%2FAvanos%2FNev%C5%9Fehir,+Turqu%C3%ADa/@38.673181,34.8398665,876m/data=!3m2!1e3!4b!4m15!1m9!2m8!1sHoteles!3m6!1sHoteles!2zw4dhdnXFnlLCA1MDUwMiDDh2F2dcWfaW4vQXZhb9zL1Byb3ZpbmNpYSBkZSBkZXBn2VoaXIsIFRlcnF1w61h!3s0x152a67a26e82bf9f:0x99478a23a6b607a9!4m2!1d34.83944!2d38.67278!3m4!1s0x152a67a20c2c5535:0x7334815dcc42e1e6!8m2!3d38.673181!4d34.8398665?hl=es	38° 40' 23.946" N 34° 50' 24.121" E	1014 m.
216	Güzelyurt, Aksaray. Turquía	https://www.google.es/maps/place/Yeralt%C4%B1+%C5%9Eehri/@38.2745348,34.3701935,16.75z/data=!4m1!1m7!3m6!1s0x0:0x7e0108f10fd50c3!2zMzJzCjE2JmMwLjIiTiAzNMkWMjInMTMuMCJF!3b!8m2!3d38.2750463!4d34.3702683!3m4!1s0x14d605d4e5b1f4ff:0x26992de1a9fc8872!8m2!3d38.275497!4d34.3735819?hl=es	38° 16' 33.208" N 34° 22' 15.662" E	1458 m.

Tabla 44. Geolocalización de las viviendas excavadas en el Mediterráneo en acantilado o tajo.

3.7.2.2.1 Viviendas subterráneas nuevas y restauradas.

Encontramos una idea aceptada sobre la viviendas subterránea (también conocida como “casa cueva”) que dice así: *con el desarrollo de las aldeas y pueblos, el uso de las cuevas queda relegado a refugio de pastores y ganados, espacios de mitos y leyendas, o refugio de la población de la zona en momentos puntuales de peligro*⁸²⁸.

La realidad que observamos in situ es diferente. Por ejemplo, en las viviendas de Souzay-Campigni (Img.137) se vive actualmente con estándares de bienestar acordes a la actualidad; el Hotel Aquatio Cave de Matera es el resultado de restaurar varias viviendas subterráneas consideradas insalubres y ahora tiene cinco estrellas⁸²⁹ (Img.137), y el Rascainfiernos se construye con un lenguaje constructivo actual (hormigón) y se diseña con luz natural cenital (Img. 135).



Img. 135. Madrid en España. Vivienda Rascainfiernos, año 1972.⁸³⁰



Img. 136. Matera en Italia. Hotel & SPA de lujo Aquatio Cave, año 2018⁸³¹.



Img. 137. Souzay-Champigny, Francia⁸³².

⁸²⁸ José Luis Simón García y otros. “Casas cueva en las tierras del Corredor de Almansa y Chinchilla de Montearagón (Albacete)”. En: García-Saúco Beléndez, Luis G. *Homenaje a Carmina Useros Cortés*. Albacete: Instituto de Estudios Albacetenses «Don Juan Manuel», 2018, pp. 271-300.

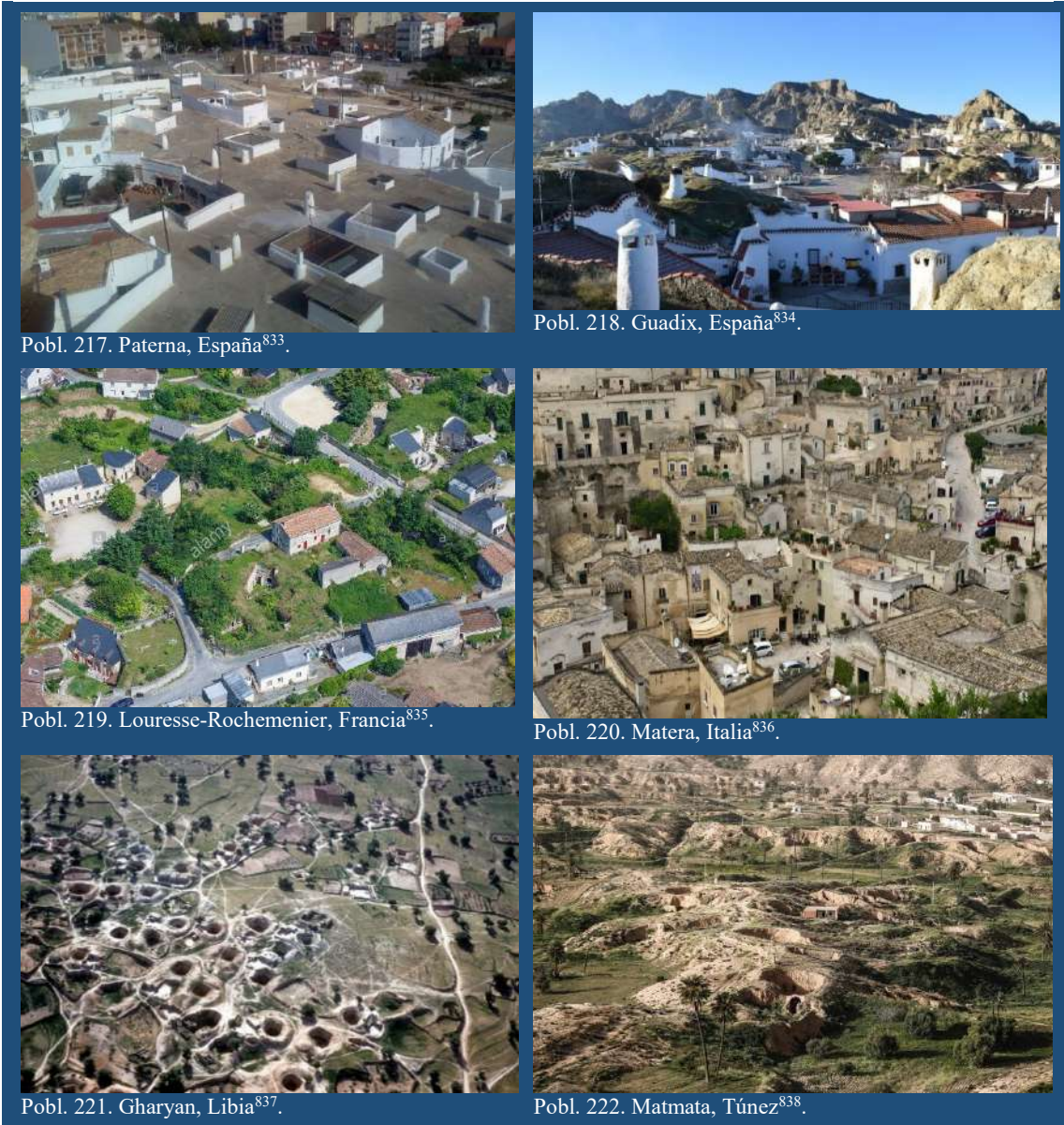
⁸²⁹ Las estrellas de los hoteles se utilizan para describir el nivel de calidad de sus instalaciones, materiales, equipamientos y decoración. No hay una normativa específica y depende de cada país o región establecer los requisitos mínimos para cada rango. La calificación habitual es de una a cinco estrellas, siendo “cinco estrellas” el nivel más alto de calidad.

⁸³⁰ David Vico. [Web] <https://www.plataformaarquitectura.cl/cl/802595/alojamiento-rural-en-casa-cueva-ummo-estudio> [Fecha de acceso: 04/02/2022].

⁸³¹ [Web] https://www.plataformaarquitectura.cl/cl/920552/hotel-and-spa-de-lujo-aquatio-cave-simone-micheli/5d1d2442284dd16c410000c2-aquatio-cave-luxury-hotel-and-spa-simone-micheli-photo?next_project=no [Fecha de acceso: 04/02/2022].

⁸³² Taniélie. (2016). *Souzay-Champigny, un village angevin troglodyte, royal et viticole*. [Web] <http://unebellejourneeicioula.com/2016/03/souzay-champigny-un-village-angevin-troglodyte-royal-et-viticole.html> [Fecha de acceso: 04/02/2022].

3.7.3. Valle o explanada (llanura).



Pobl. 217. Paterna, España⁸³³.

Pobl. 218. Guadix, España⁸³⁴.

Pobl. 219. Louresse-Rochemenier, Francia⁸³⁵.

Pobl. 220. Matera, Italia⁸³⁶.

Pobl. 221. Gharyan, Libia⁸³⁷.

Pobl. 222. Matmata, Túnez⁸³⁸.

⁸³³ [Web] <https://www.deceroadoce.es/visitas-guiadas-cuevas-paterna/> [Fecha de acceso: 04/02/2022].

⁸³⁴ [Web] <https://skisierranevada.co.uk/attractions/guadix/> [Fecha de acceso: 04/02/2022].

⁸³⁵ [Web] <https://www.alamy.com/france-maine-et-loire-louresse-rochemenier-troglodytic-village-rochemenier-image159152272.html> [Fecha de acceso: 04/02/2022].

⁸³⁶ ChrisAlis. (2018). *An Italian leather anniversary, part II: Matera*. [Web] <https://microtripping.com/2018/08/10/an-italian-leather-anniversary-part-ii-matera/> [Fecha de acceso: 04/02/2022].

⁸³⁷ Thomas Smith. (2008). *Troglodyte cave homes south of Gharyan 1957*. [Flickr] <https://www.flickr.com/photos/8567152@N08/2586162630/> [Fecha de acceso: 04/02/2022].

⁸³⁸ Zohra Bensemra. (2018). *A general view of troglodyte houses in Matmata, Tunisia*. [Web] <https://www.reuters.com/article/us-tunisia-troglodytes/last-residents-hold-on-in-tunisias-underground-houses-idUSKCNIG70XF>

Presentación de datos. La vivienda como fuente primaria.

	Población	Entorno NATURAL	Restos arqueológicos de fenicios/pueblos del mar	Agrupación de viviendas: INDIVIDUAL/COLECTIVA
217	Paterna, Valencia, España	Valle del río Turia. Límite: Parque Natural del Turia, Parque Natural de la Sierra Calderona, Reserva Natural El Tello	INDETERMINADO. No he encontrado evidencias.	La vivienda se desarrolla en un único volumen compacto excavado. Algunas viviendas crecen en horizontal, con nuevos volúmenes conectados. Las viviendas conforman un conjunto compacto visible exterior por las salidas individuales de cada vivienda.
218	Guadix, Granada, España	Límite: Dehesa Del Camarate, Parque Natural Sierra de Baza, Parque Nacional de Sierra Nevada, Parque Natural de Sierra Mágina, Desierto de Tabernas	INDETERMINADO. No he encontrado evidencias.	La vivienda se desarrolla en un único volumen compacto excavado. Algunas viviendas crecen en horizontal, con nuevos volúmenes conectados. Las viviendas conforman un conjunto compacto visible exterior por las salidas individuales de cada vivienda.
219	Louresse-Rochemenier, Maine-et-Loire, Francia	Límite: Parc Naturel Régional Loire-Anjou-Touraine, Parque Natural Regional de Perche, Parque Natural y Geoparque Regional Normandy-Maine	INDETERMINADO. No he encontrado evidencias.	La vivienda se desarrolla en un único volumen compacto excavado. Algunas viviendas crecen en horizontal, con nuevos volúmenes conectados. Las viviendas conforman un conjunto compacto visible exterior por las salidas individuales de cada vivienda.
220	Matera, Italia	Límite: Parque Nacional del Pollino, Parco Regionale di Gallipoli Cognato Piccole Dolomiti Lucane, Parco Regionale della Murgia Materana	En la provincia de Matera hay restos de colonias jónicas griegas ⁸³⁹ .	La vivienda se desarrolla en un único volumen compacto excavado en la piedra. Algunas viviendas crecen en horizontal o vertical, con nuevos volúmenes conectados. Las viviendas conforman un conjunto compacto visible exterior por las salidas individuales de cada vivienda.
221	Gharyan, Jabal al Gharbi, Libia	Límite: Abuscah Project,	En la región conocida como Tripolitana existen restos fenicios y cartaginenses ⁸⁴⁰ .	La vivienda se desarrolla en un único volumen compacto excavado en la piedra. Algunas viviendas crecen en horizontal o vertical, con nuevos volúmenes conectados. Algunas viviendas conforman un conjunto compacto visible exterior por las salidas individuales de cada vivienda. Las viviendas conforman un conjunto compacto subterráneo formando ramificaciones con varias salidas al exterior. Algunas viviendas conforman un conjunto compacto subterráneo formando ramificaciones con varias salidas al exterior.

⁸³⁹ D. Marchi y otros., art. cit.⁸⁴⁰ Attilio Mastino y otros, art. cit., p. 155.

222	Matmata, Gabès. Túnez	Límite. Parque Nacional de Jbil.	En la región de Gabès, hay restos de asentamientos cartaginenses ⁸⁴¹ .	La vivienda se desarrolla en un único volumen compacto excavado en la piedra. Algunas viviendas crecen en horizontal o vertical, con nuevos volúmenes conectados. Algunas viviendas conforman un conjunto compacto visible exterior por las salidas individuales de cada vivienda. Las viviendas conforman un conjunto compacto subterráneo formando ramificaciones con varias salidas al exterior. Algunas viviendas conforman un conjunto compacto subterráneo formando ramificaciones con varias salidas al exterior.
-----	-----------------------	----------------------------------	---	--

Tabla 45. Viviendas excavadas en valle o explanda (llanura). Mediterráneo.

Coordenadas

	Población	Geolocalización	Coordenadas DMS	Altitud
217	Paterna, Valencia. España	https://www.google.com/maps/search/paterna+valencia+cuevas/@39.5037139,-0.4395831,612m/data=!3m1!1e3	39° 30' 11.705" N 0° 26' 22.076" W	62 m.
218	Guadix, Granada. España	https://www.google.com/maps/place/Barrio+de+Cuevas/@37.2940889,-3.1425013,634m/data=!3m1!1e3!4m13!1m7!3m6!1s0xd6e2b0012977bf7:0xd7bfa855928f4200!2s18500+Guadix,+Granada!3b1!8m2!3d37.3011351!4d-3.1403256!3m4!1s0xd6e2a5438d1e6f1:0x3586b8ae6d2dd952!8m2!3d37.2943052!4d-3.1412426	37° 17' 46.446" N 3° 8' 26.551" W	944 m.
219	Louresse-Rochemenier, Maine-et-Loire. Francia	https://www.google.com/maps/place/Rochemenier+Village+Troglodytique/@47.2348836,-0.2992493,1523m/data=!3m1!1e3!4m13!1m7!3m6!1s0x4807e9a27f3a6127:0xda94b46a294d610!2s49700+Louresse-Rochemenier,+Francia!3b1!8m2!3d47.2235757!4d-0.3136305!3m4!1s0x4807e9bd8ba03195:0x8f07697aa94d8189!8m2!3d47.232879!4d-0.296019	47° 14' 2.434" N 0° 17' 47.062" W	84 m.
220	Matera, Matera. Italia	https://www.google.es/maps/place/Sassi+di+Matera,+75100+Matera,+Italia/@40.6648078,16.6112677,1587m/data=!3m2!1e3!4b1!4m13!1m7!3m6!1s0x13477ee2482b152b:0x8f6a4ae10da9360!2s75100+Matera,+Italia!3b1!8m2!3d40.666379!4d16.6043199!3m4!1s0x13477e9deb6678ca7:0x54f02ed8d170e54f!8m2!3d40.664864!4d16.6107112?hl=es	40° 39' 49.646" N 16° 36' 42.262" E	357 m.
221	Gharyan, Jabal al Gharbi. Libia	https://www.google.com/maps/dir/Gharyan,+Libia/Yefren,+Libia/@32.1663445,13.0088704,1596m/data=!3m1!1e3!4m14!4m13!1m5!1m1!1s0x13af3b6a069ddb81:0xd1d7fd0b5875d190b!2m2!1d13.0184123!2d32.1717952!1m5!1m1!1s0x13aeaa2634a78863:0xdfd4a2c49bb4b38!2m2!1d12.5355393!2d32.053558!3e0	32° 10' 0.234" N 13° 0' 42.121" E	711 m.
222	Matmata, Gabès. Túnez	https://www.google.com/maps/place/Old+Matmata/@33.5433402,9.9599354,2655m/data=!3m1!1e3!4m13!1m7!3m6!1s0x1255ad08c20ec3d3:0x7a7ffdb4ed4ab1d9!2zTWf0bWF0YSwgVMO6bmV6!3b1!8m2!3d33.4552061!4d9.7678687!3m4!1s0x125506421e33679d:0x27d744201fca640a!8m2!3d33.5445423!4d9.9676466	33° 32' 26.674" N 9° 58' 30.531" E	394 m.

Tabla 46. Geolocalización de las viviendas excavadas en valle o explanda (llanura). Mediterráneo.

⁸⁴¹ Lorenzo Abad Casal, art. cit.

3.7.3.1 El sistema constructivo excavado como técnica.

Si nos fijamos en tres pozos para recoger agua: en Orvieto (Img. 138 y 139), en Alejandría (Img. 140) y en Belgrado (Img. 141), encontramos que todos están contruidos con una escalera en espiral subterránea, pero su contexto arquitectónico es diferente. De hecho, el Pozo de San Patricio en Orvieto es parte de una red de túneles y aljibes excavados en el subsuelo de la ciudad, el Pozo de Alejandría está integrado en las catacumbas de Kom el Shogafa y el “pozo romano” en Belgrado está dentro de la fortaleza de Kalemegdan.



Img. 138. Orvieto en Italia. Pozo de San Patricio⁸⁴²



Img. 139. Orvieto, en Italia. Túneles y aljibes de la ciudad subterránea del subsuelo de Orvieto⁸⁴³.



Img. 140. Alejandría en Egipto. Catacumbas de Kom el Shogafa⁸⁴⁴.



Img. 141. Belgrado en Serbia. “Pozo romano” de la fortaleza de Kalemegdan⁸⁴⁵.

⁸⁴² TPopova. (2017). *Famous well in Orvieto Italy - architecture background* [Web] <https://www.istockphoto.com/es/foto/famosa-en-italia-orvieto-gm812093872-131385577> [Fecha de acceso: 04/02/2022].

⁸⁴³ [Web] <https://www.roma.com/a-mezzora-da-roma-orvieto-un-gioiello-costruito-su-una-fortezza-naturale/> [Fecha de acceso: 04/02/2022].

⁸⁴⁴ Elias Roviello. (2018). *The Spiral Staircase, the Catacombs of Kom El Shoqafa, Carmous, Alexandria, Egypt.* [Web] <https://www.flickr.com/photos/eliasroviello/45407324171> [Fecha de acceso: 04/02/2022].

⁸⁴⁵ [Web] <https://lepotesrbije.alo.rs/turizam/vesti/10926/najzanimljiviji-deo-beogradske-tvrđave-misteriozni-bunar-oko-koga-su-se-isprele-mnoge-misterije/vest> [Fecha de acceso: 04/02/2022].

3.7.3.2 La elección del sistema constructivo subterráneo o aéreo.

Encontramos que es posible elegir un sistema constructivo subterráneo o uno aéreo.

Vamos a realizar una comparativa con dos poblaciones cercanas que en el mismo tiempo histórico hacen esta “elección”, como ejemplo utilizaremos Santa Fe (Img. 217) y Guadix (Img. 216) en Granada (España) en torno al año 1492.



Img. 142. Guadix en Granada. España⁸⁴⁶.



Img. 143 Santa Fé en Granada. España⁸⁴⁷.

En Granada, en torno al año 1492, se producen grandes movimientos migratorios (ocasionados por el fin de la guerra de los Reyes Católicos⁸⁴⁸) y, por tanto, era necesario construir numerosas viviendas para cobijar a esta población.

En este contexto, el lenguaje constructivo elegido en Guadix es subterráneo (en un entorno urbano desordenado, con casas excavadas en ladera)⁸⁴⁹ y en Santa Fe aéreo (en una cuadrícula urbana planificada de cinco plazas, con casas sobre muros y tejados inclinados)⁸⁵⁰. Ambos lenguajes han pervivido hasta hoy, independientemente del clima.

⁸⁴⁶ [Web] <https://guadix.es/turismo/barrio-de-cuevas/> [Fecha de acceso: 04/02/2022].

⁸⁴⁷ [Web] <https://www.pricetravel.com.mx/santa-fe-granada> [Fecha de acceso: 04/02/2022].

⁸⁴⁸ Francisco Henríquez de Jorquera y Antonio Marín Ocete. *Anales de Granada: descripción del reino y ciudad de Granada, crónica de la reconquista (1482-1492), sucesos de los años 1588 a 1646*. Granada: Universidad de Granada, 1987.

⁸⁴⁹ Carlos Asenjo Sedano. “Las Cuevas de Guadix: sus orígenes”. *Cuadernos geográficos de la Universidad de Granada*, 2 (1972), pp. 85-102.

⁸⁵⁰ Luis José García Pulido y Antonio Orihuela Uzal. “Nuevas aportaciones sobre las murallas y el sistema defensivo de Santa Fe (Granada)”. *Archivo español de arte* 78, 309 (2005), pp. 23-43. <https://doi.org/10.3989/aearte.2005.v78.i309.206>

También observamos que el sistema constructivo subterráneo es rápido en Guadix (es fácil extraer tierra en conglomerados, areniscas y lutitas)⁸⁵¹, y lento en Santa Fe (es difícil excavar y sacar la tierra en la vega)⁸⁵².

Es más, si no hay un planeamiento urbanístico previo (como en Guadix), se necesitan viviendas (grandes movimientos migratorios) y excavar es rápido (se conoce la técnica y se puede ejecutar con medios manuales). Este sistema se elige porque es una buena opción.

Además, encontramos viviendas similares a las excavadas de Guadix y a las aéreas de Santa Fe por toda la región Mediterránea, porque la variedad que identificamos en un área pequeña de territorio la reconocemos repetida otras áreas de la extensa cuenca Mediterránea.

⁸⁵¹ Magna 50 - Hoja 1011. Cartografía del Instituto Geológico y Minero de España. 1988. Memoria, pp. 28-29.

⁸⁵² Magna 50 - Hoja 1009. Cartografía del Instituto Geológico y Minero de España. 1988. Memoria, p. 7.

3.8. COMBINACIÓN 6: RIBERA.

Con esta combinación buscamos determinar la influencia de la ordenación de los espacios al construir la vivienda como unidad. Utilizaremos la ribera para seleccionarlas en el litoral y en el interior continental (Fig. 19).

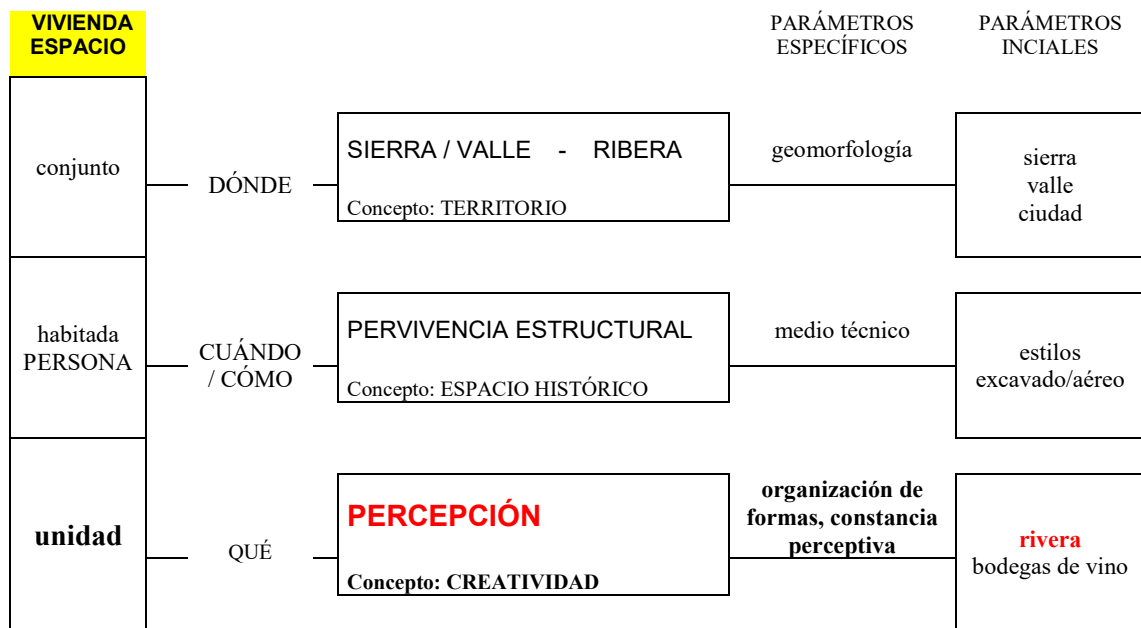


Fig. 19. Combinación 6: ribera o rivera

Anteriormente, vimos las viviendas a modo de torres⁸⁵³ con vistas al paisaje. Ahora buscamos reconocer visualmente (percepción) si existe la tendencia de construir en un único volumen (Img. 142, 143 y 144).

Además, elegimos el hormigón como pervivencia estructural porque su utilización en la actualidad (como sistema estructural porticado de pilares y vigas) ha desplazado al resto de sistemas constructivos (p. ej. observamos el cambio extremo que ha sufrido la ciudad de Xauen en apenas 100 años en las Imágenes 145 y 146).

⁸⁵³ Apartado 3.6.2.1. El volumen único con vistas al paisaje: la torre.



Img. 144. Chiclana de Segura, España⁸⁵⁴. (Pobl. 202)



Img. 145. Adra, España. Barrio pesquero⁸⁵⁵.



Img. 146. Cádiz en España. Las torres vigías⁸⁵⁶.



Img. 147. Xauen (Chef Chaouen) en Marruecos, año 1924⁸⁵⁷



Img. 148. Xauen (Chef Chaouen) en Marruecos, año 2008⁸⁵⁸

⁸⁵⁴ César García. (2019). *Chiclana de Segura, el mirador de las cuatro provincias*. [Web] https://cadenaser.com/emisora/2019/06/21/radio_jaen/1561131793_620485.html [Fecha de acceso: 16/02/2022].

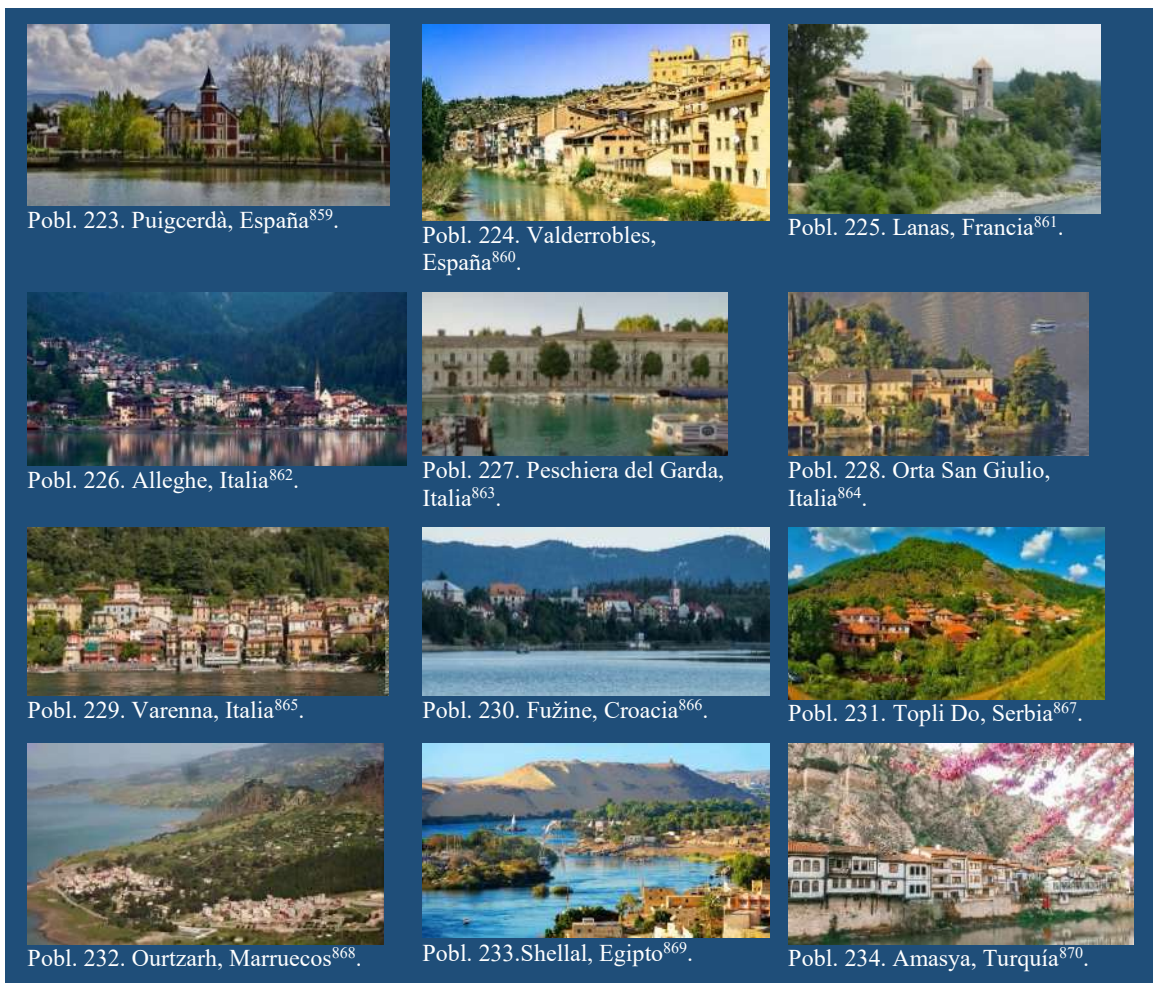
⁸⁵⁵ Luis Feduchi, *op. cit.*, p. 92.

⁸⁵⁶ (2014). [Web] <http://elblogdelaetc.blogspot.com/2014/12/historia-de-las-torres-vigias-de-cadiz.html> [Fecha de acceso: 16/02/2022].

⁸⁵⁷ Chef chaouen. Año 1924. Archivo particular CSG.

⁸⁵⁸ Chef chaouen. Año 2008. Archivo particular CSG.

3.8.1. Ribera y rivera de agua dulce.



⁸⁵⁹ Maria Rosa Ferre. (2013). *Villa Paulita, L'Estany de Puigcerdà*. [Flickr] <https://www.flickr.com/photos/54943216@N08/9394518794> [Fecha de acceso: 16/05/2022].

⁸⁶⁰ Miguel Rubira. [Web] <https://www.vuelaoferta.com/ideas-para-viajar-por-espana/> [Fecha de acceso: 16/05/2022].

⁸⁶¹ OT Vogué. [Web] http://www.villagesdefrance.fr/dept/page07_ardechemeridionale.htm [Fecha de acceso: 16/05/2022].

⁸⁶² Giorgio Bertapelle. (2017). *Alleghe is reflected in the lake*. [Flickr] <https://www.flickr.com/photos/135709218@N06/34797987640/> [Fecha de acceso: 16/05/2022].

⁸⁶³ (2018). *15 días por el norte de Italia*. [Web] <https://www.tienesplanes hoy.com/2018/03/15-dias-norte-italia-Bergamo-Desenzano.html> [Fecha de acceso: 16/05/2022].

⁸⁶⁴ *Orta San Giulio*. [Web] <https://www.traveler.es/naturaleza/galerias/los-10-pueblos-mas-bonitos-del-piamonte/588/image/27753> [Fecha de acceso: 16/05/2022].

⁸⁶⁵ (2018). *15 días por el norte de Italia*. [Web] <https://www.tienesplanes hoy.com/2018/03/15-dias-italia-lago-como-visitar.html> [Fecha de acceso: 16/05/2022].

⁸⁶⁶ Sbabic911. (2015). *Fuzine*. [Flickr] <https://tinyurl.com/ybx8a4tm> [Fecha de acceso: 16/05/2022].

⁸⁶⁷ nesa lj. (2020). *Топли До*. [Google Maps]. <https://goo.gl/maps/X7VCdL7ZWBE4fhnJ8> [Fecha de acceso: 16/05/2022].

⁸⁶⁹ Stewart Fletcher. (2017). *Aswan*. [Web] <https://www.tokkoro.com/1099211-aswan.html> [Fecha de acceso: 16/05/2022].

Presentación de datos. La vivienda como fuente primaria.

Población	Entorno NATURAL	Técnica constructiva: HORMIGÓN	Acceso al agua / volumen
223 Puigcerdà, Girona. España	Río Carol/ río El Reür/lago de Puigcerdà. Límite. Parque Natural de las Cabeceras del Ter y del Freser. Parque Natural Cadi-Moixeró. Parc Natural de la Vall de Sorteny. Parque Natural Regional de los Pirineos Catalanes.	Hay viviendas realizadas con hormigón de varias plantas de altura.	La vivienda se desarrolla en un único volumen compacto que crece en vertical rodeada de terreno. Hay acceso al agua intermedio a través de una vía/orilla pública desde las viviendas.
224 Valderrobles, Teruel. España	Río Matarraña. Límite. Reserva Natural Parc Natural dels Ports. Parque Natural Tinença de Benifassà.	Hay algunas viviendas realizadas con hormigón de 2 o 3 plantas de altura.	La vivienda se desarrolla en un único volumen compacto que crece en vertical. Algunas viviendas tienen un patio privado anexo al volumen. No hay acceso directo al agua desde las viviendas.
225 Lanas, Ardèche. Francia	Río Ardèche. Límite. Parc naturel régional des Monts d'Ardèche. Parc naturel régional des Baronnies provençales. Parc naturel régional des Baronnies provençales. Parc national des Cévennes.	Hay alguna vivienda realizada con hormigón de 2 o 3 plantas de altura.	La vivienda se desarrolla en un único volumen compacto que crece en vertical. Algunas viviendas tienen un patio privado anexo al volumen. No hay acceso desde la vivienda al agua. Algunas viviendas se desarrollan en volumen único están rodeadas de terreno.
226 Alleghe, Belluno. Italia	Río Cordevole/Lago de Alleghe. Límite. Parco Nazionale delle Dolomiti Bellunesi. Parco Naturale Paneveggio Pale di San Martino. Parco Naturale Sciliar-Catinaccio. Parco Naturale di Fanes-Sennes-Braies. Parco Naturale Tre Cime. Parco Naturale Dolomiti Friulane.	Hay alguna vivienda realizada con hormigón de varias plantas de altura.	La vivienda se desarrolla en un único volumen compacto que crece en vertical rodeada de terreno. No hay acceso directo al agua desde algunas viviendas. Hay acceso directo al agua desde algunas viviendas. Hay acceso al agua intermedio a través de una vía/orilla pública desde algunas viviendas.
227 Peschiera del Garda, Verona. Italia	Valle del río Po. Límite. Parco dell'Alto Garda Bresciano. Parco Naturale Regionale della Lessinia.	Hay viviendas realizadas con hormigón de 2 o 3 plantas de altura.	La vivienda se desarrolla en un único volumen compacto que crece en vertical rodeada de terreno. Algunas viviendas se desarrollan en un único volumen compacto que crece en vertical. No hay acceso directo al agua desde algunas viviendas. Hay acceso directo al agua desde algunas viviendas. Hay acceso al agua intermedio a través de una vía/orilla pública desde algunas viviendas.
228 Orta San Giulio, Novara. Italia	Lago de Orta/río Strona de Omegna. Límite. Special Reserve of Sacro Monte di Orta. Parco Naturale Regionale Campo dei Fiori. Riserva Naturale Monte Mottac. Parco Nazionale della Val Grande. Parco Naturale dell'Alta Valle Antrona. Parco Naturale dell'Alta Valsesia.	No hay viviendas de hormigón.	La vivienda se desarrolla en un único volumen compacto que crece en vertical con un patio privado anexo al volumen. Hay acceso directo al agua desde las viviendas.

⁸⁶⁹ Stewart Fletcher. (2017). *Aswan*. [Web] <https://www.tokkoro.com/1099211-aswan.html> [Fecha de acceso: 16/05/2022].

⁸⁷⁰ [Web] <https://www.bizevdeyokuz.com/osmanli-mimarisi-koyler/> [Fecha de acceso: 16/05/2022].

229	Varenna, Lecco. Italia	Lago di Como. Límite. Parco delle Orobie Bergamasche. Campo dei Fiori Parque Regional. Naturpark Beverin.	Hay alguna vivienda realizada con hormigón de 2 o 3 plantas de altura.	Algunas viviendas se desarrollan en un único volumen compacto que crece en vertical. No hay acceso directo al agua desde algunas viviendas. Hay acceso directo al agua desde algunas viviendas. Hay acceso al agua intermedio a través de una vía/orilla pública desde algunas viviendas.
230	Fužine, Primorje-Gorski Kotar. Croacia	Lago Bajer/embalse Jezero Bajersko. Límite. Parque Nacional de Risnjak. Bijele I Samarske Stijene.	Hay alguna vivienda realizada con hormigón de 2 o 3 plantas de altura.	Algunas viviendas se desarrollan en un único volumen compacto que crece en vertical. No hay acceso directo al agua desde algunas viviendas.
231	Topli Do, Pirot. Serbia.	Río Javorska. Parque Natural "Stara Planina"/Парк природе Стара планина. Reserva Natural Arbinje/Строги резерват природе Арбиње.	No hay viviendas de hormigón.	Las viviendas se desarrollan en un volumen único y están rodeadas de terreno. Hay acceso al agua intermedio a través de una vía/orilla pública desde alguna vivienda.
232	Ourtzarh, Taouate. Marruecos	Río Uarga/ río Ouergha. Lago Al Wahda/embalse Al Wahda. Límite. Los montes del Rif.	Hay viviendas realizadas con hormigón de 2 o 3 plantas de altura.	Las viviendas se desarrollan en un volumen único y están rodeadas de terreno. No hay acceso directo al agua desde las viviendas.
233	Shellal, Aswan. Egipto	Valle del Río Nilo. Límite. Wadi el Gemal National Park. Desierto del Este o Desierto Árábigo.	Hay viviendas realizadas con hormigón de 2 o 3 plantas de altura.	La vivienda se desarrolla en un único volumen compacto que crece en vertical. Algunas viviendas están rodeadas de terreno. Algunas viviendas tienen un patio privado interior o anexo al volumen. Hay acceso al agua intermedio a través de una vía/orilla pública desde alguna vivienda.
234	Amasya, Amasya. Turquía	Límite: Yassical Göleti, Ilgaz Mountains	Hay viviendas realizadas con hormigón de 2 o 3 plantas de altura.	La vivienda se desarrolla en un único volumen compacto que crece en vertical. Algunas viviendas tienen un patio privado interior o anexo al volumen. No hay acceso directo al agua desde las viviendas.

Tabla 47. Viviendas en ribera o rivera en agua dulce. Mediterráneo.

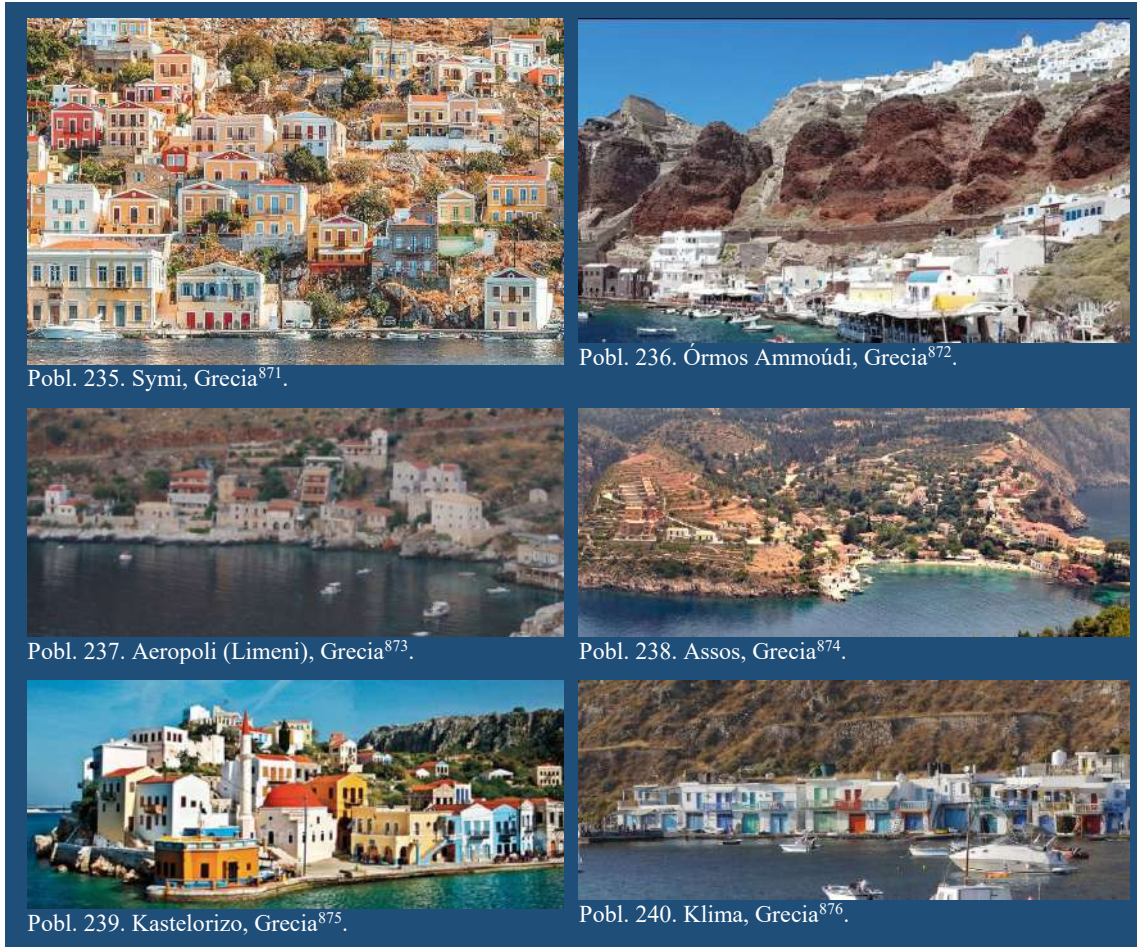
Coordenadas:

Población	Geolocalización	Coordenadas DMS	Altitud
223 Puigcerdà, Girona. España	https://www.google.es/maps/place/Puigcerd%C3%A0,+Girona/@42.4403247,1.9172411,3412m/data=!3m2!1e3!4b1!4m1!5!1m9!3m8!1s0x12a57bc1b72b91cb:0xfb1529b7bcd05935!2sVilla+Paulita!5m2!4m1!1i2!8m2!3d42.4352232!4d1.9267689!3m4!1s0x12a57be855c13107:0x2b1f2cb44d74e120!8m2!3d42.4335396!4d1.9291145?hl=es	42° 26' 11.010" N 1° 55' 35.987" E	1213 m.
224 Valderrobles, Teruel. España	https://www.google.es/maps/place/44580+Valderrobles,+Teruel/@40.8730402,0.1497093,1748m/data=!3m2!1e3!4b1!4m5!3m4!1s0x12a090abf8cc0db9:0xed6d947ffefbcb!8m2!3d40.873331!4d0.1535949?hl=es	40° 52' 27.802" N 0° 9' 20.418" E	474 m.
225 Lanas, Ardèche. Francia	https://www.google.es/maps/place/07200+Lanas,+Francia/@44.5367822,4.3806134,5543m/data=!3m1!1e3!4m5!3m4!1s0x12b4e2199174c323:0x4093cafcb8de0!8m2!3d44.531405!4d4.39892?hl=es	44° 31' 46.764" N 4° 24' 1.069" E	138 m.
226 Alleghe, Belluno. Italia	https://www.google.es/maps/place/32022+Alleghe,+Belluno,+Italia/@46.4086735,12.0192187,1594m/data=!3m2!1e3!4b1!4m5!3m4!1s0x47784edcd91a7359:0xb91aa61cb375cebe!8m2!3d46.4069654!4d12.0203957?hl=es	46° 24' 25.296" N 12° 1' 3.935" E	969 m.
227 Peschiera del Garda, Verona. Italia	https://www.google.es/maps/place/37019+Peschiera+del+Garda,+Verona,+Italia/@45.4413255,10.6621491,6489m/data=!3m2!1e3!4b1!4m5!3m4!1s0x4781ebd53405a0a1:0x46ae81121df51696!8m2!3d45.4396385!4d10.6865449?hl=es	45° 26' 20.377" N 10° 41' 41.725" E	64 m.
228 Orta San Giulio, Novara. Italia	https://www.google.es/maps/place/28016+Orta+San+Giulio,+Novara,+Italia/@45.7964617,8.405217,3224m/data=!3m2!1e3!4b1!4m5!3m4!1s0x47860cf1ca128ed3:0x3b65ddff6ef933!8m2!3d45.7967444!4d8.4162194?hl=es	45° 47' 48.843" N 8° 24' 11.758" E	291 m.
229 Varenna, Lecco. Italia	https://www.google.es/maps/place/23829+Varenna+Lecco,+Italia/@46.0106551,9.2812958,16z/data=!3m1!1e3!4m5!3m4!1s0x478417c425d15a0b:0xb3301b324d8b8259!8m2!3d46.0090947!4d9.285115?hl=es	46° 0' 43.428" N 9° 16' 53.508" E	203 m.
230 Fužine, Primorje-Gorski Kotar. Croacia	https://www.google.es/maps/place/Fu%C5%BEine,+Croacia/@45.3057225,14.7152185,15.25z/data=!4m5!3m4!1s0x47648336d07cf4f3:0xf388ad7b6bc54879!8m2!3d45.3049852!4d14.7148369!5m1!1e4?hl=es	45° 18' 27.228" N 14° 42' 50.001" E	718 m.
231 Topli Do, Pirot. Serbia.	https://www.google.com/maps/place/Topli+Do,+Serbia/@43.3390935,22.6766207,2000m/data=!3m1!1e3!4m1!3!1m7!3m6!1s0x4754e08755259345:0xe5e427feaba04698!2sTopli+Do,+Serbia!3b1!8m2!3d43.3398546!4d22.6797886!3m4!1s0x4754e08755259345:0xe5e427feaba04698!8m2!3d43.3398546!4d22.6797886!5m1!1e4	43° 20' 22.769" N 22° 40' 48.487" E	719 m.
232 Ourtzarh, Taounate. Marruecos	https://www.google.es/maps/place/%D9%85%D8%B1%D9%83%D8%B2+%D8%AC%D9%85%D8%A7%D8%B9%D8%A9+%D8%A3%D9%88%D8%B1%D8%AA%D8%B2%D8%A7%D8%BA%D8%8C+Marruecos%E2%80%AD/@34.5390054,-4.9700479,3203m/data=!3m1!1e3!4m1!2!1m6!3m5!1s0xd7551d8858024fd:0xa46db77c17ccee75!2sRestaurant+ourtzagh!8m2!3d34.5348233!4d-4.9700039!3m4!1s0xd755179df8b4a8b:0x78c8cf8e97c15732!8m2!3d34.5364898!4d-4.9675584!5m1!1e4?hl=es	34° 31' 57.453" N 4° 57' 32.232" W	158 m.
233 Shellal, Aswan. Egipto	https://www.google.es/maps/place/Shellal,+Sheyakhah+Thailethah,+Aswan+First,+Asu%C3%A1n,+Egipto/@24.0507603,32.8814964,2511m/data=!3m1!1e3!4m5!3m4!1s0x14366339a46d3ba7:0x4fb9690432a39234!8m2!3d24.0533121!4d32.8850319!5m1!1e4?hl=es	24° 4' 19.774" N 32° 52' 53.143" E	142 m.
234 Amasya, Amasya. Turquía	https://www.google.com/maps/place/Amasya,+Amasya+District%2FProvincia+de+Amasya,+Turqu%C3%ADa/@40.6525974,35.8272511,2039m/data=!3m1!1e3!4m5!3m4!1s0x40876e4f7c1bd9773:0x1916fc24a6992dcf!8m2!3d40.656455!4d35.837347	40° 39' 7.631" N 35° 49' 51.564" E	390 m.

Tabla 48. Geolocalización de las viviendas en ribera o rívera en agua dulce. Mediterráneo.

3.8.2. Rural y ribera de mar.

3.8.2.1 Ribera de mar. Grecia y sus islas.



⁸⁷¹ Mitsis Rodos Maris Resort & Spa. (2020). *Symi island*. [Facebook] <https://www.facebook.com/MitsisRodosMaris/photos/a.512809865425940/4356914037682151/?type=3&theater> [Fecha de acceso: 16/05/2022].

⁸⁷² B. Sosaki. (2018). Ammoudi. [Google Maps] <https://bit.ly/355eXKp> [Fecha de acceso: 16/05/2022].

⁸⁷³ Monceau. (2009). *Village along the bay*. [Flickr] <https://www.flickr.com/photos/monceau/4247561003/> [Fecha de acceso: 16/05/2022].

⁸⁷⁴ Szabolcs Morvay. (2010). Assos. [Flickr] <https://flic.kr/p/8fqppE> [Fecha de acceso: 16/05/2022].

⁸⁷⁵ Hercules Milas. (2011). *Partial view of the picturesque village of Kastellorizo*. [Web] <https://www.alamy.com/stock-photo-partial-view-of-the-picturesque-village-of-kastellorizo-or-meghisti-41786145.html> [Fecha de acceso: 16/05/2022].

⁸⁷⁶ Allan Day. (2013). Klima. [Flickr] <https://flic.kr/p/pyqYR6> [Fecha de acceso: 16/05/2022].

Presentación de datos. La vivienda como fuente primaria.

Población	Entorno NATURAL	Técnica constructiva: HORMIGÓN	Acceso al agua / volumen
235 Symi, Rhodes. Grecia	Isla de Symi del archipiélago Dodecaneso, en el Mar Egeo.	Hay viviendas realizadas con hormigón de 2 o 3 plantas de altura.	La vivienda se desarrolla en un único volumen compacto que crece en vertical. Algunas viviendas tienen un patio privado anexo al volumen. Hay acceso al agua intermedio a través de una vía/orilla pública desde las viviendas.
236 Órmos Ammouídi, Thira. Grecia	Isla de Santorini del archipiélago de las Cícladas, en la periferia del Mar Egeo Meridional. Límite: volcán Tholos Naftilos y volcán Caldera Santorini.	Hay algunas viviendas realizadas con hormigón de 1 o 2 plantas de altura.	La vivienda se desarrolla en un único volumen compacto que crece en vertical. Algunas viviendas tienen un patio privado anexo al volumen. Hay acceso al agua intermedio a través de una vía/orilla pública desde las viviendas.
237 Aeropoli (Limeni), Laconia. Grecia	Costa de la península de Mani del Mar Jónico. Terreno montañoso de difícil acceso por tierra.	Hay alguna vivienda realizada con hormigón de 2 o 3 plantas de altura.	La vivienda se desarrolla en un único volumen compacto que crece en vertical. Algunas viviendas tienen un patio privado interior o anexo al volumen. Hay acceso al agua intermedio a través de una vía/orilla pública desde las viviendas.
238 Assos, Kefallonia. Grecia	Isla de Cefalonia del archipiélago heptaneses de las Islas Jónicas, en el Mar Jónico. Límite: Parque Neochori (Komitaton-Karyas), Parque Nacional de Enos de la cadena montañosa que empieza en Serbia y atraviesa Albania.	Hay viviendas realizadas con hormigón de 2 o 3 plantas de altura.	La vivienda se desarrolla en un único volumen compacto que crece en vertical. Algunas viviendas se desarrollan en un volumen único y están rodeadas de terreno. Algunas viviendas tienen un patio privado anexo al volumen. Hay acceso al agua intermedio a través de una vía/orilla pública desde las viviendas. Hay acceso directo al agua desde algunas viviendas.
239 Kastelorizo, Rhodes. Grecia	Isla de Megisti del archipiélago Dodecaneso, en la periferia del Mar Egeo Meridional.	Hay algunas viviendas realizadas con hormigón de 1 o 2 plantas de altura.	La vivienda se desarrolla en un único volumen compacto que crece en vertical. Algunas viviendas se desarrollan en un volumen único y están rodeadas de terreno. Algunas viviendas tienen un patio privado anexo al volumen. Hay acceso al agua intermedio a través de una vía/orilla pública desde las viviendas. Hay acceso directo al agua desde algunas viviendas.
240 Klima, Milos. Grecia	Isla de Milos del archipiélago de las Cícladas, en la periferia del Mar Egeo Meridional. Límite: Golfo de Milos (antigua caldera del volcán).	Hay algunas viviendas realizadas con hormigón de 1 o 2 plantas de altura.	La vivienda se desarrolla en un único volumen compacto que crece en vertical. Algunas viviendas se desarrollan en un volumen único y están rodeadas de terreno. Algunas viviendas tienen un patio privado anexo al volumen. Hay acceso al agua intermedio a través de una vía/orilla pública desde las viviendas.

Tabla 49. Viviendas rurales en ribera de mar. Grecia y sus islas.

Coordenadas

	Población	Geolocalización	Coordenadas DMS	Altitud
235	Symi, Rhodes. Grecia	https://www.google.es/maps/place/Ano+Symi+856+00,+Grecia/@36.6151551,27.830236,15z/data=!3m1!4b1!4m5!3m4!1s0x14be2bddca4cd501:0x3c24766d4b1da10a!8m2!3d36.6156541!4d27.8359617?hl=es	36° 36' 58.935" N 27° 50' 14.562" E	40 m.
236	Órmos Ammoúdi, Thira. Grecia	https://www.google.es/maps/place/%C3%93rmos+Ammo%C3%BAdi/@36.4602243,25.369936,421m/data=!3m1!1e3!4m13!1m7!3m6!1s0x1499cb8b1c44c1a9:0x400bd2ce2b9c750!2sOya+847+02,+Grecia!3b1!8m2!3d36.4618199!4d25.3753101!3m4!1s0x1499cb838fd8db7d:0xfc103f6f167e0baf!8m2!3d36.4600197!4d25.370545?hl=es	36° 27' 36.036" N 25° 22' 14.587" E	10 m.
237	Aeropoli (Limeni), Laconia. Grecia	https://www.google.es/maps/place/Aeropoli+230+62,+Grecia/@36.6731837,22.3725213,2845m/data=!3m1!1e3!4m13!1m7!3m6!1s0x1361ee357b1039fd:0x8e4899559c9834ae!2sAeropoli+230+62,+Grecia!3b1!8m2!3d36.6660079!4d22.3805151!3m4!1s0x1361ee357b1039fd:0x8e4899559c9834ae!8m2!3d36.6660079!4d22.3805151?hl=es	36° 40' 53.108" N 22° 22' 37.274" E	5 m.
238	Assos, Kefallonia .Grecia	https://www.google.es/maps/place/Asos+280+84,+Grecia/@38.3775906,20.5389428,827m/data=!3m1!1e3!4m5!3m4!1s0x135d90b42082e795:0xd8fd262a3e031b2!8m2!3d38.3781612!4d20.5401307?hl=es	38° 22' 44.838" N 20° 32' 16.705" E	9 m.
239	Kastelorizo, Rhodes. Grecia	https://www.google.es/maps/place/Kastelorizo+851+11,+Grecia/@36.1497153,29.5881286,2025m/data=!3m1!1e3!4m5!3m4!1s0x14c1d77064935d99:0xa014eb45bec4720!8m2!3d36.1444801!4d29.5861581?hl=es	36° 9' 5.923" N 29° 35' 31.261" E	13 m.
240	Klima, Milos. Grecia	https://www.google.es/maps/place/Klima,+Grecia/@36.7356785,24.4204423,598m/data=!3m1!1e3!4m5!3m4!1s0x1498d8b7cb30f5a3:0xa8ed0d5676dc6e85!8m2!3d36.7347278!4d24.4204951?hl=es	36° 44' 4.696" N 24° 25' 10.832" E	8 m.

Tabla 50. Geolocalización de las viviendas rurales en ribera de mar. Grecia y sus islas.

3.8.2.1.1 Torres y vistas al mar.

Observamos una conexión entre este “volumen único” y el “paisaje” (recordemos que *la cuenca Mediterránea está delimitada por espacios montañosos de tipo alpino*⁸⁷⁷, con una línea litoral dónde las *tierras bajas cercanas a la costa están estrechamente divididas con laderas más o menos escarpadas*⁸⁷⁸), como podemos ver en las Imágenes 147-151.



Img. 149. Chiclana de Segura, España⁸⁷⁹. (Pobl. 202)



Img. 150. Adra, España. Barrio pesquero⁸⁸⁰.



Img. 151. Cádiz en España. Las torres vigías⁸⁸¹.



Img. 152. Aeropoli (Limeni), Laconia. Grecia⁸⁸²



Img. 153. Aeropoli (Limeni), Laconia. Grecia⁸⁸³

⁸⁷⁷ Robert Hofrichter. Op. Cit., p. 140.

⁸⁷⁸ Robert Hofrichter. Ibid., p. 134.

⁸⁷⁹ César García. (2019). *Chiclana de Segura, el mirador de las cuatro provincias*. [Web] https://cadenaser.com/emisora/2019/06/21/radio_jaen/1561131793_620485.html [Fecha de acceso: 16/05/2022].

⁸⁸⁰ Luis Feduchi, *op. cit.*, p. 92.

⁸⁸¹ (2014). [Web] <http://elblogdelaetc.blogspot.com/2014/12/historia-de-las-torres-vigias-de-cadiz.html> [Fecha de acceso: 16/05/2022].

⁸⁸² Mohammed Abdulaziz. (2020) [Google] <https://goo.gl/maps/mWUrXE3x6sNoudek7> [Fecha de acceso: 16/05/2022].

⁸⁸³ Stefanos Koronaios. (2020) [Google] <https://goo.gl/maps/dSh8diSZW4FmczTT6> [Fecha de acceso: 16/05/2022].

3.8.2.2 Ribera de mar. Península Itálica.



Pobl. 241. Tusa, Italia⁸⁸⁴.



Pobl. 242. Riomaggiore, Italia⁸⁸⁵.



Pobl. 243. Numana, Italia⁸⁸⁶.



Pobl. 244. Talamone, Italia⁸⁸⁷.

⁸⁸⁴ Nuccio Miraglia. (2013). *Castel di Tusa*. [Flickr] <https://flic.kr/p/eeYUrY> [Fecha de acceso: 16/05/2022].

⁸⁸⁵ Isidoro Merino. (2016). *De Sicilia a Lombardía, un viaje por los rincones más bellos de Italia*. [Web] https://elviajero.elpais.com/elviajero/2016/04/27/album/1461774757_477497.html#foto_gal_1 [Fecha de acceso: 16/05/2022].

⁸⁸⁶ Luca Antonio Lorenzelli. (2015). *The town of Numana*. [Web] <https://www.italymagazine.com/numana> [Fecha de acceso: 16/05/2022].

⁸⁸⁷ Torsten y Lidia. (2018). *Riomaggiore desde el aire*. [Web] <https://www.travelholicos.com/es/2020/04/19/ciudades/cinque-terredia-1/> [Fecha de acceso: 16/05/2022].

Presentación de datos. La vivienda como fuente primaria.

	Población	Entorno NATURAL	Técnica constructiva: HORMIGÓN	Acceso al agua / volumen
241	Tusa, Mesina. Italia	Isla de Sicilia, en el Mar Tirreno. Límite: Parco dei Nebrodi, Parco dell'Etna, Parco delle Madonie.	Hay algunas viviendas realizadas con hormigón de varias plantas de altura.	La vivienda se desarrolla en un único volumen compacto que crece en vertical. Algunas viviendas tienen un patio privado anexo al volumen. Algunas viviendas se desarrollan en un volumen único y están rodeadas de terreno. Hay acceso al agua intermedio a través de una vía/orilla pública desde las viviendas.
242	Riomaggiore, La Spezia. Italia	Costa del Mar de Liguria. Parco Nazionale delle Cinque Terre.	Hay algunas viviendas realizadas con hormigón de varias plantas de altura.	La vivienda se desarrolla en un único volumen compacto que crece en vertical. Algunas viviendas tienen un patio privado anexo al volumen. Algunas viviendas se desarrollan en un volumen único y están rodeadas de terreno. No hay acceso directo al agua desde las viviendas. Hay acceso al agua intermedio a través de una vía/orilla pública desde algunas viviendas.
243	Numana, Ancona. Italia	Costa del Mar Adriático. Límite: Parco Regionale del Monte Cucco, Parque Nacional de los Montes Sibilinos.	Hay algunas viviendas realizadas con hormigón de varias plantas de altura.	La vivienda se desarrolla en un único volumen compacto que crece en vertical. Algunas viviendas tienen un patio privado anexo al volumen. Algunas viviendas se desarrollan en un volumen único y están rodeadas de terreno. No hay acceso directo al agua desde las viviendas.
244	Talamone, Grosseto. Italia	Costa del Mar Tirreno. Parco Regionale della Maremma. Límite: Parco Naturale Regionale di Bracciano Martignano, Lago di Bolsena	Hay algunas viviendas realizadas con hormigón de 2 o 3 plantas de altura.	La vivienda se desarrolla en un único volumen compacto que crece en vertical rodeada de terreno. No hay acceso directo al agua desde las viviendas. Hay acceso al agua intermedio a través de una vía/orilla pública desde algunas viviendas.

Tabla 51. Viviendas en ribera de mar. Península Itálica.

Coordenadas

	Población	Geolocalización	Coordenadas DMS	Altitud
241	Tusa, Mesina. Italia	https://www.google.es/maps/place/98079+Castel+di+Tusa,+Mesina,+Italia/@38.0093866,14.248254,3290m/data=!3m2!1e3!4b1!4m13!1m7!3m6!1s0x131726525bea0793:0xbefab43d187f437b!2s98079+Tusa,+Mesina,+Italia!3b1!8m2!3d37.9834939!4d14.2362677!3m4!1s0x13172715ddd766b:0x7be908e430b22bb4!8m2!3d38.008789!4d14.250716?hl=es	38° 0' 28.716" N 14° 15' 8.693" E	15 m.
242	Riomaggiore, La Spezia. Italia	https://www.google.es/maps/place/19017+Riomaggiore,+La+Spezia,+Italia/@44.0995188,9.7353942,1071m/data=!3m2!1e3!4b1!4m5!3m4!1s0x12d4fa8971ac8b07:0x119e0fb487f86580!8m2!3d44.0990492!4d9.7374851?hl=es	44° 5' 58.083" N 9° 44' 16.203" E	56 m.
243	Numana, Ancona. Italia	https://www.google.es/maps/place/60026+Numana,+Ancona,+Italia/@43.5114153,13.614805,1529m/data=!3m1!1e3!4m5!3m4!1s0x13327eb3d768ad7b:0xf82003d0aadd0e4e!8m2!3d43.510502!4d13.6221799?hl=es	43° 30' 44.405" N 13° 37' 16.571" E	28 m.
244	Talamone, Grosseto. Italia	https://www.google.es/maps/place/Talamone,+Grosseto,+Italia/@42.5562672,11.1215024,2197m/data=!3m2!1e3!4b1!4m5!3m4!1s0x13284e761960135f:0x92176fe7a351ab7a!8m2!3d42.5555309!4d11.131689?hl=es	42° 33' 13.851" N 11° 8' 0.750" E	18 m.

Tabla 52. Geolocalización de las de viviendas en ribera de mar. Península Itálica.

3.8.2.3 Ribera de mar. Mediterráneo.



Pobl. 245. Tabarca, España⁸⁸⁸.



Pobl. 246. Cadaqués, España⁸⁸⁹.



Pobl. 247. Sa Tuna, España⁸⁹⁰.



Pobl. 248. Turanj, Croacia⁸⁹¹.



Pobl. 249. Saint-Tropez, Francia⁸⁹².



Pobl. 250. Cassis, Francia⁸⁹³.

⁸⁸⁸ (2019). *Tabarca, more than just a simple island*. [Web] <https://www.tabarbus.es/en/tabarca-more-than-just-a-simple-island/> [Fecha de acceso: 16/05/2022].

⁸⁸⁹ Xavier Tugas. (2005). *Cadaques (Girona) puerto*. [Flickr] <https://flic.kr/p/4fijMT> [Fecha de acceso: 16/05/2022].

⁸⁹⁰ *Playa de Sa Tuna*. [Tripadvisor] https://www.tripadvisor.es/Attraction_Review-g609015-d8380202-Reviews-or15-Plage_de_Sa_Tuna-Begur_Costa_Brava_Province_of_Girona_Catalonia.html?m=19905 [Fecha de acceso: 16/05/2022].

⁸⁹¹ Vanishing Worlds. (2017). *Turanj-15*. [Flickr] <https://flic.kr/p/ZwNt1M> [Fecha de acceso: 16/05/2022].

⁸⁹² Sunshine Riviera Tour. *Riviera Tour Full-Day Private Saint Tropez Shore Excursion*. [Web] https://www.tripadvisor.com/AttractionProductReview-g187242-d11792557-Full_Day_Private_Saint_Tropez_Shore_Excursion_Port_Grimaud_Gassin_Ramatuelle-Saint.html [Fecha de acceso: 16/05/2022].

⁸⁹³ Boris Stroujko. *15 Picture-Perfect Towns in Provence, France*. [Web] <http://www.kristyalpert.com/fodors-travel/> [Fecha de acceso: 16/05/2022].



Pobl. 251. Ras al-Bassit. Siria⁸⁹⁴.



Pobl. 252. Taguermess, Túnez⁸⁹⁵.



Pobl. 253. Akyaka, Turquía⁸⁹⁶.



Pobl. 254. Kilitbahir, Turquía⁸⁹⁷.



Pobl. 255. Ziam Mansouriah, Argelia⁸⁹⁸.



Pobl. 256. Susah, Libia⁸⁹⁹.

⁸⁹⁴ M. Foulquié. *Ras el Basit*. [Web] <https://www.rac-spa.org/node/920> [Fecha de acceso: 16/02/2022].

⁸⁹⁵ [Web] <https://www.booking.com/hotel/tn/el-mouradi-djerba-menzel.es.html?activeTab=photosGallery> [Fecha de acceso: 16/02/2022].

⁸⁹⁶ [Web] <https://www.ensonhaber.com/galeri/muglanin-kucuk-cenneti-akyaka#2> [Fecha de acceso: 16/02/2022].

⁸⁹⁷ Biga'm. (2012). *Kilitbahir*. [Flickr] <https://bit.ly/3IXFBuP> [Fecha de acceso: 16/02/2022].

⁸⁹⁸ Yann Arthus-Bertrand. *Ziam Mansouria, Argelia*. [Web] <https://www.pinterest.es/pin/373658100304235410/> [Fecha de acceso: 16/02/2022].

⁸⁹⁹ Maher Alawami. (2021). *Al Manara Tourist Hotel*. [Google Maps] <https://goo.gl/maps/G56UqCxKRY7ex39b8> [Fecha de acceso: 16/02/2022].

	Población	Entorno NATURAL	Técnica constructiva: HORMIGÓN	Acceso al agua / volumen
245	Tabarca, Alicante. España	Isla de Tabarca, en el mar Mediterráneo. Reserva Marina de la Isla de Tabarca.	Hay algunas viviendas realizadas con hormigón de 1 o 2 plantas de altura.	La vivienda se desarrolla en un único volumen compacto con un patio privado anexo al volumen. No hay acceso directo al agua desde las viviendas.
246	Cadaqués, Gerona. España	Costa de la Bahía de Cadaqués del golfo de Lion, en el mar Mediterráneo. Serra de Rodes. Límite: Parque Natural del Cabo de Creus, Parque Natural Regional de los Pirineos Catalanes, Muntanyes de Begur.	Hay viviendas realizadas con hormigón de varias plantas de altura.	La vivienda se desarrolla en un único volumen compacto que crece en vertical. Algunas viviendas están rodeadas de terreno. Algunas viviendas tienen un patio privado interior o anexo al volumen. Hay acceso al agua intermedio a través de una vía/orilla pública desde las viviendas.
247	Sa Tuna, Gerona. España	Costa en el mar Mediterráneo. Muntanyes de Begur. Límite: Parque Natural del Cabo de Creus, Parque Natural Regional de los Pirineos Catalanes.	Hay algunas viviendas realizadas con hormigón de 2 o 3 plantas de altura.	La vivienda se desarrolla en un único volumen compacto. Algunas viviendas están rodeadas de terreno. Algunas viviendas tienen un patio privado anexo al volumen. Hay acceso al agua intermedio a través de una vía/orilla pública desde las viviendas.
248	Turanj, Zadar. Croacia	Costa en el Mar Adriático. Límite: National Park Kornati, Vrana Lake - ornithological reserve	Hay viviendas realizadas con hormigón de varias plantas de altura.	La vivienda se desarrolla en un único volumen compacto. Algunas viviendas están rodeadas de terreno. Algunas viviendas tienen un patio privado anexo al volumen. Hay acceso al agua intermedio a través de una vía/orilla pública desde las viviendas.
249	Saint-Tropez, Var. Francia	Costa del golfo de Saint-Tropez, en el mar Mediterráneo. Límite: Plaine des Maures, Parc Naturel Régional de la Sainte-Baume, Parc Naturel régional des Préalpes d'Azur	Hay viviendas realizadas con hormigón de varias plantas de altura.	La vivienda se desarrolla en un único volumen compacto que crece en vertical. Algunas viviendas están rodeadas de terreno. Algunas viviendas tienen un patio privado interior o anexo al volumen. Hay acceso al agua intermedio a través de una vía/orilla pública desde algunas viviendas. No hay acceso directo al agua desde algunas viviendas.
250	Cassis, Bocas del Ródano. Francia	Costa de la bahía de Cassis, en el mar Mediterráneo. Límite: Parc National des Calanques, Parc Naturel Régional de la Sainte-Baume,	Hay viviendas realizadas con hormigón de varias plantas de altura.	La vivienda se desarrolla en un único volumen compacto que crece en vertical. Algunas viviendas están rodeadas de terreno. Algunas viviendas tienen un patio privado interior o anexo al volumen. Hay acceso al agua intermedio a través de una vía/orilla pública desde algunas viviendas. No hay acceso directo al agua desde algunas viviendas.
251	Ras al-Bassit. Latakia. Siria	Costa de la bahía Khalij al Basit, en el mar Mediterráneo. Límite: Lago Tishreen, Cordillera Al-Ansariyyah.	Hay viviendas realizadas con hormigón de varias plantas de altura.	La vivienda se desarrolla en un único volumen compacto. Algunas viviendas están rodeadas de terreno. Algunas viviendas tienen un patio privado anexo al volumen. Hay acceso al agua intermedio a través de una vía/orilla pública desde algunas viviendas.
252	Taguermess, Médenine. Túnez	Costa del golfo de Gabés, en el mar Mediterráneo. Límite: Parque Nacional Jebil.	Las viviendas están realizadas con hormigón.	La vivienda se desarrolla en un único volumen compacto, un patio privado interior en el volumen, rodeadas de terreno. Hay acceso al agua intermedio a través de una vía/orilla pública desde algunas viviendas.

Presentación de datos. La vivienda como fuente primaria.

253	Akyaka, Muğla. Turquía	Costa del Golfo de Gökova, en el Mar Egeo. Límite: Dilek Yarımadası Büyük Menderes Deltası Milli Parkı, Marmaris National Park, Kazdağları Göknaarı Tabiatı Koruma Alanı	Hay algunas viviendas realizadas con hormigón de varias plantas de altura.	La vivienda se desarrolla en un único volumen compacto. Algunas viviendas están rodeadas de terreno. Algunas viviendas tienen un patio privado anexo al volumen. Hay acceso al agua intermedio a través de una vía/orilla pública desde algunas viviendas.
254	Kilitbahir, Çanakkale. Turquía	Costa en el estecho de Dardanelos, entre el Mar Egeo y el mar de Mármara. Límite: Kazdağları Göknaarı Tabiatı Koruma Alanı.	Hay viviendas realizadas con hormigón de varias plantas de altura.	La vivienda se desarrolla en un único volumen compacto que crece en vertical. Algunas viviendas están rodeadas de terreno. Algunas viviendas tienen un patio privado anexo al volumen. No hay acceso directo al agua desde algunas viviendas.
255	Ziama Mansouriah, Jijel. Argelia	Costa del golfo de Béjaïa, en el mar Mediterráneo. Límite: Parc Tighremt	Hay viviendas realizadas con hormigón de varias plantas de altura.	La vivienda se desarrolla en un único volumen compacto que crece en vertical. Algunas viviendas están rodeadas de terreno. Algunas viviendas tienen un patio privado anexo al volumen. No hay acceso directo al agua desde algunas viviendas. Hay acceso al agua intermedio a través de una orilla desde algunas viviendas.
256	Susah, Jabal al Akhdar. Libia	Costa en el mar Mediterráneo. Límite: Montañas Akhdar, Great Sand Sea, desierto de Libia.	Hay viviendas realizadas con hormigón de varias plantas de altura.	La vivienda se desarrolla en un único volumen compacto que crece en vertical. Algunas viviendas están rodeadas de terreno. Algunas viviendas tienen un patio privado inferior o anexo al volumen. Hay acceso al agua intermedio a través de una orilla desde las viviendas.

Tabla 53. Viviendas en ribera de mar. Mediterráneo.

Coordenadas

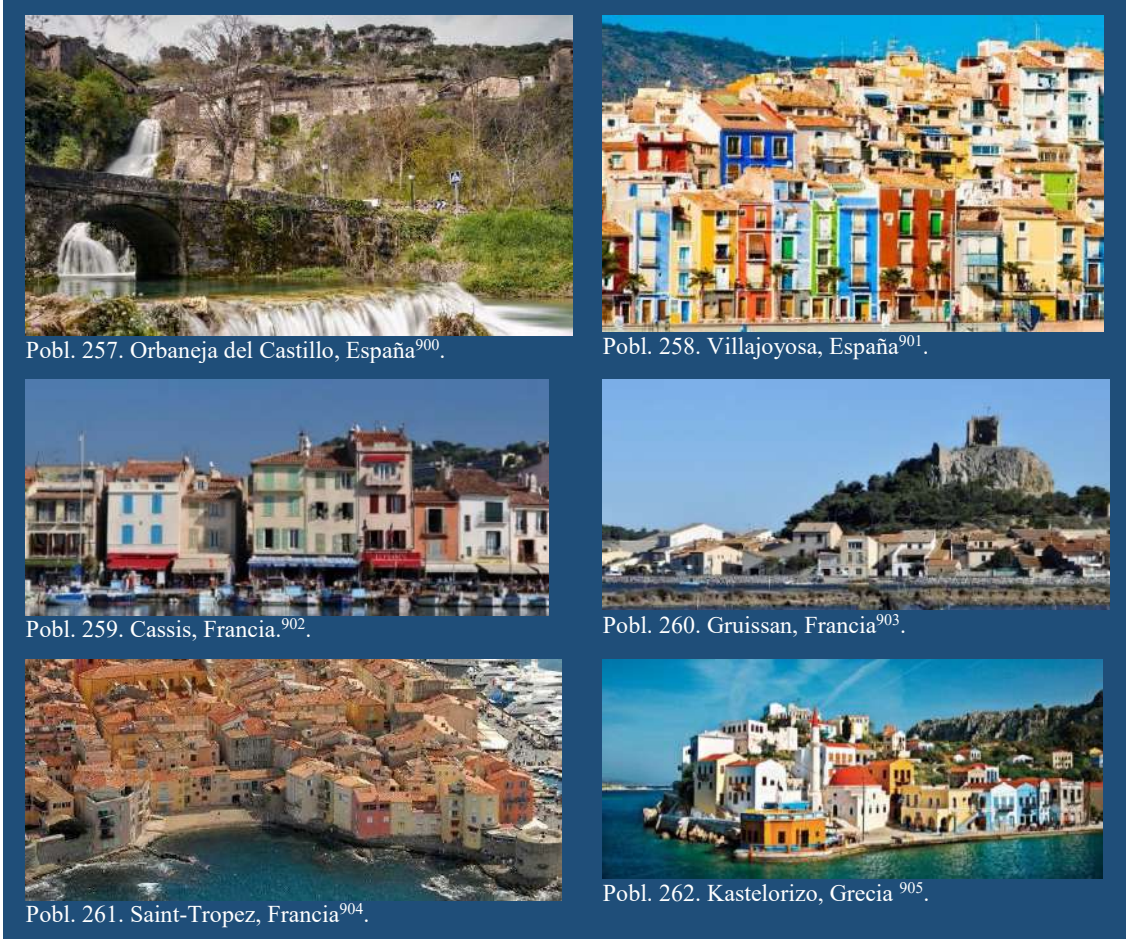
Población	Geolocalización	Coordenadas DMS	Altitud
245 Tabarca, Alicante. España	https://www.google.es/maps/place/03138+Tabarca,+Alicante/@38.1662895,-0.4826863,493m/data=!3m1!1e3!4m5!3m4!1s0xd624fc9b9196da3:0xa2143497b6fe3626!8m2!3d38.1662213!4d-0.4817949?hl=es	38° 9' 58.578" N 0° 28' 55.405" W	8 m.
246 Cadaqués, Gerona. España	https://www.google.es/maps/place/Cadaqu%C3%A9s,+Gerona/@42.2870876,3.2725862,2206m/data=!3m2!1e3!4b1!4m5!3m4!1s0x12ba6f3e36acd499:0x6c31794ebb29ec70!8m2!3d42.2887571!4d3.2779723?hl=es	42° 17' 16.902" N 3° 16' 33.528" E	20 m.
247 Sa Tuna, Gerona. España	https://www.google.es/maps/place/Sa+Tuna,+Gerona/@41.960655,3.2235593,1552m/data=!3m2!1e3!4b1!4m13!1m7!3m6!1s0x12ba53d81794d96f:0x1fb9238b71186c25!2s17255+Begur,+Girona!3b1!8m2!3d41.953551!4d3.2025608!3m4!1s0x12ba518f7d6a471b:0x125d424990982b66!8m2!3d41.9605632!4d3.2287145?hl=es	41° 57' 41.310" N 3° 13' 48.384" E	18 m.
248 Turanj, Zadar. Croacia	https://www.google.es/maps/place/23207,+Turanj,+Croacia/@43.9710032,15.3745747,8586m/data=!3m2!1e3!4b1!4m5!3m4!1s0x4761e07247730e1d:0x1525c242aad8eb7a!8m2!3d43.968465!4d15.4077563?hl=es	43° 58' 5.097" N 15° 24' 26.484" E	6 m.
249 Saint-Tropez, Var. Francia	https://www.google.es/maps/place/83990+Saint-Tropez,+Francia/@43.2619242,6.632071,8688m/data=!3m2!1e3!4b1!4m5!3m4!1s0x12cec7148316e747:0x912a1b632d84b9df!8m2!3d43.2676808!4d6.6407109?hl=es	43° 16' 19.391" N 6° 38' 28.158" E	15 m.

250	Cassis, Bocas del Ródano. Francia	https://www.google.es/maps/place/13260+Cassis,+Francia/@43.2185742,5.5152744,8694m/data=!3m2!1e3!4b1!4m5!3m4!1s0x12c9bac66b7ee435:0x40819a5fd970430!8m2!3d43.215134!4d5.53712?hl=es	43° 12' 56.269" N 5° 32' 17.008" E	16 m.
251	Ras al-Bassit. Latakia. Siria	https://www.google.es/maps/place/Ras+al+Basit,+Siria/@35.8500735,35.831656,2417m/data=!3m2!1e3!4b1!4m5!3m4!1s0x15269c65677218c3:0xe56f4c15e798d75f!8m2!3d35.847013!4d35.8375393?hl=es	35° 50' 55.708" N 35° 50' 0.871" E	7 m.
252	Taguermess, Médenine. Túnez	https://www.google.es/maps/place/Taguermess,+T%C3%BANEZ/@33.8218136,11.0266387,5847m/data=!3m1!1e3!4m13!1m7!3m6!1s0x13aa96fc831e1c03:0x1db4408c6bf67cce!2sEl+Haddad,+T%C3%BANEZ!3b1!8m2!3d33.7879308!4d11.0344094!3m4!1s0x13aa970cae9ed9b7:0x1f911181c3059980!8m2!3d33.8125999!4d11.0320383?hl=es	33° 49' 7.143" N 11° 3' 10.651" E	7 m.
253	Akyaka, Muğla. Turquía	https://www.google.es/maps/place/Akyaka,+48640+Ula%2FProvincia+de+Mu%C4%9Fla,+Turqu%C3%ADa/@37.0544633,28.3182603,2380m/data=!3m2!1e3!4b1!4m5!3m4!1s0x14bf9fdb725995b:0x9d78f220d12fef1c!8m2!3d37.055701!4d28.324206?hl=es	37° 3' 12.418" N 28° 19' 29.297" E	8 m.
254	Kilitbahir, Çanakkale. Turquía	https://www.google.es/maps/place/Kilitbahir,+17902+Kilid%C3%BCIbahir%2FEceabat%2FProvincia+de+%C3%87anakkale,+Turqu%C3%ADa/@40.1477826,26.3710562,2280m/data=!3m2!1e3!4b1!4m5!3m4!1s0x14b1a9a392465b29:0x9df95d9a24e355b5!8m2!3d40.147767!4d26.379811?hl=es	40° 8' 54.412" N 26° 22' 41.847" E	20 m.
255	Ziama Mansouria, Jijel. Argelia	https://www.google.es/maps/place/Chobae/@36.6742223,5.4657714,3998m/data=!3m1!1e3!4m13!1m7!3m6!1s0x12f2ef4c390f7163:0x2fac9cc4690505ed!2sZiama+Mansouriah,+Argelia!3b1!8m2!3d36.6611639!4d5.438632!3m4!1s0x12f2e89ebe0d25af:0x71f7ffae5b0051c!8m2!3d36.6615771!4d5.4525018?hl=es	36° 40' 27.480" N 5° 28' 50.511" E	18 m.
256	Susah, Jabal al Akhdar. Libia	https://www.google.es/maps/place/Susah,+Libia/@32.8947917,21.9551408,2978m/data=!3m1!1e3!4m5!3m4!1s0x137fa23a3dabf5e1:0xc8db83ca63783377!8m2!3d32.8953986!4d21.9611919?hl=es	32° 54' 0.439" N 21° 57' 47.064" E	9 m.

Tabla 54. Geolocalización de las de viviendas en ribera de mar. Mediterráneo.

3.8.3. Ribera o rivera con acceso directo desde la vivienda.

3.8.3.1 Ribera o rivera. Acceso directo al agua. Europa.



⁹⁰⁰ Jose Peral Merino. (2016). *Orbaneja del castillo II*. [Flickr] t.ly/Rvy0 [Fecha de acceso: 16/05/2022].

⁹⁰¹ *11 sitios y pueblos bonitos que ver en la Costa Blanca*. [Web] <https://www.campingarenablanca.com/que-ver-en-la-costa-blanca/> [Fecha de acceso: 16/05/2022].

⁹⁰² Michel Augsburguer. (2013). *Cassis, One of the Most Picturesque Seaside Towns in Provence*. [Web] <http://sablethouse.blogspot.com/2013/04/cassis-one-of-most-picturesque-seaside.html> [Fecha de acceso: 16/05/2022].

⁹⁰³ Herman Verheij. (2016). *Gruissan*. [Flickr] t.ly/pD4i [Fecha de acceso: 16/05/2022].

⁹⁰⁴ Sunshine Riviera Tour. *Riviera Tour Full-Day Private Saint Tropez Shore Excursion*. [Web] https://www.tripadvisor.com/AttractionProductReview-g187242-d11792557-Full_Day_Private_Saint_Tropez_Shore_Excursion_Port_Grimaud_Gassin_Ramatuelle-Saint.html [Fecha de acceso: 16/05/2022].

⁹⁰⁵ Hercules Milas. (2011). *Partial view of the picturesque village of Kastelorizo*. [Web] <https://www.alamy.com/stock-photo-partial-view-of-the-picturesque-village-of-kastelorizo-or-meghisti-41786145.html> [Fecha de acceso: 16/05/2022].



Pobl. 263. Peschiera di Garda, Italia⁹⁰⁶.



Pobl. 264. Alleghe, Italia⁹⁰⁷.



Pobl. 265. Como, Italia⁹⁰⁸.



Pobl. 266. Orta San Giulio, Novara. Italia⁹⁰⁹.



Pobl. 267. Venecia, Italia⁹¹⁰.



Pobl. 268. Gerolimenas, Grecia⁹¹¹.

⁹⁰⁶ [Web] <https://www.tienesplaneshoy.com/2018/03/15-dias-norte-italia-Bergamo-Desenzano.html> [Fecha de acceso: 16/05/2022].

⁹⁰⁷ [Web] <https://www.tienesplaneshoy.com/2018/03/15-dias-italia-dolomitas-alleghe.html> [Fecha de acceso: 16/05/2022].

⁹⁰⁸ (2018). *Recorriendo el Lago di Como*. [Web] <https://www.tienesplaneshoy.com/2018/03/15-dias-italia-lago-como-visitar.html> [Fecha de acceso: 16/05/2022].

⁹⁰⁹ Franz Marc Frei. (2012). *Northern part of Isola San Giulio, Lake Orta, Piedmont, Italy* [Web] <https://www.robertharding.com/preview/1113-31909/northern-part-isola-san-giulio-lake-orta-piedmont/> [Fecha de acceso: 16/05/2022].

⁹¹⁰ Google. (2013) [Google Maps] <https://www.google.es/maps/@45.433599,12.3347028,3a,75y,56.98h,98.59t/data=!3m6!1e1!3m4!1s2KqgHPo3q5r9BAFZCyQ1Og!2e0!7i13312!8i6656?hl=es> [Fecha de acceso: 16/05/2022].

⁹¹¹ John Grivas. (2016). *Gerolimenas*. [Flickr] <https://t.ly/rdRg> [Fecha de acceso: 16/05/2022].

	Población	Río / mar	Técnica constructiva: HORMIGÓN	Acceso al agua / volumen
257	Orbaneja del Castillo, Burgos. España	Río Ebro.	No hay viviendas de hormigón.	La vivienda se desarrolla en un único volumen compacto que crece en vertical. Algunas viviendas tienen un patio privado anexo al volumen. No hay acceso directo al agua desde las viviendas. Hay acceso al agua intermedio a través de una vía/orilla pública desde algunas viviendas.
258	Villajoyosa, Alicante. España	Mar Mediterráneo.	Hay viviendas realizadas con hormigón de varias plantas de altura.	La vivienda se desarrolla en un único volumen compacto que crece en vertical. Algunas viviendas están rodeadas de terreno. Algunas viviendas tienen un patio privado interior o anexo al volumen. Hay acceso al agua intermedio a través de una vía/orilla pública desde algunas viviendas.
259	Cassis, Bocas del Ródano. Francia	Mar Mediterráneo.	Hay viviendas realizadas con hormigón de varias plantas de altura.	La vivienda se desarrolla en un único volumen compacto que crece en vertical. Algunas viviendas están rodeadas de terreno. Algunas viviendas tienen un patio privado interior o anexo al volumen. Hay acceso al agua intermedio a través de una vía/orilla pública desde algunas viviendas. No hay acceso directo al agua desde algunas viviendas.
260	Gruissan, Aude. Francia	Laguna del Estanque de Ayrolle y Laguna del Estanque de Grazel, junto al golfo de Lion del mar Mediterráneo. Parque Natural Regional de Narbona	Hay viviendas realizadas con hormigón de varias plantas de altura.	La vivienda se desarrolla en un único volumen compacto que crece en vertical. Algunas viviendas tienen un patio privado anexo al volumen. Las viviendas conforman un conjunto compacto formando la población. Hay algunas viviendas aisladas en el entorno próximo.
261	Saint-Tropez, Var. Francia	Golfo de Saint-Tropez en el mar Mediterráneo.	Hay viviendas realizadas con hormigón de varias plantas de altura.	La vivienda se desarrolla en un único volumen compacto que crece en vertical. Algunas viviendas están rodeadas de terreno. Algunas viviendas tienen un patio privado interior o anexo al volumen. Hay acceso al agua intermedio a través de una vía/orilla pública desde algunas viviendas. No hay acceso directo al agua desde algunas viviendas.
262	Kastelorizo, Rhodes. Grecia	Mar Egeo Meridional.	Hay algunas viviendas realizadas con hormigón de 2 o 3 plantas de altura.	La vivienda se desarrolla en un único volumen compacto que crece en vertical. Algunas viviendas se desarrollan en un volumen único y están rodeadas de terreno. Algunas viviendas tienen un patio privado anexo al volumen. Hay acceso al agua intermedio a través de una vía/orilla pública desde las viviendas. Hay acceso directo al agua desde algunas viviendas.
263	Peschiera del Garda, Verona. Italia	Desembocadura del Río Mincio al Lago di Garda.	Hay viviendas realizadas con hormigón de 2 o 3 plantas de altura.	La vivienda se desarrolla en un único volumen compacto que crece en vertical rodeada de terreno. Algunas viviendas se desarrollan en un único volumen compacto que crece en vertical. No hay acceso directo al agua desde algunas viviendas. Hay acceso directo al agua desde algunas viviendas. Hay acceso al agua intermedio a través de una vía/orilla pública desde algunas viviendas.
264	Alleghe, Belluno. Italia	Lago di Alleghe.	Hay viviendas realizadas con hormigón de varias plantas de altura.	La vivienda se desarrolla en un único volumen compacto que crece en vertical. Algunas viviendas se desarrollan en un volumen único y están rodeadas de terreno. Algunas viviendas tienen un patio privado anexo al volumen. Hay acceso al agua intermedio a través de una vía/orilla pública desde las viviendas.

Presentación de datos. La vivienda como fuente primaria.

265	Como, Como. Italia	Lago di Como.	Hay viviendas realizadas con hormigón de varias plantas de altura.	La vivienda se desarrolla en un único volumen compacto que crece en vertical. Algunas viviendas están rodeadas de terreno. Algunas viviendas tienen un patio privado interior o anexo al volumen. Hay acceso al agua intermedio a través de una vía/orilla pública desde algunas viviendas. No hay acceso directo al agua desde algunas viviendas.
266	Orta San Giulio, Novara. Italia	Lago d'Orta	No hay viviendas de Hormigón Armado.	La vivienda se desarrolla en un único volumen compacto que crece en vertical con un patio privado anexo al volumen. Hay acceso directo al agua desde las viviendas.
267	Venecia, Venecia. Italia	Laguna de Venecia, junto al Mar Adriático	Hay viviendas realizadas con hormigón de varias plantas de altura.	La vivienda se desarrolla en un único volumen compacto que crece en vertical. Algunas viviendas tienen un patio privado interior o anexo al volumen. Hay acceso directo al agua desde las viviendas.
268	Gerolimenas, Laconia. Grecia	Mar Egeo.	Hay algunas viviendas realizadas con hormigón de 2 o 3 plantas de altura.	La vivienda se desarrolla en un único volumen compacto que crece en vertical. Algunas viviendas tienen un patio privado anexo al volumen. Algunas viviendas están rodeadas de terreno. Hay acceso directo al agua desde las viviendas. Hay acceso al agua intermedio a través de una vía/orilla pública desde algunas viviendas.
269	Parga, Préveza. Grecia	Mar Jónico.	Hay viviendas realizadas con hormigón de varias plantas de altura.	La vivienda se desarrolla en un único volumen compacto que crece en vertical. Algunas viviendas están rodeadas de terreno. Algunas viviendas tienen un patio privado anexo al volumen. Hay acceso al agua intermedio a través de una vía/orilla pública desde algunas viviendas. No hay acceso directo al agua desde algunas viviendas.
270	Asos, Grecia	Bahía Kólpos Mirtos en el Mar Jónico.	Hay algunas viviendas realizadas con hormigón de 1 o 2 plantas de altura.	La vivienda se desarrolla en un único volumen compacto. Algunas viviendas tienen un patio privado anexo al volumen. Algunas viviendas están rodeadas de terreno. Hay acceso al agua intermedio a través de una vía/orilla pública desde algunas viviendas. Hay acceso directo al agua desde algunas viviendas.
271	La Valeta, Malta	Puerto Natural Marsamxett y Puerto Natural el Grand Harbour, ambos en el mar Mediterráneo.	Hay viviendas realizadas con hormigón de varias plantas de altura.	La vivienda se desarrolla en un único volumen compacto que crece en vertical. Algunas viviendas tienen un patio privado interior o anexo al volumen. No hay acceso directo al agua desde las viviendas. Hay acceso al agua intermedio a través de una vía/orilla pública desde algunas viviendas.
272	Perast, Kotor, Montenegro.	Bocas de Kotor en el mar Mediterráneo.	Hay alguna vivienda realizada con hormigón de varias plantas de altura.	La vivienda se desarrolla en un único volumen compacto. Algunas viviendas tienen un patio privado anexo al volumen. Algunas viviendas están rodeadas de terreno. Hay acceso al agua intermedio a través de una vía/orilla pública desde algunas viviendas.
273	Turanj, Zadar. Croacia	Mar Adriático.	Hay viviendas realizadas con hormigón de varias plantas de altura.	La vivienda se desarrolla en un único volumen compacto que crece en vertical. Algunas viviendas están rodeadas de terreno. Algunas viviendas tienen un patio privado anexo al volumen. Hay acceso al agua intermedio a través de una vía/orilla pública desde las viviendas.

274	Máribor, Eslovenia	Río Drava.	Hay viviendas realizadas con hormigón de varias plantas de altura.	La vivienda se desarrolla en un único volumen compacto. Algunas viviendas tienen un patio privado interior o anexo al volumen. Algunas viviendas están rodeadas de terreno. Hay acceso al agua intermedio a través de una vía/orilla pública desde algunas viviendas. No hay acceso directo al agua desde algunas viviendas.
-----	--------------------	------------	--	--

Tabla 55. Viviendas en ribera o rivera con acceso directo al agua. Europa.

Coordenadas:

	Población	Geolocalización	Coordenadas DMS	Altitud
257	Orbaneja del Castillo, Burgos. España	https://www.google.es/maps/place/09145+Orbaneja+del+Castillo,+Burgos/@42.8343842,-3.7956382,547m/data=!3m2!1e3!4b1!4m5!3m4!1s0xd48ca51ec0f81d:0x9598ba8c29071bfc!8m2!3d42.835513!4d-3.793998?hl=es	42° 50' 2.058" N 3° 47' 35.077" W	701 m.
258	Villajoyosa, Alicante. España	https://www.google.es/maps/place/03570+Villajoyosa,+Alicante/@38.5095315,-0.2370712,2775m/data=!3m1!1e3!4m5!3m4!1s0xd62198cf2030967:0xc1b0d625aa84f2f2!8m2!3d38.5079606!4d-0.2285807?hl=es	38° 30' 27.896" N 0° 13' 44.144" W	31 m.
259	Cassis, Bocas del Ródano. Francia	https://www.google.es/maps/place/13260+Cassis,+Francia/@43.2185742,5.5152744,8694m/data=!3m2!1e3!4b1!4m5!3m4!1s0x12c9bac66b7ee435:0x40819a5fd970430!8m2!3d43.215134!4d5.53712?hl=es	43° 12' 56.269" N 5° 32' 17.008" E	16 m.
260	Gruissan, Aude. Francia	https://www.google.com/maps/place/11430+Gruissan,+Francia/@43.104131,3.016003,25197m/data=!3m2!1e3!4b1!4m5!3m4!1s0x12b05568a27ca6a3:0x4103ff809ed37896!8m2!3d43.107052!4d3.086181	43° 6' 26.457" N 3° 5' 4.489" E	10 m.
261	Saint-Tropez, Var. Francia	https://www.google.es/maps/place/83990+Saint-Tropez,+Francia/@43.2619242,6.632071,8688m/data=!3m2!1e3!4b1!4m5!3m4!1s0x12cec7148316e747:0x912a1b632d84b9df!8m2!3d43.2676808!4d6.6407109?hl=es	43° 16' 19.391" N 6° 38' 28.158" E	15 m.
262	Kastelorizo, Rhodes. Grecia	https://www.google.es/maps/place/Kastelorizo+851+11,+Grecia/@36.1497153,29.5881286,2025m/data=!3m1!1e3!4m5!3m4!1s0x14c1d77064935d99:0xa014eb45bec4720!8m2!3d36.1444801!4d29.5861581?hl=es	36° 9' 5.923" N 29° 35' 31.261" E	13 m.
263	Peschiera del Garda, Verona. Italia	https://www.google.es/maps/place/37019+Peschiera+del+Garda,+Verona,+Italia/@45.4413255,10.6621491,6489m/data=!3m2!1e3!4b1!4m5!3m4!1s0x4781ebd53405a0a1:0x46ae81121df51696!8m2!3d45.4396385!4d10.6865449?hl=es	45° 26' 20.377" N 10° 41' 41.725" E	64 m.
264	Alleghe, Belluno. Italia	https://www.google.es/maps/place/32022+Alleghe,+Belluno,+Italia/@46.4086735,12.0192187,1594m/data=!3m2!1e3!4b1!4m5!3m4!1s0x47784edcd91a7359:0xb91aa61cb375cebe!8m2!3d46.4069654!4d12.0203957?hl=es	46° 24' 24.956" N 12° 1' 13.740" E	977 m.
265	Como, Como. Italia	https://www.google.es/maps/place/22100+Como,+Italia/@45.8108918,9.068767,3496m/data=!3m1!1e3!4m5!3m4!1s0x47869c481027ed63:0xb99b96af785ff524!8m2!3d45.8080597!4d9.0851765?hl=es	45° 48' 52.009" N 9° 4' 56.744" E	203 m.
266	Orta San Giulio, Novara. Italia	https://www.google.es/maps/place/28016+Orta+San+Giulio,+Novara,+Italia/@45.7964617,8.405217,3224m/data=!3m2!1e3!4b1!4m5!3m4!1s0x47860cf1ca128ed3:0x3b65ddffb6ef933!8m2!3d45.7967444!4d8.4162194?hl=es	45° 47' 48.843" N 8° 24' 11.758" E	291 m.
267	Venecia, Venecia. Italia	https://www.google.es/maps/place/Venecia,+Italia/@45.4506194,12.264673,16738m/data=!3m1!1e3!4m5!3m4!1s0x477eb1daf1d63d89:0x7ba3c6f0bd92102f!8m2!3d45.4408474!4d12.3155151?hl=es	45° 26' 0.888" N 12° 20' 4.935" E	10 m.
268	Gerolimenas, Laconia. Grecia	https://www.google.es/maps/place/Gerolimenas,+Grecia/@36.4814728,22.3994317,713m/data=!3m1!1e3!4m5!3m4!1s0x1361f7df674bfd33:0xaf00407e859eeb89!8m2!3d36.4814034!4d22.401009?hl=es	36° 28' 52.260" N 22° 24' 4.137" E	4 m.

Presentación de datos. La vivienda como fuente primaria.

269	Parga, Préveza. Grecia	https://www.google.es/maps/place/Parga,+Grecia/@39.2854162,20.3993003,2308m/data=!3m2!1e3!4b1!4m5!3m4!1s0x135c634bf2754a69:0x88f6a4602855c99d!8m2!3d39.2853344!4d20.4005005?hl=es	39° 17' 5.430" N 20° 23' 59.853" E	11 m.
270	Asos, Grecia	https://www.google.es/maps/place/Asos+280+84,+Grecia/@38.3791538,20.5342588,15.75z/data=!4m1!3m6!1s0x135d90b42082e795:0xd8fd262a3e031b2!2sAsos+280+84,+Grecia!3b1!8m2!3d38.3781612!4d20.5401307!3m4!1s0x135d90b42082e795:0xd8fd262a3e031b2!8m2!3d38.3781612!4d20.5401307?hl=es	38° 22' 38.213" N 20° 32' 21.387" E	8 m.
271	La Valeta, Malta	https://www.google.com/maps/place/La+Valeta,+Malta/@35.8984806,14.5131649,16z/data=!3m1!4b1!4m5!3m4!1s0x130e45281d8647c5:0x745ad38ee242c917!8m2!3d35.8989085!4d14.5145528	35° 53' 50.619" N 14° 30' 56.895" E	43 m.
272	Perast, Kotor, Montenegro.	https://www.google.es/maps/place/Perast,+Montenegro/@42.4860834,18.698244,925m/data=!3m1!1e3!4m5!3m4!1s0x134c36999058117f:0x72ea5e23bcf8d5a9!8m2!3d42.4899244!4d18.7185184?hl=es	42° 29' 16.731" N 18° 41' 47.923" E	7 m.
273	Turanj, Zadar. Croacia	https://www.google.es/maps/place/23207,+Turanj,+Croacia/@43.9710032,15.3745747,8586m/data=!3m2!1e3!4b1!4m5!3m4!1s0x4761e07247730e1d:0x1525c242aad8eb7a!8m2!3d43.968465!4d15.4077563?hl=es	43° 58' 5.097" N 15° 24' 26.484" E	6 m.
274	Máribor, Eslovenia	https://www.google.es/maps/place/2000+M%C3%A1ribor,+Eslovenia/@46.546052,15.624622,9758m/data=!3m1!1e3!4m5!3m4!1s0x476f77a6ea402051:0x1053af90bc0daa22!8m2!3d46.5546503!4d15.6458812?hl=es	46° 33' 30.275" N 15° 38' 44.902" E	273 m.

Tabla 56. Geolocalización de las viviendas en ribera o rívera con acceso directo al agua. Europa.

3.8.3.2 Ribera o rivera. Acceso directo al agua. Asia y África.



Pobl. 275. Byblos, Líbano⁹¹⁸.



Pobl. 276. Tiro, Líbano⁹¹⁹.



Pobl. 277. Latakia, Siria⁹²⁰.



Pobl. 278. Abu Sir, Egipto⁹²¹.



Pobl. 279. Ziam Mansouriah, Argelia⁹²².



Pobl. 280. Izbat Al Burj, Egipto⁹²³.

⁹¹⁸ “Jbeil” reseña histórica. [Web] <http://aljaridanews.com/2016/12/08/9725/> [Fecha de acceso: 16/02/2022].

⁹¹⁹ Shady Spiridon. (2016). *The Ancient Phoenician City of Sour (Tyre), Lebanon*. [Web] <https://imgur.com/r/VillagePorn/MthaeNH> [Fecha de acceso: 16/02/2022].

⁹²⁰ Afp_tickers. (2015). *Latakia*. [Web] <https://www.swissinfo.ch/spa/afp/el-ej%C3%A9rcito-sirio-entra-en-el-principal-basti%C3%B3n-rebelde-del-noroeste-de-siria/41888716> [Fecha de acceso: 16/02/2022].

⁹²¹ Maryanne Gabbani. (2009). *Country road*. [Flickr] <https://t.ly/vzP7> [Fecha de acceso: 16/02/2022].

⁹²² Ness Ziam Mansouriah. (2020). *Jijel*. [Facebook] <https://www.facebook.com/1720681834892303/photos/a.1724977974462689/2404823646478115/?type=3&theater> [Fecha de acceso: 16/02/2022].

⁹²³ Jihad Abaza. (2015). *The “forgotten” fishermen of Ezbet El Borg*. [Web] <https://dailynewsegypt.com/2015/04/14/in-pictures-the-forgotten-fishermen-of-ezbet-el-borg/> [Fecha de acceso: 16/02/2022].

Presentación de datos. La vivienda como fuente primaria.

	Población	Río / mar	Técnica constructiva: HORMIGÓN	Acceso al agua / volumen
275	Byblos, Jbeil. Líbano	Mar Mediterráneo.	Hay viviendas realizadas con hormigón de varias plantas de altura.	La vivienda se desarrolla en un único volumen compacto que crece en vertical. Algunas viviendas están rodeadas de terreno. Algunas viviendas tienen un patio privado interior o anexo al volumen. Hay acceso al agua intermedio a través de una vía/orilla desde algunas viviendas. No hay acceso directo al agua desde algunas viviendas.
276	Tiro, Tiro. Líbano	Bahía Bahr al Mubarakah en el mar Mediterráneo.	Hay viviendas realizadas con hormigón de varias plantas de altura.	La vivienda se desarrolla en un único volumen compacto que crece en vertical. Algunas viviendas tienen un patio privado interior o anexo al volumen. Algunas viviendas están rodeadas de terreno. Hay acceso al agua intermedio a través de una vía/orilla desde algunas viviendas. Hay acceso directo al agua desde algunas viviendas.
277	Latakia, Siria	Mar Mediterráneo.	Hay viviendas realizadas con hormigón de varias plantas de altura.	La vivienda se desarrolla en un único volumen compacto que crece en vertical. Algunas viviendas tienen un patio privado interior o anexo al volumen. Algunas viviendas están rodeadas de terreno. Hay acceso al agua intermedio a través de una orilla desde las viviendas.
278	Abu Sir, Giza. Egipto	Ramal del río Nilo.	Hay viviendas realizadas con hormigón de varias plantas de altura.	La vivienda se desarrolla en un único volumen compacto rodeada de terreno. Algunas viviendas se desarrollan en varios volúmenes con un patio privado interior. Hay acceso directo al agua desde algunas viviendas.
279	Ziama Mansouriah, Jijel. Argelia	Golfo de Béjaïa en el mar Mediterráneo.	Hay viviendas realizadas con hormigón de varias plantas de altura.	La vivienda se desarrolla en un único volumen compacto que crece en vertical. Algunas viviendas están rodeadas de terreno. Algunas viviendas tienen un patio privado anexo al volumen. No hay acceso directo al agua desde algunas viviendas. Hay acceso al agua intermedio a través de una orilla desde algunas viviendas.
280	Izbat Al Burj. Damietta. Egipto	Rama Damietta en el delta del río Nilo.	Hay viviendas realizadas con hormigón de varias plantas de altura.	La vivienda se desarrolla en un único volumen compacto que crece en vertical. Algunas viviendas tienen un patio privado interior o anexo al volumen. Algunas viviendas están rodeadas de terreno. Hay acceso al agua intermedio a través de una orilla desde las viviendas.

Tabla 57. Viviendas en ribera o rivera con acceso directo al agua. Asia y África.

Coordenadas:

	Población	Geolocalización	Coordenadas DMS	Altitud
275	Byblos, Jbeil. Libano	https://www.google.es/maps/place/Biblos,+L%C3%ADbano/@34.1227468,35.641698,3492m/data=!3m1!1e3!4m5!3m4!1s0x151f5ca814ab769b:0x8e47735b265d616e!8m2!3d34.1230021!4d35.6519282?hl=es	34° 7' 18.631" N 35° 38' 41.945" E	22 m.
276	Tiro, Tiro. Libano	https://www.google.es/maps/place/Tiro,+L%C3%ADbano/@33.2702804,35.1929922,3527m/data=!3m1!1e3!4m5!3m4!1s0x151e7d902f915d95:0xc0e3fc6fb997408!8m2!3d33.2704888!4d35.2037641?hl=es	33° 16' 30.737" N 35° 11' 37.816" E	7 m.
277	Latakia, Siria	https://www.google.es/maps/place/Lataquia,+Siria/@35.5436656,35.7219753,19414m/data=!3m2!1e3!4b1!4m5!3m4!1s0x1526ac2d61d4607d:0x8e325bf8a14195de!8m2!3d35.5407103!4d35.7952667?hl=es	35° 30' 27.259" N 35° 47' 35.286" E	10 m.
278	Abu Sir, Giza. Egipto	https://www.google.es/maps/place/Abusir,+Al+Badrashin,+Giza,+Egipto/@29.8965054,31.1816181,10342m/data=!3m1!1e3!4m5!3m4!1s0x145849095b3e16a7:0xba7c8ecccdef42dc!8m2!3d29.8917642!4d31.2196596?hl=es	29° 53' 41.379" N 31° 13' 52.847" E	23 m.
279	Ziama Mansouriah, Jijel. Argelia	https://www.google.es/maps/place/Port+Ziama+Mansouriah/@36.6801457,5.4616242,7160m/data=!3m1!1e3!4m13!1m7!3m6!1s0x12f2ef4c390f7163:0x2fac9cc4690505ed!2sZiama+Mansouriah,+Argelia!3b1!8m2!3d36.6611639!4d5.438632!3m4!1s0x12f2ef4abe7e7c33:0xf5df6643cdf14a63!8m2!3d36.6766971!4d5.4789376?hl=es	36° 40' 25.280" N 5° 28' 48.678" E	21 m.
280	Izbat Al Burj. Damietta. Egipto	https://www.google.com/maps/place/Izbat+Ad+Daydunah,+Madinet+Izbat+Al+Borg,+Damietta+Desert,+Damieta,+Egipto/@31.5136768,31.8390081,15z/data=!3m1!4b1!4m13!1m7!3m6!1s0x14f9f0ca508af883:0x1f6db0b7e6f66a33!2sRas+El-Bar,+Ras+El-Bar+City,+Damietta+Desert,+Damieta,+Egipto!3b1!8m2!3d31.5043194!4d31.8281627!3m4!1s0x14f9f6d565d406bf:0x5c1b194d1fb480f4!8m2!3d31.511194!4d31.840058	31° 30' 38.578" N 31° 50' 21.012" E	15 m.

Tabla 58. Geolocalización de las viviendas en ribera o rívera con acceso directo al agua. Asia y África.

3.8.4. Ribera o rivera sin acceso directo desde la vivienda.

3.8.4.1 Ribera o rivera. Sin acceso directo al agua. Mediterráneo con península: España.



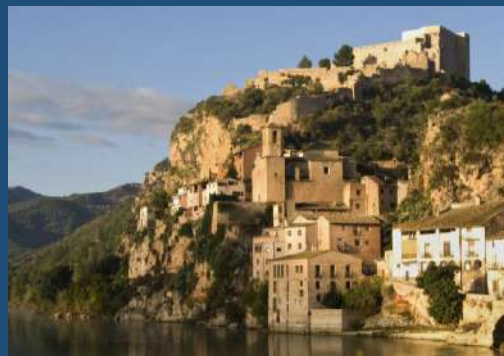
Pobl. 281. Chulilla, España⁹²⁴.



Pobl. 282. Siurana, España⁹²⁵.



Pobl. 283. Cuenca, España⁹²⁶.



Pobl. 284. Miravet, España.



Pobl. 285. Cádiz, España⁹²⁷.



Pobl. 286. Albalatillo, España⁹²⁸.

⁹²⁴ Carlos Martínez. (2020). *Ruta de los puentes colgantes en Chulilla*. [Web] <https://www.students.travel/ruta-de-los-puentes-colgantes-en-chulilla.html> [Fecha de acceso: 16/05/2022].

⁹²⁵ David Escribano. (2020). *Siurana, uno de los mejores miradores de España*. [Web] <https://www.traveler.es/naturaleza/articulos/escapada-siurana-priorat-tarragona-que-ver-que-hacer/18037> [Fecha de acceso: 16/05/2022].

	Población	Río / mar	Técnica constructiva: HORMIGÓN	Acceso al agua / volumen
281	Chulilla, Valencia. España	Río Turia.	Hay viviendas realizadas con hormigón de varias plantas de altura.	La vivienda se desarrolla en un único volumen compacto que crece en vertical. Algunas viviendas tienen un patio privado anexo al volumen. No hay acceso directo al agua desde las viviendas.
282	Siurana, Tarragona. España	Río Siurana.	No hay viviendas de hormigón.	La vivienda se desarrolla en un único volumen compacto que crece en vertical. Algunas viviendas tienen un patio privado anexo al volumen. No hay acceso directo al agua desde las viviendas.
283	Cuenca, Cuenca. España	Río Júcar.	Hay viviendas realizadas con hormigón de varias plantas de altura.	La vivienda se desarrolla en un único volumen compacto que crece en vertical. Algunas viviendas tienen un patio privado anexo al volumen. No hay acceso directo al agua desde las viviendas. Hay acceso al agua intermedio a través de una vía/orilla pública desde algunas viviendas.
284	Miravet, Tarragona. España	Río Ebro.	Hay viviendas realizadas con hormigón de varias plantas de altura.	La vivienda se desarrolla en un único volumen compacto que crece en vertical. Algunas viviendas tienen un patio privado anexo al volumen. Algunas viviendas se desarrollan en un único volumen compacto que crece en vertical rodeada de terreno. No hay acceso directo al agua desde las viviendas. Hay acceso al agua intermedio a través de una vía/orilla pública desde algunas viviendas.
285	Cádiz, Cádiz. España	Bahía de Cádiz, en el golfo de Cádiz en el Océano Atlántico.	Hay viviendas realizadas con hormigón de varias plantas de altura.	La vivienda se desarrolla en un único volumen compacto que crece en vertical. Algunas viviendas tienen un patio privado interior o anexo al volumen. No hay acceso directo al agua desde las viviendas. Hay acceso al agua intermedio a través de una vía/orilla pública desde algunas viviendas.
286	Albalatillo, Huesca. España	Río Alcanadre y río Flumen.	Hay algunas viviendas realizadas con hormigón de varias plantas de altura.	La vivienda se desarrolla en un único volumen compacto que crece en vertical. Algunas viviendas tienen un patio privado anexo al volumen. No hay acceso directo al agua desde las viviendas. Hay acceso al agua intermedio a través de una vía/orilla pública desde algunas viviendas.

Tabla 59. Viviendas en ribera o rivera sin acceso directo al agua. España.

⁹²⁶ Siempremolinicos. (2008). *Vista del casco antiguo de la ciudad de Cuenca*. [Web] [https://es.wikipedia.org/wiki/Archivo:Vista_de_la_hoz_del_r%C3%ADo_Hu%C3%A9car_en_Cuenca_\(Espa%C3%B1a\).JPG](https://es.wikipedia.org/wiki/Archivo:Vista_de_la_hoz_del_r%C3%ADo_Hu%C3%A9car_en_Cuenca_(Espa%C3%B1a).JPG) [Fecha de acceso: 16/05/2022].

⁹²⁷ [Web] <https://innhostels.com/cadiz/category/cadiz/> [Fecha de acceso: 16/05/2022].

⁹²⁸ Ayto. de Albalatillo. *Vistas aéreas*. [Web] https://www.albalatillo.es/vistas_aereas.html [Fecha de acceso: 16/05/2022].

Coordenadas:

	Población	Geolocalización	Coordenadas DMS	Altitud
281	Chulilla, Valencia. España	https://www.google.es/maps/place/46160+Chulilla,+Valencia/@39.6563469,-0.8966211,1148m/data=!3m2!1e3!4b1!4m5!3m4!1s0xd60954f26d2c5a9:0xd97e95994d194ef1!8m2!3d39.6555013!4d-0.8919484?hl=es	39° 39' 22.426" N 0° 53' 31.023" W	318 m.
282	Siurana, Tarragona. España	https://www.google.es/maps/place/43362+Siurana,+Tarragona/@41.258055,0.9301405,561m/data=!3m2!1e3!4b1!4m5!3m4!1s0x12a14ac28c48dec7:0xb4314e2272325fa3!8m2!3d41.2581135!4d0.9323578?hl=es	41° 15' 28.971" N 0° 55' 56.819" E	722 m.
283	Cuenca, Cuenca. España	https://www.google.es/maps/place/Cuenca/@40.0620325,-2.1830445,9131m/data=!3m2!1e3!4b1!4m5!3m4!1s0xd5d6741369751c3:0x6e81ab6ed08cd292!8m2!3d40.0703925!4d-2.1374162?hl=es	40° 4' 40.512" N 2° 7' 45.443" W	990 m.
284	Miravet, Tarragona. España	https://www.google.com/maps/place/43747+Miravet,+Tarragona/@41.0390419,0.5939328,16z/data=!3m1!4b1!4m5!3m4!1s0x12a0d8ab3d960ca5:0xed05dd3c14c92ec1!8m2!3d41.0407656!4d0.5998512?hl=es	41° 2' 21.100" N 0° 35' 48.143" E	21 m.
285	Cádiz, Cádiz. España	https://www.google.es/maps/place/C%C3%A1diz/@36.5164503,-6.3174868,9588m/data=!3m2!1e3!4b1!4m5!3m4!1s0xd0dd25724ec240f:0x40463fd8ca03b00!8m2!3d36.5270612!4d-6.2885962?hl=es	36° 31' 47.563" N 6° 17' 54.203" W	22 m.
286	Albalatillo, Huesca. España	https://www.google.es/maps/place/22220+Albalatillo,+Huesca/@41.7377398,-0.1520057,2226m/data=!3m1!1e3!4m13!1m7!3m6!1s0xd589075cdf723e7:0x67b76c39a82ca157!2s22220+Albalatillo,+Huesca!3b1!8m2!3d41.7365952!4d-0.1515468!3m4!1s0xd589075cdf723e7:0x67b76c39a82ca157!8m2!3d41.7365952!4d-0.1515468!5m1!1e4?hl=es	41° 44' 8.007" N 0° 9' 4.460" W	261 m.

Tabla 60. Geolocalización de las viviendas en ribera o rívera sin acceso directo al agua. España.

3.8.4.2 Ribera o rivera. Sin acceso directo al agua. Mediterráneo: Europa.



Pobl. 287. Polignano a Mare, Italia⁹²⁹.



Pobl. 288. Kastro-Monemvasia, Grecia⁹³⁰.



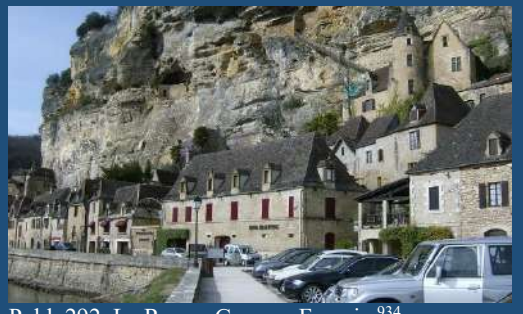
Pobl. 289. Gruissan, Francia⁹³¹.



Pobl. 290. Oia, Thira. Santorini, Grecia⁹³².



Pobl. 291. Pieve di Tremosine, Italia⁹³³.



Pobl. 292. La Roque-Gageac, Francia⁹³⁴.

⁹²⁹ (2017). *Locorotondo, Vineyard, Trulli & Polignano a Mare*. [Web] <https://www.italianalluretravel.com/puglia-locorotondo-polignano-trulli/> [Fecha de acceso: 16/05/2022].

⁹³⁰ Vasilis ververidis. (2019) [Web] <https://tinyurl.com/2efmaqj4> [Fecha de acceso: 16/05/2022].

⁹³¹ Philippe Amorfini. (2021) [Google] <https://goo.gl/maps/hT9US6KEUimvoddd7> [Fecha de acceso: 16/05/2022].

⁹³² [Web] <https://www.dianamias.com/donde-dormir-en-santorini/> [Fecha de acceso: 16/05/2022].

⁹³³ Pro Loco. Tremosine. [Web]. Obtenida en <https://www.garda-see.com/en/destinations/tremosine#media-gallery> [Fecha de acceso: 16/05/2022].

⁹³⁴ Etienne Baudon. (2010). *Saint André d'Allas*. [Web] <http://www.map-france.com/Saint-Andre-d'Allas-24200/photos-Saint-Andre-d'Allas.html> [Fecha de acceso: 16/05/2022].



Pobl. 293. Villeneuve-sur-Lot, Francia⁹³⁵.



Pobl. 294. Veliko Tárnovo, Bulgaria⁹³⁶.



Pobl. 295. Škofja Loka, Eslovenia⁹³⁷.



Pobl. 296. Mostar, Bosnia y Herzegovina⁹³⁸.



Pobl. 297. Chiusa, Italia⁹³⁹.



Pobl. 298. Lovech, Bulgaria⁹⁴⁰.



Pobl. 299. Tryavna, Bulgaria⁹⁴¹.



Pobl. 300. Trebinje, Bosnia y Herzegovina⁹⁴².

⁹³⁵ [Web] <https://www.berger-levrault.com/es/implantacion/sitio-de-villeneuve-sur-lot-sigems/> [Fecha de acceso: 16/05/2022].

⁹³⁶ LosBulgaros. (2016). *Veliko Tarnovo – el corazón y el alma de Bulgaria*. [Web] <https://losbulgaros.com.ar/?p=2936> [Fecha de acceso: 16/05/2022].

	Población	Río / mar	Técnica constructiva: HORMIGÓN	Acceso al agua / volumen
287	Polignano a Mare, Bari. Italia	Mar Adriático.	Hay viviendas realizadas con hormigón de varias plantas de altura.	La vivienda se desarrolla en un único volumen compacto que crece en vertical con un patio privado interior o anexo al volumen. No hay acceso directo al agua desde las viviendas. Hay acceso al agua intermedio a través de una vía/orilla pública desde algunas viviendas.
288	Kastro Monemvasía, Agia Kiriaki. Grecia	Mar Egeo.	No hay viviendas de hormigón.	La vivienda se desarrolla en un único volumen compacto que crece en vertical con un patio privado anexo al volumen, o en varios volúmenes con un patio privado interior. No hay acceso directo al agua desde las viviendas.
289	Gruissan, Aude. Francia	Laguna del estanque de Ayrolle y laguna del estanque de Grazel, junto al golfo de Lion del mar Mediterráneo.	Hay viviendas realizadas con hormigón de varias plantas de altura.	La vivienda se desarrolla en un único volumen compacto que crece en vertical. Algunas viviendas tienen un patio privado anexo al volumen. Las viviendas conforman un conjunto compacto formando la población. No hay acceso directo al agua desde las viviendas. Hay acceso al agua intermedio a través de una vía/orilla pública desde algunas viviendas.
290	Oia, Thira. (Isla Santorini), Grecia	Mar Egeo Meridional.	Hay viviendas realizadas con hormigón de varias plantas de altura.	La vivienda se desarrolla en un único volumen compacto que crece en vertical con un patio privado interior o anexo al volumen. Algunas viviendas están rodeadas de terreno. No hay acceso directo al agua desde las viviendas.
291	Pieve di Tremosine, Brescia. Italia.	Lago di Garda.	Hay viviendas realizadas con hormigón de varias plantas de altura.	La vivienda se desarrolla en un único volumen compacto que crece en vertical. Algunas viviendas tienen un patio privado interior o anexo al volumen. Algunas viviendas están rodeadas de terreno. No hay acceso directo al agua desde las viviendas.
292	La Roque-Gageac, Dordoña. Francia	Río Dordoña.	No hay viviendas de hormigón.	La vivienda se desarrolla en un único volumen compacto que crece en vertical. Algunas viviendas tienen un patio privado interior o anexo al volumen. Algunas viviendas están rodeadas de terreno. No hay acceso directo al agua desde las viviendas. Hay acceso al agua intermedio a través de una vía pública desde algunas viviendas.
293	Villeneuve-sur-Lot, Lot y Garona. Francia	Río Lot.	Hay viviendas realizadas con hormigón de varias plantas de altura.	La vivienda se desarrolla en un único volumen compacto que crece en vertical. Algunas viviendas tienen un patio privado interior o anexo al volumen. Algunas viviendas están rodeadas de terreno. No hay acceso directo al agua desde las viviendas.

⁹³⁷ Jost Gantar. (2020). *Treasures from old towns and cities*. [Web] <https://slovenia.si/this-is-slovenia/treasures-from-old-towns-and-cities/> [Fecha de acceso: 16/05/2022].

⁹³⁸ Sydney Tong. (2016). *Our Budget for One Month in Europe*. [Web] <https://www.scope.travel/guides/our-budget-for-one-month-in-europe> [Fecha de acceso: 16/05/2022].

⁹³⁹ Corinne Poleij. *Casas coloridas a lo largo del río Isarco Eisack, Chiusa, Italia*. [Web] <https://es.dreamstime.com/casas-coloridas-lo-largo-del-r%C3%ADo-isarco-eisack-chiusa-italia-monta%C3%B1as-verdes-y-edificios-coloridos-en-klausen-norte-image141898207> [Fecha de acceso: 16/05/2022].

⁹⁴⁰ Jdblack. (2018). *Lovech*. [Pixabay] <https://pixabay.com/es/photos/lovech-bulgaria-bulgaria-europa-4658747/> [Fecha de acceso: 16/05/2022].

⁹⁴¹ *Bulgariaturismo*. [Web] <https://www.bulgariaturismo.org/que-ver-en-shiroka-laka.html> [Fecha de acceso: 16/05/2022].

⁹⁴² Trebinje Estate. (2016) [Facebook] https://www.facebook.com/600442316734297/photos/d41d8cd9/1011936742251517/?_rdr

Presentación de datos. La vivienda como fuente primaria.

294	Veliko Tárnovo, Veliko Tárnovo. Bulgaria	Río Yantra.	Hay viviendas realizadas con hormigón de varias plantas de altura.	La vivienda se desarrolla en un único volumen compacto que crece en vertical. Algunas viviendas tienen un patio privado interior o anexo al volumen. Algunas viviendas están rodeadas de terreno. No hay acceso directo al agua desde las viviendas.
295	Škofja Loka, Škofja Loka. Eslovenia	Río Sora.	Hay viviendas realizadas con hormigón de varias plantas de altura.	La vivienda se desarrolla en un único volumen compacto que crece en vertical. Algunas viviendas tienen un patio privado interior o anexo al volumen. Algunas viviendas están rodeadas de terreno. No hay acceso directo al agua desde las viviendas. Hay acceso al agua intermedio a través de una vía/orilla pública desde las viviendas.
296	Mostar, Herzegovina- Neretva. Bosnia y Herzegovina	Río Neretva.	Hay viviendas realizadas con hormigón de varias plantas de altura.	La vivienda se desarrolla en un único volumen compacto que crece en vertical. Algunas viviendas tienen un patio privado interior o anexo al volumen. Algunas viviendas están rodeadas de terreno. No hay acceso directo al agua desde las viviendas. Hay acceso al agua intermedio a través de una vía/orilla pública desde las viviendas.
297	Chiusa, Bolzano. Italia	Río Isarco	Hay viviendas realizadas con hormigón de varias plantas de altura.	La vivienda se desarrolla en un único volumen compacto que crece en vertical. Algunas viviendas tienen un patio privado anexo al volumen. Algunas viviendas están rodeadas de terreno. No hay acceso directo al agua desde las viviendas. Hay acceso al agua intermedio a través de una vía/orilla pública desde las viviendas.
298	Lovech, Lovech. Bulgaria	Río Osam.	Hay viviendas realizadas con hormigón de varias plantas de altura.	La vivienda se desarrolla en un único volumen compacto que crece en vertical. Algunas viviendas tienen un patio privado interior o anexo al volumen. Algunas viviendas están rodeadas de terreno. No hay acceso directo al agua desde las viviendas. Hay acceso al agua intermedio a través de una vía/orilla pública desde las viviendas.
299	Tryavna, Gabrovo. Bulgaria	Río Triavna.	Hay viviendas realizadas con hormigón de varias plantas de altura.	La vivienda se desarrolla en un único volumen compacto que crece en vertical rodeada de terreno. Algunas viviendas tienen un patio privado anexo al volumen. No hay acceso directo al agua desde las viviendas. Hay acceso al agua intermedio a través de una vía/orilla pública desde las viviendas.
300	Trebinje, Trebinje. Bosnia y Herzegovina.	Río Trebišnjica.	Hay viviendas realizadas con hormigón de varias plantas de altura.	La vivienda se desarrolla en un único volumen compacto que crece en vertical. Algunas viviendas tienen un patio privado interior o anexo al volumen. Algunas viviendas están rodeadas de terreno. No hay acceso directo al agua desde las viviendas. Hay acceso al agua intermedio a través de una vía/orilla pública desde las viviendas.

Tabla 61. Viviendas en ribera o rivera sin acceso directo al agua. Europa.

Coordenadas:

Población	Geolocalización	Coordenadas DMS	Altitud
287 Polignano a Mare, Bari. Italia	https://www.google.com/maps/place/70044+Polignano+a+Mar+e,+Bari,+Italia/@40.99624,17.1990104,14z/data=!3m1!4m5!3m4!1s0x1347cbeb9e80f67b:0x9bbe6b6e25a97601!8m2!3d40.9948946!4d17.22261	40° 59' 46.478" N 17° 13' 8.461" E	26 m.
288 Kastro Monemvasia, Agia Kiriaki. Grecia	https://www.google.com/maps/place/Monemvasia/C3%ADa,+Grecia/@36.6874629,23.0548089,432m/data=!3m2!1e3!4b1!4m5!3m4!1s0x149e41d1e40eaa5f:0xdb7d0a06b9f3bb31!8m2!3d36.6876016!4d23.056032	36° 41' 12.339" N 23° 3' 17.693" E	7 m.

289	Gruissan, Aude. Francia	https://www.google.com/maps/place/11430+Gruissan,+Francia/@43.104131,3.016003,25197m/data=!3m2!1e3!4b1!4m5!3m4!1s0x12b05568a27ca6a3:0x4103ff809ed37896!8m2!3d43.107052!4d3.086181	43° 6' 26.457" N 5' 4.489" E	3°	10 m.
290	Oia, Thira. (Isla Santonrini), Grecia	https://www.google.com/maps/search/Oia,+Thira.+Santonrini,+Grecia+molino/@36.4610488,25.3715853,762m/data=!3m1!1e3	36° 27' 39.044" N 25° 22' 22.514" E		106 m.
291	Pieve di Tremosine, Brescia. Italia.	https://www.google.com/maps/place/25010+Pieve+Brescia,+Italia/@45.7718081,10.752299,1866m/data=!3m1!1e3!4m13!1m7!3m6!1s0x478218a7b8220f23:0x40678022e671770!2s25010+Tremosine,+Brescia,+Italia!3b1!8m2!3d45.789813!4d10.7356659!3m4!1s0x47821f2fbc62be03:0x209f7665b55f220e!8m2!3d45.7719908!4d10.7601696	45° 46' 17.558" N 10° 45' 36.871" E		414 m.
292	La Roque-Gageac, Dordoña. Francia	https://www.google.com/maps/place/Gageac,+24250+La+Roque-Gageac,+Francia/@44.8249146,1.1718934,6383m/data=!3m2!1e3!4b1!4m13!1m7!3m6!1s0x12ab5838ef174d1f:0x93dac64bd2047bab!2s24250+La+Roque-Gageac,+Francia!3b1!8m2!3d44.825047!4d1.184259!3m4!1s0x12ab58409645d70d:0xc5fba21480cb606c!8m2!3d44.8248871!4d1.1894041	44° 49' 33.532" N 1° 10' 58.421" E		72 m.
293	Villeneuve-sur-Lot, Lot y Garona. Francia	https://www.google.com/maps/place/47300+Villeneuve-sur-Lot,+Francia/@44.4063682,0.6996319,2273m/data=!3m1!1e3!4m12!1m6!3m5!1s0x12ab078e1b7cf143:0x849298351b81eb74!2sSIGEMS!8m2!3d44.4061602!4d0.7385407!3m4!1s0x12ab07706894df13:0x196cd70eaf2c923!8m2!3d44.4082056!4d0.7072556	44° 24' 22.444" N 0° 42' 18.067" E		41 m.
294	Veliko Tárnovo, Bulgaria	https://www.google.com/maps/place/Veliko+Tarnovo,+Bulgaria/@43.0772627,25.5963845,11056m/data=!3m1!1e3!4m5!3m4!1s0x40a9214b3d9491dd:0x400a01269bf5dc0!8m2!3d43.0756739!4d25.6171514	43° 4' 58.562" N 25° 38' 26.773" E		186 m.
295	Škofja Loka, Eslovenia	https://www.google.com/maps/place/4220+%C5%A0kofja+Loka,+Eslovenia/@46.1708341,14.2878008,8814m/data=!3m1!1e3!4m5!3m4!1s0x477ac610082a391b:0x47da57ce7b792895!8m2!3d46.1671294!4d14.3058337	46° 10' 0.319" N 14° 18' 18.163" E		345 m.
296	Mostar, Herzegovina-Neretva. Bosnia y Herzegovina	https://www.google.es/maps/place/Mostar+88000,+Bosnia+y+Herzegovina/@43.3396111,17.7862209,8677m/data=!3m2!1e3!4b1!4m5!3m4!1s0x134b43a43b6340a9:0x14f32b2d4e37c5a!8m2!3d43.3437748!4d17.8077578!5m1!1e4?hl=es	43° 20' 16.336" N 17° 48' 55.650" E		51 m.
297	Chiusa, Bolzano. Italia	https://www.google.com/maps/place/39043+Chiusa+Bolzano,+Italia/@46.6405296,11.5615065,1837m/data=!3m1!1e3!4m5!3m4!1s0x47780eba327a6b2f:0x39b9c5b2348d24da!8m2!3d46.6399954!4d11.566211	46° 38' 22.555" N 11° 33' 59.401" E		533 m.
298	Lovech, Bulgaria	https://www.google.com/maps/place/Lovech,+Bulgaria/@43.1445314,24.6760252,13133m/data=!3m2!1e3!4b1!4m5!3m4!1s0x40abde0a19b75153:0x7e4f890a996233bd!8m2!3d43.1369534!4d24.7141906	43° 7' 56.630" N 24° 43' 2.794" E		175 m.
299	Tryavna, Gabrovo. Bulgaria	https://www.google.com/maps/place/Tryavna,+Bulgaria/@42.8661974,25.4887248,175m/data=!3m1!1e3!4m5!3m4!1s0x40a8e296d66cc345:0x400a01269bf5040!8m2!3d42.876652!4d25.4988388!5m1!1e4	42° 51' 58.554" N 25° 29' 21.192" E		434 m.
300	Trebinje, Bosnia y Herzegovina.	https://www.google.com/maps/place/Trebinje,+Bosnia+y+Herzegovina/@42.71144,18.3472204,411m/data=!3m1!1e3!4m5!3m4!1s0x134c692fcd572ba3:0x8b3402ed2a9e2b79!8m2!3d42.7081585!4d18.3502638!5m1!1e4	42° 42' 42.282" N 18° 20' 52.944" E		264 m.

Tabla 62. Geolocalización de las viviendas en ribera o rívera sin acceso directo al agua. Europa.

3.8.4.3 Ribera o rivera. Sin acceso directo al agua. Mediterráneo: Asia y África.



Pobl. 301. Armant, Egipto⁹⁴³.



Pobl. 302. Constantina, Argelia⁹⁴⁴.



Pobl. 303. Ziam Mansouriah, Argelia⁹⁴⁵.



Pobl. 304. Avanos, Turquía⁹⁴⁶.



Pobl. 305. Hammamet, Túnez⁹⁴⁷.



Pobl. 306. Acre, Israel⁹⁴⁸.

⁹⁴³ Mariaifl Photography. (2018). *Armant*. [Google Maps] https://www.google.com/maps/@25.5670286,32.4618919,3a,75y/data=!3m8!1e2!3m6!1sAF1QipNgsdseTktT-9TifC6OD_hi4KAT-6Xl-5Lhx7TG!2e10!3e12!6shhttps:%2F%2Fh5.googleusercontent.com%2Fp%2FAF1QipNgsdseTktT-9TifC6OD_hi4KAT-6Xl-5Lhx7TG%3Dw219-h100-k-no!7i4878!8i2225 [Fecha de acceso: 16/02/2022].

⁹⁴⁴ Daniel Barreto Mezzano. *Constantine, Algeria*. [Web] <https://www.danielbarretomezzano.com/portfolio/G0000iqdNE0Dkotk/I0000kxKaPJ89kII> [Fecha de acceso: 16/02/2022].

⁹⁴⁵ Yann Arthus-Bertrand. *Ziam Mansouria, Argelia*. [Web] <https://www.pinterest.es/pin/373658100304235410/> [Fecha de acceso: 16/02/2022].

⁹⁴⁶ Ji elle. (2013). *Avano sur les rives Kizilirmak*. [Web] [https://fr.wikipedia.org/wiki/Avanos#/media/Fichier:Avanos_\(2\).jpg](https://fr.wikipedia.org/wiki/Avanos#/media/Fichier:Avanos_(2).jpg) [Fecha de acceso: 16/02/2022].

⁹⁴⁷ [Web] <https://guias-viajar.com/wp-content/uploads/backup/2017/04/tunez-hammamet-001.jpg> [Fecha de acceso: 16/02/2022].

⁹⁴⁸ Viajero Crónico. *Qué ver en Acre: tras los pasos de los Templarios*. [Web] <https://cronicoviajero.com/que-ver-acre-templarios-israel/> [Fecha de acceso: 16/02/2022].

Población	Río / mar	Técnica constructiva: HORMIGÓN	Acceso al agua / volumen
301 Armant, Quena. Egipto	Río Nilo.	Hay viviendas realizadas con hormigón de varias plantas de altura.	La vivienda se desarrolla en varios volúmenes con un patio privado interior. Algunas viviendas se desarrollan en un único volumen compacto que crece en vertical con un patio privado interior o anexo al volumen. Hay acceso al agua intermedio a través de una orilla desde algunas viviendas.
302 Constantina, Constantina. Argelia	Río Rhummel.	Hay viviendas realizadas con hormigón de varias plantas de altura.	La vivienda se desarrolla en un único volumen compacto que crece en vertical. Algunas viviendas están rodeadas de terreno. Algunas viviendas tienen un patio privado anexo al volumen. No hay acceso directo al agua desde algunas viviendas.
303 Ziama Mansouriah, Jijel. Argelia	Golfo de Béjaïa, en el mar Mediterráneo.	Hay viviendas realizadas con hormigón de varias plantas de altura.	La vivienda se desarrolla en un único volumen compacto que crece en vertical. Algunas viviendas están rodeadas de terreno. Algunas viviendas tienen un patio privado anexo al volumen. No hay acceso directo al agua desde algunas viviendas. Hay acceso al agua intermedio a través de una orilla desde algunas viviendas.
304 Avanos, Nevşehir. Turquía	Río Kizilirmak.	Hay viviendas realizadas con hormigón de varias plantas de altura.	La vivienda se desarrolla en un único volumen compacto que crece en vertical. Algunas viviendas están rodeadas de terreno. Algunas viviendas tienen un patio privado interior o anexo al volumen. No hay acceso directo al agua desde algunas viviendas. Hay acceso al agua intermedio a través de una orilla desde algunas viviendas.
305 Hammamet, Nabeul. Túnez	Golfo de Hammamet en el mar Mediterráneo.	Hay viviendas realizadas con hormigón de varias plantas de altura.	La vivienda se desarrolla en un único volumen compacto que crece en vertical. Algunas viviendas están rodeadas de terreno. Algunas viviendas tienen un patio privado interior o anexo al volumen. No hay acceso directo al agua desde algunas viviendas. Hay acceso al agua intermedio a través de una orilla desde algunas viviendas.
306 Acre, Distrito Norte. Israel	Bahía de Haifa en el mar Mediterráneo.	Hay viviendas realizadas con hormigón de varias plantas de altura.	La vivienda se desarrolla en un único volumen compacto que crece en vertical. Algunas viviendas están rodeadas de terreno. Algunas viviendas tienen un patio privado interior o anexo al volumen. No hay acceso directo al agua desde algunas viviendas. Hay acceso al agua intermedio a través de una orilla desde algunas viviendas.

Tabla 63. Viviendas en ribera o rivera sin acceso directo al agua. Asia y África.

Coordenadas:

	Población	Geolocalización	Coordenadas DMS	Altitud
301	Armant, Quena. Egipto	https://www.google.com/maps/place/Armant,+Madinet+Armant,+Armant,+Quena,+Egipto/@25.6130934,32.5431821,1706m/data=!3m1!1e3!4m5!3m4!1s0x1449107a47924d5f:0xf4d0d7c4d2d2203!8m2!3d25.620661!4d32.5452627	25° 37' 3.661" N 32° 33' 18.132" E	70 m.
302	Constantina, Constantina. Argelia	https://www.google.es/maps/place/Constantina,+Argelia/@36.3547223,6.5053097,38432m/data=!3m2!1e3!4b1!4m5!3m4!1s0x12f17717c4785627:0x25fb307fd08801a!8m2!3d36.3570052!4d6.6390282!5m1!1e4?hl=es	36° 22' 1.654" N 6° 36' 53.706" E	613 m.
303	Ziama Mansouriah, Jijel. Argelia	https://www.google.es/maps/place/Chobae/@36.6742223,5.4657714,3998m/data=!3m1!1e3!4m13!1m7!3m6!1s0x12f2ef4c390f7163:0x2fac9cc4690505ed!2sZiama+Mansouriah,+Argelia!3b!8m2!3d36.6611639!4d5.438632!3m4!1s0x12f2e89ebe0d25af:0x71f7fffae5b0051c!8m2!3d36.6615771!4d5.4525018?hl=es	36° 40' 27.480" N 5° 28' 50.511" E	18 m.
304	Avanos, Nevşehir. Turquía	https://www.google.com/maps/place/Avanos,+Provincia+de+Nev%C5%99ehir,+Turqu%C3%ADa/@38.7137047,34.8271858,7022m/data=!3m2!1e3!4b1!4m5!3m4!1s0x152a60b2a2803d65:0x54d4f071e88dc217!8m2!3d38.710814!4d34.842081	38° 43' 4.017" N 34° 50' 40.452" E	936 m.
305	Hammamet, Nabeul. Túnez	https://www.google.com/maps/place/Hammamet,+T%C3%BAnez/@36.4058188,10.6032657,7243m/data=!3m2!1e3!4b1!4m5!3m4!1s0x12fd61fc0dac1583:0x8f1c841291df5ff!8m2!3d36.4072574!4d10.6224706	36° 23' 38.695" N 10° 36' 47.515" E	9 m.
306	Acre, Distrito Norte. Israel	https://www.google.com/maps/place/Acre,+Israel/@32.9170098,35.0705873,7555m/data=!3m2!1e3!4b1!4m5!3m4!1s0x151dc8fe03b29c25:0x709859e5804dc329!8m2!3d32.933052!4d35.082678	32° 55' 12.451" N 35° 4' 9.687" E	8 m.

Tabla 64. Geolocalización de las de viviendas en ribera o rívera sin acceso directo al agua. Asia y África.

3.8.4.3.1 Las vistas al paisaje y el volumen único que crece en altura.

En esta muestra representativa de viviendas (Poblaciones 223 - 306) observamos que la distribución del espacio interior de cada vivienda es variada y no podemos determinar un patrón, aunque hemos encontrado una característica común: las poblaciones se localizan sobre una montaña con vistas al territorio, cuando la orografía lo permite.

3.9. COMBINACIÓN 7: BODEGA DE VINO.

El objetivo de esta última combinación es evaluar la vivienda aislada que encontramos cerca del núcleo urbano, que suele incluir estancias específicas destinadas a una actividad agrícola o ganadera. Por claridad expositiva, mostraremos viviendas asociadas al cultivo de la vid (Fig. 21).

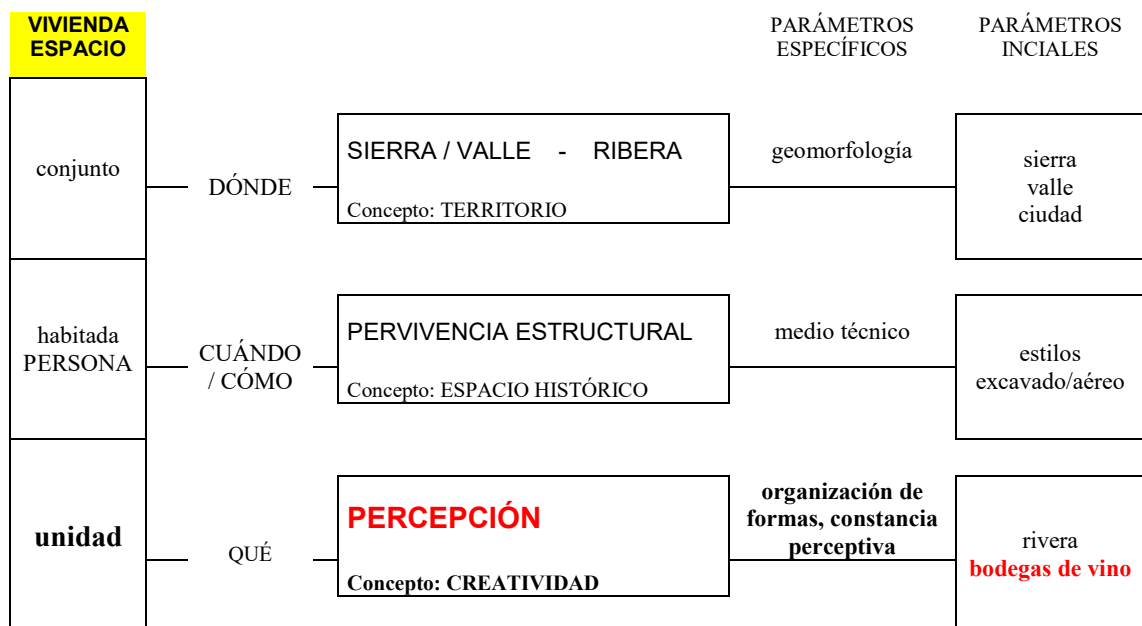


Fig. 20. Combinación 7: bodegas de vino

Los indicadores para acotar esta selección son:

- RM50. Ranking de las 50 mejores bodegas del mundo año 2020⁹⁴⁹.
- Ranking mundial de litros, por países productores de vino⁹⁵⁰
- BR. Bodegas de vino en ruina.

Al igual que en la combinación 5, volvemos a incluir las pervivencias constructivas de la cultura fenicia.

⁹⁴⁹ Ranking realizado por World's Best Vineyards Academy. Año 2020. [Web] <https://www.worldsbestvineyards.com/top-50/>

⁹⁵⁰ [Web] <https://www.oiv.int/es/normas-y-documentos-tecnicos/analisis-estadisticos/analisis-anual>

3.9.1. Bodegas de vino en uso hoy y reconocidas por su excelencia.



Pobl. 307. Elciego, España. RM 6/50. Bodegas de los Herederos del Marqués de Riscal⁹⁵¹.



Img. 154. RM 6/50. Bodegas de los Herederos del Marqués de Riscal⁹⁵².



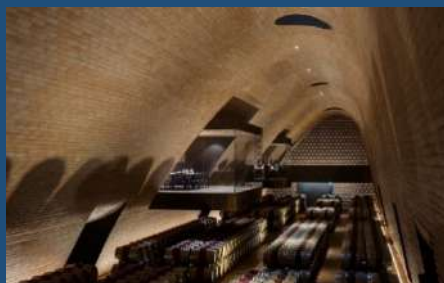
Pobl. 308. Gouvinhas, Portugal. RM 8/50. Bodega Quinta do Castro⁹⁵³.



Img. 155. RM 8/50. Bodega Quinta do Castro⁹⁵⁴.



Pobl. 309. Bargino, Italia. RM 9/50. Bodega Antinori nel Chianti Classico⁹⁵⁵.



Img. 156. RM 9/50. Bodega Antinori nel Chianti Classico⁹⁵⁶.

⁹⁵¹ [Web] <http://www.shootinginspain.info/es/localizaciones/bodega-y-hotel-marques-de-riscal> [Fecha de acceso: 16/05/2022].

⁹⁵² [Web] <http://www.shootinginspain.info/es/localizaciones/bodega-y-hotel-marques-de-riscal> [Fecha de acceso: 16/05/2022].

⁹⁵³ [Web] <https://quintadocrasto.pt/wp-content/uploads/2016/01/FOTO-BANNER-ENTRADA-VINHOS.jpg> [Fecha de acceso: 16/05/2022].

⁹⁵⁴ [Web] <https://quintadocrasto.pt/quinta-do-craсто/instalacoes/adegas/#> [Fecha de acceso: 16/05/2022].

⁹⁵⁵ [Web] <https://www.winearchitecture.it/it/cantine/antinori-nel-chianti-classico> [Fecha de acceso: 16/05/2022].

⁹⁵⁶ [Web] <https://www.worldsbestvineyards.com/9/> [Fecha de acceso: 16/05/2022].



Pobl. 310. Jerez de la Frontera, España. RM 18/50. Bodegas González Byass. Bodega Tío Pepe⁹⁵⁷.



Img. 157. RM 18/50. Bodegas González Byass. Bodega Tío Pepe⁹⁵⁸.



Pobl. 311. Alba, Italia. RM 21/50. Bodega Ceretto⁹⁵⁹.



Img. 158. RM 21/50. Bodega Ceretto⁹⁶⁰.



Pobl. 312. Barbaresco, Italia. RM 36/50. Bodega Gaja.⁹⁶¹



Img. 159. RM 36/50. Bodega Gaja⁹⁶².

⁹⁵⁷ Google. *Mapa 2020*. [Web] <http://www.google.com/maps?hl=en&ll=36.68,-6.143162&z=19> [Fecha de acceso: 16/05/2022].

⁹⁵⁸ [Web] <https://www.worldsbestvineyards.com/18/> [Fecha de acceso: 16/05/2022].

⁹⁵⁹ Canariasgourmet. (2018). [Web]. <https://www.canariasmgourmet.es/familia-ceretto-un-sueno-vinicola-hecho-realidad/> [Fecha de acceso: 16/05/2022].

⁹⁶⁰ Ian D'agata (2018). Ceretto Barbaresco Asili. [Web] <https://vinous.com/articles/ceretto-barbaresco-asili-1974-2014-dec-2018> [Fecha de acceso: 16/05/2022].

⁹⁶¹ [Web]. <https://terlatomontalcino.com/>

⁹⁶² (2016). [Web] http://www.finewinegeek.com/tn/2016-07_Piedmont/2016-07-06b_Gaja/2016-07-06_1334.jpg



Pobl. 313. Finikia, Thira. Grecia. RM 37/50. Bodega Domaine Sigalas⁹⁶³.



Img. 160. RM 37/50. Bodega Domaine Sigalas⁹⁶⁴.



Pobl. 314. Mtein, Líbano. RM 38/50. Bodega Chateau Oumsiyat⁹⁶⁵.



Img. 161. RM 38/50. Bodega Chateau Oumsiyat⁹⁶⁶.



Pobl. 315. Harsovo, Bulgaria. RM 39/50. Bodega Villa Melnik⁹⁶⁷.



Img. 162. RM 39/50. Bodega Villa Melnik⁹⁶⁸.

⁹⁶³ [Web] <https://www.worldsbestvineyards.com/37/> [Fecha de acceso: 16/02/2022].

⁹⁶⁴ [Web] <https://www.worldsbestvineyards.com/37/> [Fecha de acceso: 16/02/2022].

⁹⁶⁵ Rony Nassour. (mayo, 2017). Château Oumsiyat. [Google Maps] <http://t.ly/Hnxm> [Fecha de acceso: 16/02/2022].

⁹⁶⁶ [Web] <http://www.chateauoumsiyat.com/chateau-oumsiyat-winery/nggallery/page/1> [Fecha de acceso: 16/02/2022].

⁹⁶⁷ [Web]. <https://www.worldsbestvineyards.com/39/> [Fecha de acceso: 16/02/2022].

⁹⁶⁸ [Web]. <https://www.worldsbestvineyards.com/39/> [Fecha de acceso: 16/02/2022].



Pobl. 316. Briones, España. RM 41/50. Bodegas Vivanco⁹⁶⁹.



Img. 163. RM 41/50. Bodegas Vivanco⁹⁷⁰.



Pobl. 317. Pals del Penedès, España. RM 42/50. Bodega Familia Torres⁹⁷¹.



Img. 164. RM 42/50. Bodega Familia Torres⁹⁷².

⁹⁶⁹ (2011). *Dinastía Vivanco, más que una bodega*. [Web]. <https://www.vinetur.com/201112014984/dinastia-vivanco-mas-que-una-bodega.html> [Fecha de acceso: 16/02/2022].

⁹⁷⁰ [Web] <https://www.worldsbestvineyards.com/41/> [Fecha de acceso: 16/02/2022].

⁹⁷¹ [Web] <https://www.torres.es/es/bodegas/pacs-del-penedes> [Fecha de acceso: 16/02/2022].

⁹⁷² [Web] <https://www.attsu.com/en/blog/el-mejor-vapor-para-uno-de-los-mejores-vinos.html> [Fecha de acceso: 16/02/2022].



Pobl. 318. Qob Elias, Líbano. RM 48/50. Bodega Château Heritage⁹⁷³.



Img. 165. RM 48/50. Bodega Château Heritage⁹⁷⁴.



Pobl. 319. Pinhão, Portugal. RM 49/50. Bodega Quinta do Noval⁹⁷⁵.



Img. 166. RM 49/50. Bodega Quinta do Noval⁹⁷⁶.

⁹⁷³ [Web] <http://www.chateauheritage.com/images/ap-smart-layerslider/homepage/chateauheritage1ss.jpg> [Fecha de acceso: 16/02/2022].

⁹⁷⁴ [Web] <https://www.worldsbestvineyards.com/48/> [Fecha de acceso: 16/02/2022].

⁹⁷⁵ [Web] https://www.quintadonoval.com/image/images_site/1/calque-1-background-site.jpg?1609926460 [Fecha de acceso: 16/02/2022].

⁹⁷⁶ [Web] https://www.quintadonoval.com/image/images_site/77/calque-1-background-site.jpg?1609926461 [Fecha de acceso: 16/02/2022].

	Población	Entorno NATURAL	Restos arqueológicos de fenicios/pueblos del mar	Acceso / patio
307	Elciego, Álava. España. RM 6/50. Bodegas de los Herederos del Marqués de Riscal.	Límite: Parque Natural Sierra de Cebollera, Parque Natural Aizkorri-Aratz, Parque Natural de Gorbeia.	INDETERMINADO. No he encontrado evidencias.	La bodega está compuesta por varios volúmenes ordenados alrededor de un eje lineal que sirve de acceso. Algunos de los volúmenes se distribuyen en torno a un espacio/patio abierto común.
308	Gouvinhas, Vila Real. Portugal. RM 8/50. Bodega Quinta do Castro.	Límite: Parque Natural do Alvão, Parque Natural del Duero Internacional, Parque Natural de Arribes del Duero	Hay evidencias de varias colonizaciones por parte de los tartesios en el río Dauro ⁹⁷⁷ .	La bodega está compuesta por varios volúmenes ordenados alrededor de un eje lineal que sigue la trayectoria de la curva de nivel y que sirve de acceso. Algunos de los volúmenes tienen un patio abierto anexo al volumen.
309	Bargino, Florencia. Italia. RM 9/50. Bodega Antinori nel Chianti Classico.	Límite: Area Naturale Protetta di Interesse Locale Foresta di Sant'Antonio, Reserva Natural Area Naturale Le Balze, Reserva Natural Berignone Nature Reserve.	INDETERMINADO. No he encontrado evidencias.	La bodega está compuesta por un único volumen compacto subterráneo en su totalidad, que presenta perforaciones interiores/patios al volumen. El acceso se realiza a través de ramificaciones soterradas.
310	Jerez de la Frontera, Cádiz. España. RM 18/50. Bodegas González Byass. Bodega Tío Pepe.	Límite: Parque Nacional de Doñana, Reserva Natural Sierra Nevada, Parque Natural Los Alcornocales.	Hay evidencias del asentamiento conocido como Astea Regia de la cultura tartésica ⁹⁷⁸ .	La bodega está compuesta por varios volúmenes ordenados alrededor de tres ejes lineales rodeadas de terreno. Algunos de los volúmenes se distribuyen en torno a un espacio/patio abierto común, de los cuales uno de ellos sirve como acceso.
311	Alba, Cuneo. Italia. RM 21/50. Bodega Ceretto.	Valle río Tanaro. Límite: Parco Forestale Del Roero, Parque Natural Regional de Queyras, Parque Nacional de Mercantour, Parco Nazionale dell'Appennino Tosco-Emiliano (Apeninos ligures)	En la región hay restos de asentamientos de la cultura de los ligures ⁹⁷⁹ .	La bodega está compuesta por varios volúmenes ordenados alrededor de un eje lineal que sirve de acceso. Algunos de los volúmenes se distribuyen en torno a un espacio/patio abierto común.
312	Barbaresco, Cuneo. Italia. RM 36/50. Bodega Gaja.	Valle río Tanaro. Límite: Parco Forestale Del Roero, Parque Natural Regional de Queyras, Parque Nacional de Mercantour, Parco Nazionale dell'Appennino Tosco-Emiliano (Apeninos ligures)	En la región hay restos de asentamientos de la cultura de los ligures ⁹⁸⁰ .	La bodega está compuesta por varios volúmenes ordenados alrededor de dos patios cerrados. El acceso se realiza atravesando uno de los volúmenes.
313	Finikia, Thira. Grecia. RM 37/50. Bodega Domaine Sigalas.	Límite: Volcán Caldera de Santorini.	En la isla de Santorini, hay restos de la ciudad minoica enterrada por la erupción del volcán Akrotiri ⁹⁸¹ .	La bodega está compuesta por varios volúmenes ordenados alrededor dos espacios abiertos, de los cuales uno sirve de acceso. Algunos de los volúmenes tienen un patio abierto anexo al volumen.

⁹⁷⁷ Martín Almagro-Gorbea y Mariano Torres Ortiz. “La colonización de la costa atlántica de Portugal: ¿fenicios o tartesios?” *Palaeohispanica. Revista sobre lenguas y culturas de la Hispania Antigua*, 9 (2009), pp. 113-142. Obtenido en: <https://ifc.dpz.es/ojs/index.php/palaeohispanica/article/view/216> [Fecha de acceso: 04/02/2022].

⁹⁷⁸ Pablo González Zambrano y Jonathan Corral Sánchez. “Asta Regia y la tartessos histórica”. *ACADEMIA*, pp. 1-35.

⁹⁷⁹ OF. A. Menghín. “Migrationes mediterraneae. Origen de los Lígures, Iberos, Aquitanos y Vascoas”. *RUNA, archivo para las ciencias del hombre*, 1 (1948), pp. 111-195. <https://doi.org/10.34096/runa.v1i0.4876>

⁹⁸⁰ Id.

⁹⁸¹ J. J. Monaghan y otros, art. cit.

Presentación de datos. La vivienda como fuente primaria.

314	Mtein, Jabal Lubnan. Líbano. RM 38/50. Bodega Chateau Oumsiyat.	Reserva Al-Mateen. Límite: Reserva de la biosfera Masser Al-Chouf, Barouk, and Ain Zhalta-Bmohary (nieve), Mount Lebanon/ jabal lubnān/Jebel Liban.	En las proximidades están los orígenes de la cultura fenicia, y hay restos de ciudades-estado como Biblos, Sidón, Tiro o Beirut. En esta tierra los fenicios son reconocidos como cananeos, fenicios, púnicos y cartagineses ⁹⁸² .	La bodega está compuesta por un único volumen compacto híbrido, con partes aéreas y partes subterráneas, rodeado de terreno. El acceso se realiza a través de varias aperturas.
315	Harsovo, Harsovo (Хърсово). Bulgaria. RM 39/50. Bodega Villa Melnik.	Límite: Kerkini Lake National Park, Parque Parapotamio Dasos Nestou, Parque Nacional del Pirin	INDETERMINADO. No he encontrado evidencias.	La bodega está compuesta por un único volumen principal compacto híbrido, con partes aéreas y partes subterráneas, rodeado de terreno. Hay algunos edificios en el entorno cercano. El acceso se realiza a través de varias aperturas.
316	Briones, La Rioja. España. RM 41/50. Bodegas Vivanco.	Límite: Parque Natural Sierra de Cebollera, Parque Natural Aizkorri-Aratz, Parque Natural de Gorbeia.	INDETERMINADO. No he encontrado evidencias.	La bodega está compuesta por varios volúmenes ordenados alrededor de un eje lineal que sirve de acceso. Algunos de los volúmenes se distribuyen en torno a un espacio/patio abierto común.
317	Pacs del Penedès, Barcelona. España. RM 42/50. Bodega Familia Torres.	Límite: Montañas de Ordal, Reserva Natural Parque Natural del Garraf, Parque Macizo de Bonastre, Parque Natural de la Montaña de Montserrat, Reserva Natural Montañas de Prades	En la cercana ciudad de Barcelona existen restos de fenicios en siglos VI-I a. C. ⁹⁸³ .	La bodega está compuesta por varios volúmenes ordenados alrededor de un eje lineal que sirve de acceso. Algunos de los volúmenes se distribuyen en torno a un espacio/patio abierto común.
318	Qob Elias, Zahle. Líbano. RM48/50. Bodega Château Heritage.	Reserva Al-Mateen. Límite: Reserva de la biosfera Masser Al-Chouf, Barouk, and Ain Zhalta-Bmohary (nieve), Mount Lebanon/ jabal lubnān/Jebel Liban.	En las proximidades están los orígenes de la cultura fenicia. Hay restos de ciudades-estado como Biblos, Sidón, Tiro o Beirut. En esta tierra los fenicios son reconocidos como cananeos, fenicios, púnicos y cartagineses ⁹⁸⁴ .	La bodega está compuesta por varios volúmenes ordenados alrededor de un eje lineal que sirve de acceso. Algunos de los volúmenes se tienen un espacio/patio abierto anexo.
319	Pinhão, Vila Real. Portugal. RM 49/50. Quinta do Noval.	Límite: Parque Natural do Alvão, Parque Natural del Duero Internacional, Parque Natural de Arribes del Duero	Hay evidencias de varias colonizaciones por parte de los tartesios en el río Duero ⁹⁸⁵ .	La bodega está compuesta por varios volúmenes ordenados alrededor de un eje lineal que sigue la trayectoria de la curva de nivel y que sirve de acceso. Algunos de los volúmenes se tienen un espacio/patio abierto anexo.

Tabla 65. Bodegas de vino reconocidas por su excelencia. Mediterráneo.

⁹⁸² Mhamed Hassine Fantar. *Los fenicios en el Mediterráneo*. Barcelona: Icaria, 1999, pp. 29–65.⁹⁸³ Josep L. Roig, *op. cit.*, pp. 2–3.⁹⁸⁴ Mhamed Hassine Fantar, *op. cit.*, pp. 29–65.⁹⁸⁵ Martín Almagro-Gorbea y otros., art. cit.

Coordenadas:

Población	Geolocalización	Coordenadas DMS	Altitud
307 Elciego, Álava. España. RM 6/50. Bodegas de los Herederos del Marqués de Riscal.	https://www.google.com/maps/place/01340+Elciego,+%C3%81lava/@42.5144568,-2.629315,15z/data=!3m1!4b1!4m5!3m4!1s0xd4557f88283f8ab:0xe04b0034569aebd6!8m2!3d42.5149608!4d-2.6185459	42° 30' 40.928" N 2° 37' 11.542" W	439 m.
308 Gouvinhas, Vila Real. Portugal. RM 8/50. Bodega Quinta do Castro.	https://www.google.com/maps/place/Gouvinhas,+Portugal/@41.1845002,-7.6522826,6773m/data=!3m2!1e3!4b1!4m5!3m4!1s0xd3b502195e50fa5:0x858bc8b3b923b167!8m2!3d41.1844698!4d-7.634773	41° 9' 53.743" N 7° 37' 41.047" W	188 m.
309 Bargino, Florencia. Italia. RM 9/50. Bodega Antinori nel Chianti Classico.	https://www.google.com/maps/place/50026+Bargino+Florencia,+Italia/@43.6158129,11.1882083,17z/data=!3m1!4b1!4m12!1m6!3m5!1s0x0:0xe16466179458134a!2sAntinori+nel+Chianti+Classico!8m2!3d43.6128702!4d11.1935151!3m4!1s0x132a48ced2fb49d3:0x5bbe51fd2907b5fe!8m2!3d43.6139257!4d11.1909378	43° 36' 45.829" N 11° 11' 37.581" E	175 m.
310 Jerez de la Frontera, Cádiz. España. RM 18/50. Bodegas González Byass. Bodega Tío Pepe.	https://www.google.com/maps/place/Jerez+de+la+Frontera,+C%3%A1diz/@36.6876005,-6.1580048,13z/data=!3m1!4b1!4m5!3m4!1s0xd0dc6e84844a39f:0x6dac3ef5f3d0ffea!8m2!3d36.6850064!4d-6.1260744	36° 40' 50.982" N 6° 8' 31.724" W	48 m.
311 Alba, Cuneo. Italia. RM 21/50. Bodega Ceretto.	https://www.google.com/maps/place/12051+Alba,+Cuneo,+Italia/@44.6894268,8.0044338,14z/data=!3m1!4b1!4m13!1m7!3m6!1s0x12d2b244e5cce641:0x6c50ee6658b453b0!2sLocalit%C3%A0+S.+Cassiano,+12051+Alba+CN,+Italia!3b1!8m2!3d44.6745745!4d7.9906585!3m4!1s0x12d2b36d1f25f315:0xae82aa8ed7331423!8m2!3d44.7009348!4d8.0357265	44° 40' 20.068" N 7° 59' 46.326" E	248 m.
312 Barbaresco, Cuneo. Italia. RM 36/50. Bodega Gaja.	https://www.google.com/maps/place/12050+Barbaresco,+Cuneo,+Italia/@44.7268441,8.0743703,3197m/data=!3m2!1e3!4b1!4m5!3m4!1s0x4787f59a8d06a4c9:0xfa8b412dae6ba5fa!8m2!3d44.7232618!4d8.0835572	44° 43' 33.588" N 8° 4' 50.905" E	256 m.
313 Finikia, Thira. Grecia. RM 37/50. Bodega Domaine Sigalas.	https://www.google.com/maps/place/Finikia+847+02,+Grecia/@36.4623146,25.3876503,2559m/data=!3m1!1e3!4m13!1m7!3m6!1s0x1499cc8910d8c859:0x7403776820a1a098!2sFinikia+847+02,+Grecia!3b1!8m2!3d36.463341!4d25.3937793!3m4!1s0x1499cc8910d8c859:0x7403776820a1a098!8m2!3d36.463341!4d25.3937793	36° 28' 17.052" N 25° 23' 38.874" E	26 m.
314 Mtein, Jabal Lubnan. Líbano. RM 38/50. Bodega Chateau Oumsiyat.	https://www.google.com/maps/place/Mtein,+L%C3%ADbano/@33.8934545,35.7263146,7471m/data=!3m2!1e3!4b1!4m12!1m6!3m5!1s0x151f39d65de17f53:0x1d88873d3d5ab61b!2sChateau+Oumsiyat!8m2!3d33.8848322!4d35.7383467!3m4!1s0x151f37812f3ed417:0x8f6c0d5dfe219868!8m2!3d33.8934214d35.7438254	33° 53' 5.302" N 35° 44' 18.690" E	889 m.
315 Harsovo, Harsovo (Хърсово). Bulgaria. RM 39/50. Bodega Villa Melnik.	https://www.google.com/maps/place/2819+Harsovo,+Bulgaria/@41.4612176,23.365068,6745m/data=!3m2!1e3!4b1!4m12!1m6!3m5!1s0x14abd2c94c64a5eb:0xb14d5f73ac5ef2b0!2sVilla+Melnik!8m2!3d41.4736583!4d23.3895183!3m4!1s0x14abd2d5303d4085:0x5281d0b5c892f32e!8m2!3d41.4611894!4d23.382597	41° 28' 25.906" N 23° 23' 21.385" E	285 m.
316 Briones, La Rioja. España. RM 41/50. Bodegas Vivanco.	https://www.google.com/maps/place/26330+Briones,+La+Rioja/@42.543719,-2.7888392,1658m/data=!3m2!1e3!4b1!4m12!1m6!3m5!1s0xd4f8acf35574dc5:0xf87ecce7512664ee!2sVivanco.+Cultura+del+Vino!8m2!3d42.539426!4d-2.777571!3m4!1s0xd4f8acef2312387:0x7fe2aea1074851d4!8m2!3d42.5436943!4d-2.7845675	42° 32' 21.791" N 2° 46' 38.831" W	459 m.

Presentación de datos. La vivienda como fuente primaria.

317	Pacs del Penedès, Barcelona. España. RM 42/50. Bodega Familia Torres.	https://www.google.com/maps/place/08796+Pacs+del+Pened%C3%A8s,+Barcelona/@41.3617107,1.6695565,844m/data=!3m2!1e3!4b1!4m2!1m16!4m15!1m6!1m2!1s0x12a4798adfdbf557:0x136fbb2ddafe4438!2sVilafranca+del+Pened%C3%A8s,+08720,+Barcelona!2m2!1d1.6979398!2d41.3461265!1m6!1m2!1s0x12a470b2a9f82f73:0x83032dd05166dfe3!2sFamilia+Torres:+centro+de+visitas,+Finca+el+Maset+s%2Fn,+08796+Pacs+del+Pened%C3%A8s,+Barcelona!2m2!1d1.6661081!2d41.3496339!3e0!3m4!1s0x12a470a686356e61:0xc4ea227efc9cdb5!8m2!3d41.3605884!4d1.6727275	41° 21' 0.785" N 1° 39' 49.919" E	207 m.
318	Qob Elias, Zahle. Líbano. RM48/50. Bodega Château Heritage.	https://www.google.com/maps/place/Qob+Elias,+L%C3%ADbano/@33.7935162,35.8051001,7479m/data=!3m2!1e3!4b1!4m12!1m6!3m5!1s0x151f3160112a1395:0x73f9e31be8dc89ac!2sChateau+Heritage!8m2!3d33.80199!4d35.82714!3m4!1s0x151f317ca019e5db:0x24cd95caf1549512!8m2!3d33.7934813!4d35.8226073	33° 48' 7.164" N 35° 49' 38.283" E	940 m.
319	Pinhão, Vila Real. Portugal. RM 49/50. Quinta do Noval.	https://www.google.com/maps/place/Pinh%C3%A3o,+Portugal/@41.1902334,-7.5497131,6773m/data=!3m2!1e3!4b1!4m13!1m7!3m6!1s0xd3b4487475e3db1:0x500ebbde4911b20!2sVale+de+Mendiz,+Portugal!3b1!8m2!3d41.2218624!4d-7.5345759!3m4!1s0xd3b5b4a79d9197d:0x9f06373ba234c06e!8m2!3d41.1875038!4d-7.5328445	41° 12' 47.228" N 7° 32' 15.070" W	348 m.

Tabla 66. Geolocalización de las bodegas de vino reconocidas por su excelencia. Mediterráneo.

3.9.1.1 El uso residencial en la bodega.

Como la tierra es el mejor sistema regulador hidrotérmico, las construcciones subterráneas son ideales para la maduración del vino⁹⁸⁶. Sin embargo, cuando no es posible excavar (o no es rentable), se utilizan otros tipos constructivos que técnicamente favorecen la fermentación de la uva.

Las estancias (subterráneas o no) dedicadas a bodega de vino están integradas en la vivienda (en bodega familiar) o constituyen un edificio independiente junto a la vivienda (en la bodega industrial). Por ejemplo, la Bodega Quinta do Noval (Pobl. 319, Img. 164) tiene el uso residencial y los otros usos en diferentes edificios.

También notamos que aparecen nuevas funcionalidades (turismo y espectáculo) en las grandes bodegas que comercializan cantidades elevadas de vino. Por ejemplo, en las bodegas González Byass (Pobl. 310, Img. 155) o en la bodega Château Oumsiyat (Pobl. 314, Img. 159), donde los edificios que se utilizan para la elaboración del vino son protagonistas de la imagen del conjunto y el uso residencial se transforma.

⁹⁸⁶ Macías Pérez de Alarcón, Laura. *Elaboración de vinos*. Madrid: Síntesis, 2018.

3.9.2. Bodegas de vino en uso- subterráneas. Mediterráneo en península: España.



Pobl. 320. Cuevas de Provanco, España. Bodegas excavadas⁹⁸⁷.



Img. 167. Bodegas de Cuevas de Provanco excavadas en ladera⁹⁸⁸.



Pobl. 321. Fermoselle, España. Bodegas excavadas⁹⁸⁹.



Img. 168. Bodegas Pastrana excavada (subterránea) en Fermoselle⁹⁹⁰.



Pobl. 322. Tomelloso, España. Bodegas excavadas⁹⁹¹.



Img. 169. Bodega Verum excavada (subterránea) en Tomelloso⁹⁹².

⁹⁸⁷ Cuevas de Provanco. (2016). [Facebook] <https://es-la.facebook.com/131532743585103/photos/a.988316374573398/988811801190522/?type=1&theater> [Fecha de acceso: 16/02/2022].

⁹⁸⁸ Jose Vidal. (2019). Minuto: 0:58. 2015 - 2020 Cuevas de Provanco [Web] <https://www.youtube.com/watch?v=Oo8BWHpvXe8> [Fecha de acceso: 16/02/2022].

⁹⁸⁹ Ayuntamiento de Fermoselle. (2021) [Web] <https://fermoselle.es/wp-content/uploads/2021/03/panoramica-penao.jpg> [Fecha de acceso: 16/02/2022].

⁹⁹⁰ Clemen Melendez. (2021) [Google Maps] <https://goo.gl/maps/aTooqoteFJnqYaz8> [Fecha de acceso: 16/02/2022].

⁹⁹¹ [Web] <https://www.latribunadeciudadreal.es/noticia/z07567cfe-98d5-e2f0-8ff3a452f08fad2b/201603/la-oficina-de-vivienda-de-tomelloso-se-ubicara-en-el-barrio-de-la-paz-e-iniciara-su-actividad-con-un-trabajador> [Fecha de acceso: 16/02/2022].

Presentación de datos. La vivienda como fuente primaria.

	Población	Entorno NATURAL	Fundacion/origen	Acceso / patio
320	Cuevas de Provanco, Segovia, España. Bodegas excavadas.	Límite: Parque Natural Hoces del Río Riaza, Parque Regional de la Sierra de Gredos, Parque Natural de Arribes del Duero	La población ya existía en el siglo X d. C. en la época cristiana ⁹⁹³ .	Las bodegas conforman un conjunto compacto visible exterior por las salidas individuales de cada una de ellas. No existe la vivienda- bodega como unidad ni un espacio exterior que las relacione.
321	Fermoselle, Zamora. España. Bodegas excavadas.	Límite: Parque Natural de Arribes del Duero, Parque Natural del Duero Internacional, Parque Natural de Montesinho	Parece que existía un castro prerománico. Según la toponimia Fermoselle es de origen visigodo ⁹⁹⁴ .	Las bodegas conforman un conjunto subterráneo formando ramificaciones con varias salidas al exterior. La vivienda y bodega tienen acceso directo entre ellas y están unidas en vertical.
322	Tomelloso, Ciudad Real. España. Bodegas excavadas.	Límite: Parque Nacional de las Tablas de Daimiel, Parque Natural de las Sierras de Cazorla, Segura y Las Villas, Parque Natural de la Sierra de Andújar, Parque Natural de la Serranía de Cuenca	Hay constancia de Tomelloso como aldea en el 1.539 d. C. ⁹⁹⁵ .	Las bodegas conforman un conjunto subterráneo formando ramificaciones con varias salidas al exterior. La vivienda y bodega tienen acceso directo entre ellas y están unidas en vertical.

Tabla 67. Bodegas de vino excavadas en uso. España.

Coordenadas:

	Población	Geolocalización	Coordenadas DMS	Altitud
320	Cuevas de Provanco, Segovia, España. Bodegas excavadas.	https://www.google.com/maps/place/40239+Cuevas+de+Provanco,+Segovia/@41.5423371,-3.965259,1684m/data=!3m2!1e3!4b1!4m5!3m4!1s0xd469624c6fb6385:0x8ed4a72640c55367!8m2!3d41.5421886!4d-3.9613808	41° 32' 30.363" N 3° 57' 39.289" W	877 m.
321	Fermoselle, Zamora. España. Bodegas excavadas.	https://www.google.com/maps/place/Bodegas+Pastrana/@41.3177918,-6.3970156,17z/data=!4m13!1m7!3m6!1s0x0:0x186c5a28c682d14e!2zNDHCsDE5JzA3LjkiTiA2wrAyMyc1Mi4yIlc!3b1!8m2!3d41.3188622!4d-6.3978336!3m4!1s0x0:0x3ab5fca679f444dd!8m2!3d41.3177918!4d-6.3948269	41° 19' 4.038" N 6° 23' 41.437" W	696 m.
322	Tomelloso, Ciudad Real. España. Bodegas excavadas.	https://www.google.com/maps/place/13700+Tomelloso,+Ciudad.+Real/@39.1642428,-3.0365638,6978m/data=!3m2!1e3!4b1!4m5!3m4!1s0xd68fc7f386143f5:0x8bf123079a74891d!8m2!3d39.1583745!4d-3.0214475	39° 10' 6.052" N 3° 1' 25.967" W	667 m.

Tabla 68. Geolocalización de las bodegas de vino excavadas en uso. España.

⁹⁹² [Web] <https://www.bodegasverum.com/en/work/enoturismo/> [Fecha de acceso: 16/02/2022].

⁹⁹³ Ángel Barrios García. “Repoblación de la zona meridional del Duero. Fases de ocupación, procedencias y distribución espacial de los grupos repobladores”. *Studia historica. Historia medieval*, 3 (1985), pp. 46-51.

⁹⁹⁴ Iñaki Martín Viso. “Una comarca periférica en la Edad Media: Sayago, de la autonomía a la dependencia feudal”. *Studia historica. Historia medieval*, 14 (1996), pp. 104-1013.

⁹⁹⁵ Vicente Morales Becerra y Francisco Javier Escudero Buendía. “Sobre los orígenes de tomelloso”. *El periódico común de la Mancha*, 10 (2002), pp. 36-37.

3.9.2.1 Perivivencias estructurales: el arco y la apertura superior.

En las bodegas de Famoselle (ciudad con 1.000 bodegas subterráneas), en las bodegas de Aranda del Duero y en las viviendas de Shivta en Israel, los arcos que conforman los espacios forman parte del mismo sistema constructivo (Img. 168-170).



Img. 170. Bodega excavada en roca: el Pulijón. Famoselle, Zamora. España⁹⁹⁶.



Img. 171. Bodega Don Carlos. Aranda del Duero, Burgos⁹⁹⁷.



Img. 172. Viviendas de la ciudad de Shivta en Israel⁹⁹⁸.

⁹⁹⁶ [Web] <https://hostalarribesdelduero.com/arribes-del-duero-bodegas-fermoselle/> [Fecha de acceso: 16/02/2022].

⁹⁹⁷ [Web] https://www.abc.es/viajar/destinos/espana/abci-pueblo-tiene-7-galerias-subterranas-centro-historico-201806240049_noticia.html [Fecha de acceso: 16/02/2022].

⁹⁹⁸ RnDm S. Agosto, 2021 [Web] <https://sp.depositphotos.com/497445926/stock-photo-view-ruined-buildings-ancient-nabataean.html> [Fecha de acceso: 16/02/2022].

Encontramos otra característica repetida: el uso de la apertura superior⁹⁹⁹ en las estancias subterráneas de fermentación de la uva. Por ejemplo, esta aparece en las “viviendas aéreas con bodega subterránea” en Guzelyur en Turquía (Img. 171-172), en Tomelloso (ciudad con 2.000 bodegas subterráneas) y en la casa de la familia López del Valle de Úbeda en España.

Además, reconocemos su modelo habitacional (de Fermoselle, Aranda del Duero, Guzelyur, Tomelloso y Úbeda): son “viviendas híbridas” (subterráneas y aéreas).



Img. 173. Guzelyur, Turquía¹⁰⁰⁰.



Img. 174. Güzelyurt (Gelveri), Turquía¹⁰⁰¹.

⁹⁹⁹ En el techo de la bodega subterránea aparece una apertura superior que se utiliza para verter la uva. En la estancia de la vivienda donde está esa apertura se pisa la uva y presenta una ligera pendiente. El acceso a la bodega se produce por esta apertura o por una entrada independiente.

¹⁰⁰⁰ Doron. (2002). [Web] <https://es.wikipedia.org/wiki/G%C3%BCzelyurt#/media/Archivo:Guzelyurt.jpg> [Fecha de acceso: 16/02/2022].

¹⁰⁰¹ [Web] <https://wine.sprudge.com/2018/12/11/reviving-traditional-winemaking-in-anatolia-with-gelveri-manufacture/> [Fecha de acceso: 16/02/2022].

3.9.3. Bodegas de vino sin uso. Resto del Mediterráneo.



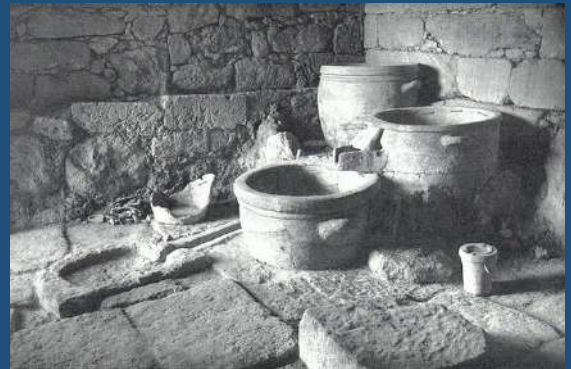
Pobl. 323. Argolis, Grecia. Gruta de Franchthi con fósil de *vitis vinífera*, año 12.000 a.C.¹⁰⁰².



Pobl. 324. Ebla, Siria. Tablillas con descripción de cultivos de viñas, año 2.300 a. C.¹⁰⁰³.



Pobl. 325. Cerca de Heraklion, Grecia. Bodega en villa de Vathypetro, años 1580 a.C.- 1550 a.C.¹⁰⁰⁴



Img. 175. B. Prensa de vino de la bodega de la villa de Vathypetro¹⁰⁰⁵.

¹⁰⁰² [Web] <https://es.touristlink.com/greece/franchthi-cave/overview.html> [Fecha de acceso: 16/02/2022].

¹⁰⁰³ Referencia: Imagen Poblacion 122.

¹⁰⁰⁴ [Web] <https://minoanastronomy.mikrob.com/photos.html> [Fecha de acceso: 16/02/2022].

¹⁰⁰⁵ [Web] <https://sites.google.com/site/lepalkissamou/tsikoudia/ladi/krasi> [Fecha de acceso: 16/02/2022].



Pobl. 326. Cádiz. España. Bodega fenicia Doña Blanca, siglos VIII-III a.C. ¹⁰⁰⁶



Pobl. 327. Marea (Alejandría), Egipto. Prensa antigua de vino, siglos 550 a.C – 640 d.C. ¹⁰⁰⁷



Pobl. 328 Jezreel (Yizre'el), Israel. Bodega de vino, siglos I a. C. ¹⁰⁰⁸



Pobl. 329. Bodega de vino en Monasterio Khirbat Shuwayka, Territorios palestinos. VIII/ II a.C - VII d. C. ¹⁰⁰⁹

¹⁰⁰⁶ [Web] <http://www.historiayarqueologia.com/2018/10/la-bodega-fenicia-de-2300-anos-que.html> [Fecha de acceso: 16/02/2022].

¹⁰⁰⁷ Nicola Aravecchia, (2007). *A wine press in the vicinity of Marea*. [Flickr]. Obtenida en <https://www.flickr.com/photos/34561917@N04/5202155025> [Fecha de acceso: 16/02/2022].

¹⁰⁰⁸ Red Historia. (2020). *Arqueólogos habrían identificado la bodega Jezreel que aparece en la Biblia*. [Web] <https://redhistoria.com/arqueologos-habrian-identificado-la-bodega-jezreel-que-aparece-en-la-biblia/> [Fecha de acceso: 16/02/2022].

¹⁰⁰⁹ Duby Tal/Albatros. [Web] <https://www.baslibrary.org/biblical-archaeology-review/34/3/7> [Fecha de acceso: 16/02/2022].



Pobl. 330. Los Villaricos, España. Villa romana de Los Villaricos, siglos I - VII d. C.¹⁰¹⁰.



Img. 176. Recreación de la villa romana en Villaricos, España¹⁰¹¹.



Pobl. 331. Pompeya, Italia. Villa de los Misterios, siglo II a.C.- año 79 d.C.¹⁰¹²



Img. 177. B. Prensa de vino en la Villa de los Misterios, Pompeya, Italia¹⁰¹³.



Pobl. 332. Boscoreale, Italia. Villa Regina en Boscoreale, siglo I a.C - año 79 d. C.¹⁰¹⁴



Img. 178. B. Villa Regina en Boscoreale, Pompeya, Italia¹⁰¹⁵.

¹⁰¹⁰ Oficina de turismo de Mula. [Web] <http://www.losvillaricos.es/> [Fecha de acceso: 16/02/2022].

¹⁰¹¹ Jesús Gómez Merino Balawat. [Web]

[https://www.facebook.com/photo/?fbid=2860820183961133&set=gm.1489112437896124&__cft__\[0\]=AZWmM7ZMSiVAwdbqr_hQ4gEVNEQ9jwqHx4DB5IFXvXKwedtKgZUHOOrO5YyeASpZ0VAcB2ID_XCG9XBLJyqcFn7RyuMw2rXB0EKxoe6CoUKq6SKFdnANtr3PdDMCz5uSOpVmZ5zv6eliWDN3UiBdDtiLEta8y2SVA5r0TJiiE8tLmiEqLnL0RibH-J87jU9FzLgyyldfunXNrzuEljHcEv3vhAuFqx8CL2k5D1eFykbHzHOq9RcPFIqrDRi79sUv78&__tn__=EH-y-R](https://www.facebook.com/photo/?fbid=2860820183961133&set=gm.1489112437896124&__cft__[0]=AZWmM7ZMSiVAwdbqr_hQ4gEVNEQ9jwqHx4DB5IFXvXKwedtKgZUHOOrO5YyeASpZ0VAcB2ID_XCG9XBLJyqcFn7RyuMw2rXB0EKxoe6CoUKq6SKFdnANtr3PdDMCz5uSOpVmZ5zv6eliWDN3UiBdDtiLEta8y2SVA5r0TJiiE8tLmiEqLnL0RibH-J87jU9FzLgyyldfunXNrzuEljHcEv3vhAuFqx8CL2k5D1eFykbHzHOq9RcPFIqrDRi79sUv78&__tn__=EH-y-R) [Fecha de acceso: 16/02/2022].



Pobl. 333. Arellano, España. Villa de las Musas, siglos I y III d. C.¹⁰¹⁶



Img. 179. B. Villa de las Musas. Arellano, Navarra¹⁰¹⁷



Pobl. 334. Ramla (Yavne), Israel. Bodegas de vino, siglos VI –VII d.C.¹⁰¹⁸



Img. 180. Bodegas de vino en Ramla (Yavne)¹⁰¹⁹.

¹⁰¹² [Web] <https://ermakvagus.com/Europe/Italy/Pompeii/mysteries.html> [Fecha de acceso: 16/02/2022].

¹⁰¹³ [Web] <https://ermakvagus.com/Europe/Italy/Pompeii/mysteries.html> [Fecha de acceso: 16/02/2022].

¹⁰¹⁴ [Web] <https://pompeiiinpictures.com/pompeiiinpictures/RV/villa%20regina%20boscoreale%20p2.htm> [Fecha de acceso: 16/02/2022].

¹⁰¹⁵ [Web] <https://pompeiiinpictures.com/pompeiiinpictures/RV/villa%20regina%20boscoreale%20p1.htm> [Fecha de acceso: 16/02/2022].

¹⁰¹⁶ [Web] <https://fcpatrimoniodenavarra.com/proyecto/villa-musas-2/> [Fecha de acceso: 16/02/2022].

¹⁰¹⁷ [Web] <https://navarranatural.blogspot.com/2012/02/villa-romana-de-arellano-la-villa-de.html> [Fecha de acceso: 16/02/2022].

¹⁰¹⁸ [Web] <https://www.primeroscristianos.com/bodega-bizantina-yavne/#> [Fecha de acceso: 16/02/2022].

¹⁰¹⁹ [Web] <https://greekreporter.com/2021/10/14/byzantine-wine-press-israel/> [Fecha de acceso: 16/02/2022].



Pobl. 335. San't Ambrogio di Valpolicella, Italia. Bodega Tommasi (Prunea). 1902 – ? d. C.¹⁰²⁰.



Pobl. 336. Ocón, España. Bodega Casa la Rad, década de 1960 d. C.¹⁰²¹.



Pobl. 337. Úbeda, España. Bodega de la Sinagoga del agua, siglo XIV d. C.¹⁰²².

¹⁰²⁰ Iggi Falcon. (2016). *Sant'Ambrogio di Valpolicella*. [Flickr]. Obtenida en <https://www.flickr.com/photos/bautisterias/30781487165/> [Fecha de acceso: 16/02/2022].

¹⁰²¹ Alberto Gil. *Casa La Rad relanza su proyecto bodeguero en la mayor finca agrícola de La Rioja*. [Web]. <https://www.lomejordelvinoderioja.com/bodegas/casa-relanza-proyecto-20200225190524-nt.html?ref=https%3A%2F%2Fwww.google.com%2F> [Fecha de acceso: 16/02/2022].

¹⁰²² Carlos Alonso. (2015) *Sinagoga del Agua, Úbeda*. [Web] <https://www.flickr.com/photos/46759457@N06/23944566430> [Fecha de acceso: 16/02/2022].

Presentación de datos. La vivienda como fuente primaria.

	Población	Entorno NATURAL	Fundación origen	Acceso / patio
323	Argolis. Grecia. Gruta de Franchthi con fósil de vitis vinífera.	Límite: Katafigio Agrias Zois Stavropodi - Kanapitsa	Fósil de vitis vinífera. Gruta de Franchthi (12.000 a. C.) ¹⁰²³	Los restos de hojas de vid se recogieron en una gruta natural en el interior de una ladera rocosa, con un orificio con vistas a la bahía desde el cual se accede.
324	Ebla, Siria. Tablillas con descripción de cultivos de viñas.	Meseta de Aintab o meseta de Gaziantep.	Ciudad de Ebla ¹⁰²⁴ . 3.000 - 1600 a. C.	INDETERMINADO. Tablillas con descripción de cultivos de viñas.
325	Vathypetro (cerca de Heraklion), Grecia. Bodega en villa minoica.	Parque Oros Giouchta. Límite: Parque Plathiani Lagkada, Parque Almirou potamou – Keris.	Vathypetro 1580 a. C.- 1550 a. C. ¹⁰²⁵ .	Conjuto formado por varios volúmenes ordenados alrededor de patios/espacios privados. En uno de los volúmenes está la prensa de vino. Para el acceso hay una puerta principal.
326	Cádiz. España. Bodega fenicia Doña Blanca.	Límite: Parque Nacional de Doñana, Reserva Natural Sierra Nevada, Parque Natural Los Alcornocales.	Doña Blanca VIII - III a. C. ¹⁰²⁶ .	La bodega está formada por un único volumen relacionado con espacios exteriores a otros volúmenes cercanos destinados a otras actividades, formando un complejo. Acceso indeterminado.
327	Marea (Alejandría), Egipto.	Valle del río Nilo. Límite: Depresión de Qattara.	Marea 550 a.C – 640 d. C. ¹⁰²⁷ .	La bodega está formada por un único volumen relacionado con espacios exteriores con otros volúmenes cercanos destinados a otras actividades, formando un complejo. Acceso indeterminado.
328	Jezreel (Yizre'el), Israel.	Límite: HaGilbo'a Reserve, Megido Forest, Giv'at HaMo're Reserve, Parque Nacional Monte Carmelo	Jezreel s. I a. C. ¹⁰²⁸ .	Bodega cuyas instalaciones están talladas en roca.
329	Monasterio en Khirbat Shuwayka (Nabi Samwill), Territorios palestinos. Bodega de vino.	Límite: Bosque de los Mártires, Bosque de Eshtaol, Desierto de Judea.	Monasterio en Khirbat Shuwayka (Nabi Samwill). Evidencias de ocupación en período romano. El apogeo del edificio es en IV-VII d. C. ¹⁰²⁹	Conjuto formado por varios volúmenes ordenados alrededor de patios/espacios privados. En uno de los volúmenes están las instalaciones para fabricar el vino. Para el acceso hay una puerta principal.

¹⁰²³ Giorgio Chelidonio. “Aux origines du vin. Du mythe à la recherche archéologique”. *Le Globe. Revue genevoise de géographie*, 155 (2015), pp. 67-68. <https://doi.org/10.3406/globe.2015.7376>

¹⁰²⁴ Juan Antonio Ramírez. Op. Cit., p. 220.

¹⁰²⁵ Rodney Castleden. *Minoans: Life in Bronze Age Crete*. Londres: Routledge, 2002, pp. 39–40.

¹⁰²⁶ Diego Ruiz Mata. “Varios aspectos sobre el vino y la bodega turdetana-púnica de la sierra de San Cristóbal, en El Puerto de Santa María (Cádiz)”. *Revista de historia de El Puerto*, 60 (2018), pp. 24-27, 104-107. Obtenido en: <https://dialnet.unirioja.es/descarga/articulo/6542878.pdf> [Fecha de acceso: 16/02/2022].

¹⁰²⁷ [Web] <https://pleiades.stoa.org/places/727153> [Fecha de acceso: 16/02/2022].

¹⁰²⁸ Norma Franklin y otros. “An Ancient Winery at Jezreel, Israel”. *Journal of Eastern Mediterranean Archaeology and Heritage Studies*, 8.1 (2020), pp. 58-78. <https://doi.org/10.5325/jeasmedarcherstu.8.1.0058>

¹⁰²⁹ Marwan F. Abu Khalaf. “The Ninth Season of Excavations at Khirbat Shuwayka 2005”. *Annual of the Department of Antiquities of Jordan*, 52 (2009), p. 147. Obtenido en: <http://publication.doa.gov.jo/Publications/ViewChapterPublic/315> [Fecha de acceso: 04/02/2022].

330	Los Villaricos, España. Villa romana de Los Villaricos.	Límite: Parque Natural de Los Calares del Mundo y de la Sima, Parque Natural de Sierra María-Los Vélez, Parque Regional de Sierra Espuña, Sierra del Maigmó	Villa romana de Los Villaricos I - VII d. C. El apogeo del edificio es en el IV d. C. ¹⁰³⁰	Conjuto formado por varios volúmenes ordenados alrededor de patios privados y espacios abiertos. En uno de los volúmenes están las instalaciones para fabricar el vino. Los volúmenes tienen accesos independientes.
331	Pompeya, Italia. Villa de los Misterios.	Límite: Parque Nacional del Vesubio, Parco Regionale dei Monti Lattari, Riserva Statale Valle delle Ferriere	Villa de los Misterios en Pompeya tiene su origen en II a. C. La casa actual es el resultado de un proyecto unitario llevado a cabo en el s. I a. C. Se realizan sucesivas ampliaciones hasta el año 79 d. C. ¹⁰³¹	Conjuto formado por varios volúmenes formando una unidad, ordenados alrededor de patios privados/ espacios anexos abiertos. En uno de los volúmenes están las instalaciones para fabricar el vino. Los volúmenes tienen accesos independientes.
332	Boscoreale, Italia. Villa Regina.	Límite: Parque Nacional del Vesubio, Parco Regionale dei Monti Lattari, Riserva Statale Valle delle Ferriere	Los orígenes de la Villa Regina son del s. I a. C. Se reformó al menos dos ocasiones hasta el año 79 d. C. ¹⁰³²	Conjuto formado por varios volúmenes formando una unidad, ordenados alrededor de patios privados/ espacios anexos abiertos. En uno de los volúmenes están las instalaciones para fabricar el vino. Los volúmenes tienen accesos independientes.
333	Arellano, España. Villa de las Musas.	Límite: Parque Natural Sierra de Cebollera, Parque Natural Aizkorri-Aratz, Parque Natural Valles Occidentales, Parque Natural de la Sierra y los Cañones de Guara	Villa de las Musas se inicia en el siglo I d. C. En la bodega se realizan diversas actuaciones hasta el III d. C. ¹⁰³³	Conjunto formado por varios volúmenes ordenados alrededor de patios privados y espacios abiertos. En uno de los volúmenes están las instalaciones para fabricar el vino. Los volúmenes tienen accesos independientes.
334	Ramla (Yavne), Israel. Bodegas de vino.	Llanura de Sarón: Límite: Bosque de los Mártires, Bosque de Eshtaol, Desierto de Judea.	Asentamientos rurales en Yavne y Yavne-Ram en torno al siglo VI -VII d. C. ¹⁰³⁴ . De esa época es coetánea la fábrica de vino encontrada. Parece que también hay restos de prensas de vino del periodo persa con 2.300 años de antigüedad ¹⁰³⁵ .	El complejo está formado por múltiples bodegas que se desarrollan en varios volúmenes relacionados entre sí con espacios exteriores. En el entorno otros volúmenes cercanos destinados a otras actividades, formando un complejo. Acceso indeterminado.

¹⁰³⁰ Rafael González Fernández y otros. "La Villa Romana de los Villaricos (Mula, Murcia): 30 años de investigación". En: XXV Jornadas de *Patrimonio Cultural, Región de Murcia*. Murcia: Gobierno de la Región de Murcia. 2019, pp. 23-39, p. 36.

¹⁰³¹ Domenico Esposito y Paola Rispoli. "La Villa dei Misteri a Pompei". En: Luccetti, Loreta y otros. *Città vesuviane antichità e fortuna, Il suburbio e l'agro di Pompei, Ercolano, Oplontis e Stabiae*. Roma: Istituto della Enciclopedia italiana fondata da Giovanni Treccani, 2013, p. 69.

¹⁰³² Stefano De Caro. *La villa rustica in località Villa Regina a Boscoreale*. Roma: Bretschneider, 1994.

¹⁰³³ Ana Carmen Sánchez Delgado y otros. "La villa de las musas (Arellano-Navarra): estudio previo". *Trabajos de arqueología Navarra*, 11 (1993), pp. 55-100.

¹⁰³⁴ Moshe Fischer y otros. "Rural Settlement in the Vicinity of Yavneh in the Byzantine Period: A Religio-Archaeological Perspective". *Bulletin of the American Schools of Oriental Research*, 350 (2008), pp. 7-35.

¹⁰³⁵ Rossella Tercatin. "Largest wine factory in the world from Byzantine period unearthed in Yavne". *The Jerusalem post*, (2021). Obtenido en: <https://www.jpost.com/archaeology/largest-wine-factory-in-the-world-byzantine-period-unearthed-in-yavne-681639> [Fecha de acceso: 16/02/2022].

Presentación de datos. La vivienda como fuente primaria.

335	San't Ambrogio di Valpolicella, Italia. Finca Prunea de la Bodega Tommasi.	Valle del río Po. Límite: Parco Naturale Regionale della Lessinia, Parco dell'Alto Garda Bresciano	Esta bodega familiar comenzó la producción en el año 1902 ¹⁰³⁶ .	El complejo está formado por varios edificios englobados en un único volumen. Hay varias puertas de acceso.
336	Ocón, España. Bodega Casa la Rad.	Límite: Parque Natural Sierra de Cebollera, Parque Natural Aizkorri-Aratz, Parque Natural Valles Occidentales, Parque Natural de la Sierra y los Cañones de Guara	Esta bodega familiar plantó sus vides y comenzó la producción en la década de 1960 ¹⁰³⁷ .	Conjunto formado por varios volúmenes ordenados alrededor de un patio privado y un espacio abierto anexo. En uno de los volúmenes están las instalaciones para fabricar el vino. Los volúmenes tienen accesos independientes.
337	Úbeda, España. Bodega de la Sinagoga del agua.	Límite: Parque Natural de las Sierras de Cazorla, Segura y Las Villas, Parque Natural Sierra de Castril, Parque Natural de Sierra Mágina, Parque Natural de la Sierra de Andújar, Parque Natural de Despeñaperros	Bodega de la Edad Media, en torno al siglo XIV d. C. ¹⁰³⁸	La bodega es un volumen único subterráneo conectado con la vivienda contruida en la parte superior. La vivienda y bodega tienen acceso directo entre ellas y están unidas en vertical, formando un volumen único híbrido con una parte construida subterránea y una parte construida aérea.

Tabla 69. Bodegas de vino sin uso. Resto del Mediterráneo.

Coordenadas:

	Población	Geolocalización	Coordenadas DMS	Altitud
323	Argolis. Grecia. Gruta de Franchthi con fósil de vitis vinífera.	https://www.google.com/maps/place/Cueva+Franchthi/@37.4228064,23.1304898,1172m/data=!3m1!1e3!4m5!3m4!1s0x0:0xef21f6116cef4016!8m2!3d37.42244!4d23.1312621	37° 25' 20.725" N 23° 7' 52.326" E	9 m.
324	Ebla, Siria. Tablillas con descripción de cultivos de viñas.	https://www.google.es/maps/place/Ebla+Citadel/@35.7988061,36.7918417,1697m/data=!3m1!1e3!4m9!1m2!2m1!1sebla+siria!3m5!1s0x15251b5ca32b7829:0x2e404a0bc2da3649!8m2!3d35.7988061!4d36.7987704!1s5sCgpIYmxhIHnpemlhkgE TYXJjaGFfb2xvZ2ljYWxfc2l0ZQ?hl=es	35° 48' 0.661" N 36° 47' 52.430" E	400 m.
325	Vathypetro (cerca de Heraklion), Grecia. Bodega en villa minoica.	https://www.google.com/maps/place/Vathypetro/@35.2097057,25.1506477,97m/data=!3m1!1e3!4m13!1m7!3m6!1s0x149af658a303f1d1:0xa00bd2f74c28a70!2sVat%C3%ADpetro+701+00,+Grecia!3b1!8m2!3d35.2051!4d25.1586542!3m4!1s0x149af6571b911c37:0x248c77753a6bd3b1!8m2!3d35.2097218!4d25.1507974	35° 12' 35.337" N 25° 9' 3.014" E	502 m.
326	Cádiz. España. Bodega fenicia Doña Blanca.	https://www.google.com/maps/place/Yacimiento+arqueol%C3%B3gico+de+Do%C3%B1a+Blanca/@36.6282689,-6.1635947,1074m/data=!3m1!1e3!4m9!1m2!2m1!1sSierra+de+San+Crist%C3%B3bal,+C%C3%A1diz+BODEGAS+FENICIAS!3m5!1s0x0:0x851b562701993792!8m2!3d36.6280954!4d-6.1615222!1sCjFTaWVycmEgZGUgU2FuIENyaXN0w7NiYWwsIEPDoWRpeiBCT0RFR0FTIEZFTkIDSUFTWjliMH NpZXJyYSBkZSBzYW4gY3Jpc3TDs2JhbCBjw6FkaXogYm9kZWdhcyBmZW5pY2lhc5IBE2hpc3RvcmljYWxfbGFuZG1hcmluASRDaGREU1VoTk1HOW5TMFZKUTBGbINV TmhOWEZmV0Y5QlJSQUI	36° 37' 40.408" N 6° 9' 40.181" W	27 m.

¹⁰³⁶ [Web] <https://www.tommasi.com/famiglia/> [Fecha de acceso: 16/02/2022].

¹⁰³⁷ [Web] <https://bodegascasalarad.com/es/la-vinas/> [Fecha de acceso: 16/02/2022].

¹⁰³⁸ Pablo Jesús Lorite Cruz. "Situación y autenticidad de la sinagoga de Úbeda". *Revista de Claseshistoria*, 12 (2011), pp. 1-17.

327	Marea (Alejandría), Egipto.	https://www.google.com/maps/place/Qaryat+Shakush,+Bahig,+Qesm+Borg+Al+Arab,+Gobernaci%C3%B3n+de+Alejandr%C3%ADa,+Egipto/@30.9819597,29.6586294,3858m/data=!3m2!1e3!4b1!4m1!1m7!3m6!1s0x14f5c49126710fd3:0xb4e0cda629ee6bb9!2sAlejandr%C3%ADa,+Gobernaci%C3%B3n+de+Alejandr%C3%ADa,+Egipto!3b1!8m2!3d31.2000924!4d29.9187387!3m4!1s0x14f58e595ccef341:0xabaa0fc67ab2b7e2!8m2!3d30.9823922!4d29.6669483	30° 59' 41.352" N 29° 39' 23.018" E	12 m.
328	Jezreel (Yizre'el), Israel.	https://www.google.com/maps/place/Tel+Yizreel/@32.5574527,35.3287573,797m/data=!3m1!1e3!4m1!1m7!3m6!1s0x151c56b963dc814d:0x3d0e3d39adb772c3!2sYizre'el,+Israel!3b1!8m2!3d32.562589!4d35.319425!3m4!1s0x151c5744c4e54279:0x64151633a89297cc!8m2!3d32.5573682!4d35.3304315	32° 33' 23.805" N 35° 19' 52.328" E	102 m.
329	Monasterio en Khirbat Shuwayka (Nabi Samwill), Territorios palestinos. Bodega de vino.	https://www.google.com/maps/place/Nabi+Samuil/@31.8330235,35.180546,15z/data=!3m1!1e3!4m1!1m7!3m6!1s0x1502d5d08d25b59b:0xf6d9bac51fea28ad!8m2!3d31.833024!4d35.180546	31° 49' 58.188" N 35° 10' 49.845" E	870 m.
330	Los Villaricos, España. Villa romana de Los Villaricos.	https://www.google.com/maps/place/Villa+Romana+de+Los+Villaricos/@38.0481892,-1.463011,876m/data=!3m1!1e3!4m1!1m6!3m5!1s0xd6460dab6928c33:0xb85a9e8496bc076!2sVilla+Romana+de+Los+Villaricos!8m2!3d38.0481892!4d-1.4608223!3m4!1s0xd6460dab6928c33:0xb85a9e8496bc076f!8m2!3d38.0481892!4d-1.4608223	38° 2' 56.325" N 1° 27' 37.971" W	292 m.
331	Pompeya, Italia. Villa de los Misterios.	https://www.google.com/maps/place/Villa+de+los+Misterios/@40.7537999,14.4773104,17.25z/data=!4m1!2!1m6!3m5!1s0x0:0xa281bec6e90484a3!2sVilla+de+los+Misterios!8m2!3d40.7536883!4d14.4774634!3m4!1s0x0:0xa281bec6e90484a3!8m2!3d40.7536883!4d14.4774634	40° 45' 13.089" N 14° 28' 38.969" E	21 m.
332	Boscoreale, Italia. Villa Regina.	https://www.google.com/maps/place/40%C2%B045'41.2%22N+14%C2%B028'17.1%22E/@40.7614494,14.4709068,211m/data=!3m1!1e3!4m5!3m4!1s0x0:0x30bf8c14c736ca9a!8m2!3d40.7614488!4d14.4714057	40° 45' 41.196" N 14° 28' 17.110" E	16 m.
333	Arellano, España. Villa de las Musas.	https://www.google.com/maps/place/Villa+Romana+de+Las+Musas+de+Arellano/@42.5528825,-2.0760287,769m/data=!3m1!1e3!4m1!1m6!3m5!1s0xd5075dd789cd269:0x22ec3bee4bbd9497!2sVilla+Romana+de+Las+Musas+de+Arellano!8m2!3d42.5528786!4d-2.07384!3m4!1s0xd5075dd789cd269:0x22ec3bee4bbd9497!8m2!3d42.5528786!4d-2.07384	42° 33' 8.722" N 2° 4' 25.829" W	421 m.
334	Ramla (Yavne), Israel. Bodegas de vino.	https://www.google.com/maps/search/Tell+Yavneh+/@31.8656063,34.7481336,736m/data=!3m1!1e3	31° 51' 58.619" N 34° 44' 59.439" E	22 m.
335	San't Ambrogio di Valpolicella, Italia. Finca Prunea de la Bodega Tommasi.	https://www.google.com/maps/place/45%C2%B031'01.4%22N+10%C2%B050'53.8%22E/@45.5170403,10.8460801,779m/data=!3m2!1e3!4b1!4m5!3m4!1s0x0:0xa61f5b3be9c59dec!8m2!3d45.5170403!4d10.8482688	45° 31' 1.345" N 10° 50' 53.768" E	147 m.
336	Ocón, España. Bodega Casa la Rad.	https://www.google.com/maps/place/Casa+La+Rad/@42.3338197,-2.1471571,822m/data=!3m2!1e3!4b1!4m5!3m4!1s0xd5abd800bfd0efd:0x1cb63008ba2fd2da!8m2!3d42.3338197!4d-2.1449684	42° 18' 42.013" N 2° 9' 22.438" W	663 m.
337	Úbeda, España. Bodega de la Sinagoga del agua.	https://www.google.com/maps/place/Sinagoga+del+Agua/@38.0100901,-3.3689737,187m/data=!3m2!1e3!5s0xd6ef47754696c8b:0xb8bbb0af236a7ec!4m1!3!1m7!3m6!1s0xd6ef478904e7625:0x472cc5622f64db22!2zMjM0MDAgw5piZWRRhLCBKycOpbg!3b1!8m2!3d38.0114236!4d-3.3712457!3m4!1s0xd6ef47753c6dc6b:0xb7d82162ccba755b!8m2!3d38.009964!4d-3.3688491	38° 0' 35.909" N 3° 22' 7.887" W	743 m.

Tabla 70. Geolocalización de bodegas de vino sin uso. Resto del Mediterráneo.

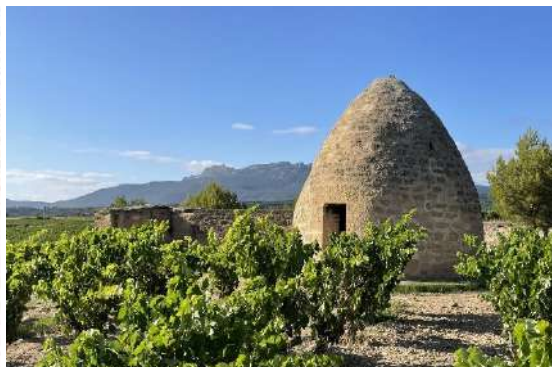
3.9.3.1 Elección de sistema constructivo

La Bodega Casa la Rad de La Rioja se inicia en la década de 1960 en un “entorno bodeguero” de productores de vino, que encontramos recurrente en el Mediterráneo (p. ej. en Gabaón en Palestina, en Ramla en Israel, en Marea en Egipto, en San’t Ambrogio di Valpolicella o en Doña Blanca en Cádiz).

También volvemos a detectar la “capacidad de elección” cuando existen diversos sistemas constructivos heredados. Por ejemplo, en la Bodega lagar de Zabala de La Rioja están los antiguos lagares tallados en roca (para el depósito de la uva del siglo XII d. C.)¹⁰³⁹ y el lagar de estructura aérea que actualmente utiliza la bodega. Ambos son sistemas diferentes como podemos observar en las Imágenes 179-181.



Img. 181. Bodega Lagar de Zabala. San Vicente de la Sonsierra, La Rioja. España. Siglo XII¹⁰⁴⁰.



Img. 182. Bodega lagar de Zabala. San Vicente de la Sonsierra, La Rioja. España ¹⁰⁴¹.



Img. 183. Bodega lagar de Zabala en San Vicente de la Sonsierra, La Rioja. España ¹⁰⁴².

¹⁰³⁹ Labrys Arqueología. “Los lagares rupestres de San Andrés (San Vicente de la Sonsierra)”. *Belezos: Revista de cultura popular y tradiciones de La Rioja*, 19 (2012), pp. 20-25. Obtenido en: <https://dialnet.unirioja.es/servlet/articulo?codigo=4081425> [Fecha de acceso: 04/02/2022].

¹⁰⁴⁰ [Web] <http://coleccion.vivancoculturadevino.es/recurso/lagar-de-zabala/ebb4a479-5105-4318-bdae-5ea5ada85e7e> [Fecha de acceso: 04/02/2022].

¹⁰⁴¹ [Web] <https://bodegaslagardezabala.com/> [Fecha de acceso: 04/02/2022].

¹⁰⁴² [Web] <https://bodegaslagardezabala.com/la-bodega/> [Fecha de acceso: 04/02/2022].

4 Resultados: análisis y discusión.

4.1. Introducción al análisis.

El objetivo principal de esta Tesis Doctoral es definir la vivienda mediterránea para formular una teoría que permita entenderla y que proporcione las herramientas necesarias a los profesionales de la construcción en el ejercicio de sus funciones.

En el apartado de presentación de datos expusimos las viviendas seleccionadas junto con algunas observaciones significativas extraídas de las mismas. Tras agrupar las observaciones recurrentes identificamos seis hipótesis:

Hipótesis 1: La vivienda construida está asociada a la orografía mediterránea.

Hipótesis 2: Existen dos modelos habitacionales que se repiten: las viviendas que se desarrollan en un volumen único y las viviendas que se distribuyen en torno a un patio interior.

Hipótesis 3: Existen viviendas aisladas¹⁰⁴³ cerca de la población, independientemente del espacio histórico.

Hipótesis 4: Encontramos viviendas construidas con el mismo lenguaje constructivo o el mismo modelo habitacional.

Hipótesis 5: La calidad de vida y el estatus social influyen en la evolución de la vivienda.

Hipótesis 6: Podemos aplicar el concepto de Mediterráneo a la vivienda mediterránea. Además, encontramos que los términos “troglodita” y “tradicional” son utilizados para describirla a veces de forma inadecuada.

Para realizar el análisis, enlazaremos estas hipótesis con las investigaciones que expusimos en el desarrollo de la historiografía y con los objetivos secundarios¹⁰⁴⁴ de nuestra tesis.

¹⁰⁴³ Ver apartado 3.4.1.1 Las viviendas aisladas como pervivencia estructural mediterránea, p. 99.

¹⁰⁴⁴ Ver los objetivos secundarios en la página 3.

4.2. Análisis y discusión.

4.2.1. Hipótesis 1.

Hipótesis 1: La vivienda construida¹⁰⁴⁵ está asociada a la orografía mediterránea, cuya característica principal es la presencia constante de montañas que se extienden desde el interior continental hasta la línea de costa que forman una frontera natural¹⁰⁴⁶. En consecuencia, encontramos viviendas construidas en un plano inclinado donde aparecen estancias con vista al paisaje.

Ejemplo de ello son:

- las ruinas de las viviendas de Escó, en el interior de España, y de Karmilissos, en la costa de Turquía (Img. 41 y 42);
- las viviendas actuales habitadas o en ruina, de Tipaza en Argelia¹⁰⁴⁷ (Img. 29 y 30)¹⁰⁴⁸ y de Hornos de Segura en España¹⁰⁴⁹ (Img. 2 y 3);
- las viviendas aéreas y excavadas de Laguardia en España y de Tamezret en Túnez (Img. 131, 132, 133 y 134)¹⁰⁵⁰;
- las viviendas en el interior de un recinto amurallado de Moleta del Remei en España y de Dozza en Italia (Img. 18 y 19)¹⁰⁵¹ y
- las viviendas en poblaciones vecinas de Polopos, Sorbas y Lucainena de las Torres en España (Img. 13, 14 y 15)¹⁰⁵².

¹⁰⁴⁵ Siguen este esquema las viviendas que mostramos en la combinación 1: sierra y la combinación 2: valle.

¹⁰⁴⁶ Cuando utilizamos la expresión “frontera natural”, hacemos referencia a la “presencia constante de montañas” que se repiten y se extienden desde el interior continental hasta la línea de costa. Además, en esta “frontera natural”, ocurren microfenómenos que influyen en la manera de “habitar” de la población y, por tanto, pueden crear ciertos hábitos que se reflejen en la construcción de sus viviendas.

¹⁰⁴⁷ Apartado 3.4.3.2.1 Las viviendas subterráneas en la placa Afro-árabe y los elementos naturales en el diseño, p. 119.

¹⁰⁴⁸ Apartado 3.4.3.2.1 Las viviendas subterráneas en la placa Afro-árabe y los elementos naturales en el diseño, p. 122.

¹⁰⁴⁹ Las viviendas de Hornos de Segura en España mantienen su desarrollo en un volumen único en los últimos 50 años con la singularidad de que se han encontrado bajo la misma población restos de una choza neolítica también desarrollada en un volumen. Ver referencias en Apartado 3.3.1.1 La cima con vistas al territorio y el volumen único que crece en altura, p.56.

¹⁰⁵⁰ Apartado 3.7.1.2.1 La vivienda excavada: la frontera, p. 209 y 210.

¹⁰⁵¹ Apartado 3.4.3.1.1 Las vistas al territorio y el volumen único que crece en altura, p.114.

¹⁰⁵² Apartado 3.4.2.1 Las poblaciones cercanas y las vistas al territorio, p.110.



Img.29. Tipaza, Argelia.



Img.30. Tipaza, Argelia.



Img.41. Esco, España.



Img.42. Karmilissos (Livissi / Kayaköy), Turquía.



Img.131. Laguardia, Álava, España.



Img. 133. Laguardia. Bodega Carlos San Pedro.



Img.132. Tamezret, Túnez.



Img.134. Tamezret. L'Auberge De Tamezret.



Img.2. Ortofotografía de Hornos del Segura, España. Año 1977-1983.



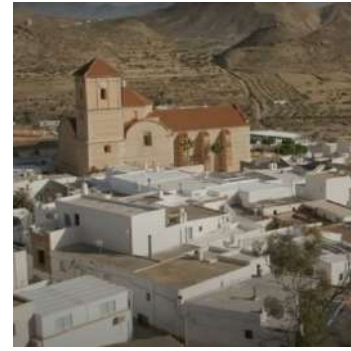
Img.3. Ortofotografía de Hornos del Segura, España. Año 2021.



Img. 13. Polopos. España.



Img.14. Sorbas, España.



Img.15. Lucainena de las Torres, España



Img.18. La Moleta del Remei, España



Img.19. Dozza, Italia (Pobl. 77)

A pesar de encontrar diferentes lenguajes constructivos en una *misma* localización (p. ej. Tipaza y Hornos de Segura) o de compartir el mismo lenguaje constructivo en *diferentes* localizaciones (p. ej. Esco y Karmilissos, Laguardia y Tamezret, Moleta de Remei y Dozza o Polopos, Sorbas y Lucainena de las Torres), las viviendas se ubican en un plano inclinado.

Es más, lo mismo ocurre si consideramos un diferente espacio histórico en una *misma* localización (p. ej. Hornos de Segura) o un mismo espacio histórico en una *diferente* localización (p. ej. Polopos, Sorbas y Lucainena de las Torres).

O si consideramos los elementos geomorfológicos de la dualidad sierra-valle¹⁰⁵³: ejemplos de *sierra* son Tipaza, Esco, Karmilissos, Hornos de Segura, Polopos, Sorbas y Lucainena de las Torres y de *valle* son Laguardia, Tamezret, Moleta de Remei y Dozza.

Este análisis nos lleva a pensar que la influencia de la orografía mediterránea es significativa en la posible definición de vivienda. Ahora vamos a ver como utilizan la caracterización orográfica otras investigaciones que teorizan acerca del Mediterráneo.

Empezaremos con la descripción orografía del Mediterráneo de Robert Hofrichter¹⁰⁵⁴: *la cuenca Mediterránea está delimitada por espacios montañosos de tipo alpino*¹⁰⁵⁵ *e islas que circundan la cuenca*¹⁰⁵⁶, con una línea litoral *dónde las tierras bajas cercanas a la costa están estrechamente divididas con laderas más o menos escarpadas*¹⁰⁵⁷. Esta característica geomorfológica en la que *el paisaje se halla muy fragmentado tanto en lo que respecta a la extensión horizontal como en lo que concierne a la vertical tiene como consecuencia la formación de secuencias muy cercanas de pequeños espacios climáticos-ecológicos*¹⁰⁵⁸.

Consideramos que esta definición de Hofrichter es la más acertada según nuestra experiencia en las diferentes visitas de campo que realizamos. De hecho, observamos que

¹⁰⁵³ Ver definición de la dualidad geomorfológica sierra-valle en el concepto territorio p. 38-39.

¹⁰⁵⁴ Robert Hofrichter, *op. cit.*

¹⁰⁵⁵ *Ibid.*, p. 140.

¹⁰⁵⁶ *Ibid.*, p. 56.

¹⁰⁵⁷ *Ibid.*, p. 134.

¹⁰⁵⁸ *Ibid.*, p. 103.

existe de forma constante una dualidad geomorfológica y climática sierra-valle en toda la región que coincide con la repetición de los lenguajes constructivos de algunas viviendas, y por este motivo, aplicamos su descripción orográfica a nuestro estudio, aunque presente algunas diferencias respecto a la utilizada por otros investigadores, como por ejemplo, Braudel, Horden o Abulafia.

Fernand Braudel¹⁰⁵⁹ expone que en el Mediterráneo hay una historia de civilizaciones en la que la población se entremezcla y convive en una **encrucijada de paisajes geográficos**.

Aunque coincidimos con las ideas generales que plantea Braudel, no encontramos una definición de los elementos constantes que encontramos en esos paisajes geográficos, a pesar de que observamos, en nuestra selección de viviendas y en la descripción de Hotfritcher, que existe una constante dualidad geomorfológica y climática sierra-valle en toda la región con repeticiones paisajísticas.

Por otro lado, para Peregrine Horden y Nicholas Purcell¹⁰⁶⁰ la historia mediterránea se entiende desde la existencia de una interacción de *cuatro microecologías* que seleccionan a partir de la *descripción geográfica histórica*¹⁰⁶¹: *el Valle del Líbano Bekaa, la Etruria del sur en la Península Itálica, la región de Libia Cirenaica y la isla de Milos en el Mar Egeo*. Además, estos autores delimitan el espacio físico por la línea de costa y la vegetación asociada al clima mediterráneo.

Consideramos interesante la utilización de microecologías, ya que coinciden conceptualmente con la descripción de secuencias muy cercanas de pequeños espacios climáticos-ecológicos de Hotfritcher y estas las reconocemos en nuestro trabajo de campo. Sin embargo, como están particularizadas en una geografía histórica limitada dejan fuera del estudio a una parte importante del territorio, como por ejemplo la Península Ibérica o los Balcanes.

¹⁰⁵⁹ Fernand Braudel, *op. cit.*

¹⁰⁶⁰ Peregrine Horden y otros, *op. cit.*

¹⁰⁶¹ Sobre la descripción geográfica histórica del mediterráneo destacamos la recopilación de investigaciones que realizan Pérez Jiménez y Gonzalo Cruz Andreotti porque la contextualizan con el resto del mundo, siendo especialmente interesante el límite que muestran con Asia. En: Aurelio Pérez Jiménez y otros, *op. cit.*

Posteriormente, Peregrine Horden junto a Sharon Kinoshita¹⁰⁶² completan la anterior investigación de Horden y Purcell con una recopilación interdisciplinar de búsqueda de confrontaciones y conexiones.

En particular, cabe destacar el capítulo *asentamiento y sociedad* elaborado por John Bintliff¹⁰⁶³ que recoge sus estudios sobre la propiedad privada en las civilizaciones griega y romana diferenciando entre pueblo/caserío, ciudad y granja, y el capítulo de Valerie Ramseyer¹⁰⁶⁴ que recoge sus reflexiones sobre la tipología de vivienda en cueva, aunque, no nos parece adecuado utilizar diferentes criterios para definir por un lado las poblaciones (pueblo/caserío, ciudad o granja) y, por otro, la vivienda cueva que evoluciona desde la prehistoria.

Para finalizar tenemos que mencionar los estudios de David Abulafia¹⁰⁶⁵ en los que destacamos la descripción que realiza del Mediterráneo como una **región costera llena de diversidad** que desarrolla **una única zona** comercial, cultural y política marcada por cinco hechos históricos centrados en el mar¹⁰⁶⁶.

Efectivamente el Mediterráneo se caracteriza por ser una región costera diversa, pero también por la presencia de montañas que llegan hasta el interior en toda la cuenca, por tanto, entendemos que la diversidad es ampliable al interior montañoso.

Además, nos parece interesante la zona única asociada al Mediterráneo que propone Abulafia porque hace una generalización a partir de una selección de pequeños hechos históricos. Aunque no profundizamos en este sentido, si encontramos que la ubicación de

¹⁰⁶² Peregrine Horden y otros, *op. cit.*

¹⁰⁶³ John Bintliff. "Settlement Patterns". En: Horden, Peregrine y Kinoshita, Sharon. *A Companion to Mediterranean History*. Vol. 20. Hoboken, NJ: John Wiley & Sons, 2014, págs. 203-218.

¹⁰⁶⁴ Valerie Ramseyer. "Cave Dwelling". En: Horden, Peregrine y Kinoshita, Sharon. *A Companion to Mediterranean History*. Vol. 20. Hoboken, NJ: John Wiley & Sons, 2014, pp. 219-233.

¹⁰⁶⁵ David Abulafia, *op. cit.*

¹⁰⁶⁶ Los cinco hechos históricos son: el primero es que todo mar une y separa al mismo tiempo masas terrestres, el segundo que el mar supone un desafío para las tierras mediterráneas, el tercero que los movimientos en el mar son más fáciles en comparación con el océano, el cuarto que en el mar coexiste una historia comercial, cultural, religiosa y política y a la vez coexisten enfrentamientos entre vecinos conscientes de sus diferencias étnicas, económicas y religiosas, y el quinto que el mar tiene unos condicionantes medioambientales que imponen unas condiciones de vida a los habitantes humanos. David Abulafia, *op. cit.*, p. 12.

las viviendas en el plano inclinado se realiza en las montañas, frontera natural¹⁰⁶⁷ teatro de hechos históricos.

Por ello, para contrastar cómo de determinante es la orografía en la definición de la vivienda, analizaremos ahora las investigaciones que teorizan sobre la interacción de pequeñas microestructuras para posteriormente formular una teoría global mediterránea.

En la figura 28 podemos ver el esquema conceptual de que estamos realizando:

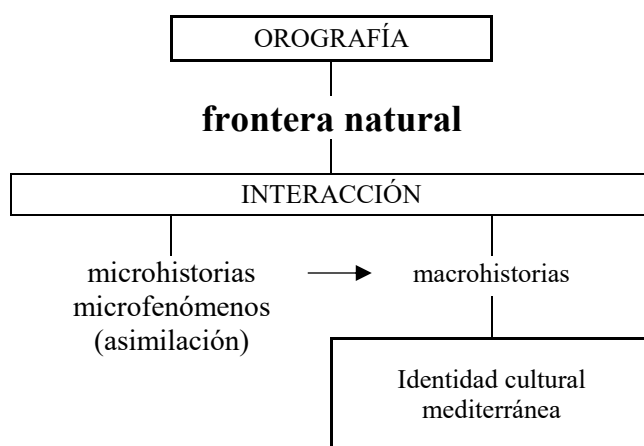


Fig. 21. Análisis hipótesis de orografía, cima y frontera.

Buen ejemplo son los estudios que analizan las ciudades como microestructuras. Mary Bachvarova¹⁰⁶⁸, nos muestra un Mediterráneo de ciudades caídas, parte de la tradición mediterránea, para definir la identidad cultural. Mientras que Joseph John Viscomy¹⁰⁶⁹, propone lo mismo pero utilizando las ciudades portuarias que pertenecen a los estados-nación, en la misma línea de Abulafia que se centra en la región costera.

Sin embargo, lo que realmente nos llama la atención es que tanto Bachvarova como Viscomy excluyen a todas las poblaciones de tamaño rural repartidas por la cuenca, a

¹⁰⁶⁷ Cuando utilizamos la expresión “frontera natural”, hacemos referencia a la “presencia constante de montañas” que se repiten y se extienden desde el interior continental hasta la línea de costa. Además, en esta “frontera natural”, ocurren microfenómenos que influyen en la manera de “habitar” de la población y, por tanto, pueden crear ciertos hábitos que se reflejen en la construcción de sus viviendas.

¹⁰⁶⁸ Mary R. Bachvarova y otros, *op. cit.*

¹⁰⁶⁹ Joseph John Viscomi, *art. cit.*

pesar de que observamos que estas poblaciones rurales sí tienen un papel fundamental a la hora de buscar conclusiones respecto a la identidad cultural mediterránea.

También nos parece interesante que Viscomy se cuestione si es posible o no exponer macrohistorias a partir de microfenómenos. Aunque no podemos dar una respuesta firme a esta cuestión porque no es parte de nuestro estudio, sí notamos que la propia orografía mediterránea es una frontera natural en la que ocurren microfenómenos que influyen en la manera de habitar.

De hecho si nos alineamos con la idea que desarrollan, Aneilya Barnes y María Rosario Salerno¹⁰⁷⁰ de que existen diversas comunidades mediterráneas que han captado y asimilado símbolos entre ellas, encontramos un paralelismo a nuestra observación de que hay diferentes comunidades en el Mediterráneo que han asimilado la implantación de la vivienda en un plano inclinado con vista al paisaje.

Tras nuestro análisis nos planteamos que quizá la frontera natural propia del Mediterráneo determine la configuración genérica de la vivienda.

4.2.2. Hipótesis 2.

Hipótesis 2: Existen dos modelos habitacionales que se repiten: las viviendas que se desarrollan en un volumen único y las que se distribuyen en torno a un patio interior. Ambos tienen en común la conexión con el paisaje y la configuración interior.

Ejemplos de desarrollo en un volumen único son:

- las viviendas de la representación mural que aparece en la casa Oeste de Akrotiri del II milenio a. C en Grecia¹⁰⁷¹(Img. 89);
- las viviendas en el año 1910 de Tizirt en Argelia (Img. 182);
- las viviendas del barrio pesquero en el año 1978 de Adra en España (Img. 90);
- las viviendas torre de Istinic en Kosovo, Biel en España y Lechonia en Grecia (Img. 92, 94 y 96);

¹⁰⁷⁰ Aneilya Barnes y otros, *op. cit.*

¹⁰⁷¹ Apartado 3.6.2. La Edad Antigua, p.156 y 170.

- las poblaciones con viviendas torre con diferentes alturas de Anavatos en Grecia y San Gimignano en Italia, Vathia en Grecia y Cádiz en España (Img. 91, 95, 93 y 149);
- los rascacielos del barrio de Azarita de Alejandría en Egipto (Img. 60 y 61) y
- las viviendas de propietarios con recursos económicos escasos como las barracas de Somorrostro de Barcelona en España (Img. 183), Agro Pontino en Italia (Img. 184) y Tizi Ouzou en Argelia (Img. 182).

Ejemplos de distribución en torno a un patio interior son:

- los edificios residenciales singulares con un estilo artístico determinado como el palacio de Aljafería en Zaragoza en España, el palacio de los Duques del Infantado en Guadalajara en España y el palacio de los Leones de la Alhambra en Granada en España (Img. 105, 106 y 107);
- las viviendas del Rey Herodes como su Palacio de Cesarea en Israel (Img. 31 y 33) y
- la vivienda propia que se diseña el arquitecto Josep Lluís Sert en Cambridge en Estados Unidos (Img. 186, 187, 188 y 189).

Si consideramos las viviendas que se desarrollan en un volumen único, en una misma localización podemos encontrar un mismo lenguaje constructivo (p. ej. Akrotiri, Adra, Alejandría, Anavatos, Vathia y Tizirt) o diferentes lenguajes constructivos (p. ej. Barcelona, Tizi Ouzou, San Gimignano y Cádiz). A priori, el elemento que las unifica es el volumen interior.

Cuando observamos la distribución en torno a un patio interior, existen viviendas con un diferente lenguaje constructivo en diferentes localizaciones (p. ej. palacio de Aljafería, el palacio de los Duques del Infantado, el palacio de los Leones y la vivienda de Josep Lluís Sert). A priori, el elemento que las unifica es la existencia del patio interior.



Img.129. Oum el Awamid (Amrit), Siria.
Fundación de Amrit: 3.000 a.C.



Img. 184. Tizirt, Argelia¹⁰⁷². Año 1910.



Img.89. Detalle de Pintura mural en Akrotiri.



Img.90. Barrio pesquero. Adra, España. Año 1978.



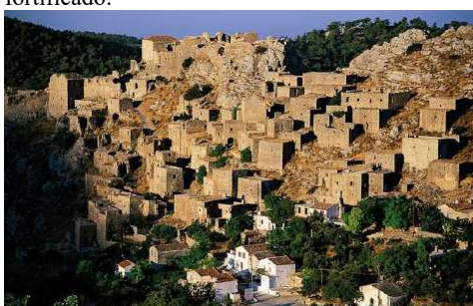
Img.92. Istina, Kosovo. Kula fortificado.



Img.94. Biel, España.



Img.96. Lechonia, Grecia.



Img.91. Anavatos, Grecia.



Img.95. Vathia, Grecia.

¹⁰⁷² Coll Achard – F. Chagrot. (1910). 5. *KABYLIE-TIGZIRT village kabyle des Beni Yenni* [Web] https://www.pierreseche.com/AV_2019_fatiha_bennacer.htm [Fecha de acceso: 09/08/2022]



Img.93. San Gimignano, Italia.



Img.149. Cádiz en España. Las torres vigías.



Img.60. Edificio del barrio de Azarita en Alejandría, Egipto. Año 2019.



Img.61. Edificio del barrio de Azarita en Alejandría, Egipto.



Img. 185. Barracas de Somorrostro de Barcelona, España. Año 1970¹⁰⁷³.



Img. 186. Agro Pontino, Italia¹⁰⁷⁴. Año 1928.



Img. 187. Tizi-Ouzou, Argelia. Año 1910¹⁰⁷⁵.

¹⁰⁷³ (1970). *Barracas de Somorrostro*. [Web] <http://orgullosademiciudad.blogspot.com/2014/04/el-barraquismo-barcelones.html> [Fecha de acceso: 09/08/2022]

¹⁰⁷⁴ Elio Migliorini. (1928). *Cabaña Agro Pontino* [Web] <https://societageografica.net/wp/2020/04/29/lagro-pontino-nelle-fotografie-del-fondo-elio-migliorini-della-societa-geografica-italiana-2/> [Fecha de acceso: 09/08/2022]

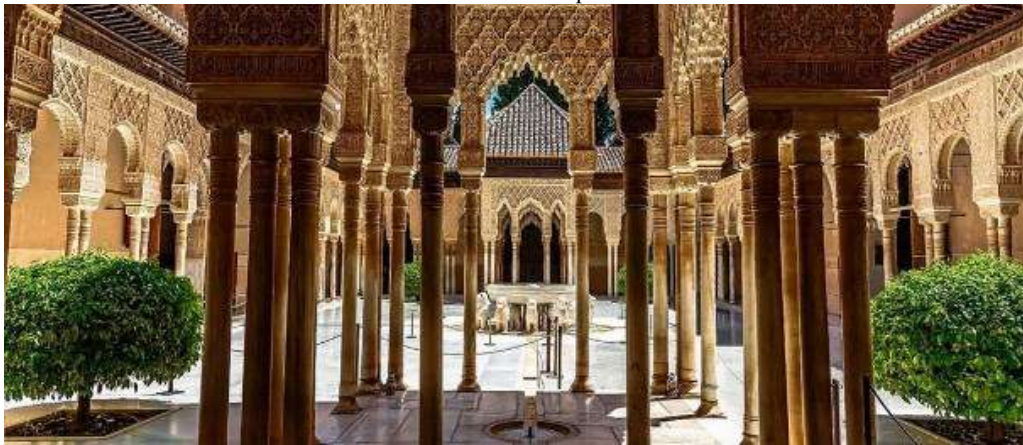
¹⁰⁷⁵ *Coin de village kabyle* [Web] <https://www.geneanet.org/cartes-postales/view/21448#0> [Fecha de acceso: 09/08/2022]



Img.105. Palacio de la Aljafería en Zaragoza. España.



Img.106. Palacio del Infantado en Guadalajara, España.



Img.107. Palacio de los leones de la Alhambra en Granada, España.



Img.31. Palacio de Herodes en Cesarea, Israel.



Img.32. Palacio de Herodes en Masada, Israel.



Img.33. Recreación del Palacio de Herodes en Cesarea. S. I a. C.



Img.34. Recreación del Palacio de Herodes en Masada. S. I a. C.



Img. 188. Casa Sert en Cambridge. Estados Unidos¹⁰⁷⁶.



Img. 189. Casa Sert en Cambridge. Estados Unidos¹⁰⁷⁷.



Img. 190. Casa Sert en Cambridge. Estados Unidos¹⁰⁷⁸.



Img. 191. Casa Sert en Cambridge. Estados Unidos¹⁰⁷⁹.

La vivienda de la izquierda es la casa mediterránea de Sert con la cerca alta. Las viviendas típicas de Boston de la derecha tienen una amplia zona de césped delante de la casa con grandes ventanas.

¹⁰⁷⁶ RTVE. La2. Minuto: 0:40:29 *Josep Lluís Sert: un sueño nómada* [Web] <https://www.rtve.es/television/20140516/josep-lluis-sert-sueno-nomada/939667.shtml> [Fecha de acceso: 09/08/2022]

¹⁰⁷⁷ RTVE. La2. Minuto: 0:40:29 *Josep Lluís Sert: un sueño nómada* [Web] <https://www.rtve.es/television/20140516/josep-lluis-sert-sueno-nomada/939667.shtml> [Fecha de acceso: 09/08/2022]

¹⁰⁷⁸ [Google Earth] <https://tinyurl.com/2e2xwx4q> [Fecha de acceso: 09/08/2022]

¹⁰⁷⁹ (2020). *64 Francis Avenue, Cambridge Boston Massachusetts, EEUU.* [Google Maps] <https://tinyurl.com/2q7y548r> [Fecha de acceso: 09/08/2022]

Lo relevante lo observamos cuando comparamos las viviendas con respecto al paisaje y el elemento que las unifica, porque detectamos una planta con vistas al paisaje en el caso del volumen único (p. ej. Akrotiri, Adra, Tigzirt, Istinic, Biel, Lechonia, San Gimignano y Cádiz) y la introducción del espacio natural en el caso del patio interior (p. ej. palacio de Cesarea, palacio de Aljafería, el palacio de los Duques del Infantado, el palacio de los Leones y la vivienda de Josep Lluís Sert).

Considerando el volumen único como modelo habitacional, encontramos estudios que lo analizan en ámbitos locales del Mediterráneo. Por ejemplo, para las viviendas tipo *dammuso* (casa cúbica abovedada), Tiziana Campisi y Manfredi Saeli¹⁰⁸⁰ indican que es un modelo de casa vernácula mediterránea que surge para adaptarse a las condiciones extremas de viento y sol. A. Spinosa, L. Veronese y S. Borea¹⁰⁸¹ establecen la influencia de la casa *dammuso* en la casa torre normanda excavada en roca de Maiori, y determinan que esta conserva la forma cúbica porque surge como torre defensiva. Estos autores proponen un origen diferente para la aparición del *dammuso* como modelo habitacional: o es el clima o es la necesidad defensiva.

Nosotros encontramos que la frontera natural característica de la orografía mediterránea engloba la justificación defensiva que muestran Spinosa, Veronese y Borea. Al igual que las diferentes altitudes de la orografía, con las secuencias cercanas de pequeños espacios climático-ecológicos, también engloban el clima¹⁰⁸² que describen Campisi y Saeli.

Examinando el patio interior como elemento característico de modelo habitacional, encontramos estudios que lo asocian con la definición de “vivienda tradicional mediterránea”.

¹⁰⁸⁰ Tiziana Campisi y otros, *op. cit.*

¹⁰⁸¹ A. Spinosa y otros, *op. cit.*

¹⁰⁸² Por claridad expositiva no vamos a mostrar un análisis en profundidad sobre el clima y su relación con la vivienda mediterránea. Sin embargo es necesario señalar que existen estudios que tratan este tema en profundidad respecto a la historia mediterránea. Es el caso de Jorge Olcina Cantos y Javier Martín Vide. *La influencia del clima en la historia*. Madrid: Arco libros, 1999. y de Ellsworth Huntington. *Civilización y clima*. Madrid: Revista de Occidente, 1942.

Para Luis José García Pulido y Valentina Pica¹⁰⁸³ la *vivienda tradicional* es la consecuencia de la evolución del uso del patio interior en la geografía mediterránea urbana y rural.

Para Hallej Nejadriah y Ozgur Dincyurek¹⁰⁸⁴, el patio es el componente principal de la vivienda mediterránea y del Medio Oriente desde hace seis mil años porque es el elemento que ayuda a lograr la privacidad.

Estos autores solo estudian la casa con patio y dejan fuera de la definición de “vivienda tradicional” a otras tipologías que no tienen patio. No obstante, nos gustaría destacar la alusión a la intimidad de Nejadriah y Dincyurek cuando indican que la privacidad se consigue con el patio, puesto que parece que el patio interior no es el elemento que define la vivienda, sino la privacidad.

Otras teorías se centran además en el patio asociado al estatus social, como el estudio de Gloria Fernández García¹⁰⁸⁵ que analiza las grandes casas aristocráticas de la Península Ibérica e indica que existe una casa patio como modelo habitacional *indígena* antes de la conquista romana. Nosotros observamos el uso del patio en viviendas con propietarios que tienen un estatus social elevado (p. ej. palacio de Cesarea, palacio de Aljafería, el palacio de los Duques del Infantado, el palacio de los Leones y la vivienda de Josep Lluís Sert) y, además, notamos que la naturaleza está presente, ya sea con la existencia de elementos como un huerto o un jardín, o con elementos orográficos como un acantilado, el mar o una montaña.

También encontramos investigaciones que establecen la “arquitectura tradicional mediterránea” como raíz de la arquitectura moderna y contemporánea. Para ilustrar esta influencia, optamos por mencionar dos investigaciones que analizan la obra de José Luis Sert, un arquitecto representativo del movimiento moderno.

¹⁰⁸³ Luis José García Pulido y otros, art. cit.

¹⁰⁸⁴ Halleh Nejadriahi y otros, art. cit.

¹⁰⁸⁵ Gloria Fernández García, art. cit.

Según Natalia Gómez Escribano¹⁰⁸⁶ el patio que diseña Sert permite introducir un espacio exterior en el interior de la vivienda. Para Antonio Pizza¹⁰⁸⁷ el patio es un elemento que solo aparece cuando la casa crece en tamaño para desarrollar la vida en la intimidad. Para describir esta intimidad, es ilustrativo el capítulo sobre la etapa de Sert en América elaborado por Jaume Freixa¹⁰⁸⁸ que recoge un ejemplo característico de su obra residencial. En concreto su propia vivienda en Cambridge (Img.186, 187, 188 y 189) que nos muestra *una configuración introvertida que [se] considera un injerto mediterráneo entre las viviendas típicas de Boston que conforman el paisaje residencial americano*. Esta contraposición entre viviendas es perceptible visualmente en la comparación *entre la casa de Sert con cercas altas que no permitían ver el interior, frente a las casas del mismo entorno con ventanales y una amplia zona de césped delante de la casa*¹⁰⁸⁹.

Reconocemos en estos autores nuestra observación inicial respecto al paisaje con la introducción del espacio natural. No obstante, lo realmente relevante para nosotros es la alusión a la intimidad que realiza Pizza para describir la relación entre la vivienda interior y el espacio exterior del patio.

Esta mención a la intimidad aparece sobre todo en los autores que teorizan sobre la arquitectura del siglo XX. Ejemplo de ello es Helena Béjar Merino¹⁰⁹⁰ que indica que la privacidad es la raíz del nuevo modelo habitacional.

¹⁰⁸⁶ Natalia López Escribano. *Un deseo moderno todavía pendiente : la casa patio, una posible técnica de agrupación de vivienda colectiva vertical*. Tesis Doctoral. Madrid: E.T.S. Arquitectura (UPM), 2016.

¹⁰⁸⁷ Antonio Pizza. *J. Ll. Sert Y El Mediterráneo = J. Ll. Sert And Mediterranean Culture*. Barcelona: Colegio Arquitectos Cataluña, 1997.

¹⁰⁸⁸ Jaume Freixa. "Josep Lluís Sert en América, etapas de una fidelidad". En: Pizza, Antonio. *J. Ll. Sert Y El Mediterráneo = J. Ll. Sert And Mediterranean Culture*. Barcelona: Colegio Arquitectos Cataluña, 1997, pp. 80-101.

¹⁰⁸⁹ Antonio Pizza, *op. cit.*, p. 91.

¹⁰⁹⁰ Helena Béjar Merino. *El ámbito íntimo: (privacidad, individualismo y modernidad)*. Madrid: Alianza, 1990.

Tras analizar la vivienda en un volumen único y la vivienda con un patio interior, parece que encontramos dos características comunes que definen un modelo habitacional:

- la configuración interior, con la conexión que se produce entre el interior de la vivienda y el exterior natural, y
- la constante presencia de la naturaleza, con vistas al paisaje, en el caso del volumen único, y con la introducción del espacio natural, en el caso del patio interior.

Llegados a este punto, vamos a analizar las investigaciones que teorizan sobre un modelo habitacional y su repetición en el ámbito mediterráneo.

Entre ellas, nos gustaría destacar el estudio de Helena Jiménez Vialás y Fernando Prados Martínez¹⁰⁹¹ sobre las viviendas fenicias de Valencia. En él llegan a la conclusión de que existen ciertos hábitos que se reflejan en las viviendas púnicas y que se repiten por el Mediterráneo Central y Occidental.

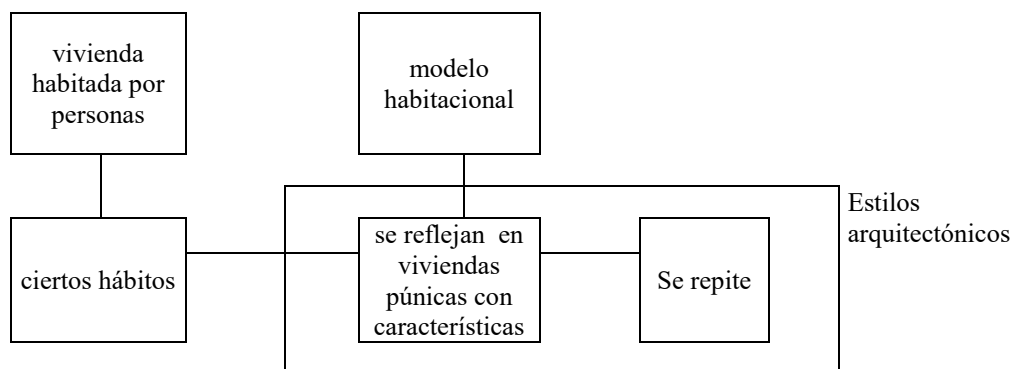


Fig. 22. Esquema conceptual: modelo habitacional - estilos arquitectónicos.

La metodología de estudio de Jiménez Vialás y Prados Martínez está englobada dentro de los actuales criterios generales de la historia del arte para definir los estilos arquitectónicos (Fig. 29). De hecho, estudian la repetición de un modelo habitacional concreto, con unas características identificables, como púnicas o fenicias, que está ampliamente investigada y aceptada por la comunidad científica con relación al arte fenicio.

¹⁰⁹¹ Helena Jiménez Vialás y otros, *op. cit.*

Si aplicamos este esquema de la Figura 29 a la vivienda mediterránea, nos encontramos con la necesidad de definir los “hábitos” que posteriormente se reflejarán en la vivienda mediterránea de forma repetitiva. En la bibliografía encontramos: hábitos culturales (como en el caso de Jiménez Vialás y Prados Martínez que definen la cultura púnica) o “habitacionales” (como es el caso de Béjar Merino que indica la privacidad en el ámbito íntimo es la raíz del nuevo modelo habitacional), por señalar algunos de los parámetros que hemos nombrado hasta ahora.

Adjuntamos el esquema conceptual del modelo habitacional mediterráneo en la Figura 30 al aplicar el esquema conceptual de Jiménez Vialás y Prados Martínez.

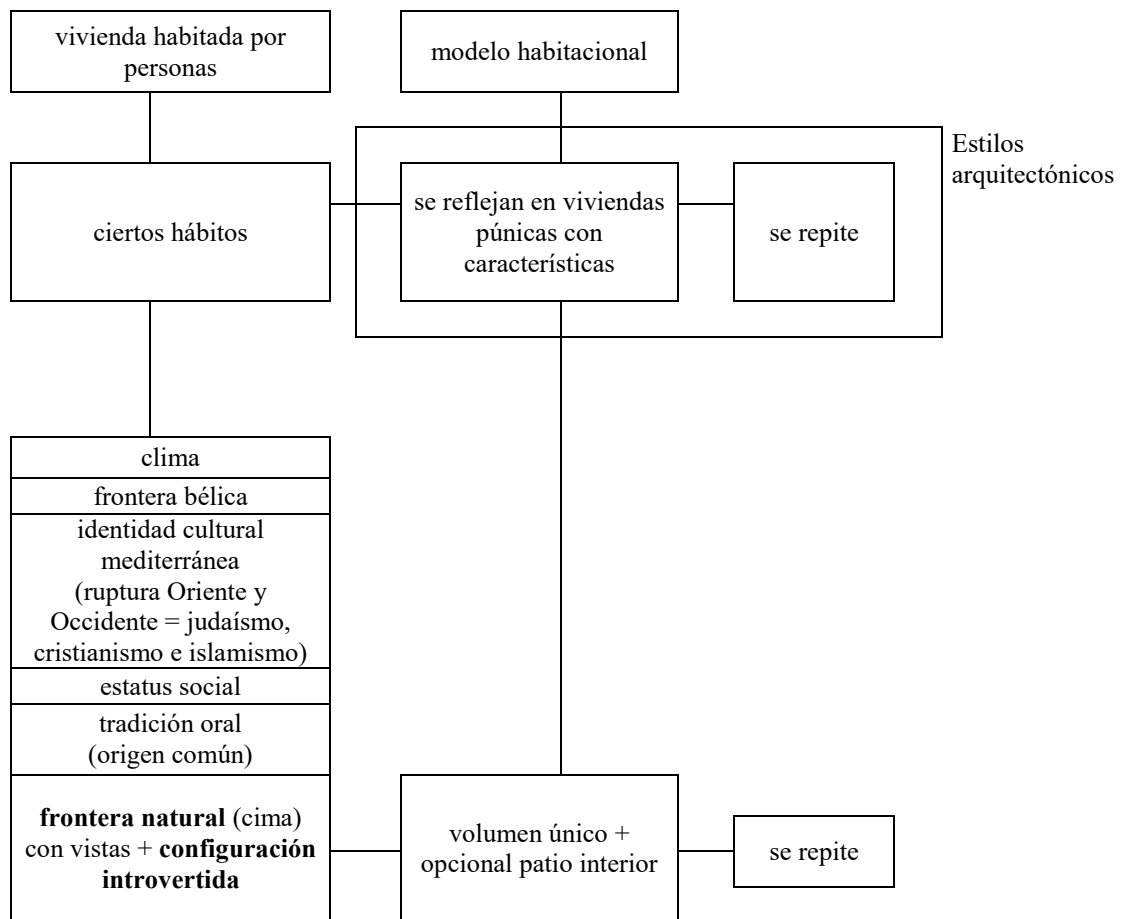


Fig. 23. Esquema conceptual del modelo habitacional mediterráneo.

Parece razonable pensar que si queremos definir la vivienda mediterránea como modelo habitacional que se repite, tendremos que buscar los “hábitos mediterráneos”. No obstante, cuando buscamos referencias a estos hábitos en la bibliografía, encontramos que

la mayoría hacen referencia a la identidad cultural mediterránea en el contexto de ruptura cultural entre Oriente y Occidente.

Por ejemplo, Rosamond E. Mack y Denis Mack Smith¹⁰⁹² indican que **los intercambios comerciales son cruciales en la ruptura de las identidades que encontramos en el Mediterráneo: Oriente y Occidente**, y ponen como ejemplo las diferencias entre el Bazaar y la Piazza.

La clasificación que utilizan Mack y Mack Smith para explicar las diferencias constructivas de dos elementos urbanos como son el Bazaar y la Piazza y basada en la **ruptura o contraposición entre Oriente y Occidente**, es la misma que emplea en su tratado sobre la historia de la arquitectura¹⁰⁹³ Spiro Kostof¹⁰⁹⁴ cuando compara el contraste urbano (p. ej. El Cairo en Egipto con Florencia en Italia), o cuando compara la arquitectura (p. e. la otomana de Estambul en Turquía con la renacentista de Venecia en Italia).

Estos ejemplos de ruptura, los podemos enmarcar en los estilos arquitectónicos (que responden a los criterios generales aceptados por la comunidad científica en referencia a la historia del arte), pero no los podemos integrar en las características comunes que observamos en la vivienda mediterránea: la configuración interior y la constante presencia de la naturaleza porque no encontramos dicha ruptura.

En consecuencia, como existen unas características comunes en la vivienda que no podemos incluir en los criterios generales de la historia del arte, tenemos que plantearnos la **ruptura entre Oriente y Occidente** (Mack y Mack Smith).

¹⁰⁹² Rosamond E. Mack y otros, *op. cit.*

¹⁰⁹³ Existen numerosos tratados sobre la historia de la arquitectura. Nombramos el tratado de Kostof por el alcance de la publicación tanto en número de idiomas y en el número de ediciones.

¹⁰⁹⁴ Spiro Kostof y María Dolores Jiménez-Blanco Carrillo de Albornoz. *Historia de la arquitectura*. Madrid: Alianza Editorial, 1997, pp. 637–651 y 789–839.

Mencionar Oriente y a Occidente¹⁰⁹⁵ en el Mediterráneo es mencionar a Dios y por tanto a las tres religiones monoteístas cuyo origen encontramos en el que son por orden cronológico: el judaísmo¹⁰⁹⁶, el cristianismo¹⁰⁹⁷ y el islamismo¹⁰⁹⁸.

Buscando una posible conexión, encontramos en la tradición oral un refrán popular que hace referencia a la intimidad que se produce en la vivienda *cada uno en su casa y Dios en la de todos*¹⁰⁹⁹. Y esto nos llevó a preguntarnos en qué momento histórico emergen la configuración interior y la constante presencia de la naturaleza, y si estas características surgen únicamente en el Mediterráneo o hay diferencias respecto otras regiones.



Fig. 24. Representación de la crítica de razón histórica en materia de religión¹¹⁰⁰.

En este sentido, Joseph Ratzinger¹¹⁰¹ indica que hay un momento decisivo en la historia en el cual se produce *la evasión del mito que deja atrás las etapas de las experiencias primitivas y las religiones míticas* (Fig. 31). De hecho, la evasión del mito se produce históricamente de tres formas: *la mística oriental, la revolución monoteísta mediterránea y la ilustración que aconteció en Grecia*¹¹⁰².

¹⁰⁹⁵ Existe numerosa bibliografía que trata la contraposición entre Oriente y Occidente. Destacamos por su tratamiento respecto al espacio histórico y a las contraposiciones el estudio de José Bermejo que divide la historia en cuatro edades marcadas por las contraposiciones: la Antigüedad (territorio ocupado - territorio de caza y espacio civilizado - territorios bárbaros), las Edades Media y Moderna (Cristiandad - Islam), la Edad Contemporánea (Europa - resto del mundo) y la Actualidad (Primer mundo - Tercer mundo). En: Jose Carlos Bermejo Barrera, *op. cit.*, pp. 1-22.

¹⁰⁹⁶ Libro de la Torá: <https://www.shalomhaverim.org/tora.htm> [Fecha de acceso: 04/02/2022].

¹⁰⁹⁷ Libro de la Biblia: https://www.vatican.va/archive/bible/index_sp.htm [Fecha de acceso: 04/02/2022].

¹⁰⁹⁸ Libro del Corán: <https://es.quranacademy.org/quran> [Fecha de acceso: 04/02/2022].

¹⁰⁹⁹ Existen varios estudios que analizan los refraneros populares en las diversas religiones, que no vamos a reproducir por claridad expositiva. Un ejemplo de estos estudios es el de María Candelaria Delgado-Toledo y otros. "Trabajo social en vivienda: investigación sobre calidad de vida percibida". *Portularia*, 10.2 (2010), pp. 107-108.

¹¹⁰⁰ Joseph Ratzinger. *Fe, Verdad y tolerancia: El cristianismo y las religiones del mundo: 163*. Salamanca: Ediciones Sígueme, S. A., 2005, p. 27.

¹¹⁰¹ Joseph Ratzinger, *op. cit.*

¹¹⁰² *Ibid.*, pp. 25-29.

Además, Ratzinger puntualiza que *el cristianismo* (religión monoteísta mediterránea) *logró asociarse íntimamente con las energías de la ilustración durante sus primeros años de existencia. Y que la ilustración no llegó a adquirir pleno vigor hasta la Edad Moderna y la actualidad*¹¹⁰³.

No tenemos suficientes conocimientos para evaluar cómo se produce esta triple evasión del mito postulada por Ratzinger, sin embargo, compartimos la importancia del momento histórico en el cual esta se produce y su relación con la intimidad personal humana.

En consecuencia, nos planteamos que es interesante investigar si existe conexión entre la configuración interior (con triple evasión del mito) y la constante presencia de la naturaleza (con la frontera natural característica del Mediterráneo).

Quizá esta permita encontrar una nueva perspectiva para describir la arquitectura en referencia a las tres religiones monoteístas mediterráneas (judaísmo, cristianismo e islamismo) que conviven con el politeísmo mediterráneo, en contraposición con las religiones místicas asiáticas (confucianismo, budismo y taoísmo) y las centroamericanas¹¹⁰⁴ (como la cultura olmeca del golfo de México).

¹¹⁰³ *Ibid.*, pp. 25–27.

¹¹⁰⁴ Consideramos las centroamericanas porque tenemos en cuenta la franja climática en el planeta Tierra.

4.2.3.Hipótesis 3.

Hipótesis 3: Existen viviendas asiladas cerca de la población, independientemente del espacio histórico, aunque la opción preferente es vivir en comunidad dentro de un núcleo urbano y no de forma aislada. En general, estas viviendas tienen espacios dedicados a otros usos diferentes al residencial.

Ejemplo de ello, son:

- las aldeas en torno a la antigua ciudad de Ebla en los años 3.000-1.600 a. C en Siria (Img. 6),
- las viviendas en torno a la actual ciudad de Tell Mardikh en Siria¹¹⁰⁵ (Img. 6) y
- la bodega Lagar de Zabala en España (Img. 179, 180, 181).

Al considerar la distribución de las viviendas en conjunto en su entorno natural, notamos como construyen el paisaje (como ocurre en Ebla y Tell Mardikh).

Si examinamos las viviendas de manera individual, observamos que su distribución se expande y que en ocasiones aparecen edificios integrados o anexos, ya que hay mas espacio para desarrollarse con respecto a los núcleos urbanos cercanos (como ocurre con el nuevo edificio para la bodega en el Lagar de Zabala y con las viviendas en medio del campo en Tell Mardikh).

Las viviendas en general comparten el mismo lenguaje constructivo con el núcleo de población cercano y coetáneo (como ocurre en Tell Mardikh). Es más, los lenguajes cambian según las necesidades y el momento de construcción (como vemos con las estructuras excavadas en piedra, las estructuras de muros de piedra circulares y las naves de pilares con vigas metálicas de la bodega Lagar de Zabala).

Por tanto, podemos determinar que existen múltiples factores que afectan a la distribución de las viviendas y a su lenguaje constructivo.

¹¹⁰⁵ Apartado 3.4.1.1 Las viviendas aisladas como pervivencia estructural mediterránea, p. 99-103.



Img.6. Tell Mardikh (arriba) y Ebla (abajo), Siria.



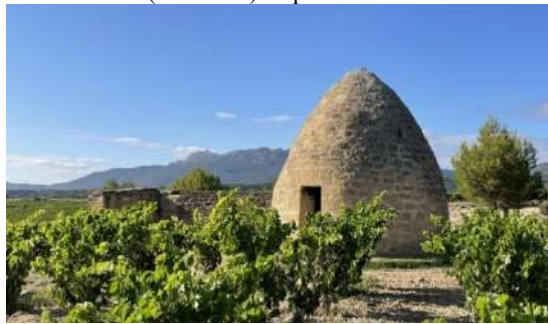
Img. 192. Pila de basalto, Ebla. (h. 1900 AC). Museo de Damasco, Siria.



Img.8. Fuente de mármol de Macael, Alhambra, Granada. (1.370 DC). España.



Img. 179. Bodega Lagar de Zabala. San Vicente de la Sonsierra, La Rioja. España. Siglo XII.



Img.180. Bodega lagar de Zabala. San Vicente de la Sonsierra, La Rioja. España.



Img.181. Bodega lagar de Zabala en San Vicente de la Sonsierra, La Rioja. España.

En la línea de nuestra hipótesis, hayamos algunas investigaciones que se centran en el paisaje rural. Es el caso de Sharon E. J. Gerstel¹¹⁰⁶ que para reconstruir la vida del Bizancio tardío en las aldeas griegas estudia el paisaje rural mediterráneo. Echamos en falta que Gerstel tuviese en cuenta la constante orográfica sierra-valle de la cuenca mediterránea en su reconstrucción. Por lo tanto, este enfoque no nos sirve para los fines de nuestra investigación.

Existen también numerosas investigaciones sobre la arquitectura que se desarrolla en las bodegas¹¹⁰⁷. En estas vemos como el uso residencial es secundario (y en ocasiones hasta desaparece), mientras que el uso de bodega es el principal (y el que influye en la distribución del edificio que modifica el paisaje rural). Como nuestro objeto de estudio no es la bodega, no nos sirve para el objetivo de nuestra tesis.

En consecuencia, no tenemos suficientes datos para llegar a conclusiones útiles respecto a las viviendas asiladas y es una limitación en nuestra investigación. No obstante, como estas viviendas comparten el mismo lenguaje constructivo con los núcleos urbanos cercanos, suponemos que no influyen de manera significativa en la definición de la vivienda mediterránea.

4.2.4. Hipótesis 4.

Hipótesis 4: Encontramos viviendas construidas con el mismo lenguaje constructivo o el mismo modelo habitacional.

Una muestra significativa es:

- las viviendas de Kasar Hallouf en Túnez (Img. 193);
- las viviendas de Qsar Al Haj en Jabal al Gharbi en Libia (Img. 192 y 194)
- las viviendas del Castillo de Cobán en Libia (Pob. 97);
- las viviendas del anfiteatro romano de Arles en Francia (Img. 195);
- la vivienda en Villarobledo en España (Img. 196);
- la vivienda en Alberobello en Italia (Img. 197);

¹¹⁰⁶ Sharon EJ Gerstel, *op. cit.*

¹¹⁰⁷ Encontramos numerosas viviendas en el interior de las poblaciones con un espacio destinado a la actividad bodega de vino (para a la fermentación del zumo de uva). Otras actividades no necesitan un espacio específico para esta actividad.

- la vivienda en Sadaya en Siria (Img. 198);
- las viviendas de la población en Oued Souf en Turquía (Img. 199);
- las viviendas de la población en Alberolo en Italia (Img. 200);
- la vivienda en Breuil Calpalmas en Francia (Img. 201) y
- las viviendas de la población en Harran Sit Alani en Sanliurfa en Turquía (Img. 202).

Si consideramos el mismo lenguaje constructivo, lo encontramos repetido en diferentes localizaciones (p. ej. las viviendas con cubierta cónica en Villarobledo, Alberobello, Sadaya, Oued Souf, Alberolo, Breuil Calpalmas y Harran Sit Alani).

Incluso, si consideramos el mismo lenguaje constructivo en una misma localización (p. ej. Oued Souf, Alberolo y Harran Sit Alani), notamos que aparecen nuevos elementos (como los baños) a raíz de los cambios en la calidad de vida que se traducen en cambios en el propio lenguaje.

Cuando observamos diferentes modelos habitacionales (como las viviendas unitarias terminadas con bóvedas de cañón o con cubierta cónica), estos también se repiten en diferentes localizaciones (p. ej. las viviendas con bóvedas de cañón Kasar Hallouf, Qsar Al Haj, Castillo de Cobán y anfiteatro romano de Arles o con las de cubierta cónica en Villarobledo, Alberobello, Sadaya).



Pob. 97. Castillo de Cobán en Nalut, Libia¹¹⁰⁸.



Img. 193. Interior del Castillo de Cobán en Nalut. Libia. Año 1920-1930¹¹⁰⁹.



Img. 194. Qsar Al Haj en Jabal al Gharbi. Libia¹¹¹⁰.



Img. 195. Villa fortificada Kasar Hallouf en Médenine. Túnez¹¹¹¹.



Img. 196. Interior del Qsar Al-Haj en Jabal al Gharbi. Libia¹¹¹².



Img. 197. Anfiteatro romano de Arles, Francia¹¹¹³. Año 1666.

¹¹⁰⁸ Mayte Piera. (2009). *Nalut Libia_01* [Web] <http://maytepieraimagenes.blogspot.com/2009/11/libia-desiertos-de-arena.html> [Fecha de acceso: 16/05/2022].

¹¹⁰⁹ Marka. (1920 – 1930). *África, Libia, Nalut, una vista del castillo de Cobán, 1920-30* [Web] <https://www.alamy.es/africa-libia-nalut-una-vista-del-castillo-de-coban-1920-30-image235943636.html> [Fecha de acceso: 09/08/2022]

¹¹¹⁰ David Stanley. (2010). *The fortified granary at Gasr al-Haj, southwest of Tripoli*. [Web] <https://www.flickr.com/photos/davidstanleytravel/5282797145> [Fecha de acceso: 09/08/2022]

¹¹¹¹ [Web] <https://www.ilturista.info/ugc/immagini/medenine/tunisia/81004/> [Fecha de acceso: 16/05/2022]

¹¹¹² Mohamed alhaji. (2020) [Google Maps] <https://goo.gl/maps/RAXKfFuj3WeMnoM8> [Fecha de acceso: 09/08/2022]

¹¹¹³ Jacques Peitret [Biblioteca Nacional de Francia] (1666). *Grabado del Anfiteatro de Arlés en Francia*. [Web] https://commons.wikimedia.org/wiki/File:Peitret_Jacques-L%27amphiteatre_d%27Arles.jpg [Fecha de acceso: 09/08/2022]



Img. 198. Villarobledo, España¹¹¹⁴.



Img. 199. Alberobello, Italia¹¹¹⁵.



Img. 200. Sadaya, Siria¹¹¹⁶



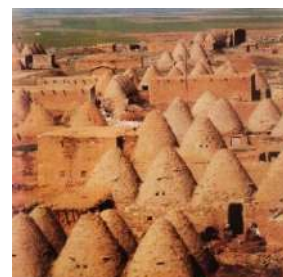
Img. 201. El Oued Souf, Argelia ¹¹¹⁷



Img. 202. Alberolo, Italia¹¹¹⁸.



Img. 203. Breuil Calpalmes, Francia¹¹¹⁹.



Img. 204. Harran Sit Alani en Sanliurfa, Turquía¹¹²⁰.

¹¹¹⁴ [Web] <https://www.verpueblos.com/castilla+la+mancha/albacete/villarrobledo/foto/1289478/> [Fecha de acceso: 09/08/2022]

¹¹¹⁵ [Web] <https://www.gettyimages.co.uk/detail/photo/antique-italian-house-quot-trulli-quot-alberobello-royalty-free-image/471333449> [Fecha de acceso: 09/08/2022]

¹¹¹⁶ Bernard Gagnon (6 de abril, 2010) *Maison d'argile près d'Alep en Syrie* [Web] https://es.m.wikipedia.org/wiki/Archivo:Mud_houses,_Syria.jpg [Fecha de acceso: 09/08/2022]

¹¹¹⁷ [Web] <http://bernard.langellier.pagesperso-orange.fr/algerie/algerie-nb.htm> [Fecha de acceso: 09/08/2022]

¹¹¹⁸ [Web] <https://queverenitalia.com/puglia/que-ver-en-alberobello/> [Fecha de acceso: 09/08/2022]

¹¹¹⁹ *Carte postale des années 2000* [Web] https://www.pierreseche.com/AV_2014_lassure_le_gall.htm [Fecha de acceso: 09/08/2022]

¹¹²⁰ [Web] <http://culturas-beraber.blogspot.com/2007/02/> [Fecha de acceso: 09/08/2022]

Es más, lo mismo ocurre si consideramos un diferente espacio histórico (p. ej. las viviendas del año 1666 en el anfiteatro romano en Arles y las viviendas actuales de Kasar Hallouf) para un *mismo* lenguaje constructivo (p. ej. las viviendas unitarias terminadas con bóvedas de cañón) en las que observamos la herencia del sistema constructivo romano.

Ordenar la abundante riqueza patrimonial residencial mediterránea para buscar repeticiones es nuestro problema principal y el de numerosos investigadores, ya que no existe un criterio claro para ordenarla. Por ejemplo, en el caso concreto de las viviendas enmarcadas en un estilo arquitectónico, las repeticiones se identifican con este, y en el caso de las viviendas excavadas, no hay un criterio establecido para reconocer las repeticiones, aunque nosotros utilizamos su localización (en ladera, en acantilado o tajo y en valle o explanada).

Como es importante organizar la parte teórica de las investigaciones que profundizan sobre la vivienda mediterránea o hacen referencia a planteamientos afines a ella, la dividimos en dos bloques: la que se centra en las influencias e intercambios culturales (herencias históricas) y la que se centra en las repeticiones del lenguaje constructivo (pervivencias constructivas). Adjuntamos un esquema en la Figura 32.

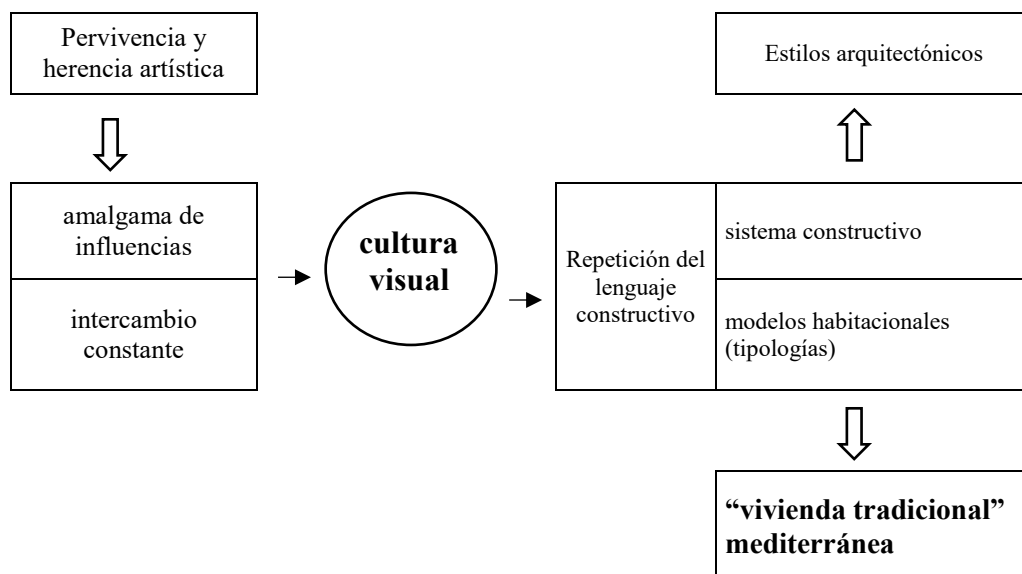


Fig. 25. Esquema de pervivencia y herencia artística en la definición de la vivienda mediterránea.



Img.168. Bodega excavada en roca: el Pulijón. Fermoselle, Zamora. España.



Img.169. Bodega Don Carlos. Aranda del Duero, Burgos. España.



Img.170. Viviendas de la ciudad de Shivta. Israel.



Img.145. Xauen (Chef Chaouen) en el año 1924. Marruecos.



Img.146. Xauen (Chef Chaouen) en el año 2008. Marruecos.

Respecto a los autores que teorizan sobre las herencias históricas, vamos a destacar dos que ejemplifican las posturas enfrentadas que existen en la actualidad.

Ashraf M. Salama¹¹²¹ toma como ejemplo Egipto para indicar como cualquier país del Mediterráneo es el resultado de una amalgama de influencias que impide describir una arquitectura vernácula.

A su vez, Linda Safran¹¹²² se centra en Salento para señalar que existe una huella que queda tras el intercambio constante que se produce en el Mediterráneo. Esta huella, dejada por los habitantes a lo largo de todo el espacio histórico y que podemos reconocer con la observación, se traduce en una cultura visual que utiliza para definir la identidad de Salento.

Al igual que Salama, distinguimos la amalgama de influencias en los arcos diafragmas de las habitaciones subterráneas en Fermoselle en España (Img. 168) porque son iguales a los arcos diafragmas de las habitaciones aéreas que fueron utilizados en Shivta en Israel (Img.170), aunque también encontramos que estas repeticiones son susceptibles de ser ordenadas (como en Fermoselle y Shivta).

También destacamos la cultura visual reconocible de Safran, en las repeticiones de los lenguajes constructivos (p. ej. las viviendas con cubierta cónica en Villarobledo, Alberobello, Sadaya, Oued Souf, Alberolo, Breuil Calpalmas y Harran Sit Alani), aunque no hallamos información suficiente para definir una identidad mediterránea.

En referencia a las repeticiones del lenguaje constructivo (pervivencias constructivas), ordenamos la bibliografía en tres subdivisiones diferentes en función del enfoque del autor hacia estas repeticiones, tal y como podemos ver en el esquema de la figura 33.

La subdivisión más habitual, que encontramos sobre todo en el ámbito regional, se focaliza en describir la vivienda mediterránea bajo un amplio abanico denominado “arquitectura tradicional” (o vernácula o local o popular¹¹²³). La subdivisión más

¹¹²¹ Ashraf M. Salama, art. cit.

¹¹²² Linda Safran, *op. cit.*

¹¹²³ También encontramos el término troglodita para denominar a las viviendas tradicionales que analizaremos con posterioridad en la hipótesis 6.

significativa, y también la más académica, se centra en ordenar la vivienda histórica por sistemas constructivos. Por último, ha aparecido una tercera subdivisión en los últimos años orientada a determinar unos modelos habitacionales que definen la vivienda mediterránea.

En la línea de investigación de la “arquitectura tradicional”, destacamos el trabajo de N.E. Karabag y N. Fellahi¹¹²⁴. Ellos toman como ejemplo Argelia y desarrollan que *la tradición constructiva vernácula* da respuesta al clima, a la topografía y al estilo de vida en todo el Mediterráneo. Hasta aquí, las consideraciones genéricas que realizan Karabag y Fellahi son las mismas que se exponen en la mayoría de las publicaciones. Lo interesante de su estudio es la comparación de las “viviendas tradicionales” con las viviendas que en la actualidad se construyen con hormigón, porque indican que estas últimas se alejan de la variedad constructiva del país.

Obviamente, el nuevo sistema constructivo con hormigón es diferente a los anteriores sistemas. Prueba de ello es la comparativa entre las actuales viviendas de Xauen en Marruecos y las del año 1924 (Img. 145 y 146). Sin embargo, si nos fijamos en cómo se asientan las viviendas en la orografía, notamos que se mantiene la construcción en un plano inclinado y en un volumen único, donde aparecen estancias con vista al paisaje.

En contraposición a Karabag y Fellahi, hay otros autores que defienden que cuando se construyen viviendas con hormigón sí se puede conseguir el estilo mediterráneo¹¹²⁵.

¹¹²⁴ N. Ebru Karabag y otros, *op. cit.*

¹¹²⁵ Este concepto de “estilo mediterráneo” aparece en numerosas publicaciones que muestran una selección aleatoria de viviendas que encontramos en el Mediterráneo. Este “estilo mediterráneo” no sigue ningún criterio artístico actualmente aceptado en la comunidad científica la historia del arte. Un ejemplo es la publicación de la editorial Taschen Evergreen de amplia tirada Simone Schleifer. *Estilo Mediterráneo = Stile Mediterraneo = Estilo Mediterráneo*. Köln: Evergreen, 2007.



Img.112. Recreación de la vivienda de la Ciudad ideal en Lons le Saunier, Francia. Diseño años 1775 – 1780 d. C. Arquitecto: Claude-Nicolas Ledoux.



Img.111. Bénouville en Francia. Palacio del Marqués de Livry, 1770 – 1780 d. C. Arquitecto: Claude-Nicolas Ledoux.



Img. 125. Utrecht, Países Bajos. Arquitecto: Antonia Schröder –Schräder (Truus Schröder), años 1924 – 1925.



Img.126. Utrecht, Países Bajos. Arquitecto: Antonia Schröder –Schräder (Truus Schröder), año 2000.



Img. 127. Granada, España. Arquitecto: Josefa López del Valle, años 2010-2016 (Jose).



Img. 128. Granada, España. Arquitecto: Josefa López del Valle, años 2010-2016 (Jose).



Img. 124. Casa Najde Jandrić en Topli Do, Serbia.



Img. 205. Casa B2 en Büyükhusun, año 2004. Turquía¹¹²⁶.

¹¹²⁶ (2012). *House B2. 2001. Arquitecto Han Tümertekin*. [Web] <http://arquitecturassilenciosas.blogspot.com/2012/01/house-b2-2001-arquitecto-han-tumertekin.html> [Fecha de acceso: 09/08/2022]

Por ejemplo, para Dominic Bradbury¹¹²⁷, que analiza la vivienda contemporánea, es fundamental entender la *noción tradicional de la vida en el Mediterráneo* que describe como simple y abierta al paisaje. También destaca la importancia de los *estilos regionales*, aunque no se puede realizar imitaciones de estos. Describe dos tipologías de vivienda: la primera es una *villa de estilo neoclásico* y la *segunda es simple, con terrazas y galerías, y con elementos estructurales radicales que refuerzan las formas, las líneas y la perspectiva*, y que clasifica según el elemento natural predominante: *el cielo, el mar y la tierra*. Esta segunda tipología para Bradbury es la auténtica casa mediterránea.

Efectivamente, Bradbury describe a la perfección los dos tipos de viviendas que en la actualidad un propietario con recursos económicos elevados se construye. Nosotros observamos que también son las que se han utilizado a lo largo de la historia.

El primer tipo de viviendas, que utilizan el estilo neoclásico, tienen el mismo lenguaje estilístico que utilizó Claude-Nicolas Ledoux en el año 1780 d. C (Img. 111). El segundo tipo, que define como auténticas porque predominan los elementos estructurales radicales y un elemento natural, son iguales conceptualmente a las que se construía el rey Herodes en el siglo I a. C. (p. ej. su palacio sobre el mar soportando el fuerte oleaje o su palacio en el borde del acantilado del desierto (Img. 31, 33).

En especial, nos llama la atención la asociación que hace Bradbury de las terrazas y de las galerías con la formalización de la vivienda. De hecho, si observamos la casa B2 Büyükhusun en Turquía (Img. 111)¹¹²⁸, notamos como la galería es el nexo de unión entre configuración interior y el paisaje exterior.

Continuando con las subcategorías, ahora nos centraremos en las líneas de investigación que toman como base de estudio los diferentes **sistemas constructivos**.

Tomás Abad Balboa¹¹²⁹ utiliza como fuentes las obras arquitectónicas de España para mostrarnos la evolución de las técnicas constructivas, desde los dólmenes de la antigüedad hasta el hormigón pretensado contemporáneo.

¹¹²⁷ Dominic Bradbury. *Casas mediterráneas*. Barcelona: Blume, 2007.

¹¹²⁸ *Ibid.*, p. 229.

¹¹²⁹ Tomás Abad Balboa. *Historia de las técnicas constructivas en España*. Madrid: Fomento de Construcciones y Contratas, 2000.

Encontramos este tipo de recopilaciones que abarcan todo el espacio histórico por países o regiones en el estudio de Abad Balboa para España, pero también en los trabajos de generalistas que abarcan un territorio global, como por ejemplo el de Robert Mark¹¹³⁰, de Antonio Castro Villalba¹¹³¹ o de G. R. H. Wright¹¹³².

También existen publicaciones específicas sobre las técnicas constructivas de un estilo arquitectónico concreto y, para ello, se centran en un periodo acotado de tiempo. Un ejemplo es el estudio de Jean –Pierre Adam¹¹³³ que trata la construcción romana basándose en los materiales y las técnicas.

Igualmente, se realizan publicaciones que describen un sistema constructivo asociado a un conjunto de poblaciones cercanas. Como ejemplo nombraremos la recopilación para el caso de Grecia de Dimitris Philippides¹¹³⁴ que incluye los conjuntos de Andros, Achaia, Astypalaia, Kythera, Mykonos,... por nombrar algunos.

Todas estas publicaciones sobre los sistemas constructivos tienen en común que son pequeños muestrarios de técnicas que “congelan” el patrimonio arquitectónico a un tiempo y a un lugar del espacio histórico determinado.

Para nosotros es un inconveniente utilizar un muestrario de sistemas constructivos concretos para definir la vivienda mediterránea, porque eso implica fijar el lenguaje constructivo a unas características determinadas, y excluye los sistemas constructivos que no aparezcan en él. Es más, a priori, nos parece inviable realizar un muestrario detallado que refleje la riqueza arquitectónica mediterránea, con sus múltiples variaciones.

Antes de continuar, nos gustaría hacer una reflexión sobre los efectos de “congelar” el lenguaje constructivo.

¹¹³⁰ Robert Mark. *Tecnología arquitectónica hasta la revolución científica*. Madrid: Ediciones AKAL, 2002.

¹¹³¹ Antonio Castro Villalba. *Historia de la construcción arquitectónica*. Barcelona: Ediciones UPC, 1999.

¹¹³² G. R. H. Wright. *Ancient Building Technology*. Vol. 1, 2, 3. Leiden: Brill, 2000.

¹¹³³ Jean-Pierre Adam. *La construcción romana: materiales y técnicas*. León: Editorial de los Oficios, 1996.

¹¹³⁴ Dimitris Philippides. *Greek traditional architecture*. Vol. I. II. III. IV. V. VI. VII. VIII. Atenas: Melissa Publishing House, 1999.

En primer lugar, notamos que si se hubiera bloqueado el sistema constructivo de los anfiteatros romanos, no habría aparecido un nuevo modelo habitacional que encontramos en diferentes localizaciones como Arlés y Kasar Hallouf.

En el lado opuesto, tenemos las actuales viviendas de Albarracín (España), que son la consecuencia de una normativa conservacionista que ha paralizado el lenguaje constructivo para protegerlo. Si comparamos las viviendas del año 1947 (Img. 204) con las del año 2015 (Img. 205), vemos que tienen el mismo lenguaje constructivo y que apenas han sufrido variaciones.

Aparentemente, las restricciones en Albarracín nacieron para preservar el patrimonio e impedir que desapareciera¹¹³⁵ y evitar la pérdida patrimonial que aconteció en Xauen (Marruecos). Si comparamos las viviendas de Xauen del año 1924 (Img. 145) con las del año 2008 (Img. 146), es evidente que notamos un cambio en el lenguaje constructivo porque la mayoría de las viviendas han cambiado, a pesar de que mantienen la construcción en un plano inclinado, en un volumen único, donde aparecen estancias con vista al paisaje.

Con estos ejemplos de Arles, Kasar Hallouf, Albarracín y Xauen ilustramos los efectos de “congelar” un sistema constructivo en el modelo habitacional, y por tanto, entramos en el debate actual sobre el equilibrio entre establecer las restricciones necesarias para que el patrimonio residencial no desaparezca y permitir que las viviendas se adapten ante los avances en el bienestar.

¹¹³⁵ Existen numerosas publicaciones académicas y normativa de obligado cumplimiento que se ha ido elaborando durante años. Un resumen de este esfuerzo que ha hecho la población originaria de Albarracín podemos verla en la publicación de la Fundación Santa María de Albarracín: Antonio Almagro Gorbea, Pedro Ponce de León Hernández y Antonio Jiménez. *Albarracín: el proceso de restauración de su patrimonio histórico*. Albarracín (Teruel): Fundación Santa María de Albarracín, 2005.



Img. 206. Albarracín en Teruel. Año 1947. España¹¹³⁶.



Img. 207. Albarracín en Teruel. Año 2015. España¹¹³⁷.



Img. 24. Guadix, España.

¹¹³⁶ Francisco López Segura. Instituto de Estudios Turolenses. (1947). *Vista Casa Brigadiera*. [Web] <https://www.ieturolenses.org/index.php/vista-casa-brigadiera.html> [Fecha de acceso: 09/08/2022]

¹¹³⁷ Mis viajes y sensaciones. (2015). *La villa de Albarracín, donde la irregularidad se hace arte*. [Web] <https://www.misviajessensaciones.com/2015/04/villa-de-albarracin-donde-la-irregularidad-es-arte.html> [Fecha de acceso: 09/08/2022]

Nosotros no podemos negar ni la asimilación, ni la continua evolución que asume la vivienda en la historia, como ocurre en Arles, Kasar Hallouf y Xauen. No obstante, creemos que es necesario poder elegir, con libertad y con un buen conocimiento técnico, el lenguaje constructivo que vayamos a utilizar.

Observamos que al igual que hay una necesidad colectiva de una población de establecer un lenguaje constructivo como ocurre en Albarracín, también existe una necesidad individual de diferenciarse a través de la creatividad y de vivir con los estándares de bienestar.

Para terminar, nos gustaría señalar que los sistemas constructivos que han sobrevivido hasta nuestros días en las viviendas habitadas son los que se han adaptado. Un ejemplo de ello son las viviendas de Albarracín que vemos del año 1947.

Ahora analizaremos la última subcategoría con las líneas de investigación que toman como base de estudio los diferentes modelos habitacionales.

Amin Maalouf y Joan Reguant (CORPUS)¹¹³⁸ coordinan un amplio equipo transnacional para definir *la vivienda tradicional mediterránea*. Ellos parten de un elemento característico que domina el espacio doméstico, como *el patio, la era, el jardín o la parra*. Y con este elemento definen los modelos habitacionales de vivienda según los estilos de vida: *la casa elemental, la casa compacta/compleja, la casa con patio, la casa con era, la casa con jardín, la casa de invierno/verano, la casa defensiva o casa torre, la casa evolutiva-definitiva y la casa nómada/troglodita*.

Nosotros encontramos que no hay un criterio claro que permita reconocer si una vivienda puede considerarse “tradicional” o identificar en que tipología puede ser incluida. Por ejemplo, si observamos una vivienda subterránea en Guadix en España, habitada como primera residencia y construida con un “lenguaje tradicional” adaptado a los parámetros de bienestar actuales, esta no entraría en la clasificación de “casa nómada/troglodita” (CORPUS) porque ni es “nómada” (al ser una primera residencia permanentemente

¹¹³⁸ Gilles Nourissier y Amin Maalouft. *Arquitectura tradicional mediterránea*. Barcelona: Colegio de Aparejadores y Arquitectos técnicos de Barcelona, 2002.

habitada) ni es “troglodita” (ya que es subterránea y está construida con los parámetros de bienestar actuales).

Para Myron Goldfinger¹¹³⁹, *la arquitectura actual es reflejo de la arquitectura mediterránea* y define tres modelos habitacionales de construcción popular: *la casa con patio en la orilla del Mediterráneo, la casa en terrazas en las faldas de las montañas mediterráneas y la casa en hilera en las ciudades de calles estrechas con un terreno anterior y otro posterior.*

Notamos que Goldfinger de forma visual destaca el lugar de construcción con tres tipos de entornos: la *orilla*, la *montaña* y la *ciudad*, aunque deje fuera modelos habitacionales como las viviendas subterráneas. No obstante, nos gustaría destacar que visualmente Goldfinger, un arquitecto americano que vino de viaje al Mediterráneo para estudiar la arquitectura mediterránea que conoce previamente a través de Le Corbusier, encontró repeticiones de viviendas asociadas a un paisaje mediterráneo: *casa con patio en la orilla del mar* y *casa con terraza en la montaña.*

Constatamos, tomando como ejemplo las publicaciones de estos autores, que un muestrario detallado de modelos habitacionales difícilmente puede recoger la riqueza y la variedad que encontramos en el patrimonio histórico residencial mediterráneo.

Por último, haremos una mención especial a las teorías desarrolladas por profesionales de la construcción en el ejercicio de sus funciones que están a medio camino entre las investigaciones científicas y la práctica. Entre todas, vamos a destacar la de Josep Luis Sert¹¹⁴⁰ porque entendemos que es representativa ya que su obra residencial también ha sido objeto de estudio (ver mención en la hipótesis 2).

Para Sert la vivienda mediterránea está compuesta por *soluciones constructivas “standard” que se repiten por todo el territorio y que nacen de las civilizaciones, costumbres y condiciones climáticas semejantes. Además, la arquitectura popular*

¹¹³⁹ Myron Goldfinger y Louis I. Kahn. *Arquitectura popular mediterránea*. Barcelona: Gustavo Gili, 1993.

¹¹⁴⁰ Josep Lluís Sert. “Antología de escritos. Texto 3: La Arquitectura Popular Mediterránea (“AC” 18, 1935)”. En: Pizza, Antonio. *J. Ll. Sert Y El Mediterráneo = J. Ll. Sert And Mediterranean Culture*. Barcelona: Colegio Arquitectos Cataluña, 1997, pp. 215-216.

mediterránea no tiene estilo porque es y se realiza sin preocupaciones decorativas de escuela.

Nosotros advertimos que cuando Sert menciona las repeticiones y la tradición constructiva de la arquitectura sin decoración de escuela, está comparando la “arquitectura popular” en la que se inspira el “Movimiento Moderno” con la ruptura de un lenguaje constructivo concreto basado en los estilos arquitectónicos.

Consideramos que el criterio que utiliza para identificar a la vivienda mediterránea como “popular” induce a error, porque excluye a multitud de viviendas que también lo son, como la vivienda de Lechonia en Grecia (Img. 96). Este error lo encontramos en la mayoría de publicaciones que asocian el “Movimiento Moderno” o la “arquitectura actual” con la “arquitectura popular”.

Un ejemplo ilustrativo es el estudio de Lindsay Harris¹¹⁴¹, que sostiene que la arquitectura que actualmente desarrollan los arquitectos se basa en las *características tectónicas comunes del Mediterráneo* que son *los techos planos, las escaleras exteriores o las fachadas planas*, y en las cualidades arquitectónicas de la región que son la sencillez, la armonía y el orden matemático.

Aquí volvemos a observar el error en la descripción de “techos planos” porque las viviendas con cubierta cónica (p. ej. las de Villarobledo, Alberobello, Sadaya, Oued Souf, Alberolo, Breuil Calpalmas y Harran Sit Alani) quedarían excluidas de las “características tectónicas comunes del Mediterráneo”.

Esa tradición constructiva standard que Sert delimitada, deja fuera muchísimos modelos habitacionales presentes en el Mediterráneo que han nacido desde la creatividad de todas las influencias a través del tiempo. Solo con observar las viviendas subterráneas o las viviendas de Kasar Hallouf en Túnez que nacen de las estructuras de los anfiteatros romanos, vemos esa limitación.

¹¹⁴¹ Lindsay Harris, art. cit.



Img. 208. Alberolo, Italia¹¹⁴².



Img. 209 Harran Sit Alani, Sanliurfa. Turquía¹¹⁴³



Img. 210. Casa della Caccia Antica en Pompeya. Italia. Siglo II d. C.¹¹⁴⁴.



Img. 211 Villa Quijano en Comillas, España. Siglo XX d. C.¹¹⁴⁵.



Img. 213. Poulko Mansion en Siatista, Grecia. Siglo XVIII d. C.¹¹⁴⁷.



Img. 212. Casa Batllo en Barcelona, España. Siglo XX d. C.¹¹⁴⁶.

¹¹⁴² Leoks. [Web] <https://www.shutterstock.com/es/image-photo/unique-trulli-houses-conical-roofs-alberobello-290218835> [Fecha de acceso: 09/08/2022]

¹¹⁴³ [Web] <https://tundayder.com/harran-evleri-harran-kultur-evi-/4010/detay> [Fecha de acceso: 09/08/2022]

¹¹⁴⁴ Rosato private Tour (2022). [Facebook] <https://es-la.facebook.com/rosatoprivatetour/photos/4883851048372054> [Fecha de acceso: 09/08/2022]

¹¹⁴⁵ Jordi2r. (2016) [Web] https://es.123rf.com/photo_70812208_comillas-esp%C3%B1a-11-de-agosto-de-2016-palacio-de-el-capricho-o-villa-qui-jano-del-arquitecto-gaudi-en-.html [Fecha de acceso: 09/08/2022]

¹¹⁴⁶ (2021) [Web] <http://wewarriors.life/rail-from-rome-to-venice-0425.html> [Fecha de acceso: 09/08/2022]

¹¹⁴⁷ (2017) [Web] <https://www.archaeology.wiki/blog/2017/07/14/poulko-mansion-opens-public/> [Fecha de acceso: 09/08/2022]

No obstante, que no hagamos un muestrario, no quiere decir que no podamos estudiar la diversidad de la vivienda mediterránea en detalle, ejemplo de esta podemos verla en la *Casa della Caccia Antica* en Pompeya (Img. 209), la *Villa Quijano* en Comillas (Img. 209), la *Poulko Mansion* en Siatista (Img. 211), Casa Batllo en Barcelona (Img. 202) y en las viviendas de Alberolo (Img. 206) y Harran Sit Alani (Img. 207).

Encontramos que existe una constante orográfica que se repite por toda la región mediterránea: la dualidad sierra-valle que al presentar diferentes altitudes hace que aparezcan pequeños espacios climáticos-ecológicos.

En estos pequeños espacios hallamos la mayoría de sistemas constructivos y modelos habitacionales mediterráneos repetidos, desde la Prehistoria hasta la actualidad. Solo tenemos que tomar como centro un punto cualquiera de la cuenca mediterránea y trazar un diámetro de 300 km, para conocerla y estudiar la vivienda mediterránea.

En esos 300 km encontraremos la vivienda que podemos englobar en las corrientes artísticas en las que actualmente se divide la historia del arte, la vivienda actual y la vivienda heredada que también encontraremos repetida en el resto de la región mediterránea.

4.2.5.Hipótesis 5.

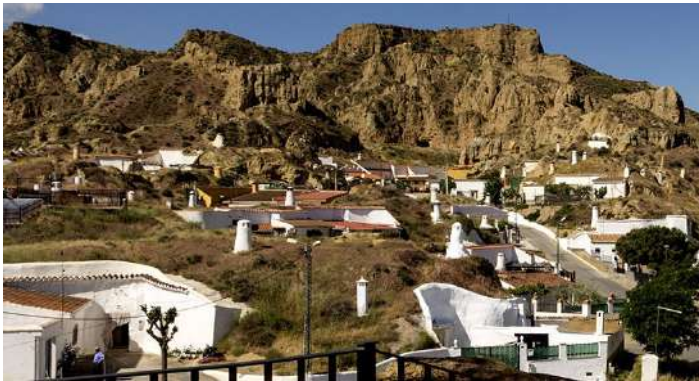
Hipótesis 5: En nuestra investigación observamos cómo la calidad de vida y el estatus social influyen en la evolución de la vivienda. Cuando un propietario elige el lenguaje constructivo de su vivienda tiene en cuenta, entre otros aspectos, los parámetros de bienestar de su tiempo histórico y sus recursos económicos. Esta posibilidad personal de elección da lugar a las múltiples variaciones de un mismo lenguaje constructivo en el Mediterráneo.



Img. 214. Habitaciones subterráneas en torno al patio en Casa de la Caza en Bulla Regia, Túnez¹¹⁴⁸. Restos de Ciudad romana.



Img. 215. Habitaciones subterráneas. Casa del Mitreo en Mérida, España¹¹⁴⁹. Restos de ciudad romana.



Img. 216. Guadix en Granada. España¹¹⁵⁰.



Img. 217 Santa Fé en Granada. España¹¹⁵¹.



Img.135. Madrid en España. Vivienda Rascaifiernos, año 1972.



Img.136. Matera en Italia. Hotel & SPA de lujo Aquatio Cave, año 2018.



Img. 218. Souzay-Champigny, Francia¹¹⁵².

¹¹⁴⁸ James Trumm. (2015). *Bulla Regia: Amphitrite Underground*. [Web] <https://jfrtrum.com/bulla-regia-amphitrite-underground/> [Fecha de acceso: 09/08/2022]

¹¹⁴⁹ Diego Casillas. (2020). *Casa del Mitreo, en Mérida*. [Web] <https://www.miextremadura.com/noticias/turismo/263-casa-del-mitreo-en-merida.html> [Fecha de acceso: 09/08/2022]

¹¹⁵⁰ [Web] <https://guadix.es/turismo/barrio-de-cuevas/> [Fecha de acceso: 09/08/2022]

¹¹⁵¹ [Web] <https://www.pricetravel.com.mx/santa-fe-granada> [Fecha de acceso: 09/08/2022]

¹¹⁵² Taniélie. (2016). *Souzay-Champigny, un village angevin troglodyte, royal et viticole*. [Web] <http://unebellejourneeicioula.com/2016/03/sousay-champigny-un-village-angevin-troglodyte-royal-et-viticole.html> [Fecha de acceso: 09/08/2022]

Muestra de ello está presente en las viviendas:

- con estancias subterráneas como el Rascainfiernos del año 1972¹¹⁵³ de Madrid (Img. 136) y la Casa del Mitreo romana¹¹⁵⁴ de Mérida en España (Img. 135);
- en ciudades en ruina como Bulla Regia en Túnez (Img. 212);
- en ciudades habitadas hoy como Guadix en España (Img. 214), Matera en Italia (Img. 136) y Souzay-Champigny en Francia (Img. 216);
- de propietarios con recursos económicos escasos como las barracas de Somorrostro de Barcelona en España (Img. 183), Agro Pontino en Italia (Img. 184) y Tizi Ouzou en Argelia (Img. 185) y
- de recursos económicos elevados como la casa de la caza en ruina de Bulla Regia en Túnez (Img. 212), el palacio de los Leones deshabitado de la Alhambra de Granada en España (Img. 107) y la casa B2 de Büyükhusun en Turquía (Img. 203).

Por ejemplo, si consideramos el mismo lenguaje constructivo de unas viviendas en una misma localización (como en Guadix, Matera o Souzay-Champigny), notamos que aparecen nuevos elementos (como los cuerpos construidos aéreos en las viviendas subterránea) a raíz de los cambios en la calidad de vida y en los recursos económicos. Esto da lugar a los cambios del propio lenguaje.

Buscamos reconocer nuestra hipótesis en el marco teórico y encontramos investigaciones que referencian la calidad de vida (con términos como bienestar y eficiencia energética) y los recursos económicos del propietario (con conceptos como pobreza energética) con la vivienda mediterránea.

En referencia al bienestar, M. Rasulo, O. Ural y V. Abrantes¹¹⁵⁵ afirman que hay muchas tipologías arquitectónicas vernáculas con tecnologías originales que son el resultado de la adaptación al clima. Por contra en una línea opuesta, encontramos que Rosalía M^a Durán Cabello y F. Germán Rodríguez Martín¹¹⁵⁶, para la zona africana romana,

¹¹⁵³ Ver Apartado 3.7.2.2.1 Viviendas subterráneas nuevas y restauradas, p. 221

¹¹⁵⁴ Alicia Colmenero Fernández y Celso Rodríguez Cao. "Anastilosis Virtual de A Domus Do Mitreo De Lvevs Avgvsti". *Virtual Archaeology Review*, 3.5 (2012), pp. 104-108.

¹¹⁵⁵ M. Rasulo, *op. cit.*

¹¹⁵⁶ Rosalía M. Durán Cabello y otros, art. cit., p. 119.

concluyen que la existencia de estancias subterráneas no es exclusivamente una respuesta al clima, *puesto que la repartición de la elección de este sistema constructivo no es homogénea y la casuística de su construcción es variada en diferentes núcleos de poblaciones romanas.*

En lo que respecta a la eficiencia energética, Sokol Dervishi, Frida Pashako y Xhenia Dushaj¹¹⁵⁷ analizan siete *viviendas tradicionales* entre los siglos XVI y XIX de diferentes zonas climáticas de Albania y determinan que la *vivienda tradicional* puede ser un 50% más sostenible si se moderniza su estructura.

En relación a las viviendas realizadas en condiciones de pobreza energética, Teresa Blázquez de Pineda, Rafael Suarez y Juan José Sendra Salas¹¹⁵⁸ estudian las viviendas construidas en España antes de la normativa de Condiciones térmicas de 1979 y observan que, en toda la región mediterránea en diferentes períodos, se construyeron muchísimas viviendas en condiciones de pobreza energética que pertenecían a personas con pocos recursos económicos y de clase social baja.

Por lo tanto, no reconocemos nuestra hipótesis en los trabajos de estos autores porque o los estudios son tan específicos que no podemos extrapolarlo a todos los sistemas constructivos en general (como es el caso de Dervishi, Pashako y Dushaj), o son tan genéricos que se excluyen una muestra significativa de los lenguajes constructivos que se adaptan al clima (como es el caso de Rasulo, Ural y Abrantes).

4.2.6. Hipótesis 6.

Hipótesis 6: Podemos aplicar el concepto de Mediterráneo a la vivienda mediterránea. Además, encontramos que los términos “troglodita” y “tradicional” son utilizados para describirla a veces de forma inadecuada.

En nuestra selección de viviendas, encontramos:

- numerosos modelos habitacionales que se repiten por todo el Mediterráneo y

¹¹⁵⁷ Sokol Dervishi y otros, art. cit.

¹¹⁵⁸ Teresa Blázquez de Pineda y otros, art. cit.

- observamos estas repeticiones de los diversos lenguajes constructivos en la dualidad geomorfológica sierra-valle.

A pesar de estas repeticiones que detectamos, no tenemos datos suficientes para establecer que existe un espacio cultural unificado asociado al concepto de Mediterráneo.

Cuando buscamos en la bibliografía encontramos que, según Pedro Miguel Jiménez Vicario y Micaela Antonucci¹¹⁵⁹, el concepto *Mediterraneidad* comienza a estudiarse en el año 1911, porque surge un interés hacia *la arquitectura popular tradicional* por parte de las nuevas corrientes englobadas en la arquitectura racional.

Desde otro punto de vista antagónico, otros autores niegan la existencia de dicho concepto. Es el caso de Tarek Kahlaoui¹¹⁶⁰, que defiende que el Mediterráneo es una idea que nace de la cartografía de los geógrafos islámicos y que no existe como espacio cultural unificado ni en la antigüedad ni en la actualidad.

En un punto intermedio, también existen teorías que se centran en destacar las limitaciones del concepto. Como Brian Catlos y Sharon Kinoshita¹¹⁶¹ que de forma explícita afirman que el Mediterráneo no es un conjunto de naciones, ni de etnias, ni de culturas diferentes.

Nosotros entendemos que existe un concepto de Mediterráneo que nosotros reconocemos en la “cultura visual” mediterránea, que obtenemos a través de la percepción.

Una vez tratada la visión del concepto de Mediterráneo, nos parece pertinente realizar una crítica constructiva sobre la connotación peyorativa de los términos “troglodita” y “tradicional” que descubrimos a veces para designar a la vivienda mediterránea.

Respecto al término “troglodita”¹¹⁶², observamos como este se utiliza en ocasiones para designar a la vivienda subterránea o excavada. Esto no nos parece oportuno, ya que la definición de este término se refiere a personas (persona que habita en las cavernas o persona *Bárbara y cruel*) y no a edificios (como en nuestro caso las viviendas

¹¹⁵⁹ Pedro Miguel Jiménez-Vicario y otros, art. cit.

¹¹⁶⁰ Tarek Kahlaoui, *op. cit.*

¹¹⁶¹ David Abulafia, art. cit.

¹¹⁶² Definición RAE del término “troglodita”: adj. Que habita en cavernas / adj. Dicho de una persona: Bárbara y cruel.

subterráneas). De hecho, sólo con la simple observación de las habitaciones subterráneas en torno al patio en la Casa de la Caza en Bulla Regia en Túnez (Img. 215) o el Rascainfiernos en España (Img.135) es evidente la incongruencia en la utilización del término troglodita.

Y nos desconcierta particularmente esta impropiedad terminológica por parte de instituciones y académicos. Por ejemplo, encontramos como la Unión Europea, una institución, impulsa proyectos relacionados con el *patrimonio troglodítico*¹¹⁶³ y como la Junta de Andalucía, una organización gubernamental, aprueba normativas de obligado cumplimiento que permitan reconocer el *hábitat troglodítico*¹¹⁶⁴. Igual ocurre en el ámbito académico. Si realizamos una búsqueda rápida con Google Scholar, para la ecuación “vivienda troglodita” obtenemos 1.630 resultados. Apareciendo como primeros resultados el artículo del año 1955 de Otto Jessen *las viviendas troglodíticas en los países del mediterráneo*¹¹⁶⁵ y el trabajo de fin de grado del año 2022 en la Escuela técnica Superior de Arquitectura de Javier García Moragues *elementos de la arquitectura excavada*¹¹⁶⁶. También encontramos tesis doctorales, como la de Lara Martín Díaz titulada *Arquitectura troglodita, un modelo eficiente de habitar el territorio. Estudio tipológico y constructivo en la evolución de la casa-cueva en Gran Canaria*¹¹⁶⁷.

En relación con el término “tradicional”, ya mencionamos que existe un rechazo hacia el “lenguaje constructivo tradicional”. En la **vivienda contemporánea**, Bradbury¹¹⁶⁸ insiste que se debe evitar realizar imitaciones de la *vivienda tradicional*. En la **vivienda moderna**, Sanahuja Rochera¹¹⁶⁹ indica la importancia de evitar hacer una imitación

¹¹⁶³ José Luis Simón García y otros, *op. cit.*, p. 271.

¹¹⁶⁴ Ley 7/2021, de 1 de diciembre, de impulso para la sostenibilidad del territorio de Andalucía. BOJA n.233 de 3 de diciembre de 2021, p. 19403/17

¹¹⁶⁵ Otto Jessen. “Las viviendas troglodíticas en los países del Mediterráneo”. *Estudios geográficos*, 16.58 (1955), pp. 137-157.

¹¹⁶⁶ Javier García Moragues. *Elementos de la arquitectura excavada*. Tesis Grado. Valencia: Universitat Politècnica de València, 2022.

¹¹⁶⁷ Lara Martínez Díaz. *Arquitectura troglodita; un modelo eficiente para habitar el territorio: Estudio tipológico y constructivo en la evolución de la casa-cueva en Gran Canaria*. Tesis Doctoral. Sevilla: Universidad de Sevilla, 2017.

¹¹⁶⁸ Dominic Bradbury, *op. cit.*

¹¹⁶⁹ Jaime Sanahuja Rochera, *op. cit.*

folclórica. Esta mirada peyorativa hacia la utilización de los lenguajes constructivos heredados denota una falta de conocimiento profundo de la vivienda mediterránea.

5 Conclusiones.

El objetivo de esta Tesis se resume en responder esta pregunta: ¿existe alguna característica común que permita definir a la vivienda mediterránea de ayer y de hoy?

Al inicio de nuestra investigación, hace 16 años, nos centramos en las repeticiones constructivas. Nuestra única certeza era que reconocíamos los mismos modelos habitacionales en diferentes países y en diferentes tiempos históricos. Un ejemplo lo podemos observar con las viviendas de Nalut (actuales) y de Arles (anfiteatro romano)¹¹⁷⁰.

En este contexto, encontrar una respuesta común a toda la riqueza arquitectónica residencial que heredamos nos parecía imposible, a pesar de toda la recopilación de datos que recogimos in situ. De hecho, no nos planteamos realizar un “muestreo”, puesto que normalizar esta riqueza limitaría la diversidad y frenaría la creatividad.

Contra todo pronóstico, en los viajes insitu fue donde encontramos la respuesta porque la teníamos delante de nuestros ojos.

En primer lugar, observamos la geomorfología mediterránea, caracterizada por las montañas que forman una frontera natural, que se traduce en pequeñas repeticiones de paisajes. A veces, encontrábamos que no se podía distinguir si estábamos en España, en Grecia, en Siria o en Túnez, porque el paisaje era el mismo.

Volvimos a mirar, desde otra perspectiva, los dos modelos habitacionales genéricos más repetidos que encontramos: la vivienda que se desarrolla en un “volumen único” y la que se distribuye en torno a un “patio interior”. Nos sorprendió descubrir la constante presencia del paisaje mediterráneo en ambos modelos.

¹¹⁷⁰ Ver p. 317.

El "volumen único" es el modelo que desarrolla la mayoría de las viviendas y encuentra su máximo esplendor con las "casas torre"¹¹⁷¹. En este, la población ha interiorizado la necesidad de tener las vistas al paisaje a lo largo de miles de años.

Es lógico que, si existen montañas (sierra), las viviendas se situen en ellas.

Es una pervivencia que si estás en un valle y ves una montaña, también situes la vivienda en ella para tener vistas y controlar el paisaje (esta secuencia lógica cobra mayor fuerza en un contexto de guerra, como podemos ver en Tamezret y en Laguardia)¹¹⁷².

También es una pervivencia la necesidad, que identificamos con las viviendas contemporáneas, de abrir la vivienda a esas vistas que nos ofrece el paisaje, como podemos ver en la Casa B2¹¹⁷³.

No fue una sorpresa volver a descubrir que esta presencia del paisaje también la detectamos en el segundo modelo con el "patio interior", donde la naturaleza se introduce en el interior de la vivienda, como reconocemos en el palacio de los Leones¹¹⁷⁴ (con su maravillosa recreación del bosque mediterráneo) o en la casa de Sert¹¹⁷⁵ (con el contraste del cielo y el árbol). En ambos casos, las estancias, que se distribuyen en torno al patio, están separadas con puertas que se abren a él.

Por tanto, el segundo gran descubrimiento lo encontramos en el contraste entre el interior de la vivienda y el paisaje exterior. Identificamos este contraste con las ventanas (con vistas al paisaje en el "volumen único") y con las estancias con puertas (que se abren al paisaje privado en el "patio interior"). De hecho, este contraste potencia la configuración interior de los espacios de la vivienda y la necesidad de intimidad en este entorno de frontera.

¹¹⁷¹ Ver pp. 301 y 302.

¹¹⁷² Ver p. 293.

¹¹⁷³ Ver p. 323.

¹¹⁷⁴ Ver p. 303.

¹¹⁷⁵ Ver p. 304.

En pocas palabras, hemos encontrado **dos características comunes** que definen a la vivienda mediterránea: **la configuración interior** (por el contraste que se produce entre el interior de la vivienda y el exterior natural) y **la constante presencia de la naturaleza** (por las vistas al paisaje exterior o por la introducción del espacio natural al interior).

Si volvemos otra vez a la geomorfología mediterránea, destacamos otra peculiaridad: cuanto más pequeña y diferenciada es la escala, mayor diversidad contiene. Así, descubrimos que las montañas están divididas en varias “**pequeñas fronteras naturales**” en las que **se repiten el paisaje**, los **diferentes lenguajes constructivos** y los “pequeños espacios climáticos-ecológicos”.

Detectamos que en estas pequeñas fronteras, con sus diferencias de altitud y su dualidad constante sierra-valle, está la variedad constructiva de la vivienda mediterránea. En cada “pequeña frontera” localizamos desde las viviendas de “autor” (que podemos integrar en los “estilos artísticos”), hasta las viviendas “tradicionales” y las “actuales”.

Por tanto, existe una **correlación arquitectónica entre el paisaje y el lenguaje constructivo**. Para conocer y estudiar **la diversidad de la vivienda mediterránea**, solo tenemos que tomar como centro un punto cualquiera de la cuenca mediterránea y trazar un diámetro de **300 km**.

El estudio de esta diversidad será útil en el debate sobre los efectos de congelar el lenguaje constructivo. Es una realidad que los profesionales de la construcción nos encontramos en la tesitura de establecer las restricciones al patrimonio residencial, bien para que no desaparezca, o bien para permitir que las viviendas se adapten ante los avances del bienestar (como hemos visto en las ciudades de Albarracín¹¹⁷⁶ y Xauen¹¹⁷⁷).

En consecuencia, es posible estudiar esta diversidad en detalle a través de las repeticiones que acabamos de describir y sería beneficioso hacerlo en una futura línea de investigación.

¹¹⁷⁶ Ver p. 327.

¹¹⁷⁷ Ver p. 320.

Respecto a la vivienda en el Mediterráneo y otras regiones, aunque nos han faltado datos para indicar las diferencias, sí hemos encontrado unos parámetros que quizá nos permiten acotar una posible futura investigación para encontrar estas diferencias.

Por un lado, tenemos la configuración interior de la vivienda (en su confrontación con la constante presencia de la naturaleza en el caso del Mediterráneo) y, por otro, tenemos el momento en el que se produce la “triple evasión del mito” (con los cambios que se desarrollan en el sentido sobrenatural humano y con la aparición de las principales religiones actuales).

Por último, entendemos que es importante usar una terminología adecuada para no dar lugar a miradas peyorativas hacia lenguajes constructivos considerados “tradicionales”. La propia riqueza patrimonial existente en el Mediterráneo está ligada a la utilización de los diversos sistemas constructivos que hemos heredado y de los que nacen los nuevos. Por esta razón evadir el uso del lenguaje constructivo tradicional es no conocer la vivienda mediterránea y negarle su razón de ser, que es usar el lenguaje constructivo para crear.

6 Bibliografía.

Abad Balboa, Tomás. *Historia de las técnicas constructivas en España*. Madrid: Fomento de Construcciones y Contratas, 2000.

Abad Casal, Lorenzo. "Las ciudades y los campos de Alicante en época romana", *Canelobre*, 48 (2003), pp. 59-81.

Abad Casal, Lorenzo. "Vivir en Ilici". *Cenañbre: Revista del Instituto Alicantino de Cultura "Juan Gil-Albert"*, 48 (2003), pp. 59 - 81.

Abdel-Motelib, Ali; Taher, Amany y El Manawi, Abdel-Hamid. "Composition and diagenesis of ancient Shali city buildings of evaporite stones (kerchief), Siwa Oasis, Egyp". *Quaternary international*, 369 (2015), pp. 78-85. <https://doi.org/10.1016/j.quaint.2014.09.009>

Abu Khalaf, Marwan F. "The Ninth Season of Excavations at Khirbat Shuwayka 2005". *Annual of the Department of Antiquities of Jordan*, 52 (2009), p. 147. Obtenido en: <http://publication.doa.gov.jo/Publications/ViewChapterPublic/315> [Fecha de acceso: 04/02/2022]

Abufayed, A.; A. Rghei, y A. Aboufayed. "Urban Planning and Architecture of the Historic City of Ghadames, Libya: Lessons from the Past for Cities of the Future". *WIT Transactions on The Built Environment*, 83 (2005). Obtenido en: <https://www.witpress.com/Secure/elibrary/papers/STR05/STR05001FU.pdf> [Fecha de acceso: 22/07/2022].

Abulafia, David. *El Mediterráneo en la historia*. Londres: Thames & Hudson, 2003.

Abulafia, David. *The Great Sea: A Human History of the Mediterranean*. New York: Oxford University Press, 2011.

Abunnasr, Maria B. *The making of Ras Beirut: A landscape of memory for narratives of exceptionalism, 1870-1975*. Tesis. Amherst: University of Massachusetts Amherst, 2013. <https://doi.org/10.7275/4yjkj-qv59>

Acar, Türkan. "Uşak çeşmeleri". *Uluslararası Türkçe Edebiyat Kültür Eğitim (TEKE) Dergisi*, 7.1 (2018), pp. 607-640. Obtenido en: <https://search.trdizin.gov.tr/yayin/detay/362782/> [Fecha de acceso: 22/07/2022].

Achenza, Magdalena; Giovagnorio, Ilaria y Cannas, Leonardo. "Vernacular heritage solutions for sustainable architecture: the Phlegraean islands". En *International conference on vernacular heritage, sustainability and earthen architecture. Vernacular Architecture*. London: Towards a Sustainable Future, Taylor & Francis Group, 2015, p. 27-32.

- Adam, Jean-Pierre. *La construcción romana: materiales y técnicas*. León: Editorial de los Oficios, 1996.
- Aksu, Ibrahim. "The Sultan's Journey and other Turkish Placename Stories". *Names*, 51,3-4 (2003), pp. 163-192. <https://doi.org/10.1179/nam.2003.51.3-4.163>
- Alcaide González, Rafael. "Inmigración y marginación: prostitución y mendicidad en la ciudad de Barcelona a finales del siglo XIX. Una comparación con la actualidad". *Scripta Nova: Revista electrónica de geografía y ciencias sociales*, 5.94 (2001).
- Alexander, Mark Gavin. "Service life design and modelling of concrete structures – background, developments, and implementation". *Revista ALCONPAT*, 8.3 (2018), pp. 227-228. <https://doi.org/10.21041/ra.v8i3.325>
- Alihodzic, Rifat. "Significance of Management in Valorization of Old Urban Units Based on Montenegrin Example". *MATEC Web of Conferences*, 170,02002 (2018). <https://doi.org/10.1051/mateconf/201817002002>
- Almagro Gorbea, Antonio; Ponce de León Hernández, Pedro y Jiménez, Antonio. *Albarracín: el proceso de restauración de su patrimonio histórico*. Albarracín (Teruel): Fundación Santa María de Albarracín, 2005.
- Almagro-Gorbea, Martín y Torres Ortiz, Mariano. "La colonización de la costa atlántica de Portugal: ¿fenicios o tartesios?" *Palaeohispanica. Revista sobre lenguas y culturas de la Hispania Antigua*, 9 (2009), pp. 113-142. Obtenido en: <https://ifc.dpz.es/ojs/index.php/palaeohispanica/article/view/216> [Fecha de acceso: 04/02/2022].
- Angás Pajas, Jorge. "Santuarios como indicadores de frontera en el territorio noroccidental de Vulci (siglos VII. III a. C. Italia centro-tirrenica)". *Saldvie: Estudios de prehistoria y arqueología*, 5 (2005), pp. 65-94. https://doi.org/10.26754/ojs_salduie/sald.200556504
- Arcà, Andrea. "Incisioni topografiche e paesaggi agricoli nell'arte rupestre della Valcamonica e del Monte Bego". *Notizie archeologiche bergomensi*, 7 (1999), p. 207-234.
- Aroua, N. "Flood risk reduction strategy in algiers a brief modern history (XVIthC-XIXthC)". *Larhyss Journal*, 43 (2020), pp. 73-89. Obtenido en: <http://larhyss.net/ojs/index.php/larhyss/article/viewFile/744/737> [Fecha de acceso: 04/02/2022].
- Arqueología, Labrys. "Los lagares rupestres de San Andrés (San Vicente de la Sonsierra)". *Belezos: Revista de cultura popular y tradiciones de La Rioja*, 19 (2012), pp. 20-25. Obtenido en: <https://dialnet.unirioja.es/servlet/articulo?codigo=4081425> [Fecha de acceso: 04/02/2022].
- Arslan, Edoardo. *Venezia gotica L'architettura civile gotica veneziana*. Milán: Mondadori Electa, 1989.

Asenjo Sedano, Carlos. "Las Cuevas de Guadix: sus orígenes". *Cuadernos geográficos de la Universidad de Granada*, 2 (1972), pp. 85-102.

Avigdor Hurowitz, Victor. "The Mesopotamian God Image, from Womb to Tomb". *Journal of the American Oriental Society*, 123.1 (2003), pp. 147-57.

<https://doi.org/10.2307/3217848>

Bachvarova, Mary R.; Dutsch, Dorota y Suter, Ann. *The Fall of Cities in the Mediterranean: Commemoration in Literature, Folk-Song, and Liturgy*. Cambridge: Cambridge University Press, 2016.

<https://doi.org/10.1017/CBO9781139424387>

Bailony, Reem. "From mandate borders to the diaspora: rashaya's transnational suffering and the making of Lebanon in 1925". *The Arab Studies Journal*, 26.2 (2018), pp. 44-73. Obtenido en: <https://www.jstor.org/stable/26732384> [Fecha de acceso: 04/02/2022].

Bakkal, Ali y Teber, Ömer Faruk. "Antalya'da Osmanlı Hanları". *Turkish Academic Research Review*, 4.4 (2019), pp. 631-649. <https://doi.org/10.30622/tarr.644049>

Balbín Behrmann, Rodrigo de; Bueno Ramírez, Primitiva; González Antón, Rafael y Arco Aguilar, Carmen del. "Grabados rupestres de la fachada atlántica europea y africana. Rock Carvings of the European and African Atlantic Façade". *Oxford: BAR international series (Archaeopress)*, 2043 (2009).

Bar-Oz, Guy y Tepper, Yotam. "Behind sealed doors: Unravelling abandonment dynamics at the Byzantine site of Shivta in the Negev Desert". *Antiquity*, 89 (2015).

Barbero, Segio; Dorronsoro, Carlos y Gonzalo, José. *La luz: ciencia y tecnología*. Colección divulgación 21. Madrid: Los Libros de la Catarata, 2015.

Bargalló Escrivà, Maria. *Recerca en Humanitats 2017*. N.1. Tarragona: Publicacions URV, 2017.

Barnes, Aneilya y Salerno, Mariarosaria. *Symbols and Models in the Mediterranean: Perceiving through Cultures*. Newcastle upon Tyne: Cambridge Scholars Publishing, 2017.

Barr, James. "Philo of Byblos and his Phoenician History". *Bulletin of the John Rylands Library*, 57.1 (1974), p. 17-68. <https://doi.org/10.7227/BJRL.57.1.2>

Barrios García, Ángel. "Repoblación de la zona meridional del Duero. Fases de ocupación, procedencias y distribución espacial de los grupos repobladores". *Studia historica. Historia medieval*, 3 (1985), pp. 33-82.

Bassi, Cristina. "Il santuario romano di Monte San Martino (Riva del Garda) nel contesto dei culti di origine indigena del territorio benacense". *Atlante tematico di topografia antica*, 12 (2003), pp. 7-20.

Bayrakal, Sedat. “İçerik Bağlamında Eşme İlçesi (Uşak) Köy Mezârlıklarındaki Taşlardan Seçkiler”. *Sanat Tarihi Dergisi*, 25.2 (2016), pp. 139-55. <https://doi.org/10.29135/std.282088>

Bayrakdar, Cihan; Döker, Mehmet Fatih y Keserci, Ferhat. “Polyelerde Hatalı Arazi Kullanımların Sebep Olduğu Afetlere Bir Örnek: 31 Ocak 2019 Kayaköy Polyesi Taşkını”. *Coğrafya Dergisi*, 41 (2020), pp. 109-128. <https://doi.org/10.26650/JGEOG2020-0046>

Béjar Merino, Helena. *El ámbito íntimo: (privacidad, individualismo y modernidad)*. Madrid: Alianza, 1990.

Bermejo Barrera, José Carlos. “Sobre las dimensiones significativas del espacio”. En: *Los límites de la tierra: El espacio geográfico en las culturas Mediterráneas*. Madrid: Ediciones clásicas S.A., 1998, pp. 1-22.

Bertosa, Slaven. “Granice u Istri od prapovijesti do konca XVIII. Stoljeca/border in Istria, from prehistory to the late eighteenth century”. *Ekonomika i Ekohistorija*, 12,1 (2016), pp. 15-43. Obtenido en: <https://www.proquest.com/docview/1874038253?pq-origsite=gscholar&fromopenview=true> [Fecha de acceso: 16/02/2022].

Bezold, Carl. *The Tell el-Amarna tablets in the British Museum with autotype facsimiles*. London: The Trustees, 2018.

Bintliff, John L. “Settlement patterns, land tenure and social structure: a diachronic model” *Ranking, Resource and Exchange: Aspects of the archaeology of early European Society*, (1982), pp. 106-111.

Bintliff, John. “Settlement Patterns”. En: Horden, Peregrine y Kinoshita, Sharon. *A Companion to Mediterranean History*. Vol. 20. Hoboken, NJ: John Wiley & Sons, 2014, pp. 203-218.

Blanco, Benjamín. “Pasado que emerge en el presente. Casa de las Islas: cinco siglos de historia bajo el agua”. *Belezos: Revista de cultura popular y tradiciones de La Rioja*, 36 (2018), pp. 28-33. Obtenido en: <https://dialnet.unirioja.es/descarga/articulo/6341602.pdf> [Fecha de acceso: 04/02/2022].

Blázquez de Pineda, Teresa, Rafael Suarez, y Juan Jose Sendra Salas. “Monitoring a Pre-Normative Multi-Family Housing Case-Study in a Mediterranean Climate”. *Buildings*, 7.1 (2017). <https://doi.org/10.3390/buildings7010001>

Blázquez Martínez, José María. “El mundo ibérico en los siglos inmediatos al cambio de era”. *Alicante: Biblioteca Virtual Miguel de Cervantes*, 2005. Obtenido en: <https://www.cervantesvirtual.com/nd/ark:/59851/bmc348z0> [Fecha de acceso: 04/02/2022].

Blázquez Martínez, José María. “Los túmulos de Villaricos (Almería), Setefilla y Carmona (Sevilla), Castulo (Jaén), Torre de Doña Blanca (Cádiz) y de Marruecos y sus prototipos orientales”. *Alicante: Biblioteca Virtual Miguel de Cervantes*, 2006. Obtenido en:

<https://www.cervantesvirtual.com/nd/ark:/59851/bmcp2792> [Fecha de acceso: 04/02/2022].

Bloom, Jonathan y Blair, Sheila. *Grove Encyclopedia of Islamic Art & Architecture: Three-Volume Set*. New York City: Oxford University Press USA, 2009.

Bonet Rosado, Helena y Vives-Ferrándiz Sánchez, Jaime. *La Bastida de les Alcusses*. 1928-2010. Valencia: Diputación de Valencia, 2011.

Borić, Dušan. “Deep timemetaphor: mnemonic and apotropaic practices at Lepenski Vir”. *Journal of social archaeology*, 3 (2003), p. 46-74.

Borrell, Ferran; Boëda, Éric; Molist, Miquel; Vicente, Oriol y Al-Shakel, Heba. “New Evidence Concerning the Neolithisation Process of the Central Syrian Desert: The Neolithic Complex of Mamarrul Nasr”. *Paléorient*, 37.2 (2011), pp. 35-46. <https://doi.org/10.3406/paleo.2011.5421>

Bozyiğit, Recep y Tapur, Tahsin. “Güneybati anadolu’da terkedilen bir yerleşim Merkezi: Kayaköy (Fethiye)”. *Marmara Coğrafya Dergisi*, 22 (2010), p. 363-387.

Bradbury, Dominic. *Casas mediterráneas*. Barcelona: Blume, 2007.

Braudel, Fernand. *El mediterráneo. El espacio y la historia*. México, D. F.: Fondo de Cultura Económica, 1989.

Braudel, Fernand. *El Mediterráneo y el mundo mediterráneo en la época de Felipe II*. México, D.F.: Fondo de Cultura Económica, 1953.

Brigand, Robin y Billaud, Y. “L’habitat Néolithique final de Beau Phare à Aiguebelette-le-Lac (Savoie): nouvelles approches méthodologiques de la planimétrie d’un village littoral de l’arc alpin”. *Bulletin de la Société Préhistorique Française*, 116.4 (2019), pp. 681-704. <https://doi.org/10.3406/bspf.2019.15052>

Bruttini, Jacopo y Grassi, Francesca. “Archeologia urbana a Montieri: lo scavo dell’edificio de “Le Fonderie” in via delle Fonderie”. *FOLD&R FastiOnLine documents & research*, 199 (2010), pp. 1-25. Obtenido en: <https://www.fastionline.org/docs/FOLDER-it-2010-199.pdf> [Fecha de acceso: 16/02/2022].

Cabanes, Pierre. “Recherches archéologiques en albanie 1945-1985”. *Revue Archéologique*, 1 (1986), pp. 107-42. Obtenido en: <https://www.jstor.org/stable/41736335> [Fecha de acceso: 16/02/2022].

Bibliografía.

Cahisa i Mur, Manuel y Hervás i Puyal, Carles. “La epidemia de cólera de 1885 en Cornudella (Priorat) según el testimonio del médico Joaquín Ferrandis Piñol”. *Gimbernat: Revista d’Història de la Medicina i de les Ciències de la Salut*, 19 (1993), pp. 137-142. Obtenido en:

<https://raco.cat/index.php/Gimbernat/article/view/44529> [Fecha de acceso: 16/02/2022].

Calvo Capilla, Susana. “Los inicios de la arquitectura religiosa en al-Andalus y su contexto islámico”. *Studia Historica. Historia Medieval*, 38.1 (2020), pp. 29–57. <https://doi.org/10.14201/shhme20203812957>

Campisi, Tiziana y Saeli, Manfredi. “The dammuso: constructive characters of the traditional stone buildings of the isle of Pantelleria (Sicily)”. En: *17th International Forum on World Heritage and Legacy: Culture, Creativity, Contamination*. Vol. 4. Roma: Gangemi Editore S. P. A., 2019, pp. 93-102. <http://hdl.handle.net/10447/359960>

Canto Mayén, Emiliano. “Un texto en tres duraciones: Braudel y El Mediterráneo”. *Temas antropológicos: Revista científica de investigaciones regionales*, 34,2 (2012), pp. 155-178.

Capel, Horacio y Tatjer, Mercedes. “Reformas sociales, servicios asistenciales e higienismo en la Barcelona de fines del siglo XIX (1876-1900)”. *Ciudad Y Territorio Estudios Territoriales*, 89 (1991), pp. 81-94. Obtenido en: <https://recyt.fecyt.es/index.php/CyTET/article/view/83750> [Fecha de acceso: 16/02/2022].

Capresi, Vittoria. *I centri rurali libici: l’ architettura dei centri rurali di fondazione costruiti in Libia-colonia italiana-durante il fascismo (1934-1940)*. Tesis Doctoral. Venice: Università Iuav di Venezia, 2007.

Cline, Eric H. *1177 a.C.: el año en que la civilización se derrumbó*. Barcelona: Crítica, 2015.

Carrete Parrondo, Carlos. “Sinagogas e impuestos fiscales de dos comunidades zamoranas: Fermoselle y Fuentesauco”. En: Muñoz Solla, Ricardo y García Casar, María Fuencisla. *Obra antológica de Carlos Carrete Parrondo: Investigaciones sobre el pasado judío y converso hispanomedieval*. Béjar: Museo Judío David Melul, 2018, p. 705-711.

Carter, Tristan; Moir, Rose; Wong, Todd; Campeau, Kathryn; Miyake, Yutaka y Maeda, Osamu. “Hunter-Fisher-Gatherer River Transportation: Insights from Sourcing the Obsidian of Hasankeyf Höyük, a Pre-Pottery Neolithic A Village on the Upper Tigris (SE Turkey)”. *Quaternary International*, 574 (2021), pp. 27-42. <https://doi.org/10.1016/j.quaint.2020.09.045>

Castellanos Roca, Maria del Mar. “Les importacions etrusques del segle V a.C. al nord-est peninsular i el comerç mediterrani”. *Pyrenae*, 27 (1996), pp. 83-102. Obtenido en: <https://raco.cat/index.php/Pyrenae/article/view/165122> [Fecha de acceso: 16/02/2022].

Castleden, Rodney. *Minoans: Life in Bronze Age Crete*. Londres: Routledge, 2002.

Castro Villalba, Antonio. *Historia de la construcción arquitectónica*. Barcelona: Ediciones UPC, 1999.

Catlos, Brian A. y Kinoshita, Sharon. *Can We Talk Mediterranean? Conversations on an Emerging Field in Medieval and Early Modern Studies*, Springer. Cham: Springer International Publishing, 2017.

Cattaneo, Paola y Chesta, Elena. *Il castello della Volta di Barolo*. Tesis. Alba: Artigiana, 1999.

Cebrián Alonso, Enriqueta y Gisbert Aguilar, Josep. “La tecnología de la escultura ibérica en piedra: el León de Bocairent”. *Saitabi*, 71 (2022), pp. 9-36.

<https://doi.org/10.7203/saitabi.72.19275>

Charanis, Peter. “The Chronicle of Monemvasia and the Question of the Slavonic Settlements in Greece”. *Dumbarton Oaks Papers*, 5 (1950), pp. 139-66.

<https://doi.org/10.2307/1291076>

Chelidonio, Giorgio. “Aux origines du vin. Du mythe à la recherche archéologique”. *Le Globe. Revue genevoise de géographie*, 155 (2015), pp. 65-86.

<https://doi.org/10.3406/globe.2015.7376>

Colls Rissech, Esther y Pastor Mongrell, Alfred. “Restauración de las caballerizas del castillo de Miravet”. *Papeles del Partal: revista de restauración monumental*, 6 (2014), pp. 93-104. Obtenido en: https://www.academiadelpartal.org/files/n6_93.pdf [Fecha de acceso: 16/02/2022].

Colmenero Fernández, Alicia, y Rodríguez Cao, Celso. “Anastilosis Virtual de A Domus Do Mitreo De Lvcvs Avgvsti”. *Virtual Archaeology Review*, 3.5 (2012), pp. 104-108.

Colomeda Folgado, Jordi y Colomeda Folgado, Natàlia. “Estudi preliminar del material ceràmic procedent de la vil·la romana dels Ametllers (Tossa de Mar), del fons del Museu d’Història de Sant Feliu de Guixols”. *Quaderns de la Selva*, 8(1995), pp. 33-33. Obtenido en: <https://raco.cat/index.php/QuadernsSelva/article/view/26001> [Fecha de acceso: 16/02/2022].

Copelli, Michela; Fazion, Marta; Longo, Laura y Zanin, Chiara. “Le ricerche preistoriche nel Veronese ai tempi di Stefano De Stefani”. *Annuario Storico della Valpolicella*, 18 (2002), pp. 151-158.

Cotton, Hannah M. “The date of the fall of Masada: The evidence of the Masada papyri”. *Zeitschrift für Papyrologie und Epigraphik*, 78 (1989), pp. 157-162. Obtenido en: <https://www.jstor.org/stable/20187128> [Fecha de acceso: 16/02/2022].

Da Riva, Rocío. “El yacimiento de Sela en Jordania: campaña 2016”. *Informes y Trabajos: Excavaciones en el exterior*, 17 (2019), pp. 269-278. Obtenido en: https://www.libreria.culturaydeporte.gob.es/ebook/918/free_download/ [Fecha de acceso: 04/02/2022].

Davies, Gwyn. "Under siege: the Roman field works at Masada". *Bulletin of the American Schools of Oriental Research*, 362 (2011), pp. 65-83.

<https://doi.org/10.5615/bullamerschoorie.362.0065>

De Broglie, Louis. *Recherches sur la théorie des quanta*. Tesis Doctoral. París: Facultad de ciencias de la Univesidad de París, 1925.

De Caro, Stefano. *La villa rustica in località Villa Regina a Boscoreale*. Roma: Bretschneider, 1994.

Delaunay, Gaëlle y otros. "Le site néolithique final du Verger (Le Mirail, Peypin-d'Aigues, Vaucluse): une occupation en contexte travertineux. Résultats des études paléoenvironnementales et du sondage archéologique 2003". *Paysages et peuplements. Aspects culturels et chronologiques en France méridionale. Actualité de la recherche, Actes des VIèmes Rencontres méridionales de préhistoire récente*, 2006, pp. 113-124.

Delgado-Toledo, María Candelaria; Melin-Marchal, Carlos; Quintana-Martín, Rubén y Barranco-Expósito, Carmen. "Trabajo social en vivienda: investigación sobre calidad de vida percibida". *Portularia*, 10.2 (2010), pp. 101-112.

Delhon, Claire; Thiébault, Stéphanie y Berger, Jean-François. "Environment and Landscape Management during the Middle Neolithic in Southern France: Evidence for Agro-Sylvo-Pastoral Systems in the Middle Rhone Valley". *Quaternary International*, 200.1 (2009), pp. 50-65.
<https://doi.org/10.1016/j.quaint.2008.05.008>

Dervishi, Sokol; Pashako, Frida; Dushaj, Xhenisa y Dervishi, Ina Osmani. "Energy Performance Optimization of Traditional Housing in Mediterranean Climate". *Journal of Building Engineering*, 45 (2022)103423, pp. 1- 40.

<https://doi.org/10.1016/j.job.2021.103423>

Durán Cabello, Rosalía M. y Rodríguez Martín, F. Germán. "Estancias subterráneas y aestiva loca en la arquitectura doméstica hispanorromana". *Archivo Español de Arqueología*, 91 (2018), pp. 115-41.
<https://doi.org/10.3989/aespa.091.018.006>

Dussel, Enrique. *El humanismo semita*. Buenos Aires: Eudeba, 1969.

East, May. "Community-Led Approaches and Interventions for the Regeneration of Abandoned Towns in Southern Italy". *Ecocycles*, 2.1 (2016), pp. 18-25.

<https://doi.org/10.19040/ecocycles.v2i1.40>

Eco, Umberto. *Cómo se hace una tesis. Técnicas y procedimientos de estudio, investigación y escritura*. Barcelona: Gedisa, 2001.

Eliou, L.; Moussios, R. y Constantinou, C. *Persecution and Extermination of the Communities of Levissi and Macri (1914-1918)*. París: Imprimerie Chaix, Rue Bergère, 1919.

Enlow, Jack. *Glosario de nombres bíblicos*. El Paso: Editorial Mundo Hispano, 2007.

Espinosa Villegas, Miguel Ángel. *Judaísmo, Estética y Arquitectura. La Sinagoga Sefardí*. Granada, Editorial Universidad de Granada, 1999.

Esposito, Domenico y Rispoli, Paola. “La Villa dei Misteri a Pompei”. En: En: Luccetti, Loreta y otros. *Città vesuviane antichità e fortuna, Il suburbio e l'agro di Pompei, Ercolano, Oplontis e Stabiae*. Roma: Istituto della Enciclopedia italiana fondata da Giovanni Treccani, 2013.

Esteva i Cruañas, Lluís; Tarrús i Galter, Josep y Fa Tolsanes, Esteva. “Sepulcro paradolménico de Pedra sobre altra (Tossa de Mar, Girona)”. *Cypsela: revista de prehistòria i protohistòria*, 4 (1982), pp. 53-59.

Fantar, Mhamed Hassine. *Los fenicios en el Mediterráneo*. Barcelona: Icaria, 1999.

Feduchi, Luis. *Itinerarios de arquitectura popular española*. Vol. T.4. Andalucía. Barcelona: Blume, 1978.

Fernández Escalante, Manuel. “Las Nescas pirenaicas y la Nescania bética. Sobre una aparente aporía histórico-filológica”. *Archivo de filología aragonesa*, 28 (1981), pp. 187-192.

Fernández García, Gloria. “La articulación del espacio doméstico en las casas de patio central. Un estudio para el Noreste peninsular ibérico entre los siglos IV - II a. C.” *Arqueología de la arquitectura*, 12 (2015). <https://doi.org/10.3989/arq.arqt.2015.124>

Fernández Matallana, Francisco y Martínez García, José Javier. «La Villa Romana de los Villaricos (Mula, Murcia): 30 años de investigación». En: *XXV Jornadas de Patrimonio Cultural*. Murcia: Tres Fronteras EDICIONES, 2019, pp. 23-39.

Fernández-Fuertas, Antonio y Jones, Owen. *The Alhambra*. London: Saqi books, 1997.

Fernández Serrano, Carlos; Lobato Cepeda, Blanca Emma y Ortega Bravo, Ignacio. “La arquitectura rupestre de Chinchilla de Montearagón”. *Narria: Estudios de artes y costumbres populares*, 27 (1982), pp. 2-5. <https://repositorio.uam.es/handle/10486/8135>

Fernando de la Lama, Mercedes. “La cueva del Gran Duque (Casares, Málaga)”. *Mainake*, 8 (1986), pp. 105-28.

Feugère, Michel. “Le monnayage gaulois au cheval et au fleuron. La Tour 3571/72 et les origines pré-romaines de la cité de Béziers.” *Revue Numismatique*, 164 (2009), pp. 15–16.

Bibliografía.

Fiorentino, Girolamo y otros. "Third millennium BC climate change in Syria highlighted by carbon stable isotope analysis of ¹⁴C-AMS dated plant remains from Ebla". *Palaeogeography, Palaeoclimatology, Palaeoecology*, 266.1-2 (2008), pp. 51-58. <https://doi.org/10.1016/j.palaeo.2008.03.034>

Fischer, Moshe; Taxel, Itamar y Amit, David. "Rural Settlement in the Vicinity of Yavneh in the Byzantine Period: A Religio-Archaeological Perspective". *Bulletin of the American Schools of Oriental Research*, 350 (2008), pp. 7-35.

Foley, Brendan P. y otros. "The 2005 Chios Ancient Shipwreck Survey: New Methods for Underwater Archaeology". *Hesperia: The Journal of the American School of Classical Studies at Athens*, 78.2 (2009), pp. 269-305.

Facorellis, Yorgos; Sofronidou, Marina y Hourmouziadis, Giorgos. "Radiocarbon Dating of the Lakeside Settlement of Dispilio, Kastoria, Northern Greece". *Arizona Board of Regents on behalf of the University of Arizona*, 2014. <https://doi.org/10.2458/56.17456>

Fontenla Ballesta, Salvador; Gómez Martínez, Juan Antonio y Miras García, Miguel. "Lorca, poblado más extenso y primigenio de la cultura del Argar". *Alberca*, 2 (2004), pp. 39-52.

France, John. "Byzantium confronts its neighbours: Islam and the crusaders in the twelfth century". *Byzantine and Modern Greek Studies*, 38.1 (2014), pp. 33-48.

Franklin, Norma; Ebeling, Jennie; Guillaume, Philippe y Appler, Deborah. "An Ancient Winery at Jezreel, Israel". *Journal of Eastern Mediterranean Archaeology and Heritage Studies*, 8.1 (2020), pp. 58-78. <https://doi.org/10.5325/jeasmedarcherstu.8.1.0058>

Freixa, Jaume. "Josep Lluís Sert en Amèrica, etapes de una fidelidad". En: Pizza, Antonio. *J. Ll. Sert Y El Mediterráneo = J. Ll. Sert And Mediterranean Culture*. Barcelona: Colegio Arquitectos Cataluña, 1997, pp. 80-101.

Furiosi, Alessandro. "L'acqua a Volterra e nel suo territorio in età medievale". En: Baldassarri, Monica. *Reti d'acqua: infrastrutture idriche e ruolo socio-economico dell'acqua in Toscana dopo il Mille*. San Giuliano Terme: Felici, 2008.

Fuster Mascarell, Victoria. *La luz natural en la vivienda mediterránea: Análisis del control lumínico en la vivienda contemporánea hispánica*. Tesis Doctoral. Valencia: Universitat Politècnica de València, 2016.

Gámiz Caro, Jesús. "La cerámica prehistórica de la Cueva de la Murcielaguina de Hornos (Hornos de Segura, Jaén)". *Cuadernos de Prehistoria y Arqueología de la Universidad de Granada*, 22 (2012), pp. 187-98.

García Moragues, Javier. *Elementos de la arquitectura excavada*. Tesis Grado. Valencia: Universitat Politècnica de València, 2022.

García Pulido, Luis José y Orihuela Uzal, Antonio. “Nuevas aportaciones sobre las murallas y el sistema defensivo de Santa Fe (Granada)”. *Archivo español de arte* 78, 309 (2005), pp. 23-43. <https://doi.org/10.3989/aearte.2005.v78.i309.206>

García Pulido, Luis José y Pica, Valentina. “The traditional Mediterranean house with courtyard and its urban context”. *Ricerche Di Storia Dell Arte*, 112 (2014).

García Vergara, Marisa y Pizza, Antonio. “The Mediterranean and Modern Architecture: The Dissemination of a Myth in Architectural Media”. *Journal of Architecture*, 26.8 (2021), pp. 1117-1145. <https://doi.org/10.1080/13602365.2021.1980419>

Georgopoulou, Maria. *Venice's Mediterranean colonies: architecture and urbanism*. Cambridge: University Press Cambridge, 2001.

Gerstel, Sharon EJ. *Rural Lives and Landscapes in Late Byzantium: Art, Archaeology, and Ethnography*. Cambridge: University Press, 2015.

Giampaola, D. y D'Agostino, B. “Osservazioni storiche e archeologiche sulla fondazione di Neapolis”. *Noctes Campanae*, (2005), pp. 49-80.

Giannakopoulou, Stella y Kaliampakos, Dimitris. “Protection of Architectural Heritage: Attitudes of Local Residents and Visitors in Sirako, Greece”. *Journal of Mountain Science*, 13.3 (2016), pp. 424-39. <https://doi.org/10.1007/s11629-015-3482-1>

Gil Benumeña, Rodolfo. “Túnez después de la declaración de independencia”. *Cuadernos de estudios africanos*, 34 (1956), pp. 21-30.

Gleason, Kathryn L. “The Promontory Palace at Caesarea Maritima: Preliminary Evidence for Herod's Praetorium”. *Journal of Roman Archaeology*, 11 (1998), pp. 23-52. <https://doi.org/10.1017/S1047759400017189>

Golany, Gideon. *Earth-sheltered dwellings in Tunisia: ancient lessons for modern design*. Newark: University of Delaware Press, 1988.

Goldfinger, Myron y Kahn, Louis I. *Arquitectura popular mediterránea*. Barcelona: Gustavo Gili, 1993.

Gómez, Maricelly; Galeano Higueta, Catalina y Jaramillo Muñoz, Dumar. “El estado del arte: una metodología de investigación”. *Revista Colombiana de Ciencias Sociales*, 6.2 (2015), pp. 423-442. <https://doi.org/10.21501/22161201.1469>

Rafael González Fernández y otros. “La Villa Romana de los Villaricos (Mula, Murcia): 30 años de investigación”. En: XXV Jornadas de *Patrimonio Cultural, Región de Murcia*. Murcia: Gobierno de la Región de Murcia. 2019, pp. 23–39.

González Castrillo, Ricardo. “Sobre la conquista otomana de Rodas/The Ottoman Conquest of Rhodes”. *Anaquel de estudios árabes*, 18 (2007), pp. 117 - 135.

González Urquijo, Jesús E. y otros. “El aprovechamiento de recursos vegetales en los niveles neolíticos del yacimiento de Los Murciélagos (Zuheros, Córdoba): Estudio arqueobotánico y de la función del utillaje”, *Complutum*, 11 (2000), pp. 171-190.

Gorzalczany, Amir. “Centro y periferia en el antiguo Israel: nuevas aproximaciones a las prácticas funerarias del Calcolítico en la planicie costera”. *Antiguo Oriente: cuadernos del Centro de Estudios de Historia del Antiguo Oriente*, 5 (2007), pp. 205-230.

Gracia Alonso, Francesc; Munilla Cabranilla, Gloria y Pallarés Comas, Ramón. *La Moleta del Remei (Alcanar, Montsià), Campañas 1985-1986*. Tarragona: Diputació, 1988.

Graells i Fabregat, Raimon. “De Italia al Bajo Aragón: la dinámica de intercambios indígena entre el s. VII y VI aC”. *Aquitania Supplements Aquitania*, 30 (2013), pp. 727-736.

Gربیć, Mirko; Tomanović, Dušan y Gabrijelčić, Peter. “Local Tendencies in Urban Design Viewed Through the Case Study of Contemporary Development Design in Context of Traditional Architecture”. *Architecture & Urban Planning*, 12.1 (2016). <https://doi.org/10.1515/aup-2016-0011>

Greenhalgh, Michael. *Constantinople to Córdoba: Dismantling ancient architecture in the east, North Africa and Islamic Spain*. Leiden: Brill, 2012.

Grove, Alfred Thomas y Rackham, Oliver. *The Nature of Mediterranean Europe: An Ecological History*. London: Yale University Press, 2003.

Guido, María A. y otros. “A Palynological Contribution to the Environmental Archaeology of a Mediterranean Mountain Wetland (North West Apennines, Italy)”. *The Holocene*, 23.11 (2013), pp. 1517-1527. <https://doi.org/10.1177/0959683613496294>

Gustems Carnicer, Josep; Portela, Ana y Calderón Garrido, Caterina. “Aproximaciones metodológicas a la investigación en artes”. *Artseduca*, 17 (2017), pp. 78-95. Disponible en: <https://www.e-revistas.uji.es/index.php/artseduca/article/view/2554> [Fecha de acceso: 16/02/2022].

Gutiérrez Escoda, Esther. *Estrategias geoarqueológicas y paisajísticas: Los patrones de asentamiento proto-urbanístico en la comarca de El Priorat (del Bronce Final al Hieno I)*. Tarragona: Universitat Rovira i Virgili, 2005.

Hakim, Carol. “3. The 1860 Massacres and Their Aftermath: A Map for Lebanon”. En: Hakim, Carol. *The Origins of the Lebanese National Idea*. Berkeley: University of California Press, 2013.

Harris, Lindsay. “Modern Architecture and the Mediterranean: Vernacular Dialogues and Contested Identities”. *Journal of Design History*, 25 (2012), pp. 341-44. <https://doi.org/10.1093/jdh/eps027>

Harris, William V. *Rethinking the Mediterranean*. Oxford [N.Y.]: Oxford University Press, 2005.

Henríquez de Jorquera, Francisco y Marín Ocete, Antonio. *Anales de Granada: descripción del reino y ciudad de Granada, crónica de la reconquista (1482-1492), sucesos de los años 1588 a 1646*. Granada: Universidad de Granada, 1987.

Hernández Cardona, Francesc Xavier. *Barcelona, història d'una ciutat: aproximació didàctica*. Barcelona: Llibres de l'Index, 2001.

Hofrichter, Robert. *El mediterraneo: fauna, flora, ecología*. Barcelona: Omega, 2004.

Horden, Peregrine y Kinoshita, Sharon. *A Companion to Mediterranean History*. Vol. 20. Hoboken, NJ: John Wiley & Sons, 2014. <https://doi.org/10.1002/9781118519356>

Horden, Peregrine y Purcell, Nicholas. *The corrupting sea: a study of Mediterranean history*. Oxford (U.K.): Malden, Mass, Blackwell, 2000.

Hourihane, Colum. *Interactions: Artistic Interchange between the Eastern and Western Worlds in the Medieval Period*. Princeton: Princeton University y Penn State University Press, 2007.

Howard Carter, Theresa. “Western Phoenicians at Lepcis Magna”. *American Journal of Archaeology*, 69.2 (1965). <https://doi.org/10.2307/501728>

Hunt, Chris O.; Gilbertson, David D. y El-Rishi, Hwedi A. “An 8000-year history of landscape, climate, and copper exploitation in the Middle East: the Wadi Faynan and the Wadi Dana National Reserve in southern Jordan”. *Journal of Archaeological Science*, 34.8 (2007), pp. 1306-1338. <https://doi.org/10.1016/j.jas.2006.10.022>

Huntington, Ellsworth. *Civilización y clima*. Madrid: Revista de Occidente, 1942.

Hurst, E. W. *The urban geography of Beirut*. Tesis. Durham: Durham University, 1966.

Iglesia Berzosa, Javier. “La arquitectura tradicional bodeguera en la cuenca del Duero española: Una revisión crítica de su situación actual”. *Douro: Estudos & Documentos*, 7.14 (2002), pp. 125-142.

Irish, Joel D. “The Iberomaurusian Enigma: North African Progenitor or Dead End?” *Journal of Human Evolution*, 39.4 (2000), pp. 393-410.

<https://doi.org/10.1006/jhev.2000.0430>

Islami, Selim. “Probleme të kronologjisë së qytetit ilir / Problèmes de chronologie de la cité illyrienne”. *Iliria*, 6.1 (1976), pp. 101-112. <https://doi.org/10.3406/iliri.1976.1259>

Jelidi, Charlotte. “Hybridités architecturales en Tunisie et au Maroc au temps des protectorats: orientalisme, régionalisme et méditerranéisme”. En: *Congreso Architectures au Maroc et en Tunisie à l'époque coloniale*. Túnez: IRMC - Institut de recherche sur le maghreb contemporain, 2009, pp. 42-46.

Jessen, Otto. “Las viviendas troglodíticas en los países del Mediterráneo”. *Estudios geográficos*, 16.58 (1955), pp. 137-157.

Jiménez Vialás, Helena y Prados Martínez, Fernando. “Espacio doméstico y estructura social en contextos púnicos”. En: Gutiérrez Lloret, Sonia y Grau Mira, Ignasi. *De la estructura doméstica al espacio social: Lecturas arqueológicas del uso social del espacio*. Raspeig: Publicaciones de la Universidad de Alicante, 2013, pp. 111-126.

Jiménez-Vicario, Pedro Miguel y Antonucci, Micaela. “El despertar de la arquitectura moderna a orillas del Mediterráneo: debate y controversia en los contextos de Italia y España”. *Ra. Revista de Arquitectura*, 18, (2016), pp. 41-52.

<https://doi.org/10.15581/014.18.41-52>

Kahlaoui, Tarek. *Creating the Mediterranean: Maps and the Islamic Imagination*. Leiden: Brill, 2018.

Kalligas, Haris A. *Monemvasia: a Byzantine city state*. Londres y Nueva York: Routledge, 2009.

Karabag, N. Ebru y Fellahi, Nadjla. «Learning from Casbah of Algiers for More Sustainable Environment». En: *Congreso Climamed 2017 - Mediterranean Conference of Hvac Historical Buildings Retrofit in the Mediterranean Area*. Amsterdam: Elsevier Science Bv, 2017, pp. 95-108.

<https://doi.org/10.1016/j.egypro.2017.09.376>

- Khodjet-El-Khil, Houssein y otros. "Substructure of a Tunisian Berber population as inferred from 15 autosomal short tandem repeat loci". *Human biology*, 80.4 (2008), pp. 435-448.
- Kıvrım, İsmail. "16. Yüzyılda akseki (yerleşme, nüfus ve ekonomi)". *Osmanlı Medeniyeti Araştırmaları Dergisi*, 1.1 (2015), pp. 36-62.
<https://doi.org/10.21021/osmed.217942>
- Kloner, Amos y Zissu, Boaz. "The subterranean complexes of Maresha: An urban center from the Hellenistic period in the Judean foothills, Israel". *Opera Ipogea. Journal of Speleology in Artificial Caves*, 2 (2013), pp. 45-62.
- Knipp, David. *Siculo-Arabic Ivories and Islamic Painting 1100–1300*. Munich: Hirmer Verlag, 2011.
- Koca, Nusret y Yazıcı, Hakkı. "Afyonkarahisar İlindeki idari yerleşmelerin toponimik sınıflandırılması". *Türk Coğrafya Dergisi*, 56 (2014), pp. 1-10.
<https://doi.org/10.17211/tcd.63184>
- Kocalar, Aziz Cumhur. "Arkeolojik yeraltı yerleşmeleri ve koruma sorunları: Nevşehir yeraltı şehirleri (Derinkuyu, Kaymaklı)". *Journal of Awareness*, 3 (2018), pp. 25-46. Obtenido en: <https://dergipark.org.tr/pub/joa/issue/43505/531817> [Fecha de acceso: 16/02/2022].
- Koch, Guntram. "Gjetje të kohës së hershme Bizantine nga Berati/Funde aus frühbyzantinischer Zeit in Berat". *Iliria*, 35.1 (2011), pp. 307-39.
- Koren, Zvi C. "The unprecedented discovery of the Royal Purple dye on the two thousand year-old royal Masada textile". *American Institute for Conservation, The Textile Specialty Group Postprints*, 7 (1997), pp. 23-34.
- Kostof, Spiro y Jiménez-Blanco Carrillo de Albornoz, María Dolores. *Historia de la arquitectura*. Madrid: Alianza Editorial, 1997.
- Kuban, Doğan. "Muslim Religious Architecture". *Istanbul Technical University*. 3.6 (1974), pp. 3-28.
- Langgut, Dafna; Gleason, Kathryn y Barbara Burrell. "Pollen analysis as evidence for Herod's Royal Garden at the Promontory Palace, Caesarea". *Journal of Plant Sciences*, 62.1-2 (2015), pp. 111-121.
<https://doi.org/10.1080/07929978.2014.975560>
- Latroch, D. Djamel. *Aspectos sociales y marcos de sociabilidad de la Argelia del Siglo XIX*. Tesis. Es Senia: Universidad de Orán, 2014.

Le Brun, Alain. "El poblamiento neolítico en la Isla de Chipre: el establecimiento de Khirokitia". *Treballs d'Arqueologia*, 2 (1992), p. 51-67.

Ledoux, Claude-Nicolas. *L'architecture considérée sous le rapport de l'art, des moeurs et de la législation*. Tome 1. París: L'impr. de H. L. Peronneau, 1804

Leroi-Gourhan, André. *El hombre y la materia: evolución técnica I*. Madrid: Taurus, 1988.

Lesko, Leonard H. *Pharaoh's workers: the villagers of Deir el Medina*. Ithaca: Cornell University Press, 1994.

Licenziati, Francesca y Calligaro, Thomas. "Study of Mosaic Glass Tesserae from Delos, Greece Using a Combination of Portable μ -Raman and X-Ray Fluorescence Spectrometry". *Journal of Archaeological Science: Reports*, 7 (2016), pp. 640-648. <https://doi.org/10.1016/j.jasrep.2015.10.017>

Lingenfelter, Hannah. *Asherah and Figurines: How the Worship of a Goddess Affected the Activities of Women in Iron Age II Megiddo*. Tesis. La Crosse: University of Wisconsin, 2013.

Lion Bustillo, Javier. "Abulafia, David, El gran mar. Una Historia humana del Mediterráneo. Barcelona, Crítica, 2013, 794 pp". *Historia Actual Online* 39 (2016), pp.167-168.

López Castro, José Luis; Alemán Ochotorena, Belén y Moya Cobos, Laura. "Abdera y su territorio: descubrimientos recientes". *Mainake* (Almería), 32 (2010), pp. 91-107. Obtenido en: <https://dialnet.unirioja.es/servlet/articulo?codigo=3643386> [Fecha de acceso: 04/02/2022].

López Castro, José Luis; Martínez Hahn Müller, Víctor y Pardo Barrionuevo, Carmen Ana. "La ciudad de Baria y su territorio". *Mainake*, 32 (2010), pp. 109-132.

López del Valle, María Inmaculada. *Elementos comunes de la arquitectura popular del Mediterráneo*. Universidad de Granada, 2012.

López Escribano, Natalia. *Un deseo moderno todavía pendiente: la casa patio, una posible técnica de agrupación de vivienda colectiva vertical*. Tesis Doctoral. Madrid: E.T.S. Arquitectura (UPM), 2016.

Lopez García, E. "The Mediterranean in the work of Le Corbusier. The Catalan LeCorbuserian vault: Influences and evolution". En: Cueco, J. T. *Le Corbusier: 50 Años Después*. Valencia: Univ Politecnica Valencia, 2015, pp. 121-1232.

<https://doi.org/10.4995/LC2015.2015.527>

López Guzmán, Rafael. *Arte entre dos culturas: Andalucía 1212-1492*. Granada: Caja Granada, 2009.

- López Guzmán, Rafael. *Arquitectura mudéjar: del sincretismo medieval a las alternativas hispanoamericanas*. Madrid: Cátedra, 2005.
- López Sanz, Gregorio. *Alcalá del Júcar: piedra, tierra y agua*. Albacete: Instituto de Estudios Albacetenses, 2014.
- Lorente García, Rocío; Briant, Pierre y Gutiérrez Iglesias, Cristina. *Alejandro Magno*. Biblioteca Nueva, 2012.
- Lorite Cruz, Pablo Jesús. "Situación y autenticidad de la sinagoga de Úbeda". *Revista de Claseshistoria*, 12 (2011), pp. 1-17.
- Mac Ilveen, Robin. *Fundamentals of Weather and Climate*. London: Chapman and Hall, 2010.
- Macías Pérez de Alarcón, Laura. *Elaboración de vinos*. Madrid: Síntesis, 2018.
- Mack, Rosamond E. y Mack Smith, Denis. *Bazaar to Piazza: Islamic trade and Italian art, 1300-1600*. Berkeley: Univ. of California Press, 2002.
- Magdalino, Paul. "Court And Capital In Byzantium". En: Duindam, Jeroen y otros. *Royal Courts in Dynastic States and Empires*. Leiden: Rulers & Elites, 2011, p. 129-144.
- Maluquer de Motes, Joan. "La estratigrafía prehistórica de Hornos de Segura (Jaén)". *Pyrenae: revista de prehistòria i antiguitat de la Mediterrània Occident*, n.10, 1974, pp. 61-63.
- Mangone, Fabio y Russo Spena, Raffaella. "El mito de la casa pompeyana entre los siglos XIX y XX". En: *II Congreso Internacional cultura y ciudad*. Granada: Universidad de Granada, 2019.
- Manzano Martos, Rafael. *La Alhambra: el universo mágico de la Granada islámica*. Madrid: Anaya, 1992.
- Manzano Martos, Rafael. "Entre el nido humano y la arquitectura". En: Fomento de Construcciones y Contratas (Coord.). *Arte y arquitectura en la vivienda española*. Madrid: Grupo FCC, 1996, pp. 7-97.
- Manzano Martos, Rafael; López del Valle, Josefa y otros. "El concepto de competencia y cooperación en la arquitectura japonesa y egipcia". En: XXX Congreso Universitario Internacional UNIV'97. *Sociedad multicultural: competencia y cooperación*. Sevilla: CMA, 1997, pp. 164-173.
- Manzano Pérez de Guzmán, Julia y otros. "Sobre Arqueología y Arquitectura en Medina Azahara. Entrevista a Rafael Manzano Martos", *Arqueología de la Arquitectura*, 14 (2017).
<http://dx.doi.org/10.3989/arq.arqt.2017.021>

Bibliografía.

Mapunda, Bertram B. B. y Chami, Felix A. "Analysis Report of Metallurgical Materials from Nguruni Site, Kilwa Kisiwani, Southern Tanzania". *Studies in the African Past*, 5 (2006), pp. 151-194.

Marchi, D. y Tarli, S. M. B. "The Skeletal Biology of Two Italian Peninsular Magna Graecia Necropoles, Timmari and Montescaglioso". *Homo-Journal of Comparative Human Biology*, 53.1 (2002), pp. 59-78. <https://doi.org/10.1078/0018-442X-00038>

Marini, Elisa. *Il palazzo dei capitani di Malcesine*. Tesis. Venecia: Università Ca' Foscari Venezia, 2012.

Marini, Nathalie. "Occupation and Environmental Context of a Prehistoric and Protohistoric Settlement on the Corsican East Coast". En: *2006 First International Symposium on Environment Identities and Mediterranean Area*, 2006, pp. 461-466. <https://doi.org/10.1109/ISEIMA.2006.345024>

Marino, John A. "Mediterranean Studies and the Remaking of Pre-Modern Europe". *Journal of Early Modern History*, 15.5 (2011), pp. 385-412.

Mark, Robert. *Tecnología arquitectónica hasta la revolución científica*. Madrid: Ediciones AKAL, 2002.

Martín-Consuegra, E.; Ubera, J. L. y Hernández-Bermejo, E. "Palynology of the Historical Period at the Madinat Al-Zahra Archaeological Site, Spain". *Journal of Archaeological Science*, 23.2 (1996), pp. 249-61. <https://doi.org/10.1006/jasc.1996.0022>

Martín Ruiz, J. A. "Hiram, rey de Tiro". *Herakleion: Revista Interdisciplinar de Historia y Arqueología del Mediterráneo*, 3 (2010), pp. 7-35.

Martín Viso, Iñaki. "Una comarca periférica en la Edad Media: Sayago, de la autonomía a la dependencia feudal". *Studia historica. Historia medieval*, 14 (1996), pp. 97-155.

Martínez, Aquiles Ernesto. "Observaciones metodológicas acerca de la arqueología bíblica y la interpretación bíblica". *Revista Pistis Praxis*. 12.2 (2020). <https://doi.org/10.7213/2175-1838.12.002.DS03>

Martínez de Salinas Ocio, Felicitas. *Evolucion urbanistica y arquitectonica de la Villa de Laguardia (Álava)*. Tesis Doctoral. Valladolid: Universidad de Valladolid, 1989.

Martínez Díaz, Lara. *Arquitectura troglodita; un modelo eficiente para habitar el territorio: Estudio tipológico y constructivo en la evolución de la casa-cueva en Gran Canaria*. Tesis Doctoral. Sevilla: Universidad de Sevilla, 2017.

Martínez Mercader, Juana. *Migraciones y relaciones internacionales. La colonia española de Trípoli de Libia, paradigma de colectivo europeo en el África mediterránea en el siglo XIX (1784-1870)*. Murcia: Cátedra de Historia Contemporánea, 2006.

Mastino, Attilio y Zucca, Raimondo. “La libia dai garamanti a giustiniano”. *Africa: Rivista trimestrale di studi e documentazione dell’Istituto italiano per l’Africa e l’Oriente*, 63- 2 (2008), pp. 155-72.

Meier, S. O. *Living in Imaginary Places: On the Creation and Consumption of Themed Residential Architecture*. Tesis Doctoral. Amsterdam: Amsterdam Institute for Social Science Research (AISSR), 2013.

Menghín, OF A. “Migrations mediterraneae. Origen de los Lígures, Iberos, Aquitanos y Vascoas”. *RUNA, archivo para las ciencias del hombre*, 1 (1948), pp. 111-195. <https://doi.org/10.34096/runa.v1i0.4876>

Mérida Rodríguez, Matías F. y otros. “Aproximación a la definición de tipologías territoriales y paisajísticas de urbanismo disperso en zonas rurales mediterráneas”. En: XXV Congreso de la Asociación de Geógrafos Españoles. *Naturaleza, territorio y ciudad en un mundo global*, 2017, pp. 2119-2127.

Mestre, Victor. “Traditional construction in mediterranean Portugal”. *Apuntes: Revista de Estudios sobre Patrimonio Cultural - Journal of Cultural Heritage Studies*. 20, 2 (2007), pp. 278-285.

Michaud, Henri. “Hebrew Inscriptions and Stamps from Gibeon”. *Vetus Testamentum*, 10.1 (1960), p. 102-106.

Migliavacca, Mara. “Le Prealpi venete nell’età del Ferro: analisi e interpretazione di un paesaggio polisémico”. *Preistoria Alpina*, 47 (2013), pp. 193-262.

Milano, Lucio. “Ebla: A third millennium city-state in ancient Syria”. *Civilizations of the ancient Near East*, 2 (1995), p. 1219-1230.

Miyake, Yutakab y otros. “New excavations at Hasankeyf Höyük: A 10th millennium cal. BC site on the Upper Tigris, Southeast Anatolia”. *Neo-Lithics*, 1.12 (2012), pp. 3-7.

Molin, Kristian. “Las funciones extramilitares de las fortificaciones cruzadas, 1187-circa 1380”. *Revista Universitaria de Historia Militar*, 7.14 (2018), pp. 202-206.

Molina Hernández, Francisco Javier y Barciela González, Virginia. “Prospección, documentación y contextualización de arte rupestre en las comarcas alicantinas de l’Alcoià, el Comtat, la Marina Alta y la Marina Baixa. 1ª Anualidad: sectores geográficos 4 y 6 (Confrides)”. *Intervenciones arqueológicas en la provincia de Alicante*, 2011. Obtenido en: https://www.marqalicante.com/contenido/int_arqueologicas/doc_151.pdf [Fecha de acceso: 16/02/2022].

Mónaco, Andrea y otros. “Megalithic Structures of the northern Sahara (Chott el Jérid, Tunisia)”. *Cartagine. Studi e Ricerche*, 5 (2020), pp. 1-16. <https://doi.org/10.13125/caster/4078>

Monaghan, J. J.; Bicknell, P. J. y Humble, R. J. “Volcanos, Tsunamis and the Demise of the Minoans”. *Physica D: Nonlinear Phenomena*, 77.1-3 (1994), pp. 217-28.

[https://doi.org/10.1016/0167-2789\(94\)90135-X](https://doi.org/10.1016/0167-2789(94)90135-X)

Monnier, Franck. “Scientific reconstruction of the Palace of Amenhotep III at Malqata. Studies on the Palace of Amenhotep III at Malqata”. *Albany: The Ancient Egyptian Heritage and Archaeology Fund*, (2019), p.5. Obtenido en: <https://tinyurl.com/219887cd> [Fecha de acceso: 16/05/2022].

Montero Ruíz, Ignacio y otros. “Metalurgia Pre-Islámica en Marruecos: Nuevos análisis y valoración comparativa con la metalurgia de la Península Ibérica”. *Estudios Arqueológicos de Oeiras*, 19 (2012), pp. 113-18.

Montgomery, James A. “Notes on the Mythological Epic Texts from Ras Shamra”. *Journal of the American Oriental Society*, 53.2 (1933), pp. 97-123. <https://doi.org/10.2307/593096>

Morales Becerra, Vicente y Escudero Buendía, Francisco Javier. “Sobre los orígenes de tomelloso”. *El periódico común de la Mancha*, 10 (2002), pp. 36-37.

Moreno Ramírez de Arellano, Miguel Ángel. “La quiebra de la casa de Arellano en el contexto de la crisis señorial castellana de finales del siglo XVI: Análisis de las causas determinantes del concurso de acreedores recaído sobre el Señorío de Cameros y Condado de Aguilar en 1592”. *Berceo*, 114 (1988), pp. 155-70.

Moy, Daniel R. *Military strategy in the Latin Kingdom of Jerusalem: the crusader fortification at Caesarea*. Tesis. Norman: University of Oklahoma, 1999.

Moyano, Antonio Luis. “Los Millares: ¿La ciudad más antigua de Europa está en Almería?”. *Clio: Revista de historia*, 215 (2019), p. 66-73.

Muñoz Gómez, Víctor. “Una historia del Mediterráneo antes del Mediterráneo de Braudel”. *Revista de historia Jerónimo Zurita*, 93 (2018), pp. 253-59. Obtenido en:

<https://ifc.dpz.es/recursos/publicaciones/37/46/11libros.pdf> [Fecha de acceso: 16/02/2022].

Murga, Félix. *Carlos III y el descubrimiento de Herculano, Pompeya y Estabia*. Vol. 56. Salamanca: Universidad de Salamanca, 1989.

Naso, Alessandro; Baur, Christoph y Hye, Simon. “Nuove ricerche di archeologia di superficie in Valmarecchia”, *Studi Romagnoli*, 65 (2015), pp. 11-34.

Nasr, Jafaar Ben y otros. “Climat, environnement et sociétés de la Préhistoire du sud tunisien: résultats préliminaires et perspectives de la recherche”. *Cartagine. Studi e Ricerche*, 1 (2016), pp. 1-14. <https://doi.org/10.13125/caster/2497>

- Neal, Larry. *Historia económica mundial: desde el Paleolítico hasta el presente*. Madrid: Alianza Editorial, 2016.
- Neila González, Javier. *Arquitectura bioclimática en un entorno sostenible*. Arquitectura y tecnología 4. Madrid: Munilla-Leria, 2004.
- Nejadriahi, Halleh y Dincyurek, Ozgur. "Identifying Privacy Concerns on the Formation of Courtyards". *Open House International*, 40.4 (2015), pp. 18-24. <https://doi.org/10.1108/OHI-04-2015-B0004>
- Nordquist, Gullög. "What's in a Name? Mistra–The Town". En: Sinclair, P. y otros. *The urban mind: Cultural and environmental dynamics*. Uppsala: Uppsala University, 2010, pp. 407-414.
- Nourissier, Gilles y Maalouft, Amin. *Arquitectura tradicional mediterránea*. Barcelona: Colegio de Aparejadores y Arquitectos técnicos de Barcelona, 2002.
- Nuccetelli, C y otros. "Radiological Characterization of the Ancient Roman Tuff-Pozzolana Underground Quarry in Orvieto (Italy): A Natural Laboratory to Revisit the Interactions between Radionuclides and Aerosols". *Journal of Environmental Radioactivity*, 168 (2017), pp. 54-60. <https://doi.org/10.1016/j.jenvrad.2016.07.003>
- O'Connell, Monique y Dursteler, Eric R. *The Mediterranean World: From the Fall of Rome to the Rise of Napoleon*. Baltimore: Johns Hopkins University Press, 2016.
- Olcina Cantos, Jorge y Martín Vide, Javier. *La influencia del clima en la historia*. Madrid: Arco libros, 1999.
- Oliva, Federico. "Italia: Planificación urbanística en la segunda mitad del siglo XIX en Italia". *Ciudad y Territorio. Estudios Territoriales*, 119-120(1999). Obtenido en: <https://recyt.fecyt.es/index.php/CyTET/article/view/85591> [Fecha de acceso: 16/02/2022].
- Oliveira, Jorge de. "Do rio sever a Marvão: um ensaio de arqueologia espacial". En: Actas do III Congresso Internacional de *Arqueologia de Transição - Estratégias de Povoamento: Do Período Romano ao Mundo Contemporâneo*. Vol.1 N.2. Lisboa: SCIENTIA ANTIQUITATIS, 2017, pp. 317-343.
- Oliver Foix, Arturo. "Las influencias mediterráneas en el mundo ibérico de la zona sur del delta del Ebro". *Cuadernos de prehistoria y arqueología castellanenses*, 7 (1980), pp. 99-118.
- Oliver Foix, Arturo. "Materiales etruscos en el Bajo Maestrazgo (Castellón)", *Cuadernos de prehistoria y arqueología castellanenses*, 12 (1986), pp. 219-228.

O'Neill, Claire M. y otros. *From Smart History towards common European Heritage by a preservation model of CINQUE TERRE NATIONAL PARK–Italy*. Riomaggiore: Parco Nazionale delle Cinque Terre, 2005.

Ousterhout, Robert y Ruggles, D. Fairchild. “Encounters with Islam: The Medieval Mediterranean Experience Art, Material Culture, and Cultural Interchange”. *Gesta*, 43.2 (2004), pp. 83-85.
<https://doi.org/10.2307/25067096>

Oy, Harun. “Afyonkarahisar Orta Tunç Çağ Yerleşmeleri”. *Belleten*, 75.273 (2011), pp. 311-36.
<https://doi.org/10.37879/belleten.2011.311>

Palahí Grimal, Lluís y Nolla, Josep Maria. *Felix Turissa: la vil·la romana dels Ametllers i el seu fundus (Tossa de Mar, la Selva)*. Tarragona: Universitat Rovira i Virgili, 2010.

Papanastassiou, Dimitris. “Seismic Hazard Assessment in the Area of Mystras-Sparta, South Peloponnesus, Greece, Based on Local Seismotectonic, Seismic, Geologic Information and on Different Models of Rupture Propagation”. *Natural Hazards*, 18.3 (1998), pp. 237-251.
<https://doi.org/10.1023/A:1026464415095>

Papathanasiou, Anastasia y otros. *Neolithic Alepotrypa Cave in the Mani, Greece*. Oxford: Oxbow Books, 2018.

Pascual Barea, Joaquín. “De Coripe (Corrivium) a Sevilla (Hispal) por Utrera (Lateraria): formación y deformación de topónimos en el habla”. En: *Actas VII Jornadas de Patrimonio Histórico y Cultural de la provincia de Sevilla: Toponimia y hablas locales Sevilla*: Diputación de Sevilla, 2013, pp. 49-74.

Pascual Lindes, Pedro. *Torrox: una comunidad de pescadores que se acaba*. Tesis Doctoral. Madrid: Universidad Complutense de Madrid, 2005.

Pellicer Catalán, Manuel y Acosta, Pilar. “Prospecciones Arqueológicas en el Alto Valle del Almanzora (Almería)”, *Zephyrus*, 25 (1974), pp. 155-176.

Pelegrín García, Isabel y Matilla Séiquer, Gonzalo. “El Cerro de la Almagra y Villaricos. Sobre el poblamiento urbano y su entorno en los siglos de la Antigüedad Tardía”. *Antigüedad y cristianismo: Revista de Estudios sobre Antigüedad Tardía*, 2 (1985), p. 281-302.

Philippides, Dimitris. *Greek traditional architecture*. Vol. I. II. III. IV. V. VI. VII. VIII. Atenas: Melissa Publishing House, 1999.

Philokyprou, Maria; Michael, Aimilios y Malaktou, Eleni. "A Typological, Environmental and Socio-Cultural Study of Semi-Open Spaces in the Eastern Mediterranean Vernacular Architecture: The Case of Cyprus". *Frontiers of Architectural Research*, 10.3 (2021), pp. 483-501.

<https://doi.org/10.1016/j.foar.2021.03.001>

Pérez Jiménez, Aurelio y Cruz Andreotti, Gonzalo. *Los límites de la tierra: el espacio geográfico en las culturas mediterráneas*. Madrid: Ediciones Clásicas, 1998.

Pinnock, Frances. "Some Gublite Artifact Possibly Made at Ebla". *Varia* 89 (2012), pp. 85-100. <https://doi.org/10.4000/syria.1547>

Pizza, Antonio. *J. Ll. Sert Y El Mediterráneo = J. Ll. Sert And Mediterranean Culture*. Barcelona: Colegio Arquitectos Cataluña, 1997.

Poblador Muga, María Pilar. "El proyecto del recrecimiento del embalse de yesa y el camino de santiago a su paso por la provincia de Zaragoza. El último capítulo de un patrimonio cultural agonizante". *Artigrama: Revista del Departamento de Historia del Arte de la Universidad de Zaragoza*, 15 (2000), p. 533-542.

Polo Maragoto, Vicente. *Manual de fundamentos de filosofía*. Madrid: Tiempo, 1992.

Pons Pujol, Lluís. "El urbanismo de Volubilis: construcción de la imagen de una ciudad antigua". *Scripta Nova*, XVIII.473 (2014).

Potter, T. W. "Valleys and settlement: Some new evidence". *World Archaeology*, 8.2 (1976), pp. 207-19. <https://doi.org/10.1080/00438243.1976.9979665>

Prada Llorente, Esther Isabel. "Paisaje agrario: antropología de un territorio", *Ciudad y territorio: Estudios territoriales*, 144 (2005), pp. 343-372.

Prekić, Adnan. "Cultural-Historic Heritage of the Lake Skadar Basin". En: Pešić, Vladimir y otros. *The Skadar/Shkodra Lake Environment*. Cham: Springer International Publishing, 2018, pp. 459-79. https://doi.org/10.1007/698_2018_304

Procopiou, Eleni y Xydias, Pandélis. "L'architecture chrétienne dans la région d'Amathonte à l'époque byzantine (IVE-XIIe siècles). Recherches archéologiques 1991-2012". *Cahiers du Centre d'Études Chypriotes*, 43.1 (2013), pp. 253-74. <https://doi.org/10.3406/cchyp.2013.1066>

Puggioni, Sara. "Tumbas y territorio. Aplicaciones de métodos multivariantes para el estudio de los patrones de explotación del territorio". *Arqueología y Territorio*, 2 (2005), pp. 47-63.

Ramírez, Juan Antonio y Gómez Cedillo, Adolfo. *Historia del arte*. Madrid: Alianza Editorial, 1996.

Bibliografía.

Ramseyer, Valerie. "Cave Dwelling". En: Horden, Peregrine y Kinoshita, Sharon. *A Companion to Mediterranean History*. Vol. 20. Hoboken, NJ: John Wiley & Sons, 2014, pp. 219-233.

Rasulo, M. "Vernacular Architecture Related to the Climate in the Mediterranean Basin. A Lesson We Should Learn". En: Ural, O. y otros. *Xxx Iahs World Congress on Housing, Housing Construction: An Interdisciplinary Task*. Vols 1-3. Coimbra: Wide Dreams Projectos Multimedia Lda, 2002, pp. 177-188.

Ratzinger, Joseph. *Fe, Verdad y tolerancia: El cristianismo y las religiones del mundo: 163*. Salamanca: Ediciones Sígueme, S. A., 2005.

Raycheva, Regina. "Architecture of Residential Buildings in Bulgaria from the Revival Period". *Architecture and Urban Planning*, 6 (2012), pp.17-24.

Rediker, Marcus y Linebaugh, Peter. "The many-headed hydra: sailors, slaves, and the Atlantic working class in the eighteenth century". *Journal of Historical Sociology*, 3 (1990), pp. 225-252. <https://doi.org/10.1111/j.1467-6443.1990.tb00149.x>

RISSE, Guenter B. "Pharaoh Akhenaton of ancient Egypt: controversies among Egyptologists and physicians regarding his postulated illness". *Journal of the history of medicine and allied sciences*, 26.1 (1971), p. 3-17. <https://doi.org/10.1093/jhmas/xxvi.1.3>

Rivera Camino, Jaime. *Cómo escribir y publicar una tesis doctoral*. Madrid: ESIC, 2011.

Rodríguez Oliva, Pedro. "Sobre las esculturas ibéricas e ibero-romanas de los territorios malacitanos". *Anales de Prehistoria y Arqueología*, 17-18 (2001-2002).

Roig, Josep L. *Historia de Barcelona. Desde su fundación al siglo XXI*. Barcelona: Ayuntamiento de Barcelona, 1995.

Rosser-Owen, Mariam. "Mediterraneanism: how to incorporate Islamic art into an emerging field". *Journal of Art Historiography*, 6 (2012).

Rotroff, Susan I. "Sulla and the Pirates". *Pottery, Peoples and Places*, 16 (2014), pp. 83-109.

Ruiz-Gálvez Priego, Marisa. "El Occidente de la Península la Iberica, Punto de encuentro entre el Mediterráneo y el Atlántico a fines de la edad del Bronce". *Complutum*, 4 (1993), pp. 41-68.

Ruiz Martín, Felipe. "Fernand Braudel". *Revista de Historia Económica*, 4.1 (1986), pp. 153-65.

Ruiz Mata, Diego. “Varios aspectos sobre el vino y la bodega turdetana-púnica de la sierra de San Cristóbal, en El Puerto de Santa María (Cádiz)”. *Revista de historia de El Puerto*, 60 (2018), pp. 9-131. Obtenido en: <https://dialnet.unirioja.es/descarga/articulo/6542878.pdf> [Fecha de acceso: 16/02/2022].

Ruíz Souza, Juan Carlos. “El palacio de los Leones de la Alhambra: ¿Madrasa zawiya y tumba de Muhammad V? Estudio para un debate”. *Al-Qanṭara*, 22.1 (2001), p. 77-120. <https://doi.org/10.3989/alqantara.2001.v22.i1.227>

Ruiz Zapatero, Gonzalo y Álvarez-Sanchís, Jesús R. “¿Centros de poder? Sociedad y poblamiento en la Meseta Norte española (ca. 800-400 aC)”. *Vegueta: Anuario de la Facultad de Geografía e Historia*, 15 (2015), pp. 211-233.

Rutter, Jeremy B. “Review of Aegean Prehistory II: The Prepalatial Bronze Age of the Southern and Central Greek Mainland”. *American Journal of Archaeology*, 97.4 (1993), pp. 745-97. <https://doi.org/10.2307/506720>

Sáenz Rodríguez, Minerva. “El arte románico en el Alto Najerilla”. *Belezos: Revista de cultura popular y tradiciones de La Rioja*, 13 (2010), pp. 12-19.

Safran, Linda. *The Medieval Salento: Art and Identity in Southern Italy*. Philadelphia: University of Pennsylvania Press, 2014.

Salama, Ashraf M. “Mediterranean Visual Messages: The Conundrum of Identity, Isms, and Meaning in Contemporary Egyptian Architecture”. *Archnet-Ijar International Journal of Architectural Research*, 1 (2007), pp. 86-104.

Salama, Pierre. “Djidjelli. (Igilgili, Jijel)”. *Encyclopédie berbère*, 16 (1995), pp. 2469-2476.

Saleh, Saleh Mohamed. “Performance Evaluation of Previous Restoration Work of Doors by Metal Plates, Straps and Fixings, at Nalut Palace, Libya”. *Current Science. International*, 6 (2017), pp. 431-44.

San Martín Montilla, Concepción; López Castro, José Luis y Escoriza Mateu, Trinidad. “La colonización fenicia en el estuario del Almanzora: El asentamiento de Cabecico de Parra de Almizaraque (Cuevas del Almanzora, Almería)”. *Cuadernos de prehistoria y arqueología de la Universidad de Granada*, 12 (1987), pp. 157-69.

Sanahuja Rochera, Jaime. *El conjunto residencial: Santa Águeda (Benicàssim, Castellón). 1964-1975. MBM arquitectos*. Tesis Doctoral. Valencia: Politècnica de València, 2016.

Sánchez, Corinne y otros. “Un établissement littoral antique, l’île Saint-Martin à Gruissan (Aude)”. *Revue archéologique de Narbonnaise*, 33.1 (2000), pp. 309-349.

Bibliografía.

Sánchez Delgado, Ana Carmen y otros. “La villa de las musas (Arellano-Navarra): estudio previo”. *Trabajos de arqueología Navarra*, 11 (1993), pp. 55-100.

Sánchez Tarifa, Carlos. “Las industrias líticas de la Cueva de las Ventanas de Piñar (Granada) desde el Paleolítico Superior a la Edad del Cobre”. *Arqueología y Territorio*, 1 (2004), pp. 1-13.

Santano Moreno, Julián. “La familia del IE *teu-“hincharse” en las lenguas romances y en vasco. El sustrato indoeuropeo en la etimología romance”. *Nouvelle revue d’onomastique*, 43.1 (2004), pp. 3-60.
<https://doi.org/10.3406/onoma.2004.1463>

Saos, Thibaud y otros. “The Middle and Upper Palaeolithic at La Crouzade cave (Gruissan, Aude, France): New excavations and a chronostratigraphic framework”. *Quaternary International*, 551 (2020), pp. 85-104.
<https://doi.org/10.1016/j.quaint.2019.11.040>

Saroglou, Harry y otros. “Rockfall hazard and risk assessment: an example from a high promontory at the historical site of Monemvasia, Greece”. *Natural Hazards and Earth System Sciences*, 12.6 (2012), pp. 1823-1836. <https://doi.org/10.5194/nhess-12-1823-2012>

Sarrió Cucarella, Diego. “Carta de Ibn Taymiyya a un cruzado en Chipre”. *Collectanea christiana orientalia*, 8 (2011), pp. 109-64. <https://doi.org/10.21071/ccov8i.155>

Sbeinati, M. R.; Darawcheh, R. y Mouty, M. “The Historical Earthquakes of Syria: An Analysis of Large and Moderate Earthquakes from 1365 B.C. to 1900 A.D.” *Annals of geophysics*, 48.3 (2005), pp. 347-435. Obtenido en: <https://www.earth-prints.org/handle/2122/908> [Fecha de acceso: 04/02/2022].

Scarsella, Elena. “War and warriors in the Archaic Aterno Valley (Central-Italy)”. *World Archaeology*, 51.5 (2019), pp. 673-88. <https://doi.org/10.1080/00438243.2020.1741440>

Schleifer, Simone. *Estilo Mediterráneo = Stile Mediterraneo = Estilo Mediterrânico*. Köln: Evergreen, 2007.

Segal, Arthur. “Shivta-A Byzantine Town in the Negev Desert”, *Journal of the Society of Architectural Historians*, 44.4 (1985), pp. 317-328. <https://doi.org/10.2307/990111>

Sert, Josep Lluís. “Antología de escritos. Texto 3: La Arquitectura Popular Mediterránea (“AC” 18, 1935)”. En: Pizza, Antonio. *J. Ll. Sert Y El Mediterráneo = J. Ll. Sert And Mediterranean Culture*. Barcelona: Colegio Arquitectos Cataluña, 1997.

Sestieri, Pellegrino. “I popoli ed i centri illirici dell’antica Albania”. *Iliria*, 4.1 (1976), pp. 381-84. <https://doi.org/10.3406/iliri.1976.1198>

Shaheen, M. M. y Kamel, Faten. "Bani stand rescued from the crusaders". *Contemporary islamic studiens magazine*, 25 (2020), pp. 494-525. Obtenido en: <https://www.iasj.net/iasj/article/191737> [Fecha de acceso: 04/02/2022].

Shalev, Yiftah y Bar, Shay. "An 8th Century B.C.E. Israelite Administrative Centre at Tell el-Asawir /Tel Esur". *Zeitschrift des Deutschen Palastina-Vereins*, 133.2 (2018), pp. 123-144. Obtenido en: <http://www.jstor.org/stable/26602273> [Fecha de acceso: 04/02/2022].

Shlomo, Lotan. "Cross relationships between Cyprus and the Latin Kingdom of Jerusalem in the Teutonic Military Order Tradition". *Notandum*, 32 (2013), pp. 151-68.

Simmons, Alan H. "Humans, Island Colonization and Pleistocene Extinctions in the Mediterranean: The View from Akrotiri Aetokremnos, Cyprus". *Antiquity*, 65.249 (1991), pp. 857-69. <https://doi.org/10.1017/S0003598X00080571>

Simón García, José Luis; Segura Herrero, Gabriel y Simón Oliver, Fernando. "Casas cueva en las tierras del Corredor de Almansa y Chinchilla de Montearagón (Albacete)". En: García-Saúco Beléndez, Luis G. *Homenaje a Carmina Useros Cortés*. Albacete: Instituto de Estudios Albacetenses «Don Juan Manuel», 2018, pp. 271-300.

Smith, Christopher J. "The Aurunci and Sidicini". En: Farney, Gary D. y Bradley, Guy. *The Peoples of Ancient Italy*. De Gruyter, 2017, pp. 447-60. <https://doi.org/10.1515/9781614513001-022>

Spahiu, Hëna. "Gjurmë të murit rrethues dhe të ndërtesave të Kohës së Vonë Antike në kështjellën e Beratit / Late Antique Wall and Buildings in the Castle of Berat". *Iliria*, 35.1 (2011), pp. 55-74. <https://doi.org/10.3406/iliri.2011.1099>

Spinosa, A.; Veronese, L. y Borea, S. "Traditional techniques and materials in the Amalfi Coast: The Norman Tower in Maiori (Sicily)". En: Mileto, C. y otros. *Vernacular Architecture: Towards a Sustainable Future*. London: CRC Press, 2019. pp. 93-102.

Stathopoulou, Elizabeth; Theodoropoulou, Tatiana y Phoca-Cosmetatou, Nellie. "Black Fish Bones in Waterlogged Deposits: The Case of the Neolithic Lake Settlement of Dispilio, Greece". *Archaeofauna: International Journal of archaeozoology*, 22, 2013, p. 51-74.

Taracena Aguirre, Blas y Vázquez de Parga, Luís. "Excavaciones en Navarra". *Príncipe de Viana*, 6.19 (1945), pp. 185-206.

Tchéremissinoff, Yaramila y otros. "La sépulture collective mégalithique de Cabrials (Béziers, Hérault). Une petite allée sépulcrale enterrée du début du Néolithique final". *Préhistoires Méditerranéennes*, 3 (2012), p. 144. <https://doi.org/10.4000/pm.713>

Tepper, Yotam y otros. “Probing the Byzantine/Early Islamic Transition in the Negev: The Renewed Shivta Excavations, 2015–2016”, *Tel Aviv: Journal of the Institute of Archaeology of Tel Aviv University*, 45.1 (2018), p p. 120-152. <https://doi.org/10.1080/03344355.2018.1412058>

Theodorakopoulou, Katerina y otros. “A Geoarchaeological Approach for the Localization of the Prehistoric Harbor of Akrotiri, Thera”. En: VV.AA. (Eds), *Digital Geoarchaeology*. Springer, Cham, (2018), pp. 237-251. https://doi.org/10.1007/978-3-319-25316-9_15

Tillier, Bertrand. “Le monument aux martyrs d’Oradour-sur-Glane par Fenosa”. *Vingtième Siècle. Revue d’histoire*, 55.1 (1997), pp. 43-57. <https://doi.org/10.3406/xxs.1997.3662>

Toivari-Viitala, Jaana. “Deir el-Medina (Development)”. *UCLA Encyclopedia of Egyptology*, 1.1 (2011), pp. 1-15. Obtenido en: <https://escholarship.org/uc/item/6kt9m29r> [Fecha de acceso: 04/02/2022].

Utrilla Miranda, María del Pilar y Mazo Pérez, Carlos. “El poblamiento prehistórico del valle del río Ésera (Ribagorza, Huesca)”. *Bolskan: Revista de arqueología del Instituto de Estudios Altoaragoneses*, 11 (1994), pp. 53-68.

Vašková, Dana. “Mapping historical cellars in the town Mělník”. *International Multidisciplinary Scientific GeoConference: SGEM*, 2 (2016), pp. 405-12. Obtenido en: https://www.researchgate.net/publication/261675869_Mapping_historical_cellars_of_the_object_Zelvi_d_oupe_in_the_town_Melnik [Fecha de acceso: 16/02/2022]

Vázquez Hoys, Ana María. “Petra : la ciudad rosa del desierto (Historia y urbanismo)”. *Espacio Tiempo y Forma. Serie II, Historia Antigua*, 10 (1997), pp.253-274. <https://doi.org/10.5944/etfii.10.1997.4312>

Vega Ruiz, Ignacio. “Mardikh IIB1 y el archivo C, un hito histórico-arqueológico”. *Arqueología y Territorio*, 16 (2019), pp. 81-95.

Velaza, Javier. “Chronica epigraphica Iberica XIII (2015)”, *Palaeohispanica XIII*, 16 (2016), pp. 343-358.

Velázquez Bosco, Ricardo. *Excavaciones en Medina Azahara: Memoria sobre lo descubierto en dichas excavaciones*. Madrid: Junta Superior de Excavaciones y Antigüedades, 1923.

Verdoscia, Domenico. “L’hammam, il bar del porto, la nebbia. Storie migranti fra il nord-est tunisino e il nord-est italiano». *Lares*, 72.2 (2006), pp. 423-47.

Vernet, Joan M. “Herodes el Gran: Nova òptica històrica”. *Revista Catalana de Teologia*, 14 (1989), p. 99-110.

Vesnaver, Giovanni. “Grisignana d’Istria: notizie storiche [parte prima]”. En: VV.AA. *Actas y memorias de la Sociedad de Arqueología e Historia de la Patria de Istria*. III (3-4). 4 (1887), pp. 296-352. Obtenido en: <https://www.openstarts.units.it/handle/10077/23533?mode=full> [Fecha de acceso: 22/07/2022]

Vigne, Jean-Denis y otros. “First wave of cultivators spread to Cyprus at least 10,600 y ago”, *Proceedings of the National Academy of Sciences*, 109-22 (2012), pp. 8445-8449.

Villalba Solá, Dolores. *La senda de los almohades : arquitectura y patrimonio*. Granada: Universidad de Granada, 2015.

Villalbi Prades, María del Mar. “El patrimonio arqueológico en el Museu de les Terres de L’Ebre”. *Boletín del Museo Arqueológico Nacional*, 35 (2017), p. 1377-1385.

Viscomi, Joseph John. “On Perspective and Possibility in Mediterranean History”. *The Historical Journal*, 65.3 (2021), pp. 1-5. <https://doi.org/10.1017/S0018246X21000558>

Visús Pardo, Encarnación. “Escó, un caserío abandonado, ¿un pueblo perdido?”. *Rolde: Revista de cultura aragonesa*, 94-95 (2001).

Vives-Ferrándiz Sánchez, Jaime; Tortajada Comeche, Guillermo y Roldán García, Clodoaldo. “Un disco-coraza de hierro de la Bastida de les Alcusses (moixent, valencia)”. *Gladius*, 37 (2017), pp. 53-68. <https://doi.org/10.3989/gladius.2017.02>

Watfa, Shadi. “Chalcolithic settlement patterns in syria”. *Arqueología y Territorio*, 12 (2015), pp. 13-48.

Wilson, Moira A. y otros. “Rehydroxylation (RHx) dating of archaeological pottery”. *Proceedings of the Royal Society A: Mathematical, Physical and Engineering Sciences*, 468.2147 (2012), pp. 3476-3493. <https://doi.org/10.1098/rspa.2012.0109>

Winter, Irene J. “North Syrian Ivories and Tell Halaf Reliefs: The Impact of Luxury Goods upon ‘Major’ Arts”. *On Art in the Ancient Near East: Chicago*, 1 (1989), p. 321-337. <https://doi.org/10.1163/ej.9789004172371.i-640.47>

Wittek, Paul. “The Castle of Violets: From Greek Monemvasia to Turkish Menekshe”. *Bulletin of the School of Oriental and African Studies*, 20.1 (1957), pp. 601-13. <https://doi.org/10.1017/S0041977X00062170>

Wright, G. R. H. *Ancient Building Technology*. Vol. 1, 2, 3. Leiden: Brill, 2000.

Bibliografía.

Zampilli, Michele y Magazzù, Michele. “Borghi abbandonati della Tuscia: una proposta di metodo per riconoscere i caratteri identitari da conservare e restituire”. *ArcHistoR*, 7 (2020), pp. 870-893. <https://doi.org/10.14633/AHR248>

Zangger, Eberhard. “Landscape Changes around Tiryns during the Bronze Age”. *American Journal of Archaeology*, 98.2 (1994), pp. 189-212. <https://doi.org/10.2307/506635>

Zayas Fernández, María Belén. “Evolución de la tipología arquitectónica y caracterización paisajística de los grandes equipamientos urbanos”. *Baetica*, 34 (2012), pp. 103-125. <https://doi.org/10.24310/BAETICA.2012.v0i34.78>

Биксио, Р. у Паскале А. Де. “Underground settlements in anatolia: synthesis of 25 years of researches”. En: VIII International Scientific Conference ‘*Speleology and Speleostology*’, *Naberezhnye Chelny State Pedagogical University (NGPU)*, Naberezhnye Chelny, 8 (2017), pp. 117-129.

7 Anejos.

7.1. Índice de poblaciones.

Pobl. 1. Calatañazor, España.....	58
Pobl. 2. Casares, España.....	58
Pobl. 3. Hornos de Segura, España.....	58
Pobl. 4. Gratallops, España.....	58
Pobl. 5. Guadalest, España.....	58
Pobl. 6. Roda de Isábena, España.....	58
Pobl. 7. Campo López, España.....	58
Pobl. 8. Zuheros, España.....	58
Pobl. 9. Marvão, Portugal.....	58
Pobl. 10. Nocario, Francia.....	64
Pobl. 11. Saint Julien d'Arpaon, Francia.....	64
Pobl. 12. Castelnou, Francia.....	64
Pobl. 13. Le Barroux, Francia.....	64
Pobl. 14. Saint Montan, Francia.....	64
Pobl. 15. Arrone, Italia.....	64
Pobl. 16. Campodimele, Italia.....	64
Pobl. 17. Castel del Monte, Italia.....	64
Pobl. 18. Civita di Bagnoregio, Italia.....	64
Pobl. 19. Montefabbri, Italia.....	65
Pobl. 20. Parodi Ligure, Italia.....	65
Pobl. 21. Pietrapertosa, Italia.....	65
Pobl. 22. Fterra, Albania.....	65
Pobl. 23. Qeparo, Albania.....	65
Pobl. 24. Motovun, Croacia.....	65
Pobl. 25. Hum, Croacia.....	65
Pobl. 26. Avgonyma, Grecia.....	65
Pobl. 27. Vathia, Grecia.....	65
Pobl. 28. Aït El-Kaïd, Argelia.....	73
Pobl. 29. Kikla, Libia.....	73
Pobl. 30. Chenini, Túnez.....	73
Pobl. 31. Dana, Jordania.....	73
Pobl. 32. Ras Karkar, Autoridad Palestina.....	73
Pobl. 33. Khawabi, Siria.....	73
Pobl. 34. Hec Hesena, Siria.....	73

Pobl. 35. Ziama Mansouriah, Argelia.....	78
Pobl. 36. Tossa de Mar, España.....	78
Pobl. 37. Villaricos, España.	78
Pobl. 38. Gruissan, Francia.....	78
Pobl. 39. Hydra, Grecia.	78
Pobl. 40. Lindos en Rodas, Grecia.	78
Pobl. 41. Kastro-Monemvasía, Grecia.....	78
Pobl. 42. Vernazza, Italia.	78
Pobl. 43. Sveti Stefan. Montenegro	78
Pobl. 44. Bodrum, Turquía.	78
Pobl. 45. Berat, Albania.	84
Pobl. 46. Alcalá del Júcar, España.....	84
Pobl. 47. Miravet, España.....	84
Pobl. 48. Béziers, Francia.	84
Pobl. 49. Malcesine, Italia.	84
Pobl. 50. Ain Aicha. Marruecos.	84
Pobl. 51. Virpazar. Montenegro.	84
Pobl. 52. Shaizar, Siria.	84
Pobl. 53. Hasankeyf, Turquía.	84
Pobl. 54. Grožnjan, Croacia.	90
Pobl. 55. Sultantepe, Turquía.	90
Pobl. 56. Fermoselle, España.	90
Pobl. 57. Jardas al Abid, Libia.	90
Pobl. 58. Tujane, Túnez.....	90
Pobl. 59. Yarpuz Köyü, Turquía.....	90
Pobl. 60. Arbolí, España.....	90
Pobl. 61. Barolo, Italia.....	90
Pobl. 62. Rachaiya, Líbano.....	90
Pobl. 63. Melnik, Bulgaria	91
Pobl. 64. Viniegra de Abajo, España	91
Pobl. 65. Caykışla (Çaykışla). Turquía.....	91
Pobl. 66. Ait Ou L'hadj, Argelia.	91
Pobl. 67. Tell Mardikh, Siria.	91
Pobl. 68. Montieri, Italia.....	91
Pobl. 69. Nagaa Ad Dukat - El-Boghdady, Egipto.....	91
Pobl. 70. Koilani, Chipre.....	91
Pobl. 71. Medjez Amad, Argelia.	91
Pobl. 72. Kojsko, Eslovenia.	105

Pobl. 73. Klis, Croacia.....	105
Pobl. 74. Lucainena de las Torres, España.....	105
Pobl. 75. Viviers, Francia.....	105
Pobl. 76. Caprarola, Italia.....	105
Pobl. 77. Dozza, Italia.....	105
Pobl. 78. Amioun, Líbano.....	105
Pobl. 79. Zaghouan, Túnez.....	105
Pobl. 80. Aguerd N'ouzrou, Marruecos.....	105
Pobl. 81. La Bastida de les Alcusses, España.....	111
Pobl. 82. La Moleta del Remei, España.....	111
Pobl. 83. Cesarea, Israel.....	114
Pobl. 84. Shivta, Israel.....	114
Pobl. 85. Gabaón (Nabi Samwil), Israel.....	114
Pobl. 86. Maresha (Beit Guvrin), Israel.....	114
Pobl. 87. Megido, Israel.....	114
Pobl. 88. Masada, Israel.....	114
Pobl. 89. Jericó (Tell es-Sultan), Palestina.....	114
Pobl. 90. Tel Esur (Tell el-Asāwir), Israel.....	114
Pobl. 91. Mystras, Grecia.....	125
Pobl. 92. Tirinto, Grecia.....	125
Pobl. 93. Craco, Italia.....	125
Pobl. 94. Esco, España.....	125
Pobl. 95. Zibra El-Alya, Túnez.....	125
Pobl. 96. Shali (Siwa), Egipto.....	125
Pobl. 97. Nalut, Libia.....	125
Pobl. 98. As Sala', Jordania.....	125
Pobl. 99. Karmilissos (Livissi / Kayaköy), Turquía.....	125
Pobl. 100. Medina Azahara, España.....	129
Pobl. 101. Herculano, Italia.....	129
Pobl. 102. Delos, Grecia.....	129
Pobl. 103. Deir el-Medina (Kahun), Egipto.....	129
Pobl. 104. Mosqueruela de la Estrella, España.....	129
Pobl. 105. Melengübü (Derinkuyu), Turquía.....	129
Pobl. 106. Ghat, Libia.....	129
Pobl. 107. Oradour-sur-Glane, Francia.....	129
Pobl. 108. Alejandría, Egipto.....	134
Pobl. 109. Argel, Argelia.....	134
Pobl. 110. Barcelona, España.....	134

Pobl. 111. Nápoles, Italia	134
Pobl. 112. Beirut, Líbano.	134
Pobl. 113. Trípoli, Libia.	134
Pobl. 114. Estambul, Turquía	135
Pobl. 115. Izmir, Turquía.	135
Pobl. 116. Valle Camonica, Italia. Mapa de Bedolina, 3.000-200 a.C.	148
Pobl. 117. Asentamiento Choirokoitia (Khirokitia) en Chipre, 10.000 - 9.000 a.C.	148
Pobl. 118. Asentamiento Los Millares en España, 4.000 - 3.000 a.C.	148
Pobl. 119. Asentamiento Lepenski Vir en Serbia, 10.000 - 5.500 a.C.	149
Pobl. 120. Asentamiento Nissi Dispilió en Grecia, 6.000 - 1.200 a.C.	149
Pobl. 121. Asentamiento de Matera en Italia, 6.000 -800 a. C.	149
Pobl. 122. Ciudad de Ebla en Siria, 3.000 - 1600 a.C.	155
Pobl. 123. Ciudad de Byblos en Líbano, 3.2000 – 340 a.C.	156
Pobl. 124.. Restos de Akrotiri en Grecia, II milenio a. C. – 1620 a. C.	156
Pobl. 125. Cnossos, Grecia. Palacio minoico de Cnosos, 2.000 – 1.500 a.C.	157
Pobl. 126. Aten (Tell el-Amarna), Egipto.	158
Pobl. 127. Malqata, Egipto. Palacio Real. 1390-1352 a.C.	158
Pobl. 128. Deir el-Medina (Kahun) en Luxor. 1506-1493 a.C.	158
Pobl. 129. Tel Halaf, Siria. Palacio en Tel Halaf, 900 - 808 a.C.. P: Rey Kapara.	159
Pobl. 130. Caere (Cerveteri), Italia. Necrópolis Banditaccia, siglo XI a. C.	160
Pobl. 131. Vulci, Italia. Casa del Criptoportico, siglos VII - III a. C.	160
Pobl. 132. Asentamiento de Edeta en España., siglos X-V a. C.	160
Pobl. 133. Caserío Castellet Bernarbé en España, siglos V – III a. C.	160
Pobl. 134 Delos en Grecia, año 88 a.C.	161
Pobl. 135. Pompeya en Italia, año 89 a. C.	161
Pobl. 136. Roma en Italia. Palatium. Domus Augustana en Roma, años 95-72 a.C.	162
Pobl. 137. Tívoli en Italia. Villa Adriana, siglo II d. C.	162
Pobl. 138. Split en Croacia.	162
Pobl. 139. Constantinopla (Estambul) en Turquía.	170
Pobl. 140. Asentamiento de Shivta en Israel. Casa bizantina, Siglo VII d. C.	170
Pobl. 141. Palacio Qasr al-Hayr al-Sharqi en Siria, año 729 d. C / siglo VIII d. C.	170
Pobl. 142. Aachen en Alemania. Conjunto Palatino de Aguisgran, año 804 d. C.	171
Pobl. 143. Samarra en Irak. Palacio de Balkuwara, año 850-860 d.C /S. IX d. C.	171
Pobl. 144. Ciudad de Medina Azahara en España año	172
Pobl. 145. Patio de crucero del Palacio Almohade (Casa de la Contratación) en Sevilla, España.	172
Pobl. 146. Houadan en Francia. Castillo defensivo y vivienda Donjon, años 1120-1137 d. C.	173
Pobl. 147. Estella en España. Palacio de los Duques de Granada de Ega, siglo XII d. C.	173
Pobl. 148. Florencia en Italia. Palazzo della Parte Guelfa, siglo XIV d. C.	173

Pobl. 149. Kiwla en Tanzania. Palacio Husuni Kubwa, siglo XIV d. C.....	173
Pobl. 150. Alhambra de Granada, España. Palacio de los leones, siglo XIV d. C.....	174
Pobl. 151. Guajalajara en España. Palacio del Infantado, años 1480-1483 d. C.	174
Pobl. 152. Venecia en Italia. Interior del Cad d'Oro, siglo XV d. C.	175
Pobl. 153. Chambord en Francia. Palacio de Chambord, años 1519 – 1539 d. C.	181
Pobl. 154. Poggio a Caiano en Italia. Villa Medici, año 1520 d. C.	181
Pobl. 155. Alhambra de Granada, España. Palacio de Carlos V, años 1527 - 1563.	181
Pobl. 156. Urbino en Italia. Palacio Ducal de Federico da Montefeltro, años 1459 – 1631 d. C.	181
Pobl. 157. Ciudad del Vaticano en Vaticano. Casina de Pío IV, año 1558 d. C.	181
Pobl. 158. Roma, Italia.	182
Pobl. 159. Maser en Italia. Villa Barbaro, años 1560-1570 d. C.	182
Pobl. 160. Edirne en Turquía. Medical Complex of Beyazit II, años 1481-1512 d. C.	182
Pobl. 161. Versalles en Francia. Palacio de Versalles, años 1632 – 1636 d. C. / 1678-1715 d. C.	182
Pobl. 162. Salamanca, España. Viviendas en la Plaza Mayor, años 1729-1756 d. C.	182
Pobl. 163. Versalles en Francia. Palacio Petit Trianon, años 1762-1768 d. C.....	183
Pobl. 164. Bénouville en Francia. Palacio del Marqués de Livry, 1770 – 1780 d. C..	183
Pobl. 165. Chaux en Francia. Vivienda en el Cruce de cuatro caminos para la Ciudad ideal.	183
Pobl. 166. Londres en Inglaterra. Barriada Cumberland Terrace, años 1826 d. C.	188
Pobl. 167. Berlín en Alemania. Nuevo Pavellón en el Palacio de Charlottenburg, años 1824-25 d. C.	188
Pobl. 168. Londres en Inglaterra. Casa de Sir John Soane Museum, años 1792 – 1825 d. C.....	188
Pobl. 169. París en Francia. Casa Coignet, año 1853 d. C.	189
Pobl. 170. Nueva York en Estado Unidos (USA). Park Row Building, años 1896-1899 d. C.....	189
Pobl. 171. Bruselas en Países Bajos. Casa Tassel, años 1892-1893 d. C..	189
Pobl. 172. Barcelona en España. Casa Batlló, años 1904-1906 d. C.....	190
Pobl. 173. Bruselas en Bélgica. Palacio Stoclet, años 1905-1911 d. C..	190
Pobl. 174. Viena en Austria. Casa Steiner, año 1910 d. C.....	190
Pobl. 175. Utrech en Países Bajos. Casa Schröder, años 1924 – 1925. D. C.....	191
Pobl. 176. México en México.....	191
Pobl. 177. Oporto en Portugal. House Cinema de Manuel Oliver, año 2003.	192
Pobl. 178. Sevilla en España. Casa en la calle San Fernando, año 1972.	193
Pobl. 179. Ausejo, España.	201
Pobl. 180. Bernalúa, Guadix.	201
Pobl. 181. Baltanás, España.....	201
Pobl. 182. San Miguel de las Salinas, España.	201
Pobl. 183. Terque, España.	201
Pobl. 184. Bardallur, España.	201
Pobl. 185. Módica, Italia.	204
Pobl. 186. Sassi di Matera, Italia.	204

Anejos.

Pobl. 187. Matmata, Túnez.....	204
Pobl. 188. Oia, Thira. Santonrini, Grecia.	204
Pobl. 189. Tamezret, Túnez.....	205
Pobl. 190. Chenini, Túnez.	205
Pobl. 191. Bhalil, Marruecos.....	205
Pobl. 192. As Sanad, Túnez.....	205
Pobl. 193. Mustafapasa, Turquía.	205
Pobl. 194. Maalula, Siria.	205
Pobl. 195. Alcalá del Júcar.	210
Pobl. 196. Bocairent, España.....	210
Pobl. 197. Chinchilla de Montearagón, España.....	210
Pobl. 198. Setenil de las Bodegas, España.	210
Pobl. 199. Guadix, España.	211
Pobl. 200. Purullena, España.	211
Pobl. 201. Cuevas de Calguerín de Cuevas de Almanzora, España.	211
Pobl. 202. Chiclana de Segura, España.	211
Pobl. 203. Saint-Rémy-sur-Creuse, Francia.	214
Pobl. 204. Brantôme, Francia.	214
Pobl. 205. Rocamadour, Francia.	214
Pobl. 206. Souzay-Champigny, Francia.	214
Pobl. 207. Turquant, Francia	214
Pobl. 208. Civita di Bagnoregio, Italia.	215
Pobl. 209. Sperlinga, Italia.	215
Pobl. 210. Meteora, Grecia.....	215
Pobl. 211. Mesa Gialos, Grecia.	215
Pobl. 212. Petra, Jordania.	215
Pobl. 213. Kikla, Libia.	215
Pobl. 214. Uçhisar, Turquía.....	216
Pobl. 215. Çavuşin, Turquía.....	216
Pobl. 216. Güzelyurt (Gelveri), Turquía.....	216
Pobl. 217. Paterna, España.	221
Pobl. 218. Guadix, España.	221
Pobl. 219. Louresse-Rochemenier, Francia.	221
Pobl. 220. Matera, Italia.	221
Pobl. 221. Gharyan, Libia.....	221
Pobl. 222. Matmata, Túnez.....	221
Pobl. 223. Puigcerdà, España.	229
Pobl. 224. Valderrobles, España.....	229

Pobl. 225. Lanas, Francia.	229
Pobl. 226. Alleghe, Italia.	229
Pobl. 227. Peschiera del Garda, Italia.	229
Pobl. 228. Orta San Giulio, Italia.	229
Pobl. 229. Varenna, Italia.	229
Pobl. 230. Fužine, Croacia.	229
Pobl. 231. Topli Do, Serbia.	229
Pobl. 232. Ourtzarh, Marruecos.	229
Pobl. 233. Shellal, Egipto.	229
Pobl. 234. Amasya, Turquía.	229
Pobl. 235. Symi, Grecia.	233
Pobl. 236. Órmos Ammoúdi, Grecia.	233
Pobl. 237. Aeropoli (Limeni), Grecia.	233
Pobl. 238. Assos, Grecia.	233
Pobl. 239. Kastelorizo, Grecia.	233
Pobl. 240. Klima, Grecia.	233
Pobl. 241. Tusa, Italia.	237
Pobl. 242. Riomaggiore, Italia.	237
Pobl. 243. Numana, Italia.	237
Pobl. 244. Talamone, Italia.	237
Pobl. 245. Tabarca, España.	239
Pobl. 246. Cadaqués, España.	239
Pobl. 247. Sa Tuna, España.	239
Pobl. 248. Turanj, Croacia.	239
Pobl. 249. Saint-Tropez, Francia.	239
Pobl. 250. Cassis, Francia.	239
Pobl. 251. Ras al-Bassit, Siria.	240
Pobl. 252. Taguermess, Túnez.	240
Pobl. 253. Akyaka, Turquía.	240
Pobl. 254. Kilitbahir, Turquía.	240
Pobl. 255. Ziama Mansouriah, Argelia.	240
Pobl. 256. Susah, Libia.	240
Pobl. 257. Orbaneja del Castillo, España.	244
Pobl. 258. Villajoyosa, España.	244
Pobl. 259. Cassis, Francia.	244
Pobl. 260. Gruissan, Francia.	244
Pobl. 261. Saint-Tropez, Francia.	244
Pobl. 262. Kastelorizo, Grecia.	244

Anejos.

Pobl. 263. Peschiera di Garda, Italia.	245
Pobl. 264. Alleghe, Italia.	245
Pobl. 265. Como, Italia.	245
Pobl. 266. Orta San Giulio, Novara. Italia.	245
Pobl. 267. Venecia, Italia.	245
Pobl. 268. Gerolimenas, Grecia.	245
Pobl. 269. Parga, Grecia.	246
Pobl. 270. Asos, Grecia.	246
Pobl. 271. La Valeta, Malta.	246
Pobl. 272. Perast, Kotor, Montenegro.	246
Pobl. 273. Turanj, Croacia.	246
Pobl. 274. Máribor, Eslovenia.	246
Pobl. 275. Byblos, Líbano.	251
Pobl. 276. Tiro, Líbano.	251
Pobl. 277. Latakia, Siria.	251
Pobl. 278. Abu Sir, Egipto.	251
Pobl. 279. Ziana Mansouriah, Argelia.	251
Pobl. 280. Izbát Al Burj. Egipto.	251
Pobl. 281. Chulilla, España.	254
Pobl. 282. Siurana, España.	254
Pobl. 283. Cuenca, España.	254
Pobl. 284. Miravet, España.	254
Pobl. 285. Cádiz, España.	254
Pobl. 286. Albalatillo, España.	254
Pobl. 287. Polignano a Mare, Italia.	257
Pobl. 288. Kastro-Monemvasia, Grecia.	257
Pobl. 289. Gruissan, Francia.	257
Pobl. 290. Oia, Thira. Santorini, Grecia.	257
Pobl. 291. Pieve di Tremosine, Italia.	257
Pobl. 292. La Roque-Gageac, Francia.	257
Pobl. 293. Villeneuve-sur-Lot, Francia.	258
Pobl. 294. Veliko Tárnovo, Bulgaria.	258
Pobl. 295. Škofja Loka, Eslovenia.	258
Pobl. 296. Mostar, Bosnia y Herzegovina.	258
Pobl. 297. Chiusa, Italia.	258
Pobl. 298. Lovech, Bulgaria.	258
Pobl. 299. Tryavna, Bulgaria.	258
Pobl. 300. Trebinje, Bosnia y Herzegovina.	258

Pobl. 301. Armant, Egipto.	262
Pobl. 302. Constantina, Argelia.	262
Pobl. 303. Ziama Mansouriah, Argelia.	262
Pobl. 304. Avanos, Turquía.	262
Pobl. 305. Hammamet, Túnez.	262
Pobl. 306. Acre, Israel.	262
Pobl. 307. Elciego, España. RM 6/50. Bodegas de los Herederos del Marqués de Riscal.	266
Pobl. 308. Gouvinhas, Portugal. RM 8/50. Bodega Quinta do Castro.	266
Pobl. 309. Bargino, Italia. RM 9/50. Bodega Antinori nel Chianti Classico.	266
Pobl. 310. Jerez de la Frontera, España. RM 18/50. Bodegas González Byass. Bodega Tío Pepe.	267
Pobl. 311. Alba, Italia. RM 21/50. Bodega Ceretto.	267
Pobl. 312. Barbaresco, Italia. RM 36/50. Bodega Gaja.	267
Pobl. 313. Finikia, Thira. Grecia. RM 37/50. Bodega Domaine Sigalas.	268
Pobl. 314. Mtein, Líbano. RM 38/50. Bodega Chateau Oumsiyat.	268
Pobl. 315. Harsovo, Bulgaria. RM 39/50. Bodega Villa Melnik.	268
Pobl. 316. Briones, España. RM 41/50. Bodegas Vivanco.	269
Pobl. 317. Pacs del Penedès, España. RM 42/50. Bodega Familia Torres.	269
Pobl. 318. Qob Elias, Líbano. RM 48/50. Bodega Château Heritage.	270
Pobl. 319. Pinhão, Portugal. RM 49/50. Bodega Quinta do Noval.	270
Pobl. 320. Cuevas de Provanco, España. Bodegas excavadas.	275
Pobl. 321. Fermoselle, España. Bodegas excavadas.	275
Pobl. 322. Tomelloso, España. Bodegas excavadas.	275
Pobl. 323. Argolis. Grecia. Gruta de Franchthi con fósil de vitis vinífera, año 12.000 a.C.	279
Pobl. 324. Ebla, Siria. Tablillas con descripción de cultivos de viñas, año 2,300 a. C.	279
Pobl. 325. Cerca de Heraklion, Grecia. Bodega en villa de Vathypetro, años 1580 a.C.- 1550 a.C.	279
Pobl. 326. Cádiz. España. Bodega fenicia Doña Blanca, siglos VIII-III a.C.	280
Pobl. 327. Marea (Alejandría), Egipto. Prensa antigua de vino, siglos 550 a.C – 640 d.C.	280
Pobl. 328. Jezreel (Yizre'el), Israel. Bodega de vino, siglos I a. C.	280
Pobl. 329. Bodega de vino en Monasterio Khirbat Shuwayka, Territorios palestinos.	280
Pobl. 330. Los Villaricos, España. Villa romana de Los Villaricos, siglos I - VII d. C.	281
Pobl. 331. Pompeya, Italia. Villa de los Misterios, siglo II a.C.- año 79 d.C.	281
Pobl. 332. Boscoreale, Italia. Villa Regina en Boscoreale, siglo I a.C - año 79 d. C.	281
Pobl. 333. Arellano, España. Villa de las Musas, siglos I y III d. C.	282
Pobl. 334. Ramla (Yavne), Israel. Bodegas de vino, siglos VI –VII d.C.	282
Pobl. 335. San't Ambrogio di Valpolicella, Italia. Bodega Tommasi (Prunea). 1902 – ? d. C.	283
Pobl. 336. Ocón, España. Bodega Casa la Rad, década de 1960 d. C.	283
Pobl. 337. Úbeda, España. Bodega de la Sinagoga del agua, siglo XIV d. C.	283

7.2. Índice de imágenes.

Img. 1. Alzado del río Guadalquivir.....	62
Img. 2. Ortofotografía de Hornos del Segura, España. Año 1977-1983.....	63
Img. 3. Ortofotografía de Hornos del Segura, España. Año 2021.....	63
Img. 4. Hornos de Segura. España.....	71
Img. 5. Lourmarín. Francia.....	71
Img. 6. Tell Mardikh (arriba) y Ebla (abajo), Siria.....	100
Img. 7. Pila de basalto, Ebla. (h. 1900 AC). Museo de Damasco, Siria.....	101
Img. 8. Fuente de mármol de Macael, Alhambra, Granada. (1.370 DC). España.....	101
Img. 9. Palacio meridional en Ebla, Siria.....	102
Img. 10. Palacio de los leones en la Alhambra en Granada, España.....	102
Img. 11. Vivienda en Fermoselle, España.....	104
Img. 12. Bodega de vivienda conocida como Sinagoga en Fermoselle, España.....	104
Img. 13. Polopos. España.....	109
Img. 14. Sorbas, España.....	109
Img. 15. Lucainena de las Torres, España.....	109
Img. 16. Recreación de La Bastida de les Alcusses, España.....	111
Img. 17. Reconstrucción de La Moleta del Remei, España.....	111
Img. 18. La Moleta del Remei, España.....	113
Img. 19. Dozza, Italia (Pobl. 77).....	113
Img. 20. Maresha (Beit Guvrin), Israel.....	114
Img. 21. Maresha (Beit Guvrin), Israel.....	119
Img. 22. Maresha (Beit Guvrin), Israel.....	119
Img. 23. Souzay-Champigny, Francia.....	119
Img. 24. Guadix, España.....	119
Img. 25. Baelo Claudia. España.....	120
Img. 26. Tipaza, Argelia.....	120
Img. 27. Cesarea, Israel.....	120
Img. 28. Tipaza, Argelia.....	121
Img. 29. Tipaza, Argelia.....	121
Img. 30. Tipaza, Argelia.....	121
Img. 31. Palacio de Herodes en Cesarea, Israel.....	122
Img. 32. Masada, Israel.....	122
Img. 33. Recreación del Palacio de Herodes en Cesarea.....	122
Img. 34. Recreación del Palacio de Herodes en Masada.....	122

Img. 35. Palacios de Herodes en Herodian, Israel.	124
Img. 36. Palacio III de Herodes en Jericó, Palestina.	124
Img. 37. Palacio de Hisham en Jericó.	124
Img. 38. Recreación de los palacios de Herodes de Herodia.	124
Img. 39. Recreación del Palacio III de Herodes en Jericó.	124
Img. 40. Reconstrucción del Palacio de Hisham de Jericó.	124
Img. 41. Escó, España.	128
Img. 42. Karmilissos (Livissi / Kayaköy), Turquía.	128
Img. 43. Melengübü (Derinkuyu), Turquía.	129
Img. 44. Alejandría, Egipto. Año 1875.	138
Img. 45. Alejandría, Egipto. Año 1882.	138
Img. 46. Argel, Argelia. Año 1900.	138
Img. 47. Argel, Argelia. Año 1900.	138
Img. 48. Barcelona, España. Año 1900.	139
Img. 49. Barcelona, España. Año 1860.	139
Img. 50. Nápoles, Italia. Año 1900.	139
Img. 51. Nápoles, Italia. Año 1900.	139
Img. 52. Beirut, Líbano. Año 1900.	140
Img. 53. Beirut, Líbano. Año 1900.	140
Img. 54. Trípoli, Libia. Año 1904.	140
Img. 55. Trípoli, Libia. Año 1911-1912.	140
Img. 56. Estambul, Turquía. Año 1900.	141
Img. 57. Estambul, Turquía. Año 1900.	141
Img. 58. Izmir, Turquía. Año 1890.	141
Img. 59. Izmir, Turquía. Año 1890.	141
Img. 60. Edificio del barrio de Azarita en Alejandría, Egipto. Año 2019.	145
Img. 61. Edificio del barrio de Azarita en Alejandría, Egipto.	145
Img. 62. Representación de cabañas y palafitos en el Mapa de Bedolina en Valle Camonica, Italia.	148
Img. 63. Recreación de Chirokoitia (Khirokitia).	148
Img. 64. Recreación de Los Millares.	148
Img. 65. Recreación de vivienda tipo de Lepenski Vir.	149
Img. 66. Recreación de Dispilió.	149
Img. 67. Interior cueva. Matera.	149
Img. 68. Recreación cueva de Piñar, España.	152
Img. 69. Cuevas de Almanzora, Almería.	152
Img. 70. Ebla, Siria. Palacio Septentrional, 2.000 – 1.600 AC.	155
Img. 71. Interior de la ciudad de Ebla, 3.000 - 1600 a.C.	155
Img. 72. Recreación de la habitación n.5 de la Casa Oeste con el detalle de Pintura mural, Akrotiri.	156

Img. 73. Akrotiri en Grecia. Pintura mural de la habitación n.5 de la Casa Oeste.	156
Img. 74. Reconstrucción del Palacio de Cnosos.	157
Img. 75. Interior del Palacio de Cnosos.	157
Img. 76. Interior de la Sala del Trono en el Palacio de Cnosos.	157
Img. 77. Reconstrucción del Palacio Norte de Aten.	158
Img. 78. Reconstrucción del Palacio Real de Malqata.	158
Img. 79. Aten (Tell el-Amarna) en Egipto. Casa de Panehsy, aprox. 1369 a.C..	158
Img. 80. Reconstrucción del Palacio en Tell Halaf.	159
Img. 81. Palacio en Tell Halaf tras la excavación.	159
Img. 82. Tumba de los Capiteles: casa excavada en la Necrópolis Banditaccia.	160
Img. 83. Recreación de la casa del Cirtoportico.	160
Img. 84. Casa de Hermes en Delos en Grecia, años 130 a 88 a. C.	161
Img. 85. Casa de los Vetti en Pompeya, Italia.	161
Img. 86. Reconstrucción de Pompeya, Italia.	161
Img. 87. Casa de los Vetti en Pompeya, año79 d.C.	161
Img. 88. Palatium. Domus Augustana en Roma.	162
Img. 89. Detalle de Pintura mural en Akrotiri	168
Img. 90. Adra, España. Barrio pesquero.	168
Img. 91. Anavatos, Grecia.	169
Img. 92. Istinic, Kosovo. Kula fortificado.	169
Img. 93. San Gimignano, Italia.	169
Img. 94. Biel, España.	169
Img. 95. Vathia, Grecia.	169
Img. 96. Lechonia, Grecia.	169
Img. 97. Reconstrucción de la fachada decorada del Palacio de Qasr al-Garbi.	170
Img. 98. Reconstrucción del Conjunto Palatino de Aquisgran.	171
Img. 99. Reconstrucción del Palacio de Balkuwara.	171
Img. 100. Reconstrucción del Salón rico del Palacio de Abderramán III en Medina Azahara.	172
Img. 101. Reconstrucción del patio y jardín del palacio Almohade original.	172
Img. 102. Patio del Palacio de los leones en la Alhambra, años 1377-1390 d. C.	174
Img. 103. Patio del Palacio del Infantado.	174
Img. 104. Fachada de Cad d'Oro.	175
Img. 105. Palacio de la Aljafería en Zaragoza. España.	180
Img. 106. Palacio del Infantado en Guadalajara, España.	180
Img. 107. Palacio de los leones de la Alhambra en Granada, España.	180
Img. 108. Interior del Palacio de Chambord.	181
Img. 109. Complex of Beyazit II.	182
Img. 110. Recreación de la vivienda de la Ciudad ideal en Lons le Saunier, Francia.	183

Img. 111. Bénouville en Francia. Palacio del Marqués de Livry, 1770 – 1780 d. C.	187
Img. 112. Recreación de la vivienda de la Ciudad ideal en Lons le Saunier, Francia.	187
Img. 113. Interior de la casa de Sir John Soane.	188
Img. 114. Interior de la Casa Tassel.	189
Img. 115. Interior de la Casa.	190
Img. 116. Reconstrucción de la Casa Schröder.	191
Img. 117. Interior de la casa estudio de Luis Barragán.	191
Img. 118. Rehabilitación para posada del Monasterio de Santa María do Bouro.	192
Img. 119. Casa en Quinta do Lado. Arquitecto: Eduardo Souto de Mora.	192
Img. 120. Sevilla en España. Casa en la calle San Fernando, año 1972.	193
Img. 121. Reconstrucción del Salón Rico en Medina Azahara. Arquitecto: Rafael Manzano Martos	193
Img. 122. Casa en la calle San José en Sevilla, año 1993. Arquitecto: Rafael Manzano Martos	193
Img. 123. Reconstrucción del Salón Rico en Medina Azahara.	193
Img. 124. Topli Do, Serbia. Casa Najde Jandrić.	197
Img. 125. Utrecht, Países Bajos.	198
Img. 126. Utrecht, Países Bajos.	198
Img. 127. Granada, España.	198
Img. 128. Granada, España.	198
Img. 129. Oum el Awamid (Amrit), Siria.	200
Img. 130. Casa con el embarcadero en primer plano en Cerro del Villar, España.	200
Img. 131. Laguardia, Álava, España.	208
Img. 132. Tamezret, Túnez.	208
Img. 133. Laguardia. Bodega Carlos San Pedro.	209
Img. 134. Tamezret. L'Auberge De Tamezret.	209
Img. 135. Madrid en España. Vivienda Rascañeros, año 1972.	220
Img. 136. Matera en Italia. Hotel & SPA de lujo Aquatio Cave, año 2018.	220
Img. 137. Souzay-Champigny, Francia.	220
Img. 138. Orvieto en Italia. Pozo de San Patricio.	224
Img. 139. Orvieto, en Italia. Túneles y aljibes de la ciudad subterránea del subsuelo de Orvieto.	224
Img. 140. Alejandría en Egipto. Catacumbas de Kom el Shogafa.	224
Img. 141. Belgrado en Serbia. “Pozo romano” de la fortaleza de Kalemegdan.	224
Img. 142. Guadix en Granada. España.	225
Img. 143 Santa Fé en Granada. España.	225
Img. 144. Chiclana de Segura, España. (Pobl. 202)	228
Img. 145. Adra, España. Barrio pesquero.	228
Img. 146. Cádiz en España. Las torres vigías.	228
Img. 147. Xauen (Chef Chaouen) en Marruecos, año 1924.	228
Img. 148. Xauen (Chef Chaouen) en Marruecos, año 2008.	228

Anejos.

Img. 149. Chiclana de Segura, España. (Pobl. 202)	236
Img. 150. Adra, España. Barrio pesquero.....	236
Img. 151. Cádiz en España. Las torres vigías.....	236
Img. 152. Aeropoli (Limeni), Laconia. Grecia.....	236
Img. 153. Aeropoli (Limeni), Laconia. Grecia.....	236
Img. 154. RM 6/50. Bodegas de los Herederos del Marqués de Riscal.....	266
Img. 155. RM 8/50. Bodega Quinta do Castro.	266
Img. 156. RM 9/50. Bodega Antinori nel Chianti Classico.....	266
Img. 157. RM 18/50. Bodegas González Byass. Bodega Tío Pepe.	267
Img. 158. RM 21/50. Bodega Ceretto.	267
Img. 159. RM 36/50. Bodega Gaja.....	267
Img. 160. RM 37/50. Bodega Domaine Sigalas.	268
Img. 161. RM 38/50. Bodega Chateau Oumsiyat.....	268
Img. 162. RM 39/50. Bodega Villa Melnik.....	268
Img. 163. RM 41/50. Bodegas Vivanco.	269
Img. 164. RM 42/50. Bodega Familia Torres.....	269
Img. 165. RM 48/50. Bodega Château Heritage.	270
Img. 166. RM 49/50. Bodega Quinta do Noval.....	270
Img. 167. Bodegas de Cuevas de Provanco excavadas en ladera.	275
Img. 168. Bodegas Pastrana excavada (subterránea) en Fermoselle.	275
Img. 169. Bodega Verum excavada (subterránea) en Tomelloso.	275
Img. 170. Bodega excavada en roca: el Pulijón. Fermoselle, Zamora. España.	277
Img. 171. Bodega Don Carlos. Aranda del Duero, Burgos.	277
Img. 172. Viviendas de la ciudad de Shivta en Israel.	277
Img. 173. Guzelyur, Turquía.	278
Img. 174. Güzelyurt (Gelveri), Turquía.....	278
Img. 175. B. Prensa de vino de la bodega de la villa de Vathypetro.	279
Img. 176. Recreación de la villa romana en Villaricos, España.	281
Img. 177. B. Prensa de vino en la Villa de los Misterios. Pompeya, Italia.	281
Img. 178. B. Villa Regina en Boscoreale. Pompeya, Italia.	281
Img. 179. B. Villa de las Musas. Arellano, Navarra.....	282
Img. 180. Bodegas de vino en Ramla (Yavne).....	282
Img. 181. Bodega Lagar de Zabala. San Vicente de la Sonsierra, La Rioja. España. Siglo XII.....	288
Img. 182. Bodega lagar de Zabala. San Vicente de la Sonsierra, La Rioja. España.	288
Img. 183. Bodega lagar de Zabala en San Vicente de la Sonsierra, La Rioja. España.	288
Img. 184. Tizirt, Argelia. Año 1910.	301
Img. 185. Barracas de Somorrostro de Barcelona, España. Año 1970.	302
Img. 186. Agro Pontino, Italia. Año 1928.	302

Img. 187. Tizi-Ouzou, Argelia. Año 1910.....	302
Img. 188. Casa Sert en Cambridge. Estados Unidos.	304
Img. 189. Casa Sert en Cambridge. Estados Unidos.	304
Img. 190. Casa Sert en Cambridge. Estados Unidos.	304
Img. 191. Casa Sert en Cambridge. Estados Unidos.	304
Img. 192. Pila de basalto, Ebla. (h. 1900 AC). Museo de Damasco, Siria.	314
Img. 193. Interior del Castillo de Cobán en Nalut. Libia. Año 1920-1930.	317
Img. 194. Qsar Al Haj en Jabal al Gharbi. Libia.	317
Img. 195. Villa fortificada Kasar Hallouf en Médenine. Túnez.	317
Img. 196. Interior del Qsar Al-Haj en Jabal al Gharbi. Libia.	317
Img. 197. Anfiteatro romano de Arles, Francia. Año 1666.	317
Img. 198. Villarobledo, España.	318
Img. 199. Alberobello, Italia.	318
Img. 200. Sadaya, Siria.....	318
Img. 201. El Oued Souf, Argelia.	318
Img. 202. Alberolo, Italia.	318
Img. 203. Breuil Calpalmes, Francia.	318
Img. 204. Harran Sit Alani en Sanliurfa, Turquía.	318
Img. 205. Casa B2 en Büyükhüsün, año 2004. Turquía.	323
Img. 206. Albarracín en Teruel. Año 1947. España.	327
Img. 207. Albarracín en Teruel. Año 2015. España.	327
Img. 208. Alberolo, Italia.	331
Img. 209 Harran Sit Alani, Sanliurfa. Turquía.	331
Img. 210. Casa della Caccia Antica en Pompeya. Italia. Siglo II d. C.	331
Img. 211 Villa Quijano en Comillas, España. Siglo XX d. C.....	331
Img. 212. Casa Batllo en Barcelona, España. Siglo XX d. C.	331
Img. 213. Poulko Mansion en Siatista, Grecia. Siglo XVIII d. C.....	331
Img. 214. Habitaciones subterráneas en torno al patio en Casa de la Caza en Bulla Regia, Túnez.....	333
Img. 215. Habitaciones subterráneas. Casa del Mitreo en Mérida, España.	333
Img. 216. Guadix en Granada. España.	333
Img. 217 Santa Fé en Granada. España.	333
Img. 218. Souzay-Champigny, Francia.	333

7.3. Índice de figuras.

Fig. 1. Elementos comunes en las viviendas del Mediterráneo.	4
Fig. 2. Cuadro metodológico.	11
Fig. 3. Gráfica con la métrica de los resultados sin filtros. Web of Science.....	20

Fig. 4. Gráfica con la métrica de los resultados sin filtros. Google Scholar.	21
Fig. 5. Países de las publicaciones: historia del Mediterráneo. Web of Science.	21
Fig. 6. Áreas de Investigación: Arte y Humanidades o ramas afines. Web of Science.	22
Fig. 7. Área de Investigación: historia del Mediterráneo. Años: 1957-2022. Web of Science.	23
Fig. 8. Mapa conceptual de la historiografía.	38
Fig. 9. Esquema de áreas temáticas.	48
Fig. 10. Mapa conceptual (qué, cuándo, cómo y dónde).	49
Fig. 11. Desarrollo de los conceptos relevantes. Definición de combinaciones: parámetros iniciales.	50
Fig. 12. Esquema final con los parámetros de selección.	54
Fig. 13. Combinación 1: sierra.	56
Fig. 14. Combinación 2: valle.	89
Fig. 15. Esquema comparativo de las ciudades Tell Mardikh y Ebla.	100
Fig. 16. Combinación 3: ciudad.	133
Fig. 17. Combinación 4: estilos arquitectónicos.	146
Fig. 18. Combinación 5: excavado / aéreo.	199
Fig. 19. Combinación 6: ribera o rivera.	227
Fig. 20. Combinación 7: bodegas de vino.	265
Fig. 21. Análisis hipótesis de orografía, cima y frontera.	298
Fig. 22. Esquema conceptual: modelo habitacional - estilos arquitectónicos.	308
Fig. 23. Esquema conceptual del modelo habitacional mediterráneo.	309
Fig. 24. Representación de la crítica de razón histórica en materia de religión.	311
Fig. 25. Esquema de pervivencia y herencia artística en la definición de la vivienda mediterránea.	319

7.4. Índice de tablas.

Tabla 1. Viviendas en sierra. Península Ibérica.	60
Tabla 2. Geolocalización de las viviendas en sierra. Península Ibérica.	61
Tabla 3. Viviendas en sierra. Europa.	69
Tabla 4. Europa. Geolocalización de las viviendas en sierra. Europa.	70
Tabla 5. Viviendas en sierra. Asia y África.	75
Tabla 6. Geolocalización de viviendas en sierra. Asia y África.	76
Tabla 7. Viviendas en cima y ribera de mar. Mediterráneo.	81
Tabla 8. Geolocalización de viviendas en cima y ribera de mar. Mediterráneo.	82
Tabla 9. Viviendas en cima y ribera de agua dulce. Mediterráneo.	87
Tabla 10. Geolocalización de viviendas en cima y ribera de agua dulce. Mediterráneo.	88
Tabla 11. Viviendas en valle. Mediterráneo.	97
Tabla 12. Geolocalización de las viviendas en valle. Mediterráneo.	98

Tabla 13. Viviendas en valle y cima. Mediterráneo.	108
Tabla 14. Geolocalización de las viviendas en valle y cima. Mediterráneo.	109
Tabla 15. Viviendas en valle/sierra y ruina. Península Ibérica.	112
Tabla 16. Geolocalización de viviendas en valle/sierra y ruina. Península Ibérica.	113
Tabla 17. Viviendas en valle / sierra y ruina. Israel.	117
Tabla 18. Geolocalización de las viviendas en valle / sierra y ruina. Israel.	118
Tabla 19. Viviendas en sierra y ruina. Mediterráneo.	127
Tabla 20. Geolocalización de viviendas en sierra y ruina. Mediterráneo.	128
Tabla 21. Viviendas en valle y ruina. Mediterráneo.	131
Tabla 22. Geolocalización de viviendas en valle y ruina. Mediterráneo.	132
Tabla 23. Viviendas en ciudades de ribera de mar. Rascacielos - año 2022.	136
Tabla 24. Geolocalización de viviendas en ciudades de ribera de mar. Rascacielos - año 2018.	137
Tabla 25. Viviendas en ciudades de ribera de mar. Año 1900.	142
Tabla 26. Geolocalización de viviendas en ciudades de ribera de mar. Bulevar - año 1900.	143
Tabla 27. Viviendas singulares de la Prehistoria.	150
Tabla 28. Geolocalización de las viviendas singulares de la Prehistoria.	151
Tabla 29. Viviendas singulares de la Edad Antigua.	165
Tabla 30. Geolocalización de las viviendas singulares de la Edad Antigua.	167
Tabla 31. Viviendas singulares de la Edad Media.	177
Tabla 32. Geolocalización de las viviendas singulares de la Edad Media.	179
Tabla 33. Viviendas singulares de la Edad Moderna.	185
Tabla 34. Geolocalización de las viviendas singulares de la Edad Moderna.	186
Tabla 35. Viviendas singulares de la Edad Contemporánea.	195
Tabla 36. Geolocalización de las viviendas singulares de la Edad Contemporánea.	196
Tabla 37. Viviendas excavadas en España. Geomorfología: ladera y presencia de fenicios.	202
Tabla 38. Geolocalización de las viviendas excavadas en España en ladera.	203
Tabla 39. Viviendas excavadas en el Mediterráneo. Geomorfología: ladera y presencia de fenicios.	207
Tabla 40. Geolocalización de las viviendas excavadas en el Mediterráneo en ladera.	208
Tabla 41. Viviendas excavadas en España. Geomorfología: acantilado o tajo y presencia de fenicios.	213
Tabla 42. Geolocalización de las viviendas excavadas en España en acantilado o tajo.	213
Tabla 43. Viviendas excavadas en el Mediterráneo.	218
Tabla 44. Geolocalización de las viviendas excavadas en el Mediterráneo en acantilado o tajo.	219
Tabla 45. Viviendas excavadas en valle o explanada (llanura). Mediterráneo.	223
Tabla 46. Geolocalización de las viviendas excavadas en valle o explanada (llanura). Mediterráneo.	223
Tabla 47. Viviendas en ribera o rivera en agua dulce. Mediterráneo.	231
Tabla 48. Geolocalización de las viviendas en ribera o rivera en agua dulce. Mediterráneo.	232
Tabla 49. Viviendas rurales en ribera de mar. Grecia y sus islas.	234
Tabla 50. Geolocalización de las viviendas rurales en ribera de mar. Grecia y sus islas.	235

Tabla 51. Viviendas en ribera de mar. Península Itálica.	238
Tabla 52. Geolocalización de las de viviendas en ribera de mar. Península Itálica.	238
Tabla 53. Viviendas en ribera de mar. Mediterráneo.	242
Tabla 54. Geolocalización de las de viviendas en ribera de mar. Mediterráneo.	243
Tabla 55. Viviendas en ribera o rivera con acceso directo al agua. Europa.	249
Tabla 56. Geolocalización de las viviendas en ribera o rivera con acceso directo al agua. Europa.	250
Tabla 57. Viviendas en ribera o rivera con acceso directo al agua. Asia y África.	252
Tabla 58. Geolocalización de las viviendas en ribera o rivera con acceso directo al agua.	253
Tabla 59. Viviendas en ribera o rivera sin acceso directo al agua. España.	255
Tabla 60. Geolocalización de las viviendas en ribera o rivera sin acceso directo al agua. España.	256
Tabla 61. Viviendas en ribera o rivera sin acceso directo al agua. Europa.	260
Tabla 62. Geolocalización de las viviendas en ribera o rivera sin acceso directo al agua. Europa.	261
Tabla 63. Viviendas en ribera o rivera sin acceso directo al agua. Asia y África.	263
Tabla 64. Geolocalización de las de viviendas en ribera o rivera sin acceso directo al agua.	264
Tabla 65. Bodegas de vino reconocidas por su excelencia. Mediterráneo.	272
Tabla 66. Geolocalización de las bodegas de vino reconocidas por su excelencia. Mediterráneo.	274
Tabla 67. Bodegas de vino excavadas en uso. España.	276
Tabla 68. Geolocalización de las bodegas de vino excavadas en uso. España.	276
Tabla 69. Bodegas de vino sin uso. Resto del Mediterráneo.	286
Tabla 70. Geolocalización de bodegas de vino sin uso. Resto del Mediterráneo.	287

7.5. Índice de fotografías.

Fotografía 1. Resto de la decoración de estuco del palacio del rey Herodes.	6
Fotografía 2. Casa “estable house” en la ciudad abandonada de Shivta (Israel).	6
Fotografía 3. Detalle del interior de la casa “estable house” en Shivta (Israel).	6
Fotografía 4. Bodega de la vivienda de Deruc-Tsiotsiou en Siatista (Grecia).	6
Fotografía 5. Salón de baile de la vivienda de Deruc-Tsiotsiou en Siatista (Grecia).	6

8 INDICE.

1	INTRODUCCIÓN.....	3
2	METODOLOGÍA.....	9
2.1.	Materiales.....	9
2.2.	Metodología.....	9
2.2.1.	Tipo de investigación.....	12
2.2.2.	Las fuentes.....	13
3	PRESENTACIÓN DE DATOS. LA VIVIENDA COMO FUENTE PRIMARIA.....	17
3.1.	Historiografía: revisión sistemática según el método PRISMA.....	17
3.1.1.	Selección de palabras clave: ecuaciones de búsqueda.....	17
3.1.2.	Métricas de las búsquedas.....	19
3.1.3.	La historia del Mediterráneo.....	23
3.1.3.1	Contexto histórico: Braudel - Horden y Purcell – Abulafia.....	24
3.1.3.2	Medio físico.....	29
3.1.3.3	Concepto de Mediterráneo.....	30
3.1.4.	La arquitectura y la vivienda en el Mediterráneo.....	31
3.1.4.1	Estudios generales.....	31
3.1.4.2	Arquitectura Moderna y Contemporánea.....	32
3.1.4.3	Tipologías: la casa patio y la vivienda turística.....	33
3.1.4.4	Bienestar: sostenibilidad y eficiencia energética.....	35
3.2.	Mapa conceptual.....	38
3.2.1.	Reordenación de los conceptos por áreas temáticas.....	38
3.2.1.1	El territorio.....	38
3.2.1.2	El tamaño de población.....	39
3.2.1.3	La transición exterior-interior.....	40
3.2.1.4	La luz natural.....	41
3.2.1.5	El espacio histórico.....	41
3.2.1.6	La creatividad.....	42
3.2.1.7	La belleza.....	43
3.2.1.8	El bienestar.....	43
3.2.1.9	Los materiales.....	44
3.2.2.	Combinaciones y parámetros para la selección de viviendas.....	46
3.3.	COMBINACIÓN 1: SIERRA.....	56
3.3.1.	Sierra. Península Ibérica.....	58
3.3.1.1	La montaña (vistas al territorio) y el volumen único que crece en altura.....	62

INDICE.

3.3.2.	Sierra. Europa.....	64
3.3.2.1	La montaña con vistas: la orografía mediterránea.....	71
3.3.3.	Sierra. Asia y África.....	73
3.3.3.1	La vivienda en la montaña: las vistas y el control del paisaje.....	76
3.3.4.	Sierra. Cima y ribera de mar.....	78
3.3.4.1	Desarrollo de la vivienda mediterránea en un volumen único.....	82
3.3.5.	Sierra: cima y ribera de agua dulce.....	84
3.4.	COMBINACIÓN 2: VALLE.....	89
3.4.1.	Valle.....	90
3.4.1.1	Las viviendas aisladas como pervivencia estructural mediterránea.....	99
3.4.1.2	La casa patio, la herencia artística y el bienestar.....	101
3.4.1.3	Sistema constructivo: la casa excavada o aérea y la luz natural.....	103
3.4.2.	Valle y cima.....	105
3.4.2.1	Las poblaciones cercanas y las vistas al territorio.....	109
3.4.3.	Valle / sierra y ruina.....	110
3.4.3.1	Valle / sierra y ruina. Península ibérica.....	111
3.4.3.1.1	Las vistas al territorio y el volumen único que crece en altura.....	113
3.4.3.2	Valle / sierra y ruina. Israel.....	114
3.4.3.2.1	Las viviendas subterráneas en la placa Afro-árabe y los elementos naturales en el diseño.	118
3.4.3.3	Sierra y ruina. Mediterráneo.....	125
3.4.3.3.1	Sistema constructivo aéreo: muros de carga.....	128
3.4.3.4	Valle y ruina. Mediterráneo.....	129
3.5.	COMBINACIÓN - 3: CIUDAD.....	133
3.5.1.	Ciudad y ribera de mar. Rascacielos - año 2018.....	134
3.5.1.1	Desarrollo de la vivienda mediterránea en un volumen único.....	137
3.5.2.	Ciudad y ribera de mar. Bulevar - año 1900.....	138
3.5.2.1	Nuevos lenguajes constructivos: el bulvar y el rascacielos.....	143
3.6.	COMBINACIÓN 4: ESTILOS ARQUITECTÓNICOS.....	146
3.6.1.	La Prehistoria.....	148
3.6.1.1	La vivienda troglodita y la vivienda excavada: una asociación errónea.....	151
3.6.2.	La Edad Antigua.....	155
3.6.2.1	El volumen único con vistas al paisaje: la torre.....	167
3.6.3.	La Edad Media.....	170
3.6.3.1	Inspiración en la naturaleza: el patio, el pilar y el bosque.....	179
3.6.4.	La Edad Moderna.....	181
3.6.4.1	El lenguaje arquitectónico y la arquitectura heredada.....	187
3.6.5.	La Edad Contemporánea.....	188
3.6.5.1	El lenguaje arquitectónico y la arquitectura heredada.....	197

3.7.	COMBINACIÓN 5: VIVIENDAS EXCAVADAS.....	199
3.7.1.	Ladera.....	201
3.7.1.1	Excavada en Ladera. Mediterráneo en península: España.....	201
3.7.1.2	Excavada en Ladera. Mediterráneo.....	204
3.7.1.2.1	La vivienda excavada: la frontera.....	208
3.7.2.	Acantilado o tajo.....	210
3.7.2.1	Excavada en tajo. Mediterráneo en península: España.....	210
3.7.2.2	Excavada en tajo. Mediterráneo.....	214
3.7.2.2.1	Viviendas subterráneas nuevas y restauradas.....	220
3.7.3.	Valle o explanada (llanura).....	221
3.7.3.1	El sistema constructivo excavado como técnica.....	224
3.7.3.2	La elección del sistema constructivo subterráneo o aéreo.....	225
3.8.	COMBINACIÓN 6: RIBERA.....	227
3.8.1.	Ribera y rívera de agua dulce.....	229
3.8.2.	Rural y ribera de mar.....	233
3.8.2.1	Ribera de mar. Grecia y sus islas.....	233
3.8.2.1.1	Torres y vistas al mar.....	236
3.8.2.2	Ribera de mar. Península Itálica.....	237
3.8.2.3	Ribera de mar. Mediterráneo.....	239
3.8.3.	Ribera o rívera con acceso directo desde la vivienda.....	244
3.8.3.1	Ribera o rívera. Acceso directo al agua. Europa.....	244
3.8.3.2	Ribera o rívera. Acceso directo al agua. Asia y África.....	251
3.8.4.	Ribera o rívera sin acceso directo desde la vivienda.....	254
3.8.4.1	Ribera o rívera. Sin acceso directo al agua. Mediterráneo con península: España.....	254
3.8.4.2	Ribera o rívera. Sin acceso directo al agua. Mediterráneo: Europa.....	257
3.8.4.3	Ribera o rívera. Sin acceso directo al agua. Mediterráneo: Asia y África.....	262
3.8.4.3.1	Las vistas al paisaje y el volumen único que crece en altura.....	264
3.9.	COMBINACIÓN 7: BODEGA DE VINO.....	265
3.9.1.	Bodegas de vino en uso hoy y reconocidas por su excelencia.....	266
3.9.1.1	El uso residencial en la bodega.....	274
3.9.2.	Bodegas de vino en uso- subterráneas. Mediterráneo en península: España.....	275
3.9.2.1	Perivivencias estructurales: el arco y la apertura superior.....	277
3.9.3.	Bodegas de vino sin uso. Resto del Mediterráneo.....	279
3.9.3.1	Elección de sistema constructivo.....	288
4	RESULTADOS: ANÁLISIS Y DISCUSIÓN.....	291
4.1.	Introducción al análisis.....	291
4.2.	Análisis y discusión.....	292
4.2.1.	Hipótesis 1.....	292

4.2.2.	Hipótesis 2.....	299
4.2.3.	Hipótesis 3.....	313
4.2.4.	Hipótesis 4.....	315
4.2.5.	Hipótesis 5.....	332
4.2.6.	Hipótesis 6.....	335
5	CONCLUSIONES.....	339
6	BIBLIOGRAFÍA.....	343
7	ANEJOS.....	375
7.1.	Índice de poblaciones.....	375
7.2.	Índice de imágenes.....	384
7.3.	Índice de figuras.....	389
7.4.	Índice de tablas.....	390
7.5.	Índice de fotografías.....	392
8	INDICE.....	393
	AGRADECIMIENTOS.....	397

Agradecimientos

Gracias Rafael por tu paciencia y tus sabias indicaciones.

Gracias Silvia y Loli por vuestra inestimable ayuda y amistad.

Gracias Jose por inculcarme tu buen criterio y tu excepcional oficio como arquitecto.

Gracias a todas las personas que me han ayudado durante todos estos años.

Gracias Manuel por compartir tanto en cada viaje que podía ser, sin saberlo, cautivante o inhóspito. Sin ti no habría sido lo mismo.

Tesis doctoral

Agradecimientos
